

COMMITTENTE:



PROGETTAZIONE:



DIRETTRICE FERROVIARIA MESSINA - CATANIA - PALERMO

NUOVO COLLEGAMENTO PALERMO - CATANIA

U.O. INFRASTRUTTURE NORD

PROGETTO DEFINITIVO

TRATTA LERCARA DIR. - CALTANISSETTA XIRBI (LOTTO 3)

FABBRICATI

Fabbricato IS-PP/ACC (Vallelunga) - Tipologico Q

Relazione di calcolo

SCALA:

-

COMMESSA LOTTO FASE ENTE TIPO DOC. OPERA/DISCIPLINA Progr. REV.

RS3T 30 D 26 CL FA00Q0 001 B

Rev.	Descrizione	Redatto	Data	Verificato	Data	Approvato	Data	Autorizzato Data
A	Emissione Esecutiva	ATI Sintagma Rocksoll - Edin	Feb-2020	M.Salleolini	Feb-2020	A.Barreca	Feb-2020	F.Sacchi Apr-2020
B	Emissione Esecutiva	ATI Sintagma Rocksoll - Edin	Apr-2020	M.Salleolini	Apr-2020	A.Barreca	Apr-2020	

File: RS3T.3.0.D.26.CL.FA.00.Q.0.001.B

n. Elab.: 26_671

 ITALFERR GRUPPO FERROVIE DELLO STATO ITALIANE	DIRETTRICE FERROVIARIA MESSINA – CATANIA – PALERMO NUOVO COLLEGAMENTO PALERMO – CATANIA TRATTA LERCARA DIR – CALTANISSETTA XIRBI (LOTTO 3) FABBRICATI												
Fabbricato IS-PP/ACC - Tipologico Q - Relazione di calcolo	<table border="1"> <thead> <tr> <th>COMMESSA</th> <th>LOTTO</th> <th>CODIFICA</th> <th>DOCUMENTO</th> <th>REV.</th> <th>FOGLIO</th> </tr> </thead> <tbody> <tr> <td>RS3T</td> <td>30 D 26</td> <td>CL</td> <td>FA00Q0 001</td> <td>B</td> <td>1 di 103</td> </tr> </tbody> </table>	COMMESSA	LOTTO	CODIFICA	DOCUMENTO	REV.	FOGLIO	RS3T	30 D 26	CL	FA00Q0 001	B	1 di 103
COMMESSA	LOTTO	CODIFICA	DOCUMENTO	REV.	FOGLIO								
RS3T	30 D 26	CL	FA00Q0 001	B	1 di 103								

INDICE

1	PREMESSA	3
2	SCOPO DEL DOCUMENTO	4
3	DOCUMENTI DI RIFERIMENTO	6
3.1	DOCUMENTI REFERENZIATI	6
3.2	DOCUMENTI CORRELATI	6
4	CARATTERISTICHE DEI MATERIALI	7
4.1	CEMENTO ARMATO	7
4.1.1	CALCESTRUZZO	7
4.1.2	ACCIAIO D'ARMATURA IN BARRE TONDE AD ADERENZA MIGLIORATA	8
4.1.3	COPRIFERRO	9
5	TERRENO DI FONDAZIONE	10
6	ANALISI DEI CARICHI	10
6.1	PESO PROPRIO STRUTTURE	11
6.1.1	SOLAIO DI COPERTURA	11
6.1.2	STRUTTURA PRINCIPALE IN C.A.	11
6.2	CARICHI PERMANENTI NON STRUTTURALI	11
6.3	SOVRACCARICO ACCIDENTALE	12
6.4	AZIONE DELLA NEVE	12
6.5	AZIONE DEL VENTO	13
6.6	VARIAZIONI TERMICHE	18
6.7	EFFETTI AERODINAMICI ASSOCIATI AL PASSAGGIO DEI CONVOGLI	19
6.8	AZIONE SISMICA	19
7	MODELLO STRUTTURALE E COMBINAZIONI DI CARICO	28
7.1	CONSIDERAZIONI GENERALI SUL MODELLO DI CALCOLO	28
7.2	COMBINAZIONI DELLE AZIONI	37

 ITALFERR GRUPPO FERROVIE DELLO STATO ITALIANE	DIRETTRICE FERROVIARIA MESSINA – CATANIA – PALERMO NUOVO COLLEGAMENTO PALERMO – CATANIA TRATTA LERCARA DIR – CALTANISSETTA XIRBI (LOTTO 3) FABBRICATI					
	Fabbricato IS-PP/ACC - Tipologico Q - Relazione di calcolo	COMMESSA RS3T	LOTTO 30 D 26	CODIFICA CL	DOCUMENTO FA00Q0 001	REV. B

7.3 ANALISI MODALE	39
8 VERIFICHE STRUTTURALI	41
8.1 SOLAIO DI COPERTURA	41
8.2 VERIFICHE DEGLI ELEMENTI NON STRUTTURALI E DEGLI IMPIANTI.....	49
8.3 TRAVI DI BORDO 30X40	53
8.3.1 VERIFICA A FLESSIONE.....	56
8.3.2 VERIFICA A TAGLIO E TORSIONE	62
8.3.3 VERIFICA LIMITAZIONI ARMATURA.....	66
8.4 TRAVI 30X50	68
8.4.1 VERIFICA A FLESSIONE.....	69
8.4.2 VERIFICA A TAGLIO E TORSIONE	74
8.4.3 VERIFICA LIMITAZIONI ARMATURA.....	77
8.5 PILASTRI D'ANGOLO (30X60)	79
8.5.1 VERIFICA A FLESSIONE.....	80
8.5.2 VERIFICA LIMITAZIONI ARMATURA.....	86
8.6 PILASTRI INTERNI (30X60).....	89
8.6.1 VERIFICA A FLESSIONE.....	90
8.6.2 VERIFICA LIMITAZIONI ARMATURA.....	95
8.7 VERIFICA DEGLI ELEMENTI STRUTTURALI IN TERMINI DI CONTENIMENTO DEL DANNO AGLI ELEMENTI NON STRUTTURALI (SLO)	98
9 REAZIONI VINCOLARI	99
10 VERIFICHE AL FUOCO	100
10.1 RESISTENZA AL FUOCO: TRAVI	101
10.2 RESISTENZA AL FUOCO: PILASTRI.....	101
10.3 RESISTENZA AL FUOCO: SOLAI	102
11 CONCLUSIONI.....	103

 ITALFERR GRUPPO FERROVIE DELLO STATO ITALIANE	DIRETTRICE FERROVIARIA MESSINA – CATANIA – PALERMO NUOVO COLLEGAMENTO PALERMO – CATANIA TRATTA LERCARA DIR – CALTANISSETTA XIRBI (LOTTO 3) FABBRICATI					
	Fabbricato IS-PP/ACC - Tipologico Q - Relazione di calcolo	COMMESSA RS3T	LOTTO 30 D 26	CODIFICA CL	DOCUMENTO FA00Q0 001	REV. B

1 PREMESSA

Il presente documento è emesso nell'ambito dello sviluppo della Progettazione Definitiva della Direttoria Ferroviaria Messina-Catania-Palermo, nuovo collegamento Palermo-Catania, tratta Lercara DIR - Caltanissetta Xirbi (Lotto 3).

Nel progetto sono presenti i fabbricati tipologici riportati schematicamente nella seguente tabella:

Fabbricati	Tipologico
Fabbricato PGEP	A
Locali e Vasca antincendio	B
Fabbricato E1	C
Fabbricato E1	D
Fabbricato E5	F
Fabbricato E3	G
Fabbricato IS-PP/ACC	H
Fabbricato IS-PPT	M
Fabbricato FSA-UFFICI	N
Fabbricato FSA-MAGAZZINO	O
Fabbricato E3	P
Fabbricato IS-PP/ACC	Q

La posizione effettiva piazzale per piazzale di ogni tipologico è riportata nella seguente tabella:

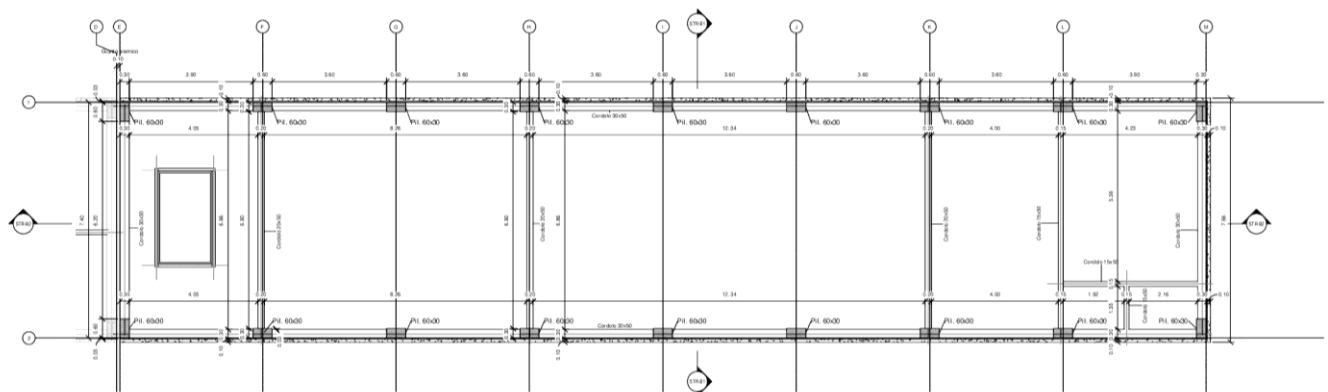
Piazzali	progr. (km)	A	B	C	D	F	G	H	M	N	O	P	Q
PT01	PMZ Marcatobianco	5+400					X	X		X	X		
PT02	Emergenza - Imbocco lato PA galleria Santa Catena	7+985	X	X	X								
PT03	Emergenza - Imbocco lato CT galleria Santa Catena	16+150	X	X		X							
PT04	Stazione Vallelunga	17+259										X	X
PT51	Stazione Villalba	22+270							X				
PT52	PM Marianopoli	25+825					X	X					
PT54	Emergenza - Imbocco lato PA galleria Marianopoli	28+060	X	X	X								
PT56	Fabbricato Galleria Trabona	36+000				X							
PT57	Imbocco lato Ovest galleria Trabona lato PA	35+222							X				
PT58	Emergenza - Imbocco lato CT galleria Salito 2	38+150	X	X		X							
PT59	Fabbricato PM San Cataldo	40+363					X	X					
PT60	Emergenza - Imbocco lato PA galleria Masareddu	42+500	X	X	X								
PT61	Fabbricato Galleria Masareddu	43+200				X							
PT62	Fabbricati Emergenza - Imbocco lato PA galleria Xirbi	44+166	X	X		X	X						
PT63	Fabbricato Galleria Xirbi	45+700				X							

Nel presente elaborato viene calcolato il "Fabbricato IS-PP/ACC – Tipologico Q" di dimensioni pari a 34,31 x 7,51 m verrà realizzato nelle seguenti ubicazioni lungo la tratta in progetto:

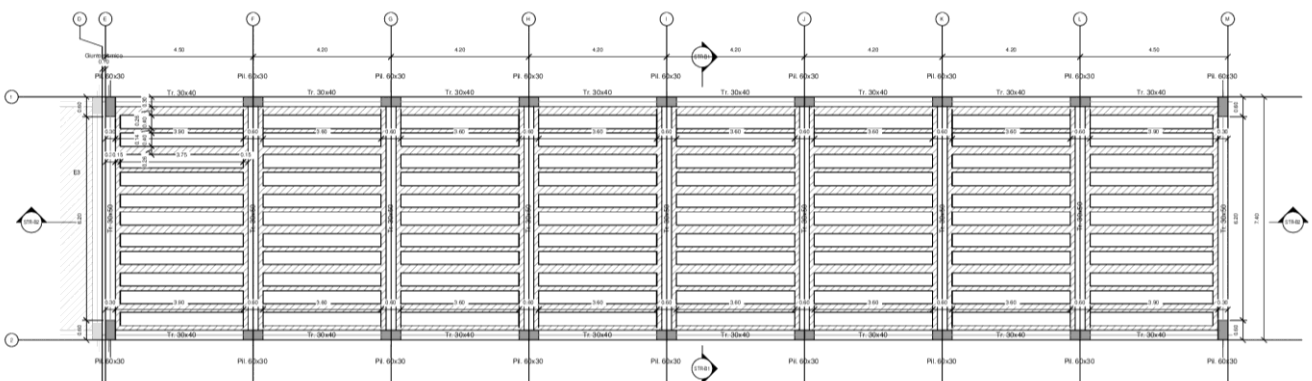
- PT04 - Stazione Vallelunga

2 SCOPO DEL DOCUMENTO

Lo scopo del presente documento è quello di calcolare e verificare le strutture in elevazione del “Fabbricato IS-PP/ACC – Tipologico Q”.



Carpenteria Fondazione
1 : 50



Carpenteria copertura
1 : 50

Figura 2-1 – Carpenteria Fondazione e copertura.

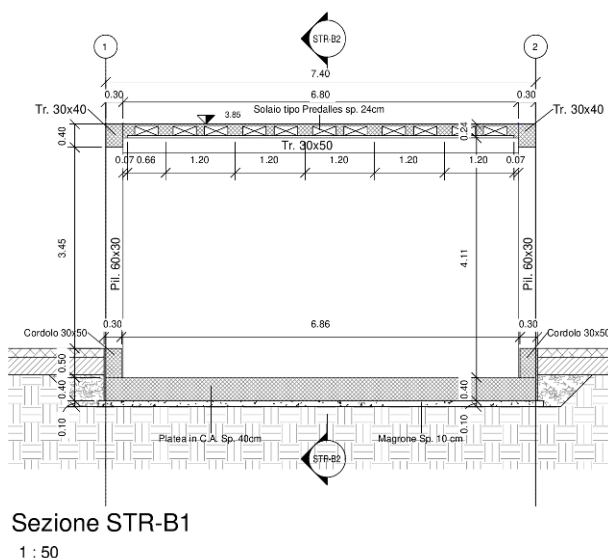
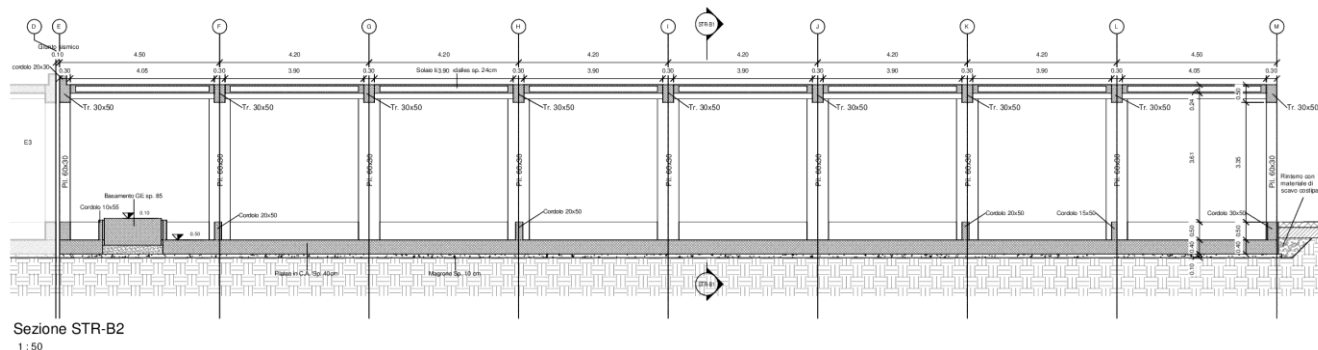


Figura 2-2 – Sezione longitudinale e trasversale.

La struttura in pianta del fabbricato ha forma rettangolare avente le seguenti dimensioni 34.31 m x 7.51 m, comprensiva del rivestimento. Il sistema strutturale è caratterizzato da un telaio spaziale monolivello avente copertura piana costituito da una campata in direzione trasversale di luce 6.80 m circa mentre, parallelamente al lato lungo, è suddiviso in 8 campate di luce massima pari a 4.35 m.

La struttura relativa alla parte in elevazione è costituita da travi e pilastri in cemento armato. Il solaio di copertura è del tipo semiprefabbricato a prédalles, con getto in opera dei travetti e della caldana superiore. Lo spessore totale del solaio di copertura è di 24 cm e comprende 4 cm di prédalles, 16 cm di nervature e 4 cm di caldana superiore. Le lastre in c.a. sono larghe 120 cm e presentano tre tralici metallici di irrigidimento ed elementi di alleggerimento delimitanti le nervature intermedie. Il solaio è ordito secondo la direzione longitudinale del fabbricato in modo da essere poggiato direttamente sui telai trasversali disposti ad interasse che vanno da 3.90 m a 4.05 m. I pilastri hanno dimensione in pianta di 30x60 cm, le travi longitudinali hanno dimensioni 30x40 cm, le travi trasversali invece sono 30x50. Il sistema di fondazione è realizzato in opera mediante una platea di fondazione di spessore di 40 cm.

 ITALFERR GRUPPO FERROVIE DELLO STATO ITALIANE	DIRETTRICE FERROVIARIA MESSINA – CATANIA – PALERMO NUOVO COLLEGAMENTO PALERMO – CATANIA TRATTA LERCARA DIR – CALTANISSETTA XIRBI (LOTTO 3) FABBRICATI												
Fabbricato IS-PP/ACC - Tipologico Q - Relazione di calcolo	<table border="1"> <thead> <tr> <th>COMMESSA</th> <th>LOTTO</th> <th>CODIFICA</th> <th>DOCUMENTO</th> <th>REV.</th> <th>FOGLIO</th> </tr> </thead> <tbody> <tr> <td>RS3T</td> <td>30 D 26</td> <td>CL</td> <td>FA00Q0 001</td> <td>B</td> <td>6 di 103</td> </tr> </tbody> </table>	COMMESSA	LOTTO	CODIFICA	DOCUMENTO	REV.	FOGLIO	RS3T	30 D 26	CL	FA00Q0 001	B	6 di 103
COMMESSA	LOTTO	CODIFICA	DOCUMENTO	REV.	FOGLIO								
RS3T	30 D 26	CL	FA00Q0 001	B	6 di 103								

3 DOCUMENTI DI RIFERIMENTO

3.1 DOCUMENTI REFERENZIATI

La progettazione è conforme alle normative vigenti nonché ai manuali di progettazione societari.

La normativa cui viene fatto riferimento nelle fasi di calcolo e progettazione è la seguente:

- Rif. [1] - Approvazione delle nuove norme tecniche per le costruzioni - D.M. 17/01/2018
- Rif. [2] - Circolare n. 7 del 21 febbraio 2019 - Istruzioni per l'Applicazione Nuove Norme Tecniche Costruzioni di cui al Decreto Ministeriale 17 gennaio 2018;
- Rif. [3] - Ordinanza del Presidente del Consiglio dei Ministri n. 3274 del 20/03/2003. Primi elementi in materia di criteri generali per la classificazione sismica del territorio nazionale e di normative tecniche per le costruzioni in zona sismica;
- Rif. [4] - Decreto del Presidente del Consiglio dei Ministri del 21/10/2003;
- Rif. [5] - Eurocodice 2: Progettazione delle strutture in calcestruzzo – Parte 1.1: Regole generali e regole per gli edifici.
- Rif. [6] - UNI ENV 1992-1-1 Parte 1-1: Regole generali e regole per gli edifici;
- Rif. [7] - UNI EN 206-1/2014 - Calcestruzzo. Specificazioni, prestazioni, produzione e conformità;
- Rif. [8] UNI 11104: Calcestruzzo: Specificazione, prestazione, produzione e conformità - Istruzioni complementari per l'applicazione della EN 206-1.
- Rif. [9] - UNI EN 1998-5 – Fondazioni ed opere di sostegno.
- Rif. [10] REGOLAMENTO (UE) N. 1299/2014 DELLA COMMISSIONE del 18 novembre 2014 relativo alle specifiche tecniche di interoperabilità per il sottosistema «infrastruttura» del sistema ferroviario dell'Unione europea
- Rif. [11] Manuale di Progettazione delle Opere Civili – RFIDTCSIPSMAIFS001C

3.2 DOCUMENTI CORRELATI

I documenti correlati sono:

- Rif. [12] Fabbricato IS-PP/ACC - Tipologico Q - Carpenterie: piante RS3T.3.0.D.26.BB.FA.00.Q.0.001.B
- Rif. [13] Fabbricato IS-PP/ACC - Tipologico Q - Carpenterie: sezioni RS3T.3.0.D.26.WB.FA.00.Q.0.002.B

 ITALFERR GRUPPO FERROVIE DELLO STATO ITALIANE	DIRETTRICE FERROVIARIA MESSINA – CATANIA – PALERMO NUOVO COLLEGAMENTO PALERMO – CATANIA TRATTA LERCARA DIR – CALTANISSETTA XIRBI (LOTTO 3) FABBRICATI					
	Fabbricato IS-PP/ACC - Tipologico Q - Relazione di calcolo	COMMESSA RS3T	LOTTO 30 D 26	CODIFICA CL	DOCUMENTO FA00Q0 001	REV. B

4 CARATTERISTICHE DEI MATERIALI

4.1 CEMENTO ARMATO

4.1.1 Calcestruzzo

Si riportano di seguito due tabelle riepilogative del tipo e delle caratteristiche del calcestruzzo adottato per i diversi elementi strutturali:

	Solaio in lastre predalles	Struttura in elevazione	Fondazioni
Classe di resistenza	C30/37	C30/37	C25/30
Classe di esposizione	XC3	XC3	XC2
Condizioni ambientali	ordinarie	ordinarie	ordinarie
Rapporto acqua/cemento		0,55	0,60

		Solaio in lastre predalles	Struttura in elevazione	Fondazioni
R _{ck}	(N/mm ²)	37	37	30
f _{ck}	(N/mm ²)	30	30	25
f _{cm}	(N/mm ²)	36	36	33
α _{cc}	(-)	0,85	0,85	0,85
γ _c	(-)	1,5	1,5	1,5
f _{cd}	(N/mm ²)	17,4	17,4	14,17
f _{ctm}	(N/mm ²)	2,94	2,94	2,56
f _{ctk}	(N/mm ²)	3,82	3,82	1,79
f _{ctd}	(N/mm ²)	1,40	1,40	1,19
f _{cfm}	(N/mm ²)	3,52	3,52	3,07
f _{cfk}	(N/mm ²)	2,46	2,46	2,15
E _c	(N/mm ²)	33019	33019	31476

Dove:

R_{ck} = Resistenza cubica caratteristica a compressione

 ITALFERR GRUPPO FERROVIE DELLO STATO ITALIANE	DIRETTRICE FERROVIARIA MESSINA – CATANIA – PALERMO NUOVO COLLEGAMENTO PALERMO – CATANIA TRATTA LERCARA DIR – CALTANISSETTA XIRBI (LOTTO 3) FABBRICATI					
	Fabbricato IS-PP/ACC - Tipologico Q - Relazione di calcolo	COMMESSA RS3T	LOTTO 30 D 26	CODIFICA CL	DOCUMENTO FA00Q0 001	REV. B

$f_{ck} = 0.83 \cdot R_{ck} =$ Resistenza cilindrica caratteristica

$f_{cm} = f_{ck} + 8 \text{ (N/mm}^2\text{)} =$ Resistenza cilindrica media a compressione

$\alpha_{cc} =$ Coefficiente per effetti a lungo termine e sfavorevoli: $\alpha_{cc} \text{ (} t > 28\text{gg)} = 0.85$

$\gamma_c = 1.5$; viene ridotto a 1.4 per produzioni continuative di elementi o strutture soggette a controllo continuativo del calcestruzzo dal quale risulti un coefficiente di variazione (rapporto tra scarto quadratico

medio e valore medio della resistenza) non superiore al 10%. $f_{cd} = \frac{\alpha_{cc} \cdot f_{ck}}{\gamma_c} =$ Resistenza di calcolo a

compressione

$f_{ctm} = 0.3 \cdot (f_{ck})^{2/3}$ [per classi $\leq C50/60$] = Resistenza cilindrica media a trazione

$f_{ctk} = 0.7 \cdot f_{ctm} =$ Resistenza cilindrica caratteristica a trazione

$f_{ctd} = \frac{f_{ctk}}{\gamma_c} =$ Resistenza di calcolo a trazione

$f_{cfm} = 1.2 \cdot f_{ctm} =$ Resistenza media a trazione per flessione

$f_{cfk} = 0.7 \cdot f_{cfm} =$ Resistenza cilindrica caratteristica a trazione

$E_{cm} = 22000 \cdot \left(\frac{f_{cm}}{10} \right)^{0.3} =$ Modulo Elastico

Coefficiente di Poisson:

Secondo quanto prescritto al punto 11.2.10.4 della NTC2018, per il coefficiente di Poisson può adottarsi, a seconda dello stato di sollecitazione, un valore compreso tra 0 (calcestruzzo fessurato) e 0.2 (calcestruzzo non fessurato).

Coefficiente di dilatazione termica:

In sede di progettazione, o in mancanza di una determinazione sperimentale diretta, per il coefficiente di dilatazione termica del calcestruzzo può assumersi un valore medio pari a $10 \times 10^{-6} \text{ } ^\circ\text{C}^{-1}$ (NTC2018 – 11.2.10.5).

4.1.2 Acciaio d'armatura in barre tonde ad aderenza migliorata

Si adotta acciaio tipo B450C come previsto al punto 11.3.2.1 delle NTC2018, per il quale si possono assumere le seguenti caratteristiche:

Resistenza a trazione – compressione:

$f_{tk} = 540 \text{ N/mm}^2 =$ Resistenza caratteristica di rottura

$f_{yk} = 450 \text{ N/mm}^2 =$ Resistenza caratteristica a snervamento

$f_{yd} = \frac{f_{yk}}{\gamma_s} = 391.3 \text{ N/mm}^2 =$ Resistenza di calcolo

 ITALFERR GRUPPO FERROVIE DELLO STATO ITALIANE	DIRETTRICE FERROVIARIA MESSINA – CATANIA – PALERMO NUOVO COLLEGAMENTO PALERMO – CATANIA TRATTA LERCARA DIR – CALTANISSETTA XIRBI (LOTTO 3) FABBRICATI					
	Fabbricato IS-PP/ACC - Tipologico Q - Relazione di calcolo	COMMESSA RS3T	LOTTO 30 D 26	CODIFICA CL	DOCUMENTO FA00Q0 001	REV. B

dove:

$\gamma_s = 1.15$ = Coefficiente parziale di sicurezza relativo all'acciaio.

Modulo Elastico:

$E_s = 210000 \text{ N/mm}^2$

Tensione tangenziale di aderenza acciaio-calcestruzzo:

		Solaio in lastre predalles	Struttura in elevazione	Fondazioni
f_{bk}	(N/mm ²)	4.36	4,36	4,36
f_{bd}	(N/mm ²)	2.90	2,90	2,90

dove:

$f_{bk} = 2.25 \cdot \eta \cdot f_{ctk}$ = Resistenza tangenziale caratteristica di aderenza

$f_{bd} = \frac{f_{bk}}{\gamma_c}$ = Resistenza tangenziale di aderenza di calcolo

$\eta = 1.0$ – per barre di diametro $\Phi \leq 32 \text{ mm}$;

$\gamma_c = 1.5$ – Coefficiente parziale di sicurezza relativo al calcestruzzo.

4.1.3 Copriferro

Con riferimento al punto 4.1.6.1.3 delle NTC, al fine della protezione delle armature dalla corrosione il valore minimo dello strato di ricoprimento di calcestruzzo (copriferro) deve rispettare quanto indicato nella tabella C4.1.IV della Circolare 21.01.2019, n. 7 C.S.LL.PP, riportata di seguito, nella quale sono distinte le tre condizioni ambientali di Tabella 4.1.III delle NTC.

			barre da c.a. elementi a piastra		barre da c.a. altri elementi		cavi da c.a.p elementi a piastra		cavi da c.a.p altri elementi	
C_{min}	C_o	ambiente	$C \geq C_o$	$C_{min} \leq C < C_o$	$C \geq C_o$	$C_{min} \leq C < C_o$	$C \geq C_o$	$C_{min} \leq C < C_o$	$C \geq C_o$	$C_{min} \leq C < C_o$
C25/30	C35/45	ordinario	15	20	20	25	25	30	30	35
C28/35	C40/50	aggressivo	25	30	30	35	35	40	40	45
C35/45	C45/55	molto ag.	35	40	40	45	45	50	50	50

 ITALFERR GRUPPO FERROVIE DELLO STATO ITALIANE	DIRETTRICE FERROVIARIA MESSINA – CATANIA – PALERMO NUOVO COLLEGAMENTO PALERMO – CATANIA TRATTA LERCARA DIR – CALTANISSETTA XIRBI (LOTTO 3) FABBRICATI					
	Fabbricato IS-PP/ACC - Tipologico Q - Relazione di calcolo	COMMESSA	LOTTO	CODIFICA	DOCUMENTO	REV.
	RS3T	30 D 26	CL	FA00Q0 001	B	10 di 103

Ai valori riportati nella tabella vanno aggiunte le tolleranze di posa, pari a 10 mm. Si riportano di seguito i copriferri adottati, determinati in funzione della classe del cls e delle condizioni ambientali.

	Ambiente	Copriferro minimo	Tolleranza di posa	Copriferro nominale
Struttura in elevazione	Ordinario	25	10	35
Lastre predalles	Ordinario	20	0	20
Fondazioni	Ordinario	25	10	35

In definitiva si prescrive che in fondazione e in elevazione tranne che per le lastre predalles il copriferro netto non deve essere inferiore a 40mm.

5 TERRENO DI FONDAZIONE

Il terreno costituente il piano di posa degli edifici presenti nel piazzale è variabile a seconda dell'ubicazione dell'edificio lungo la tratta. Nella relazione relativa alla fondazione del presente fabbricato vengono riportate le caratteristiche fisiche e meccaniche, in accordo con quanto riportato nella relazione geotecnica.

Per ogni riferimento si rimanda all'elaborato specialistico: Relazione Geologica Generale.

6 ANALISI DEI CARICHI

Come prescritto dalle NTC2018, sono state considerate agenti sulla struttura le seguenti condizioni di carico elementari, combinate tra loro in modo da determinare gli effetti più sfavorevoli ai fini delle verifiche dei singoli elementi strutturali:

- peso proprio strutture;
- carichi permanenti non strutturali;
- sovraccarico variabile;
- azione sismica;
- azione del vento;
- azione della neve;
- variazioni termiche;
- effetti aerodinamici associati al passaggio dei convogli.

Nel progetto strutturale in esame, le azioni esterne, quali vento e neve, sono state valutate considerando la località di Caltanissetta - Enna.

 ITALFERR GRUPPO FERROVIE DELLO STATO ITALIANE	DIRETTRICE FERROVIARIA MESSINA – CATANIA – PALERMO NUOVO COLLEGAMENTO PALERMO – CATANIA TRATTA LERCARA DIR – CALTANISSETTA XIRBI (LOTTO 3) FABBRICATI					
	Fabbricato IS-PP/ACC - Tipologico Q - Relazione di calcolo	COMMESSA	LOTTO	CODIFICA	DOCUMENTO	REV.
	RS3T	30 D 26	CL	FA00Q0 001	B	11 di 103

6.1 PESO PROPRIO STRUTTURE

6.1.1 Solaio di copertura

E' realizzato con lastre predalles in cemento armato di altezza 24 cm alleggerite con polistirene espanso.

Solaio in lastre Predalles

(H =4+16+4=24cm) lastra larga 1,20 m.

Predalles (s = 4cm) 25x0,04x1,20=1,2 kN;

Nervatura centrale (h=16 cm, s=14 cm) 25x0,16x0,14= 0,56 kN;

Nervature laterali (h=16 cm, s=12 cm) 2x25x0,16x0,12= 0,96 kN;

Soletta superiore (s=4 cm) 25x0,04x1,20= 1,2 kN;

Alleggerimento in polistirene espanso (h=16 cm, s=40 cm) 2x0,15x0,4x0,16=0,0192 kN.

Peso totale di una lastra larga 1,20 m: $G=1,2+0,56+0,96+1,2+0,019 = 3,94$ kN

Peso totale a metro quadrato = $3,94/1,20 = 3,28$ kN/m²

6.1.2 Struttura principale in c.a.

Il peso proprio delle travi e dei pilastri, viene calcolato automaticamente dal programma considerando il peso specifico del cemento armato pari a:

$$\gamma_{c.a.} = 25 \text{ kN/m}^3$$

6.2 CARICHI PERMANENTI NON STRUTTURALI

- Tamponamenti esterni

Il rivestimento esterno è costituito da blocchi cavi prefabbricati in cls vibrocompresso tipo Poroton (sp.25cm) con idonei rinforzi verticali e orizzontali per murature in zona sismica + lastre in pietra sp 5,0 cm, il cui peso è pari a **3,60 kN/m²**.

Il peso per unità di superficie moltiplicato per l'altezza totale del singolo pannello h=3,60 m, trascurando le eventuali aperture, è pari a **13 kN/m**, che è il peso a metro lineare della tamponatura da applicare alla platea di fondazione.

- Carichi permanenti non strutturali agenti in copertura

Incidenza zone piene solaio 0,20 kN/m²

Massetto delle pendenze 0,60 kN/m²

 ITALFERR GRUPPO FERROVIE DELLO STATO ITALIANE	DIRETTRICE FERROVIARIA MESSINA – CATANIA – PALERMO NUOVO COLLEGAMENTO PALERMO – CATANIA TRATTA LERCARA DIR – CALTANISSETTA XIRBI (LOTTO 3) FABBRICATI					
	Fabbricato IS-PP/ACC - Tipologico Q - Relazione di calcolo	COMMESSA RS3T	LOTTO 30 D 26	CODIFICA CL	DOCUMENTO FA00Q0 001	REV. B

Strato coibente	0,10	kN/m ²
Guaina di impermeabilizzazione	0,10	kN/m ²
Malta di allettamento (2 cm)	0,40	kN/m ²
Pavimento	0,50	kN/m ²
Intonaco intradosso	0,30	kN/m ²
Incidenza impianti	0,30	kN/m ²
Controsoffitto	0,10	kN/m ²
Totale carico:	2.60	kN/m²

Incidenza muretti perimetrali e scala su travi di bordo 2,00 kN/m

6.3 SOVRACCARICO ACCIDENTALE

Il sovraccarico assunto per la copertura è pari a 0,50 kN/m².

6.4 AZIONE DELLA NEVE

Le azioni della neve sono definite al capitolo 3.4 delle NTC2018. Il carico provocato dalla neve sulle coperture è definito dall'espressione seguente:

$$q_s = \mu_i C_e C_t q_{sk}$$

dove:

μ_i - Coefficiente di forma della copertura;

C_e - Coefficiente di esposizione;

C_t - Coefficiente termico;

q_{sk} - Valore di riferimento del carico neve al suolo.

Per la valutazione di q_{sk} si è fatto riferimento ad un sito posto in zona I - Mediterranea, con altezza sul livello del mare pari a 400 m:

$$q_{sk} = 1.17 \text{ kN/m}^2$$

Il coefficiente di esposizione C_e può essere utilizzato per modificare il valore del carico neve in copertura in funzione delle caratteristiche specifiche dell'area in cui sorge l'opera. Valori del coefficiente di

 ITALFERR GRUPPO FERROVIE DELLO STATO ITALIANE	DIRETTRICE FERROVIARIA MESSINA – CATANIA – PALERMO NUOVO COLLEGAMENTO PALERMO – CATANIA TRATTA LERCARA DIR – CALTANISSETTA XIRBI (LOTTO 3) FABBRICATI					
	Fabbricato IS-PP/ACC - Tipologico Q - Relazione di calcolo	COMMESSA	LOTTO	CODIFICA	DOCUMENTO	REV.
	RS3T	30 D 26	CL	FA00Q0 001	B	13 di 103

esposizione per diverse classi di topografia sono forniti in tabella 3.4.I. NTC2018. Per il caso in esame, si assume $C_e = 1.0$.

Il coefficiente termico C_t può essere utilizzato per tener conto della riduzione del carico neve a causa dello scioglimento della stessa, causata dalla perdita di calore della costruzione. Tale coefficiente tiene conto delle proprietà di isolamento termico del materiale utilizzato in copertura. In assenza di uno specifico e documentato studio, deve essere utilizzato $C_t = 1.0$ (3.4.4 - NTC2018).

Il coefficiente di forma della copertura dipende dall'angolo di inclinazione della falda, i valori proposti dalla normativa vigente vengono riportati nella Tab.3.4.II (DM 14 Gennaio 2018):

Coefficiente di forma	$0^\circ \leq \alpha \leq 30^\circ$	$30^\circ < \alpha < 60^\circ$	$\alpha \geq 60^\circ$
μ_1	0,8	$0,8 \cdot \frac{(60 - \alpha)}{30}$	0,0

Nel caso in esame si ha $\alpha = 0^\circ$ pertanto:

$$\mu_1(0^\circ) = 0,8$$

Si assume una distribuzione uniforme del carico da neve per la copertura piana, quindi si ha:

$$q_s = 0.8 \cdot 1.00 \cdot 1.00 \cdot 1.17 = \mathbf{0.95 \text{ kN/m}^2}.$$

6.5 AZIONE DEL VENTO

Il vento, la cui direzione si considera generalmente orizzontale, esercita sulle costruzioni azioni che variano nel tempo e nello spazio provocando, in generale, effetti dinamici. Per le costruzioni usuali tali azioni sono convenzionalmente ricondotte alle azioni statiche equivalenti definite al punto 3.3.3 – NTC2018. Per il calcolo dell'azione statica equivalente dovuta al vento, si è fatto riferimento ad un sito posto in zona 4, con altezza sul livello del mare pari a 400 m.

Tra tutte le ubicazioni degli edifici si è preso a riferimento per il calcolo, quello in cui risulta la maggiore azione del vento.

Pressione del vento:

La pressione del vento, considerata come azione statica agente normalmente alle superfici, è data dall'espressione:

$$p = q_b \cdot C_e \cdot C_p \cdot C_d$$

dove

- q_b - Pressione cinetica di riferimento
- C_e - Coefficiente di esposizione
- C_p - Coefficiente di forma (o coefficiente aerodinamico)
- C_d - Coefficiente dinamico che si assume unitario.

Pressione cinetica di riferimento:

 ITALFERR GRUPPO FERROVIE DELLO STATO ITALIANE	DIRETTRICE FERROVIARIA MESSINA – CATANIA – PALERMO NUOVO COLLEGAMENTO PALERMO – CATANIA TRATTA LERCARA DIR – CALTANISSETTA XIRBI (LOTTO 3) FABBRICATI					
	Fabbricato IS-PP/ACC - Tipologico Q - Relazione di calcolo	COMMESSA RS3T	LOTTO 30 D 26	CODIFICA CL	DOCUMENTO FA00Q0 001	REV. B

La pressione cinetica di riferimento q_b in (N/m²) è data dall'espressione:

$$q_b = \frac{1}{2} \cdot \rho \cdot v_b^2$$

dove:

- v_b - Velocità di riferimento del vento;
- ρ – Densità dell'aria assunta convenzionalmente costante e pari a 1.25 kg/m³.

In mancanza di indagini statistiche adeguate, la velocità di riferimento del vento $v_b(T_R)$ riferita ad un generico periodo di ritorno T_R può essere valutata, nel campo compreso tra 10 e 500 anni, con l'espressione:

$$V_b(T_R) = \alpha \cdot v_b$$

dove:

v_b – Velocità di riferimento del vento associata ad un periodo di ritorno di 50 anni;

α_R – Coefficiente posto in un diagramma in funzione di T_R espresso in anni;

Il periodo di ritorno T_R al quale si è fatto affidamento per la valutazione della velocità di riferimento del vento risulta pari a 100 anni.

Coefficiente di esposizione:

Il coefficiente d'esposizione c_e dipende dall'altezza z sul suolo del punto considerato, dalla topografia del terreno, e dalla categoria di esposizione del sito ove sorge la costruzione. Per il caso in esame considerando zona 4, classe di rugosità del terreno C e categoria d'esposizione del sito III, il coefficiente di esposizione, per un'altezza massima del fabbricato di 5.10 m, risulta pari ad 1.72.

Coefficiente dinamico:

Il coefficiente dinamico tiene conto degli effetti riduttivi associati alla non contemporaneità delle massime pressioni locali e degli effetti amplificativi dovuti alla risposta dinamica della struttura. Esso è assunto cautelativamente pari ad 1.

Coefficiente di forma (o aerodinamico):

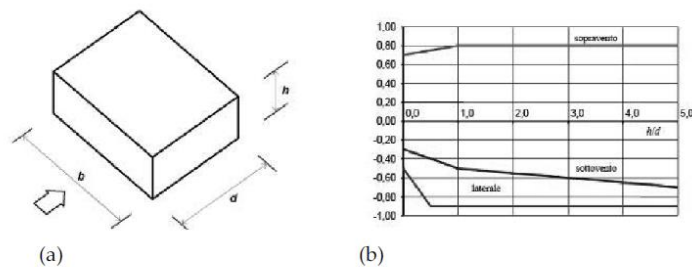
Per la determinazione del coefficiente di forma si fa riferimento a quanto riportato nel paragrafo 3.3.8 della Circolare del 21/01/2019.

- Pareti verticali

Si riporta l'estratto del par. C3.3.8.1.1 della Circolare 21/01/2019 n. 7 C.S.LL.PP.

C3.3.8.1.1 Pareti verticali

I coefficienti globali c_{pe} da assumere sulle pareti di un edificio a pianta rettangolare sono riportati in Figura C3.3.2 e in Tabella C3.3.I



a) Parametri caratteristici di edifici a pianta rettangolare,

b) Edifici a pianta rettangolare: c_{pe} per facce sopravvento, sottovento e laterali

Figura C3.3.2

Tabella C3.3.I: Edifici a pianta rettangolare: c_{pe} per facce sopravvento, sottovento e laterali

Faccia sopravvento	$C_U = 2,0$	$C_U = 1,5$
$h/d \leq 1$: $c_{pe} = 0,7 + 0,1 \cdot h/d$	$h/d \leq 0,5$: $c_{pe} = -0,5 - -0,8 \cdot h/d$	$h/d \leq 1$: $c_{pe} = -0,3 - 0,2 \cdot h/d$
$h/d > 1$: $c_{pe} = 0,8$	$h/d > 0,5$: $c_{pe} = -0,9$	$1 < h/d \leq 5$: $c_{pe} = -0,5 - 0,05 \cdot (h/d - 1)$

Negli edifici tipologici del presente progetto h/d è sempre vicino a 1 e nel calcolo quindi, a favore di sicurezza, si utilizzano i seguenti coefficienti:

Per il carico sopravvento $c_{pe10} = + 0,8$

Per il carico sottovento $c_{pe10} = - 0,5$

- Copertura piana

I coefficienti globali c_{pe} da assumere sulle coperture di un edificio a pianta rettangolare sono riportati in Figura C3.3.5 e in Tabella C3.3.III della Circolare 21/01/2019 n. 7 C.S.LL.PP:

 ITALFERR GRUPPO FERROVIE DELLO STATO ITALIANE	DIRETTRICE FERROVIARIA MESSINA – CATANIA – PALERMO NUOVO COLLEGAMENTO PALERMO – CATANIA TRATTA LERCARA DIR – CALTANISSETTA XIRBI (LOTTO 3) FABBRICATI					
	Fabbricato IS-PP/ACC - Tipologico Q - Relazione di calcolo	COMMESSA RS3T	LOTTO 30 D 26	CODIFICA CL	DOCUMENTO FA00Q0 001	REV. B

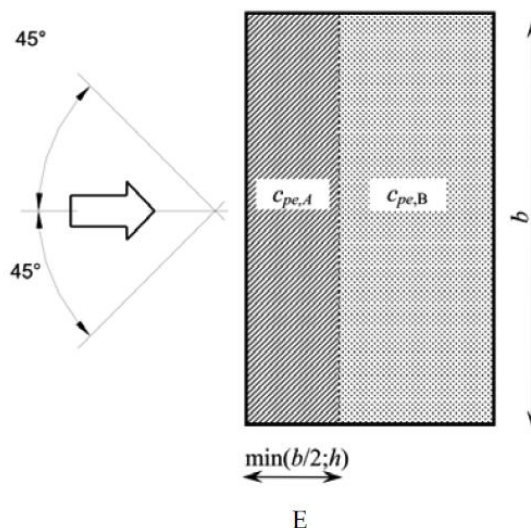


Figura C3.3.5 - Schema di riferimento per coperture piane

Tabella C3.3.III - Edifici rettangolari: c_{pe} per coperture piane.

Fascia sopravento di profondità pari al minimo tra $b/2$ e h :	$c_{pe,A} = -0,80$
Restanti zone	$c_{pe,B} = \pm 0,20$

Considerando che in tutte le tipologie degli edifici si può considerare che h è il minimo tra h stesso e $b/2$, avremo che la Fascia A ha una profondità pari ad h , e quindi si avrà:

Per la fascia sopravento $c_{pe,A} = - 0,8$

Per le restanti zone $c_{pe,B} = \pm 0,2$

- Pressioni interne

Per quanto riguarda le pressioni interne si riporta il par. C3.3.8.5 della Circolare 21/01/2019 n. 7 C.S.LL.PP.

 ITALFERR GRUPPO FERROVIE DELLO STATO ITALIANE	DIRETTRICE FERROVIARIA MESSINA – CATANIA – PALERMO NUOVO COLLEGAMENTO PALERMO – CATANIA TRATTA LERCARA DIR – CALTANISSETTA XIRBI (LOTTO 3) FABBRICATI					
	Fabbricato IS-PP/ACC - Tipologico Q - Relazione di calcolo	COMMESSA	LOTTO	CODIFICA	DOCUMENTO	REV.
	RS3T	30 D 26	CL	FA00Q0 001	B	17 di 103

C3.3.8.5 PRESSIONI INTERNE

Le pressioni interne agli edifici dipendono dalla superficie delle aperture che questi presentano verso l'esterno. Si possono verificare i tre casi seguenti:

Caso 1

Se per almeno due facce dell'edificio l'area totale delle aperture presenti su ciascuna faccia supera il 30% della superficie totale della faccia stessa si applicano le prescrizioni riportate nel § C3.3.8.2 (tettoie).

Caso 2

Se l'edificio non rientra nel caso precedente, ma presenta una superficie dotata di un'area totale di aperture pari ad almeno il doppio della somma delle aree delle aperture presenti sulle rimanenti superfici, il coefficiente di pressione interna c_{pi} è pari a $0,75 \cdot c_{pe}$; se invece l'area delle aperture presenti su detta superficie è pari ad almeno il triplo dell'area delle aperture presenti sulle rimanenti superfici, il coefficiente di pressione interna c_{pi} è pari a $0,90 \cdot c_{pe}$.

L'altezza di riferimento \bar{z}_i è pari all'altezza di riferimento \bar{z}_e relativa alla superficie dominante.

Caso 3

Se l'edificio non rientra in nessuno dei casi precedenti, ma è dotato di porosità distribuita in maniera circa uniforme, in assenza di determinazioni più dettagliate, per le quali si farà riferimento a documenti di comprovata validità, si possono assumere i valori $c_{pi} = +0,2$ e $c_{pi} = -0,3$, considerando il caso che di volta in volta conduce alla situazione maggiormente gravosa.

L'altezza di riferimento \bar{z}_i è pari all'altezza massima dell'edificio.

Per l'edificio in esame si prende in considerazione il caso 3 per cui $c_{pi} = +0,2$ o $c_{pi} = -0,3$ a seconda della situazione maggiormente gravosa.

➤ Azioni del vento

Si riporta di seguito il prospetto delle caratteristiche assunte e i relativi risultati per la determinazione della pressione normale del vento secondo normativa.

I valori considerati nel calcolo degli edifici, sono quelli che hanno valore massimo rispetto a tutte le tipologie di edifici in progetto.

Questo in virtù del fatto che il carico vento incide in maniera non significativa ai fini del dimensionamento dei vari elementi strutturali costituenti l'edificio, viste le geometrie delle tipologie strutturali e le masse in gioco e per i quali l'azione sismica risulta preponderante.

<u>Azione Normale Vento</u>		
Zona	4	
a_s	400	m
a_0	500	m
$V_{b,0}$	28	m/s
K_a	0.02	1/s
$V_b(T_R)$	29.1	m/s
q_b	0.53	kN/m ²
Categoria di esposizione sito	III	
k_r	0.20	
Z_0	0.10	m

Z _{min}	5	m
C _e (Z _{min})	1.71	
z (altezza costruzione sul suolo)	5.10	m
C _d	1	
C _e (z)	1.72	
α (Inclinazione copertura)	0	°
C _{p1,A} (Copertura Fascia A)	- 0.80	
C _{p1,B} (Copertura Fascia B)	± 0,2	
C _{p2} (Elementi Verticali - Sopravento)	+ 0.80	
C _{p3} (Elementi Verticali – Sottovento)	- 0.50	
C _{pi} (Pressioni interne)	+ 0.80 - 0,30	
p₁ (Pressione vento in copertura Fascia A)	-1,00	kN/m ²
p₂ (Pressione vento in copertura Fascia B)	-0,46 +0,36	kN/m ²
p₂ (Pressione vento elementi verticali - Sopravento)	- 0,91	kN/m ²
p₃ (Pressione vento elementi verticali - Sottovento)	- 0,73	kN/m ²

6.6 VARIAZIONI TERMICHE

Nel caso in cui la temperatura non costituisca azione fondamentale per la sicurezza o per la efficienza funzionale della struttura è consentito tener conto, per gli edifici, della sola componente ΔT_u , ricavandola direttamente dalla Tab. 3.5.II delle NTC 2018 che viene riportata nel seguito.

Nel caso in cui la temperatura costituisca, invece, azione fondamentale per la sicurezza o per la efficienza funzionale della struttura, l'andamento della temperatura T nelle sezioni degli elementi strutturali deve essere valutato più approfonditamente studiando il problema della trasmissione del calore.

Tabella 3.5.II – Valori di ΔT_u per gli edifici

Tipo di struttura	ΔT_u
Strutture in c.a. e c.a.p. esposte	± 15 °C
Strutture in c.a. e c.a.p. protette	± 10 °C
Strutture in acciaio esposte	± 25 °C
Strutture in acciaio protette	± 15 °C

 ITALFERR GRUPPO FERROVIE DELLO STATO ITALIANE	DIRETTRICE FERROVIARIA MESSINA – CATANIA – PALERMO NUOVO COLLEGAMENTO PALERMO – CATANIA TRATTA LERCARA DIR – CALTANISSETTA XIRBI (LOTTO 3) FABBRICATI					
	Fabbricato IS-PP/ACC - Tipologico Q - Relazione di calcolo	COMMESSA	LOTTO	CODIFICA	DOCUMENTO	REV.
	RS3T	30 D 26	CL	FA00Q0 001	B	19 di 103

Nel caso in esame, si tiene conto della sola componente ΔT_u e in particolare si assume $\Delta T_u = \pm 15 \text{ }^\circ\text{C}$ per tutta la struttura.

6.7 EFFETTI AERODINAMICI ASSOCIATI AL PASSAGGIO DEI CONVOGLI

Considerata la notevole distanza dai convogli ferroviari, il presente carico non è applicabile. Pertanto nelle combinazioni saranno assunti nulli i carichi elementari **AerodA**) e **AerodB**).

6.8 AZIONE SISMICA

Per la definizione dell'azione sismica sono necessarie delle valutazioni preliminari relative alle seguenti caratteristiche proprie della costruzione (2.4 – NTC2018):

- Vita Nominale (V_N);
- Classe d'uso (C_u);
- Periodo di Riferimento (V_R).

Si attribuisce una vita nominale $V_N = 75$ anni e la classe d'uso II con coefficiente d'uso $C_u=1,5$, in conformità ai seguenti riferimenti normativi:

- DM 17/01/2018 par. 2.4;
- Circ. 21/01/2019, n. 617 par. C2.4.1 e C2.4.2;
- Decreto 21/10/2003 P.C.M. Dipartimento della Prot. Civile (all.1);
- Manuale di Progettazione delle Opere Civili – RFIDTCSIPSMAIFS001C

Il periodo di riferimento da considerare per il calcolo dell'azione sismica sarà quindi $V_R = C_u \times V_N = 112,5$ anni.

Le azioni sismiche di progetto, in base alle quali valutare il rispetto dei diversi stati limite considerati, si definiscono a partire dalla "pericolosità sismica di base" del sito di costruzione, ai sensi dell'Ordinanza del Presidente del Consiglio dei Ministri n. 3274 del 20 marzo 2003. La pericolosità sismica è definita in termini di accelerazione orizzontale massima attesa a_g , nonché di ordinate dello spettro di risposta elastico in accelerazione ad essa corrispondente, con riferimento a prefissata probabilità di eccedenza P_{VR} nel periodo di riferimento V_R (3.2 – NTC2018).

La normativa NTC2018 definisce le forme spettrali, per ciascuna delle probabilità di superamento nel periodo di riferimento P_{VR} , a partire dai valori dei seguenti parametri su sito di riferimento rigido orizzontale:

- a_g – Accelerazione orizzontale massima al sito;
- F_0 – Valore massimo del fattore di amplificazione dello spettro in accelerazione orizzontale;
- T_C^* - Periodo d'inizio del tratto a velocità costante dello spettro in accelerazione orizzontale.

 ITALFERR GRUPPO FERROVIE DELLO STATO ITALIANE	DIRETTRICE FERROVIARIA MESSINA – CATANIA – PALERMO NUOVO COLLEGAMENTO PALERMO – CATANIA TRATTA LERCARA DIR – CALTANISSETTA XIRBI (LOTTO 3) FABBRICATI					
	Fabbricato IS-PP/ACC - Tipologico Q - Relazione di calcolo	COMMESSA RS3T	LOTTO 30 D 26	CODIFICA CL	DOCUMENTO FA00Q0 001	REV. B

Nei confronti delle azioni sismiche si definiscono due stati limite di esercizio e due ultimi, che sono individuati riferendosi alle prestazioni della costruzione nel suo complesso (3.2.1 – NTC2018), ai quali corrispondono i valori dei parametri precedentemente definiti.

Ai fini della definizione dell'azione sismica di progetto, si rende necessario valutare l'effetto della risposta sismica locale mediante specifiche analisi. In assenza di tali analisi, per la definizione dell'azione sismica si può far riferimento a un approccio semplificato, che si basa sull'individuazione di categorie di sottosuolo di riferimento (Tab. 3.2.II e 3.2.III – NTC2018).

Il fabbricato IS-PP/ACC – tipologico Q, viene realizzato su un solo piazzale.

Dalla “Relazione geotecnica generale delle opere all'aperto – Lotto 3” si è individuata la categoria sismica del sottosuolo per la WBS in cui ricade il piazzale con fabbricato IS-PP/ACC:

Piazzali	progr. (km)	Q	Cat. Sottosuolo
PT01	5+400		
PT02	7+985		
PT03	16+150		
PT04	17+259	X	C
PT51	22+270		
PT52	25+825		
PT54	28+060		
PT56	36+000		
PT57	35+222		
PT58	38+150		
PT59	40+363		
PT60	42+500		
PT61	43+200		
PT62	44+166		
PT63	45+700		

Per il fabbricato di tipo IS-PP/ACC si riscontra che il terreno su cui insiste la costruzione è stato assimilato ad un sottosuolo di categoria C.

Nel caso in esame si può assumere una categoria topografica T₁ (Superficie pianeggiante, pendii e rilievi isolati con inclinazione media i ≤ 15°).

Lo spettro di risposta elastico in accelerazione è espresso da una forma spettrale (spettro normalizzato) riferita ad uno smorzamento convenzionale del 5%, moltiplicata per il valore dell'accelerazione orizzontale massima a_g su sito di riferimento rigido orizzontale. Sia la forma spettrale che il valore di a_g variano al variare della probabilità di superamento nel periodo di riferimento P_{VR}.

Lo spettro di risposta elastico orizzontale è descritto dalle seguenti espressioni, riportate al punto 3.2.3.2.1 – NTC2018:

$$0 \leq T \leq T_B \quad S_e(T) = a_g \cdot S \cdot \eta \cdot F_0 \cdot \left[\frac{T}{T_B} + \frac{1}{\eta \cdot F_0} \cdot \left(1 - \frac{T}{T_B} \right) \right]$$

 ITALFERR GRUPPO FERROVIE DELLO STATO ITALIANE	DIRETTRICE FERROVIARIA MESSINA – CATANIA – PALERMO NUOVO COLLEGAMENTO PALERMO – CATANIA TRATTA LERCARA DIR – CALTANISSETTA XIRBI (LOTTO 3) FABBRICATI					
	Fabbricato IS-PP/ACC - Tipologico Q - Relazione di calcolo	COMMESSA	LOTTO	CODIFICA	DOCUMENTO	REV.
	RS3T	30 D 26	CL	FA00Q0 001	B	21 di 103

$$T_B \leq T < T_C$$

$$S_e(T) = a_g \cdot S \cdot \eta \cdot F_0$$

$$T_C \leq T < T_D$$

$$S_e(T) = a_g \cdot S \cdot \eta \cdot F_0 \cdot \left(\frac{T_c}{T} \right)$$

$$T_D \leq T$$

$$S_e(T) = a_g \cdot S \cdot \eta \cdot F_0 \cdot \left(\frac{T_c \cdot T_D}{T^2} \right)$$

Poiché il fabbricato è dotato di solai che presentano luce inferiore a 8 m, non è stata considerata la componente verticale dell'azione sismica, come stabilito al punto 7.2.2 e al punto 3.2.3.1 delle NTC2018, considerato anche che $a_g < 0,15g$.

Agli stati limite ultimi le capacità dissipative delle strutture possono essere considerate attraverso una riduzione delle forze elastiche, tenendo conto in modo semplificato della capacità dissipativa anelastica della struttura, della sua sovraresistenza, dell'incremento del suo periodo proprio a seguito delle plasticizzazioni.

In tal caso lo spettro di progetto da utilizzare, sia per le componenti orizzontali, sia per la componente verticale, è lo spettro elastico corrispondente riferito alla probabilità di superamento nel periodo di riferimento P_{VR} considerata con le ordinate ridotte sostituendo nelle formule 3.2.4 - NTC2018 η con $1/q$, dove q è il fattore di comportamento.

Il valore del fattore di comportamento q da utilizzare per ciascuna direzione dell'azione sismica, dipende dalla tipologia strutturale, dal suo grado di iperstaticità e dai criteri di progettazione adottati e prende in conto le non linearità di materiale. Esso può essere calcolato mediante la seguente espressione:

$$q = q_0 \cdot K_R$$

dove:

q_0 è il valore massimo del fattore di comportamento

K_R è un fattore che dipende dalle caratteristiche di regolarità in altezza della costruzione.

Un problema importante è la scelta del valore base del coefficiente di comportamento q_0 , che risulta legato alla tipologia strutturale ed al livello di duttilità attesa. Osservando le tipologie strutturali riportate al punto 7.4.3.1 – NTC2018 si evince che l'edificio in esame può essere riconducibile ad un sistema a telaio.

Per quanto riguarda il livello di duttilità attesa, si stabilisce di progettare il fabbricato in accordo con un comportamento strutturale dissipativo caratterizzato da Classe di Duttilità bassa (CD" B").

Visto il carattere rilevante che assumono i fabbricati, si decide di progettare le opere inquadrando come Strutture NON Dissipative e il fattore di comportamento al quale si farà riferimento per la definizione dello spettro di progetto è $q = 1,50$ in accordo con quanto prescritto all'Par. 7.3 delle NTC 2018 e successiva Tab. 7.3.I

Per gli stati limite di esercizio lo spettro di progetto da utilizzare, sia per le componenti orizzontali che per la componente verticale, è lo spettro elastico corrispondente, riferito alla probabilità di superamento nel periodo di riferimento P_{VR} .

 ITALFERR GRUPPO FERROVIE DELLO STATO ITALIANE	DIRETTRICE FERROVIARIA MESSINA – CATANIA – PALERMO NUOVO COLLEGAMENTO PALERMO – CATANIA TRATTA LERCARA DIR – CALTANISSETTA XIRBI (LOTTO 3) FABBRICATI					
	Fabbricato IS-PP/ACC - Tipologico Q - Relazione di calcolo	COMMESSA RS3T	LOTTO 30 D 26	CODIFICA CL	DOCUMENTO FA00Q0 001	REV. B

Per una costruzione di Classe III, devono essere effettuate le verifiche riportate nella seguente tabella, estrapolata dalla tabella C7.1.I contenuta nella Circolare 2019:

Stato limite	Descrizione della prestazione	Riferimento norme D.M.17/01/2018	η
SLO	Contenimento del danno degli elementi non strutturali (spostamenti di interpiano)	§7.3.7.2	1
SLD	Resistenza degli elementi strutturali	§7.3.7.1	2/3
SLV	Resistenza delle strutture	§7.3.6.1	1/q
	Duttilità delle strutture	§7.3.6.2	
	Assenza di collasso fragile ed espulsione di elementi non strutturali	§7.3.6.3	

Gli spettri di risposta di progetto agli stati limite SLD, SLV sono stati determinati facendo riferimento alle condizioni più gravose in cui l'edificio in esame si trova ubicato lungo la tratta in progetto. Si riporta l'elenco dei piazzali e le corrispondenti coordinate geografiche in cui sono ubicati gli edifici di questa tipologia lungo il tracciato di progetto.

PT04 - Stazione Vallelunga

PROGRESSIVA [km]	LATITUDINE [-]	LONGITUDINE [-]	a_g [g]	F_0 [-]	T_c^* [s]
17+259	37.691211	13.845551	0.112	2.649	0.375



Stati limite

 Classe Edificio				
III. Affollamento significativo...				
 Vita Nominale	75			
 Interpolazione	Media ponderata			
CU = 1.5				
Stato Limite	Tr [anni]	a_g [g]	F_o	T_c^* [s]
Operatività (SLO)	68	0.046	2.450	0.281
Danno (SLD)	113	0.055	2.484	0.303
Salvaguardia vita (SLV)	1068	0.112	2.649	0.375
Prevenzione collasso (SLC)	2193	0.136	2.688	0.400
Periodo di riferimento per l'azione sismica:	112.5			

Pertanto sono stati assunti i seguenti parametri sismici:

Cat. Sottosuolo	a_g/g	$F_o [-]$	$T_c^* [s]$
C	0,112	2,649	0,375

 ITALFERR GRUPPO FERROVIE DELLO STATO ITALIANE	DIRETTRICE FERROVIARIA MESSINA – CATANIA – PALERMO NUOVO COLLEGAMENTO PALERMO – CATANIA TRATTA LERCARA DIR – CALTANISSETTA XIRBI (LOTTO 3) FABBRICATI					
	Fabbricato IS-PP/ACC - Tipologico Q - Relazione di calcolo	COMMESSA	LOTTO	CODIFICA	DOCUMENTO	REV.
	RS3T	30 D 26	CL	FA00Q0 001	B	24 di 103

Gli effetti dell'azione sismica vengono valutati tenendo conto delle masse associate ai carichi gravitazionali dovuti al peso proprio (G_1), ai sovraccarichi permanenti (G_2) e a un'aliquota (ψ_{2j}) dei sovraccarichi accidentali (Q_{kj}):

$$G_1 + G_2 + \sum_j \psi_{2j} \cdot Q_{kj}$$

I valori dei coefficienti ψ_{2j} sono riportati nella Tabella 2.5.1 – NTC2018. Nel caso in esame i sovraccarichi accidentali che possono essere sottoposti ad eccitazione sismica sono:

- per il solaio di copertura, la neve ed il vento per copertura presentano $\psi_{2j} = 0$;
- per il solaio di copertura, il sovraccarico variabile agente presenta $\psi_{2j} = 0$.

Per tener conto della variabilità spaziale del moto sismico, nonché di eventuali incertezze nella localizzazione delle masse, al centro di massa deve essere attribuita un'eccentricità accidentale rispetto alla sua posizione quale deriva dal calcolo. Per gli edifici, gli effetti dell'eccentricità accidentale del centro di massa possono essere determinati mediante l'applicazione di carichi statici costituiti da momenti torcenti di valore pari alla risultante orizzontale della forza agente al piano, moltiplicata per l'eccentricità accidentale del baricentro delle masse rispetto alla sua posizione di calcolo. In assenza di più accurate determinazioni l'eccentricità accidentale in ogni direzione non può essere considerata inferiore a 0.05 volte la dimensione dell'edificio misurata perpendicolarmente alla direzione di applicazione dell'azione sismica.

Gli effetti delle forze equivalenti dovute all'eccentricità accidentale, vengono portati in conto nella combinazione sismica, sommandoli al contributo delle sollecitazioni che si ottengono a valle dell'analisi dinamica lineare con spettro di risposta.

Come metodo di analisi per determinare gli effetti dell'azione sismica si è scelto di utilizzare l'analisi dinamica lineare o analisi modale con spettro di risposta, nella quale l'equilibrio è trattato dinamicamente e l'azione sismica è modellata direttamente attraverso lo spettro di progetto.

L'analisi dinamica lineare consiste:

- nella determinazione dei modi di vibrare della costruzione (analisi modale);
- nel calcolo degli effetti dell'azione sismica, rappresentata dallo spettro di risposta di progetto, per ciascuno dei modi di vibrare individuati;
- nella combinazione di questi effetti.

Come prescritto dalle NTC 2018 al paragrafo 7.3.3.1, devono essere considerati tutti i modi di vibrare con massa partecipante significativa. E' opportuno a tal riguardo considerare tutti i modi con massa partecipante superiore al 5% e comunque un numero di modi la cui massa partecipante totale sia superiore all'85%. Per la combinazione degli effetti relativi ai singoli modi, deve essere utilizzata una combinazione quadratica completa (CQC) degli effetti relativi a ciascun modo, secondo quanto definito al punto 7.3.3.1 delle NTC2018.

La risposta della struttura viene calcolata separatamente per ciascuna delle due componenti dell'azione sismica orizzontale; gli effetti sulla struttura, in termini di sollecitazioni e spostamenti, sono poi combinati applicando le seguenti espressioni:



DIRETTRICE FERROVIARIA MESSINA – CATANIA – PALERMO
NUOVO COLLEGAMENTO PALERMO – CATANIA
TRATTA LERCARA DIR – CALTANISSETTA XIRBI (LOTTO 3)
FABBRICATI

Fabbricato IS-PP/ACC - Tipologico Q - Relazione di calcolo

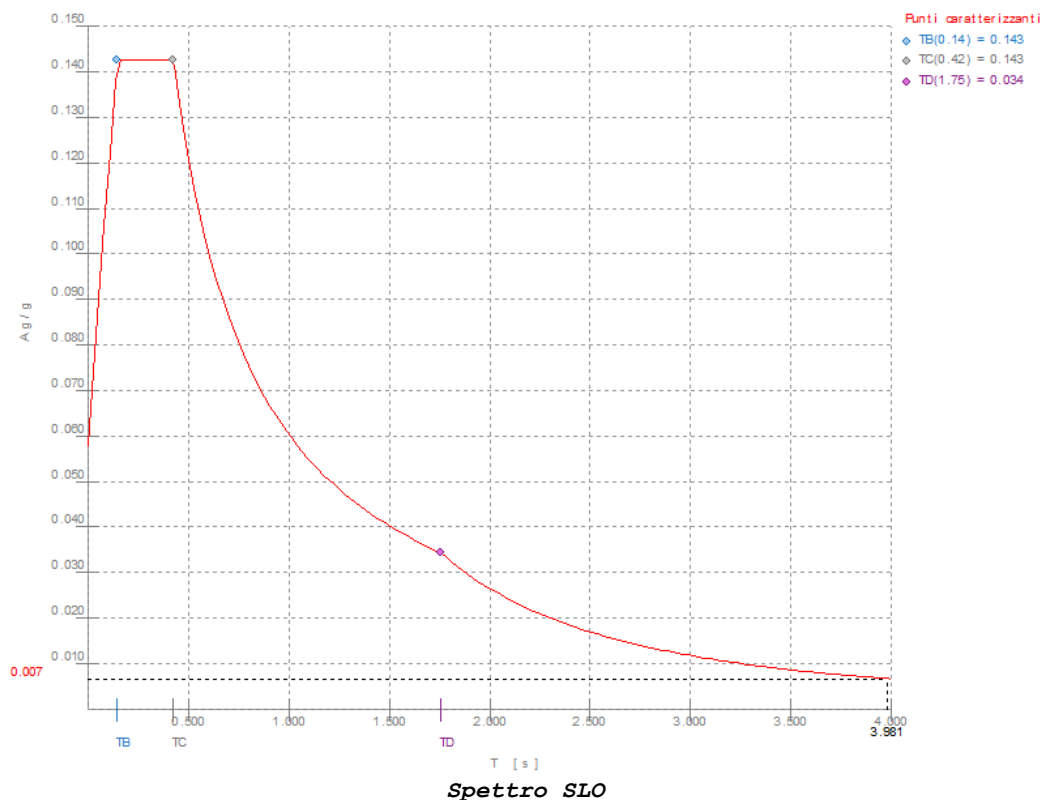
COMMESSA	LOTTO	CODIFICA	DOCUMENTO	REV.	FOGLIO
RS3T	30 D 26	CL	FA00Q0 001	B	25 di 103

$$1.00 \cdot E_x + 0.30 \cdot E_y$$

$$1.00 \cdot E_y + 0.30 \cdot E_x$$

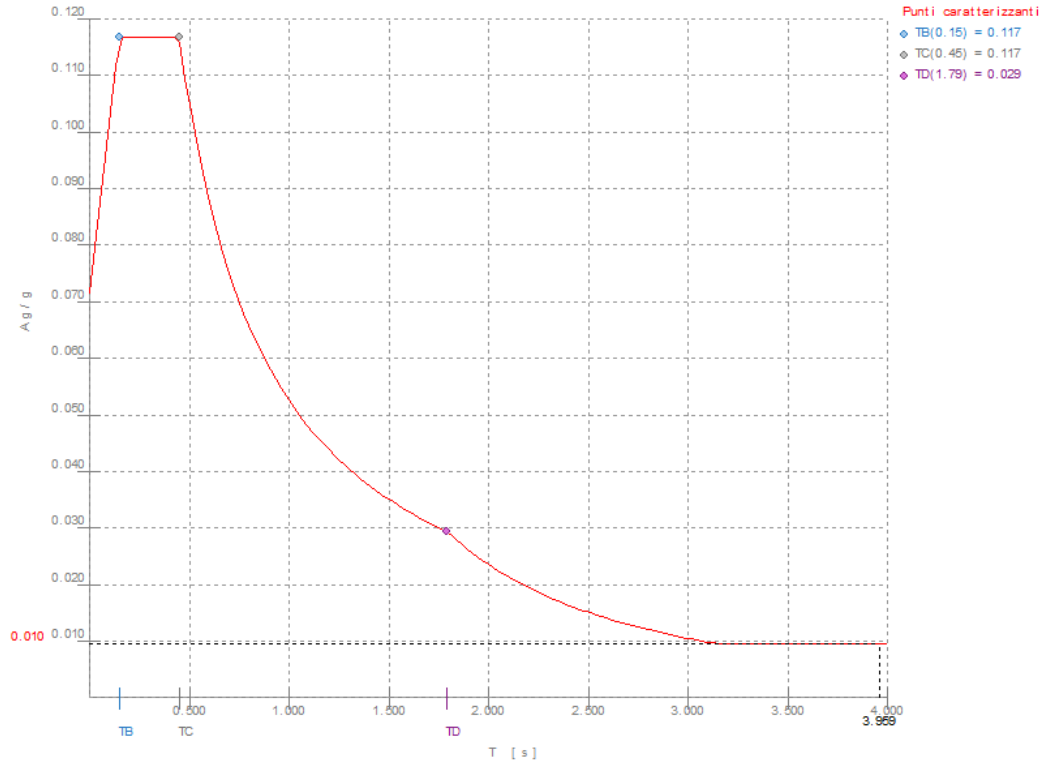
Si è infine provveduto a combinare gli effetti dell'analisi spettrale ai differenti stati limite con quelli provocati dalle forze equivalenti all'eccentricità accidentale.

Si riportano di seguito i diagrammi degli spettri:

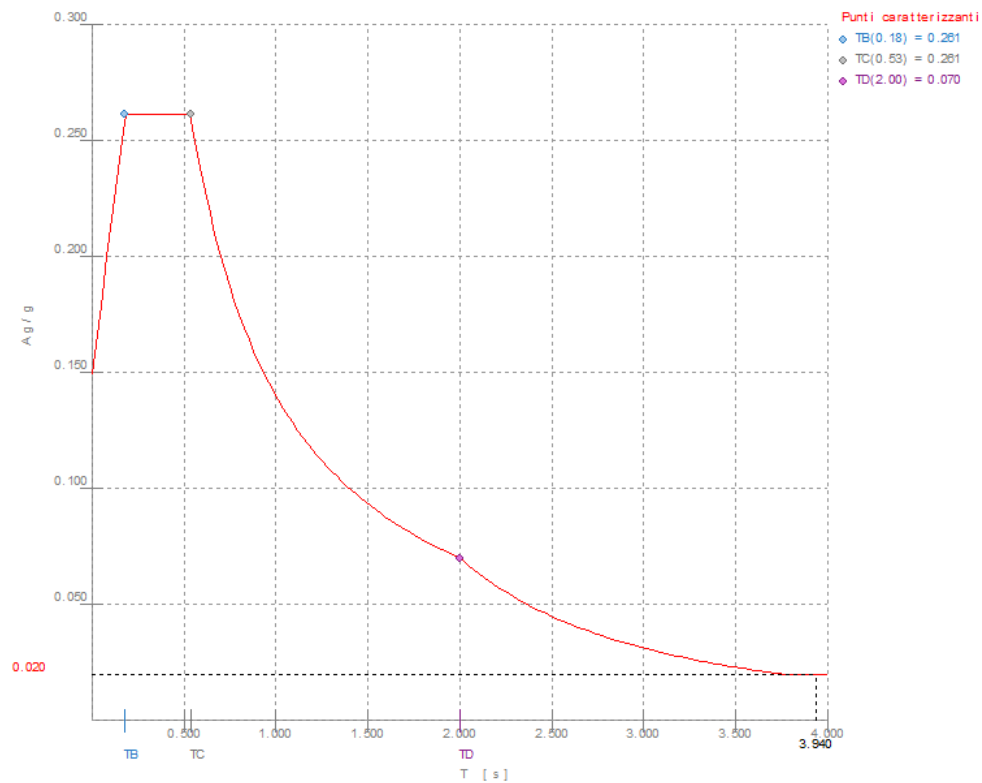


Fabbricato IS-PP/ACC - Tipologico Q - Relazione di calcolo

COMMESSA	LOTTO	CODIFICA	DOCUMENTO	REV.	FOGLIO
RS3T	30 D 26	CL	FA00Q0 001	B	26 di 103



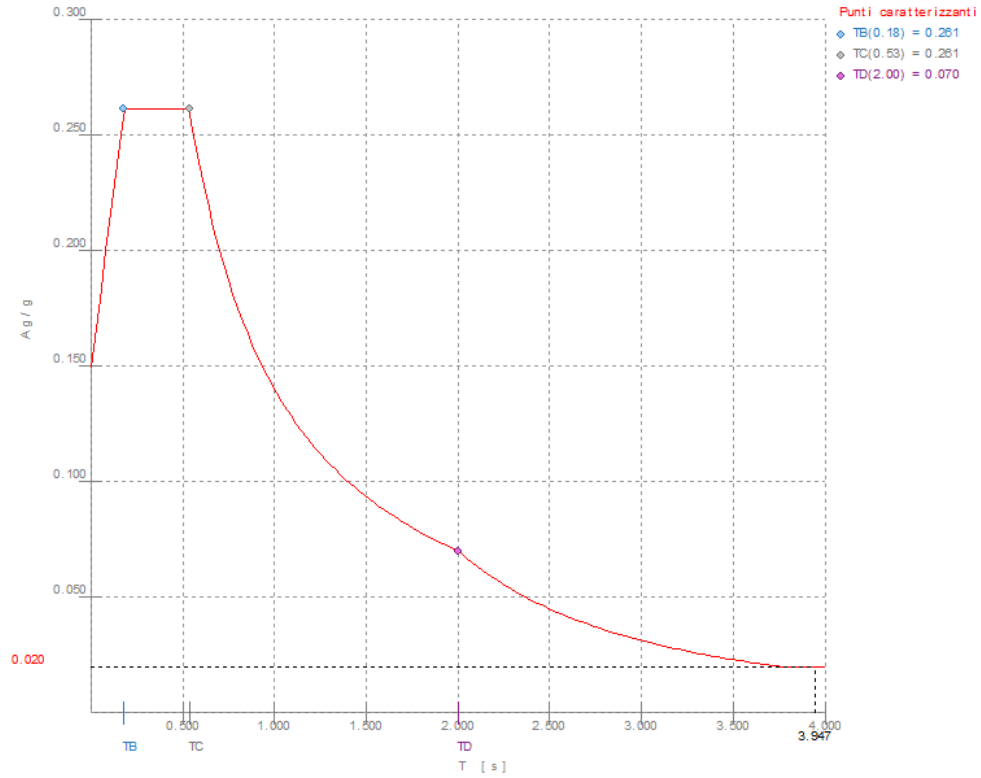
Spettro SLD



Spettro SLV

Fabbricato IS-PP/ACC - Tipologico Q - Relazione di calcolo

COMMESSA	LOTTO	CODIFICA	DOCUMENTO	REV.	FOGLIO
RS3T	30 D 26	CL	FA00Q0 001	B	27 di 103



Spettro SND

 ITALFERR GRUPPO FERROVIE DELLO STATO ITALIANE	DIRETTRICE FERROVIARIA MESSINA – CATANIA – PALERMO NUOVO COLLEGAMENTO PALERMO – CATANIA TRATTA LERCARA DIR – CALTANISSETTA XIRBI (LOTTO 3) FABBRICATI					
	Fabbricato IS-PP/ACC - Tipologico Q - Relazione di calcolo	COMMESSA	LOTTO	CODIFICA	DOCUMENTO	REV.
	RS3T	30 D 26	CL	FA00Q0 001	B	28 di 103

7 MODELLO STRUTTURALE E COMBINAZIONI DI CARICO

7.1 CONSIDERAZIONI GENERALI SUL MODELLO DI CALCOLO

Il sistema costruttivo che caratterizza il fabbricato tecnologico in c.a. è costituito, in elevazione, da un telaio spaziale realizzato mediante la rigida connessione di travi e pilastri, e in fondazione, da una platea.

Lo step del lavoro relativo al calcolo computazionale e alla definizione dell'output, in termini di caratteristiche di sollecitazione e deformazioni per i vari elementi strutturali, prevede un approccio preliminare basato sulla modellazione della struttura attraverso un processo di discretizzazione agli elementi finiti facendo riferimento ad un modello elastico.

La modellazione della struttura e la rielaborazione dei risultati del calcolo sono stati effettuati con il programma ModeSt versione 8.18 prodotto dalla Tecnisoft s.a.s. di Prato.

La struttura è stata calcolata utilizzando come solutore agli elementi finiti il programma Xfinest versione 2016 prodotto dalla Ce.A.S. S.r.l. di Milano.

Il programma ModeSt viene utilizzato per definire la geometria della struttura da analizzare, i carichi cui è sottoposta e le combinazioni di queste. A valle dell'elaborazione agli Elementi Finiti (sviluppata dall'X-Finest) il programma opera le verifiche sui singoli elementi analizzati, utilizzando dei criteri di verifica preventivamente impostati dal progettista, e comunque in linea con il dettato delle NTC 2018.

L'affidabilità del codice utilizzato è stata verificata sia effettuando il raffronto tra casi prova di cui si conoscono i risultati esatti sia esaminando le indicazioni, la documentazione ed i test forniti dal produttore stesso.

Gli elementi strutturali, travi e pilastri in elevazione e platea in fondazione, sono stati schematizzati mediante elementi monodimensionali tipo *frame*.

Essi presentano caratteristiche geometriche e meccaniche in accordo con le proprietà reali dei materiali e delle sezioni che li rappresentano.

Ciascuna asta è stata posizionata in corrispondenza dell'asse baricentrico degli elementi strutturali. L'interazione tra terreno e struttura è stata studiata ipotizzando un comportamento elastico del terreno.

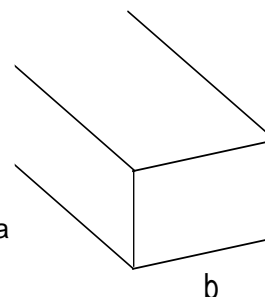
Per la modellazione del terreno si considera quindi la trave su suolo elastico, modellata con l'utilizzo di molle alla Winkler, aventi la seguente rigidezza (Vesic, 1965):

$$K = \frac{0.65E}{1-\nu^2} \sqrt[12]{\frac{Eb^4}{(EJ)_{fond}}}$$

E= **30000** kN/mq modulo elastico del terreno
 ν= **0,25** coeff. di Poisson

Platea di fondazione

b= **6** m dimensione trasversale platea
 h= **0,4** m altezza platea
 J= **0,032** m⁴ inerzia platea
 Rck= **30** Mpa
 Ec= **31220186** kN/mq modulo di elasticità cls



K= 28221 kN/mc modulo di reazione lineare sulla trave

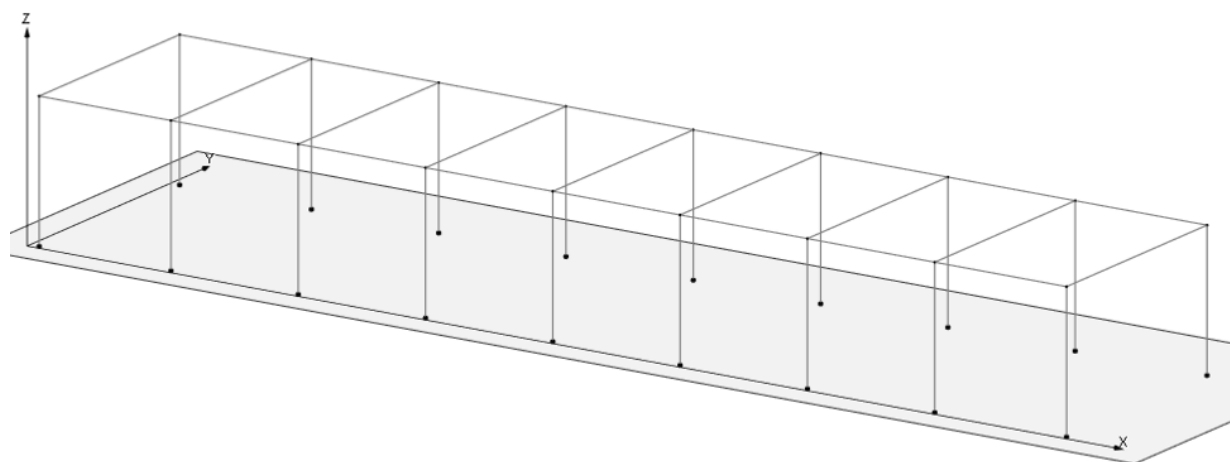
Tenendo conto del fatto che tutti gli edifici hanno una larghezza di circa 6 m, il calcolo riportato precedentemente risulta essere la condizione peggiore per tutti i tipologici degli edifici.

A favore di sicurezza si utilizza K=25000 kN/m³.

L'analisi degli effetti dovuti all'azione sismica prevede la definizione delle masse strutturali partecipanti all'eccitazione dinamica dovuta al terremoto. Pertanto nel modello le masse strutturali coincidono con i carichi caratteristici permanenti strutturali e non strutturali e con il 30% dei carichi di esercizio.

La presenza del solaio di copertura è stata modellata mediante un vincolo di diaframma al livello di copertura, oltre che con l'assegnazione dei carichi alle travi. L'assegnazione dei carichi alle travi è stata effettuata sulla base della tessitura dei solai secondo il criterio della larghezza d'influenza. Agli elementi in elevazione è stato assegnato un carico termico, pari a quello riportato nell'analisi dei carichi.

Seguono alcune immagini rappresentative del modello di calcolo.



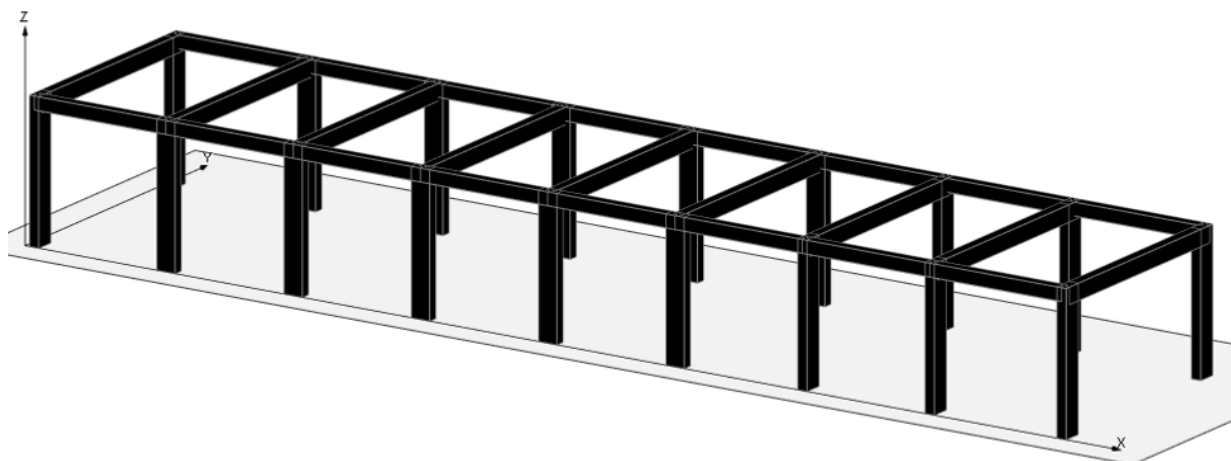


Figura 7.1-1 - Vista estrusa del modello.

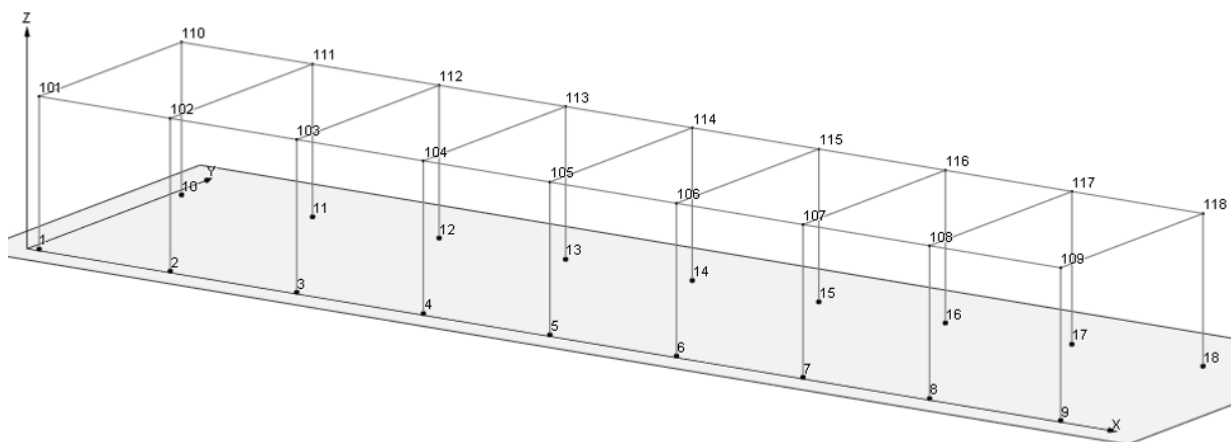


Figura 7.1-2 Numerazione nodi.

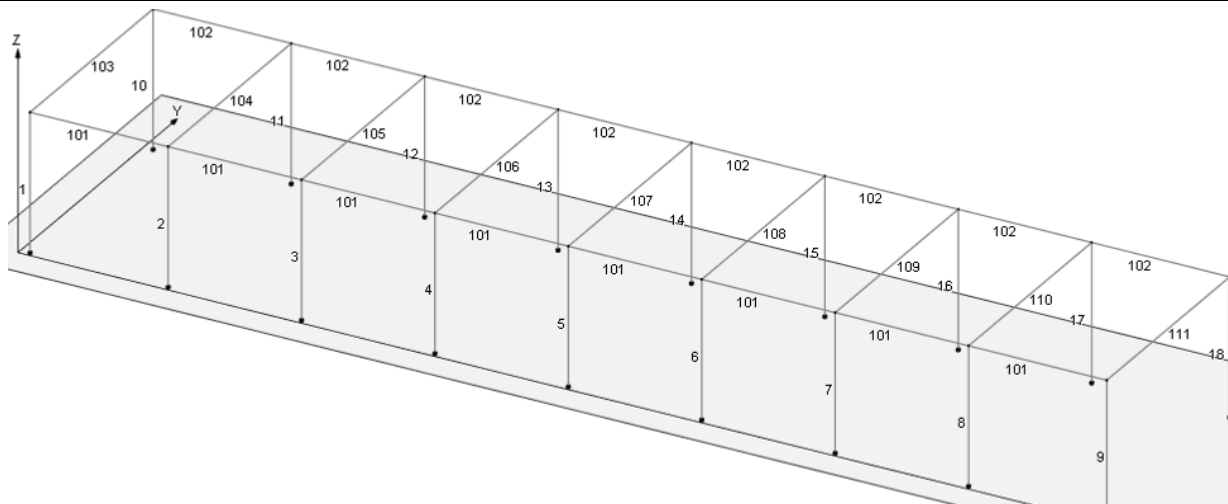


Figura 7.1-3 Numerazione aste.

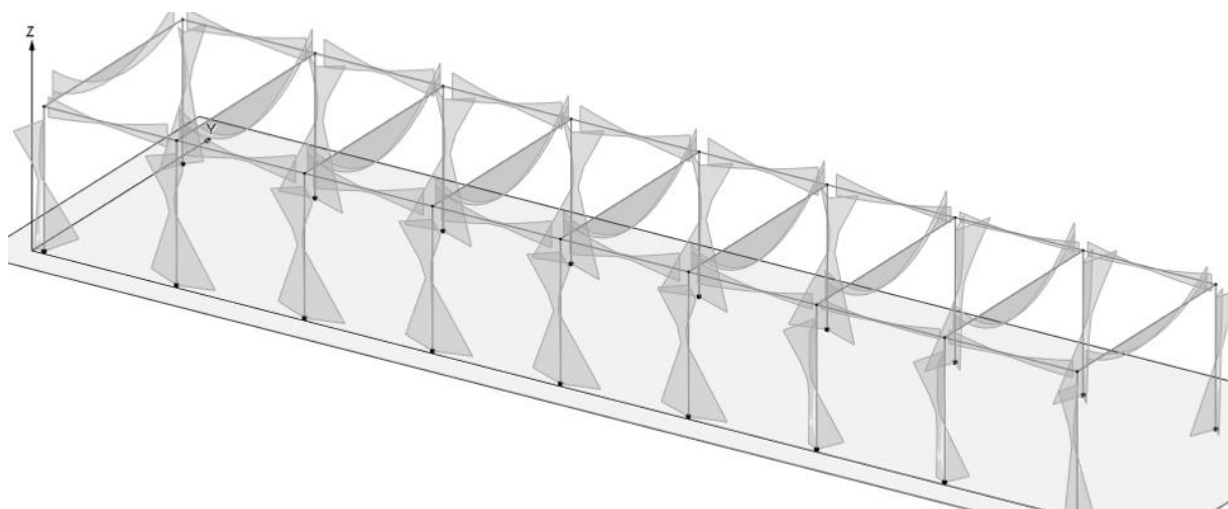


Figura 7.1-4 Diagramma dei momenti M_3 – COMB_INV_SLV_CC1.

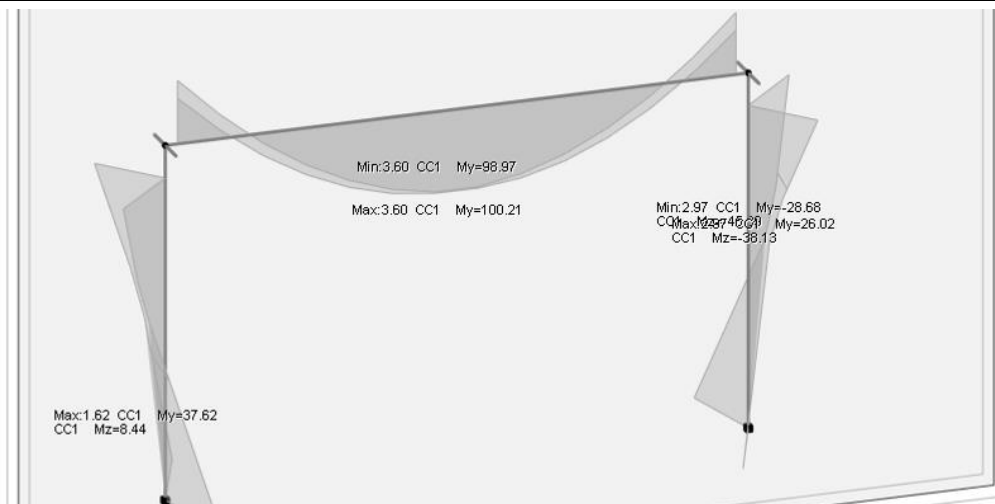


Figura 7.1-5 Diagramma dei momenti M3 - COMB_INV_SLV_CC1 – Telaio interno

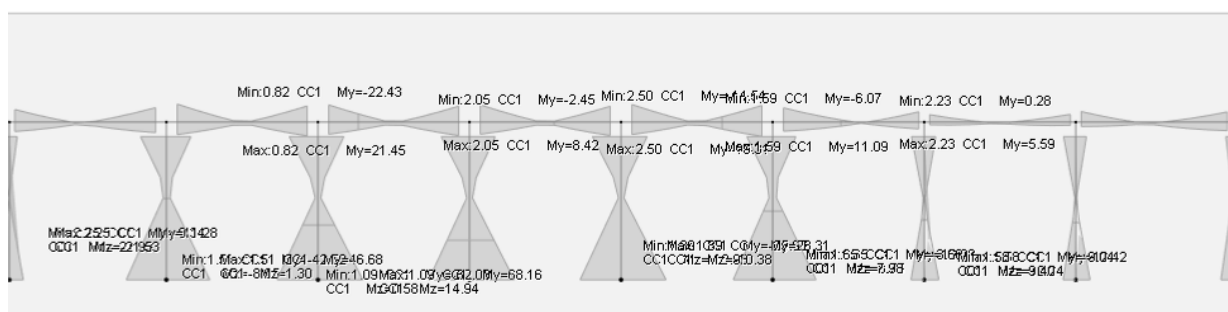


Figura 7.1-6 Diagramma dei momenti M3 – COMB_INV_SLV_CC1 – Telaio di bordo.

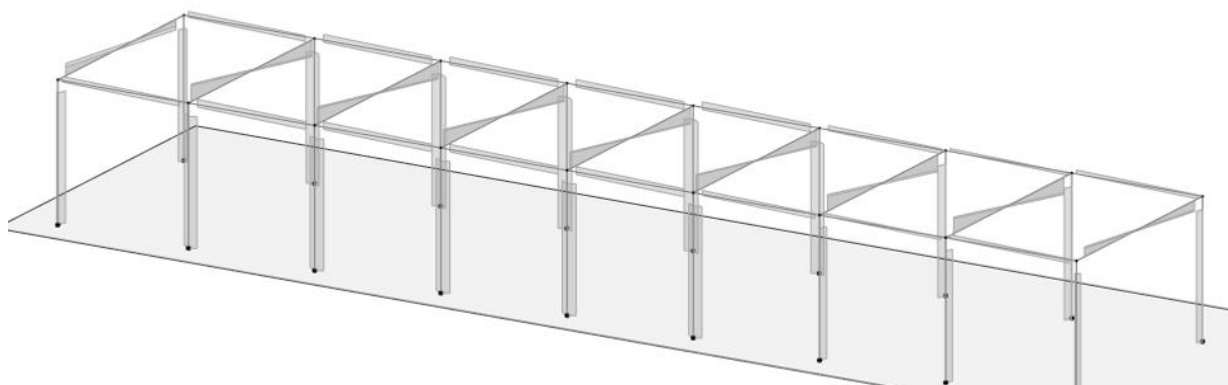


Figura 7.1-7 Diagramma del taglio V2 – COMB_INV_SLV_CC1.

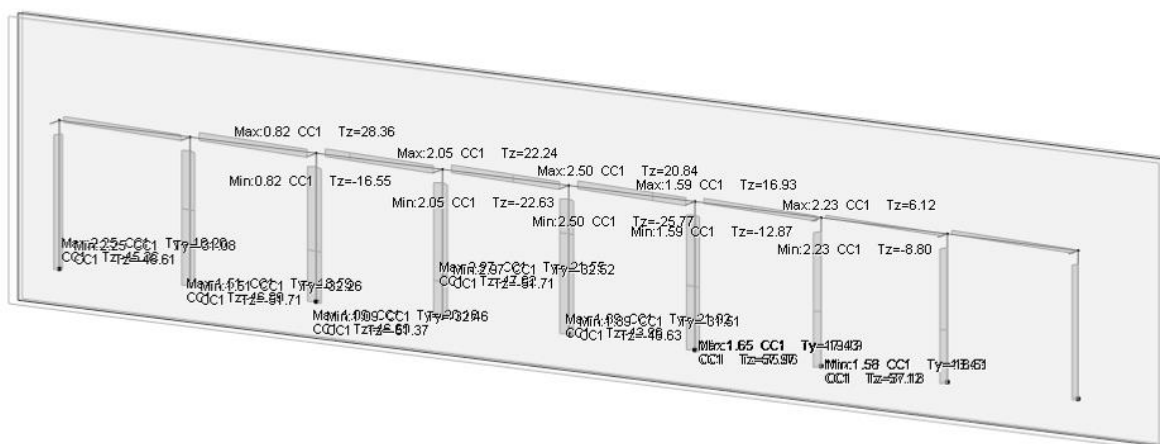


Figura 7.1-8 Diagramma del taglio V2 – COMB_INV_SLV_CC1 – Telaio di bordo

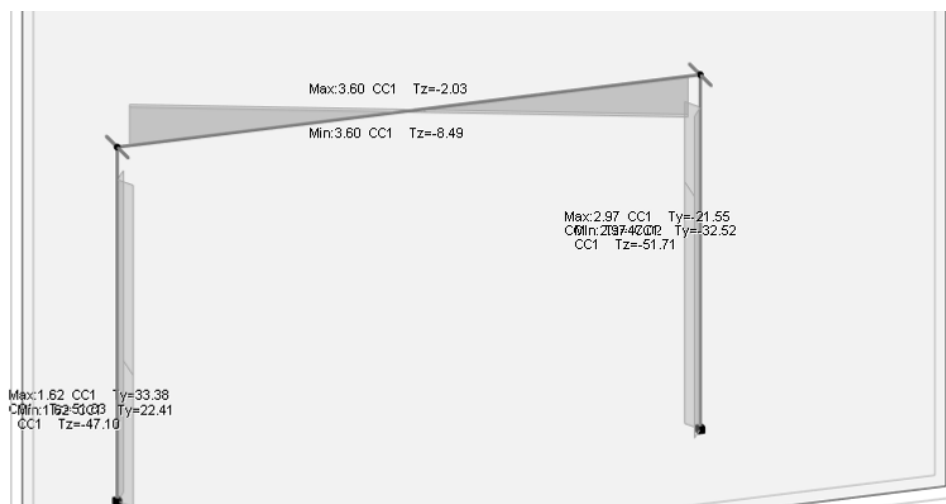


Figura 7.1-9 Diagramma del taglio V2 – COMB_INV_SLV_CC1 – Telaio interno

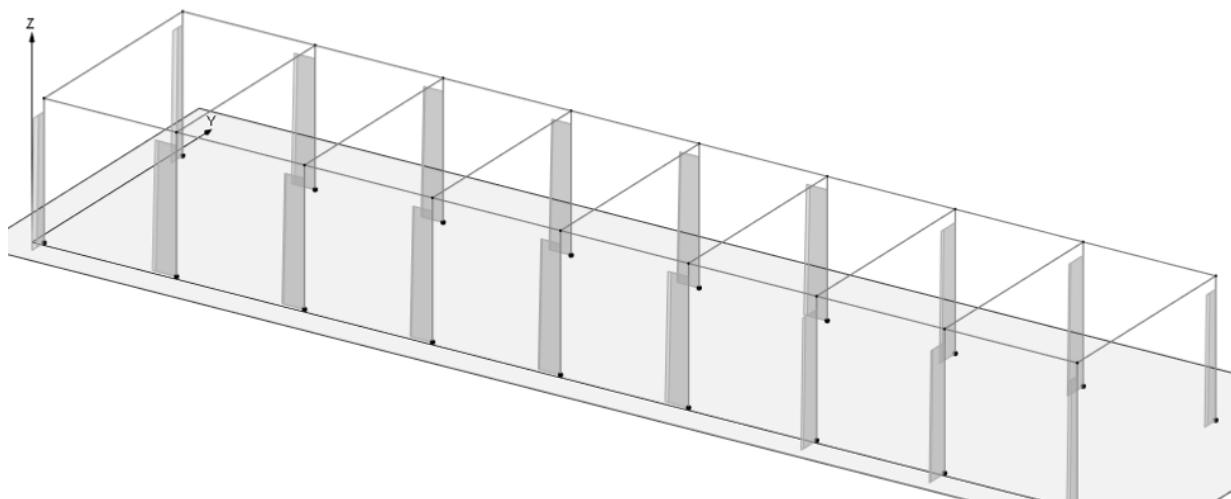


Figura 7.1-10 Diagramma dello sforzo assiale P – COMB_INV_SLV_CC1.

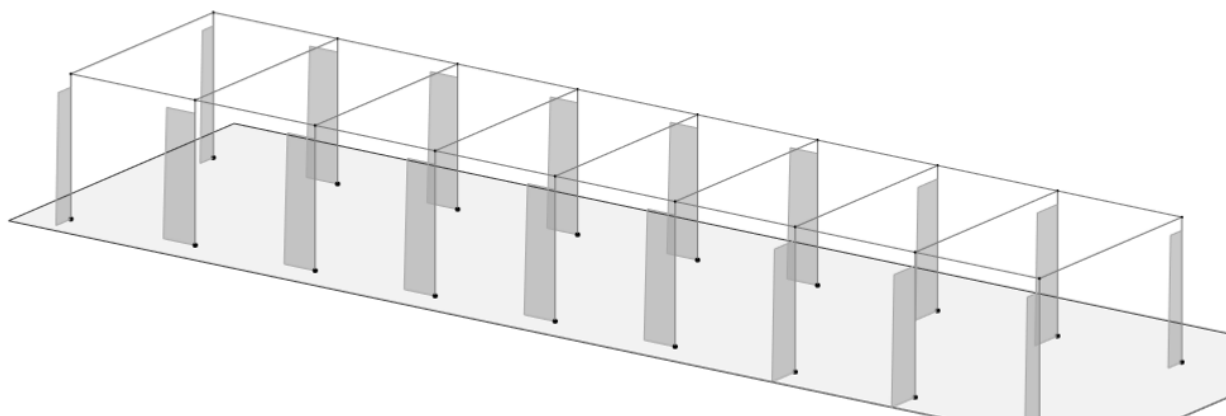


Figura 7.1-11 Diagramma dello sforzo assiale P – COMB_INV_SLU_CC29.

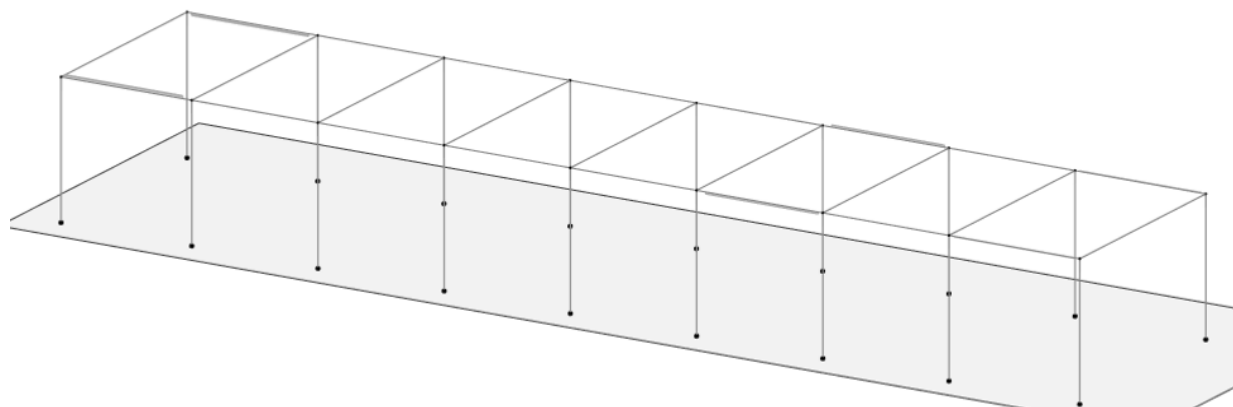


Figura 7.1-12 Diagramma della torsione T- COMB_INV_SLV.

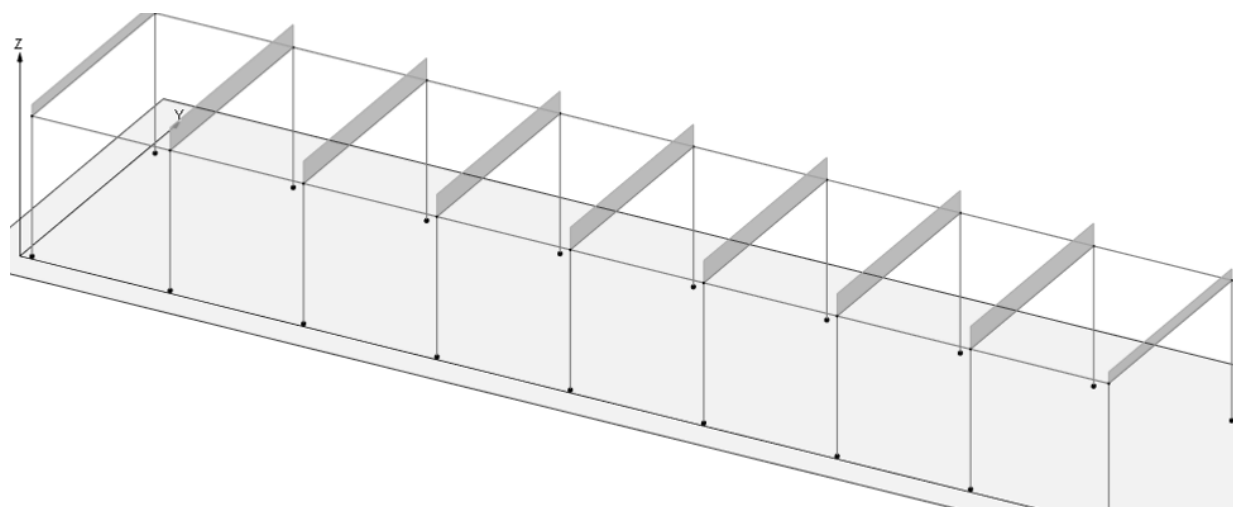


Figura 7.1-13 Schemi di carico - Permanenti solai

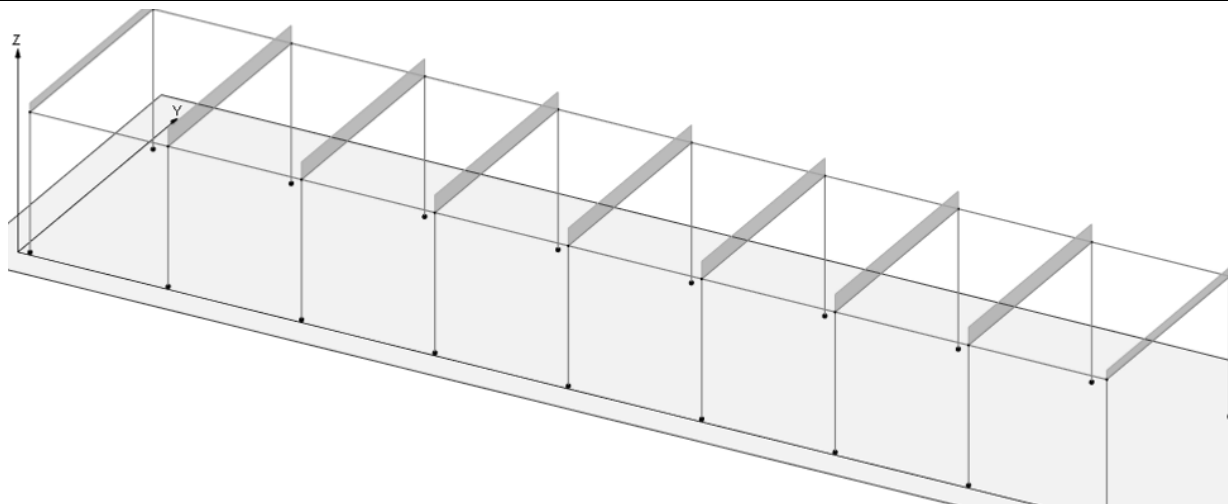


Figura 7.1-14 Schemi di carico - Permanenti portati solai

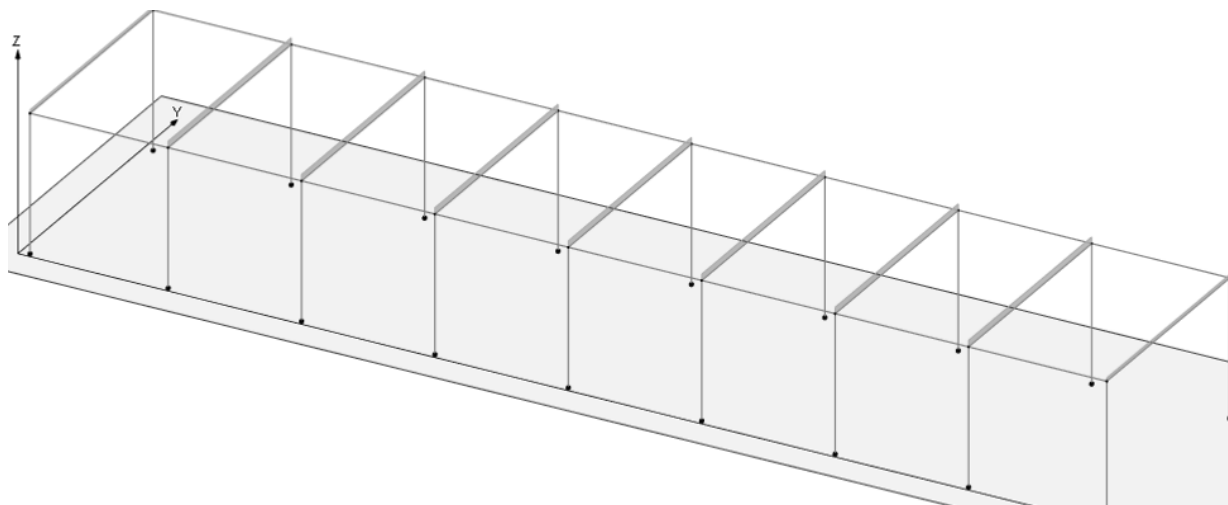


Figura 7.1-15 Schemi di carico - Accidentali copertura

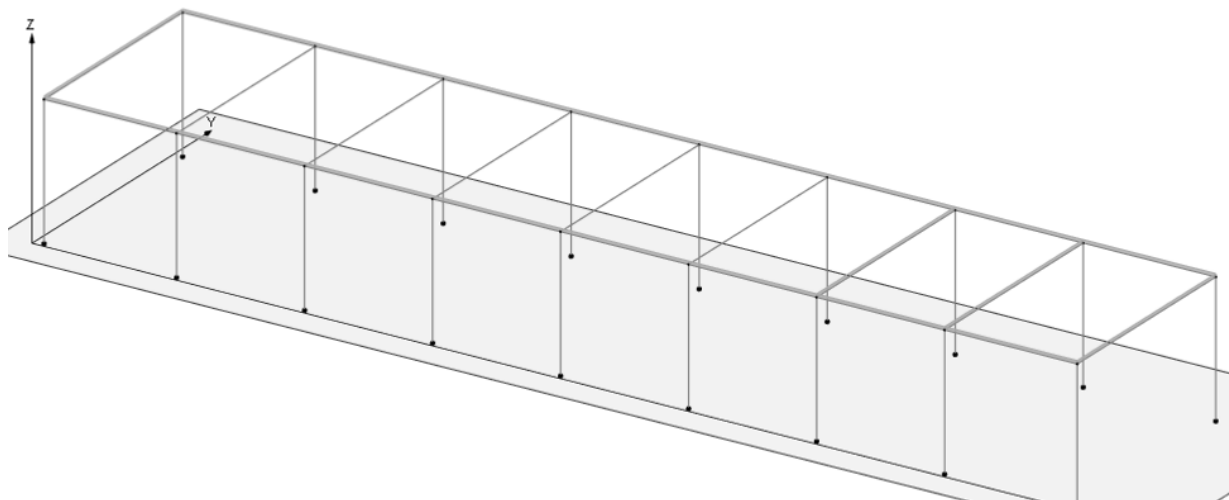


Figura 7.1-16 Schemi di carico - Tamponature

7.2 COMBINAZIONI DELLE AZIONI

Ai fini delle verifiche degli stati limite si definiscono le seguenti combinazioni delle azioni (2.5.3 – NTC2018).

- Combinazione fondamentale, generalmente impiegata per gli stati limite ultimi (SLU):

$$\gamma_{G1} \cdot G_1 + \gamma_{G2} \cdot G_2 + \gamma_P \cdot P + \gamma_{Q1} \cdot Q_{k1} + \gamma_{Q2} \cdot \psi_{02} \cdot Q_{k2} + \gamma_{Q3} \cdot \psi_{03} \cdot Q_{k3} + \dots$$

- Combinazione caratteristica (rara), generalmente impiegata per gli stati limite di esercizio (SLE) irreversibili:

$$G_1 + G_2 + P + Q_{k1} + \psi_{02} \cdot Q_{k2} + \psi_{03} \cdot Q_{k3} + \dots$$

- Combinazione caratteristica (frequente), generalmente impiegata per gli stati limite di esercizio (SLE) reversibili:

$$G_1 + G_2 + P + \psi_{11} \cdot Q_{k1} + \psi_{22} \cdot Q_{k2} + \psi_{23} \cdot Q_{k3} + \dots$$

- Combinazione caratteristica (quasi permanente), generalmente impiegata per gli effetti a lungo termine (SLE):

$$G_1 + G_2 + P + \psi_{21} \cdot Q_{k1} + \psi_{22} \cdot Q_{k2} + \psi_{23} \cdot Q_{k3} + \dots$$

- Combinazione sismica impiegata per gli stati limite ultimi e di esercizio connessi all'azione sismica E:

$$E + G_1 + G_2 + P + \psi_{21} \cdot Q_{k1} + \psi_{22} \cdot Q_{k2} + \dots$$

Dove:

- Azioni Permanenti (G);

- b) Azioni Variabili (Q);
- c) Azioni di Precompressione (P);
- d) Azioni Eccezionali (A);
- e) Azioni Sismiche (E);

Le combinazioni delle azioni che sono state adottate per lo SLU sono riportate nelle tabelle seguenti, indicando nella casella, corrispondente all'azione coinvolta, il moltiplicatore dei carichi in funzione della combinazione considerata. Per quanto riguarda le azioni aerodinamiche generate dal transito dei convogli, sono stati utilizzati coefficienti di combinazione Ψ riportati nella tabella 5.2.VI delle NTC2018.

Si precisa che, data la simmetria della struttura, si sono individuate le combinazioni delle azioni tali da risultare maggiormente gravose e sbilanciati per la costruzione in esame.

Per quanto concerne la combinazione delle altre azioni con l'azione sismica è necessario garantire il rispetto degli stati limite, quali definiti al punto 3.2.1 – NTC2018, effettuando opportune verifiche di sicurezza. Ciascuna di esse garantisce, per ogni stato limite, quindi per il corrispettivo livello di azione sismica, il raggiungimento di una data prestazione da parte della costruzione nel suo complesso. Le verifiche di sicurezza da effettuare sono riepilogate in funzione della classe d'uso nella tabella C7.1.I – Circolare2019. A riguardo, si evidenzia che le verifiche allo stato limite di collasso (SLC) devono essere eseguite necessariamente sulle sole costruzioni provviste di isolamento sismico.

- **Combinazioni di carico sismiche SLV SND SLO**

CC	Commento	TCC	An.	Bk	1	2	3	4	5	6	7	8	Mt	±S X	±S Y	^
1	Amb. 1 (SLU S) S M	SLV+SND	▼	L	1.00	1.00	1.00	0.00	1.00	0.00	0.00	0.00	1.00	1.00	0.30	
2	Amb. 1 (SLE) S Mt+	SLD	▼	L	1.00	1.00	1.00	0.00	1.00	0.00	0.00	0.00	1.00	1.00	0.30	
3	Amb. 1 (SLE) S Mt+	SLO	▼	L	1.00	1.00	1.00	0.00	1.00	0.00	0.00	0.00	1.00	1.00	0.30	
4	Amb. 1 (SLU S) S M	SLV+SND	▼	L	1.00	1.00	1.00	0.00	1.00	0.00	0.00	0.00	1.00	1.00	-0.30	
5	Amb. 1 (SLE) S Mt+	SLD	▼	L	1.00	1.00	1.00	0.00	1.00	0.00	0.00	0.00	1.00	1.00	-0.30	
6	Amb. 1 (SLE) S Mt+	SLO	▼	L	1.00	1.00	1.00	0.00	1.00	0.00	0.00	0.00	1.00	1.00	-0.30	
7	Amb. 1 (SLU S) S M	SLV+SND	▼	L	1.00	1.00	1.00	0.00	1.00	0.00	0.00	0.00	1.00	0.30	1.00	
8	Amb. 1 (SLE) S Mt+	SLD	▼	L	1.00	1.00	1.00	0.00	1.00	0.00	0.00	0.00	1.00	0.30	1.00	
9	Amb. 1 (SLE) S Mt+	SLO	▼	L	1.00	1.00	1.00	0.00	1.00	0.00	0.00	0.00	1.00	0.30	1.00	
10	Amb. 1 (SLU S) S M	SLV+SND	▼	L	1.00	1.00	1.00	0.00	1.00	0.00	0.00	0.00	1.00	-0.30	1.00	
11	Amb. 1 (SLE) S Mt-	SLD	▼	L	1.00	1.00	1.00	0.00	1.00	0.00	0.00	0.00	1.00	-0.30	1.00	
12	Amb. 1 (SLE) S Mt-	SLO	▼	L	1.00	1.00	1.00	0.00	1.00	0.00	0.00	0.00	1.00	-0.30	1.00	
13	Amb. 1 (SLU S) S -	SLV+SND	▼	L	1.00	1.00	1.00	0.00	1.00	0.00	0.00	0.00	-1.00	1.00	0.30	
14	Amb. 1 (SLE) S -Mt	SLD	▼	L	1.00	1.00	1.00	0.00	1.00	0.00	0.00	0.00	-1.00	1.00	0.30	
15	Amb. 1 (SLE) S -Mt	SLO	▼	L	1.00	1.00	1.00	0.00	1.00	0.00	0.00	0.00	-1.00	1.00	0.30	
16	Amb. 1 (SLU S) S -	SLV+SND	▼	L	1.00	1.00	1.00	0.00	1.00	0.00	0.00	0.00	-1.00	1.00	-0.30	
17	Amb. 1 (SLE) S -Mt	SLD	▼	L	1.00	1.00	1.00	0.00	1.00	0.00	0.00	0.00	-1.00	1.00	-0.30	
18	Amb. 1 (SLE) S -Mt	SLO	▼	L	1.00	1.00	1.00	0.00	1.00	0.00	0.00	0.00	-1.00	1.00	-0.30	
19	Amb. 1 (SLU S) S -	SLV+SND	▼	L	1.00	1.00	1.00	0.00	1.00	0.00	0.00	0.00	-1.00	0.30	1.00	
20	Amb. 1 (SLE) S -Mt	SLD	▼	L	1.00	1.00	1.00	0.00	1.00	0.00	0.00	0.00	-1.00	0.30	1.00	
21	Amb. 1 (SLE) S -Mt	SLO	▼	L	1.00	1.00	1.00	0.00	1.00	0.00	0.00	0.00	-1.00	0.30	1.00	
22	Amb. 1 (SLU S) S -	SLV+SND	▼	L	1.00	1.00	1.00	0.00	1.00	0.00	0.00	0.00	-1.00	-0.30	1.00	
23	Amb. 1 (SLE) S -Mt	SLD	▼	L	1.00	1.00	1.00	0.00	1.00	0.00	0.00	0.00	-1.00	-0.30	1.00	
24	Amb. 1 (SLE) S -Mt	SLO	▼	L	1.00	1.00	1.00	0.00	1.00	0.00	0.00	0.00	-1.00	-0.30	1.00	

- **Combinazioni di carico SLU SLE**

Fabbricato IS-PP/ACC - Tipologico Q - Relazione di calcolo

COMMESSA	LOTTO	CODIFICA	DOCUMENTO	REV.	FOGLIO
RS3T	30 D 26	CL	FA00Q0 001	B	39 di 103

25	Amb. 2 (SLU)	SLU	▼	L	▼	■	1.30	1.30	1.50	1.50	1.50	0.00	1.50	0.00	0.00	0.00	0.00
26	Amb. 2 (SLE R)	SLE R	▼	L	▼	■	1.00	1.00	1.00	1.00	1.00	0.00	1.00	0.00	0.00	0.00	0.00
27	Amb. 2 (SLE F)	SLE F	▼	L	▼	■	1.00	1.00	1.00	0.20	1.00	0.00	0.50	0.00	0.00	0.00	0.00
28	Amb. 2 (SLE Q)	SLE Q	▼	L	▼	■	1.00	1.00	1.00	0.00	1.00	0.00	0.00	0.00	0.00	0.00	0.00
29	Amb. 3 (SLU)	SLU	▼	L	▼	■	1.30	1.30	1.50	1.50	1.50	1.50	1.50	0.00	0.00	0.00	0.00
30		SLU	▼	L	▼	■	1.30	1.30	1.50	1.50	1.50	0.00	1.50	1.50	0.00	0.00	0.00
31	Amb. 3 (SLU)	SLU	▼	L	▼	■	1.30	1.30	1.50	1.50	1.50	0.90	1.50	0.00	0.00	0.00	0.00
32		SLU	▼	L	▼	■	1.30	1.30	1.50	1.50	1.50	0.00	1.50	0.90	0.00	0.00	0.00
33	Amb. 3 (SLE R)	SLE R	▼	L	▼	■	1.00	1.00	1.00	1.00	1.00	1.00	1.00	0.00	0.00	0.00	0.00
34		SLE R	▼	L	▼	■	1.00	1.00	1.00	1.00	1.00	0.00	1.00	1.00	0.00	0.00	0.00
35	Amb. 3 (SLE R)	SLE R	▼	L	▼	■	1.00	1.00	1.00	1.00	1.00	0.60	1.00	0.00	0.00	0.00	0.00
36		SLE F	▼	L	▼	■	1.00	1.00	1.00	1.00	1.00	0.00	1.00	0.60	0.00	0.00	0.00
37	Amb. 3 (SLE F)	SLE F	▼	L	▼	■	1.00	1.00	1.00	0.20	1.00	0.20	0.50	0.00	0.00	0.00	0.00
38		SLE F	▼	L	▼	■	1.00	1.00	1.00	0.20	1.00	0.00	0.50	0.20	0.00	0.00	0.00
39	Amb. 3 (SLE F)	SLE F	▼	L	▼	■	1.00	1.00	1.00	0.20	1.00	0.00	0.50	0.00	0.00	0.00	0.00
40	Amb. 3 (SLE Q)	SLE Q	▼	L	▼	■	1.00	1.00	1.00	0.00	1.00	0.00	0.00	0.00	0.00	0.00	0.00

- **Condizioni di carico elementari**

CCE	Commento	Tipo CCE	Sic.	Var.	Peso	C. A.	Dir.	Tipo	s	Mx	My	Mz	Jpx	Jpy	Jpz
1	Peso proprio	1 D.M. 18 Permanenti	a sfavore		<input checked="" type="checkbox"/>	P			1.00	1.0	1.0	0.0	0.0	0.0	1.0
2	Peso proprio solai	1 D.M. 18 Permanenti	a sfavore		<input type="checkbox"/>	QPS			1.00	1.0	1.0	0.0	0.0	0.0	1.0
3	Permanente solai	2 D.M. 18 Permanenti	a sfavore		<input type="checkbox"/>	QPN			1.00	1.0	1.0	0.0	0.0	0.0	1.0
4	Accidentali copertura	12 D.M. 18 Variabili N	a sfavore	di base	<input type="checkbox"/>	QA			1.00	1.0	1.0	0.0	0.0	0.0	1.0
5	Tamponature	2 D.M. 18 Permanenti	a sfavore		<input type="checkbox"/>				1.00	1.0	1.0	0.0	0.0	0.0	1.0
6	Vento X	11 D.M. 18 Variabili	a sfavore	ambigua	<input type="checkbox"/>		90	Massimizzata	1.00						
7	Variazione termica	10 D.M. 18 Variabili	a sfavore	di base	<input type="checkbox"/>				1.00	1.0	1.0	0.0	0.0	0.0	1.0
8	Vento Y	11 D.M. 18 Variabili	a sfavore	ambigua	<input type="checkbox"/>		90	Massimizzata	1.00						

7.3 ANALISI MODALE

L'analisi a spettro di risposta cerca la risposta più probabile alle equazioni di equilibrio dinamico associate alla risposta della struttura al moto del suolo. L'accelerazione del suolo dovuta ad un terremoto in ogni direzione viene espressa come una curva di spettro di risposta della pseudo-accellerazione spettrale in funzione del periodo della struttura.

Anche se le accelerazioni possono essere specificate in 3 direzioni, viene prodotto un unico risultato positivo per ciascuna quantità in risposta; le quantità in risposta comprendono spostamenti, forze e tensioni. Ciascun risultato calcolato rappresenta una misura statistica della grandezza più probabile di quella particolare quantità in risposta. È da attendersi che la vera risposta sia compresa in un intervallo che va dal valore positivo a quello negativo del valore trovato.

L'analisi a spettro di risposta viene eseguita usando la sovrapposizione dei modi, ricavati usando l'analisi agli autovettori. Per una data direzione di accelerazione, la risposta modale è calcolata su tutta la struttura per ciascuno dei modi di vibrazione: questi valori modali, per una data quantità in risposta, vengono combinati per produrre un unico risultato positivo per quella data direzione di accelerazione, usando il metodo CQC.

Si riportano nella tabella e nelle immagini seguenti i risultati dell'analisi modale condotta sulla struttura.

Fabbricato IS-PP/ACC - Tipologico Q - Relazione di calcolo

COMMESSA	LOTTO	CODIFICA	DOCUMENTO	REV.	FOGLIO
RS3T	30 D 26	CL	FA00Q0 001	B	40 di 103

Elenco modi di vibrare, masse partecipanti e coefficienti di partecipazione

Simbologia

Modo =Numero del modo di vibrare

C =* indica che il modo è stato considerato

T =Periodo

Diff. =Minima differenza percentuale dagli altri periodi

Φ_x =Coefficiente di partecipazione in dir. X

Φ_y =Coefficiente di partecipazione in dir. Y

Φ_z =Coefficiente di partecipazione in dir. Z

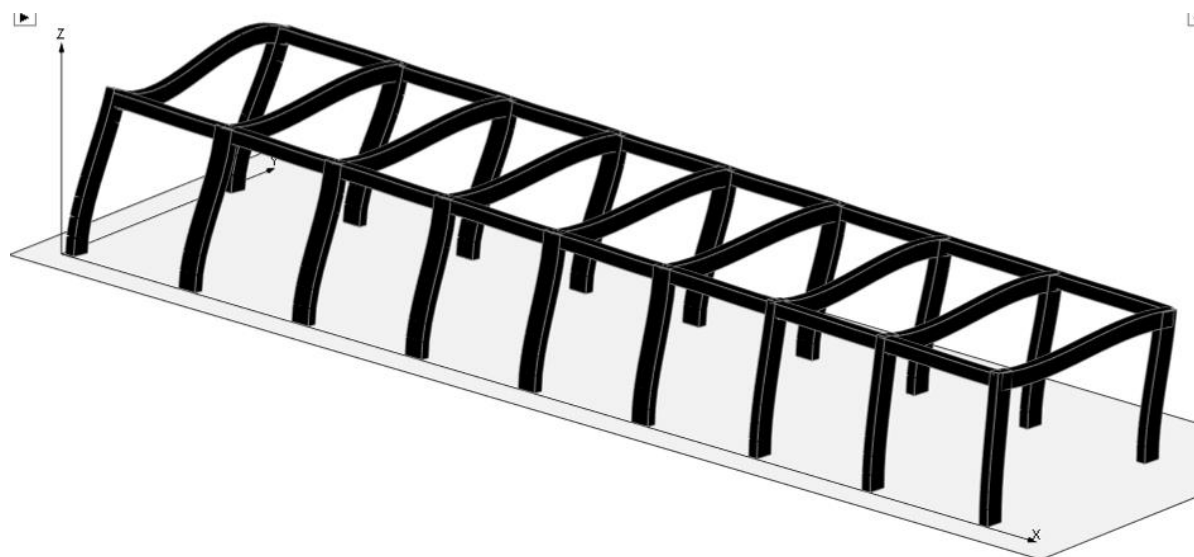
%Mx =Percentuale massa partecipante in dir. X

%My =Percentuale massa partecipante in dir. Y

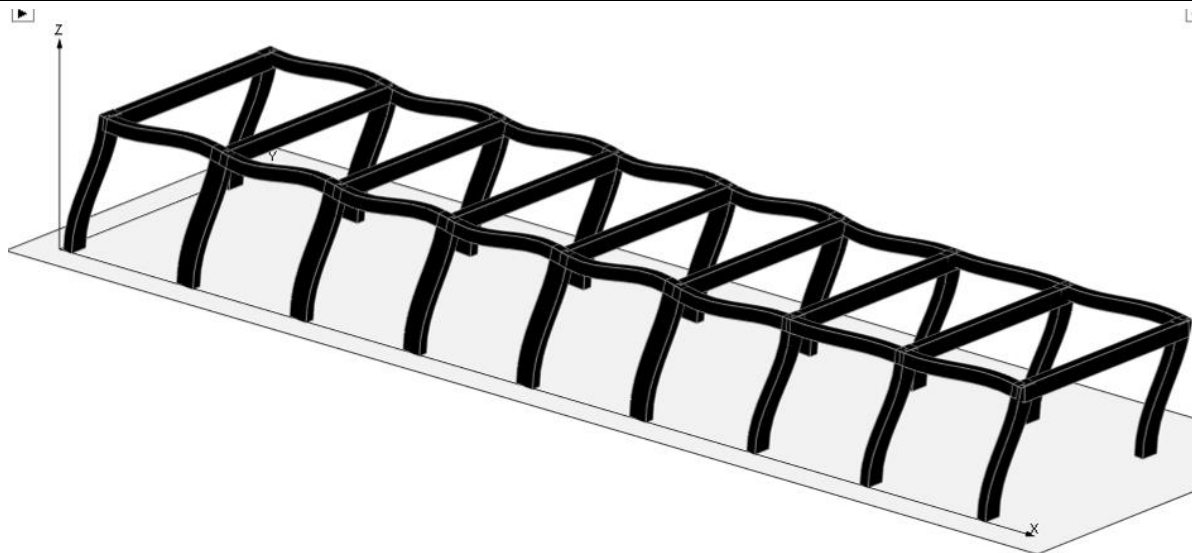
%Mz =Percentuale massa partecipante in dir. Z

%Jpz =Percentuale momento d'inerzia polare partecipante intorno all'asse Z

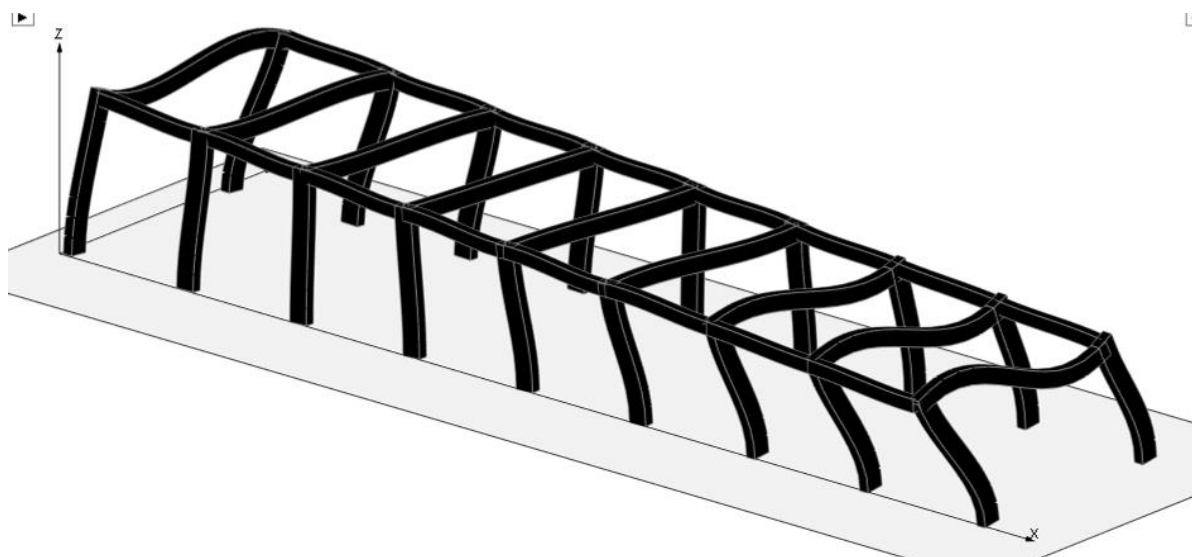
Modo	C	T	Diff.	Φ_x	Φ_y	Φ_z	%Mx	%My	%Mz	%Jpz
1*	0.23	17.88	0.00	144.15	0.00	0.00	0.00	91.15	0.00	8.85
2*	0.20	12.21	150.99	-0.00	0.00	100.00	0.00	0.00	0.00	0.00
3*	0.18	12.21	0.00	-44.93	0.00	0.00	0.00	8.85	0.00	91.15
Tot.cons.							100.00	100.00	0.00	100.00



Modo 1



Modo 2



Modo 3

8 VERIFICHE STRUTTURALI

Di seguito si riportano le verifiche relative agli elementi strutturali principali della struttura.

8.1 SOLAIO DI COPERTURA

Il solaio si considera, a vantaggio di sicurezza, come una trave semplicemente appoggiata, con campata di luce pari a $L = 4.35$ m.

Con riferimento all'analisi dei carichi, di seguito si riportano le caratteristiche di sollecitazioni significative. La verifica viene condotta in riferimento al singolo travetto (interasse $i = 0.54$ m).

Si considera agente il peso proprio dell'intero solaio, il carico della neve, il carico del vento ed il sovraccarico variabile. Lo schema è quello di trave semplicemente appoggiata per il dimensionamento della sezione in campata e di trave doppiamente incastrata per le sezioni di appoggio.

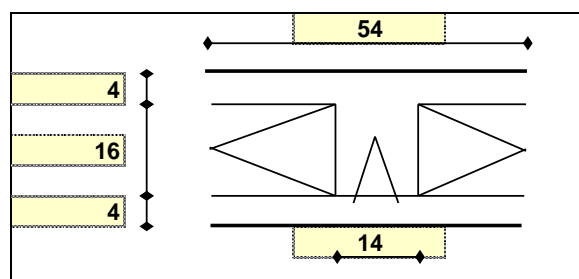
Verifica di SLU a flessione

Geometria

Misure in centimetri

Tipo di solaio

Con blocchi in POLISTIROLO



Controllo limiti geometrici

Luce massima consigliata (snellezza 25) (m)
Larghezza dei blocchi calcolata (cm)
Larghezza max dei blocchi in laterizio (cm)
Larghezza min. nervature per blocchi in laterizio (cm)
Interasse max nervature per blocchi in laterizio (cm)

L max	4,35
Largh.	40
Largh.	
b min	
i max	

Luci e carichi

Luci (m)
Peso proprio solaio calcolato (daN/mq.)
Peso proprio solaio adottato (daN/mq.)
Sovr. perm. compiutamente definiti (daN/mq.)
Sovr. perm. non-compiutamente definiti (daN/mq.)
Sovr. variabili (daN/mq.)
Carichi totali (daN/m)

L	4,35
p.p. calc	328
p.p.	328
g1	0
g2	260
q	95
tot	683

Momento d'incastro negativo alle due estremità

x sx	36	36	x dx
Mg1 sx	-93	-93	Mg1 dx
Mg2 sx	-74	-74	Mg2 dx
Mq sx	-27	-27	Mq dx
Mtot sx	-194	-194	Mtot dx

Categoria del carico variabile

Cat. H Coperture	ψ_0	0,0
	ψ_1	0,0
	ψ_2	0,0

Fabbricato IS-PP/ACC - Tipologico Q - Relazione di calcolo

COMMESSA	LOTTO	CODIFICA	DOCUMENTO	REV.	FOGLIO
RS3T	30 D 26	CL	FA00Q0 001	B	43 di 103

1: COMBINAZIONE ULTIMA

Momenti Max -

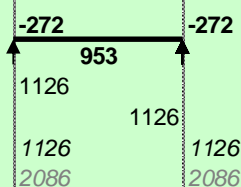
Momenti Max +

Tagli dx Max

Tagli sx Max

Reazioni Max

Reazioni Max per fascia di un metro



2: COMBINAZIONE RARA

Momenti Max -

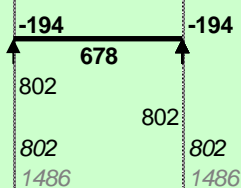
Momenti Max +

Tagli dx Max

Tagli sx Max

Reazioni Max

Reazioni Max per fascia di un metro



3: COMBINAZIONE QUASI PERMANENTE

Momenti Max -

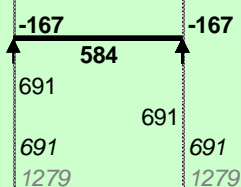
Momenti Max +

Tagli dx Max

Tagli sx Max

Reazioni Max

Reazioni Max per fascia di un metro



4: COMBINAZIONE FREQUENTE

Momenti Max -

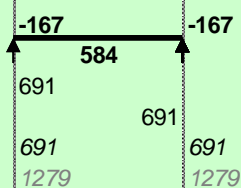
Momenti Max +

Tagli dx Max

Tagli sx Max

Reazioni Max

Reazioni Max per fascia di un metro



Materiali

Calcestruzzo

Classe C30/37

Acciaio

Tipo B450C

Dati geometrici

Diametro delle barre longitudinali superiori (mm)

φ 14 14

Diametro delle barre longitudinali inferiori (mm)

φ 14 14

Armatura appoggi

	ϕ	n.	n.	c
	-	-	-	2,0
sup.	$\phi 14$	1	1	2,0
inf.	$\phi 14$	1	1	2,0
	-	-	-	2,0

1: VERIFICHE IN COMBINAZIONE ULTIMA

mm	B	140	140
mm	H	240	240
mm	c	27	27
mm ²	As compr	154	154
mm ²	As tesa	154	154
MPa	fcd	17,40	17,40
MPa	fyd	391,3	391,3
N	Ned	0	0
Moment	Med	272	272
Moment	Mrd	1194	1194
fattore di sicurezza	f	4,39	4,39
Asse neutro (cm)	xc	3	3
Sforzo acciaio (daN/cm ²)	σ_s	3913	3913
Sforzo calcestruzzo (daN/cm ²)	σ_c	-172,4	-172,4
Deformazione acciaio	ϵ_s	1,000%	1,000%
Deformazione calcestruzzo	ϵ_c	-0,181%	-0,181%
Campo di rottura	n.	2	2
Ridistribuzione massima consentita	1- δ	0%	0%
Controllo	1- δ	si	si

2: VERIFICHE IN COMBINAZIONE RARA

	B	14	14
	d	21,30	21,30
	h'	2,7	2,7
	M	194	194
	As tesa	1,54	1,54
	As compr	1,54	1,54
	y	6,19	6,19
	Jci	6657	6657
	σ limite	3600	3600
	σ	660	660
fattore di sicurezza lato acciaio	f	5,45	5,45
	σ limite	184,3	184,3
	σ	18,0	18,0
fattore di sicurezza lato cls	f	10,22	10,22

3: VERIFICHE IN COMBINAZIONE QUASI PERMANENTE

	B	14	14
	d	21,30	21,30
	h'	2,7	2,7
	M	167	167
	As tesa	1,54	1,54
	As compr	1,54	1,54
	y	6,19	6,19
	Jci	6657	6657
	σ limite	138,2	138,2
	σ	15,5	15,5
fattore di sicurezza lato cls	f	8,91	8,91

Armatura campate

	ϕ	n .	c
	-	-	2,0
sup.	$\phi 14$	-	2,0
inf.	$\phi 14$	1	2,0
	-	-	2,0

1: VERIFICHE IN COMBINAZIONE ULTIMA

mm	B	540
mm	H	240
mm	c	27
mm ²	As compr	0
mm ²	As tesa	154
MPa	fcd	13,92
MPa	fyd	391,3
N	Ned	0
Momento sollecitante (daN*m)	Med	953
Momento resistente (daN*m)	Mrd	1241
fattore di sicurezza	f	1,30
Asse neutro (cm)	xc	2
Sforzo acciaio (daN/cm ²)	σ_s	3913
Sforzo calcestruzzo (daN/cm ²)	σ_c	-104,0
Deformazione acciaio	ϵ_s	1,000%
Deformazione calcestruzzo	ϵ_c	-0,099%
Campo di rottura	n.	2

2: VERIFICHE IN COMBINAZIONE RARA

	B	54
	d	21,3
	h'	0,0
	M	678
	As tesa	1,54
	As compr	0,00
	y	3,86
	Jci	8055
	σ limite	3600
	σ	2203
fattore di sicurezza lato acciaio	f	1,63
	σ limite	147,4
	σ	32,5
fattore di sicurezza lato cls	f	4,53

3: VERIFICHE IN COMBINAZIONE QUASI PERMANENTE

	B	54
	d	21,3
	h'	0,0
	M	584
	As tesa	1,54
	As compr	0,00
	y	3,86
	Jci	8055
	σ limite	110,6
	σ	28,0
fattore di sicurezza lato cls	f	3,95
	σ	1897

4: VERIFICHE IN COMBINAZIONE FREQUENTE

	σ	1897
--	----------	------

Verifica di SLU a taglio

La verifica a taglio si effettua considerando la larghezza effettiva del travetto centrale $b_w=13\text{cm}$.

La verifica di resistenza (SLU) si pone con

$$V_{Rd} \geq V_{Ed} \quad (4.1.13)$$

dove V_{Ed} è il valore di calcolo dello sforzo di taglio agente.

Con riferimento all'elemento fessurato da momento flettente, la resistenza al taglio si valuta con

$$V_{Rd} = \{0,18 \cdot k \cdot (100 \cdot \rho_1 \cdot f_{ck})^{1/3} / \gamma_c + 0,15 \cdot \sigma_{cp}\} \cdot b_w \cdot d \geq (v_{min} + 0,15 \cdot \sigma_{cp}) \cdot b_w \cdot d \quad (4.1.14)$$

con

$$k = 1 + (200/d)^{1/2} \leq 2$$

$$v_{min} = 0,035 k^{3/2} f_{ck}^{1/2}$$

e dove

d è l'altezza utile della sezione (in mm);

$\rho_1 = A_{s1} / (b_w \cdot d)$ è il rapporto geometrico di armatura longitudinale ($\leq 0,02$);

$\sigma_{cp} = N_{Ed} / A_c$ è la tensione media di compressione nella sezione ($\leq 0,2 f_{cd}$);

b_w è la larghezza minima della sezione (in mm).

Verifiche a taglio

	fck	307	
	b	140	
	d (mm)	213	
	k calc	1,97	
	k	1,97	
	v min	0,54	
	ρ_1 calc	0,0052	
	ρ_1	0,0052	
	VRd1	1770	
	VRd2	1598	
	ρ_1 calc	0,0052	
	ρ_1	0,0052	
	VRd1	1770	
	VRd2	1598	
2: con fasce piene e barre longitudinali tese	ϕ	n.	n.
	-	-	-
sup.	$\phi 14$	1	1
	-	-	-
inf.	$\phi 14$	1	1
	-	-	-
	Tagli resistenti sx (daN)	VRd	1770
	fascia piena (dall'asse dell'appoggio)	d1	-
	Tagli resistenti dx (daN)	VRd	1770
	fascia piena (dall'asse dell'appoggio)	d2	-

Verifica delle tensioni in esercizio

Si calcolano le massime tensioni sia nel calcestruzzo sia nelle armature; si deve verificare che tali tensioni siano inferiori ai massimi valori consentiti di seguito riportati.

La massima tensione di compressione del calcestruzzo σ_c , deve rispettare la limitazione seguente:

 ITALFERR GRUPPO FERROVIE DELLO STATO ITALIANE	DIRETTRICE FERROVIARIA MESSINA – CATANIA – PALERMO NUOVO COLLEGAMENTO PALERMO – CATANIA TRATTA LERCARA DIR – CALTANISSETTA XIRBI (LOTTO 3) FABBRICATI					
	Fabbricato IS-PP/ACC - Tipologico Q - Relazione di calcolo	COMMESSA	LOTTO	CODIFICA	DOCUMENTO	REV.
	RS3T	30 D 26	CL	FA00Q0 001	B	47 di 103

$\sigma_c < 0,60 f_{ck} = 16,80 \text{ N/mm}^2$ per combinazione caratteristica (rara);

Verifiche di fessurazione			
CONDIZ. AMBIENTALI ORDINARIE			
Appoggi			
	diametro armature superiori	ϕ	14
	combinazione frequente	σ_s	568
	comb. frequente CONDIZ. AMBIENTALI ORDINARIE	f	2,86
	combinazione quasi permanente	σ_s	568
	comb. quasi perm. CONDIZ. AMBIENTALI ORDINARIE	f	2,29
Campate			
	diametro armature inferiori	ϕ	14
	combinazione frequente	σ_s	1897
	comb. frequente CONDIZ. AMBIENTALI ORDINARIE	f	2,43
	combinazione quasi permanente	σ_s	1897
	comb. quasi perm. CONDIZ. AMBIENTALI ORDINARIE	f	1,91

Verifica di deformabilità

Il calcolo della deformazione flessionale di solai e travi si effettua in genere mediante integrazione delle curvature tenendo conto della viscosità del calcestruzzo e, se del caso, degli effetti del ritiro.

Per il calcolo delle deformazioni flessionali si considera lo stato non fessurato (sezione interamente reagente) per tutte le parti della struttura per le quali, nelle condizioni di carico considerate, le tensioni di trazione nel calcestruzzo non superano la sua resistenza media f_{ctm} a trazione. Per le altre parti si fa riferimento allo stato fessurato, potendosi considerare l'effetto irrigidente del calcestruzzo teso fra le fessure.

Al riguardo detto p_f il valore assunto dal parametro di deformazione nella membratura interamente fessurata e p il valore assunto da detto parametro nella membratura interamente reagente, il valore di calcolo p^* del parametro è dato da

$$p^* = \zeta * p_f + (1 - \zeta) * p$$

in cui:

$$\zeta = 1 - c\beta^2.$$

Nell'equazione precedente il fattore β è il rapporto tra il momento di fessurazione M_f e il momento flettente effettivo, $\beta = M_f / M$, o il rapporto tra la forza normale di fessurazione N_f e la forza normale effettiva, $\beta = N_f / N$, a seconda che la membratura sia soggetta a flessione o a trazione, e il coefficiente c assume il valore 1, nel caso di applicazione di un singolo carico di breve durata, o il valore 0,50 nel caso di carichi permanenti o per cicli di carico ripetuti.

Per quanto riguarda la salvaguardia dell'aspetto e della funzionalità dell'opera, le frecce a lungo termine di travi e solai, calcolate sotto la condizione quasi permanente dei carichi, non dovrebbero superare il limite di 1/250 della luce.

Si procede al calcolo considerando in favore di sicurezza il travetto centrale della predalle tipo, la cui rappresentazione grafica è riportata qui di seguito:

Verifiche di deformabilità

PER L'ASPETTO E LA FUNZIONALITA'

Coefficiente di viscosità (11.2.10.7)

$\phi(\text{inf})$ 1,6

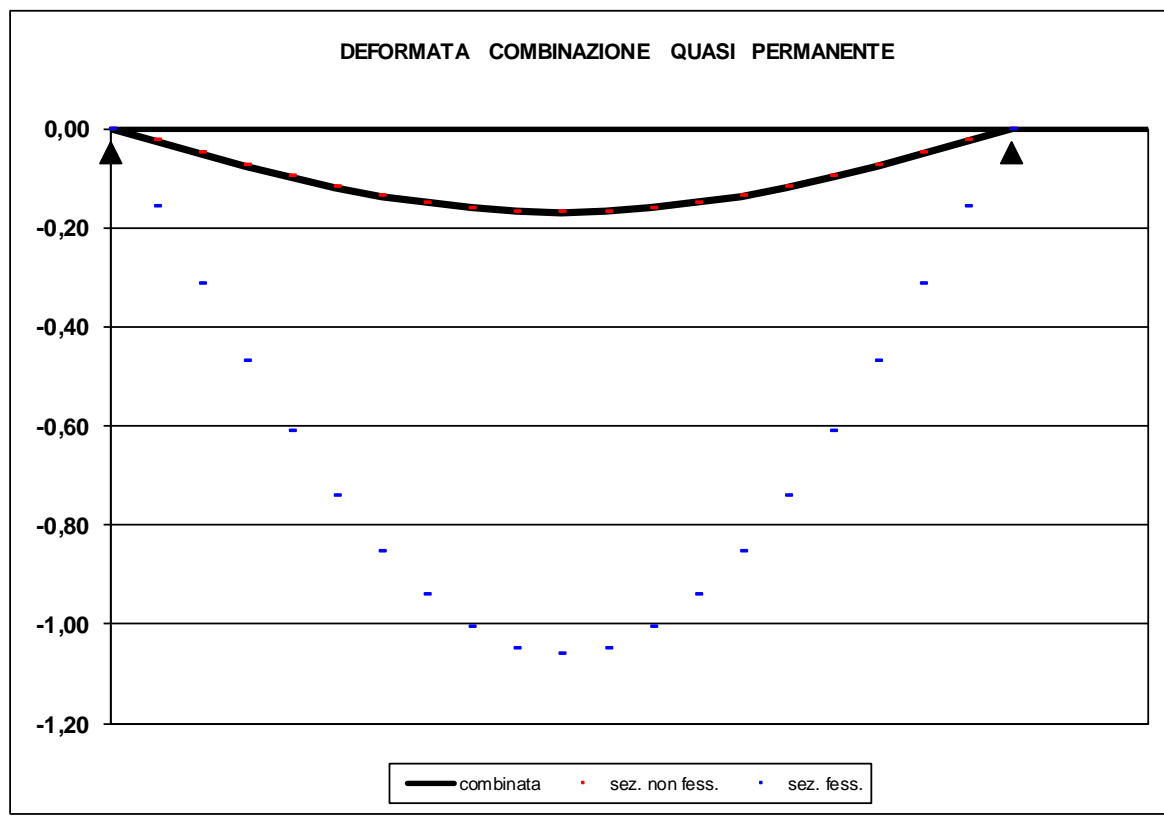
Freccia massima sez. non-fessurata (cm) f max 0,17

Freccia massima sez. fessurata (cm) f max 1,06

Freccia massima combinata (cm) f max 0,17

Freccia limite (cm) f lim 1,74

Fattore di sicurezza f 10,28



 ITALFERR GRUPPO FERROVIE DELLO STATO ITALIANE	DIRETTRICE FERROVIARIA MESSINA – CATANIA – PALERMO NUOVO COLLEGAMENTO PALERMO – CATANIA TRATTA LERCARA DIR – CALTANISSETTA XIRBI (LOTTO 3) FABBRICATI					
	Fabbricato IS-PP/ACC - Tipologico Q - Relazione di calcolo	COMMESSA RS3T	LOTTO 30 D 26	CODIFICA CL	DOCUMENTO FA00Q0 001	REV. B

8.2 VERIFICHE DEGLI ELEMENTI NON STRUTTURALI E DEGLI IMPIANTI

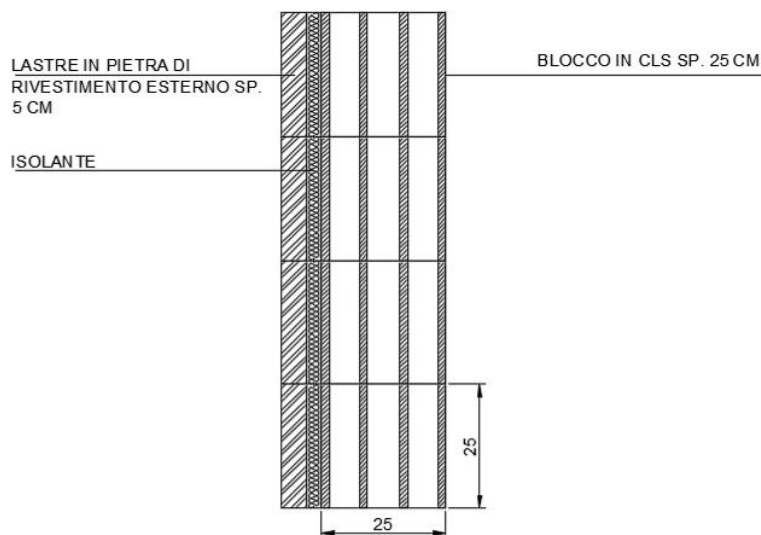
Al § 7.3.6 in Tab. 7.3.III le NTC 2018 specificano come per le costruzioni ricadenti in Classe d'Uso III sia necessario operare una verifica di stabilità per gli elementi NON Strutturali soggetti all'azione sismica valutata per lo SLV.

In particolare, secondo quanto riportato al § 7.3.6.2 della stessa norma, per gli elementi costruttivi senza funzione strutturale devono essere adottati magisteri atti ad evitare collassi fragili e prematuri e la possibile espulsione sotto l'azione della F_a (v. § 7.2.3) corrispondente allo SLV.

Considerando la stratigrafia della muratura esterna riportata in Figura 17.1, si assume che la funzione portante della parete sia svolta dal blocco in calcestruzzo prefabbricato interno, di spessore pari a 25 cm, il cui peso è pari a 350 Kg/m^2 , desunto da schede tecniche di alcuni prefabbricatori.

A questo si aggiunge il peso del rivestimento esterno in pietra di spessore 5 cm, dunque $P = 2000 \times 0.05 = 100 \text{ Kg/m}^2$, dell'intonaco interno, pari a 30 Kg/m^2 e dell'isolante, valutato in $p' = 20 \text{ Kg/m}^2$. Ai fini del calcolo il peso complessivo della tamponatura è pari a $W = 500 \text{ Kg/m}^2$.

Per garantire la resistenza dell'intero tamponamento alle azioni orizzontali, si prevede di inserire all'interno di questa muratura, ogni due corsi di forati, dei tralicci in acciaio inglobati nei letti di malta. Per solidarizzare la lastra di rivestimento esterna di spessore pari a 5 cm allo strato portante interno della parete, si prevede la disposizione di collegamenti puntuali diffusi.



La forza orizzontale F_a applicata sulla tamponatura può essere valutata con la seguente formula, riportata al § 7.2.3 della norma:

$$F_a = (S_a \cdot W_a) / q_a$$

in cui:

 ITALFERR GRUPPO FERROVIE DELLO STATO ITALIANE	DIRETTRICE FERROVIARIA MESSINA – CATANIA – PALERMO NUOVO COLLEGAMENTO PALERMO – CATANIA TRATTA LERCARA DIR – CALTANISSETTA XIRBI (LOTTO 3) FABBRICATI					
	Fabbricato IS-PP/ACC - Tipologico Q - Relazione di calcolo	COMMESSA RS3T	LOTTO 30 D 26	CODIFICA CL	DOCUMENTO FA00Q0 001	REV. B

Fa = forza sismica orizzontale distribuita o agente nel centro di massa dell'elemento non strutturale, nella direzione più sfavorevole, risultante delle forze distribuite proporzionali alla massa;

Wa = peso dell'elemento;

Sa = accelerazione massima, adimensionalizzata rispetto a quella di gravità, che l'elemento strutturale subisce durante il sisma e corrisponde allo stato limite in esame (v. § 3.2.1 NTC 2018)

qa = fattore di comportamento dell'elemento non strutturale.

In assenza di specifiche determinazioni, per Sa e qa si può fare utile riferimento a quanto riportato nella Circolare n.7/2019; in particolare, per il fattore di struttura qa si può assumere un valore pari a 2, valido per tramezzature e facciate (vedi Tabella C7.2.I), mentre per la definizione dell'accelerazione massima Sa si può ricorrere alle formulazioni semplificate valide per costruzioni con struttura a telai di seguito riportate.

$$S_a = \begin{cases} \alpha \cdot S \cdot \left(1 + \frac{Z}{H}\right) \cdot \left[\frac{a_p}{1 + (a_p - 1) \cdot \left(1 - \frac{T_a}{a \cdot T_1}\right)^2} \right] \geq \alpha \cdot S & \text{per } T_a < a \cdot T_1 \\ \alpha \cdot S \cdot \left(1 + \frac{Z}{H}\right) \cdot a_p & \text{per } a \cdot T_1 < T_a < b \cdot T_1 \\ \alpha \cdot S \cdot \left(1 + \frac{Z}{H}\right) \cdot \left[\frac{a_p}{1 + (a_p - 1) \cdot \left(1 - \frac{T_a}{b \cdot T_1}\right)^2} \right] \geq \alpha \cdot S & \text{per } T_a \geq b \cdot T_1 \end{cases}$$

In cui:

α = rapporto tra accelerazione massima del terreno ag su sottosuolo di tipo A da considerare per lo stato limite in esame e l'accelerazione di gravità g;

S = coefficiente che tiene conto della categoria di sottosuolo e delle condizioni topografiche secondo quanto riportato nel § 3.2.3.2.1 delle NTC 2018;

Ta = periodo fondamentale di vibrazione dell'elemento non strutturale;

T1 = periodo fondamentale di vibrazione dell'edificio nella direzione considerata;

Z = quota del baricentro dell'elemento non strutturale misurata a partire dal piano di fondazione;

H = altezza della costruzione misurata a partire dal piano di fondazione.

a, b, ap = parametri definiti in accordo con il primo periodo di vibrazione della costruzione T1, vedi Tab. C7.2.II della circolare.

Di seguito si riportano i calcoli effettuati per la tamponatura esterna più estesa dell'edificio, che rappresenta il caso più gravoso, essendo la parete in esame caratterizzata da specchiatura e massa

maggiori. Si assume pertanto di poter estendere le considerazioni seguenti anche alle restanti tipologie di pareti presenti all'interno dell'edificio.

PROGETTO TAMPONATURA

DATI TAMPONATURA

H=	3,25	m	altezza tamponature
z=	1,625	m	quota baricentro
s=	25	cm	spessore blocco
L=	6,5	m	interasse tra due pilastri
W=	500	kg/m ²	peso specifico blocco muratura, intonaco interno e rivestimento esterno
W _{tamponatura} =	10562,5	kg	peso complessivo tamponatura (al netto delle aperture)
E=	20000	N/mm ²	modulo elastico muratura
J=Ls ³ /12=	8463541667	mm ⁴	momento d'inerzia muratura
K=3EJ/H ³ =	14792,899	N/mm	rigidezza
Ta=2π*√(m/k)=	0,1679	s	periodo d'oscillazione della tamponatura T = 2P (m/K) ^{0.5}

DATI SISMICI

α=ag/g=	0,112		accelerazione su suolo di tipo A
F ₀ =	2,645		
S _s =	1,50		suolo C
St=	1,00		categoria topografica T1
S=S _s *St=	1,50		
T1=	0,375	s	Periodo fondamentale struttura nella direzione considerata
q=	2		Fattore di comportamento per tamponature
a=	0,8		Parametro a da tab. C7.2.II - Circ. n. 7 del 21/01/2019
b=	1,4		Parametro a da tab. C7.2.II - Circ. n. 7 del 21/01/2019
ap=	5		Parametro a da tab. C7.2.II - Circ. n. 7 del 21/01/2019
aT1	0,3	s	
bT1	0,525	s	

PROGETTO (C7.2.II Circolare 7 NTC 2018)

Sa=	0,222	Accelerazione elemento non strutturale
Fh=W*Sa/q=	11,70 KN	Forza sismica complessiva agente sulla tamponatura
interasse armature	0,38 m	interasse armature orizzontali
FH i	4,45 KN	Forza sismica orizzontale agente sul traliccio i-esimo
MED = Fh x H / 8	3,61 KNxm	Momento flettente orizzontale
Interasse i=	6,5 m	Interasse tra i pilastri
Z	1,625 m	Altezza baricentro tamponatura dal piano di fondaz.
H	5,1 m	Altezza complessiva costruzione

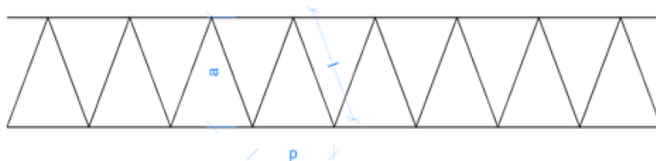
MOMENTO RESISTENTE TRALICCIO

fyk	450 N/mm ²	
g _s	1,15	
fyd	391,30 N/mm ²	
a orizz	250 mm	
∅ orizz	8 mm	
A _{res}	50,27 mm ²	
M _{RD}	4,92 KNxm	
F.S. M _{RD} /M _{ED}	1,361 >	1,00

CALCOLO INCIDENZA ARMATURA TRALICCI A METRO QUADRO DI PARETE

∅	8 mm	Diametro armatura traliccio
a	250 mm	Larghezza traliccio orizzontale
p	150 mm	Passo armatura diagonale traliccio
l	261 mm	Lunghezza diagonale traliccio
L _{TOT_1m}	5480 mm	Lunghezza diagonale barre di acciaio in un metro di traliccio
A _{s_TOT_1m}	275,46 mm ²	Area di acciaio componente un metro di singolo traliccio
W _{s_TOT_1m}	2,16 kg/m	Peso di acciaio componente un metro di singolo traliccio
W _{s_TOT}	5,69 kg/m ²	Peso di acciaio presente in un metro quadrato di parete (ipotizzando di disporre un traliccio ogni due corsi di muratura)

Schema traliccio inserito nei letti di malta delle tamponature



8.3 TRAVI DI BORDO 30X40

Si riportano di seguito le verifiche strutturali della trave di bordo avente sezione rettangolare di dimensioni 30x40 cm. Le verifiche saranno condotte per i differenti stati limite ed in corrispondenza delle sezioni maggiormente sollecitate dell'elemento per effetto della combinazioni di carico più gravose.

Di seguito si riportano le tabelle delle sollecitazioni più gravose ottenute allo SLU (statico e sismico) e agli SLE (Rara, Frequente e Quasi Permanente):

CC	TCC	X <m>	N <kN>	Ty <kN>	Mz <kNm>	Tz <kN>	My <kNm>	Mx <kNm>
25	SLU	0.15	-1485870	0.000	0.000	12089	-4234	11711
25	SLU	1.90	-1485870	0.000	0.000	0.046	6356	11711
25	SLU	4.05	-1485870	0.000	0.000	-14821	-9562	11711
29	SLU	0.15	-1485870	0.000	0.000	12585	-5129	10342
29	SLU	1.97	-1485870	0.000	0.000	0.041	6349	10342
29	SLU	4.05	-1485870	0.000	0.000	-14325	-8520	10342
30	SLU	0.15	-1485870	0.000	0.000	15840	-10624	11711
30	SLU	2.45	-1485870	0.000	0.000	0.000	7558	11711
30	SLU	4.05	-1485870	0.000	0.000	-11070	-1321	11711
31	SLU	0.15	-1485870	0.000	0.000	12387	-4771	10890
31	SLU	1.94	-1485870	0.000	0.000	0.033	6347	10890
31	SLU	4.05	-1485870	0.000	0.000	-14523	-8937	10890
32	SLU	0.15	-1485870	0.000	0.000	14340	-8068	11711
32	SLU	2.23	-1485870	0.000	0.000	0.000	6833	11711
32	SLU	4.05	-1485870	0.000	0.000	-12570	-4618	11711
25	SLU	0.30	-1485870	0.000	0.000	12676	-7842	0.658
25	SLU	2.14	-1485870	0.000	0.000	-0.000	3801	0.658
25	SLU	3.90	-1485870	0.000	0.000	-12164	-6920	0.658
29	SLU	0.30	-1485870	0.000	0.000	13348	-9063	0.509
29	SLU	2.23	-1485870	0.000	0.000	0.000	3849	0.509
29	SLU	3.90	-1485870	0.000	0.000	-11492	-5721	0.509
30	SLU	0.30	-1485870	0.000	0.000	18650	-18754	0.658
30	SLU	3.00	-1485870	0.000	0.000	0.000	6451	0.658
30	SLU	3.90	-1485870	0.000	0.000	-6190	3675	0.658
31	SLU	0.30	-1485870	0.000	0.000	13079	-8575	0.568
31	SLU	2.20	-1485870	0.000	0.000	-0.000	3822	0.568
31	SLU	3.90	-1485870	0.000	0.000	-11761	-6201	0.568
32	SLU	0.30	-1485870	0.000	0.000	16261	-14389	0.658
32	SLU	2.65	-1485870	0.000	0.000	0.023	4770	0.658

Fabbricato IS-PP/ACC - Tipologico Q - Relazione di calcolo

COMMESSA	LOTTO	CODIFICA	DOCUMENTO	REV.	FOGLIO
RS3T	30 D 26	CL	FA00Q0 001	B	54 di 103

32	SLU	3.90	-1485870	0.000	0.000	-8579	-0.563	0.658
----	-----	------	----------	-------	-------	-------	--------	-------

CC	TCC	X <m>	N <kN>	Ty <kN>	Mz <kNm>	Tz <kN>	My <kNm>	Mx <kNm>
26	SLE R	0.15	-990582	0.000	0.000	8759	-3067	8418
26	SLE R	1.90	-990582	0.000	0.000	0.033	4605	8418
26	SLE R	4.05	-990582	0.000	0.000	-10741	-6931	8418
33	SLE R	0.15	-990582	0.000	0.000	9090	-3663	7506
33	SLE R	1.97	-990582	0.000	0.000	0.015	4600	7506
33	SLE R	4.05	-990582	0.000	0.000	-10410	-6236	7506
34	SLE R	0.15	-990582	0.000	0.000	11260	-7326	8418
34	SLE R	2.40	-990582	0.000	0.000	0.000	5352	8418
34	SLE R	4.05	-990582	0.000	0.000	-8240	-1437	8418
35	SLE R	0.15	-990582	0.000	0.000	8958	-3425	7871
35	SLE R	1.94	-990582	0.000	0.000	0.023	4599	7871
35	SLE R	4.05	-990582	0.000	0.000	-10542	-6514	7871
26	SLE R	0.30	-990582	0.000	0.000	9186	-5684	0.474
26	SLE R	2.14	-990582	0.000	0.000	-0.000	2754	0.474
26	SLE R	3.90	-990582	0.000	0.000	-8814	-5014	0.474
33	SLE R	0.30	-990582	0.000	0.000	9634	-6497	0.375
33	SLE R	2.23	-990582	0.000	0.000	-0.000	2784	0.375
33	SLE R	3.90	-990582	0.000	0.000	-8366	-4214	0.375
34	SLE R	0.30	-990582	0.000	0.000	13169	-12958	0.474
34	SLE R	2.93	-990582	0.000	0.000	0.000	4383	0.474
34	SLE R	3.90	-990582	0.000	0.000	-4831	2049	0.474
35	SLE R	0.30	-990582	0.000	0.000	9455	-6172	0.415
35	SLE R	2.19	-990582	0.000	0.000	-0.000	2768	0.415
35	SLE R	3.90	-990582	0.000	0.000	-8545	-4534	0.415

CC	TCC	X <m>	N <kN>	Ty <kN>	Mz <kNm>	Tz <kN>	My <kNm>	Mx <kNm>
27	SLE F	0.15	-495291	0.000	0.000	8740	-3035	7544
27	SLE F	1.89	-495291	0.000	0.000	0.034	4603	7544
27	SLE F	4.05	-495291	0.000	0.000	-10760	-6975	7544
36	SLE F	0.15	-990582	0.000	0.000	10260	-5623	8418
36	SLE F	2.20	-990582	0.000	0.000	0.000	4904	8418
36	SLE F	4.05	-990582	0.000	0.000	-9240	-3635	8418
37	SLE F	0.15	-495291	0.000	0.000	8806	-3154	7362
37	SLE F	1.91	-495291	0.000	0.000	0.014	4600	7362

Fabbricato IS-PP/ACC - Tipologico Q - Relazione di calcolo

COMMESSA	LOTTO	CODIFICA	DOCUMENTO	REV.	FOGLIO
RS3T	30 D 26	CL	FA00Q0 001	B	55 di 103

37	SLE F	4.05	-495291	0.000	0.000	-10694	-6836	7362
38	SLE F	0.15	-495291	0.000	0.000	9240	-3886	7544
38	SLE F	1.99	-495291	0.000	0.000	0.029	4651	7544
38	SLE F	4.05	-495291	0.000	0.000	-10260	-5876	7544
39	SLE F	0.15	-495291	0.000	0.000	8740	-3035	7544
39	SLE F	1.89	-495291	0.000	0.000	0.034	4603	7544
39	SLE F	4.05	-495291	0.000	0.000	-10760	-6975	7544
27	SLE F	0.30	-495291	0.000	0.000	9192	-5697	0.426
27	SLE F	2.14	-495291	0.000	0.000	0.000	2752	0.426
27	SLE F	3.90	-495291	0.000	0.000	-8808	-5007	0.426
36	SLE F	0.30	-990582	0.000	0.000	11576	-10049	0.474
36	SLE F	2.61	-990582	0.000	0.000	0.032	3351	0.474
36	SLE F	3.90	-990582	0.000	0.000	-6424	-0.776	0.474
37	SLE F	0.30	-495291	0.000	0.000	9281	-5859	0.406
37	SLE F	2.16	-495291	0.000	0.000	-0.000	2755	0.406
37	SLE F	3.90	-495291	0.000	0.000	-8719	-4847	0.406
38	SLE F	0.30	-495291	0.000	0.000	9988	-7152	0.426
38	SLE F	2.30	-495291	0.000	0.000	-0.000	2825	0.426
38	SLE F	3.90	-495291	0.000	0.000	-8012	-3594	0.426
39	SLE F	0.30	-495291	0.000	0.000	9192	-5697	0.426
39	SLE F	2.14	-495291	0.000	0.000	0.000	2752	0.426
39	SLE F	3.90	-495291	0.000	0.000	-8808	-5007	0.426

CC	TCC	X <m>	N <kN>	Ty <kN>	Mz <kNm>	Tz <kN>	My <kNm>	Mx <kNm>
28	SLE Q	0.15	0.000	0.000	0.000	8735	-3026	7325
28	SLE Q	1.89	0.000	0.000	0.000	0.034	4603	7325
28	SLE Q	4.05	0.000	0.000	0.000	-10765	-6986	7325
40	SLE Q	0.15	0.000	0.000	0.000	8735	-3026	7325
40	SLE Q	1.89	0.000	0.000	0.000	0.034	4603	7325
40	SLE Q	4.05	0.000	0.000	0.000	-10765	-6986	7325
28	SLE Q	0.30	0.000	0.000	0.000	9193	-5700	0.414
28	SLE Q	2.14	0.000	0.000	0.000	-0.000	2751	0.414
28	SLE Q	3.90	0.000	0.000	0.000	-8807	-5005	0.414
40	SLE Q	0.30	0.000	0.000	0.000	9193	-5700	0.414
40	SLE Q	2.14	0.000	0.000	0.000	-0.000	2751	0.414
40	SLE Q	3.90	0.000	0.000	0.000	-8807	-5005	0.414

 ITALFERR GRUPPO FERROVIE DELLO STATO ITALIANE	DIRETTRICE FERROVIARIA MESSINA – CATANIA – PALERMO NUOVO COLLEGAMENTO PALERMO – CATANIA TRATTA LERCARA DIR – CALTANISSETTA XIRBI (LOTTO 3) FABBRICATI					
	Fabbricato IS-PP/ACC - Tipologico Q - Relazione di calcolo	COMMESSA RS3T	LOTTO 30 D 26	CODIFICA CL	DOCUMENTO FA00Q0 001	REV. B

8.3.1 Verifica a flessione

Si riportano di seguito le verifiche a flessione, in corrispondenza della sezione d'appoggio e della sezione di campata (convenzione sui segni: compressione negativa (-), momento flettente che tende le fibre superiori negativo (-)).

In funzione delle sollecitazioni si è dimensionata opportunamente l'armatura longitudinale delle travi:

1) Zone d'appoggio:

- Armatura superiore 3 Φ 16
- Armatura inferiore 3 Φ 16

2) Campata:

- Armatura superiore 3 Φ 16
- Armatura inferiore 3 Φ 16

In aggiunta, fuori calcolo, andranno disposti 2 Φ 12 come ferri di parete.

Le verifiche di resistenza a flessione allo SLU ed agli SLE (NTC2018 – 4.1.2.1.2.4) per le sezioni di appoggio e di campata sono state condotte con il supporto del MODEST considerando le sollecitazioni riportate nel prospetto precedente.

Essendo la sezione armata in maniera simmetrica in campata ed in appoggio si esegue la verifica di una sola sezione in cui le sollecitazioni calcolate in appoggio sono invertite di segno.

Travata n. 102

Nodi: 110 111 112 113 114 115 116 117 118

Simbologia

Caso	= Caso di verifica
Xg	= Coordinata progressiva (dal primo nodo) in cui viene effettuato il progetto/verifica
CC	= Combinazione delle condizioni di carico elementari
	c = momento fittizio in campata
	a = momento fittizio agli appoggi
	TG = taglio da gerarchia delle resistenze
	TGND = taglio non dissipativo limitante la gerarchia
	T = momento traslato per taglio
	e = eccentricità aggiuntiva in caso di compressione o pressoflessione
TCC	= Tipo di combinazione di carico
	SLU = Stato limite ultimo
	SLU S = Stato limite ultimo (azione sismica)
	SLE R = Stato limite d'esercizio, combinazione rara
	SLE F = Stato limite d'esercizio, combinazione frequente
	SLE Q = Stato limite d'esercizio, combinazione quasi permanente
	SLD = Stato limite di danno
	SLV = Stato limite di salvaguardia della vita
	SLC = Stato limite di prevenzione del collasso

Fabbricato IS-PP/ACC - Tipologico Q - Relazione di calcolo

COMMESSA	LOTTO	CODIFICA	DOCUMENTO	REV.	FOGLIO
RS3T	30 D 26	CL	FA00Q0 001	B	57 di 103

SLO = Stato limite di operatività

SLU I = Stato limite di resistenza al fuoco

SND = Stato limite di salvaguardia della vita (non dissipativo)

E1 = Elemento (asta) in cui viene effettuato il progetto/verifica (progressivo sul numero di aste)

Sez. = Numero della sezione

Crit. = Numero del criterio di progetto

X = Coordinata progressiva rispetto al nodo iniziale

AfE S = Area di ferro effettiva totale presente nel punto di verifica, superiore

AfE I = Area di ferro effettiva totale presente nel punto di verifica, inferiore

AfEP S = Area di ferro effettiva parziale presente nella CC considerata, per la sollecitazione indicata, superiore

AfEP I = Area di ferro effettiva parziale presente nella CC considerata, per la sollecitazione indicata, inferiore

My = Momento flettente intorno all'asse Y

M'ydy = Momento resistente massimo in campo sostanzialmente elastico intorno all'asse Y

MRdy = Momento resistente allo stato limite ultimo intorno all'asse Y

Sic. = Sicurezza a rottura

σ_{dd} = Tensione di distacco della fibra di estremità (modo I)

$\Delta\%$ = Incremento percentuale sicurezza

σ_s sup = Tensione nel ferro - superiore

σ_s inf = Tensione nel ferro - inferiore

σ_c = Tensione nel calcestruzzo

X0 = Coordinata progressiva (dal nodo iniziale) dell'inizio del tratto

X1 = Coordinata progressiva (dal nodo iniziale) della fine del tratto

Lung. = Lunghezza del tratto di progettazione

Staff. = Staffatura adottata

AfE St. = Area di ferro effettiva della staffatura (d'anima per travi a T o L)

bw = Larghezza membratura resistente al taglio

Vsdu = Taglio agente nella direzione del momento ultimo

ctg θ = Cotangente dell'angolo di inclinazione dei puntoni di calcestruzzo

VRsd = Taglio ultimo lato armatura

VRcd = Taglio ultimo lato calcestruzzo

Vrdu = Taglio ultimo assorbibile dal solo calcestruzzo

Sic.T = Sicurezza a rottura per taglio

c = Ricoprimento dell'armatura

s = Distanza minima tra le barre

K3 = Coefficiente di forma del diagramma delle tensioni prima della fessurazione

s_{sm} = Distanza media tra le fessure

Φ = Diametro della barra

A_s = Area complessiva dei ferri nell'area di calcestruzzo efficace

$A_{c\ eff}$ = Area di calcestruzzo efficace

σ_s = Tensione nell'acciaio nella sezione fessurata

σ_{sr} = Tensione nell'acciaio corrispondente al raggiungimento della resistenza a trazione nel calcestruzzo

ϵ_{sm} = Deformazione unitaria media dell'armatura (*1000)

Wk = Apertura delle fessure

Tipo = Tipologia

2C = Doppia C lato labbri

2Cdx = Doppia C lato costola

2I = Doppia I

2L = Doppia L lato labbri

2Ldx = Doppia L lato costole

C = Sezione a C

Cdx = C destra

Cir. = Circolare

Cir.c = Circolare cava

I = Sezione a I

L = Sezione a L

Ldx = L destra

Fabbricato IS-PP/ACC - Tipologico Q - Relazione di calcolo

COMMESSA	LOTTO	CODIFICA	DOCUMENTO	REV.	FOGLIO
RS3T	30 D 26	CL	FA00Q0 001	B	58 di 103

Om. = Omega
Pg = Pi greco
Pr = Poligono regolare
Prc = Poligono regolare cavo
Pc = Per coordinate
Ia = Inerzie assegnate
R = Rettangolare
Rc = Rettangolare cava
T = Sezione a T
U = Sezione a U
Ur = U rovescia
V = Sezione a V
Vr = V rovescia
Z = Sezione a Z
Zdx = Z destra
Ts = T stondata
Ls = L stondata
Cs = C stondata
Is = I stondata
Dis. = Disegnata

B = Base
H = Altezza
Cf sup = Copriferro superiore
Cf inf = Copriferro inferiore
Cls = Tipo di calcestruzzo
Fck = Resistenza caratteristica cilindrica a compressione del calcestruzzo
Fctk = Resistenza caratteristica a trazione del calcestruzzo
Fcd = Resistenza di calcolo a compressione del calcestruzzo
Fctd = Resistenza di calcolo a trazione del calcestruzzo
Tp = Tipo di acciaio
Fyk = Tensione caratteristica di snervamento dell'acciaio
Fyd = Resistenza di calcolo dell'acciaio

Caratteristiche delle sezioni e dei materiali utilizzati

Sez.	Tipo	B <cm>	H <cm>	Cf sup <cm>	Cf inf <cm>	Cls	Fck <daN/cmq>	Fctk <daN/cmq>	Fcd <daN/cmq>	Fctd <daN/cmq>	Tp	Fyk <daN/cmq>	Fyd <daN/cmq>
2	R	30.00	40.00	5.50	5.50	C30/37	307.10	20.59	174.02	13.73	B450C	4500.00	3913.04

Stato limite ultimo - Verifiche a flessione/pressoflessione

Xg <m>	CC	TCC	El	X <cm>	AfE S <cmq>	AfE I <cmq>	AfEP S <cmq>	AfEP I <cmq>	My <daNm>	MRdy <daNm>	Sic.
0.15	30	SLU	1	15.00	6.03	6.03	6.03	6.03	-1062.37	-7591.97	7.146
3.75	25	SLU	1	375.00	6.03	6.03	6.03	6.03	-956.22	-7591.97	7.940
4.05	25	SLU	1	405.00	6.03	6.03	6.03	6.03	-956.22	-7591.97	7.940
4.65	30	SLU	2	30.00	6.03	6.03	6.03	6.03	-1875.43	-7591.97	4.048
8.25	25	SLU	2	390.00	6.03	6.03	6.03	6.03	-692.04	-7591.97	10.970
8.85	30	SLU	3	30.00	6.03	6.03	6.03	6.03	-1753.01	-7591.97	4.331
12.12	25	SLU	3	357.27	6.03	6.03	6.03	6.03	-716.53	-7591.97	10.595
12.45	25	SLU	3	390.00	6.03	6.03	6.03	6.03	-716.53	-7591.97	10.595
13.05	30	SLU	4	30.00	6.03	6.03	6.03	6.03	-1762.12	-7591.97	4.308
16.65	25	SLU	4	390.00	6.03	6.03	6.03	6.03	-712.78	-7591.97	10.651
17.25	30	SLU	5	30.00	6.03	6.03	6.03	6.03	-1790.34	-7591.97	4.241
20.55	30	SLU	5	360.00	6.03	6.03	6.03	6.03	730.59	7591.97	10.392

Fabbricato IS-PP/ACC - Tipologico Q - Relazione di calcolo

COMMESSA	LOTTO	CODIFICA	DOCUMENTO	REV.	FOGLIO
RS3T	30 D 26	CL	FA00Q0 001	B	59 di 103

20.85	25	SLU	5	390.00	6.03	6.03	6.03	6.03	-725.51	-7591.97	10.464
21.45	30	SLU	6	30.00	6.03	6.03	6.03	6.03	-1498.85	-7591.97	5.065
25.20	25	SLU	6	405.00	6.03	6.03	6.03	6.03	-803.88	-7591.97	9.444
25.50	29	SLU	7	15.00	6.03	6.03	6.03	6.03	-855.96	-7591.97	8.870
28.75	25	SLU	7	340.00	12.06	12.06	12.06	12.06	-617.50	-14455.40	23.410
29.40	25	SLU	7	405.00	6.03	6.03	6.03	6.03	-955.72	-7591.97	7.944
29.70	30	SLU	8	15.00	6.03	6.03	6.03	6.03	-1304.63	-7591.97	5.819
33.44	30	SLU	8	388.85	6.03	6.03	6.03	6.03	649.87	7591.97	11.682
33.75	25	SLU	8	420.00	6.03	6.03	6.03	6.03	-459.74	-7591.97	16.514

Stato limite elastico - Verifiche a flessione/pressoflessione

Xg <m>	CC	TCC	El	X <cm>	AfE S <cmq>	AfE I <cmq>	AfEP S <cmq>	AfEP I <cmq>	My <daNm>	M'yd <daNm>	Sic.
0.15	1	SND	1	15.00	6.03	6.03	6.03	6.03	-3462.11	-7208.01	2.082
3.75	13	SND	1	375.00	6.03	6.03	6.03	6.03	-4291.00	-7208.01	1.680
4.05	13	SND	1	405.00	6.03	6.03	6.03	6.03	-4291.00	-7208.01	1.680
4.65	1	SND	2	30.00	6.03	6.03	6.03	6.03	-4962.55	-7208.01	1.452
8.25	13	SND	2	390.00	6.03	6.03	6.03	6.03	-4798.06	-7208.01	1.502
8.85	1	SND	3	30.00	6.03	6.03	6.03	6.03	-4739.18	-7208.01	1.521
12.12	13	SND	3	357.27	6.03	6.03	6.03	6.03	-4747.54	-7208.01	1.518
12.45	13	SND	3	390.00	6.03	6.03	6.03	6.03	-4747.54	-7208.01	1.518
13.05	1	SND	4	30.00	6.03	6.03	6.03	6.03	-4752.42	-7208.01	1.517
16.65	13	SND	4	390.00	6.03	6.03	6.03	6.03	-4728.27	-7208.01	1.524
17.25	1	SND	5	30.00	6.03	6.03	6.03	6.03	-4841.67	-7208.01	1.489
20.55	13	SND	5	360.00	6.03	6.03	6.03	6.03	-4970.81	-7208.01	1.450
20.85	13	SND	5	390.00	6.03	6.03	6.03	6.03	-4970.81	-7208.01	1.450
21.45	1	SND	6	30.00	6.03	6.03	6.03	6.03	-3931.32	-7208.01	1.833
25.20	13	SND	6	405.00	6.03	6.03	6.03	6.03	-3047.92	-7208.01	2.365
25.50	1	SND	7	15.00	6.03	6.03	6.03	6.03	-2049.56	-7208.01	3.517
28.75	13	SND	7	340.00	12.06	12.06	12.06	12.06	-1824.65	-13982.20	7.663
29.40	13	SND	7	405.00	6.03	6.03	6.03	6.03	-2274.05	-7208.01	3.170
29.70	1	SND	8	15.00	6.03	6.03	6.03	6.03	-2911.67	-7208.01	2.476
33.44	13	SND	8	388.85	6.03	6.03	6.03	6.03	-3015.32	-7208.01	2.390
33.75	13	SND	8	420.00	6.03	6.03	6.03	6.03	-3015.32	-7208.01	2.390

Stato limite d'esercizio - Verifiche tensionali

Xg <m>	CC	TCC	El	X <cm>	AfE S <cmq>	AfE I <cmq>	My <daNm>	σ_f sup <daN/cmq>	σ_f inf <daN/cmq>	σ_c <daN/cmq>
0.15	34	SLE R	1	15.00	6.03	6.03	-732.65	397.77	-85.51	11.81
0.15	28	SLE Q	1	15.00	6.03	6.03	-302.65	164.32	-35.32	4.88
3.75	26	SLE R	1	375.00	6.03	6.03	-693.11	376.31	-80.90	11.17
3.75	28	SLE Q	1	375.00	6.03	6.03	-698.63	379.31	-81.54	11.26
4.05	26	SLE R	1	405.00	6.03	6.03	-693.11	376.31	-80.90	11.17
4.05	28	SLE Q	1	405.00	6.03	6.03	-698.63	379.31	-81.54	11.26
4.65	34	SLE R	2	30.00	6.03	6.03	-1295.84	703.54	-151.25	20.89
4.65	28	SLE Q	2	30.00	6.03	6.03	-570.00	309.46	-66.53	9.19

Fabbricato IS-PP/ACC - Tipologico Q - Relazione di calcolo

COMMESSA	LOTTO	CODIFICA	DOCUMENTO	REV.	FOGLIO
RS3T	30 D 26	CL	FA00Q0 001	B	60 di 103

8.25	26	SLE R	2	390.00	6.03	6.03	-501.42	272.23	-58.52	8.08
8.25	28	SLE Q	2	390.00	6.03	6.03	-500.52	271.75	-58.42	8.07
8.85	34	SLE R	3	30.00	6.03	6.03	-1210.41	657.17	-141.28	19.51
8.85	28	SLE Q	3	30.00	6.03	6.03	-521.73	283.26	-60.89	8.41
12.12	26	SLE R	3	357.27	6.03	6.03	-519.22	281.90	-60.60	8.37
12.12	28	SLE Q	3	357.27	6.03	6.03	-519.19	281.88	-60.60	8.37
12.45	26	SLE R	3	390.00	6.03	6.03	-519.22	281.90	-60.60	8.37
12.45	28	SLE Q	3	390.00	6.03	6.03	-519.19	281.88	-60.60	8.37
13.05	34	SLE R	4	30.00	6.03	6.03	-1216.88	660.68	-142.03	19.62
13.05	28	SLE Q	4	30.00	6.03	6.03	-526.78	286.00	-61.48	8.49
16.65	26	SLE R	4	390.00	6.03	6.03	-516.51	280.43	-60.28	8.33
16.65	28	SLE Q	4	390.00	6.03	6.03	-516.38	280.36	-60.27	8.32
17.25	34	SLE R	5	30.00	6.03	6.03	-1235.42	670.74	-144.19	19.92
17.25	28	SLE Q	5	30.00	6.03	6.03	-522.66	283.76	-61.00	8.43
20.55	26	SLE R	5	360.00	6.03	6.03	-525.60	285.36	-61.35	8.47
20.55	28	SLE Q	5	360.00	6.03	6.03	-525.54	285.33	-61.34	8.47
20.85	26	SLE R	5	390.00	6.03	6.03	-525.60	285.36	-61.35	8.47
20.85	28	SLE Q	5	390.00	6.03	6.03	-525.54	285.33	-61.34	8.47
21.45	34	SLE R	6	30.00	6.03	6.03	-1043.46	566.52	-121.79	16.82
21.45	28	SLE Q	6	30.00	6.03	6.03	-559.15	303.58	-65.26	9.01
25.20	26	SLE R	6	405.00	6.03	6.03	-582.95	316.50	-68.04	9.40
25.20	28	SLE Q	6	405.00	6.03	6.03	-582.39	316.20	-67.97	9.39
25.50	33	SLE R	7	15.00	6.03	6.03	-617.95	335.50	-72.13	9.96
25.50	28	SLE Q	7	15.00	6.03	6.03	-589.00	319.79	-68.75	9.50
28.75	26	SLE R	7	340.00	12.06	12.06	-447.66	124.69	-43.48	5.02
28.75	28	SLE Q	7	340.00	12.06	12.06	-449.73	125.27	-43.68	5.05
29.40	26	SLE R	7	405.00	6.03	6.03	-692.75	376.11	-80.85	11.17
29.40	28	SLE Q	7	405.00	6.03	6.03	-695.03	377.35	-81.12	11.20
29.70	34	SLE R	8	15.00	6.03	6.03	-930.62	505.25	-108.62	15.00
29.70	28	SLE Q	8	15.00	6.03	6.03	-759.32	412.26	-88.62	12.24
33.44	34	SLE R	8	388.85	6.03	6.03	449.41	-52.45	244.00	7.25
33.44	28	SLE Q	8	388.85	6.03	6.03	-328.92	178.58	-38.39	5.30
33.75	26	SLE R	8	420.00	6.03	6.03	-332.69	180.63	-38.83	5.36
33.75	28	SLE Q	8	420.00	6.03	6.03	-328.92	178.58	-38.39	5.30

Stato limite d'esercizio - Verifiche a fessurazione

Caso	Xg <m>	CC	TCC	El	Sez.	Crit.	X <cm>	My <daNm>	c <mm>	s <mm>	K3	s _{rm} <mm>	Φ	A _s <cmq>	A _{c eff} <cmq>	σ _s <daN/cmq>	σ _{sr} <daN/cmq>	ε _{sm}	Wk <mm>
26	0.15	28	SLE Q	1	2	1	15.00	-302.65	47.00	95.00	0.15	188.24	16.00	6.03	486.13	164.32	1898.01	0.03	0.01
29	0.15	36	SLE F	1	2	1	15.00	-562.26	47.00	95.00	0.15	188.24	16.00	6.03	486.13	305.27	1898.01	0.06	0.02
63	3.75	28	SLE Q	1	2	1	375.00	-698.63	47.00	95.00	0.15	188.24	16.00	6.03	486.13	379.31	1898.01	0.07	0.02
65	3.75	27	SLE F	1	2	1	375.00	-697.53	47.00	95.00	0.15	188.24	16.00	6.03	486.13	378.71	1898.01	0.07	0.02
100	4.05	28	SLE Q	1	2	1	405.00	-698.63	47.00	95.00	0.15	188.24	16.00	6.03	486.13	379.31	1898.01	0.07	0.02
102	4.05	27	SLE F	1	2	1	405.00	-697.53	47.00	95.00	0.15	188.24	16.00	6.03	486.13	378.71	1898.01	0.07	0.02
133	4.65	28	SLE Q	2	2	1	30.00	-570.00	47.00	95.00	0.15	188.24	16.00	6.03	486.13	309.46	1898.01	0.06	0.02
136	4.65	36	SLE F	2	2	1	30.00	-1004.85	47.00	95.00	0.15	188.24	16.00	6.03	486.13	545.56	1898.01	0.11	0.03
167	8.25	28	SLE Q	2	2	1	390.00	-500.52	47.00	95.00	0.15	188.24	16.00	6.03	486.13	271.75	1898.01	0.05	0.02

Fabbricato IS-PP/ACC - Tipologico Q - Relazione di calcolo

COMMESSA	LOTTO	CODIFICA	DOCUMENTO	REV.	FOGLIO
RS3T	30 D 26	CL	FA00Q0 001	B	61 di 103

169	8.25	27	SLE F	2	2	1	390.00	-500.70	47.00	95.00	0.15	188.24	16.00	6.03	486.13	271.85	1898.01	0.05	0.02
201	8.85	28	SLE Q	3	2	1	30.00	-521.73	47.00	95.00	0.15	188.24	16.00	6.03	486.13	283.26	1898.01	0.06	0.02
204	8.85	36	SLE F	3	2	1	30.00	-934.97	47.00	95.00	0.15	188.24	16.00	6.03	486.13	507.62	1898.01	0.10	0.03
239	12.12	28	SLE Q	3	2	1	357.27	-519.19	47.00	95.00	0.15	188.24	16.00	6.03	486.13	281.88	1898.01	0.05	0.02
241	12.12	27	SLE F	3	2	1	357.27	-519.20	47.00	95.00	0.15	188.24	16.00	6.03	486.13	281.88	1898.01	0.05	0.02
276	12.45	28	SLE Q	3	2	1	390.00	-519.19	47.00	95.00	0.15	188.24	16.00	6.03	486.13	281.88	1898.01	0.05	0.02
278	12.45	27	SLE F	3	2	1	390.00	-519.20	47.00	95.00	0.15	188.24	16.00	6.03	486.13	281.88	1898.01	0.05	0.02
310	13.05	28	SLE Q	4	2	1	30.00	-526.78	47.00	95.00	0.15	188.24	16.00	6.03	486.13	286.00	1898.01	0.06	0.02
313	13.05	36	SLE F	4	2	1	30.00	-940.79	47.00	95.00	0.15	188.24	16.00	6.03	486.13	510.78	1898.01	0.10	0.03
344	16.65	28	SLE Q	4	2	1	390.00	-516.38	47.00	95.00	0.15	188.24	16.00	6.03	486.13	280.36	1898.01	0.05	0.02
346	16.65	27	SLE F	4	2	1	390.00	-516.41	47.00	95.00	0.15	188.24	16.00	6.03	486.13	280.37	1898.01	0.05	0.02
378	17.25	28	SLE Q	5	2	1	30.00	-522.66	47.00	95.00	0.15	188.24	16.00	6.03	486.13	283.76	1898.01	0.06	0.02
381	17.25	36	SLE F	5	2	1	30.00	-950.28	47.00	95.00	0.15	188.24	16.00	6.03	486.13	515.93	1898.01	0.10	0.03
416	20.55	28	SLE Q	5	2	1	360.00	-525.54	47.00	95.00	0.15	188.24	16.00	6.03	486.13	285.33	1898.01	0.06	0.02
418	20.55	27	SLE F	5	2	1	360.00	-525.55	47.00	95.00	0.15	188.24	16.00	6.03	486.13	285.33	1898.01	0.06	0.02
452	20.85	28	SLE Q	5	2	1	390.00	-525.54	47.00	95.00	0.15	188.24	16.00	6.03	486.13	285.33	1898.01	0.06	0.02
454	20.85	27	SLE F	5	2	1	390.00	-525.55	47.00	95.00	0.15	188.24	16.00	6.03	486.13	285.33	1898.01	0.06	0.02
486	21.45	28	SLE Q	6	2	1	30.00	-559.15	47.00	95.00	0.15	188.24	16.00	6.03	486.13	303.58	1898.01	0.06	0.02
489	21.45	36	SLE F	6	2	1	30.00	-849.62	47.00	95.00	0.15	188.24	16.00	6.03	486.13	461.28	1898.01	0.09	0.03
519	25.20	28	SLE Q	6	2	1	405.00	-582.39	47.00	95.00	0.15	188.24	16.00	6.03	486.13	316.20	1898.01	0.06	0.02
521	25.20	27	SLE F	6	2	1	405.00	-582.50	47.00	95.00	0.15	188.24	16.00	6.03	486.13	316.26	1898.01	0.06	0.02
552	25.50	28	SLE Q	7	2	1	15.00	-589.00	47.00	95.00	0.15	188.24	16.00	6.03	486.13	319.79	1898.01	0.06	0.02
556	25.50	37	SLE F	7	2	1	15.00	-594.79	47.00	95.00	0.15	188.24	16.00	6.03	486.13	322.93	1898.01	0.06	0.02
596	28.75	28	SLE Q	7	2	1	340.00	-449.73	47.00	38.00	0.15	139.65	16.00	12.06	491.69	125.27	1160.79	0.02	0.01
600	28.75	27	SLE F	7	2	1	340.00	-449.31	47.00	38.00	0.15	139.65	16.00	12.06	491.69	125.15	1160.79	0.02	0.01
636	29.40	28	SLE Q	7	2	1	405.00	-695.03	47.00	95.00	0.15	188.24	16.00	6.03	486.13	377.35	1898.01	0.07	0.02
638	29.40	27	SLE F	7	2	1	405.00	-694.57	47.00	95.00	0.15	188.24	16.00	6.03	486.13	377.10	1898.01	0.07	0.02
668	29.70	28	SLE Q	8	2	1	15.00	-759.32	47.00	95.00	0.15	188.24	16.00	6.03	486.13	412.26	1898.01	0.08	0.03
671	29.70	36	SLE F	8	2	1	15.00	-860.28	47.00	95.00	0.15	188.24	16.00	6.03	486.13	467.07	1898.01	0.09	0.03
709	33.44	28	SLE Q	8	2	1	388.85	-328.92	47.00	95.00	0.15	188.24	16.00	6.03	486.13	178.58	1898.01	0.03	0.01
716	33.44	36	SLE F	8	2	1	388.85	349.03	47.00	95.00	0.15	188.24	16.00	6.03	486.13	189.50	1898.01	0.04	0.01
755	33.75	28	SLE Q	8	2	1	420.00	-328.92	47.00	95.00	0.15	188.24	16.00	6.03	486.13	178.58	1898.01	0.03	0.01
757	33.75	27	SLE F	8	2	1	420.00	-329.67	47.00	95.00	0.15	188.24	16.00	6.03	486.13	178.99	1898.01	0.03	0.01

Stato limite d'esercizio - Verifiche a fessurazione con combinazione rara

Le verifiche sono condotte in ottemperanza a quanto prescritto dal Manuale di Progettazione delle Opere Civili - RFIDTCSIPSMIAIFS001C al §2.5.1.8.3.2.4

VERIFICA A SLE FESSURAZIONE, TENSIONI DI ESERCIZIO - RARA

B	30 cm	Mmax	12,95 KNm
H	40 cm	Rck	37
c	5 cm	fck	30,71
d	35 cm	1,2xfctm	3,60 N/mm ²
nbarre	3	fsd	374 N/mm ²
dmedio	1,60 cm	fyk	430 N/mm ²
c'	4,20 cm		
deff1	16,2 cm		
deff2	14,68 cm		
deff	14,7 cm		

determinazione ϵ_{sm}

β_1	1	c	4,2 cm
β_2	0,5	s	10,00 cm
E_s	206000 N/mm ²	k2	0,4
$\epsilon_{sm} =$	-0,097%	k3	0,125
$s_{rm} =$	16,242736	ϕ	1,6 cm
		n	3
		As	6,031858 cm ²
		b	30 cm
		Ac,eff	440,53 cm ²
		ρ_r	0,013692

determinazione w_k

$w_k =$	0,267 mm	$w_{lim} =$	0,3 mm	OK
---------	-----------------	-------------	---------------	-----------

8.3.2 Verifica a taglio e torsione

Al fine di escludere la formazione di meccanismi inelastici dovuti al taglio, le sollecitazioni di taglio di calcolo V_{Ed} si ottengono sommando il contributo dovuto ai carichi gravitazionali agenti sulla trave, considerata incernierata agli estremi, alle sollecitazioni di taglio corrispondenti alla formazione di cerniere plastiche nella trave e prodotte dai momenti resistenti (ultimi) delle due sezioni di plasticizzazione (generalmente quelle di estremità) amplificati del fattore di sovra resistenza γ_{Rd} assunto pari a 1.0 per CDB.

Deve risultare (NTC2018 – 4.1.2.1.3.2):

$$V_{Rd} > V_d$$

dove:

V_d = Valore di calcolo del taglio agente;

 ITALFERR GRUPPO FERROVIE DELLO STATO ITALIANE	DIRETTRICE FERROVIARIA MESSINA – CATANIA – PALERMO NUOVO COLLEGAMENTO PALERMO – CATANIA TRATTA LERCARA DIR – CALTANISSETTA XIRBI (LOTTO 3) FABBRICATI					
	Fabbricato IS-PP/ACC - Tipologico Q - Relazione di calcolo	COMMESSA RS3T	LOTTO 30 D 26	CODIFICA CL	DOCUMENTO FA00Q0 001	REV. B

$$V_{Rd} = \min (V_{Rsd}, V_{Rcd})$$

Con riferimento all'armatura trasversale, la resistenza di calcolo a "taglio trazione" si calcola con:

$$V_{Rsd} = 0.9 \cdot d \cdot \frac{A_{sw}}{s} \cdot f_{yd} \cdot (\text{ctg}\alpha + \text{ctg}\theta) \cdot \sin \alpha$$

Con riferimento al calcestruzzo d'anima, la resistenza di calcolo a "taglio compressione" si calcola con:

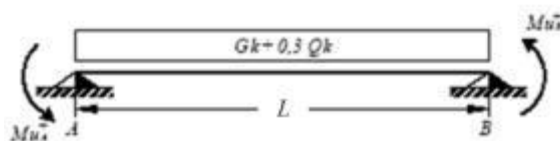
$$V_{Rcd} = 0.9 \cdot d \cdot b_w \cdot \alpha_c \cdot f'_{cd} \cdot (\text{ctg}\alpha + \text{ctg}\theta) / (1 + \text{ctg}^2\theta)$$

dove:

α : Angolo d'inclinazione dell'armatura trasversale rispetto all'asse dell'elemento;

θ : Angolo d'inclinazione dei puntoni in calcestruzzo rispetto all'asse dell'elemento.

• **1° Schema:**

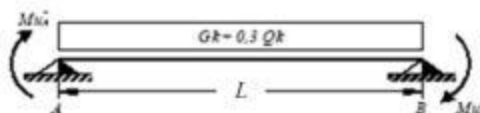


Il taglio è variabile linearmente lungo la trave ed è pari a:

$$V_A = \gamma_{Rd} \frac{Mu^+_A + Mu^+_B}{l_{trave}} + \frac{(G_k + 0,3Q_k) \cdot l_{trave}}{2}$$

$$V_B = \gamma_{Rd} \frac{Mu^+_A + Mu^+_B}{l_{trave}} - \frac{(G_k + 0,3Q_k) \cdot l_{trave}}{2}$$

• **2° Schema:**



Il taglio è variabile linearmente lungo la trave ed è pari a:

$$V_A = \gamma_{Rd} \frac{Mu^-_A + Mu^-_B}{l_{trave}} + \frac{(G_k + 0,3Q_k) \cdot l_{trave}}{2}$$

 ITALFERR GRUPPO FERROVIE DELLO STATO ITALIANE	DIRETTRICE FERROVIARIA MESSINA – CATANIA – PALERMO NUOVO COLLEGAMENTO PALERMO – CATANIA TRATTA LERCARA DIR – CALTANISSETTA XIRBI (LOTTO 3) FABBRICATI					
	Fabbricato IS-PP/ACC - Tipologico Q - Relazione di calcolo	COMMESSA RS3T	LOTTO 30 D 26	CODIFICA CL	DOCUMENTO FA00Q0 001	REV. B

$$V_B = \gamma_{Rd} \frac{Mu^-_A + Mu^-_B}{l_{trave}} - \frac{(G_k + 0,3Q_k) \cdot l_{trave}}{2}$$

La verifica di resistenza nei confronti della torsione (SLU) (NTC2018 – 4.1.2.1.4) consiste nel controllare che:

$$T_{Rd} \geq T_{Ed}$$

dove T_{Ed} è il valore di calcolo del momento torcente.

Per elementi prismatici sottoposti a torsione semplice o combinata con altre sollecitazioni, che abbiano sezione piena o cava, lo schema resistente è costituito da un traliccio periferico in cui gli sforzi di trazione sono affidati alle armature longitudinali e trasversali ivi contenute e gli sforzi di compressione sono affidati alle bielle di calcestruzzo.

Con riferimento al calcestruzzo la resistenza si calcola con:

$$T_{Rcd} = 2 \cdot A \cdot t \cdot f'_{cd} \cdot \text{ctg}\theta / (1 + \text{ctg}\theta)$$

dove t è lo spessore della sezione cava; per sezioni piene $t = A_c/u$ dove A_c è l'area della sezione ed u è il suo perimetro; t deve essere assunta comunque ≥ 2 volte la distanza fra il bordo e il centro dell'armatura longitudinale.

Le armature longitudinali e trasversali del traliccio resistente devono essere poste entro lo spessore t del profilo periferico. Le barre longitudinali possono essere distribuite lungo detto profilo, ma comunque una barra deve essere presente su tutti i suoi spigoli.

Con riferimento alle staffe trasversali la resistenza si calcola con:

$$T_{Rsd} = 2 \cdot A \cdot (A_s/s) \cdot f_{yd} \cdot \text{ctg}\theta$$

Con riferimento all'armatura longitudinale la resistenza si calcola con:

$$T_{Rsd} = 2 \cdot A \cdot (\Sigma A_l/u_m) \cdot f_{yd} / \text{ctg}\theta$$

dove si è posto:

A area racchiusa dalla fibra media del profilo periferico;

A_s area delle staffe;

u_m perimetro medio del nucleo resistente;

s passo delle staffe;

ΣA_l area complessiva delle barre longitudinali.

L'inclinazione θ delle bielle compresse di calcestruzzo rispetto all'asse della trave deve rispettare i limiti seguenti:

$$0,4 \leq \text{ctg}\theta \leq 2,5$$

Fabbricato IS-PP/ACC - Tipologico Q - Relazione di calcolo

COMMESSA	LOTTO	CODIFICA	DOCUMENTO	REV.	FOGLIO
RS3T	30 D 26	CL	FA00Q0 001	B	65 di 103

Entro questi limiti, nel caso di torsione pura, può porsi $\text{ctg } \theta = (a_l/a_s)^{1/2}$

con: $a_l = \Sigma A_l / u_m$

$a_s = A_s / s$

La resistenza alla torsione della trave è la minore delle tre sopra definite.

Si riporta di seguito un prospetto riepilogativo con i valori delle sollecitazioni taglianti e torcenti ottenute seguendo la metodologia descritta e riportata negli schemi precedenti:

Poiché il valore del taglio determinato mediante la procedura sopra riportata non è maggiore del taglio di calcolo ottenuto a valle dell'analisi strutturale mediante il MODEST ($V_2=33.35$ kN) si procede alla verifica di resistenza considerando il seguente valore del taglio massimo:

$$V_{Ed-max} = 33.35 \text{ kN}$$

Staffe - Verifiche armatura

CC	X0 <m>	X1 <m>	Lung. <m>	Staff.	AfE St. <cmq/m>	bw <m>	Vsdu <daN>	ctgθ	VRsd <daN>	VRcd <daN>	Vrdu <daN>	Sic.T
1 SND	0.15	0.55	0.40	ø8/ 8 2 br.	12.57	0.30	2604.70	2.08	31692.10	31692.10	31692.10	12.17
13 SND	0.55	3.65	3.10	ø8/20 2 br.	5.03	0.30	2607.77	2.50	15268.10	27948.80	15268.10	5.85
13 SND	3.65	4.05	0.40	ø8/ 8 2 br.	12.57	0.30	2807.77	2.08	31692.10	31692.10	31692.10	11.29
1 SND	4.65	5.05	0.40	ø8/ 8 2 br.	12.57	0.30	3333.21	2.08	31692.10	31692.10	31692.10	9.51
1 SND	5.05	7.85	2.80	ø8/20 2 br.	5.03	0.30	3133.21	2.50	15268.10	27948.80	15268.10	4.87
13 SND	7.85	8.25	0.40	ø8/ 8 2 br.	12.57	0.30	3294.62	2.08	31692.10	31692.10	31692.10	9.62
1 SND	8.85	9.25	0.40	ø8/ 8 2 br.	12.57	0.30	3246.76	2.08	31692.10	31692.10	31692.10	9.76
1 SND	9.25	12.05	2.80	ø8/20 2 br.	5.03	0.30	3046.76	2.50	15268.10	27948.80	15268.10	5.01
13 SND	12.05	12.45	0.40	ø8/ 8 2 br.	12.57	0.30	3245.35	2.08	31692.10	31692.10	31692.10	9.77
1 SND	13.05	13.45	0.40	ø8/ 8 2 br.	12.57	0.30	3246.64	2.08	31692.10	31692.10	31692.10	9.76
1 SND	13.45	16.25	2.80	ø8/20 2 br.	5.03	0.30	3046.64	2.50	15268.10	27948.80	15268.10	5.01
13 SND	16.25	16.65	0.40	ø8/ 8 2 br.	12.57	0.30	3240.87	2.08	31692.10	31692.10	31692.10	9.78
1 SND	17.25	17.65	0.40	ø8/ 8 2 br.	12.57	0.30	3333.72	2.08	31692.10	31692.10	31692.10	9.51
13 SND	17.65	20.45	2.80	ø8/20 2 br.	5.03	0.30	3135.32	2.50	15268.10	27948.80	15268.10	4.87
13 SND	20.45	20.85	0.40	ø8/ 8 2 br.	12.57	0.30	3335.32	2.08	31692.10	31692.10	31692.10	9.50
1 SND	21.45	21.85	0.40	ø8/ 8 2 br.	12.57	0.30	2488.02	2.08	31692.10	31692.10	31692.10	12.74
13 SND	21.85	24.80	2.95	ø8/20 2 br.	5.03	0.30	2300.41	2.50	15268.10	27948.80	15268.10	6.64
13 SND	24.80	25.20	0.40	ø8/ 8 2 br.	12.57	0.30	2500.41	2.08	31692.10	31692.10	31692.10	12.67
1 SND	25.50	25.90	0.40	ø8/ 8 2 br.	12.57	0.30	1727.19	2.08	31692.10	31692.10	31692.10	18.35
13 SND	25.90	29.00	3.10	ø8/20 2 br.	5.03	0.30	1581.56	2.50	15268.10	27948.80	15268.10	9.65
13 SND	29.00	29.40	0.40	ø8/ 8 2 br.	12.57	0.30	1781.56	2.08	31692.10	31692.10	31692.10	17.79
1 SND	29.70	30.10	0.40	ø8/ 8 2 br.	12.57	0.30	2313.52	2.08	31692.10	31692.10	31692.10	13.70
1 SND	30.10	33.35	3.25	ø8/20 2 br.	5.03	0.30	2113.52	2.50	15268.10	27948.80	15268.10	7.22
13 SND	33.35	33.75	0.40	ø8/ 8 2 br.	12.57	0.30	2100.98	2.08	31692.10	31692.10	31692.10	15.08

 ITALFERR GRUPPO FERROVIE DELLO STATO ITALIANE	DIRETTRICE FERROVIARIA MESSINA – CATANIA – PALERMO NUOVO COLLEGAMENTO PALERMO – CATANIA TRATTA LERCARA DIR – CALTANISSETTA XIRBI (LOTTO 3) FABBRICATI					
	Fabbricato IS-PP/ACC - Tipologico Q - Relazione di calcolo	COMMESSA	LOTTO	CODIFICA	DOCUMENTO	REV.
	RS3T	30 D 26	CL	FA00Q0 001	B	66 di 103

Si adotteranno nelle zone d'appoggio, per un tratto pari ad 55 cm dal filo esterno del pilastro, staffe $\Phi 8/8$ cm, per il rispetto dei limiti normativi, mentre nelle zone centrali di campata staffe $\Phi 8 / 20$ cm.

8.3.3 Verifica limitazioni armatura

In ogni sezione della trave, il rapporto geometrico ρ relativo all'armatura tesa, indipendentemente dal fatto che l'armatura tesa sia quella al lembo superiore della sezione A_s o quella al lembo inferiore della sezione A_i , deve essere compreso entro i seguenti limiti:

$$\frac{1,4}{f_{yk}} < \rho < \rho_{comp} + \frac{3,5}{f_{yk}}$$

dove:

$\rho = A_s / (bh)$ Rapporto geometrico relativo all'armatura tesa

$\rho_{comp} = A_s' / (bh)$ Rapporto geometrico relativo all'armatura compressa

Dati Geometrici

Trave:

Base	b=	30cm	ok
altezza	h=	40cm	
allargamento	dsx =	0cm	
allargamento	ddx =	0cm	
copriferro	c=	5cm	

Valori max	Limit. geometriche 7.4.6.1.1	
30cm	$b \geq 20\text{cm}$	$b \leq 2lp$
120cm	$b/h \geq 0,25$	
20cm	$dsx \leq h/2$	
20cm	$ddx \leq h/2$	

Dati di armatura

Tipo CLS	C30/37	(min C20/25)	D.M.(7.4.2.1)	$R_{ck} = 37$ N/mm ²			
Tipo Acciaio	B450C	(B450C)	D.M.(7.4.2.2)				
fck=	30,71	fcd=	17,40	D.M.(4.1.2.1.1.1)	fctm=	2,94	D.M.(11.2.10.2)
fyk=	450	fyd=	391,30	D.M.(4.1.2.1.1.3)			
Diametro min. armatura long.	16	$\geq \Phi 14$	D.M.(7.4.6.2.1)				
Diametro staffe	8	$\geq \Phi 6$	D.M.(7.4.6.2.1)				
N° braccia staffe	2						

Armatura longitudinale

In campata	n°ferri_tesi	3	As=	6,03cm ²	As=	6,03cm ²
	n°ferri_comp.	3	A's=	6,03cm ²	A's=	6,03cm ²
zona critica	n°ferri_tesi	3	As=	6,03cm ²	As=	6,03cm ²
	n°ferri_comp.	3	A's=	6,03cm ²	A's=	6,03cm ²

Limitazioni Armatura longitudinale 7.4.6.2.1

In campata:	ρ ; ρ_{comp}	Arm. min.	Arm. max.	limitazioni	
	0,00503	3,7cm ²	15,4cm ²	$.4/fyk < \rho < (\rho_{comp} + (3.5/fyk))$	OK
	0,00503	1,5cm ²		$\rho_{comp} \geq 0,25\rho$	OK
zona critica:	0,00503	3,7cm ²	15,4cm ²	$1.4/fyk < \rho < (\rho_{comp} + (3.5/fy))$	OK
	0,00503	3,0cm ²		$\rho_{comp} \geq 0,5\rho$	OK

In ogni caso almeno il 50% dell'armatura necessaria per il taglio deve essere costituita da staffe.

Per gli elementi in esame l'armatura trasversale è costituita solo da staffe.

8.4 TRAVI 30X50

Si riportano di seguito le verifiche strutturali delle travi interne aventi sezione rettangolare di dimensioni 30x50 cm. Le verifiche saranno condotte per i differenti stati limite ed in corrispondenza delle sezioni maggiormente sollecitate dell'elemento per effetto della combinazioni di carico più gravose.

Di seguito si riportano le tabelle delle sollecitazioni più gravose ottenute allo SLU (statico e sismico) e agli SLE (Rara, Frequente e Quasi Permanente).

CC	TCC	X <m>	N <kN>	Ty <kN>	Mz <kNm>	Tz <kN>	My <kNm>	Mx <kNm>
25	SLU	0.15	-1857340	0.000	0.000	154330	-104178	0.000
25	SLU	3.56	-1857340	0.000	0.000	0.034	158954	0.000
25	SLU	6.97	-1857340	0.000	0.000	-154330	-104178	0.000
29	SLU	0.15	-1857340	0.000	0.000	155808	-109218	-0.160
29	SLU	3.59	-1857340	0.000	0.000	-0.000	158978	-0.160
29	SLU	6.97	-1857340	0.000	0.000	-152852	-99138	-0.160
30	SLU	0.15	-1857340	-0.000	0.000	154330	-104178	0.000
30	SLU	3.56	-1857340	-0.000	0.000	0.034	158954	0.000
30	SLU	6.97	-1857340	-0.000	-0.000	-154330	-104178	0.000
31	SLU	0.15	-1857340	0.000	0.000	155217	-107202	-0.096
31	SLU	3.58	-1857340	0.000	0.000	-0.000	158963	-0.096
31	SLU	6.97	-1857340	0.000	0.000	-153443	-101154	-0.096
32	SLU	0.15	-1857340	-0.000	0.000	154330	-104178	0.000
32	SLU	3.56	-1857340	-0.000	0.000	0.034	158954	0.000
32	SLU	6.97	-1857340	-0.000	-0.000	-154330	-104178	0.000

CC	TCC	X <m>	N <kN>	Ty <kN>	Mz <kNm>	Tz <kN>	My <kNm>	Mx <kNm>
26	SLE R	0.15	-1238230	0.000	0.000	110893	-74857	0.000
26	SLE R	3.55	-1238230	0.000	0.000	0.266	114215	0.000
26	SLE R	6.97	-1238230	0.000	0.000	-110893	-74857	0.000
33	SLE R	0.15	-1238230	0.000	0.000	111879	-78217	-0.106
33	SLE R	3.59	-1238230	0.000	0.000	0.000	114231	-0.106
33	SLE R	6.97	-1238230	0.000	0.000	-109908	-71497	-0.106
34	SLE R	0.15	-1238230	-0.000	0.000	110893	-74857	0.000
34	SLE R	3.55	-1238230	-0.000	0.000	0.266	114215	0.000
34	SLE R	6.97	-1238230	-0.000	-0.000	-110893	-74857	0.000
35	SLE R	0.15	-1238230	0.000	0.000	111484	-76873	-0.064
35	SLE R	3.58	-1238230	0.000	0.000	-0.000	114221	-0.064

35	SLE R	6.97	-1238230	0.000	0.000	-110302	-72841	-0.064
----	-------	------	----------	-------	-------	---------	--------	--------

CC	TCC	X <m>	N <kN>	Ty <kN>	Mz <kNm>	Tz <kN>	My <kNm>	Mx <kNm>
27	SLE F	0.15	-619114	0.000	0.000	100008	-67509	0.000
27	SLE F	3.55	-619114	0.000	0.000	0.240	103004	0.000
27	SLE F	6.97	-619114	0.000	0.000	-100008	-67509	0.000
36	SLE F	0.15	-1238230	-0.000	0.000	110893	-74857	0.000
36	SLE F	3.55	-1238230	-0.000	0.000	0.266	114215	0.000
36	SLE F	6.97	-1238230	-0.000	-0.000	-110893	-74857	0.000
37	SLE F	0.15	-619114	0.000	0.000	100206	-68181	-0.021
37	SLE F	3.57	-619114	0.000	0.000	-0.000	103006	-0.021
37	SLE F	6.97	-619114	0.000	0.000	-99811	-66837	-0.021
38	SLE F	0.15	-619114	-0.000	0.000	100008	-67509	0.000
38	SLE F	3.55	-619114	-0.000	0.000	0.240	103004	0.000
38	SLE F	6.97	-619114	-0.000	-0.000	-100008	-67509	0.000
39	SLE F	0.15	-619114	0.000	0.000	100008	-67509	0.000
39	SLE F	3.55	-619114	0.000	0.000	0.240	103004	0.000
39	SLE F	6.97	-619114	0.000	0.000	-100008	-67509	0.000

CC	TCC	X <m>	N <kN>	Ty <kN>	Mz <kNm>	Tz <kN>	My <kNm>	Mx <kNm>
28	SLE Q	0.15	-0.000	0.000	0.000	97287	-65672	0.000
28	SLE Q	3.55	-0.000	0.000	0.000	0.233	100202	0.000
28	SLE Q	6.97	-0.000	0.000	0.000	-97287	-65672	0.000
40	SLE Q	0.15	-0.000	0.000	0.000	97287	-65672	0.000
40	SLE Q	3.55	-0.000	0.000	0.000	0.233	100202	0.000
40	SLE Q	6.97	-0.000	0.000	0.000	-97287	-65672	0.000

8.4.1 Verifica a flessione

Si riportano di seguito le verifiche a flessione, in corrispondenza della sezione d'appoggio e della sezione di campata (convenzione sui segni: compressione negativa (-), momento flettente che tende le fibre superiori negativo (-)).

In funzione delle sollecitazioni si è dimensionata opportunamente l'armatura longitudinale delle travi:

1) Zone d'appoggio:

- Armatura superiore 4 Φ 20 + 1 Φ 16

 ITALFERR GRUPPO FERROVIE DELLO STATO ITALIANE	DIRETTRICE FERROVIARIA MESSINA – CATANIA – PALERMO NUOVO COLLEGAMENTO PALERMO – CATANIA TRATTA LERCARA DIR – CALTANISSETTA XIRBI (LOTTO 3) FABBRICATI					
	Fabbricato IS-PP/ACC - Tipologico Q - Relazione di calcolo	COMMESSA	LOTTO	CODIFICA	DOCUMENTO	REV.
	RS3T	30 D 26	CL	FA00Q0 001	B	70 di 103

- Armatura inferiore 4 Φ 16

2) Campata:

- Armatura superiore 4 Φ 16
- Armatura inferiore 4 Φ 20

In aggiunta, fuori calcolo, andranno disposti 2 Φ 12 come ferri di parete.

Le verifiche di resistenza a flessione allo SLU ed agli SLE (NTC2018 – 4.1.2.1.2.4) per le sezioni di appoggio e di campata sono state condotte con il supporto del MODEST considerando le sollecitazioni riportate nel prospetto precedente.

Essendo la sezione armata in maniera simmetrica in campata ed in appoggio si esegue la verifica di una sola sezione in cui le sollecitazioni calcolate in appoggio sono invertite di segno.

Travata n. 106

Nodi: 104 113

Simbologia

Caso	= Caso di verifica
Xg	= Coordinata progressiva (dal primo nodo) in cui viene effettuato il progetto/verifica
CC	= Combinazione delle condizioni di carico elementari
c	= momento fittizio in campata
a	= momento fittizio agli appoggi
TG	= taglio da gerarchia delle resistenze
TGND	= taglio non dissipativo limitante la gerarchia
T	= momento traslato per taglio
e	= eccentricità aggiuntiva in caso di compressione o pressoflessione
TCC	= Tipo di combinazione di carico
SLU	= Stato limite ultimo
SLU S	= Stato limite ultimo (azione sismica)
SLE R	= Stato limite d'esercizio, combinazione rara
SLE F	= Stato limite d'esercizio, combinazione frequente
SLE Q	= Stato limite d'esercizio, combinazione quasi permanente
SLD	= Stato limite di danno
SLV	= Stato limite di salvaguardia della vita
SLC	= Stato limite di prevenzione del collasso
SLO	= Stato limite di operatività
SLU I	= Stato limite di resistenza al fuoco
SND	= Stato limite di salvaguardia della vita (non dissipativo)
El	= Elemento (asta) in cui viene effettuato il progetto/verifica (progressivo sul numero di aste)
Sez.	= Numero della sezione
Crit.	= Numero del criterio di progetto
X	= Coordinata progressiva rispetto al nodo iniziale
AfE S	= Area di ferro effettiva totale presente nel punto di verifica, superiore
AfE I	= Area di ferro effettiva totale presente nel punto di verifica, inferiore

Fabbricato IS-PP/ACC - Tipologico Q - Relazione di calcolo

COMMESSA	LOTTO	CODIFICA	DOCUMENTO	REV.	FOGLIO
RS3T	30 D 26	CL	FA00Q0 001	B	71 di 103

AfEP S = Area di ferro effettiva parziale presente nella CC considerata, per la sollecitazione indicata, superiore

AfEP I = Area di ferro effettiva parziale presente nella CC considerata, per la sollecitazione indicata, inferiore

My = Momento flettente intorno all'asse Y

M'ydy = Momento resistente massimo in campo sostanzialmente elastico intorno all'asse Y

MRdy = Momento resistente allo stato limite ultimo intorno all'asse Y

Sic. = Sicurezza a rottura

σ_{std} = Tensione di distacco della fibra di estremità (modo 1)

$\Delta\%$ = Incremento percentuale sicurezza

$\sigma_{t\ sup}$ = Tensione nel ferro - superiore

$\sigma_{t\ inf}$ = Tensione nel ferro - inferiore

σ_c = Tensione nel calcestruzzo

X0 = Coordinata progressiva (dal nodo iniziale) dell'inizio del tratto

X1 = Coordinata progressiva (dal nodo iniziale) della fine del tratto

Lung. = Lunghezza del tratto di progettazione

Staff. = Staffatura adottata

AfE St. = Area di ferro effettiva della staffatura (d'anima per travi a T o L)

bw = Larghezza membratura resistente al taglio

Vsdu = Taglio agente nella direzione del momento ultimo

ctg θ = Cotangente dell'angolo di inclinazione dei puntoni di calcestruzzo

VRsd = Taglio ultimo lato armatura

VRcd = Taglio ultimo lato calcestruzzo

Vrdu = Taglio ultimo assorbibile dal solo calcestruzzo

Sic.T = Sicurezza a rottura per taglio

c = Ricoprimento dell'armatura

s = Distanza minima tra le barre

K3 = Coefficiente di forma del diagramma delle tensioni prima della fessurazione

s_{rm} = Distanza media tra le fessure

Φ = Diametro della barra

A_s = Area complessiva dei ferri nell'area di calcestruzzo efficace

A_{c eff} = Area di calcestruzzo efficace

σ_s = Tensione nell'acciaio nella sezione fessurata

σ_{sr} = Tensione nell'acciaio corrispondente al raggiungimento della resistenza a trazione nel calcestruzzo

ϵ_{sm} = Deformazione unitaria media dell'armatura (*1000)

Wk = Apertura delle fessure

Tipo = Tipologia

2C = Doppia C lato labbri

2Cdx = Doppia C lato costola

2I = Doppia I

2L = Doppia L lato labbri

2Ldx = Doppia L lato costole

C = Sezione a C

Cdx = C destra

Cir. = Circolare

Cir.c = Circolare cava

I = Sezione a I

L = Sezione a L

Ldx = L destra

Om. = Omega

Pg = Pi greco

Pr = Poligono regolare

Prc = Poligono regolare cavo

Pc = Per coordinate

Ia = Inerzie assegnate

R = Rettangolare

Rc = Rettangolare cava

T = Sezione a T

Fabbricato IS-PP/ACC - Tipologico Q - Relazione di calcolo

COMMESSA	LOTTO	CODIFICA	DOCUMENTO	REV.	FOGLIO
RS3T	30 D 26	CL	FA00Q0 001	B	72 di 103

U = Sezione a U
Ur = U rovescia
V = Sezione a V
Vr = V rovescia
Z = Sezione a Z
Zdx = Z destra
Ts = T stondata
Ls = L stondata
Cs = C stondata
Is = I stondata
Dis. = Disegnata

B = Base

H = Altezza

Cf sup = Copriferro superiore

Cf inf = Copriferro inferiore

Cls = Tipo di calcestruzzo

Fck = Resistenza caratteristica cilindrica a compressione del calcestruzzo

Fctk = Resistenza caratteristica a trazione del calcestruzzo

Fcd = Resistenza di calcolo a compressione del calcestruzzo

Fctd = Resistenza di calcolo a trazione del calcestruzzo

Tp = Tipo di acciaio

Fyk = Tensione caratteristica di snervamento dell'acciaio

Fyd = Resistenza di calcolo dell'acciaio

Caratteristiche delle sezioni e dei materiali utilizzati

Sez.	Tipo	B <cm>	H <cm>	Cf sup <cm>	Cf inf <cm>	Cls	Fck <daN/cm ² >	Fctk <daN/cm ² >	Fcd <daN/cm ² >	Fctd <daN/cm ² >	Tp	Fyk <daN/cm ² >	Fyd <daN/cm ² >
1R		30.00	50.00	5.50	5.50	C30/37	307.10	20.59	174.02	13.73	B450C	4500.00	3913.04

Stato limite ultimo - Verifiche a flessione/pressoflessione

Xg <m>	CC	TCC	El	X <cm>	AfE S <cmq>	AfE I <cmq>	AfEP S <cmq>	AfEP I <cmq>	My <daNm>	MRdy <daNm>	Sic.
0.15	29	SLU	1	15.00	10.05	12.57	10.05	12.57	-10921.80	-16108.50	1.475
3.11	29	SLU	1	311.23	8.04	12.57	8.04	12.57	17486.70	19924.60	1.139
6.97	25	SLU	1	697.00	10.05	12.57	10.05	12.57	-10417.80	-16108.50	1.546

Stato limite elastico - Verifiche a flessione/pressoflessione

Xg <m>	CC	TCC	El	X <cm>	AfE S <cmq>	AfE I <cmq>	AfEP S <cmq>	AfEP I <cmq>	My <daNm>	M'ydy <daNm>	Sic.
0.15	7	SND	1	15.00	10.05	12.57	10.05	12.57	-10922.60	-15532.20	1.422
3.11	19	SND	1	311.23	8.04	12.57	8.04	12.57	11336.80	19110.10	1.686
6.97	19	SND	1	697.00	10.05	12.57	10.05	12.57	-10922.60	-15532.20	1.422

Stato limite d'esercizio - Verifiche tensionali

Xg <m>	CC	TCC	El	X <cm>	AfE S <cmq>	AfE I <cmq>	My <daNm>	σ_r sup <daN/cm ² >	σ_r inf <daN/cm ² >	σ_c <daN/cm ² >
0.15	33	SLE R	1	15.00	10.05	12.57	-7821.70	1968.54	-554.82	60.71
0.15	28	SLE Q	1	15.00	10.05	12.57	-6567.24	1652.82	-465.84	50.97
3.11	33	SLE R	1	311.23	8.04	12.57	12564.90	-985.14	2561.07	99.02
3.11	28	SLE Q	1	311.23	8.04	12.57	11022.30	-864.19	2246.64	86.86
6.97	26	SLE R	1	697.00	10.05	12.57	-7485.70	1883.98	-530.99	58.10

Fabbricato IS-PP/ACC - Tipologico Q - Relazione di calcolo

COMMESSA	LOTTO	CODIFICA	DOCUMENTO	REV.	FOGLIO
RS3T	30 D 26	CL	FA00Q0 001	B	73 di 103

6.97	28	SLE Q	1	697.00	10.05	12.57	-6567.24	1652.83	-465.84	50.97
------	----	-------	---	--------	-------	-------	----------	---------	---------	-------

Stato limite d'esercizio - Verifiche a fessurazione

Caso	Xg <m>	CC	TCC	El	Sez.	Crit.	X <cm>	My <daNm>	c <mm>	s <mm>	K3	S _{rm} <mm>	Φ	A _s <cmq>	A _{c eff} <cmq>	σ _s <daN/cmq>	σ _{sz} <daN/cmq>	ε _{sm}	W _k <mm>
30	0.15	28	SLE Q	1	1	1	15.00	-6567.24	47.00	47.50	0.17	156.03	16.00	10.05	491.13	1652.82	1543.46	0.45	0.12
33	0.15	36	SLE F	1	1	1	15.00	-7485.69	47.00	47.50	0.17	156.03	16.00	10.05	491.13	1883.98	1543.46	0.61	0.16
62	3.11	28	SLE Q	1	1	1	311.23	11022.30	45.00	63.33	0.15	157.49	20.00	12.57	574.82	2246.64	1272.27	0.92	0.25
65	3.11	36	SLE F	1	1	1	311.23	12563.80	45.00	63.33	0.15	157.49	20.00	12.57	574.82	2560.83	1272.27	1.09	0.29
98	6.97	28	SLE Q	1	1	1	697.00	-6567.24	47.00	47.50	0.17	156.03	16.00	10.05	491.13	1652.83	1543.46	0.45	0.12
101	6.97	36	SLE F	1	1	1	697.00	-7485.70	47.00	47.50	0.17	156.03	16.00	10.05	491.13	1883.98	1543.46	0.61	0.16

Stato limite d'esercizio - Verifiche a fessurazione con combinazione rara

Le verifiche sono condotte in ottemperanza a quanto prescritto dal Manuale di Progettazione delle Opere Civili - RFIDTCSIPSMIAIFS001C al §2.5.1.8.3.2.4

VERIFICA A SLE FESSURAZIONE, TENSIONI DI ESERCIZIO - RARA

B	30 cm	M _{max}	125,64 KNm
H	40 cm	R _{ck}	37
c	5 cm	f _{ck}	30,71
d	35 cm	1,2xf _{ctm}	3,60 N/mm ²
nbarre	5	f _{sd}	374 N/mm ²
d _{medio}	1,93 cm	f _{yk}	430 N/mm ²
c'	4,04 cm		
d _{eff1}	18,5 cm		
d _{eff2}	12,63 cm		
d _{eff}	12,6 cm		

determinazione ε_{sm}

β ₁	1	c	4,036672 cm
β ₂	0,5	s	5,00 cm
E _s	206000 N/mm ²	k ₂	0,4
ε _{sm} =	0,130%	k ₃	0,125
S _{rm} =	11,577841	φ	1,926655 cm
		n	5
		A _s	14,57699 cm ²
		b	30 cm
		A _{c,eff}	378,98 cm ²
		ρ _r	0,038464

determinazione w_k

w_k = 0,257 mm w_{lim} = 0,3 mm **OK**

 ITALFERR GRUPPO FERROVIE DELLO STATO ITALIANE	DIRETTRICE FERROVIARIA MESSINA – CATANIA – PALERMO NUOVO COLLEGAMENTO PALERMO – CATANIA TRATTA LERCARA DIR – CALTANISSETTA XIRBI (LOTTO 3) FABBRICATI					
	Fabbricato IS-PP/ACC - Tipologico Q - Relazione di calcolo	COMMESSA	LOTTO	CODIFICA	DOCUMENTO	REV.
	RS3T	30 D 26	CL	FA00Q0 001	B	74 di 103

8.4.2 Verifica a taglio e torsione

Al fine di escludere la formazione di meccanismi inelastici dovuti al taglio, le sollecitazioni di taglio di calcolo V_{Ed} si ottengono sommando il contributo dovuto ai carichi gravitazionali agenti sulla trave, considerata incernierata agli estremi, alle sollecitazioni di taglio corrispondenti alla formazione di cerniere plastiche nella trave e prodotte dai momenti resistenti (ultimi) delle due sezioni di plasticizzazione (generalmente quelle di estremità) amplificati del fattore di sovra resistenza γ_{Rd} assunto pari a 1.0 per CDB.

Deve risultare (NTC2018 – 4.1.2.1.3.2):

$$V_{Rd} > V_d$$

dove:

V_d = Valore di calcolo del taglio agente;

$$V_{Rd} = \min (V_{Rsd}, V_{Rcd})$$

Con riferimento all'armatura trasversale, la resistenza di calcolo a "taglio trazione" si calcola con:

$$V_{Rsd} = 0.9 \cdot d \cdot \frac{A_{sw}}{s} \cdot f_{yd} \cdot (\text{ctg}\alpha + \text{ctg}\theta) \cdot \sin\alpha$$

Con riferimento al calcestruzzo d'anima, la resistenza di calcolo a "taglio compressione" si calcola con:

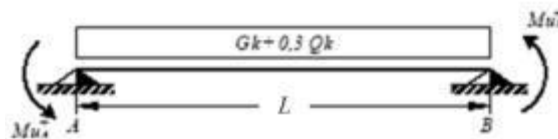
$$V_{Rcd} = 0.9 \cdot d \cdot b_w \cdot \alpha_c \cdot f'_{cd} \cdot (\text{ctg}\alpha + \text{ctg}\theta) / (1 + \text{ctg}^2\theta)$$

dove:

α : Angolo d'inclinazione dell'armatura trasversale rispetto all'asse dell'elemento;

θ : Angolo d'inclinazione dei puntoni in calcestruzzo rispetto all'asse dell'elemento.

- **1° Schema:**



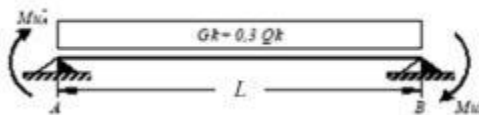
Il taglio è variabile linearmente lungo la trave ed è pari a:

$$V_A = \gamma_{Rd} \frac{Mu_A^+ + Mu_B^+}{l_{trave}} + \frac{(G_k + 0,3Q_k) \cdot l_{trave}}{2}$$

$$V_B = \gamma_{Rd} \frac{Mu_A^+ + Mu_B^+}{l_{trave}} - \frac{(G_k + 0,3Q_k) \cdot l_{trave}}{2}$$

 GRUPPO FERROVIE DELLO STATO ITALIANE	DIRETTRICE FERROVIARIA MESSINA – CATANIA – PALERMO NUOVO COLLEGAMENTO PALERMO – CATANIA TRATTA LERCARA DIR – CALTANISSETTA XIRBI (LOTTO 3) FABBRICATI				
	Fabbricato IS-PP/ACC - Tipologico Q - Relazione di calcolo	COMMESSA RS3T	LOTTO 30 D 26	CODIFICA CL	DOCUMENTO FA00Q0 001

• **2° Schema:**



Il taglio è variabile linearmente lungo la trave ed è pari a:

$$V_A = \gamma_{Rd} \frac{Mu^-_A + Mu^-_B}{l_{trave}} + \frac{(G_k + 0,3Q_k) \cdot l_{trave}}{2}$$

$$V_B = \gamma_{Rd} \frac{Mu^-_A + Mu^-_B}{l_{trave}} - \frac{(G_k + 0,3Q_k) \cdot l_{trave}}{2}$$

La verifica di resistenza nei confronti della torsione (SLU) (NTC2018 – 4.1.2.1.4) consiste nel controllare che:

$$T_{Rd} \geq T_{Ed}$$

dove T_{Ed} è il valore di calcolo del momento torcente.

Per elementi prismatici sottoposti a torsione semplice o combinata con altre sollecitazioni, che abbiano sezione piena o cava, lo schema resistente è costituito da un traliccio periferico in cui gli sforzi di trazione sono affidati alle armature longitudinali e trasversali ivi contenute e gli sforzi di compressione sono affidati alle bielle di calcestruzzo.

Con riferimento al calcestruzzo la resistenza si calcola con:

$$T_{Rcd} = 2 \cdot A \cdot t \cdot f'_{cd} \cdot \text{ctg}\theta / (1 + \text{ctg}\theta)$$

dove t è lo spessore della sezione cava; per sezioni piene $t = A_c/u$ dove A_c è l'area della sezione ed u è il suo perimetro; t deve essere assunta comunque ≥ 2 volte la distanza fra il bordo e il centro dell'armatura longitudinale.

Le armature longitudinali e trasversali del traliccio resistente devono essere poste entro lo spessore t del profilo periferico. Le barre longitudinali possono essere distribuite lungo detto profilo, ma comunque una barra deve essere presente su tutti i suoi spigoli.

Con riferimento alle staffe trasversali la resistenza si calcola con:

$$T_{Rsd} = 2 \cdot A \cdot (A_s/s) \cdot f_{yd} \cdot \text{ctg}\theta$$

Con riferimento all'armatura longitudinale la resistenza si calcola con:

$$T_{Rsd} = 2 \cdot A \cdot (\sum A_l/u_m) \cdot f_{yd} / \text{ctg}\theta$$

dove si è posto:

 ITALFERR GRUPPO FERROVIE DELLO STATO ITALIANE	DIRETTRICE FERROVIARIA MESSINA – CATANIA – PALERMO NUOVO COLLEGAMENTO PALERMO – CATANIA TRATTA LERCARA DIR – CALTANISSETTA XIRBI (LOTTO 3) FABBRICATI					
	Fabbricato IS-PP/ACC - Tipologico Q - Relazione di calcolo	COMMESSA RS3T	LOTTO 30 D 26	CODIFICA CL	DOCUMENTO FA00Q0 001	REV. B

A area racchiusa dalla fibra media del profilo periferico;

As area delle staffe;

u_m perimetro medio del nucleo resistente;

s passo delle staffe;

ΣA_l area complessiva delle barre longitudinali.

L'inclinazione θ delle bielle compresse di calcestruzzo rispetto all'asse della trave deve rispettare i limiti seguenti:

$$0,4 \leq \text{ctg } \theta \leq 2,5$$

Entro questi limiti, nel caso di torsione pura, può porsi $\text{ctg } \theta = (a_l/a_s)^{1/2}$

con: $a_l = \Sigma A_l / u_m$

$$a_s = A_s / s$$

La resistenza alla torsione della trave è la minore delle tre sopra definite.

Si riporta di seguito un prospetto riepilogativo con i valori delle sollecitazioni taglianti e torcenti ottenute seguendo la metodologia descritta e riportata negli schemi precedenti:

Poiché il valore del taglio determinato mediante la procedura sopra riportata è maggiore del taglio di calcolo ottenuto a valle dell'analisi strutturale mediante il MODEST ($V_2=155.80$ kN) si procede alla verifica di resistenza considerando il seguente valore del taglio massimo:

$$V_{Ed-max} = 155.80 \text{ kN}$$

Staffe - Verifiche armatura

CC	X0 <m>	X1 <m>	Lung. <m>	Staff.	Afe St. <cmq/m>	bw <m>	Vsdu <daN>	ctg	VRsd <daN>	VRcd <daN>	Vrdu <daN>	Sic.T
29 SLU	0.15	0.65	0.50	ø8/10 2 br.	10.05	0.30	15580.80	2.37	37401.50	37401.50	37401.50	2.40
29 SLU	0.65	6.47	5.82	ø8/20 2 br.	5.03	0.30	13317.90	2.50	19693.70	36049.80	19693.70	1.48
25 SLU	6.47	6.97	0.50	ø8/10 2 br.	10.05	0.30	15433.00	2.37	37401.50	37401.50	37401.50	2.42

Si adotteranno nelle zone d'appoggio, per un tratto pari ad 65 cm dal filo esterno del pilastro, staffe $\Phi 8/10$ cm, per il rispetto dei limiti normativi, mentre nelle zone centrali di campata staffe $\Phi 8/20$ cm.

 ITALFERR GRUPPO FERROVIE DELLO STATO ITALIANE	DIRETTRICE FERROVIARIA MESSINA – CATANIA – PALERMO NUOVO COLLEGAMENTO PALERMO – CATANIA TRATTA LERCARA DIR – CALTANISSETTA XIRBI (LOTTO 3) FABBRICATI					
	Fabbricato IS-PP/ACC - Tipologico Q - Relazione di calcolo	COMMESSA	LOTTO	CODIFICA	DOCUMENTO	REV.
	RS3T	30 D 26	CL	FA00Q0 001	B	77 di 103

8.4.3 Verifica limitazioni armatura

In ogni sezione della trave, il rapporto geometrico ρ relativo all'armatura tesa, indipendentemente dal fatto che l'armatura tesa sia quella al lembo superiore della sezione A_s o quella al lembo inferiore della sezione A_i , deve essere compreso entro i seguenti limiti:

$$\frac{1,4}{f_{yk}} < \rho < \rho_{comp} + \frac{3,5}{f_{yk}}$$

dove:

$\rho = A_s / (bh)$ Rapporto geometrico relativo all'armatura tesa

$\rho_{comp} = A_s' / (bh)$ Rapporto geometrico relativo all'armatura compressa

Dati Geometrici

Trave:

Base	b=	30cm
altezza	h=	50cm
allargamento	dsx =	0cm
allargamento	ddx =	0cm
copriferro	c=	5cm

ok

ok

ok

ok

Valori max	Limit. geometriche 7.4.6.1.1	
30cm	$b \geq 20\text{cm}$	$b \leq 2l_p$
120cm	$b/h \geq 0,25$	
25cm	$dsx \leq h/2$	
25cm	$ddx \leq h/2$	

Dati di armatura

Tipo CLS	C30/37	(min C20/25)	D.M.(7.4.2.1)	$R_{ck} = 37$ N/mm ²			
Tipo Acciaio	B450C	(B450C)	D.M.(7.4.2.2)				
fck=	30,71	fcd=	17,40	D.M.(4.1.2.1.1.1)	fctm=	2,94	D.M.(11.2.10.2)
fyk=	450	fyd=	391,30	D.M.(4.1.2.1.1.3)			
Diametro min. armatura long.	16	$\geq \Phi 14$	D.M.(7.4.6.2.1)				
Diametro staffe	8	$\geq \Phi 6$	D.M.(7.4.6.2.1)				
N° braccia staffe	2						

Armatura longitudinale

In campata	n°ferri_tesi	4	As=	8,04cm ²	As=	8,04cm ²
	n°ferri_comp.	3	A's=	6,03cm ²	A's=	6,03cm ²
zona critica	n°ferri_tesi	4	As=	8,04cm ²	As=	8,04cm ²
	n°ferri_comp.	3	A's=	6,03cm ²	A's=	6,03cm ²

Limitazioni Armatura longitudinale 7.4.6.2.1

In campata:	ρ ; ρ_{comp}	Arm. min.	Arm. max.	limitazioni	
	0,00536	4,7cm ²	17,7cm ²	$.4/fyk < \rho < (\rho_{comp} + (3.5/fyk))$	OK
	0,00402	2,0cm ²		$\rho_{comp} \geq 0,25\rho$	OK
zona critica:	0,00536	4,7cm ²	17,7cm ²	$1.4/fyk < \rho < (\rho_{comp} + (3.5/fy))$	OK
	0,00402	4,0cm ²		$\rho_{comp} \geq 0,5\rho$	OK

In ogni caso almeno il 50% dell'armatura necessaria per il taglio deve essere costituita da staffe.

Per gli elementi in esame l'armatura trasversale è costituita solo da staffe.

 ITALFERR GRUPPO FERROVIE DELLO STATO ITALIANE	DIRETTRICE FERROVIARIA MESSINA – CATANIA – PALERMO NUOVO COLLEGAMENTO PALERMO – CATANIA TRATTA LERCARA DIR – CALTANISSETTA XIRBI (LOTTO 3) FABBRICATI					
	Fabbricato IS-PP/ACC - Tipologico Q - Relazione di calcolo	COMMESSA RS3T	LOTTO 30 D 26	CODIFICA CL	DOCUMENTO FA00Q0 001	REV. B

8.5 PILASTRI D'ANGOLO (30X60)

Si riportano di seguito le verifiche strutturali dei pilastri d'angolo aventi sezione rettangolare di dimensioni 30x60 cm. Le verifiche saranno condotte per i differenti stati limite ed in corrispondenza delle sezioni maggiormente sollecitate dell'elemento per effetto delle combinazioni di carico più gravose.

Preliminarmente alla verifica di resistenza dei pilastri allo SLU è necessario valutare la stabilità degli elementi snelli. Tali verifiche devono essere condotte attraverso un'analisi del secondo ordine che tenga conto degli effetti flessionali delle azioni assiali sulla configurazione deformata degli elementi stessi. In via approssimativa gli effetti del secondo ordine in pilastri singoli possono essere trascurati se la snellezza λ non supera il valore limite (4.1.2.1.7-NTC2018):

$$\lambda_{lim} = 15.4 \cdot \frac{C}{\sqrt{\nu}}$$

dove:

$\nu = N_{Ed} / (A_c \cdot f_{cd})$ è l'azione assiale adimensionale;

$C = 1,7 - r_m$ dipende dalla distribuzione dei momenti del primo ordine;

$r_m = M_{01} / M_{02}$ rapporto tra i momenti flettenti del primo ordine alle due estremità del pilastro (con $M_{02} \geq M_{01}$).

E' stata valutata la snellezza λ del pilastro:

SNELLEZZA LIMITE PILASTRI

$$\lambda_{lim} = 15.4 \cdot \frac{C}{\sqrt{\nu}}$$

NED =	136653	N
B =	300	mm
H =	600	mm
fcd =	17,40	N/mm ²

n 0,0436

C 2,154

Mtesta	49392000	Nxmm
Mpiede	108687000	Nxmm
r _m	0,4544	

l limite 158,824

SNELLEZZA PILASTRO

J min	1,35E+09	mm ⁴
r min	86,603	mm

b	1	
L0	4200	mm

l pilastro 48,497

 ITALFERR GRUPPO FERROVIE DELLO STATO ITALIANE	DIRETTRICE FERROVIARIA MESSINA – CATANIA – PALERMO NUOVO COLLEGAMENTO PALERMO – CATANIA TRATTA LERCARA DIR – CALTANISSETTA XIRBI (LOTTO 3) FABBRICATI					
	Fabbricato IS-PP/ACC - Tipologico Q - Relazione di calcolo	COMMESSA	LOTTO	CODIFICA	DOCUMENTO	REV.
	RS3T	30 D 26	CL	FA00Q0 001	B	80 di 103

La verifica risulta soddisfatta.

Per quanto concerne le non linearità geometriche sono prese in conto, quando necessario, attraverso il fattore θ di seguito definito. In particolare, per le costruzioni civili ed industriali esse possono essere trascurate nel caso in cui risulti:

$$\theta = \frac{P \cdot d_r}{V \cdot h} \leq 0.1$$

dove:

P è il carico verticale totale agente;

d_r è lo spostamento orizzontale medio d'interpiano;

V è la forza orizzontale totale agente;

h è l'altezza dell'elemento.

Si riporta di seguito la verifica delle non linearità geometriche facendo riferimento alle combinazioni di carico che producono lo spostamento orizzontale maggiore SLD_Y.

Elenco spostamenti e rigidezze teoriche di impalcato

Simbologia

Imp. = Numero dell'impalcato
 Sx = Spostamento impalcato in dir. X
 Rig X = Rigidezza teorica in direzione X
 Dif X % = Differenza percentuale della rigidezza X rispetto all'impalcato precedente
 Θ_x = Coefficiente Θ in dir. X
 Br X = Coordinata X della posizione baricentro rigidezze teorico
 Sy = Spostamento impalcato in dir. Y
 Rig Y = Rigidezza teorica in direzione Y
 Dif Y % = Differenza percentuale della rigidezza Y rispetto all'impalcato precedente
 Θ_y = Coefficiente Θ in dir. Y
 Br Y = Coordinata Y della posizione baricentro rigidezze teorico

Imp.	Sx <m>	Rig X <kN/m>	Dif X %	Θ_x	Br X <m>	Sy <m>	Rig Y <kN/m>	Dif Y %	Θ_y	Br Y <m>
1	3.33E-03	231978.00	0.00	2.44E-03	19.47	4.45E-03	173525.00	0.00	3.27E-03	3.71

$$\Theta_{y, \max} = 0.00327 < 0.1$$

8.5.1 Verifica a flessione

Nelle tabelle seguenti sono riportate le sollecitazioni ottenute agli SLU statico e simico ed agli SLE (rara, frequente e quasi permanente).

CC	TCC	X <m>	N <kN>	Ty <kN>	Mz <kNm>	Tz <kN>	My <kNm>	Mx <kNm>
25	SLU	0.00	-141055	-2102	3016	-42702	59845	-0.000
25	SLU	3.95	-117948	-2102	-5284	-42702	-108827	-0.000
29	SLU	0.00	-149729	-1608	1938	-71228	121538	0.306
29	SLU	3.95	-126621	-1608	-4413	-59379	-136411	0.306
30	SLU	0.00	-144807	-13998	19429	-42702	59845	-0.000
30	SLU	3.95	-121699	-2148	-12458	-42702	-108827	-0.000
31	SLU	0.00	-146259	-1805	2369	-59818	96861	0.183
31	SLU	3.95	-123152	-1805	-4762	-52708	-125377	0.183
32	SLU	0.00	-143306	-9239	12864	-42702	59845	-0.000
32	SLU	3.95	-120199	-2129	-9589	-42702	-108827	-0.000

CC	TCC	X <m>	N <kN>	Ty <kN>	Mz <kNm>	Tz <kN>	My <kNm>	Mx <kNm>
26	SLE R	0.00	-102594	-1522	2185	-30634	42933	-0.000
26	SLE R	3.95	-84819	-1522	-3828	-30634	-78073	-0.000
33	SLE R	0.00	-108376	-1193	1466	-49652	84061	0.204
33	SLE R	3.95	-90601	-1193	-3247	-41752	-96462	0.204
34	SLE R	0.00	-105095	-9453	13127	-30634	42933	-0.000
34	SLE R	3.95	-87320	-1553	-8610	-30634	-78073	-0.000
35	SLE R	0.00	-106063	-1325	1754	-42045	67610	0.122
35	SLE R	3.95	-88288	-1325	-3479	-37305	-89106	0.122

CC	TCC	X <m>	N <kN>	Ty <kN>	Mz <kNm>	Tz <kN>	My <kNm>	Mx <kNm>
27	SLE F	0.00	-96689	-1510	2168	-28123	39413	-0.000
27	SLE F	3.95	-78914	-1510	-3798	-28123	-71672	-0.000
36	SLE F	0.00	-104094	-6281	8750	-30634	42933	-0.000
36	SLE F	3.95	-86319	-1541	-6697	-30634	-78073	-0.000
37	SLE F	0.00	-97846	-1445	2025	-31927	47639	0.041
37	SLE F	3.95	-80071	-1445	-3681	-30347	-75350	0.041
38	SLE F	0.00	-97190	-3097	4357	-28123	39413	-0.000
38	SLE F	3.95	-79415	-1517	-4754	-28123	-71672	-0.000
39	SLE F	0.00	-96689	-1510	2168	-28123	39413	-0.000
39	SLE F	3.95	-78914	-1510	-3798	-28123	-71672	-0.000

CC	TCC	X <m>	N <kN>	Ty <kN>	Mz <kNm>	Tz <kN>	My <kNm>	Mx <kNm>
----	-----	-------	--------	---------	----------	---------	----------	----------

 ITALFERR GRUPPO FERROVIE DELLO STATO ITALIANE	DIRETTRICE FERROVIARIA MESSINA – CATANIA – PALERMO NUOVO COLLEGAMENTO PALERMO – CATANIA TRATTA LERCARA DIR – CALTANISSETTA XIRBI (LOTTO 3) FABBRICATI					
	Fabbricato IS-PP/ACC - Tipologico Q - Relazione di calcolo	COMMESSA RS3T	LOTTO 30 D 26	CODIFICA CL	DOCUMENTO FA00Q0 001	REV. B

28	SLE Q	0.00	-95213	-1507	2164	-27495	38533	-0.000
28	SLE Q	3.95	-77438	-1507	-3790	-27495	-70073	-0.000
40	SLE Q	0.00	-95213	-1507	2164	-27495	38533	-0.000
40	SLE Q	3.95	-77438	-1507	-3790	-27495	-70073	-0.000

Pilastrati d'angolo

In funzione delle sollecitazioni si è dimensionata opportunamente l'armatura longitudinale del pilastro:

- Armatura lati corti 3 Φ 20
- Armatura lato lungo 7 Φ 20

Le verifiche di resistenza a flessione allo SLU ed agli SLE (NTC2018 – 4.1.2.1.2.4) per le sezioni di incastro e di campata sono state condotte con il supporto del MODEST considerando le sollecitazioni riportate nel prospetto precedente.

Essendo i pilastrati orientati in maniera diversa sono state eseguite le verifiche coerentemente con l'orientamento degli assi locali definiti nel modello di calcolo.

Pilastrata n. 1

Nodi: 1 101

Simbologia

Xg	=	Coordinata progressiva (dal primo nodo) in cui viene effettuato il progetto/verifica
CC	=	Combinazione delle condizioni di carico elementari
	e	= eccentricità aggiuntiva in caso di compressione o pressoflessione
	α	= amplificazione per gerarchia delle resistenze
	TG	= taglio da gerarchia delle resistenze
TCC	=	Tipo di combinazione di carico
	SLU	= Stato limite ultimo
	SLU S	= Stato limite ultimo (azione sismica)
	SLE R	= Stato limite d'esercizio, combinazione rara
	SLE F	= Stato limite d'esercizio, combinazione frequente
	SLE Q	= Stato limite d'esercizio, combinazione quasi permanente
	SLD	= Stato limite di danno
	SLV	= Stato limite di salvaguardia della vita
	SLC	= Stato limite di prevenzione del collasso
	SLO	= Stato limite di operatività
	SLU I	= Stato limite di resistenza al fuoco
	SND	= Stato limite di salvaguardia della vita (non dissipativo)
El	=	Elemento (asta) in cui viene effettuato il progetto/verifica (progressivo sul numero di aste)
Sez.	=	Numero della sezione
X	=	Coordinata progressiva rispetto al nodo iniziale
N	=	Sforzo normale

Fabbricato IS-PP/ACC - Tipologico Q - Relazione di calcolo

COMMESSA	LOTTO	CODIFICA	DOCUMENTO	REV.	FOGLIO
RS3T	30 D 26	CL	FA00Q0 001	B	83 di 103

Mz = Momento flettente intorno all'asse Z
My = Momento flettente intorno all'asse Y
My ver. = Momento flettente di verifica intorno all'asse Y
c = Ricoprimento dell'armatura
s = Distanza minima tra le barre
K3 = Coefficiente di forma del diagramma delle tensioni prima della fessurazione
s_{rm} = Distanza media tra le fessure
Φ = Diametro della barra
A_s = Area complessiva dei ferri nell'area di calcestruzzo efficace
A_{c eff} = Area di calcestruzzo efficace
σ_s = Tensione nell'acciaio nella sezione fessurata
σ_{sr} = Tensione nell'acciaio corrispondente al raggiungimento della resistenza a trazione nel calcestruzzo
ε_{sm} = Deformazione unitaria media dell'armatura (*1000)
Wk = Apertura delle fessure
M = Momento flettente
MRd = Momento resistente allo stato limite ultimo
μΦ = Valore di progetto della duttilità di curvatura
Mz ver. = Momento flettente di verifica intorno all'asse Z
Nu = Sforzo normale ultimo
M'ydy = Momento resistente massimo in campo sostanzialmente elastico intorno all'asse Y
M'ydz = Momento resistente massimo in campo sostanzialmente elastico intorno all'asse Z
MRdy = Momento resistente allo stato limite ultimo intorno all'asse Y
MRdz = Momento resistente allo stato limite ultimo intorno all'asse Z
α = Angolo asse neutro a rottura
ε_y = Deformazione nell'acciaio (*1000)
Sic. = Sicurezza a rottura
AfT = Area di ferro tesa
AfC = Area di ferro compressa
σ_c = Tensione nel calcestruzzo
σ_f = Tensione nel ferro
X0 = Coordinata progressiva (dal nodo iniziale) dell'inizio del tratto
X1 = Coordinata progressiva (dal nodo iniziale) della fine del tratto
Staff. = Staffatura adottata
Br_y = Numero bracci in dir. Y locale
Br_z = Numero bracci in dir. Z locale
bw_y = Larghezza membratura resistente al taglio in dir. Y
Vsdu_y = Taglio agente in dir. Y
ctgθ_y = Cotangente dell'angolo di inclinazione dei puntoni di calcestruzzo in dir. Y
VRsd_y = Taglio ultimo lato armatura in dir. Y
VRcd_y = Taglio ultimo lato calcestruzzo in dir. Y
bw_z = Larghezza membratura resistente al taglio in dir. Z
Vsdu_z = Taglio agente in dir. Z
ctgθ_z = Cotangente dell'angolo di inclinazione dei puntoni di calcestruzzo in dir. Z
VRsd_z = Taglio ultimo lato armatura in dir. Z
VRcd_z = Taglio ultimo lato calcestruzzo in dir. Z
Sic.T = Sicurezza a rottura per taglio
Nodo = Numero del nodo
Conf. = Nodo confinato
S = Sì
N = No
F. = Identificativo faccia del nodo

Fabbricato IS-PP/ACC - Tipologico Q - Relazione di calcolo

COMMESSA	LOTTO	CODIFICA	DOCUMENTO	REV.	FOGLIO
RS3T	30 D 26	CL	FA00Q0 001	B	84 di 103

Y+ = Faccia sul lato positivo Y locale pilastro

Z+ = Faccia sul lato positivo Z locale pilastro

Y- = Faccia sul lato negativo Y locale pilastro

Z- = Faccia sul lato negativo Z locale pilastro

Mod. = Modalità di verifica faccia

I = Interna

E = Esterna

Br. = Numero bracci

As1 = Area di ferro superiore delle travi incidenti sulla faccia

As2 = Area di ferro inferiore delle travi incidenti sulla faccia

Bj = Larghezza effettiva utile del nodo

Hjc = Distanza tra armature pilastro

Hjw = Distanza tra armature trave

Ash = Area totale della sezione della staffa

Tipo = Tipologia

2C = Doppia C lato labbri

2Cdx = Doppia C lato costola

2I = Doppia I

2L = Doppia L lato labbri

2Ldx = Doppia L lato costole

C = Sezione a C

Cdx = C destra

Cir. = Circolare

Cir.c = Circolare cava

I = Sezione a I

L = Sezione a L

Ldx = L destra

Om. = Omega

Pg = Pi greco

Pr = Poligono regolare

Prc = Poligono regolare cavo

Pc = Per coordinate

Ia = Inerzie assegnate

R = Rettangolare

Rc = Rettangolare cava

T = Sezione a T

U = Sezione a U

Ur = U rovescia

V = Sezione a V

Vr = V rovescia

Z = Sezione a Z

Zdx = Z destra

Ts = T stondata

Ls = L stondata

Cs = C stondata

Is = I stondata

Dis. = Disegnata

B = Base

H = Altezza

Cf = Copriferro

Cls = Tipo di calcestruzzo

Fck = Resistenza caratteristica cilindrica a compressione del calcestruzzo

Fabbricato IS-PP/ACC - Tipologico Q - Relazione di calcolo

COMMESSA	LOTTO	CODIFICA	DOCUMENTO	REV.	FOGLIO
RS3T	30 D 26	CL	FA00Q0 001	B	85 di 103

Fctk = Resistenza caratteristica a trazione del calcestruzzo
 Fcd = Resistenza di calcolo a compressione del calcestruzzo
 Fctd = Resistenza di calcolo a trazione del calcestruzzo
 Tp = Tipo di acciaio
 Fyk = Tensione caratteristica di snervamento dell'acciaio
 Fyd = Resistenza di calcolo dell'acciaio

Caratteristiche delle sezioni e dei materiali utilizzati

Sez.	Tipo	B <cm>	H <cm>	Cf <cm>	Cls	Fck <daN/cm²>	Fctk <daN/cm²>	Fcd <daN/cm²>	Fctd <daN/cm²>	Tp	Fyk <daN/cm²>	Fyd <daN/cm²>
3R		30.00	60.00	6.00	C30/37	307.10	20.59	174.02	13.73	B450C	4500.00	3913.04

Stato limite ultimo - Verifiche a flessione/pressoflessione

Xg <m>	CC	TCC	El	Sez.	X <cm>	N <daN>	My <daNm>	My ver. <daNm>	Mz <daNm>	Mz ver. <daNm>	Nu <daN>	MRdy <daNm>	MRdz <daNm>	α <grad>	ε _y	Sic.
0.00	29 (e)	SLU	1	3	0.00	-14972.90	12153.80	12153.80	193.80	325.66	-14972.90	42459.90	1806.13	11.25	5.67	3.495
0.00	29 (e)	SLU	1	3	0.00	-14972.90	12153.80	12153.80	193.80	325.66	-14972.90	42459.90	1806.13	11.25	5.67	3.495
3.85	29	SLU	1	3	385.00	-12720.60	-13045.80		-425.23		-12720.60	-42197.60	-1793.48	191.25	5.76	3.236

Stato limite elastico - Verifiche a flessione/pressoflessione

Xg <m>	CC	TCC	El	Sez.	X <cm>	N <daN>	My <daNm>	My ver. <daNm>	Mz <daNm>	Mz ver. <daNm>	Nu <daN>	M'ydy <daNm>	M'ydz <daNm>	α <grad>	ε _y	Sic.
0.00	7	SND	1	3	0.00	-6194.50	26081.20		1568.20		-6194.50	30136.50	2037.15	16.88	5.70	1.156
0.00	7	SND	1	3	0.00	-6194.50	26081.20		1568.20		-6194.50	30136.50	2037.15	16.88	5.70	1.156
3.85	7	SND	1	3	385.00	-4462.00	-16892.10		-1354.74		-4462.00	-29686.80	-2781.56	202.50	5.43	1.759

Stato limite d'esercizio - Verifiche tensionali

Xg <m>	CC	TCC	El	Sez.	X <cm>	N <daN>	Mz <daNm>	My <daNm>	AfT <cmq>	AfC <cmq>	σ _c <daN/cm²>	σ _f <daN/cm²>
0.00	33	SLE R	1	3	0.00	-10837.60	146.61	8406.15	28.27	21.99	51.03	878.75
0.00	28	SLE Q	1	3	0.00	-9521.34	216.42	3853.35	25.13	25.13	25.91	326.18
0.00	33	SLE R	1	3	0.00	-10837.60	146.61	8406.15	28.27	21.99	51.03	878.75
0.00	28	SLE Q	1	3	0.00	-9521.34	216.42	3853.35	25.13	25.13	25.91	326.18
3.85	33	SLE R	1	3	385.00	-9105.12	-312.77	-9227.68	28.27	21.99	57.64	1044.50
3.85	28	SLE Q	1	3	385.00	-7788.84	-363.93	-6732.29	28.27	21.99	44.06	754.62

Stato limite d'esercizio - Verifiche a fessurazione

Xg <m>	CC	TCC	El	Sez.	X <cm>	N <daN>	My <daNm>	Mz <daNm>	c <mm>	s <mm>	K3	S _{rm} <mm>	Φ	A _s <cmq>	A _{c off} <cmq>	σ _s <daN/cm²>	σ _{sr} <daN/cm²>	ε _{sm}	Wk <mm>
0.00	28	SLE Q	1	3	0.00	-9521.34	3853.35	216.42	49.00	80.33	0.13	161.30	20.00	25.13	1187.08	326.18	879.42	0.06	0.02
0.00	28	SLE Q	1	3	0.00	-9521.34	3853.35	216.42	49.00	80.33	0.13	161.30	20.00	25.13	1187.08	326.18	879.42	0.06	0.02
3.85	28	SLE Q	1	3	385.00	-7788.84	-6732.29	-363.93	49.00	80.33	0.13	159.75	20.00	28.27	1291.57	754.62	1015.72	0.15	0.04

Staffe - Verifiche armatura

X0 <m>	X1 <m>	Staff.	Br _y	Br _z	CC	TCC	bw _y <cm>	Vsdu _y <daN>	ctgθ _y	VRsd _y <daN>	VRcd _y <daN>	bw _z <cm>	Vsdu _z <daN>	ctgθ _z	VRsd _z <daN>	VRcd _z <daN>	Sic. T
0.00	0.64	ø10/ 8	2	2	29	SLU	0.60	160.79	2.47	41225.90	41225.90	0.30	7122.85	1.60	59853.90	59853.90	8.40
0.00	0.64	ø10/ 8	2	2	30	SLU	0.60	1399.78	2.47	41189.90	41189.90	0.30	4270.16	1.60	59791.40	59791.40	14.00
0.00	0.64	ø10/ 8	2	2	10	SND	0.60	129.84	2.46	41057.70	41057.70	0.30	11161.90	1.59	59561.90	59561.90	5.34



DIRETTRICE FERROVIARIA MESSINA – CATANIA – PALERMO
 NUOVO COLLEGAMENTO PALERMO – CATANIA
 TRATTA LERCARA DIR – CALTANISSETTA XIRBI (LOTTO 3)
 FABBRICATI

Fabbricato IS-PP/ACC - Tipologico Q - Relazione di calcolo

COMMESSA	LOTTO	CODIFICA	DOCUMENTO	REV.	FOGLIO
RS3T	30 D 26	CL	FA00Q0 001	B	86 di 103

0.00	0.64	ø10/ 8	2	2	13	SND	0.60	1778.00	2.46	40985.30	40985.30	0.30	3978.83	1.59	59436.20	59436.20	14.94
0.64	3.21	ø8/18	2	2	29	SLU	0.60	160.79	2.50	11850.60	40866.90	0.30	6930.35	2.50	26602.50	45869.30	3.84
0.64	3.21	ø8/18	2	2	30	SLU	0.60	1207.28	2.50	11850.60	40805.50	0.30	4270.16	2.50	26602.50	45800.40	6.23
0.64	3.21	ø8/18	2	2	10	SND	0.60	129.84	2.50	11850.60	40591.40	0.30	11161.90	2.50	26602.50	45560.00	2.38
0.64	3.21	ø8/18	2	2	7	SND	0.60	759.20	2.50	11850.60	40710.10	0.30	11161.90	2.50	26602.50	45693.20	2.38
0.64	3.21	ø8/18	2	2	13	SND	0.60	1778.00	2.50	11850.60	40468.50	0.30	3978.83	2.50	26602.50	45422.20	6.67
3.21	3.85	ø8/12	2	2	29	SLU	0.60	160.79	2.50	17776.00	40679.70	0.30	6160.35	2.50	39903.70	45659.20	6.48
3.21	3.85	ø8/12	2	2	30	SLU	0.60	437.28	2.50	17776.00	40618.40	0.30	4270.16	2.50	39903.70	45590.30	9.34
3.21	3.85	ø8/12	2	2	10	SND	0.60	129.84	2.50	17776.00	40447.40	0.30	11161.90	2.50	39903.70	45398.40	3.57
3.21	3.85	ø8/12	2	2	7	SND	0.60	759.20	2.50	17776.00	40566.10	0.30	11161.90	2.50	39903.70	45531.60	3.57
3.21	3.85	ø8/12	2	2	13	SND	0.60	1778.00	2.50	17776.00	40324.60	0.30	3978.82	2.50	39903.70	45260.50	10.00

8.5.2 Verifica limitazioni armatura

Resta da verificare che l'armatura determinata in funzione delle sollecitazioni agenti rispetti le limitazioni riportate nel punto 7.4.6.2.2 delle NTC2018:

- Per tutta la lunghezza del pilastro l'interasse tra le barre non deve essere superiore a 25 cm;
- Nella sezione corrente del pilastro, la percentuale geometrica ρ di armatura longitudinale, con ρ rapporto tra l'area dell'armatura longitudinale e l'area della sezione del pilastro, deve essere compresa entro i seguenti limiti:

$$1\% < \rho < 4\%$$

- Nelle zone critiche devono essere rispettate le condizioni seguenti: le barre disposte sugli angoli della sezione devono essere contenute dalle staffe; almeno una barra ogni due, di quelle disposte sui lati, deve essere trattenuta da staffe interne o legature; le barre non fissate si devono trovare a meno di 20 cm da una barra fissata per CDB.
- Il diametro delle staffe di contenimento e legature deve essere non inferiore a 6 mm ed il loro passo deve essere non superiore alla più piccola delle quantità seguenti:
 - 1/2 del lato minore della sezione trasversale per CDB;
 - 175 mm (per CD"B");
 - 8 volte il diametro minimo delle barre longitudinali che collegano (per CD"B")
- Li devono disporre staffe in un quantitativo minimo non inferiore a:

$$\frac{A_{st}}{s} = 0.08 \frac{f_{cd} \cdot b_{st}}{f_{yd}}$$

 ITALFERR GRUPPO FERROVIE DELLO STATO ITALIANE	DIRETTRICE FERROVIARIA MESSINA – CATANIA – PALERMO NUOVO COLLEGAMENTO PALERMO – CATANIA TRATTA LERCARA DIR – CALTANISSETTA XIRBI (LOTTO 3) FABBRICATI					
	Fabbricato IS-PP/ACC - Tipologico Q - Relazione di calcolo	COMMESSA	LOTTO	CODIFICA	DOCUMENTO	REV.
	RS3T	30 D 26	CL	FA00Q0 001	B	87 di 103

Nel caso specifico risulta:

- Le staffe orizzontali presenti lungo l'altezza del nodo devono verificare la seguente condizione

Nella quale n_{st} e A_{st} sono rispettivamente il numero di bracci e l'area della sezione trasversale della barra della singola staffa orizzontale, i è l'interasse, e b_j è la larghezza utile del nodo determinata come segue:

- se la trave ha una larghezza b_w superiore a quella del pilastro b_c , allora b_j è il valore minimo fra b_w e $b_c + h_c/2$, essendo h_c la dimensione della sezione della colonna parallela alla trave;
- se la trave ha una larghezza b_w inferiore a quella del pilastro b_c , allora b_j è il valore minimo fra b_c e $b_w + h_c/2$.

Devono inoltre essere rispettati i limiti riportati al punto 4.1.6.1.2 delle NTC2018:

- Nel caso di elementi sottoposti a prevalente sforzo normale, le barre parallele all'asse devono avere diametro maggiore od uguale a 12 mm. Inoltre la loro area non deve essere inferiore a :

$$A_{s,min} = (0.10 \cdot \frac{N_{Ed}}{f_{yd}})$$

e comunque non minore di 0.003 A_c ;

dove:

N_{Ed} rappresenta lo sforzo di compressione assiale di calcolo;

A_c è l'area di calcestruzzo;

f_{yd} è il valore della resistenza di calcolo dell'armatura.

Nel caso in esame risulta:

Dati Geometrici

Pilastro:	Base	b=	30,0cm
	Altezza sez.	h=	60,0cm
	Copriferro	c=	5,0cm
	Altezza pil.	hp=	400,0cm
	Altezza libera	hl=	400,0cm

OK

Lim. Geom. 7.4.6.1.2	
$b \geq$	25cm

Dati di armatura

Tipo CLS	C30/37	(min C20/25)	D.M.(7.4.2.1)
Tipo Acciaio	B450C	(B450C)	D.M.(7.4.2.2)

$$R_{ck} = 37 \text{ N/mm}^2$$

fck=	30,71	fcd=	17,40	D.M.(4.1.2.1.1.1)	fctm=	2,94	D.M.(11.2.10.2)
fyk=	450	fyd=	391,30	D.M.(4.1.2.1.1.3)			

Diametro armatura long.	20	$\geq \Phi_{12}$	
Diametro staffe	8	$\geq \Phi_6$	OK $\geq (1/4)\Phi_{long}$

Armatura longitudinale

n°ferri "b"	n°ferri "h"
6	14
<i>tot sui due lati</i>	<i>tot sui due lati</i>

$$n^{\circ}\text{ferri}_{tot} = 16$$

$$As+A's = 50,24\text{cm}^2$$

Limitazioni Armatura longitudinale 7.4.6.2.2

ρ	Arm. min.	Arm. max.	limitazioni	
2,79%	18,0cm ²	72,00cm ²	1% $\leq\rho\leq$ 4%	OK

Limitazioni Armatura longitudinale 4.1.6.1.2

Arm. min.	Arm. max.	
5,4	72	OK

Inter. Ferri "b"	12,0cm	OK	≤ 25	OK	\leq	- O R Φ_{4J}
Inter. Ferri "h"	9,0cm	OK	≤ 25	OK	\leq	- O R Φ_{4J}

Si riscontra, pertanto, che l'armatura dei pilastri rispetta i limiti prescritti dalle NTC2018.

 ITALFERR GRUPPO FERROVIE DELLO STATO ITALIANE	DIRETTRICE FERROVIARIA MESSINA – CATANIA – PALERMO NUOVO COLLEGAMENTO PALERMO – CATANIA TRATTA LERCARA DIR – CALTANISSETTA XIRBI (LOTTO 3) FABBRICATI					
	Fabbricato IS-PP/ACC - Tipologico Q - Relazione di calcolo	COMMESSA RS3T	LOTTO 30 D 26	CODIFICA CL	DOCUMENTO FA00Q0 001	REV. B

8.6 PILASTRI INTERNI (30X60)

Si riportano di seguito le verifiche strutturali dei pilastri interni aventi sezione rettangolare di dimensioni 30x60 cm. Le verifiche saranno condotte per i differenti stati limite ed in corrispondenza delle sezioni maggiormente sollecitate dell'elemento per effetto delle combinazioni di carico più gravose.

Preliminarmente alla verifica di resistenza dei pilastri allo SLU è necessario valutare la stabilità degli elementi snelli. Tali verifiche devono essere condotte attraverso un'analisi del secondo ordine che tenga conto degli effetti flessionali delle azioni assiali sulla configurazione deformata degli elementi stessi. In via approssimativa gli effetti del secondo ordine in pilastri singoli possono essere trascurati se la snellezza λ non supera il valore limite (4.1.2.1.7-NTC2018):

$$\lambda_{lim} = 15.4 \cdot \frac{C}{\sqrt{\nu}}$$

dove:

$\nu = N_{Ed} / (A_c \cdot f_{cd})$ è l'azione assiale adimensionale;

$C = 1,7 - r_m$ dipende dalla distribuzione dei momenti del primo ordine;

$r_m = M_{01} / M_{02}$ rapporto tra i momenti flettenti del primo ordine alle due estremità del pilastro (con $M_{02} \geq M_{01}$).

E' stata valutata la snellezza λ del pilastro:

SNELLEZZA LIMITE PILASTRI

$$\lambda_{lim} = 15.4 \cdot \frac{C}{\sqrt{\nu}}$$

NED =	213917	N
B =	300	mm
H =	600	mm
fcd =	17,40	N/mm ²

n 0,0683

C 2,186

Mtesta	24165000	Nxmm
Mpiede	49743000	Nxmm
r _m	0,4858	

l limite 128,789

SNELLEZZA PILASTRO

J min	1,35E+09	mm ⁴
r min	86,603	mm

b	1	
L0	4200	mm

l pilastro 48,497

La verifica risulta soddisfatta.

8.6.1 Verifica a flessione

Nelle tabelle seguenti sono riportate le sollecitazioni ottenute agli SLU statico e simico ed agli SLE (rara, frequente e quasi permanente).

CC	TCC	X <m>	N <kN>	Ty <kN>	Mz <kNm>	Tz <kN>	My <kNm>	Mx <kNm>
25	SLU	0.00	-215991	41792	-59633	-0.224	0.386	-0.000
25	SLU	3.95	-192883	41792	105446	-0.224	-0.501	-0.000
29	SLU	0.00	-217280	60487	-81487	1182	-3081	0.306
29	SLU	3.95	-194172	36787	110629	1182	1587	0.306
30	SLU	0.00	-212824	41792	-59633	-29076	48010	-0.000
30	SLU	3.95	-189717	41792	105446	-5375	-20031	-0.000
31	SLU	0.00	-216764	53009	-72746	0.619	-1694	0.183
31	SLU	3.95	-193657	38789	108556	0.619	0.752	0.183
32	SLU	0.00	-214091	41792	-59633	-17535	28960	-0.000
32	SLU	3.95	-190983	41792	105446	-3315	-12219	-0.000

CC	TCC	X <m>	N <kN>	Ty <kN>	Mz <kNm>	Tz <kN>	My <kNm>	Mx <kNm>
26	SLE R	0.00	-156665	30026	-42844	-0.161	0.278	-0.000
26	SLE R	3.95	-138890	30026	75758	-0.161	-0.359	-0.000
33	SLE R	0.00	-157525	42489	-57413	0.776	-2034	0.204
33	SLE R	3.95	-139750	26689	79213	0.776	1033	0.204
34	SLE R	0.00	-154555	30026	-42844	-19395	32027	-0.000
34	SLE R	3.95	-136780	30026	75758	-3595	-13379	-0.000
35	SLE R	0.00	-157181	37504	-51585	0.401	-1109	0.122
35	SLE R	3.95	-139406	28024	77831	0.401	0.476	0.122

CC	TCC	X <m>	N <kN>	Ty <kN>	Mz <kNm>	Tz <kN>	My <kNm>	Mx <kNm>
27	SLE F	0.00	-145303	27084	-38646	-0.163	0.281	-0.000
27	SLE F	3.95	-127528	27084	68335	-0.163	-0.362	-0.000
36	SLE F	0.00	-155399	30026	-42844	-11702	19327	-0.000
36	SLE F	3.95	-137624	30026	75758	-2222	-8171	-0.000
37	SLE F	0.00	-145475	29576	-41559	0.025	-0.181	0.041
37	SLE F	3.95	-127700	26416	69026	0.025	-0.083	0.041
38	SLE F	0.00	-144881	27084	-38646	-4009	6631	-0.000

 ITALFERR GRUPPO FERROVIE DELLO STATO ITALIANE	DIRETTRICE FERROVIARIA MESSINA – CATANIA – PALERMO NUOVO COLLEGAMENTO PALERMO – CATANIA TRATTA LERCARA DIR – CALTANISSETTA XIRBI (LOTTO 3) FABBRICATI					
	Fabbricato IS-PP/ACC - Tipologico Q - Relazione di calcolo	COMMESSA RS3T	LOTTO 30 D 26	CODIFICA CL	DOCUMENTO FA00Q0 001	REV. B

38	SLE F	3.95	-127106	27084	68335	-0.849	-2966	-0.000
39	SLE F	0.00	-145303	27084	-38646	-0.163	0.281	-0.000
39	SLE F	3.95	-127528	27084	68335	-0.163	-0.362	-0.000

CC	TCC	X <m>	N <kN>	Ty <kN>	Mz <kNm>	Tz <kN>	My <kNm>	Mx <kNm>
28	SLE Q	0.00	-142463	26348	-37596	-0.163	0.282	-0.000
28	SLE Q	3.95	-124688	26348	66479	-0.163	-0.362	-0.000
40	SLE Q	0.00	-142463	26348	-37596	-0.163	0.282	-0.000
40	SLE Q	3.95	-124688	26348	66479	-0.163	-0.362	-0.000

Pilastrini interni

In funzione delle sollecitazioni si è dimensionata opportunamente l'armatura longitudinale del pilastro:

- Armatura lato corto 3 Φ 20
- Armatura lato lungo 5 Φ 20

Le verifiche di resistenza a flessione allo SLU ed agli SLE (NTC2018 – 4.1.2.1.2.4) per le sezioni di incastro e di campata sono state condotte con il supporto del MODEST considerando le sollecitazioni riportate nel prospetto precedente.

Essendo i pilastrini orientati in maniera diversa sono state eseguite le verifiche coerentemente con l'orientamento degli assi locali definiti nel modello di calcolo.

Pilastrata n. 6

Nodi: 6 106

Simbologia

Xg = Coordinata progressiva (dal primo nodo) in cui viene effettuato il progetto/verifica

CC = Combinazione delle condizioni di carico elementari

e = eccentricità aggiuntiva in caso di compressione o pressoflessione

α = amplificazione per gerarchia delle resistenze

TG = taglio da gerarchia delle resistenze

TCC = Tipo di combinazione di carico

SLU = Stato limite ultimo

SLU S = Stato limite ultimo (azione sismica)

SLE R = Stato limite d'esercizio, combinazione rara

SLE F = Stato limite d'esercizio, combinazione frequente

SLE Q = Stato limite d'esercizio, combinazione quasi permanente

SLD = Stato limite di danno

Fabbricato IS-PP/ACC - Tipologico Q - Relazione di calcolo

COMMESSA	LOTTO	CODIFICA	DOCUMENTO	REV.	FOGLIO
RS3T	30 D 26	CL	FA00Q0 001	B	92 di 103

SLV = Stato limite di salvaguardia della vita
 SLC = Stato limite di prevenzione del collasso
 SLO = Stato limite di operatività
 SLU I = Stato limite di resistenza al fuoco
 SND = Stato limite di salvaguardia della vita (non dissipativo)

El = Elemento (asta) in cui viene effettuato il progetto/verifica (progressivo sul numero di aste)
 Sez. = Numero della sezione
 X = Coordinata progressiva rispetto al nodo iniziale
 N = Sforzo normale
 Mz = Momento flettente intorno all'asse Z
 My = Momento flettente intorno all'asse Y
 My ver. = Momento flettente di verifica intorno all'asse Y
 c = Ricoprimento dell'armatura
 s = Distanza minima tra le barre
 K3 = Coefficiente di forma del diagramma delle tensioni prima della fessurazione
 s_{rm} = Distanza media tra le fessure
 Φ = Diametro della barra
 A_s = Area complessiva dei ferri nell'area di calcestruzzo efficace
 A_{c eff} = Area di calcestruzzo efficace
 σ_s = Tensione nell'acciaio nella sezione fessurata
 σ_{sr} = Tensione nell'acciaio corrispondente al raggiungimento della resistenza a trazione nel calcestruzzo
 ε_{sm} = Deformazione unitaria media dell'armatura (*1000)
 Wk = Apertura delle fessure
 M = Momento flettente
 MRd = Momento resistente allo stato limite ultimo
 μΦ = Valore di progetto della duttilità di curvatura
 Mz ver. = Momento flettente di verifica intorno all'asse Z
 Nu = Sforzo normale ultimo
 M'ydy = Momento resistente massimo in campo sostanzialmente elastico intorno all'asse Y
 M'ydz = Momento resistente massimo in campo sostanzialmente elastico intorno all'asse Z
 MRdy = Momento resistente allo stato limite ultimo intorno all'asse Y
 MRdz = Momento resistente allo stato limite ultimo intorno all'asse Z
 α = Angolo asse neutro a rottura
 ε_y = Deformazione nell'acciaio (*1000)
 Sic. = Sicurezza a rottura
 AfT = Area di ferro tesa
 AfC = Area di ferro compressa
 σ_c = Tensione nel calcestruzzo
 σ_f = Tensione nel ferro
 X0 = Coordinata progressiva (dal nodo iniziale) dell'inizio del tratto
 X1 = Coordinata progressiva (dal nodo iniziale) della fine del tratto
 Staff. = Staffatura adottata
 Br_y = Numero bracci in dir. Y locale
 Br_z = Numero bracci in dir. Z locale
 bw_y = Larghezza membratura resistente al taglio in dir. Y
 Vsdu_y = Taglio agente in dir. Y
 ctgθ_y = Cotangente dell'angolo di inclinazione dei puntoni di calcestruzzo in dir. Y
 VRsd_y = Taglio ultimo lato armatura in dir. Y
 VRcd_y = Taglio ultimo lato calcestruzzo in dir. Y
 bw_z = Larghezza membratura resistente al taglio in dir. Z
 Vsdu_z = Taglio agente in dir. Z

Fabbricato IS-PP/ACC - Tipologico Q - Relazione di calcolo

COMMESSA	LOTTO	CODIFICA	DOCUMENTO	REV.	FOGLIO
RS3T	30 D 26	CL	FA00Q0 001	B	93 di 103

$ctg\theta_{,z}$ = Cotangente dell'angolo di inclinazione dei puntoni di calcestruzzo in dir. Z

$VRsd_{,z}$ = Taglio ultimo lato armatura in dir. Z

$VRcd_{,z}$ = Taglio ultimo lato calcestruzzo in dir. Z

Sic.T = Sicurezza a rottura per taglio

Nodo = Numero del nodo

Conf. = Nodo confinato

S = Sì

N = No

F. = Identificativo faccia del nodo

Y+ = Faccia sul lato positivo Y locale pilastro

Z+ = Faccia sul lato positivo Z locale pilastro

Y- = Faccia sul lato negativo Y locale pilastro

Z- = Faccia sul lato negativo Z locale pilastro

Mod. = Modalità di verifica faccia

I = Interna

E = Esterna

Br. = Numero bracci

As1 = Area di ferro superiore delle travi incidenti sulla faccia

As2 = Area di ferro inferiore delle travi incidenti sulla faccia

Bj = Larghezza effettiva utile del nodo

Hjc = Distanza tra armature pilastro

Hjw = Distanza tra armature trave

Ash = Area totale della sezione della staffa

Tipo = Tipologia

2C = Doppia C lato labbri

2Cdx = Doppia C lato costola

2I = Doppia I

2L = Doppia L lato labbri

2Ldx = Doppia L lato costole

C = Sezione a C

Cdx = C destra

Cir. = Circolare

Cir.c = Circolare cava

I = Sezione a I

L = Sezione a L

Ldx = L destra

Om. = Omega

Pg = Pi greco

Pr = Poligono regolare

Prc = Poligono regolare cavo

Pc = Per coordinate

Ia = Inerzie assegnate

R = Rettangolare

Rc = Rettangolare cava

T = Sezione a T

U = Sezione a U

Ur = U rovescia

V = Sezione a V

Vr = V rovescia

Z = Sezione a Z

Zdx = Z destra

Ts = T stondata

Fabbricato IS-PP/ACC - Tipologico Q - Relazione di calcolo

COMMESSA	LOTTO	CODIFICA	DOCUMENTO	REV.	FOGLIO
RS3T	30 D 26	CL	FA00Q0 001	B	94 di 103

Ls = L stondata
Cs = C stondata
Is = I stondata
Dis. = Disegnata

B = Base
H = Altezza
Cf = Copriferro
Cls = Tipo di calcestruzzo
Fck = Resistenza caratteristica cilindrica a compressione del calcestruzzo
Fctk = Resistenza caratteristica a trazione del calcestruzzo
Fcd = Resistenza di calcolo a compressione del calcestruzzo
Fctd = Resistenza di calcolo a trazione del calcestruzzo
Tp = Tipo di acciaio
Fyk = Tensione caratteristica di snervamento dell'acciaio
Fyd = Resistenza di calcolo dell'acciaio

Caratteristiche delle sezioni e dei materiali utilizzati

Sez.	Tipo	B <cm>	H <cm>	Cf <cm>	Cls	Fck <daN/cm²>	Fctk <daN/cm²>	Fcd <daN/cm²>	Fctd <daN/cm²>	Tp	Fyk <daN/cm²>	Fyd <daN/cm²>
3R		30.00	60.00	5.80	C30/37	307.10	20.59	174.02	13.73	B450C	4500.00	3913.04

Stato limite ultimo - Verifiche a flessione/pressoflessione

Xg <m>	CC	TCC	El	Sez.	X <cm>	N <daN>	My <daNm>	My ver. <daNm>	Mz <daNm>	Mz ver. <daNm>	Nu <daN>	MRdy <daNm>	MRdz <daNm>	α <grad>	ε _x	Sic.
0.00	29(e)	SLU	1	3	0.00	-21728.00	-308.13	-472.58	-8148.70	-8148.70	-21728.00	-1122.53	-17049.80	269.30	6.02	2.093
0.00	29(e)	SLU	1	3	0.00	-21728.00	-308.13	-472.58	-8148.70	-8148.70	-21728.00	-1122.53	-17049.80	269.30	6.02	2.093
3.85	29(e)	SLU	1	3	385.00	-19475.70	146.85	-423.60	10692.00	10692.00	-19475.70	-601.27	16771.30	90.53	6.14	1.568

Stato limite elastico - Verifiche a flessione/pressoflessione

Xg <m>	CC	TCC	El	Sez.	X <cm>	N <daN>	My <daNm>	My ver. <daNm>	Mz <daNm>	Mz ver. <daNm>	Nu <daN>	M'ydy <daNm>	M'ydz <daNm>	α <grad>	ε _y	Sic.
0.00	22	SND	1	3	0.00	-13395.10	-1031.62		-7472.08		-13395.10	-2126.13	-13864.00	267.89	6.05	1.859
0.00	22	SND	1	3	0.00	-13395.10	-1031.62		-7472.08		-13395.10	-2126.13	-13864.00	267.89	6.05	1.859
3.85	22	SND	1	3	385.00	-11662.60	516.78		8967.81		-11662.60	960.36	13480.50	89.30	6.67	1.505

Stato limite d'esercizio - Verifiche tensionali

Xg <m>	CC	TCC	El	Sez.	X <cm>	N <daN>	Mz <daNm>	My <daNm>	AfT <cmq>	AfC <cmq>	σ _c <daN/cm²>	σ _ε <daN/cm²>
0.00	34	SLE R	1	3	0.00	-15455.50	-4284.37	3202.71	18.85	18.85	82.40	1135.31
0.00	33	SLE R	1	3	0.00	-15752.50	-5741.28	-203.39	21.99	15.71	80.96	1265.90
0.00	28	SLE Q	1	3	0.00	-14246.30	-3759.61	28.17	21.99	15.71	52.58	716.98
0.00	34	SLE R	1	3	0.00	-15455.50	-4284.37	3202.71	18.85	18.85	82.40	1135.31
0.00	33	SLE R	1	3	0.00	-15752.50	-5741.28	-203.39	21.99	15.71	80.96	1265.90
0.00	28	SLE Q	1	3	0.00	-14246.30	-3759.61	28.17	21.99	15.71	52.58	716.98
3.85	34	SLE R	1	3	385.00	-13723.00	7275.52	-1299.93	21.99	15.71	109.88	1869.70
3.85	28	SLE Q	1	3	385.00	-12513.80	6384.40	-34.62	21.99	15.71	88.07	1524.34

Stato limite d'esercizio - Verifiche a fessurazione

Xg	CC	TCC	El	Sez.	X	N	My	Mz	c	s	K3	S _{zm}	Φ	A _s	A _{c eff}	σ _s	σ _{s2}	ε _{sm}	Wk
----	----	-----	----	------	---	---	----	----	---	---	----	-----------------	---	----------------	--------------------	----------------	-----------------	-----------------	----



**DIRETTRICE FERROVIARIA MESSINA – CATANIA – PALERMO
NUOVO COLLEGAMENTO PALERMO – CATANIA
TRATTA LERCARA DIR – CALTANISSETTA XIRBI (LOTTO 3)
FABBRICATI**

Fabbricato IS-PP/ACC - Tipologico Q - Relazione di calcolo

COMMESSA	LOTTO	CODIFICA	DOCUMENTO	REV.	FOGLIO
RS3T	30 D 26	CL	FA00Q0 001	B	95 di 103

<m>				<cm>	<daN>	<daNm>	<daNm>	<mm>	<mm>		<mm>		<cmq>	<cmq>	<daN/cmq>	<daN/cmq>		<mm>	
0.00	28	SLE Q	1	3	0.00	-14246.30	28.17	-3759.61	49.00	120.50	0.13	188.05	20.00	21.99	1450.29	715.77	953.59	0.14	0.04
0.00	28	SLE Q	1	3	0.00	-14246.30	28.17	-3759.61	49.00	120.50	0.13	188.05	20.00	21.99	1450.29	715.77	953.59	0.14	0.04
3.85	28	SLE Q	1	3	385.00	-12513.80	-34.62	6384.40	49.00	120.50	0.13	188.05	20.00	21.99	1450.42	1522.75	1077.72	0.55	0.18

Staffe - Verifiche armatura

X0 <m>	X1 <m>	Staff.	Br _y	Br _z	CC	TCC	bw _{,y} <m>	Vsdu _{,y} <daN>	ctgθ _{,y}	VRsd _{,y} <daN>	VRcd _{,y} <daN>	bw _{,z} <m>	Vsdu _{,z} <daN>	ctgθ _{,z}	VRsd _{,z} <daN>	VRcd _{,z} <daN>	Sic.T
0.00	0.64	ø8/ 6	2	2	30	SLU	0.60	4179.23	2.50	35551.90	41700.20	0.30	2907.55	1.80	57566.80	57566.80	8.51
0.00	0.64	ø8/ 6	2	2	29	SLU	0.60	6048.70	2.50	35551.90	41755.70	0.30	118.18	1.80	57616.90	57616.90	5.88
0.00	0.64	ø8/ 6	2	2	13	SND	0.60	3151.14	2.50	35551.90	40962.00	0.30	4863.09	1.78	56896.60	56896.70	11.28
0.00	0.64	ø8/ 6	2	2	22	SND	0.60	4270.10	2.50	35551.90	40926.10	0.30	402.18	1.78	56863.80	56863.80	8.33
0.00	0.64	ø8/ 6	2	2	19	SND	0.60	4270.10	2.50	35551.90	40986.10	0.30	2251.11	1.78	56918.70	56918.70	8.33
0.64	3.21	ø8/18	2	2	30	SLU	0.60	4179.23	2.50	11850.60	41653.40	0.30	2522.55	2.50	26602.50	46752.10	2.84
0.64	3.21	ø8/18	2	2	29	SLU	0.60	5663.70	2.50	11850.60	41708.90	0.30	118.18	2.50	26602.50	46814.40	2.09
0.64	3.21	ø8/18	2	2	13	SND	0.60	3151.14	2.50	11850.60	40926.00	0.30	4863.09	2.50	26602.50	45935.60	3.76
0.64	3.21	ø8/18	2	2	22	SND	0.60	4270.10	2.50	11850.60	40890.10	0.30	402.18	2.50	26602.50	45895.30	2.78
0.64	3.21	ø8/18	2	2	19	SND	0.60	4270.10	2.50	11850.60	40950.10	0.30	2251.11	2.50	26602.50	45962.70	2.78
3.21	3.85	ø8/12	2	2	30	SLU	0.60	4179.23	2.50	17776.00	41466.20	0.30	982.55	2.50	39903.70	46542.00	4.25
3.21	3.85	ø8/12	2	2	25	SLU	0.60	4179.23	2.50	17776.00	41505.70	0.30	22.45	2.50	39903.70	46586.30	4.25
3.21	3.85	ø8/12	2	2	13	SND	0.60	3151.14	2.50	17776.00	40782.00	0.30	4863.09	2.50	39903.70	45774.00	5.64
3.21	3.85	ø8/12	2	2	22	SND	0.60	4270.10	2.50	17776.00	40746.10	0.30	402.18	2.50	39903.70	45733.70	4.16
3.21	3.85	ø8/12	2	2	19	SND	0.60	4270.10	2.50	17776.00	40806.20	0.30	2251.11	2.50	39903.70	45801.10	4.16

8.6.2 Verifica limitazioni armatura

Resta da verificare che l'armatura determinata in funzione delle sollecitazioni agenti rispetti le limitazioni riportate nel punto 7.4.6.2.2 delle NTC2018:

- Per tutta la lunghezza del pilastro l'interasse tra le barre non deve essere superiore a 25 cm;
- Nella sezione corrente del pilastro, la percentuale geometrica ρ di armatura longitudinale, con ρ rapporto tra l'area dell'armatura longitudinale e l'area della sezione del pilastro, deve essere compresa entro i seguenti limiti:

$$1\% < \rho < 4\%$$

- Nelle zone critiche devono essere rispettate le condizioni seguenti: le barre disposte sugli angoli della sezione devono essere contenute dalle staffe; almeno una barra ogni due, di quelle disposte sui lati, deve essere trattenuta da staffe interne o legature; le barre non fissate si devono trovare a meno di 20 cm da una barra fissata per CDB.

 ITALFERR GRUPPO FERROVIE DELLO STATO ITALIANE	DIRETTRICE FERROVIARIA MESSINA – CATANIA – PALERMO NUOVO COLLEGAMENTO PALERMO – CATANIA TRATTA LERCARA DIR – CALTANISSETTA XIRBI (LOTTO 3) FABBRICATI					
	Fabbricato IS-PP/ACC - Tipologico Q - Relazione di calcolo	COMMESSA	LOTTO	CODIFICA	DOCUMENTO	REV.
	RS3T	30 D 26	CL	FA00Q0 001	B	96 di 103

- Il diametro delle staffe di contenimento e legature deve essere non inferiore a 6 mm ed il loro passo deve essere non superiore alla più piccola delle quantità seguenti:
 - 1/2 del lato minore della sezione trasversale per CDB;
 - 175 mm (per CD" B");
 - 8 volte il diametro minimo delle barre longitudinali che collegano (per CD" B")
- li devono disporre staffe in un quantitativo minimo non inferiore a:

$$\frac{A_{st}}{s} = 0.08 \frac{f_{cd} \cdot b_{st}}{f_{yd}}$$

Nel caso specifico risulta:

- Le staffe orizzontali presenti lungo l'altezza del nodo devono verificare la seguente condizione

Nella quale n_{st} e A_{st} sono rispettivamente il numero di bracci e l'area della sezione trasversale della barra della singola staffa orizzontale, i è l'interasse, e b_j è la larghezza utile del nodo determinata come segue:

- se la trave ha una larghezza b_w superiore a quella del pilastro b_c , allora b_j è il valore minimo fra b_w e $b_c + h_c/2$, essendo h_c la dimensione della sezione della colonna parallela alla trave;
- se la trave ha una larghezza b_w inferiore a quella del pilastro b_c , allora b_j è il valore minimo fra b_c e $b_w + h_c/2$.

Devono inoltre essere rispettati i limiti riportati al punto 4.1.6.1.2 delle NTC2018:

- Nel caso di elementi sottoposti a prevalente sforzo normale, le barre parallele all'asse devono avere diametro maggiore od uguale a 12 mm. Inoltre la loro area non deve essere inferiore a :

$$A_{s,min} = (0.10 \cdot \frac{N_{Ed}}{f_{yd}})$$

e comunque non minore di 0.003 A_c ;

dove:

N_{Ed} rappresenta lo sforzo di compressione assiale di calcolo;

 ITALFERR GRUPPO FERROVIE DELLO STATO ITALIANE	DIRETTRICE FERROVIARIA MESSINA – CATANIA – PALERMO NUOVO COLLEGAMENTO PALERMO – CATANIA TRATTA LERCARA DIR – CALTANISSETTA XIRBI (LOTTO 3) FABBRICATI					
	Fabbricato IS-PP/ACC - Tipologico Q - Relazione di calcolo	COMMESSA RS3T	LOTTO 30 D 26	CODIFICA CL	DOCUMENTO FA00Q0 001	REV. B

Ac è l'area di calcestruzzo;

f_{yd} è il valore della resistenza di calcolo dell'armatura.

Nel caso in esame risulta:

Dati Geometrici

Pilastro:	Base	b=	30,0cm
	Altezza sez.	h=	60,0cm
	Copriferro	c=	5,0cm
	Altezza pil.	hp=	400,0cm
	Altezza libera	hl=	400,0cm

OK

Lim. Geom. 7.4.6.1.2	
b \geq	25cm

Dati di armatura

Tipo CLS	C30/37	(min C20/25)	D.M.(7.4.2.1)
Tipo Acciaio	B450C	(B450C)	D.M.(7.4.2.2)

$$R_{ck} = 37 \text{ N/mm}^2$$

fck=	30,71	fcd=	17,40	D.M.(4.1.2.1.1.1)	fctm=	2,94	D.M.(11.2.10.2)
fyk=	450	fyd=	391,30	D.M.(4.1.2.1.1.3)			

Diametro armatura long.	20	$\geq \Phi 12$	
Diametro staffe	8	$\geq \Phi 6$	OK $\geq (1/4)\Phi_{long}$

Armatura longitudinale

n°ferri "b"	6	n°ferri "h"	10	n°ferri_tot =	12
tot sui due lati		tot sui due lati		As+A's=	50,24cm ²

Limitazioni Armatura longitudinale 7.4.6.2.2

ρ	Arm. min.	Arm. max.	limitazioni	
2,79%	18,0cm ²	72,00cm ²	$1\% \leq \rho \leq 4\%$	OK

Limitazioni Armatura longitudinale 4.1.6.1.2

Arm. min.	Arm. max.	
5,4	72	OK

Inter. Ferri "b"	12,0cm	OK	≤ 25	OK	\leq	- O R $\Phi 4$
Inter. Ferri "h"	13,5cm	OK	≤ 25	OK	\leq	- O R $\Phi 4$

Si riscontra, pertanto, che l'armatura dei pilastri rispetta i limiti prescritti dalle NTC2018.

 ITALFERR GRUPPO FERROVIE DELLO STATO ITALIANE	DIRETTRICE FERROVIARIA MESSINA – CATANIA – PALERMO NUOVO COLLEGAMENTO PALERMO – CATANIA TRATTA LERCARA DIR – CALTANISSETTA XIRBI (LOTTO 3) FABBRICATI					
	Fabbricato IS-PP/ACC - Tipologico Q - Relazione di calcolo	COMMESSA	LOTTO	CODIFICA	DOCUMENTO	REV.
	RS3T	30 D 26	CL	FA00Q0 001	B	98 di 103

8.7 VERIFICA DEGLI ELEMENTI STRUTTURALI IN TERMINI DI CONTENIMENTO DEL DANNO AGLI ELEMENTI NON STRUTTURALI (SLO)

Per le costruzioni ricadenti in classe d'uso I e II si deve verificare che l'azione sismica di progetto non produca agli elementi costruttivi senza funzione strutturale danni tali da rendere la costruzione temporaneamente inagibile.

Nel caso delle costruzioni civili e industriali, qualora la temporanea inagibilità sia dovuta a spostamenti eccessivi d'interpiano, questa condizione si può ritenere soddisfatta quando gli spostamenti d'interpiano ottenuti dall'analisi in presenza di dell'azione sismica di progetto relativa allo SLD siano inferiori a:

$$d_r \leq 0,01h$$

per tamponamenti progettati in modo da non subire danni a seguito di spostamenti d'interpiano, per effetto della loro deformabilità intrinseca ovvero dei collegamenti alla struttura.

Considerando h altezza d'interpiano che vale 4,00 m si ottiene che deve essere:

$$d_r < 0,04 \text{ m.}$$

Per le costruzioni ricadenti in classe d'uso III e IV si deve verificare che l'azione sismica di progetto non produca danni agli elementi costruttivi senza funzione strutturale tali da rendere temporaneamente non operativa la costruzione.

Nel caso delle costruzioni civili e industriali questa condizione si può ritenere soddisfatta quando gli spostamenti interpiano ottenuti dall'analisi in presenza dell'azione sismica di progetto relativa allo SLO siano inferiori ai 2/3 dei limiti in precedenza indicati.

$$U1 = d_r = 0,0095 \text{ m} < 2 \cdot 0,01 \cdot h / 3 = 0,04 \cdot 2 / 3 = 0,0266 \text{ m.}$$

Si riporta di seguito la tabella degli spostamenti calcolati in testa ai pilastri nella combinazione più gravosa SLD_Uy.

N1	N2	h <m>	δ <cm>	δ/h	CC	N1	N2	h <m>	δ <cm>	δ/h	CC	N1	N2	h <m>	δ <cm>	δ/h	CC
1	101	4.35	0.49	1.12	9	2	102	4.35	0.44	1.01	9	3	103	4.35	0.40	0.91	9
5	105	4.35	0.31	0.72	9	6	106	4.35	0.29	0.67	21	7	107	4.35	0.28	0.64	21
9	109	4.35	0.26	0.60	21	10	110	4.35	0.49	1.13	9	11	111	4.35	0.45	1.02	9
13	113	4.35	0.36	0.83	9	14	114	4.35	0.32	0.73	9	15	115	4.35	0.29	0.66	21
17	117	4.35	0.26	0.60	21	18	118	4.35	0.25	0.58	21	16	116	4.35	0.27	0.63	21

Come si vede in tabella lo spostamento massimo 0.0049 m è inferiore di quello ammissibile.

9 REAZIONI VINCOLARI

Di seguito si riportano le reazioni vincolari alla base dei pilastri scaturite dalle analisi della struttura.

REAZIONI VINCOLARI APPLICATE IN CORRISPONDENZA DEI NODI DELLA SOVRASTRUTTURA CC13 - SND e SLV (coincidenti in quanto $q = 1.5$)

Nodo	CC	TCC	Fx <kN>	Fy <kN>	Fz <kN>	Mx <kNm>	My <kNm>	Mz <kNm>
2	13	SLV	48,610	31,083	154,813	-14,453	120,422	0,915
2	13	SLV	-45,363	16,203	133,641	-48,253	-111,183	0,020
11	13	SLV	44,206	-21,835	157,710	61,056	109,669	0,915
11	13	SLV	-49,767	-36,715	136,538	27,256	-121,937	0,020
12	13	SLV	47,106	-22,689	147,863	59,288	113,733	0,915
12	13	SLV	-51,491	-36,361	138,521	28,387	-124,352	0,020
3	13	SLV	51,711	32,263	145,391	-19,123	124,768	0,915
3	13	SLV	-46,886	18,591	136,048	-50,024	-113,317	0,020
4	13	SLV	51,371	32,460	145,070	-22,606	124,292	0,915
4	13	SLV	-46,694	20,156	137,799	-50,407	-113,049	0,020
13	13	SLV	46,789	-22,636	146,528	56,010	113,288	0,915
13	13	SLV	-51,277	-34,940	139,257	28,209	-124,052	0,020
14	13	SLV	47,105	-22,413	146,345	52,556	113,730	0,915
14	13	SLV	-51,632	-33,381	138,292	27,770	-124,550	0,020
5	13	SLV	51,715	32,522	145,918	-25,831	124,773	0,915
5	13	SLV	-47,022	21,554	137,865	-50,618	-113,508	0,020
6	13	SLV	48,631	31,511	153,606	-27,556	120,451	0,915
6	13	SLV	-43,957	21,920	131,067	-49,324	-109,212	0,020
15	13	SLV	44,283	-21,185	153,858	47,637	109,776	0,915
15	13	SLV	-48,305	-30,776	131,320	25,868	-119,888	0,020
16	13	SLV	17,490	-28,694	160,196	82,561	36,885	0,915
16	13	SLV	-19,128	-51,604	134,815	22,017	-40,342	0,020
7	13	SLV	19,187	57,972	162,539	-38,898	40,452	0,915
7	13	SLV	-17,431	35,062	137,158	-99,442	-36,775	0,020
10	13	SLV	16,298	-15,202	124,705	123,619	35,184	0,915
10	13	SLV	-14,765	-59,702	73,521	6,024	-34,116	0,020
1	13	SLV	17,780	39,788	116,905	46,552	38,444	0,915
1	13	SLV	-13,283	-4,712	65,722	-71,043	-30,856	0,020
17	13	SLV	16,986	-26,520	158,366	70,945	36,166	0,915
17	13	SLV	-18,038	-46,468	141,343	17,983	-38,786	0,020
8	13	SLV	18,607	57,125	163,750	-46,280	39,624	0,915
8	13	SLV	-16,417	37,177	146,727	-99,242	-35,328	0,020

Fabbricato IS-PP/ACC - Tipologico Q - Relazione di calcolo

COMMESSA	LOTTO	CODIFICA	DOCUMENTO	REV.	FOGLIO
RS3T	30 D 26	CL	FA00Q0 001	B	100 di 103

18	13	SLV	11,478	-9,359	107,888	39,454	28,307	0,915
18	13	SLV	-16,020	-27,004	77,011	-7,453	-35,907	0,020
9	13	SLV	12,810	42,225	114,071	-32,838	31,353	0,915
9	13	SLV	-14,688	24,580	83,194	-79,746	-32,861	0,020

REAZIONI VINCOLARI APPLICATE IN CORRISPONDENZA DEI NODI DELLA SOVRASTRUTTURA CC29 - SLU

Nodo	CC	TCC	Fx <kN>	Fy <kN>	Fz <kN>	Mx <kNm>	My <kNm>	Mz <kNm>
2	29	SLU	-2,228	62,751	222,912	-86,482	-4,548	-0,306
11	29	SLU	0,673	-21,193	218,629	33,296	2,511	-0,306
12	29	SLU	1,650	-23,192	213,485	36,590	3,880	-0,306
3	29	SLU	-1,357	63,981	217,114	-87,796	-3,327	-0,306
4	29	SLU	-1,433	63,571	217,054	-86,770	-3,433	-0,306
13	29	SLU	1,561	-23,829	214,096	37,940	3,755	-0,306
14	29	SLU	1,562	-24,236	214,349	38,963	3,756	-0,306
5	29	SLU	-1,452	62,909	216,641	-85,384	-3,459	-0,306
6	29	SLU	-1,182	60,487	217,280	-81,487	-3,081	-0,306
15	29	SLU	1,631	-23,098	214,702	37,780	3,853	-0,306
16	29	SLU	0,591	-48,565	220,081	57,005	1,235	-0,306
7	29	SLU	-0,503	88,457	230,779	-135,028	-1,074	-0,306
10	29	SLU	2,595	-14,175	132,382	-1,848	4,095	-0,306
1	29	SLU	1,608	71,228	149,729	-121,538	1,938	-0,306
17	29	SLU	0,910	-47,792	226,617	57,686	1,690	-0,306
8	29	SLU	-0,152	84,439	235,601	-127,631	-0,573	-0,306
18	29	SLU	-1,802	-23,165	137,278	25,000	-2,179	-0,306
9	29	SLU	-2,671	56,821	145,730	-87,096	-4,168	-0,306

10 VERIFICHE AL FUOCO

Le verifiche di resistenza al fuoco sono state condotte secondo le prescrizioni dettate dal DM 16-02-2007 "Classificazione di resistenza al fuoco di prodotti ed elementi costruttivi di opere da costruzione" (GU n. 74 del 29-3-2007- Suppl. Ordinario n. 87);

Nello specifico si è proceduto per la classificazione della resistenza al fuoco delle varie parti della struttura tramite il metodo tabellare semplificato, tale metodo consente di omettere la verifica analitica di resistenza al fuoco della sezione adottando un opportuno copriferro baricentrico delle barre longitudinali in base alla funzione degli elementi portanti, della loro esposizione al calore e della Classe di capacità di prestazione R che si vuole garantire.

 ITALFERR GRUPPO FERROVIE DELLO STATO ITALIANE	DIRETTRICE FERROVIARIA MESSINA – CATANIA – PALERMO NUOVO COLLEGAMENTO PALERMO – CATANIA TRATTA LERCARA DIR – CALTANISSETTA XIRBI (LOTTO 3) FABBRICATI					
	Fabbricato IS-PP/ACC - Tipologico Q - Relazione di calcolo	COMMESSA	LOTTO	CODIFICA	DOCUMENTO	REV.
	RS3T	30 D 26	CL	FA00Q0 001	B	101 di 103

Tutte le zone: **R 120**

Si effettuerà la definizione del copriferro minimo da adottare in base alla classe di resistenza al fuoco **R** minima che dobbiamo garantire.

10.1 RESISTENZA AL FUOCO: TRAVI

Riportiamo di seguito il prospetto D.6.1 relativo alle Travi in calcestruzzo armato ordinario e precompresso:

Classe	Combinazioni possibili di b e a				b _w
30	b = 80 / a = 25	120 / 20	160 / 15	200 / 15	80
60	b = 120 / a = 40	160 / 35	200 / 30	300 / 25	100
90	b = 150 / a = 55	200 / 45	300 / 40	400 / 35	100
120	b = 200 / a = 65	240 / 60	300 / 55	500 / 50	120
180	b = 240 / a = 80	300 / 70	400 / 65	600 / 60	140
240	b = 280 / a = 90	350 / 80	500 / 75	700 / 70	160

I valori di a devono essere non inferiori ai minimi di regolamento per le opere di c.a. e c.a.p. In caso di armatura pre-tesa aumentare i valori di a di 15 mm. In presenza di intonaco i valori di b e a ne possono tenere conto nella maniera indicata nella tabella D.5.1. Per ricoprimenti di calcestruzzo superiori a 50 mm prevedere una armatura diffusa aggiuntiva che assicuri la stabilità del ricoprimento.

Classe di resistenza al fuoco R 120

Dal prospetto sopra si evince che per garantire la Classe R 120 è richiesta una larghezza minima delle travi pari a 300 mm con copriferro baricentrico pari a 55mm.

10.2 RESISTENZA AL FUOCO: PILASTRI

Riportiamo di seguito il prospetto D.6.2 relativo ai Pilastri in calcestruzzo armato ordinario e precompresso:

Classe	Esposto su più lati		Esposto su un lato
30	B = 200 / a = 30	300 / 25-	160 / 25
60	B = 250 / a = 45	350 / 40	160 / 25
90	B = 350 / a = 50	450 / 40	160 / 25
120	B = 350 / a = 60	450 / 50	180 / 35
180	B = 450 / a = 70	-	230 / 55
240	-	-	300 / 70

I valori di a devono essere non inferiori ai minimi di regolamento per le opere di c.a. e c.a.p. In caso di armatura pre-tesa aumentare i valori di a di 15 mm. In presenza di intonaco i valori di a ne possono tenere conto nella maniera indicata nella tabella D.5.1. Per ricoprimenti di calcestruzzo superiori a 50 mm prevedere una armatura diffusa aggiuntiva che assicuri la stabilità del ricoprimento.

 ITALFERR GRUPPO FERROVIE DELLO STATO ITALIANE	DIRETTRICE FERROVIARIA MESSINA – CATANIA – PALERMO NUOVO COLLEGAMENTO PALERMO – CATANIA TRATTA LERCARA DIR – CALTANISSETTA XIRBI (LOTTO 3) FABBRICATI					
	Fabbricato IS-PP/ACC - Tipologico Q - Relazione di calcolo	COMMESSA RS3T	LOTTO 30 D 26	CODIFICA CL	DOCUMENTO FA00Q0 001	REV. B

Si ricade nel caso di pilastri esposti su un lato.

Classe di resistenza al fuoco R 120

Dal prospetto sopra si evince che per garantire la Classe R 120 avendo pilastri esposti su un lato, è richiesta una larghezza minima dei pilastri pari a 180 mm e un copriferro baricentrico pari a 35 mm.

10.3 RESISTENZA AL FUOCO: SOLAI

Riportiamo di seguito il prospetto D.5.1 relativo alle solette e solai in calcestruzzo armato:

Classe	30	60	90	120	180	240
Solette piene con armatura monodirezionale	H = 80 / a = 10	120 / 20	120 / 30	160 / 40	200 / 55	240 / 65
Solai misti di lamiera di acciaio con riempimento di calcestruzzo ⁽¹⁾	H = 80 / a = 10	120 / 20	120 / 30	160 / 40	200 / 55	240 / 65
Solai a travetti con alleggerimento ⁽²⁾	H = 160 / a = 15	200 / 30	240 / 35	240 / 45	300 / 60	300 / 75
Solai a lastra con alleggerimento ⁽³⁾	H = 160 / a = 15	200 / 30	240 / 35	240 / 45	300 / 60	300 / 75

I valori di a devono essere non inferiori ai minimi di regolamento per le opere di c.a. e c.a.p. In caso di armatura pre-tesa aumentare i valori di a di 15 mm. In presenza di intonaco i valori di H e a ne devono tenere conto nella seguente maniera: 10 mm di intonaco normale (definizione in D.4.1) equivale ad 10 mm di calcestruzzo; 10 mm di intonaco protettivo antincendio (definizione in D.4.1) equivale a 20 mm di calcestruzzo. Per ricoprimenti di calcestruzzo superiori a 50 mm prevedere una armatura diffusa aggiuntiva che assicuri la stabilità del ricoprimento.

(1) In caso di lamiera grecata H rappresenta lo spessore medio della soletta. Il valore di a non comprende lo spessore della lamiera. La lamiera ha unicamente funzione di cassero. In caso contrario la lamiera va protetta secondo quanto indicato in D.7.1

(2) Deve essere sempre presente uno strato di intonaco normale di spessore non inferiore a 20 mm ovvero uno strato di intonaco isolante di spessore non inferiore a 10 mm.

(3) In caso di alleggerimento in polistirene o materiali affini prevedere opportuni sfoghi delle sovrappressioni.

Classe di resistenza al fuoco R 120

Dal prospetto sopra si evince che per garantire la Classe R 120 per solai a travetti con alleggerimento, si deve avere uno spessore minimo pari a 240 mm ed un copri ferro baricentrico delle barre pari a 45 mm.

Si adotta solaio a predalle 4+16+4.

Copriferro baricentrico delle barre dei travetti (Ø16) = 40mm (predalle) + 8mm = 45mm.

	DIRETTRICE FERROVIARIA MESSINA – CATANIA – PALERMO NUOVO COLLEGAMENTO PALERMO – CATANIA TRATTA LERCARA DIR – CALTANISSETTA XIRBI (LOTTO 3) FABBRICATI					
Fabbricato IS-PP/ACC - Tipologico Q - Relazione di calcolo	COMMESSA RS3T	LOTTO 30 D 26	CODIFICA CL	DOCUMENTO FA00Q0 001	REV. B	FOGLIO 103 di 103

11 CONCLUSIONI

Con la presente relazione si è proceduto al progetto e alla verifica delle strutture in elevazione allo stato limite ultimo e allo stato limite di esercizio del “Fabbricato IS-PP/ACC – Tipologico Q” da realizzare nelle seguenti ubicazioni lungo la tratta in progetto:

- PT04 - Stazione Vallelunga

Si riportano di seguito le incidenze di armatura dei principali elementi strutturali:

Fondazione Fabbricato	180 kg/m ³
Pilastrini Fabbricato	300 kg/m ³
Travi Fabbricato	150 kg/m ³

Introduzione

Sistemi di riferimento

Le coordinate, i carichi concentrati, i cedimenti, le reazioni vincolari e gli spostamenti dei NODI sono riferiti ad una terna destra cartesiana globale con l'asse Z verticale rivolto verso l'alto.

I carichi in coordinate locali e le sollecitazioni delle ASTE sono riferite ad una terna destra cartesiana locale così definita:

- origine nel nodo iniziale dell'asta;
 - asse X coincidente con l'asse dell'asta e con verso dal nodo iniziale al nodo finale;
 - immaginando la trave a sezione rettangolare l'asse Y è parallelo alla base e l'asse Z è parallelo all'altezza.
- La rotazione dell'asta comporta quindi una rotazione di tutta la terna locale.

Si può immaginare la terna locale di un'asta comunque disposta nello spazio come derivante da quella globale dopo una serie di trasformazioni:

- una rotazione intorno all'asse Z che porti l'asse X a coincidere con la proiezione dell'asse dell'asta sul piano orizzontale;
- una traslazione lungo il nuovo asse X così definito in modo da portare l'origine a coincidere con la proiezione del nodo iniziale dell'asta sul piano orizzontale;
- una traslazione lungo l'asse Z che porti l'origine a coincidere con il nodo iniziale dell'asta;
- una rotazione intorno all'asse Y così definito che porti l'asse X a coincidere con l'asse dell'asta;
- una rotazione intorno all'asse X così definito pari alla rotazione dell'asta.

In pratica le travi prive di rotazione avranno sempre l'asse Z rivolto verso l'alto e l'asse Y nel piano del solaio, mentre i pilastri privi di rotazione avranno l'asse Y parallelo all'asse Y globale e l'asse Z parallelo ma controverso all'asse X globale. Da notare quindi che per i pilastri la "base" è il lato parallelo a Y.

Le sollecitazioni ed i carichi in coordinate locali negli ELEMENTI BIDIMENSIONALI e nei MURI sono riferiti ad una terna destra cartesiana locale così definita:

- origine nel primo nodo dell'elemento;
- asse X coincidente con la congiungente il primo ed il secondo nodo dell'elemento;
- asse Y definito come prodotto vettoriale fra il versore dell'asse X e il versore della congiungente il primo e il quarto nodo. Asse Z a formare con gli altri due una terna destrorsa.

Praticamente un elemento verticale con l'asse X locale coincidente con l'asse X globale ha anche gli altri assi locali coincidenti con quelli globali.

Rotazioni e momenti

Seguendo il principio adottato per tutti i carichi che sono positivi se CONTROVERSI agli assi, anche i momenti concentrati e le rotazioni impresse in coordinate globali risultano positivi se CONTROVERSI al segno positivo delle rotazioni. Il segno positivo dei momenti e delle rotazioni è quello orario per l'osservatore posto nell'origine: X ruota su Y, Y ruota su Z, Z ruota su X. In pratica è sufficiente adottare la regola della mano destra: col pollice rivolto nella direzione dell'asse, la rotazione che porta a chiudere il palmo della mano corrisponde al segno positivo.

Normativa di riferimento

La normativa di riferimento è la seguente:

- Legge n. 64 del 2/2/1974 - Provvedimenti per le costruzioni con particolari prescrizioni per le zone sismiche.
- D.M. del 24/1/1986 - Norme tecniche relative alle costruzioni sismiche.
- Legge n. 1086 del 5/11/1971 - Norme per la disciplina delle opere di conglomerato cementizio armato, normale e precompresso ed a struttura metallica.
- D.M. del 14/2/1992 - Norme tecniche per l'esecuzione delle opere in c.a. normale e precompresso e per le strutture metalliche.
- D.M. del 9/1/1996 - Norme tecniche per l'esecuzione delle opere in c.a. normale e precompresso e per le strutture metalliche.
- D.M. del 16/1/1996 - Norme tecniche per le costruzioni in zone sismiche.
- Circolare n. 21745 del 30/7/1981 - Legge n. 219 del 14/5/1981 - Art. 10 - Istruzioni relative al rafforzamento degli edifici in muratura danneggiati dal sisma.
- Regione Autonoma Friuli Venezia Giulia - Legge Regionale n. 30 del 20/6/1977 - Documentazione tecnica per la progettazione e direzione delle opere di riparazione degli edifici - Documento Tecnico n. 2 - Raccomandazioni per la riparazione strutturale degli edifici in muratura.
- D.M. del 20/11/1987 - Norme Tecniche per la progettazione, esecuzione e collaudo degli edifici in muratura e per il loro consolidamento.
- Norme Tecniche C.N.R. n. 10011-85 del 18/4/1985 - Costruzioni di acciaio - Istruzioni per il calcolo, l'esecuzione, il collaudo e la manutenzione.
- Norme Tecniche C.N.R. n. 10025-84 del 14/12/1984 - Istruzioni per il progetto, l'esecuzione ed il controllo delle strutture prefabbricate in conglomerato cementizio e per le strutture costruite con sistemi industrializzati di acciaio - Istruzioni per il calcolo, l'esecuzione, il collaudo e la manutenzione.

Relazione di calcolo

- Circolare n. 65 del 10/4/1997 - Istruzioni per l'applicazione delle "Norme tecniche per le costruzioni in zone sismiche" di cui al D.M. del 16/1/1996.
- Eurocodice 5 - Progettazione delle strutture di legno.
- DIN 1052 - Metodi di verifica per il legno.
- D.M. del 17/1/2018 - Norme tecniche per le costruzioni.
- Documento Tecnico CNR-DT 200 R1/2012 - Istruzioni per la Progettazione, l'Esecuzione ed il Controllo di Interventi di Consolidamento Statico mediante l'utilizzo di Compositi Fibrorinforzati.
- Eurocodice 3 - Progettazione delle strutture in acciaio.

Unità di misura

Le unità di misura adottate sono le seguenti:

- lunghezze : m
- forze : daN
- masse : kg
- temperature : gradi centigradi
- angoli : gradi sessadecimali o radianti

Geometria

Elenco vincoli nodi

Simbologia

- Vn = Numero del vincolo nodo
 Comm. = Commento
 Sx = Spostamento in dir. X (L=libero, B=bloccato, E=elastico)
 Sy = Spostamento in dir. Y (L=libero, B=bloccato, E=elastico)
 Sz = Spostamento in dir. Z (L=libero, B=bloccato, E=elastico)
 Rx = Rotazione intorno all'asse X (L=libera, B=bloccata, E=elastica)
 Ry = Rotazione intorno all'asse Y (L=libera, B=bloccata, E=elastica)
 Rz = Rotazione intorno all'asse Z (L=libera, B=bloccata, E=elastica)
 RL = Rotazione libera
 Ly = Lunghezza (dir. Y locale)
 Lz = Larghezza (dir. Z locale)
 Kt = Coeff. di sottofondo su suolo elastico alla Winkler

Vn	Comm.	Sx	Sy	Sz	Rx	Ry	Rz	RL	Ly	Lz	Kt
		<m>	<m>	<m>	<m>	<m>	<m>	<m>	<m>	<m>	<daN/cm^c>
1	Libero	L	L	L	L	L	L				
2	Incastro	B	B	B	B	B	B				

Elenco nodi

Simbologia

- Nodo = Numero del nodo
 X = Coordinata X del nodo
 Y = Coordinata Y del nodo
 Z = Coordinata Z del nodo
 Imp. = Numero dell'impalcato
 Vn = Numero del vincolo nodo

Nodo	X	Y	Z	Imp.	Vn	Nodo	X	Y	Z	Imp.	Vn	Nodo	X	Y	Z	Imp.	Vn	Nodo	X	Y	Z	Imp.	Vn
	<m>	<m>	<m>				<m>	<m>	<m>				<m>	<m>	<m>				<m>	<m>	<m>		
1	0.30	0.15	0.00	0	2	2	4.65	0.15	0.00	0	2	3	8.85	0.15	0.00	0	2	4	13.05	0.15	0.00	0	2
5	17.25	0.15	0.00	0	2	6	21.45	0.15	0.00	0	2	7	25.65	0.15	0.00	0	2	8	29.85	0.15	0.00	0	2
9	34.20	0.15	0.00	0	2	10	0.30	7.27	0.00	0	2	11	4.65	7.27	0.00	0	2	12	8.85	7.27	0.00	0	2
13	13.05	7.27	0.00	0	2	14	17.25	7.27	0.00	0	2	15	21.45	7.27	0.00	0	2	16	25.65	7.27	0.00	0	2
17	29.85	7.27	0.00	0	2	18	34.20	7.27	0.00	0	2	101	0.30	0.15	4.35	1	1	102	4.65	0.15	4.35	1	1
103	8.85	0.15	4.35	1	1	104	13.05	0.15	4.35	1	1	105	17.25	0.15	4.35	1	1	106	21.45	0.15	4.35	1	1
107	25.65	0.15	4.35	1	1	108	29.85	0.15	4.35	1	1	109	34.20	0.15	4.35	1	1	110	0.30	7.27	4.35	1	1
111	4.65	7.27	4.35	1	1	112	8.85	7.27	4.35	1	1	113	13.05	7.27	4.35	1	1	114	17.25	7.27	4.35	1	1
115	21.45	7.27	4.35	1	1	116	25.65	7.27	4.35	1	1	117	29.85	7.27	4.35	1	1	118	34.20	7.27	4.35	1	1

Elenco materiali

Simbologia

- Mat. = Numero del materiale
 Comm. = Commento
 P = Peso specifico
 E = Modulo elastico
 G = Modulo elastico tangenziale
 v = Coeff. di Poisson
 α = Coeff. di dilatazione termica

Mat.	Comm.	P	E	G	v	α
		<daN/mc>	<daN/cm^q>	<daN/cm^q>		

Relazione di calcolo

5	Calcestruzzo classe C25/30	2500	314472.00	142942.00	0.1	1.000000E-05
7	Calcestruzzo classe C30/37	2500	330194.00	150088.00	0.1	1.000000E-05

Elenco sezioni aste

Simbologia

Sez.	= Numero della sezione
Comm.	= Commento
Tipo	= Tipologia
	2C = Doppia C lato labbri
	2Cdx = Doppia C lato costola
	2I = Doppia I
	2L = Doppia L lato labbri
	2Ldx = Doppia L lato costole
	C = Sezione a C
	Cdx = C destra
	Cir. = Circolare
	Cir.c = Circolare cava
	I = Sezione a I
	L = Sezione a L
	Ldx = L destra
	Om. = Omega
	Pg = Pi greco
	Pr = Poligono regolare
	Prc = Poligono regolare cavo
	Pc = Per coordinate
	Ia = Inerzie assegnate
	R = Rettangolare
	Rc = Rettangolare cava
	T = Sezione a T
	U = Sezione a U
	Ur = U rovescia
	V = Sezione a V
	Vr = V rovescia
	Z = Sezione a Z
	Zdx = Z destra
	Ts = T stondata
	Ls = L stondata
	Cs = C stondata
	Is = I stondata
	Dis. = Disegnata
Mem.	= Membratura
	G = Generica
	T = Trave
	P = Pilastro
Ver.	= Verifica prevista
	N = Nessuna
	C = Cemento armato
	A = Acciaio
	L = Legno
B	= Base
H	= Altezza
Ma	= Numero del materiale
C	= Numero del criterio di progetto
Crit. C.I.	= Criterio di progetto collegamento iniziale
Crit. C.F.	= Criterio di progetto collegamento finale

Sez.	Comm.	Tipo	Mem.	Ver.	B <cm>	H <cm>	Ma	C	Crit. C.I.	Crit. C.F.
1	Trave 30x50	R	T	C	30.00	50.00	7	1		
2	Trave 30x40	R	T	C	30.00	40.00	7	1		
3	pilastro 30x60	R	P	C	30.00	60.00	7	1		

Elenco vincoli aste

Simbologia

Va	= Numero del vincolo asta
Comm.	= Commento
Tipo	= Tipologia
	SVI = Definizione di vincolamenti interni
	ELA = Vincolo su suolo elastico alla Winkler
	BIE-RTC = Biella resistente a trazione e a compressione
	BIE-RC = Biella resistente solo a compressione
	BIE-RT = Biella resistente solo a trazione
Ni	= Sforzo normale nodo iniziale (0=sbloccato, 1=bloccato)
Tyi	= Taglio in dir. Y locale nodo iniziale (0=sbloccato, 1=bloccato)
Tzi	= Taglio in dir. Z locale nodo iniziale (0=sbloccato, 1=bloccato)
Mxi	= Momento intorno all'asse X locale nodo iniziale (0=sbloccato, 1=bloccato)
Myi	= Momento intorno all'asse Y locale nodo iniziale (0=sbloccato, 1=bloccato)
Mzi	= Momento intorno all'asse Z locale nodo iniziale (0=sbloccato, 1=bloccato)
Nf	= Sforzo normale nodo finale (0=sbloccato, 1=bloccato)
Tyf	= Taglio in dir. Y locale nodo finale (0=sbloccato, 1=bloccato)
Tzf	= Taglio in dir. Z locale nodo finale (0=sbloccato, 1=bloccato)

Relazione di calcolo

Mxf = Momento intorno all'asse X locale nodo finale (0=sbloccato, 1=bloccato)
 Myf = Momento intorno all'asse Y locale nodo finale (0=sbloccato, 1=bloccato)
 Mzf = Momento intorno all'asse Z locale nodo finale (0=sbloccato, 1=bloccato)
 Kt = Coeff. di sottofondo su suolo elastico alla Winkler

Va	Comm.	Tipo	Ni	Tyi	Tzi	Mxi	Myi	Mzi	Nf	Tyf	Tzf	Mxf	Myf	Mzf	Kt
															<daN/cm>
1	Inc+Inc	SVI	1	1	1	1	1	1	1	1	1	1	1	1	1

Elenco aste

Simbologia

Asta = Numero dell'asta
 N1 = Nodo iniziale
 N2 = Nodo finale
 Sez. = Numero della sezione
 Va = Numero del vincolo asta
 Par. = Numero dei parametri aggiuntivi
 Rot. = Rotazione
 FF = Filo fisso
 Dy1 = Scost. filo fisso Y1
 Dy2 = Scost. filo fisso Y2
 Dz1 = Scost. filo fisso Z1
 Dz2 = Scost. filo fisso Z2
 Kt = Coeff. di sottofondo su suolo elastico alla Winkler

Asta	N1	N2	Sez.	Va	Par.	Rot.	FF	Dy1	Dy2	Dz1	Dz2	Kt
							<grad>	<cm>	<cm>	<cm>	<cm>	<daN/cm>
1	1	101	3	1		90.00	55	0.00	0.00	-15.00	-15.00	
2	2	102	3	1		0.00	55	0.00	0.00	0.00	0.00	
3	3	103	3	1		0.00	55	0.00	0.00	0.00	0.00	
4	4	104	3	1		0.00	55	0.00	0.00	0.00	0.00	
5	5	105	3	1		0.00	55	0.00	0.00	0.00	0.00	
6	6	106	3	1		0.00	55	0.00	0.00	0.00	0.00	
7	7	107	3	1		90.00	55	0.00	0.00	-15.00	-15.00	
8	8	108	3	1		90.00	55	0.00	0.00	-15.00	-15.00	
9	9	109	3	1		90.00	55	0.00	0.00	-15.00	-15.00	
10	10	110	3	1		90.00	55	0.00	0.00	15.00	15.00	
11	11	111	3	1		0.00	55	0.00	0.00	0.00	0.00	
12	12	112	3	1		0.00	55	0.00	0.00	0.00	0.00	
13	13	113	3	1		0.00	55	0.00	0.00	0.00	0.00	
14	14	114	3	1		0.00	55	0.00	0.00	0.00	0.00	
15	15	115	3	1		0.00	55	0.00	0.00	0.00	0.00	
16	16	116	3	1		90.00	55	0.00	0.00	15.00	15.00	
17	17	117	3	1		90.00	55	0.00	0.00	15.00	15.00	
18	18	118	3	1		90.00	55	0.00	0.00	15.00	15.00	
101	101	102	2	1		0.00	22	0.00	0.00	0.00	0.00	
101	102	103	2	1		0.00	22	0.00	0.00	0.00	0.00	
101	103	104	2	1		0.00	22	0.00	0.00	0.00	0.00	
101	104	105	2	1		0.00	22	0.00	0.00	0.00	0.00	
101	105	106	2	1		0.00	22	0.00	0.00	0.00	0.00	
101	106	107	2	1		0.00	22	0.00	0.00	0.00	0.00	
101	107	108	2	1		0.00	22	0.00	0.00	0.00	0.00	
101	108	109	2	1		0.00	22	0.00	0.00	0.00	0.00	
102	110	111	2	1		0.00	22	0.00	0.00	0.00	0.00	
102	111	112	2	1		0.00	22	0.00	0.00	0.00	0.00	
102	112	113	2	1		0.00	22	0.00	0.00	0.00	0.00	
102	113	114	2	1		0.00	22	0.00	0.00	0.00	0.00	
102	114	115	2	1		0.00	22	0.00	0.00	0.00	0.00	
102	115	116	2	1		0.00	22	0.00	0.00	0.00	0.00	
102	116	117	2	1		0.00	22	0.00	0.00	0.00	0.00	
102	117	118	2	1		0.00	22	0.00	0.00	0.00	0.00	
103	101	110	1	1		0.00	22	0.00	0.00	0.00	0.00	
104	102	111	1	1		0.00	22	0.00	0.00	0.00	0.00	
105	103	112	1	1		0.00	22	0.00	0.00	0.00	0.00	
106	104	113	1	1		0.00	22	0.00	0.00	0.00	0.00	
107	105	114	1	1		0.00	22	0.00	0.00	0.00	0.00	
108	106	115	1	1		0.00	22	0.00	0.00	0.00	0.00	
109	107	116	1	1		0.00	22	0.00	0.00	0.00	0.00	
110	108	117	1	1		0.00	22	0.00	0.00	0.00	0.00	
111	109	118	1	1		0.00	22	0.00	0.00	0.00	0.00	

Elenco tipi solai

Simbologia

Ts = Numero del tipo solaio
 Comm. = Commento
 Rc = Ripartizione carichi
 UN = Unidirezionale
 PP = A piastra perimetrale
 PB = A piastra bisettrice
 Qps = Carico permanente strutturale

Relazione di calcolo

Qpn =Carico permanente non strutturale
 QA =Primo carico accidentale
 QA2 =Secondo carico accidentale
 QA3 =Terzo carico accidentale
 Rip. ter. =Ripartizione su aste terminali
 Rip. int. =Ripartizione su aste interne
 Lfl =Larghezza fascia laterale
 Zcv =Quota di riferimento del piano di campagna
 s =Coeff. di riduzione
 Hs =Altezza solaio
 Sc =Spessore cappa
 Crit. =Numero del criterio di progetto

Ts	Comm.	Rc	Qps <daN/mq>	Qpn <daN/mq>	QA <daN/mq>	QA2 <daN/mq>	QA3 <daN/mq>	Rip. ter.	Rip. int.	Lfl <m>	Zcv <m>	s	Hs <cm>	Sc <cm>	Crit.
1	Solaio copertura	UN	330.00	260.00	95.00	0.00	0.00	50.00	50.00	0.00	0.00	0.33	24.00	4.00	1

Elenco solai

Simbologia

Sol. =Numero del solaio
 Ts =Numero del tipo solaio
 Ord. =Orditura
 Nodi =Nodi del solaio

Sol.	Ts	Ord. <grad>	Nodi	Sol.	Ts	Ord. <grad>	Nodi	Sol.	Ts	Ord. <grad>	Nodi
100	1	0.00	101 102 111 110	101	1	0.00	102 103 112 111	102	1	0.00	103 104 113 112
103	1	0.00	104 105 114 113	104	1	0.00	105 106 115 114	105	1	0.00	106 107 116 115
106	1	0.00	107 108 117 116	107	1	0.00	108 109 118 117				

Carichi

Condizioni di carico elementari

Simbologia

CCE =Numero della condizione di carico elementare
 Comm. =Commento
 Tipo CCE =Tipo di CCE per calcolo agli stati limite
 Sic. =Contributo alla sicurezza
 F = a favore
 S = a sfavore
 A = ambigua
 Var. =Tipo di variabilità
 B = di base
 I = indipendente
 A = ambigua
 Dir. =Direzione del vento
 Tipo =Tipologia di pressione vento
 M = Massimizzata
 E = Esterna
 I = Interna
 Mx =Moltiplicatore della massa in dir. X
 My =Moltiplicatore della massa in dir. Y
 Mz =Moltiplicatore della massa in dir. Z
 Jpx =Moltiplicatore del momento d'inerzia intorno all'asse X
 Jpy =Moltiplicatore del momento d'inerzia intorno all'asse Y
 Jpz =Moltiplicatore del momento d'inerzia intorno all'asse Z

CCE	Comm.	Tipo CCE	Sic.	Var.	Dir. <grad>	Tipo	Mx	My	Mz	Jpx	Jpy	Jpz
1	Peso proprio	1 D.M. 18 Permanenti strutturali	S	--	--	--	1.00	1.00	0.00	0.00	0.00	1.00
2	Peso proprio solai	1 D.M. 18 Permanenti strutturali	S	--	--	--	1.00	1.00	0.00	0.00	0.00	1.00
3	Permanente solai	2 D.M. 18 Permanenti non strutturali	S	--	--	--	1.00	1.00	0.00	0.00	0.00	1.00
4	Accidentali copertura	12 D.M. 18 Variabili Neve (a quota <= 1000 m s.l.m.)	S	B	--	--	1.00	1.00	0.00	0.00	0.00	1.00
5	Tamponature	2 D.M. 18 Permanenti non strutturali	S	--	--	--	1.00	1.00	0.00	0.00	0.00	1.00
6	Vento X	11 D.M. 18 Variabili Vento	S	A	90.00	M	0.00	0.00	0.00	0.00	0.00	0.00
7	Variazione termica	10 D.M. 18 Variabili Variazioni termiche	S	B	--	--	1.00	1.00	0.00	0.00	0.00	1.00
8	Vento Y	11 D.M. 18 Variabili Vento	S	A	90.00	M	0.00	0.00	0.00	0.00	0.00	0.00

Elenco carichi aste

Condizione di carico n. 1: Peso proprio

Elenco peso proprio aste

Simbologia

Sez. =Numero della sezione
 Comm. =Commento
 A =Area
 Mat. =Materiale
 P =Peso specifico
 PL =Peso specifico a metro lineare

Sez.	Comm.	A <cmq>	Mat.	P <daN/mc>	PL <daN/m>
------	-------	------------	------	---------------	---------------

Relazione di calcolo

1	Trave 30x50	1500.000000	Calcestruzzo classe C30/37	2500.00	375.00
2	Trave 30x40	1200.000000	Calcestruzzo classe C30/37	2500.00	300.00
3	pilastro 30x60	1800.000000	Calcestruzzo classe C30/37	2500.00	450.00

Elenco carichi aste

Condizione di carico n. 2: Peso proprio solai

Carichi distribuiti

Simbologia

Asta = Numero dell'asta
 N1 = Nodo iniziale
 N2 = Nodo finale
 E = Elemento provenienza del carico
 S = Solaio
 T = Tamponatura
 NE = Numero elemento di provenienza del carico
 T = Tipo di carico
 QA = Primo carico accidentale
 QA2 = Secondo carico accidentale
 QA3 = Terzo carico accidentale
 QPS = Carico permanente strutturale
 QPN = Carico permanente non strutturale
 VE = Vento
 M = Manuale
 DC = Direzione del carico
 XG, YG, ZG = secondo gli assi globali
 XL, YL, ZL = secondo gli assi locali
 Xi = Distanza iniziale
 Qi = Carico iniziale
 Xf = Distanza finale
 Qf = Carico finale

Asta	N1	N2	E	NE	T	DC	Xi	Qi	Xf	Qf	Asta	N1	N2	E	NE	T	DC	Xi	Qi	Xf	Qf
							<m>	<daN/m>	<m>	<daN/m>								<m>	<daN/m>	<m>	<daN/m>
103	101	110	S	100	QPS	ZG	0.00	717.75	7.12	717.75	104	102	111	S	100	QPS	ZG	0.00	717.75	7.12	717.75
104	102	111	S	101	QPS	ZG	0.00	693.00	7.12	693.00	105	103	112	S	101	QPS	ZG	0.00	693.00	7.12	693.00
105	103	112	S	102	QPS	ZG	0.00	693.00	7.12	693.00	106	104	113	S	102	QPS	ZG	0.00	693.00	7.12	693.00
106	104	113	S	103	QPS	ZG	0.00	693.00	7.12	693.00	107	105	114	S	103	QPS	ZG	0.00	693.00	7.12	693.00
107	105	114	S	104	QPS	ZG	0.00	693.00	7.12	693.00	108	106	115	S	104	QPS	ZG	0.00	693.00	7.12	693.00
108	106	115	S	105	QPS	ZG	0.00	693.00	7.12	693.00	109	107	116	S	105	QPS	ZG	0.00	693.00	7.12	693.00
109	107	116	S	106	QPS	ZG	0.00	693.00	7.12	693.00	110	108	117	S	106	QPS	ZG	0.00	693.00	7.12	693.00
110	108	117	S	107	QPS	ZG	0.00	717.75	7.12	717.75	111	109	118	S	107	QPS	ZG	0.00	717.75	7.12	717.75

Elenco carichi aste

Condizione di carico n. 3: Permanente solai

Carichi distribuiti

Asta	N1	N2	E	NE	T	DC	Xi	Qi	Xf	Qf	Asta	N1	N2	E	NE	T	DC	Xi	Qi	Xf	Qf
							<m>	<daN/m>	<m>	<daN/m>								<m>	<daN/m>	<m>	<daN/m>
103	101	110	S	100	QPN	ZG	0.00	565.50	7.12	565.50	104	102	111	S	100	QPN	ZG	0.00	565.50	7.12	565.50
104	102	111	S	101	QPN	ZG	0.00	546.00	7.12	546.00	105	103	112	S	101	QPN	ZG	0.00	546.00	7.12	546.00
105	103	112	S	102	QPN	ZG	0.00	546.00	7.12	546.00	106	104	113	S	102	QPN	ZG	0.00	546.00	7.12	546.00
106	104	113	S	103	QPN	ZG	0.00	546.00	7.12	546.00	107	105	114	S	103	QPN	ZG	0.00	546.00	7.12	546.00
107	105	114	S	104	QPN	ZG	0.00	546.00	7.12	546.00	108	106	115	S	104	QPN	ZG	0.00	546.00	7.12	546.00
108	106	115	S	105	QPN	ZG	0.00	546.00	7.12	546.00	109	107	116	S	105	QPN	ZG	0.00	546.00	7.12	546.00
109	107	116	S	106	QPN	ZG	0.00	546.00	7.12	546.00	110	108	117	S	106	QPN	ZG	0.00	546.00	7.12	546.00
110	108	117	S	107	QPN	ZG	0.00	565.50	7.12	565.50	111	109	118	S	107	QPN	ZG	0.00	565.50	7.12	565.50

Elenco carichi aste

Condizione di carico n. 4: Accidentali copertura

Carichi distribuiti

Asta	N1	N2	E	NE	T	DC	Xi	Qi	Xf	Qf	Asta	N1	N2	E	NE	T	DC	Xi	Qi	Xf	Qf
							<m>	<daN/m>	<m>	<daN/m>								<m>	<daN/m>	<m>	<daN/m>
103	101	110	S	100	QA	ZG	0.00	206.63	7.12	206.63	104	102	111	S	100	QA	ZG	0.00	206.63	7.12	206.63
104	102	111	S	101	QA	ZG	0.00	199.50	7.12	199.50	105	103	112	S	101	QA	ZG	0.00	199.50	7.12	199.50
105	103	112	S	102	QA	ZG	0.00	199.50	7.12	199.50	106	104	113	S	102	QA	ZG	0.00	199.50	7.12	199.50
106	104	113	S	103	QA	ZG	0.00	199.50	7.12	199.50	107	105	114	S	103	QA	ZG	0.00	199.50	7.12	199.50
107	105	114	S	104	QA	ZG	0.00	199.50	7.12	199.50	108	106	115	S	104	QA	ZG	0.00	199.50	7.12	199.50
108	106	115	S	105	QA	ZG	0.00	199.50	7.12	199.50	109	107	116	S	105	QA	ZG	0.00	199.50	7.12	199.50
109	107	116	S	106	QA	ZG	0.00	199.50	7.12	199.50	110	108	117	S	106	QA	ZG	0.00	199.50	7.12	199.50
110	108	117	S	107	QA	ZG	0.00	206.63	7.12	206.63	111	109	118	S	107	QA	ZG	0.00	206.63	7.12	206.63

Elenco carichi aste

Condizione di carico n. 5: Tamponature

Carichi distribuiti

Asta	N1	N2	E	NE	T	DC	Xi	Qi	Xf	Qf	Asta	N1	N2	E	NE	T	DC	Xi	Qi	Xf	Qf
							<m>	<daN/m>	<m>	<daN/m>								<m>	<daN/m>	<m>	<daN/m>
101	101	102	S	--	M	ZG	0.00	200.00	4.35	200.00	101	102	103	S	--	M	ZG	0.00	200.00	4.20	200.00
101	103	104	S	--	M	ZG	0.00	200.00	4.20	200.00	101	104	105	S	--	M	ZG	0.00	200.00	4.20	200.00

Relazione di calcolo

101	105	106	S	--	MZG	0.00	200.00	4.20	200.00	101	106	107	S	--	MZG	0.00	200.00	4.20	200.00
101	107	108	S	--	MZG	0.00	200.00	4.20	200.00	101	108	109	S	--	MZG	0.00	200.00	4.35	200.00
102	110	111	S	--	MZG	0.00	200.00	4.35	200.00	102	111	112	S	--	MZG	0.00	200.00	4.20	200.00
102	112	113	S	--	MZG	0.00	200.00	4.20	200.00	102	113	114	S	--	MZG	0.00	200.00	4.20	200.00
102	114	115	S	--	MZG	0.00	200.00	4.20	200.00	102	115	116	S	--	MZG	0.00	200.00	4.20	200.00
102	116	117	S	--	MZG	0.00	200.00	4.20	200.00	102	117	118	S	--	MZG	0.00	200.00	4.35	200.00
103	101	110	S	--	MZG	0.00	200.00	7.12	200.00	109	107	116	S	--	MZG	0.00	200.00	7.12	200.00
110	108	117	S	--	MZG	0.00	200.00	7.12	200.00	111	109	118	S	--	MZG	0.00	200.00	7.12	200.00

Elenco carichi aste

Condizione di carico n. 6: Vento X

Carichi distribuiti

Asta	N1	N2	E	NE	T	DC	Xi	Qi	Xf	Qf	Asta	N1	N2	E	NE	T	DC	Xi	Qi	Xf	Qf
							<m>	<daN/m>	<m>	<daN/m>								<m>	<daN/m>	<m>	<daN/m>
1	1	101	S	--	MYG	0.00	200.00	4.35	200.00	2	2	102	S	--	MYG	0.00	400.00	4.35	400.00		
3	3	103	S	--	MYG	0.00	400.00	4.35	400.00	4	4	104	S	--	MYG	0.00	400.00	4.35	400.00		
5	5	105	S	--	MYG	0.00	400.00	4.35	400.00	6	6	106	S	--	MYG	0.00	400.00	4.35	400.00		
7	7	107	S	--	MYG	0.00	200.00	4.35	200.00	8	8	108	S	--	MYG	0.00	200.00	4.35	200.00		
9	9	109	S	--	MYG	0.00	200.00	4.35	200.00	10	10	110	S	--	MYG	0.00	200.00	4.35	200.00		
11	11	111	S	--	MYG	0.00	400.00	4.35	400.00	12	12	112	S	--	MYG	0.00	400.00	4.35	400.00		
13	13	113	S	--	MYG	0.00	400.00	4.35	400.00	14	14	114	S	--	MYG	0.00	400.00	4.35	400.00		
15	15	115	S	--	MYG	0.00	400.00	4.35	400.00	16	16	116	S	--	MYG	0.00	200.00	4.35	200.00		
17	17	117	S	--	MYG	0.00	200.00	4.35	200.00	18	18	118	S	--	MYG	0.00	200.00	4.35	200.00		

Elenco carichi aste

Condizione di carico n. 7: Variazione termica

Carichi distribuiti

Simbologia

Asta = Numero dell'asta
 N1 = Nodo iniziale
 N2 = Nodo finale
 DT = Incremento di temperatura
 Gy = Gradiente termico in dir. Y
 Gz = Gradiente termico in dir. Z

Asta	N1	N2	DT	Gy	Gz	Asta	N1	N2	DT	Gy	Gz	Asta	N1	N2	DT	Gy	Gz
			<°C>	<°C/m>	<°C/m>				<°C>	<°C/m>	<°C/m>				<°C>	<°C/m>	<°C/m>
1	1	101	25.00			2	2	102	25.00			3	3	103	25.00		
4	4	104	25.00			5	5	105	25.00			6	6	106	25.00		
7	7	107	25.00			8	8	108	25.00			9	9	109	25.00		
10	10	110	25.00			11	11	111	25.00			12	12	112	25.00		
13	13	113	25.00			14	14	114	25.00			15	15	115	25.00		
16	16	116	25.00			17	17	117	25.00			18	18	118	25.00		
101	101	102	25.00			101	102	103	25.00			101	103	104	25.00		
101	104	105	25.00			101	105	106	25.00			101	106	107	25.00		
101	107	108	25.00			101	108	109	25.00			102	110	111	25.00		
102	111	112	25.00			102	112	113	25.00			102	113	114	25.00		
102	114	115	25.00			102	115	116	25.00			102	116	117	25.00		
102	117	118	25.00			103	101	110	25.00			104	102	111	25.00		
105	103	112	25.00			106	104	113	25.00			107	105	114	25.00		
108	106	115	25.00			109	107	116	25.00			110	108	117	25.00		
111	109	118	25.00														

Elenco carichi aste

Condizione di carico n. 8: Vento Y

Carichi distribuiti

Asta	N1	N2	E	NE	T	DC	Xi	Qi	Xf	Qf	Asta	N1	N2	E	NE	T	DC	Xi	Qi	Xf	Qf
							<m>	<daN/m>	<m>	<daN/m>								<m>	<daN/m>	<m>	<daN/m>
1	1	101	S	--	MXG	0.00	200.00	4.35	200.00	2	2	102	S	--	MXG	0.00	400.00	4.35	400.00		
3	3	103	S	--	MXG	0.00	400.00	4.35	400.00	4	4	104	S	--	MXG	0.00	400.00	4.35	400.00		
5	5	105	S	--	MXG	0.00	400.00	4.35	400.00	6	6	106	S	--	MXG	0.00	400.00	4.35	400.00		
7	7	107	S	--	MXG	0.00	400.00	4.35	400.00	8	8	108	S	--	MXG	0.00	400.00	4.35	400.00		
9	9	109	S	--	MXG	0.00	200.00	4.35	200.00	10	10	110	S	--	MXG	0.00	200.00	4.35	200.00		
11	11	111	S	--	MXG	0.00	400.00	4.35	400.00	12	12	112	S	--	MXG	0.00	400.00	4.35	400.00		
13	13	113	S	--	MXG	0.00	400.00	4.35	400.00	14	14	114	S	--	MXG	0.00	400.00	4.35	400.00		
15	15	115	S	--	MXG	0.00	400.00	4.35	400.00	16	16	116	S	--	MXG	0.00	400.00	4.35	400.00		
17	17	117	S	--	MXG	0.00	400.00	4.35	400.00	18	18	118	S	--	MXG	0.00	200.00	4.35	200.00		

Risultati del calcolo

Parametri di calcolo

La modellazione della struttura e la rielaborazione dei risultati del calcolo sono stati effettuati con: ModeSt ver. 8.18, prodotto da Tecnisoft s.a.s. - Prato

La struttura è stata calcolata utilizzando come solutore agli elementi finiti: Xfinest ver. 2013, prodotto da Ce.A.S. S.r.l. - Milano

Relazione di calcolo

Tipo di normativa: stati limite D.M. 18
Tipo di calcolo: analisi sismica dinamica
Vincoli esterni: Considera sempre vincoli assegnati in modellazione
Schematizzazione piani rigidi: metodo Master-Slave
Modalità di recupero masse secondarie: trasferire le masse
- All'impalcato più vicino in assoluto: No
- Anche sui nodi degli impalcati non rigidi: No
- Modificare coordinate baricentro impalcati rigidi: XY

Generazione combinazioni

- Lineari: Sì
- Valuta spostamenti e non sollecitazioni: No
- Buckling: No

Opzioni di calcolo

- Sono state considerate infinitamente rigide le zone di connessione fra travi, pilastri ed elementi bidimensionali con una riduzione del 20%
- Calcolo con offset rigidi dai nodi: No
- Uniformare i carichi variabili: No
- Massimizzare i carichi variabili: No
- Minimo carico da considerare: 0.00 <daN/m>
- Recupero carichi zone rigide: taglio e momento flettente
- Modalità di combinazione momento torcente: disaccoppiare le azioni

Opzioni del solutore

- Tipo di elemento bidimensionale: QF46
- Calcolo sforzo nei nodi: No
- Trascura deformabilità a taglio delle aste: No
- Analisi dinamica con metodo di Lanczos: Sì
- Check sequenza di Sturm: Sì
- Soluzione matrice con metodo ver. 5.1: No
- Analisi non lineare con Newton modificato: No
- Usa formulazione secante per buckling: No
- Trascura buckling torsionale: No

Dati struttura

- Sito di costruzione: LON. 13.84555 LAT. 37.69121
Contenuto tra ID reticolo: 47181 47180 46959 46958

Simbologia

TCC=Tipo di combinazione di carico

SLU = Stato limite ultimo

SLU S = Stato limite ultimo (azione sismica)

SLE R = Stato limite d'esercizio, combinazione rara

SLE F = Stato limite d'esercizio, combinazione frequente

SLE Q = Stato limite d'esercizio, combinazione quasi permanente

SLD = Stato limite di danno

SLV = Stato limite di salvaguardia della vita

SLC = Stato limite di prevenzione del collasso

SLO = Stato limite di operatività

SLU I = Stato limite di resistenza al fuoco

SND = Stato limite di salvaguardia della vita (non dissipativo)

T_R =Periodo di ritorno <anni>

A_g =Accelerazione orizzontale massima al sito

F_0 =Valore massimo del fattore di amplificazione dello spettro in accelerazione orizzontale

T_{c^*} =Periodo di inizio del tratto a velocità costante dello spettro in accelerazione orizzontale <sec>

S_s =Coefficiente di amplificazione stratigrafica

C_c =Coefficiente funzione della categoria del suolo

TCC	T_R	A_g <g>	F_0	T_{c^*}	S_s	C_c
SLO	45	0.0386	2.46	0.26	1.50	1.64
SLD	75	0.0477	2.45	0.28	1.50	1.59
SLV	712	0.0997	2.62	0.37	1.50	1.46

- Edificio esistente: No
- Tipo di opera: Opera ordinaria
- Vita nominale V_N : 75.00
- Classe d'uso: Classe II
- SL Esercizio: SLOPvr 81.00, SLDPvr 63.00
- SL Ultimi: SLVPvr 10.00, SLCPvr No
- Struttura dissipativa: Sì
- Classe di duttilità: Classe B
- Quota di riferimento: 0.00 <m>
- Altezza della struttura: 4.35 <m>
- Numero piani edificio: 1
- Coefficiente θ : 0.00
- Edificio regolare in altezza: Sì

Relazione di calcolo

- Edificio regolare in pianta: Sì
- Forze orizzontali convenzionali per stati limite non sismici: No
- Genera stati limite per verifiche di resistenza al fuoco: No

Dati di piano

Simbologia

- Imp. = Numero dell'impalcato
- Lx = Dimensione del piano in dir. X
- Ly = Dimensione del piano in dir. Y
- Ex = Eccentricità in dir. X
- Ey = Eccentricità in dir. Y
- Ea = Eccentricità complessiva

Imp.	Lx <m>	Ly <m>	Ex <m>	Ey <m>	Ea <m>
1	33.90	7.12	1.70	0.36	1.73

Dati di calcolo

- Categoria del suolo di fondazione: C
- Tipologia strutturale: c.a. o prefabbricata a telaio a più piani e più campate

Periodo T_1	0.23219
Coeff. λ SLO	1.00
Coeff. λ SLD	1.00
Coeff. λ SLV	1.00
Rapporto di sovrarresistenza (α_0/α_1)	1.30
Valore di riferimento del fattore di struttura (q_0)	3.90
Fattore riduttivo (K_w)	1.00
Fattore riduttivo regolarità in altezza (KR)	1.00
Fattore di comportamento dissipativo (q)	1.50
Fattore di comportamento non dissipativo (qND)	1.50
Fattore di comportamento per SLD (qD)	1.50

- Categoria topografica: T1 - Superficie pianeggiante, pendii e rilievi isolati con inclinazione media $i \leq 15^\circ$
- Coeff. amplificazione topografica S_T : 1.00
- Fattore di comportamento per sisma verticale (qv): 1.50
- Modalità di calcolo modi di vibrare: Autovalori
- Numero modi: 3
- Modi da considerare: Tali da movimentare una percentuale di massa pari a 85.00%
- Trascura modi con massa movimentata minore di: 5.00%
- Smorzamento spettro: 5.00%

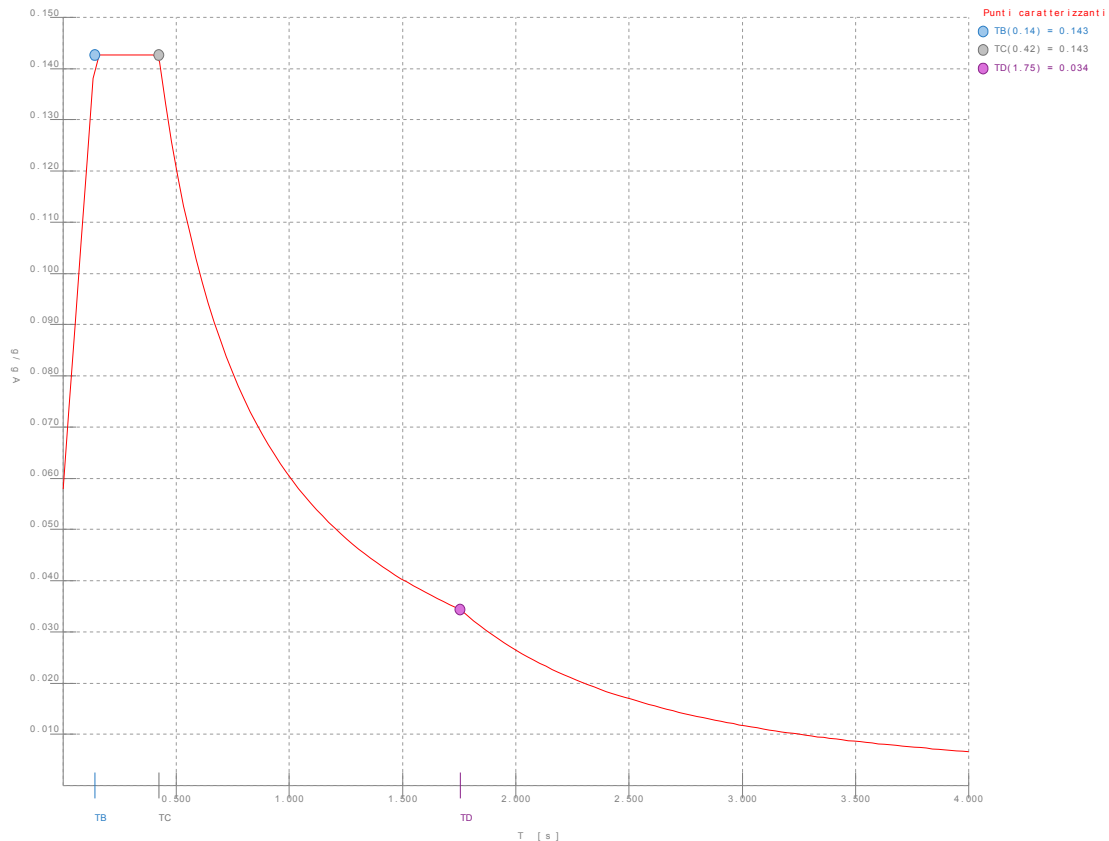


Figura numero 1: Spettro SLO

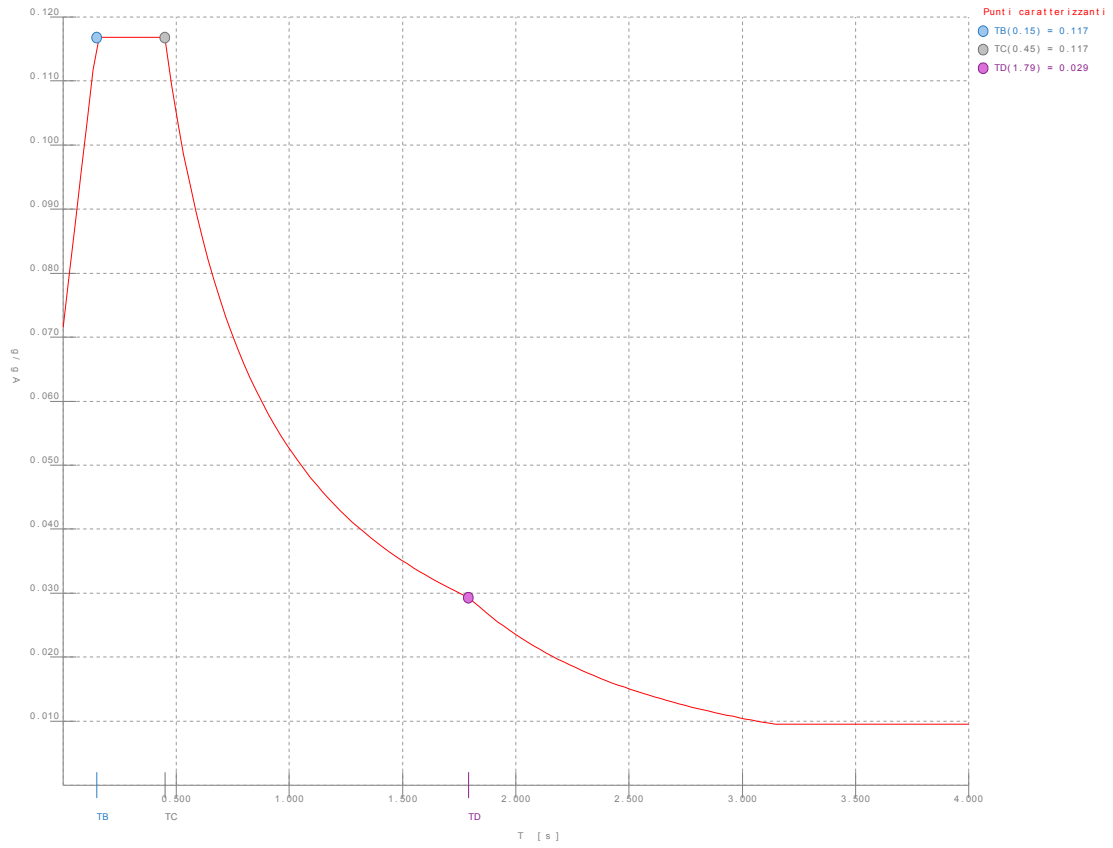


Figura numero 2: Spettro SLD

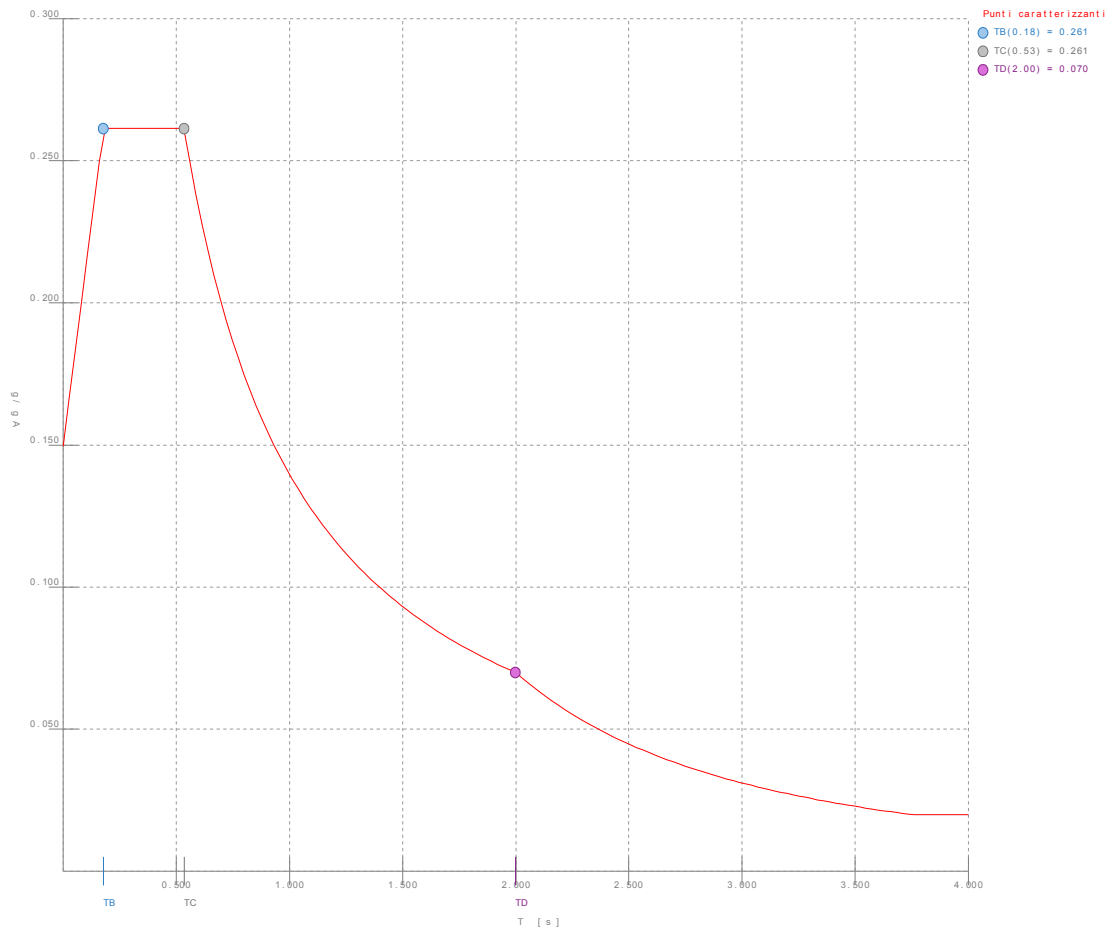


Figura numero 3: Spettro SLV

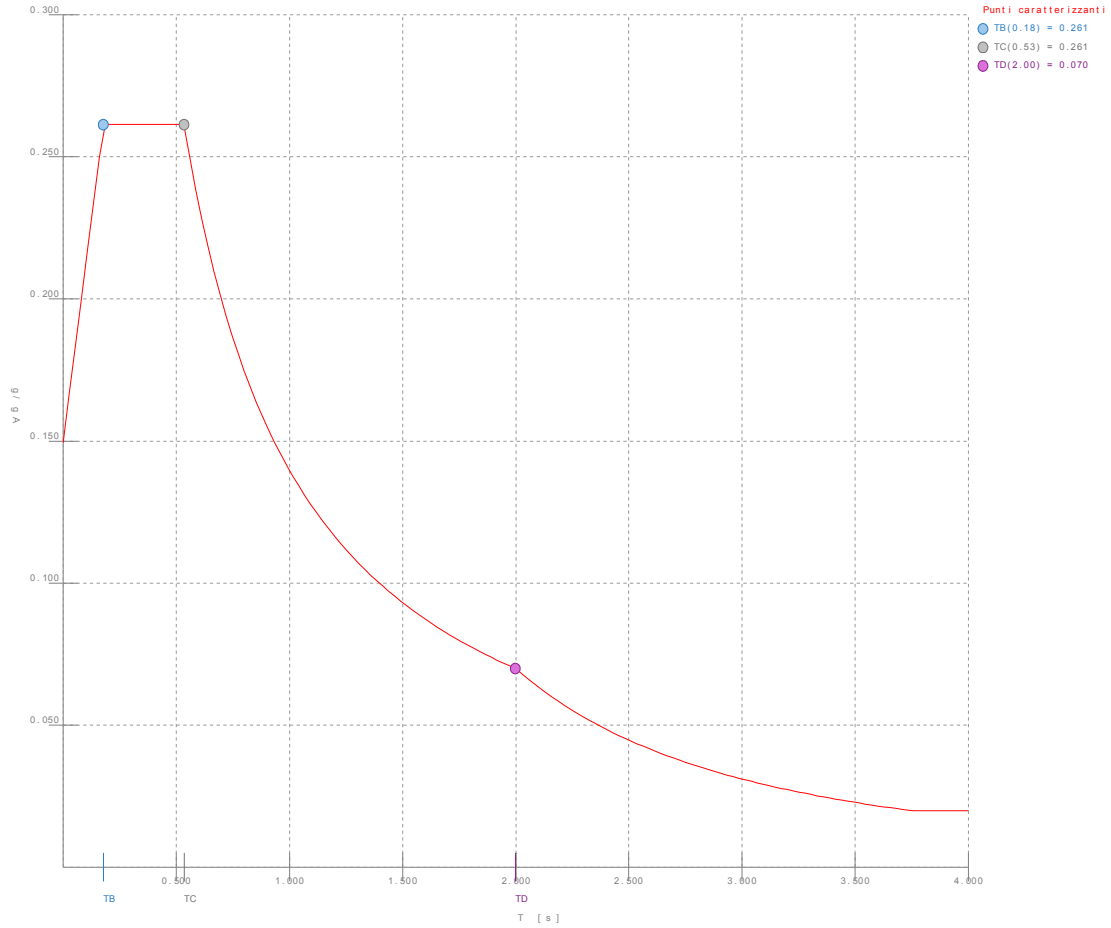


Figura numero 4: Spettro SND

- Angolo di ingresso del sisma: 0.00 <grad>

Condizioni di carico elementari

Simbologia

CCE = Numero della condizione di carico elementare

Comm. = Commento

Tipo CCE = Tipo di CCE per calcolo agli stati limite

Sic. = Contributo alla sicurezza

F = a favore

S = a sfavore

A = ambigua

Var. = Tipo di variabilità

B = di base

I = indipendente

A = ambigua

Dir. = Direzione del vento

Tipo = Tipologia di pressione vento

M = Massimizzata

E = Esterna

I = Interna

Mx = Moltiplicatore della massa in dir. X

My = Moltiplicatore della massa in dir. Y

Mz = Moltiplicatore della massa in dir. Z

Jpx = Moltiplicatore del momento d'inerzia intorno all'asse X

Jpy = Moltiplicatore del momento d'inerzia intorno all'asse Y

Jpz = Moltiplicatore del momento d'inerzia intorno all'asse Z

CCE	Comm.	Tipo CCE	Sic.	Var.	Dir. <grad>	Tipo	Mx	My	Mz	Jpx	Jpy	Jpz
1	Peso proprio		1S	--	--	--	1.00	1.00	0.00	0.00	0.00	1.00
2	Peso proprio solai		1S	--	--	--	1.00	1.00	0.00	0.00	0.00	1.00
3	Permanente solai		2S	--	--	--	1.00	1.00	0.00	0.00	0.00	1.00
4	Accidentali copertura		12S	B	--	--	1.00	1.00	0.00	0.00	0.00	1.00
5	Tamponature		2S	--	--	--	1.00	1.00	0.00	0.00	0.00	1.00
6	Vento X		11S	A	90.00	M	0.00	0.00	0.00	0.00	0.00	0.00
7	Variazione termica		10S	B	--	--	1.00	1.00	0.00	0.00	0.00	1.00
8	Vento Y		11S	A	90.00	M	0.00	0.00	0.00	0.00	0.00	0.00

Elenco tipi CCE definiti

Relazione di calcolo

7	Amb. 3 (SLU)	SLU	γ max	γ max	γ max	γ max	γ max	γ max	$\Psi_0 * \gamma$ max	γ max	$\Psi_0 * \gamma$ max	-----
8	Amb. 3 (SLE R)	SLE R	1	1	1	1	1	1	1	1	1	-----
9	Amb. 3 (SLE R)	SLE R	1	1	1	1	1	Ψ_0	1	Ψ_0	-----	
10	Amb. 3 (SLE F)	SLE F	1	1	1	Ψ_1	1	Ψ_1	Ψ_1	Ψ_1	-----	
11	Amb. 3 (SLE F)	SLE F	1	1	1	Ψ_1	1	Ψ_2	Ψ_1	Ψ_2	-----	
12	Amb. 3 (SLE Q)	SLE Q	1	1	1	Ψ_2	1	Ψ_2	Ψ_2	Ψ_2	-----	

Genera le combinazioni con un solo carico di tipo variabile come di base: No

Considera sollecitazioni dinamiche con segno dei modi principali: No

Combinazioni delle CCE

Simbologia

CC = Numero della combinazione delle condizioni di carico elementari

Comm. = Commento

TCC = Tipo di combinazione di carico

SLU = Stato limite ultimo

SLU S = Stato limite ultimo (azione sismica)

SLE R = Stato limite d'esercizio, combinazione rara

SLE F = Stato limite d'esercizio, combinazione frequente

SLE Q = Stato limite d'esercizio, combinazione quasi permanente

SLD = Stato limite di danno

SLV = Stato limite di salvaguardia della vita

SLC = Stato limite di prevenzione del collasso

SLO = Stato limite di operatività

SLU I = Stato limite di resistenza al fuoco

SND = Stato limite di salvaguardia della vita (non dissipativo)

An. = Tipo di analisi

L = Lineare

NL = Non lineare

Bk = Buckling

S = Si

N = No

CC	Comm.	TCC	An.	Bk	1	2	3	4	5	6	7	8	Mt	±S X	±S Y
1	Amb. 1 (SLU S) S Mt+X+0.3Y	SLV+SND	L	N	1.00	1.00	1.00	0.00	1.00	0.00	0.00	0.00	1.00	1.00	0.30
2	Amb. 1 (SLE) S Mt+X+0.3Y	SLD	L	N	1.00	1.00	1.00	0.00	1.00	0.00	0.00	0.00	1.00	1.00	0.30
3	Amb. 1 (SLE) S Mt+X+0.3Y	SLO	L	N	1.00	1.00	1.00	0.00	1.00	0.00	0.00	0.00	1.00	1.00	0.30
4	Amb. 1 (SLU S) S Mt+X-0.3Y	SLV+SND	L	N	1.00	1.00	1.00	0.00	1.00	0.00	0.00	0.00	1.00	1.00	-0.30
5	Amb. 1 (SLE) S Mt+X-0.3Y	SLD	L	N	1.00	1.00	1.00	0.00	1.00	0.00	0.00	0.00	1.00	1.00	-0.30
6	Amb. 1 (SLE) S Mt+X-0.3Y	SLO	L	N	1.00	1.00	1.00	0.00	1.00	0.00	0.00	0.00	1.00	1.00	-0.30
7	Amb. 1 (SLU S) S Mt+0.3X+Y	SLV+SND	L	N	1.00	1.00	1.00	0.00	1.00	0.00	0.00	0.00	1.00	0.30	1.00
8	Amb. 1 (SLE) S Mt+0.3X+Y	SLD	L	N	1.00	1.00	1.00	0.00	1.00	0.00	0.00	0.00	1.00	0.30	1.00
9	Amb. 1 (SLE) S Mt+0.3X+Y	SLO	L	N	1.00	1.00	1.00	0.00	1.00	0.00	0.00	0.00	1.00	0.30	1.00
10	Amb. 1 (SLU S) S Mt-0.3X+Y	SLV+SND	L	N	1.00	1.00	1.00	0.00	1.00	0.00	0.00	0.00	1.00	-0.30	1.00
11	Amb. 1 (SLE) S Mt-0.3X+Y	SLD	L	N	1.00	1.00	1.00	0.00	1.00	0.00	0.00	0.00	1.00	-0.30	1.00
12	Amb. 1 (SLE) S Mt-0.3X+Y	SLO	L	N	1.00	1.00	1.00	0.00	1.00	0.00	0.00	0.00	1.00	-0.30	1.00
13	Amb. 1 (SLU S) S -Mt+X+0.3Y	SLV+SND	L	N	1.00	1.00	1.00	0.00	1.00	0.00	0.00	0.00	-1.00	1.00	0.30
14	Amb. 1 (SLE) S -Mt+X+0.3Y	SLD	L	N	1.00	1.00	1.00	0.00	1.00	0.00	0.00	0.00	-1.00	1.00	0.30
15	Amb. 1 (SLE) S -Mt+X+0.3Y	SLO	L	N	1.00	1.00	1.00	0.00	1.00	0.00	0.00	0.00	-1.00	1.00	0.30
16	Amb. 1 (SLU S) S -Mt+X-0.3Y	SLV+SND	L	N	1.00	1.00	1.00	0.00	1.00	0.00	0.00	0.00	-1.00	1.00	-0.30
17	Amb. 1 (SLE) S -Mt+X-0.3Y	SLD	L	N	1.00	1.00	1.00	0.00	1.00	0.00	0.00	0.00	-1.00	1.00	-0.30
18	Amb. 1 (SLE) S -Mt+X-0.3Y	SLO	L	N	1.00	1.00	1.00	0.00	1.00	0.00	0.00	0.00	-1.00	1.00	-0.30
19	Amb. 1 (SLU S) S -Mt+0.3X+Y	SLV+SND	L	N	1.00	1.00	1.00	0.00	1.00	0.00	0.00	0.00	-1.00	0.30	1.00
20	Amb. 1 (SLE) S -Mt+0.3X+Y	SLD	L	N	1.00	1.00	1.00	0.00	1.00	0.00	0.00	0.00	-1.00	0.30	1.00
21	Amb. 1 (SLE) S -Mt+0.3X+Y	SLO	L	N	1.00	1.00	1.00	0.00	1.00	0.00	0.00	0.00	-1.00	0.30	1.00
22	Amb. 1 (SLU S) S -Mt-0.3X+Y	SLV+SND	L	N	1.00	1.00	1.00	0.00	1.00	0.00	0.00	0.00	-1.00	-0.30	1.00
23	Amb. 1 (SLE) S -Mt-0.3X+Y	SLD	L	N	1.00	1.00	1.00	0.00	1.00	0.00	0.00	0.00	-1.00	-0.30	1.00
24	Amb. 1 (SLE) S -Mt-0.3X+Y	SLO	L	N	1.00	1.00	1.00	0.00	1.00	0.00	0.00	0.00	-1.00	-0.30	1.00
25	Amb. 2 (SLU)	SLU	L	N	1.30	1.30	1.50	1.50	1.50	0.00	1.50	0.00	0.00	0.00	0.00
26	Amb. 2 (SLE R)	SLE R	L	N	1.00	1.00	1.00	1.00	1.00	0.00	1.00	0.00	0.00	0.00	0.00
27	Amb. 2 (SLE F)	SLE F	L	N	1.00	1.00	1.00	0.20	1.00	0.00	0.50	0.00	0.00	0.00	0.00
28	Amb. 2 (SLE Q)	SLE Q	L	N	1.00	1.00	1.00	0.00	1.00	0.00	0.00	0.00	0.00	0.00	0.00
29	Amb. 3 (SLU)	SLU	L	N	1.30	1.30	1.50	1.50	1.50	1.50	1.50	0.00	0.00	0.00	0.00
30		SLU	L	N	1.30	1.30	1.50	1.50	1.50	0.00	1.50	1.50	0.00	0.00	0.00
31	Amb. 3 (SLU)	SLU	L	N	1.30	1.30	1.50	1.50	1.50	0.90	1.50	0.00	0.00	0.00	0.00
32		SLU	L	N	1.30	1.30	1.50	1.50	1.50	0.00	1.50	0.90	0.00	0.00	0.00
33	Amb. 3 (SLE R)	SLE R	L	N	1.00	1.00	1.00	1.00	1.00	1.00	1.00	0.00	0.00	0.00	0.00
34		SLE R	L	N	1.00	1.00	1.00	1.00	1.00	0.00	1.00	1.00	0.00	0.00	0.00
35	Amb. 3 (SLE R)	SLE R	L	N	1.00	1.00	1.00	1.00	1.00	0.60	1.00	0.00	0.00	0.00	0.00
36		SLE F	L	N	1.00	1.00	1.00	1.00	1.00	0.00	1.00	0.60	0.00	0.00	0.00
37	Amb. 3 (SLE F)	SLE F	L	N	1.00	1.00	1.00	0.20	1.00	0.20	0.50	0.00	0.00	0.00	0.00
38		SLE F	L	N	1.00	1.00	1.00	0.20	1.00	0.00	0.50	0.20	0.00	0.00	0.00
39	Amb. 3 (SLE F)	SLE F	L	N	1.00	1.00	1.00	0.20	1.00	0.00	0.50	0.00	0.00	0.00	0.00
40	Amb. 3 (SLE Q)	SLE Q	L	N	1.00	1.00	1.00	0.00	1.00	0.00	0.00	0.00	0.00	0.00	0.00

Elenco baricentri e masse impalcato

Simbologia

Imp. = Numero dell'impalcato

Relazione di calcolo

X = Coordinata X
 Y = Coordinata Y
 Z = Coordinata Z
 Mo = Massa orizzontale
 Jpz = Massa rotazionale intorno all'asse Z

Imp.	X <m>	Y <m>	Z <m>	Mo <kg>	Jpz <kg*mq>
1	17.38	3.71	4.35	227982.00	24821600.00

Totali masse impalcate

Mo <kg>	Jpz <kg*mq>
227982.00	24821600.00

Elenco forze sismiche di impalcato allo SLO

Simbologia

Imp. = Numero dell'impalcato
 cx = Coeff. c in dir. X
 cy = Coeff. c in dir. Y
 Mz = Momento intorno all'asse Z

Imp.	cx	cy	Mz <daNm>
1	1.00	1.00	55272.80

Totali forze sismiche

Mz <daNm>
55272.80

Elenco forze sismiche di impalcato allo SLD

Imp.	cx	cy	Mz <daNm>
1	1.00	1.00	45245.00

Totali forze sismiche

Mz <daNm>
45245.00

Elenco forze sismiche di impalcato allo SLV

Imp.	cx	cy	Mz <daNm>
1	1.00	1.00	101273.00

Totali forze sismiche

Mz <daNm>
101273.00

Elenco forze sismiche di impalcato allo SND

Imp.	cx	cy	Mz <daNm>
1	1.00	1.00	101273.00

Totali forze sismiche

Mz <daNm>
101273.00

Elenco modi di vibrare, masse partecipanti e coefficienti di partecipazione

Simbologia

Modo = Numero del modo di vibrare
 C = * indica che il modo è stato considerato
 T = Periodo
 Diff. = Minima differenza percentuale dagli altri periodi
 Φ_x = Coefficiente di partecipazione in dir. X
 Φ_y = Coefficiente di partecipazione in dir. Y
 Φ_z = Coefficiente di partecipazione in dir. Z
 %Mx = Percentuale massa partecipante in dir. X
 %My = Percentuale massa partecipante in dir. Y
 %Mz = Percentuale massa partecipante in dir. Z
 %Jpz = Percentuale momento d'inerzia polare partecipante intorno all'asse Z

Modo	C	T	Diff.	Φ_x	Φ_y	Φ_z	%Mx	%My	%Mz	%Jpz
1	*	0.23	17.88	0.00	144.15	0.00	0.00	91.15	0.00	8.85

Relazione di calcolo

2*	0.20	12.21	150.99	-0.00	0.00	100.00	0.00	0.00	0.00
3*	0.18	12.21	0.00	-44.93	0.00	0.00	8.85	0.00	91.15
Tot.cons.						100.00	100.00	0.00	100.00

Elenco coefficienti di risposta

Simbologia

Modo = Numero del modo di vibrare
 Sx = Coefficiente di risposta (moltiplicato per 100) in dir. X
 Sy = Coefficiente di risposta (moltiplicato per 100) in dir. Y

Stato limite di operatività

Modo	Sx	Sy
1	14.27	14.27
2	14.27	14.27
3	14.27	14.27

Stato limite di danno

Modo	Sx	Sy
1	11.68	11.68
2	11.68	11.68
3	11.68	11.68

Stato limite di salvaguardia della vita

Modo	Sx	Sy
1	26.14	26.14
2	26.14	26.14
3	25.98	25.98

Domanda in duttilità di curvatura

Direzione X $\mu_{Edx}=20.09$

Direzione Y $\mu_{Edy}=17.23$

Spostamenti relativi massimi allo stato limite di danno

Simbologia

N1 = Nod01
 N2 = Nod02
 h = Altezza teorica
 δ = Spostamento relativo
 δ/h = Rapporto (moltiplicato per 1000) tra lo spostamento relativo e l'altezza
 CC = Numero della combinazione delle condizioni di carico elementari

I valori degli spostamenti relativi per CC di tipo sismico sono amplificati come da normativa

N1	N2	h	δ	δ/h	CC	N1	N2	h	δ	δ/h	CC	N1	N2	h	δ	δ/h	CC	N1	N2	h	δ	δ/h	CC
		<m>	<cm>					<m>	<cm>					<m>	<cm>					<m>	<cm>		
1	101	4.35	0.47	1.088	8	2	102	4.35	0.42	0.978	8	3	103	4.35	0.38	0.888	8	4	104	4.35	0.34	0.798	8
5	105	4.35	0.30	0.708	8	6	106	4.35	0.28	0.6420	20	7	107	4.35	0.27	0.6214	14	8	108	4.35	0.27	0.6214	14
9	109	4.35	0.27	0.6214	14	10	110	4.35	0.47	1.088	8	11	111	4.35	0.43	0.988	8	12	112	4.35	0.39	0.898	8
13	113	4.35	0.35	0.798	8	14	114	4.35	0.31	0.718	8	15	115	4.35	0.27	0.6320	20	16	116	4.35	0.26	0.612	2
17	117	4.35	0.26	0.602	2	18	118	4.35	0.26	0.602	2												

Min = 0.60
 Max = 1.08

Sollecitazioni aste

Simbologia

Asta = Numero dell'asta
 N1 = Nod01
 N2 = Nod02
 X = Coordinata progressiva rispetto al nodo iniziale
 N = Sforzo normale
 CC = Numero della combinazione delle condizioni di carico elementari
 Ty = Taglio in dir. Y
 Mz = Momento flettente intorno all'asse Z
 Tz = Taglio in dir. Z
 My = Momento flettente intorno all'asse Y
 Mx = Momento torcente intorno all'asse X

Tipo di combinazione di carico: SLV

Asta	N1	N2	X	N	CC	Ty	CC	Mz	CC	Tz	CC	My	CC	Mx	CC	
			<cm>	<daN>		<daN>		<daNm>		<daN>		<daNm>		<daNm>		
1	1	101	Max	0.00	-5414.54	19	1476.52	1	3844.44	13	5662.86	19	26081.20	7	195.96	7
1	1	101	Max	395.00	-3637.04	19	1476.52	1	2420.66	1	5662.86	19	3993.80	19	195.96	7
1	1	101	Min.	0.00	-13628.10	7	-1778.00	13	-3411.61	1	-11161.90	7	-18374.50	19	-195.96	19
1	1	101	Min.	395.00	-11850.60	7	-1778.00	13	-3178.66	13	-11161.90	7	-18008.30	7	-195.96	19

Relazione di calcolo

2	2	102	Max	0.00	-12789.90	19	5407.44	7	2497.94	19	4976.68	1	12042.20	13	195.96	7
2	2	102	Max	395.00	-11012.40	19	5407.44	7	11310.50	7	4976.68	1	7464.23	1	195.96	7
2	2	102	Min.	0.00	-16345.10	7	-115.61	19	-10048.90	7	-4861.03	13	-12193.70	1	-195.96	19
2	2	102	Min.	395.00	-14567.60	7	-115.61	19	2041.27	19	-4861.04	13	-7158.88	13	-195.96	19
3	3	103	Max	0.00	-12704.20	19	5231.25	7	1692.82	19	5149.07	1	12476.80	13	195.96	7
3	3	103	Max	395.00	-10926.70	19	5231.25	7	11129.50	7	5149.07	1	7903.57	1	195.96	7
3	3	103	Min.	0.00	-15686.90	7	263.97	19	-9533.97	7	-5171.13	13	-12435.20	1	-195.96	19
3	3	103	Min.	395.00	-13909.40	7	263.97	19	2735.51	19	-5171.13	13	-7949.16	13	-195.96	19
4	4	104	Max	0.00	-12938.10	19	4929.39	7	982.88	19	5127.66	1	12429.20	13	195.96	7
4	4	104	Max	395.00	-11160.60	19	4929.39	7	10626.60	7	5127.66	1	7849.00	1	195.96	7
4	4	104	Min.	0.00	-15494.70	7	580.15	19	-8844.46	7	-5137.14	13	-12405.20	1	-195.96	19
4	4	104	Min.	395.00	-13717.20	7	580.15	19	3274.49	19	-5137.14	13	-7862.55	13	-195.96	19
5	5	105	Max	0.00	-13099.60	19	4617.69	7	308.69	19	5163.18	1	12477.30	13	195.96	7
5	5	105	Max	395.00	-11322.10	19	4617.69	7	10092.50	7	5163.18	1	7939.54	1	195.96	7
5	5	105	Min.	0.00	-15321.30	7	875.84	19	-8147.42	7	-5171.47	13	-12455.00	1	-195.96	19
5	5	105	Min.	395.00	-13543.80	7	875.84	19	3768.24	19	-5171.46	13	-7950.02	13	-195.96	19
6	6	106	Max	0.00	-12913.20	19	4270.10	19	-47.15	7	4830.48	1	12045.10	13	195.96	7
6	6	106	Max	395.00	-11135.70	19	4270.10	19	9394.82	19	4830.48	1	7091.64	1	195.96	7
6	6	106	Min.	0.00	-15579.30	7	999.51	7	-7472.08	19	-4863.09	13	-11988.80	1	-195.96	19
6	6	106	Min.	395.00	-13801.80	7	999.51	7	3900.93	7	-4863.09	13	-7164.13	13	-195.96	19
7	7	107	Max	0.00	-12684.00	7	1912.83	1	4045.19	13	-196.60	7	17007.50	19	195.96	7
7	7	107	Max	395.00	-10906.50	7	1912.83	1	3521.50	1	-196.59	7	-5638.18	7	195.96	7
7	7	107	Min.	0.00	-17051.40	19	-1918.68	13	-4034.18	1	-8469.99	19	-4861.63	7	-195.96	19
7	7	107	Min.	395.00	-15273.90	19	-1918.68	13	-3533.62	13	-8469.99	19	-16448.90	19	-195.96	19
8	8	108	Max	0.00	-13316.20	7	1803.81	1	3962.41	13	-324.82	7	16103.10	19	195.96	7
8	8	108	Max	395.00	-11538.70	7	1803.81	1	3246.43	1	-324.82	7	-5663.64	7	195.96	7
8	8	108	Min.	0.00	-17193.10	19	-1860.67	13	-3878.62	1	-8039.67	19	-4380.59	7	-195.96	19
8	8	108	Min.	395.00	-15415.60	19	-1860.67	13	-3387.25	13	-8039.68	19	-15653.60	19	-195.96	19
9	9	109	Max	0.00	-7433.52	7	1602.03	1	3135.32	13	1122.76	7	13447.10	19	195.96	7
9	9	109	Max	395.00	-5656.02	7	1602.03	1	2737.32	1	1122.76	7	-1782.85	7	195.96	7
9	9	109	Min.	0.00	-11674.70	19	-1281.04	13	-3590.69	1	-6281.13	19	-6217.80	7	-195.96	19
9	9	109	Min.	395.00	-9897.17	19	-1281.04	13	-1924.77	13	-6281.13	19	-11363.40	19	-195.96	19
10	10	110	Max	0.00	-5414.54	7	1476.52	13	3844.44	1	11161.90	19	18374.50	7	195.96	7
10	10	110	Max	395.00	-3637.04	7	1476.52	13	2420.66	13	11161.90	19	18008.30	19	195.96	7
10	10	110	Min.	0.00	-13628.10	19	-1778.00	1	-3411.61	13	-5662.86	7	-26081.20	19	-195.96	19
10	10	110	Min.	395.00	-11850.60	19	-1778.00	1	-3178.66	1	-5662.86	7	-3993.80	7	-195.96	19
11	11	111	Max	0.00	-12789.90	7	115.61	7	10048.90	19	4976.68	13	12042.20	1	195.96	7
11	11	111	Max	395.00	-11012.40	7	115.61	7	-2041.27	7	4976.68	13	7464.23	13	195.96	7
11	11	111	Min.	0.00	-16345.10	19	-5407.44	19	-2497.94	7	-4861.03	1	-12193.70	13	-195.96	19
11	11	111	Min.	395.00	-14567.60	19	-5407.44	19	-11310.50	19	-4861.04	1	-7158.88	1	-195.96	19
12	12	112	Max	0.00	-12704.20	7	-263.97	7	9533.97	19	5149.07	13	12476.80	1	195.96	7
12	12	112	Max	395.00	-10926.70	7	-263.97	7	-2735.51	7	5149.07	13	7903.57	13	195.96	7
12	12	112	Min.	0.00	-15686.90	19	-5231.25	19	-1692.82	7	-5171.13	1	-12435.20	13	-195.96	19
12	12	112	Min.	395.00	-13909.40	19	-5231.25	19	-11129.50	19	-5171.13	1	-7949.16	1	-195.96	19
13	13	113	Max	0.00	-12938.10	7	-580.15	7	8844.46	19	5127.66	13	12429.20	1	195.96	7
13	13	113	Max	395.00	-11160.60	7	-580.15	7	-3274.49	7	5127.66	13	7849.00	13	195.96	7
13	13	113	Min.	0.00	-15494.70	19	-4929.39	19	-982.88	7	-5137.14	1	-12405.20	13	-195.96	19
13	13	113	Min.	395.00	-13717.20	19	-4929.39	19	-10626.60	19	-5137.14	1	-7862.55	1	-195.96	19
14	14	114	Max	0.00	-13099.60	7	-875.84	7	8147.42	19	5163.18	13	12477.30	1	195.96	7
14	14	114	Max	395.00	-11322.10	7	-875.84	7	-3768.24	7	5163.18	13	7939.54	13	195.96	7
14	14	114	Min.	0.00	-15321.30	19	-4617.69	19	-308.69	7	-5171.47	1	-12455.00	13	-195.96	19
14	14	114	Min.	395.00	-13543.80	19	-4617.69	19	-10092.50	19	-5171.46	1	-7950.02	1	-195.96	19
15	15	115	Max	0.00	-12913.20	7	-999.51	19	7472.08	7	4830.48	13	12045.10	1	195.96	7
15	15	115	Max	395.00	-11135.70	7	-999.51	19	-3900.93	19	4830.48	13	7091.64	13	195.96	7
15	15	115	Min.	0.00	-15579.30	19	-4270.10	7	47.15	19	-4863.09	1	-11988.80	13	-195.96	19
15	15	115	Min.	395.00	-13801.80	19	-4270.10	7	-9394.82	7	-4863.09	1	-7164.13	1	-195.96	19
16	16	116	Max	0.00	-12684.00	19	1912.83	13	4045.19	1	8469.99	7	4861.63	19	195.96	7
16	16	116	Max	395.00	-10906.50	19	1912.83	13	3521.50	13	8469.99	7	16448.90	7	195.96	7
16	16	116	Min.	0.00	-17051.40	7	-1918.68	1	-4034.18	13	196.60	19	-17007.50	7	-195.96	19
16	16	116	Min.	395.00	-15273.90	7	-1918.68	1	-3533.62	1	196.59	19	5638.18	19	-195.96	19
17	17	117	Max	0.00	-13316.20	19	1803.81	13	3962.41	1	8039.67	7	4380.59	19	195.96	7
17	17	117	Max	395.00	-11538.70	19	1803.81	13	3246.44	13	8039.68	7	15653.60	7	195.96	7
17	17	117	Min.	0.00	-17193.10	7	-1860.67	1	-3878.62	13	324.82	19	-16103.10	7	-195.96	19
17	17	117	Min.	395.00	-15415.60	7	-1860.67	1	-3387.25	1	324.82	19	5663.64	19	-195.96	19
18	18	118	Max	0.00	-7433.52	19	1602.03	13	3135.32	1	6281.13	7	6217.80	19	195.96	7
18	18	118	Max	395.00	-5656.02	19	1602.03	13	2737.32	13	6281.13	7	11363.40	7	195.96	7
18	18	118	Min.	0.00	-11674.70	7	-1281.04	1	-3590.69	13	-1122.76	19	-13447.10	7	-195.96	19
18	18	118	Min.	395.00	-9897.17	7	-1281.04	1	-1924.77	1	-1122.76	19	1782.85	19	-195.96	19
101	101	102	Max	15.00	0.00	1	0.00	1	0.00	1	2604.70	13	2856.81	1	-337.80	19
101	101	102	Max	32.46									1133.98	7		
101	101	102	Max	405.00	0.00	1	0.00	1	0.00	1	654.70	13	2893.73	13	-337.80	19
101	101	102	Min.	15.00	0.00	1	0.00	1	0.00	1	-857.77	1	-3462.11	13	-1127.30	7
101	101	102	Min.	32.46									-1210.76	7		
101	101	102	Min.	405.00	0.00	1	0.00	1	0.00	1	-2807.77	1	-4291.00	1	-1127.30	7
101	102	103	Max	30.00	0.00	1	0.00	1	0.00	1	3333.21	13	3822.56	1	31.13	19
101	102	103	Max	301.46									474.61	22		
101	102	103	Max	390.00	0.00	1	0.00	1	0.00	1	1533.21	13	3797.01	13	31.13	19
101	102	103	Min.	30.00	0.00	1	0.00	1	0.00	1	-1494.62	1	-4962.55	13	-113.98	7
101	102	103	Min.	301.46									-123.11	22		
101	102	103	Min.	390.00	0.00	1	0.00	1	0.00	1	-3294.62	1	-4798.06	1	-113.98	7
101	103	104	Max	30.00	0.00	1	0.00	1	0.00	1	3246.76	13	3695.71	1	55.34	19
101	103	104	Max	295.15									471.84	22		

Relazione di calcolo

101	103	104	Max	390.00	0.00	1	0.00	1	0.00	1	1446.76	13	3709.17	13	55.34	19
101	103	104	Min.	30.00	0.00	1	0.00	1	0.00	1	-1445.35	1	-4739.18	13	-61.17	7
101	103	104	Min.	124.58									-84.40	10		
101	103	104	Max	390.00	0.00	1	0.00	1	0.00	1	-3245.35	1	-4747.54	1	-61.17	7
101	104	105	Max	30.00	0.00	1	0.00	1	0.00	1	3246.64	13	3698.86	1	60.65	19
101	104	105	Max	295.51									469.97	22		
101	104	105	Max	390.00	0.00	1	0.00	1	0.00	1	1446.64	13	3695.50	13	60.65	19
101	104	105	Min.	30.00	0.00	1	0.00	1	0.00	1	-1440.87	1	-4752.42	13	-54.13	7
101	104	105	Min.	125.08									-85.25	10		
101	104	105	Min.	390.00	0.00	1	0.00	1	0.00	1	-3240.87	1	-4728.27	1	-54.13	7
101	105	106	Max	30.00	0.00	1	0.00	1	0.00	1	3333.72	13	3796.36	1	98.61	19
101	105	106	Max	298.02									490.78	22		
101	105	106	Max	390.00	0.00	1	0.00	1	0.00	1	1533.72	13	3919.74	13	98.61	19
101	105	106	Min.	30.00	0.00	1	0.00	1	0.00	1	-1535.32	1	-4841.67	13	-7.40	7
101	105	106	Min.	298.02									-119.38	22		
101	105	106	Min.	390.00	0.00	1	0.00	1	0.00	1	-3335.32	1	-4970.81	1	-7.40	7
101	106	107	Max	30.00	0.00	13	0.00	1	0.00	1	2488.02	13	2813.01	1	754.82	19
101	106	107	Max	75.65									1017.36	7		
101	106	107	Max	405.00	0.00	13	0.00	1	0.00	1	613.02	13	1883.13	13	754.82	19
101	106	107	Min.	30.00	0.00	1	0.00	1	0.00	1	-625.41	1	-3931.32	13	432.72	7
101	106	107	Min.	75.65									-1161.52	7		
101	106	107	Min.	405.00	0.00	1	0.00	1	0.00	1	-2500.41	1	-3047.92	1	432.72	7
101	107	108	Max	15.00	0.00	7	0.00	1	0.00	1	1727.19	13	871.55	1	106.30	19
101	107	108	Max	359.92									933.63	13		
101	107	108	Max	405.00	0.00	7	0.00	1	0.00	1	-222.81	13	884.00	13	106.30	19
101	107	108	Min.	15.00	0.00	19	0.00	1	0.00	1	168.44	1	-2049.56	13	-76.15	7
101	107	108	Min.	359.92									-1417.17	13		
101	107	108	Min.	405.00	0.00	19	0.00	1	0.00	1	-1781.56	1	-2274.05	1	-76.15	7
101	108	109	Max	15.00	0.00	13	0.00	1	0.00	1	2313.52	13	1393.02	1	245.94	19
101	108	109	Max	344.96									1006.72	19		
101	108	109	Max	420.00	0.00	13	0.00	1	0.00	1	288.52	13	2357.48	13	245.94	19
101	108	109	Min.	15.00	0.00	1	0.00	1	0.00	1	-75.98	1	-2911.67	13	62.38	7
101	108	109	Min.	344.96									-441.99	19		
101	108	109	Min.	420.00	0.00	1	0.00	1	0.00	1	-2100.98	1	-3015.32	1	62.38	7
102	110	111	Max	15.00	0.00	13	0.00	1	0.00	1	2604.70	1	2856.81	13	1127.30	19
102	110	111	Max	32.46									1133.98	19		
102	110	111	Max	405.00	0.00	13	0.00	1	0.00	1	654.70	1	2893.73	1	1127.30	19
102	110	111	Min.	15.00	0.00	1	0.00	1	0.00	1	-857.77	13	-3462.11	1	337.80	7
102	110	111	Min.	32.46									-1210.76	19		
102	110	111	Min.	405.00	0.00	1	0.00	1	0.00	1	-2807.77	13	-4291.00	13	337.80	7
102	111	112	Max	30.00	0.00	7	0.00	1	0.00	1	3333.21	1	3822.56	13	113.98	19
102	111	112	Max	301.46									474.61	10		
102	111	112	Max	390.00	0.00	7	0.00	1	0.00	1	1533.21	1	3797.01	1	113.98	19
102	111	112	Min.	30.00	0.00	7	0.00	1	0.00	1	-1494.62	13	-4962.55	1	-31.13	7
102	111	112	Min.	301.46									-123.11	10		
102	111	112	Min.	390.00	0.00	7	0.00	1	0.00	1	-3294.62	13	-4798.06	13	-31.13	7
102	112	113	Max	30.00	0.00	1	0.00	1	0.00	1	3246.76	1	3695.71	13	61.17	19
102	112	113	Max	295.15									471.84	10		
102	112	113	Max	390.00	0.00	1	0.00	1	0.00	1	1446.76	1	3709.17	1	61.17	19
102	112	113	Min.	30.00	0.00	1	0.00	1	0.00	1	-1445.35	13	-4739.18	1	-55.34	7
102	112	113	Min.	124.58									-84.40	22		
102	112	113	Min.	390.00	0.00	1	0.00	1	0.00	1	-3245.35	13	-4747.54	13	-55.34	7
102	113	114	Max	30.00	0.00	1	0.00	1	0.00	1	3246.64	1	3698.86	13	54.13	19
102	113	114	Max	295.51									469.97	10		
102	113	114	Max	390.00	0.00	1	0.00	1	0.00	1	1446.64	1	3695.50	1	54.13	19
102	113	114	Min.	30.00	0.00	1	0.00	1	0.00	1	-1440.87	13	-4752.42	1	-60.65	7
102	113	114	Min.	125.08									-85.25	22		
102	113	114	Min.	390.00	0.00	1	0.00	1	0.00	1	-3240.87	13	-4728.27	13	-60.65	7
102	114	115	Max	30.00	0.00	1	0.00	1	0.00	1	3333.72	1	3796.36	13	7.40	19
102	114	115	Max	298.02									490.78	10		
102	114	115	Max	390.00	0.00	1	0.00	1	0.00	1	1533.72	1	3919.74	1	7.40	19
102	114	115	Min.	30.00	0.00	1	0.00	1	0.00	1	-1535.32	13	-4841.67	1	-98.61	7
102	114	115	Min.	298.02									-119.38	10		
102	114	115	Min.	390.00	0.00	1	0.00	1	0.00	1	-3335.32	13	-4970.81	13	-98.61	7
102	115	116	Max	30.00	0.00	1	0.00	1	0.00	1	2488.02	1	2813.01	13	-432.72	19
102	115	116	Max	75.65									1017.36	19		
102	115	116	Max	405.00	0.00	1	0.00	1	0.00	1	613.02	1	1883.13	1	-432.72	19
102	115	116	Min.	30.00	0.00	1	0.00	1	0.00	1	-625.41	13	-3931.32	1	-754.82	7
102	115	116	Min.	75.65									-1161.52	19		
102	115	116	Min.	405.00	0.00	1	0.00	1	0.00	1	-2500.41	13	-3047.92	13	-754.82	7
102	116	117	Max	15.00	0.00	13	0.00	1	0.00	1	1727.19	1	871.55	13	76.15	19
102	116	117	Max	359.92									933.63	1		
102	116	117	Max	405.00	0.00	13	0.00	1	0.00	1	-222.81	1	884.00	1	76.15	19
102	116	117	Min.	15.00	0.00	1	0.00	1	0.00	1	168.44	13	-2049.56	1	-106.30	7
102	116	117	Min.	359.92									-1417.18	1		
102	116	117	Min.	405.00	0.00	1	0.00	1	0.00	1	-1781.56	13	-2274.05	13	-106.30	7
102	117	118	Max	15.00	0.00	1	0.00	1	0.00	1	2313.52	1	1393.02	13	-62.38	19
102	117	118	Max	344.96									1006.72	7		
102	117	118	Max	420.00	0.00	1	0.00	1	0.00	1	288.52	1	2357.49	1	-62.38	19
102	117	118	Min.	15.00	0.00	13	0.00	1	0.00	1	-75.98	13	-2911.67	1	-245.94	7
102	117	118	Min.	344.96									-442.00	7		
102	117	118	Min.	420.00	0.00	13	0.00	1	0.00	1	-2100.98	13	-3015.32	13	-245.94	7

Relazione di calcolo

103	101	110	Max	45.00	0.00	1	0.00	1	0.00	1	9703.76	7	7619.77	19	66.84	19	
103	101	110	Max	144.80										8545.21	19		
103	101	110	Max	667.00	0.00	1	0.00	1	0.00	1	-1854.56	7	7619.77	7	66.84	19	
103	101	110	Min.	45.00	0.00	1	0.00	1	0.00	1	1854.56	19	-16791.20	7	-66.84	7	
103	101	110	Min.	144.80										-6075.67	19		
103	101	110	Min.	667.00	0.00	1	0.00	1	0.00	1	-9703.76	19	-16791.20	19	-66.84	7	
104	102	111	Max	15.00	0.00	7	0.00	1	0.00	1	11582.80	7	-1103.17	19	108.28	19	
104	102	111	Max	414.78										10434.50	7		
104	102	111	Max	697.00	0.00	7	0.00	1	0.00	1	-8176.49	7	-1103.17	7	108.28	19	
104	102	111	Min.	15.00	0.00	7	0.00	1	0.00	1	8176.49	19	-12718.50	7	-108.28	7	
104	102	111	Min.	414.78										8637.79	7		
104	102	111	Min.	697.00	0.00	7	0.00	1	0.00	1	-11582.80	19	-12718.50	19	-108.28	7	
105	103	112	Max	15.00	0.00	1	0.00	1	0.00	1	11190.90	7	-1592.59	19	101.55	19	
105	103	112	Max	407.25										10383.50	7		
105	103	112	Max	697.00	0.00	1	0.00	1	0.00	1	-8266.54	7	-1592.58	7	101.55	19	
105	103	112	Min.	15.00	0.00	1	0.00	1	0.00	1	8266.54	19	-11564.70	7	-101.55	7	
105	103	112	Min.	303.38										8971.69	19		
105	103	112	Min.	697.00	0.00	1	0.00	1	0.00	1	-11190.90	19	-11564.70	19	-101.55	7	
106	104	113	Max	15.00	0.00	1	0.00	1	0.00	1	11005.90	7	-2211.92	19	102.32	19	
106	104	113	Max	400.77										10306.10	7		
106	104	113	Max	697.00	0.00	1	0.00	1	0.00	1	-8451.51	7	-2211.92	7	102.32	19	
106	104	113	Min.	15.00	0.00	1	0.00	1	0.00	1	8451.51	19	-10922.60	7	-102.32	7	
106	104	113	Min.	311.09										9224.35	19		
106	104	113	Min.	697.00	0.00	1	0.00	1	0.00	1	-11006.00	19	-10922.60	19	-102.32	7	
107	105	114	Max	15.00	0.00	7	0.00	1	0.00	1	10829.00	7	-2827.93	19	101.31	19	
107	105	114	Max	394.42										10219.70	7		
107	105	114	Max	697.00	0.00	7	0.00	1	0.00	1	-8628.42	7	-2827.95	7	101.31	19	
107	105	114	Min.	15.00	0.00	7	0.00	1	0.00	1	8628.42	19	-10332.10	7	-101.31	7	
107	105	114	Min.	394.42										9393.49	7		
107	105	114	Min.	697.00	0.00	7	0.00	1	0.00	1	-10829.00	19	-10332.10	19	-101.31	7	
108	106	115	Max	15.00	0.00	7	0.00	1	0.00	1	10730.70	19	-3341.76	7	111.06	19	
108	106	115	Max	320.88										10004.90	7		
108	106	115	Max	697.00	0.00	7	0.00	1	0.00	1	-8726.74	19	-3341.77	19	111.06	19	
108	106	115	Min.	15.00	0.00	7	0.00	1	0.00	1	8726.74	7	-10175.40	19	-111.06	7	
108	106	115	Min.	320.88										9318.51	7		
108	106	115	Min.	697.00	0.00	7	0.00	1	0.00	1	-10730.70	7	-10175.40	7	-111.06	7	
109	107	116	Max	45.00	0.00	1	0.00	1	0.00	1	11426.80	19	-1608.10	7	37.57	19	
109	107	116	Max	292.72										7759.33	7		
109	107	116	Max	667.00	0.00	1	0.00	1	0.00	1	-7562.91	19	-1608.11	19	37.57	19	
109	107	116	Min.	45.00	0.00	1	0.00	1	0.00	1	7562.91	7	-13624.70	19	-37.57	7	
109	107	116	Min.	292.72										5505.04	7		
109	107	116	Min.	667.00	0.00	1	0.00	1	0.00	1	-11426.80	7	-13624.70	7	-37.57	7	
110	108	117	Max	45.00	0.00	1	0.00	1	0.00	1	11468.00	19	-2113.69	7	47.58	19	
110	108	117	Max	415.26										7699.99	19		
110	108	117	Max	667.00	0.00	1	0.00	1	0.00	1	-7796.86	19	-2113.72	19	47.58	19	
110	108	117	Min.	45.00	0.00	1	0.00	1	0.00	1	7796.85	7	-13531.10	19	-47.58	7	
110	108	117	Min.	295.89										5797.88	7		
110	108	117	Min.	667.00	0.00	1	0.00	1	0.00	1	-11468.10	7	-13531.10	7	-47.58	7	
111	109	118	Max	45.00	0.00	1	0.00	1	0.00	1	7543.14	19	824.08	7	90.01	19	
111	109	118	Max	261.07										5161.94	7		
111	109	118	Max	667.00	0.00	1	0.00	1	0.00	1	-4015.18	19	824.07	19	90.01	19	
111	109	118	Min.	45.00	0.00	1	0.00	1	0.00	1	4015.18	7	-10147.90	19	-90.01	7	
111	109	118	Min.	261.07										2492.43	7		
111	109	118	Min.	667.00	0.00	1	0.00	1	0.00	1	-7543.14	7	-10147.90	7	-90.01	7	

Tipo di combinazione di carico: SND

Asta	N1	N2		X <cm>	N <daN>	CC	Ty <daN>	CC	Mz <daNm>	CC	Tz <daN>	CC	My <daNm>	CC	Mx <daNm>	CC
1	1	101	Max	0.00	-5414.54	19	1476.52	1	3844.44	13	5662.86	19	26081.20	7	195.96	7
1	1	101	Max	395.00	-3637.04	19	1476.52	1	2420.66	1	5662.86	19	3993.80	19	195.96	7
1	1	101	Min.	0.00	-13628.10	7	-1778.00	13	-3411.61	1	-11161.90	7	-18374.50	19	-195.96	19
1	1	101	Min.	395.00	-11850.60	7	-1778.00	13	-3178.66	13	-11161.90	7	-18008.30	7	-195.96	19
2	2	102	Max	0.00	-12789.90	19	5407.44	7	2497.94	19	4976.68	1	12042.20	13	195.96	7
2	2	102	Max	395.00	-11012.40	19	5407.44	7	11310.50	7	4976.68	1	7464.23	1	195.96	7
2	2	102	Min.	0.00	-16345.10	7	-115.61	19	-10048.90	7	-4861.03	13	-12193.70	1	-195.96	19
2	2	102	Min.	395.00	-14567.60	7	-115.61	19	2041.27	19	-4861.04	13	-7158.88	13	-195.96	19
3	3	103	Max	0.00	-12704.20	19	5231.25	7	1692.82	19	5149.07	1	12476.80	13	195.96	7
3	3	103	Max	395.00	-10926.70	19	5231.25	7	11129.50	7	5149.07	1	7903.57	1	195.96	7
3	3	103	Min.	0.00	-15686.90	7	263.97	19	-9533.97	7	-5171.13	13	-12435.20	1	-195.96	19
3	3	103	Min.	395.00	-13909.40	7	263.97	19	2735.51	19	-5171.13	13	-7949.16	13	-195.96	19
4	4	104	Max	0.00	-12938.10	19	4929.39	7	982.88	19	5127.66	1	12429.20	13	195.96	7
4	4	104	Max	395.00	-11160.60	19	4929.39	7	10626.60	7	5127.66	1	7849.00	1	195.96	7
4	4	104	Min.	0.00	-15494.70	7	580.15	19	-8844.46	7	-5137.14	13	-12405.20	1	-195.96	19
4	4	104	Min.	395.00	-13717.20	7	580.15	19	3274.49	19	-5137.14	13	-7862.55	13	-195.96	19
5	5	105	Max	0.00	-13099.60	19	4617.69	7	308.69	19	5163.18	1	12477.30	13	195.96	7
5	5	105	Max	395.00	-11322.10	19	4617.69	7	10092.50	7	5163.18	1	7939.54	1	195.96	7
5	5	105	Min.	0.00	-15321.30	7	875.84	19	-8147.42	7	-5171.47	13	-12455.00	1	-195.96	19
5	5	105	Min.	395.00	-13543.80	7	875.84	19	3768.24	19	-5171.46	13	-7950.02	13	-195.96	19
6	6	106	Max	0.00	-12913.20	19	4270.10	19	-47.15	7	4830.48	1	12045.10	13	195.96	7
6	6	106	Max	395.00	-11135.70	19	4270.10	19	9394.82	19	4830.48	1	7091.64	1	195.96	7
6	6	106	Min.	0.00	-15579.30	7	999.51	7	-7472.08	19	-4863.09	13	-11988.80	1	-195.96	19

Relazione di calcolo

6	6	106	Min.	395.00	-13801.80	7	999.51	7	3900.93	7	-4863.09	13	-7164.13	13	-195.96	19
7	7	107	Max	0.00	-12684.00	7	1912.83	1	4045.19	13	-196.60	7	17007.50	19	195.96	7
7	7	107	Max	395.00	-10906.50	7	1912.83	1	3521.50	1	-196.59	7	-5638.18	7	195.96	7
7	7	107	Min.	0.00	-17051.40	19	-1918.68	13	-4034.18	1	-8469.99	19	-4861.63	7	-195.96	19
7	7	107	Min.	395.00	-15273.90	19	-1918.68	13	-3533.62	13	-8469.99	19	-16448.90	19	-195.96	19
8	8	108	Max	0.00	-13316.20	7	1803.81	1	3962.41	13	-324.82	7	16103.10	19	195.96	7
8	8	108	Max	395.00	-11538.70	7	1803.81	1	3246.43	1	-324.82	7	-5663.64	7	195.96	7
8	8	108	Min.	0.00	-17193.10	19	-1860.67	13	-3878.62	1	-8039.67	19	-4380.59	7	-195.96	19
8	8	108	Min.	395.00	-15415.60	19	-1860.67	13	-3387.25	13	-8039.68	19	-15653.60	19	-195.96	19
9	9	109	Max	0.00	-7433.52	7	1602.03	1	3135.32	13	1122.76	7	13447.10	19	195.96	7
9	9	109	Max	395.00	-5656.02	7	1602.03	1	2737.32	1	1122.76	7	-1782.85	7	195.96	7
9	9	109	Min.	0.00	-11674.70	19	-1281.04	13	-3590.69	1	-6281.13	19	-6217.80	7	-195.96	19
9	9	109	Min.	395.00	-9897.17	19	-1281.04	13	-1924.77	13	-6281.13	19	-11363.40	19	-195.96	19
10	10	110	Max	0.00	-5414.54	7	1476.52	13	3844.44	1	11161.90	19	18374.50	7	195.96	7
10	10	110	Max	395.00	-3637.04	7	1476.52	13	2420.66	13	11161.90	19	18008.30	19	195.96	7
10	10	110	Min.	0.00	-13628.10	19	-1778.00	1	-3411.61	13	-5662.86	7	-26081.20	19	-195.96	19
10	10	110	Min.	395.00	-11850.60	19	-1778.00	1	-3178.66	1	-5662.86	7	-3993.80	7	-195.96	19
11	11	111	Max	0.00	-12789.90	7	115.61	7	10048.90	19	4976.68	13	12042.20	1	195.96	7
11	11	111	Max	395.00	-11012.40	7	115.61	7	-2041.27	7	4976.68	13	7464.24	13	195.96	7
11	11	111	Min.	0.00	-16345.10	19	-5407.44	19	-2497.94	7	-4861.03	1	-12193.70	13	-195.96	19
11	11	111	Min.	395.00	-14567.60	19	-5407.44	19	-11310.50	19	-4861.04	1	-7158.88	1	-195.96	19
12	12	112	Max	0.00	-12704.20	7	-263.97	7	9533.97	19	5149.07	13	12476.80	1	195.96	7
12	12	112	Max	395.00	-10926.70	7	-263.97	7	-2735.51	7	5149.07	13	7903.57	13	195.96	7
12	12	112	Min.	0.00	-15686.90	19	-5231.25	19	-1692.82	7	-5171.13	1	-12435.20	13	-195.96	19
12	12	112	Min.	395.00	-13909.40	19	-5231.25	19	-11129.50	19	-5171.13	1	-7949.16	1	-195.96	19
13	13	113	Max	0.00	-12938.10	7	-580.15	7	8844.46	19	5127.66	13	12429.20	1	195.96	7
13	13	113	Max	395.00	-11160.60	7	-580.15	7	-3274.49	7	5127.66	13	7849.00	13	195.96	7
13	13	113	Min.	0.00	-15494.70	19	-4929.39	19	-982.88	7	-5137.14	1	-12405.20	13	-195.96	19
13	13	113	Min.	395.00	-13717.20	19	-4929.39	19	-10626.60	19	-5137.14	1	-7862.55	1	-195.96	19
14	14	114	Max	0.00	-13099.60	7	-875.84	7	8147.42	7	5163.18	13	12477.30	1	195.96	7
14	14	114	Max	395.00	-11322.10	7	-875.84	7	-3768.24	7	5163.18	13	7939.54	13	195.96	7
14	14	114	Min.	0.00	-15321.30	19	-4617.69	19	-308.69	7	-5171.47	1	-12455.00	13	-195.96	19
14	14	114	Min.	395.00	-13543.80	19	-4617.69	19	-10092.50	19	-5171.46	1	-7950.02	1	-195.96	19
15	15	115	Max	0.00	-12913.20	7	-999.51	19	7472.08	7	4830.48	13	12045.10	1	195.96	7
15	15	115	Max	395.00	-11135.70	7	-999.51	19	-3900.93	19	4830.48	13	7091.64	13	195.96	7
15	15	115	Min.	0.00	-15579.30	19	-4270.10	7	47.15	19	-4863.09	1	-11988.80	13	-195.96	19
15	15	115	Min.	395.00	-13801.80	19	-4270.10	7	-9394.82	7	-4863.09	1	-7164.13	1	-195.96	19
16	16	116	Max	0.00	-12684.00	19	1912.83	13	4045.19	1	8469.99	7	4861.63	19	195.96	7
16	16	116	Max	395.00	-10906.50	19	1912.83	13	3521.50	13	8469.99	7	16448.90	7	195.96	7
16	16	116	Min.	0.00	-17051.40	7	-1918.68	1	-4034.18	13	196.60	19	-17007.50	7	-195.96	19
16	16	116	Min.	395.00	-15273.90	7	-1918.68	1	-3533.62	1	196.59	19	5638.18	19	-195.96	19
17	17	117	Max	0.00	-13316.20	19	1803.81	13	3962.41	1	8039.67	7	4380.59	19	195.96	7
17	17	117	Max	395.00	-11538.70	19	1803.81	13	3246.44	13	8039.68	7	15653.60	7	195.96	7
17	17	117	Min.	0.00	-17193.10	7	-1860.67	1	-3878.62	13	324.82	19	-16103.10	7	-195.96	19
17	17	117	Min.	395.00	-15415.60	7	-1860.67	1	-3387.25	1	324.82	19	5663.64	19	-195.96	19
18	18	118	Max	0.00	-7433.52	19	1602.03	13	3135.32	1	6281.13	7	6217.80	19	195.96	7
18	18	118	Max	395.00	-5656.02	19	1602.03	13	2737.32	13	6281.13	7	11363.40	7	195.96	7
18	18	118	Min.	0.00	-11674.70	7	-1281.04	1	-3590.69	13	-1122.76	19	-13447.10	7	-195.96	19
18	18	118	Min.	395.00	-9897.17	7	-1281.04	1	-1924.77	1	-1122.76	19	1782.85	19	-195.96	19
101	101	102	Max	15.00	0.00	1	0.00	1	0.00	1	2604.70	13	2856.81	1	-337.80	19
101	101	102	Max	32.46									1133.98	7		
101	101	102	Max	405.00	0.00	1	0.00	1	0.00	1	654.70	13	2893.73	13	-337.80	19
101	101	102	Min.	15.00	0.00	1	0.00	1	0.00	1	-857.77	1	-3462.11	13	-1127.30	7
101	101	102	Min.	32.46									-1210.76	7		
101	101	102	Min.	405.00	0.00	1	0.00	1	0.00	1	-2807.77	1	-4291.00	1	-1127.30	7
101	102	103	Max	30.00	0.00	1	0.00	1	0.00	1	3333.21	13	3822.56	1	31.13	19
101	102	103	Max	301.46									474.61	22		
101	102	103	Max	390.00	0.00	1	0.00	1	0.00	1	1533.21	13	3797.01	13	31.13	19
101	102	103	Min.	30.00	0.00	1	0.00	1	0.00	1	-1494.62	1	-4962.55	13	-113.98	7
101	102	103	Min.	301.46									-123.11	22		
101	102	103	Min.	390.00	0.00	1	0.00	1	0.00	1	-3294.62	1	-4798.06	1	-113.98	7
101	103	104	Max	30.00	0.00	1	0.00	1	0.00	1	3246.76	13	3695.71	1	55.34	19
101	103	104	Max	295.15									471.84	22		
101	103	104	Max	390.00	0.00	1	0.00	1	0.00	1	1446.76	13	3709.17	13	55.34	19
101	103	104	Min.	30.00	0.00	1	0.00	1	0.00	1	-1445.35	1	-4739.18	13	-61.17	7
101	103	104	Min.	124.58									-84.40	10		
101	103	104	Min.	390.00	0.00	1	0.00	1	0.00	1	-3245.35	1	-4747.54	1	-61.17	7
101	104	105	Max	30.00	0.00	1	0.00	1	0.00	1	3246.64	13	3698.86	1	60.65	19
101	104	105	Max	295.51									469.97	22		
101	104	105	Max	390.00	0.00	1	0.00	1	0.00	1	1446.64	13	3695.50	13	60.65	19
101	104	105	Min.	30.00	0.00	1	0.00	1	0.00	1	-1440.87	1	-4752.42	13	-54.13	7
101	104	105	Min.	125.08									-85.25	10		
101	104	105	Min.	390.00	0.00	1	0.00	1	0.00	1	-3240.87	1	-4728.27	1	-54.13	7
101	105	106	Max	30.00	0.00	1	0.00	1	0.00	1	3333.72	13	3796.36	1	98.61	19
101	105	106	Max	298.02									490.78	22		
101	105	106	Max	390.00	0.00	1	0.00	1	0.00	1	1533.72	13	3919.74	13	98.61	19
101	105	106	Min.	30.00	0.00	1	0.00	1	0.00	1	-1535.32	1	-4841.67	13	-7.40	7
101	105	106	Min.	298.02									-119.38	22		
101	105	106	Min.	390.00	0.00	1	0.00	1	0.00	1	-3335.32	1	-4970.81	1	-7.40	7
101	106	107	Max	30.00	0.00	13	0.00	1	0.00	1	2488.02	13	2813.01	1	754.82	19
101	106	107	Max	75.65									1017.36	7		
101	106	107	Max	405.00	0.00	13	0.00	1	0.00	1	613.02	13	1883.13	13	754.82	19

Relazione di calcolo

101	106	107	Min.	30.00	0.00	1	0.00	1	0.00	1	-625.41	1	-3931.32	13	432.72	7
101	106	107	Min.	75.65									-1161.52	7		
101	106	107	Min.	405.00	0.00	1	0.00	1	0.00	1	-2500.41	1	-3047.92	1	432.72	7
101	107	108	Max	15.00	0.00	7	0.00	1	0.00	1	1727.19	13	871.55	1	106.30	19
101	107	108	Max	359.92									933.63	13		
101	107	108	Max	405.00	0.00	7	0.00	1	0.00	1	-222.81	13	884.00	13	106.30	19
101	107	108	Min.	15.00	0.00	19	0.00	1	0.00	1	168.44	1	-2049.56	13	-76.15	7
101	107	108	Min.	359.92									-1417.17	13		
101	107	108	Min.	405.00	0.00	19	0.00	1	0.00	1	-1781.56	1	-2274.05	1	-76.15	7
101	108	109	Max	15.00	0.00	13	0.00	1	0.00	1	2313.52	13	1393.02	1	245.94	19
101	108	109	Max	344.96									1006.72	19		
101	108	109	Max	420.00	0.00	13	0.00	1	0.00	1	288.52	13	2357.48	13	245.94	19
101	108	109	Min.	15.00	0.00	1	0.00	1	0.00	1	-75.98	1	-2911.67	13	62.38	7
101	108	109	Min.	344.96									-441.99	19		
101	108	109	Min.	420.00	0.00	1	0.00	1	0.00	1	-2100.98	1	-3015.32	1	62.38	7
102	110	111	Max	15.00	0.00	13	0.00	1	0.00	1	2604.70	1	2856.81	13	1127.30	19
102	110	111	Max	32.46									1133.98	19		
102	110	111	Max	405.00	0.00	13	0.00	1	0.00	1	654.70	1	2893.73	1	1127.30	19
102	110	111	Min.	15.00	0.00	1	0.00	1	0.00	1	-857.77	13	-3462.11	1	337.80	7
102	110	111	Min.	32.46									-1210.76	19		
102	110	111	Min.	405.00	0.00	1	0.00	1	0.00	1	-2807.77	13	-4291.00	13	337.80	7
102	111	112	Max	30.00	0.00	7	0.00	1	0.00	1	3333.21	1	3822.56	13	113.98	19
102	111	112	Max	301.46									474.61	10		
102	111	112	Max	390.00	0.00	7	0.00	1	0.00	1	1533.21	1	3797.01	1	113.98	19
102	111	112	Min.	30.00	0.00	7	0.00	1	0.00	1	-1494.62	13	-4962.55	1	-31.13	7
102	111	112	Min.	301.46									-123.11	10		
102	111	112	Min.	390.00	0.00	7	0.00	1	0.00	1	-3294.62	13	-4798.06	13	-31.13	7
102	112	113	Max	30.00	0.00	1	0.00	1	0.00	1	3246.76	1	3695.71	13	61.17	19
102	112	113	Max	295.15									471.84	10		
102	112	113	Max	390.00	0.00	1	0.00	1	0.00	1	1446.76	1	3709.17	1	61.17	19
102	112	113	Min.	30.00	0.00	1	0.00	1	0.00	1	-1445.35	13	-4739.18	1	-55.34	7
102	112	113	Min.	124.58									-84.40	22		
102	112	113	Min.	390.00	0.00	1	0.00	1	0.00	1	-3245.35	13	-4747.54	13	-55.34	7
102	113	114	Max	30.00	0.00	1	0.00	1	0.00	1	3246.64	1	3698.86	13	54.13	19
102	113	114	Max	295.51									469.97	10		
102	113	114	Max	390.00	0.00	1	0.00	1	0.00	1	1446.64	1	3695.50	1	54.13	19
102	113	114	Min.	30.00	0.00	1	0.00	1	0.00	1	-1440.87	13	-4752.42	1	-60.65	7
102	113	114	Min.	125.08									-85.25	22		
102	113	114	Min.	390.00	0.00	1	0.00	1	0.00	1	-3240.87	13	-4728.27	13	-60.65	7
102	114	115	Max	30.00	0.00	1	0.00	1	0.00	1	3333.72	1	3796.36	13	7.40	19
102	114	115	Max	298.02									490.78	10		
102	114	115	Max	390.00	0.00	1	0.00	1	0.00	1	1533.72	1	3919.74	1	7.40	19
102	114	115	Min.	30.00	0.00	1	0.00	1	0.00	1	-1535.32	13	-4841.67	1	-98.61	7
102	114	115	Min.	298.02									-119.38	10		
102	114	115	Min.	390.00	0.00	1	0.00	1	0.00	1	-3335.32	13	-4970.81	13	-98.61	7
102	115	116	Max	30.00	0.00	1	0.00	1	0.00	1	2488.02	1	2813.01	13	-432.72	19
102	115	116	Max	75.65									1017.36	19		
102	115	116	Max	405.00	0.00	1	0.00	1	0.00	1	613.02	1	1883.13	1	-432.72	19
102	115	116	Min.	30.00	0.00	1	0.00	1	0.00	1	-625.41	13	-3931.32	1	-754.82	7
102	115	116	Min.	75.65									-1161.52	19		
102	115	116	Min.	405.00	0.00	1	0.00	1	0.00	1	-2500.41	13	-3047.92	13	-754.82	7
102	116	117	Max	15.00	0.00	13	0.00	1	0.00	1	1727.19	1	871.55	13	76.15	19
102	116	117	Max	359.92									933.63	1		
102	116	117	Max	405.00	0.00	13	0.00	1	0.00	1	-222.81	1	884.00	1	76.15	19
102	116	117	Min.	15.00	0.00	1	0.00	1	0.00	1	168.44	13	-2049.56	1	-106.30	7
102	116	117	Min.	359.92									-1417.18	1		
102	116	117	Min.	405.00	0.00	1	0.00	1	0.00	1	-1781.56	13	-2274.05	13	-106.30	7
102	117	118	Max	15.00	0.00	1	0.00	1	0.00	1	2313.52	1	1393.02	13	-62.38	19
102	117	118	Max	344.96									1006.72	7		
102	117	118	Max	420.00	0.00	1	0.00	1	0.00	1	288.52	1	2357.49	1	-62.38	19
102	117	118	Min.	15.00	0.00	13	0.00	1	0.00	1	-75.98	13	-2911.67	1	-245.94	7
102	117	118	Min.	344.96									-442.00	7		
102	117	118	Min.	420.00	0.00	13	0.00	1	0.00	1	-2100.98	13	-3015.32	13	-245.94	7
103	101	110	Max	45.00	0.00	1	0.00	1	0.00	1	9703.76	7	7619.77	19	66.84	19
103	101	110	Max	144.80									8545.21	19		
103	101	110	Max	667.00	0.00	1	0.00	1	0.00	1	-1854.56	7	7619.77	7	66.84	19
103	101	110	Min.	45.00	0.00	1	0.00	1	0.00	1	1854.56	19	-16791.20	7	-66.84	7
103	101	110	Min.	144.80									-6075.67	19		
103	101	110	Min.	667.00	0.00	1	0.00	1	0.00	1	-9703.76	19	-16791.20	19	-66.84	7
104	102	111	Max	15.00	0.00	7	0.00	1	0.00	1	11582.80	7	-1103.17	19	108.28	19
104	102	111	Max	414.78									10434.50	7		
104	102	111	Max	697.00	0.00	7	0.00	1	0.00	1	-8176.49	7	-1103.17	7	108.28	19
104	102	111	Min.	15.00	0.00	7	0.00	1	0.00	1	8176.49	19	-12718.50	7	-108.28	7
104	102	111	Min.	414.78									8637.79	7		
104	102	111	Min.	697.00	0.00	7	0.00	1	0.00	1	-11582.80	19	-12718.50	19	-108.28	7
105	103	112	Max	15.00	0.00	1	0.00	1	0.00	1	11190.90	7	-1592.59	19	101.55	19
105	103	112	Max	407.25									10383.50	7		
105	103	112	Max	697.00	0.00	1	0.00	1	0.00	1	-8266.54	7	-1592.58	7	101.55	19
105	103	112	Min.	15.00	0.00	1	0.00	1	0.00	1	8266.54	19	-11564.70	7	-101.55	7
105	103	112	Min.	303.38									8971.69	19		
105	103	112	Min.	697.00	0.00	1	0.00	1	0.00	1	-11190.90	19	-11564.70	19	-101.55	7
106	104	113	Max	15.00	0.00	1	0.00	1	0.00	1	11005.90	7	-2211.92	19	102.32	19

Relazione di calcolo

106	104	113	Max	400.77								10306.10	7			
106	104	113	Max	697.00	0.00	1	0.00	1	0.00	1	-8451.51	7	-2211.92	7	102.32	19
106	104	113	Min.	15.00	0.00	1	0.00	1	0.00	1	8451.51	19	-10922.60	7	-102.32	7
106	104	113	Min.	311.09									9224.35	19		
106	104	113	Min.	697.00	0.00	1	0.00	1	0.00	1	-11006.00	19	-10922.60	19	-102.32	7
107	105	114	Max	15.00	0.00	7	0.00	1	0.00	1	10829.00	7	-2827.93	19	101.31	19
107	105	114	Max	394.42									10219.70	7		
107	105	114	Max	697.00	0.00	7	0.00	1	0.00	1	-8628.42	7	-2827.95	7	101.31	19
107	105	114	Min.	15.00	0.00	7	0.00	1	0.00	1	8628.42	19	-10332.10	7	-101.31	7
107	105	114	Min.	394.42									9393.49	7		
107	105	114	Min.	697.00	0.00	7	0.00	1	0.00	1	-10829.00	19	-10332.10	19	-101.31	7
108	106	115	Max	15.00	0.00	7	0.00	1	0.00	1	10730.70	19	-3341.76	7	111.06	19
108	106	115	Max	320.88									10004.90	7		
108	106	115	Max	697.00	0.00	7	0.00	1	0.00	1	-8726.74	19	-3341.77	19	111.06	19
108	106	115	Min.	15.00	0.00	7	0.00	1	0.00	1	8726.74	7	-10175.40	19	-111.06	7
108	106	115	Min.	320.88									9318.51	7		
108	106	115	Min.	697.00	0.00	7	0.00	1	0.00	1	-10730.70	7	-10175.40	7	-111.06	7
109	107	116	Max	45.00	0.00	1	0.00	1	0.00	1	11426.80	19	-1608.10	7	37.57	19
109	107	116	Max	292.72									7759.33	7		
109	107	116	Max	667.00	0.00	1	0.00	1	0.00	1	-7562.91	19	-1608.11	19	37.57	19
109	107	116	Min.	45.00	0.00	1	0.00	1	0.00	1	7562.91	7	-13624.70	19	-37.57	7
109	107	116	Min.	292.72									5505.04	7		
109	107	116	Min.	667.00	0.00	1	0.00	1	0.00	1	-11426.80	7	-13624.70	7	-37.57	7
110	108	117	Max	45.00	0.00	1	0.00	1	0.00	1	11468.00	19	-2113.69	7	47.58	19
110	108	117	Max	415.26									7699.99	19		
110	108	117	Max	667.00	0.00	1	0.00	1	0.00	1	-7796.86	19	-2113.72	19	47.58	19
110	108	117	Min.	45.00	0.00	1	0.00	1	0.00	1	7796.85	7	-13531.10	19	-47.58	7
110	108	117	Min.	295.89									5797.88	7		
110	108	117	Min.	667.00	0.00	1	0.00	1	0.00	1	-11468.10	7	-13531.10	7	-47.58	7
111	109	118	Max	45.00	0.00	1	0.00	1	0.00	1	7543.14	19	824.08	7	90.01	19
111	109	118	Max	261.07									5161.94	7		
111	109	118	Max	667.00	0.00	1	0.00	1	0.00	1	-4015.18	19	824.07	19	90.01	19
111	109	118	Min.	45.00	0.00	1	0.00	1	0.00	1	4015.18	7	-10147.90	19	-90.01	7
111	109	118	Min.	261.07									2492.43	7		
111	109	118	Min.	667.00	0.00	1	0.00	1	0.00	1	-7543.14	7	-10147.90	7	-90.01	7

Tipo di combinazione di carico: SLD

Asta	N1	N2		X <cm>	N <daN>	CC	Ty <daN>	CC	Mz <daNm>	CC	Tz <daN>	CC	My <daNm>	CC	Mx <daNm>	CC
1	1	101	Max	0.00	-7686.46	20	576.31	2	1837.39	14	1009.23	20	13785.00	8	87.65	8
1	1	101	Max	395.00	-5908.96	20	576.31	2	871.86	2	1009.23	20	-2091.85	20	87.65	8
1	1	101	Min.	0.00	-11356.20	8	-877.78	14	-1404.55	2	-6508.27	8	-6078.31	20	-87.65	20
1	1	101	Min.	395.00	-9578.72	8	-877.78	14	-1629.86	14	-6508.26	8	-11922.60	8	-87.65	20
2	2	102	Max	0.00	-13773.40	20	3879.73	8	-972.58	20	2255.52	2	5338.45	14	87.65	8
2	2	102	Max	395.00	-11995.90	20	3879.73	8	8746.59	8	2255.53	2	3419.42	2	87.65	8
2	2	102	Min.	0.00	-15361.70	8	1412.10	20	-6578.34	8	-2139.88	14	-5489.90	2	-87.65	20
2	2	102	Min.	395.00	-13584.20	8	1412.10	20	4605.20	20	-2139.88	14	-3114.06	14	-87.65	20
3	3	103	Max	0.00	-13529.30	20	3857.23	8	-1412.68	20	2294.45	2	5586.01	14	87.65	8
3	3	103	Max	395.00	-11751.80	20	3857.23	8	8807.58	8	2294.45	2	3518.63	2	87.65	8
3	3	103	Min.	0.00	-14861.90	8	1638.00	20	-6428.47	8	-2316.52	14	-5544.46	2	-87.65	20
3	3	103	Min.	395.00	-13084.40	8	1638.00	20	5057.41	20	-2316.52	14	-3564.23	14	-87.65	20
4	4	104	Max	0.00	-13645.30	20	3726.31	8	-1735.55	20	2288.37	2	5559.85	14	87.65	8
4	4	104	Max	395.00	-11867.80	20	3726.30	8	8592.88	8	2288.37	2	3503.12	2	87.65	8
4	4	104	Min.	0.00	-14787.50	8	1783.24	20	-6126.03	8	-2297.85	14	-5535.93	2	-87.65	20
4	4	104	Min.	395.00	-13010.00	8	1783.24	20	5308.24	20	-2297.85	14	-3516.66	14	-87.65	20
5	5	105	Max	0.00	-13714.20	20	3582.65	8	-2030.38	20	2304.57	2	5580.88	14	87.65	8
5	5	105	Max	395.00	-11936.70	20	3582.65	8	8343.11	8	2304.57	2	3544.41	2	87.65	8
5	5	105	Min.	0.00	-14706.80	8	1910.88	20	-5808.35	8	-2312.86	14	-5558.64	2	-87.65	20
5	5	105	Min.	395.00	-12929.30	8	1910.88	20	5517.61	20	-2312.85	14	-3554.90	14	-87.65	20
6	6	106	Max	0.00	-13650.70	20	3365.50	20	-2100.78	8	2149.19	2	5397.22	14	87.65	8
6	6	106	Max	395.00	-11873.20	20	3365.50	20	7875.29	20	2149.19	2	3148.43	2	87.65	8
6	6	106	Min.	0.00	-14841.90	8	1904.11	8	-5418.44	20	-2181.81	14	-5340.89	2	-87.65	20
6	6	106	Min.	395.00	-13064.40	8	1904.11	8	5420.47	8	-2181.81	14	-3220.93	14	-87.65	20
7	7	107	Max	0.00	-13891.80	8	853.01	2	1810.40	14	-2484.41	8	10960.10	20	87.65	8
7	7	107	Max	395.00	-12114.30	8	853.01	2	1570.02	2	-2484.41	8	-8627.65	8	87.65	8
7	7	107	Min.	0.00	-15843.60	20	-858.87	14	-1799.39	2	-6182.17	20	1185.77	8	-87.65	20
7	7	107	Min.	395.00	-14066.10	20	-858.87	14	-1582.14	14	-6182.17	20	-13459.50	20	-87.65	20
8	8	108	Max	0.00	-14387.80	8	790.20	2	1793.55	14	-2457.35	8	10441.10	20	87.65	8
8	8	108	Max	395.00	-12610.30	8	790.20	2	1411.53	2	-2457.35	8	-8425.04	8	87.65	8
8	8	108	Min.	0.00	-16121.50	20	-847.06	14	-1709.75	2	-5907.15	20	1281.48	8	-87.65	20
8	8	108	Min.	395.00	-14344.00	20	-847.06	14	-1552.34	14	-5907.15	20	-12892.20	20	-87.65	20
9	9	109	Max	0.00	-8605.69	8	804.56	2	1274.88	14	-922.49	8	8014.82	20	87.65	8
9	9	109	Max	395.00	-6828.19	8	804.56	2	1447.77	2	-922.49	8	-4429.34	8	87.65	8
9	9	109	Min.	0.00	-10502.50	20	-483.57	14	-1730.25	2	-4235.88	20	-785.55	8	-87.65	20
9	9	109	Min.	395.00	-8725.00	20	-483.57	14	-635.22	14	-4235.88	20	-8716.95	20	-87.65	20
10	10	110	Max	0.00	-7686.46	8	576.31	14	1837.39	2	6508.27	20	6078.31	8	87.65	8
10	10	110	Max	395.00	-5908.96	8	576.31	14	871.86	14	6508.26	20	11922.60	20	87.65	8
10	10	110	Min.	0.00	-11356.20	20	-877.78	2	-1404.55	14	-1009.23	8	-13785.00	20	-87.65	20
10	10	110	Min.	395.00	-9578.72	20	-877.78	2	-1629.86	2	-1009.23	8	2091.85	8	-87.65	20
11	11	111	Max	0.00	-13773.40	8	-1412.10	8	6578.34	20	2255.52	14	5338.45	2	87.65	8
11	11	111	Max	395.00	-11995.90	8	-1412.10	8	-4605.20	8	2255.53	14	3419.42	14	87.65	8

Relazione di calcolo

11	11	111	Min.	0.00	-15361.70	20	-3879.73	20	972.58	8	-2139.88	2	-5489.90	14	-87.65	20
11	11	111	Min.	395.00	-13584.20	20	-3879.73	20	-8746.59	20	-2139.88	2	-3114.06	2	-87.65	20
12	12	112	Max	0.00	-13529.30	8	-1638.00	8	6428.47	20	2294.45	14	5586.01	2	87.65	8
12	12	112	Max	395.00	-11751.80	8	-1638.00	8	-5057.41	8	2294.45	14	3518.63	14	87.65	8
12	12	112	Min.	0.00	-14861.90	20	-3857.23	20	1412.68	8	-2316.52	2	-5544.46	14	-87.65	20
12	12	112	Min.	395.00	-13084.40	20	-3857.23	20	-8807.58	20	-2316.52	2	-3564.23	2	-87.65	20
13	13	113	Max	0.00	-13645.30	8	-1783.24	8	6126.03	20	2288.37	14	5559.85	2	87.65	8
13	13	113	Max	395.00	-11867.80	8	-1783.24	8	-5308.24	8	2288.37	14	3503.12	14	87.65	8
13	13	113	Min.	0.00	-14787.50	20	-3726.31	20	1735.55	8	-2297.85	2	-5535.93	14	-87.65	20
13	13	113	Min.	395.00	-13010.00	20	-3726.31	20	-8592.88	20	-2297.85	2	-3516.66	2	-87.65	20
14	14	114	Max	0.00	-13714.20	8	-1910.88	8	5808.35	20	2304.57	14	5580.88	2	87.65	8
14	14	114	Max	395.00	-11936.70	8	-1910.88	8	-5517.61	8	2304.57	14	3544.41	14	87.65	8
14	14	114	Min.	0.00	-14706.80	20	-3582.65	20	2030.38	8	-2312.86	2	-5558.64	14	-87.65	20
14	14	114	Min.	395.00	-12929.30	20	-3582.65	20	-8343.11	20	-2312.86	2	-3554.90	2	-87.65	20
15	15	115	Max	0.00	-13650.70	8	-1904.11	20	5418.44	8	2149.19	14	5397.22	2	87.65	8
15	15	115	Max	395.00	-11873.20	8	-1904.11	20	-5420.47	20	2149.19	14	3148.43	14	87.65	8
15	15	115	Min.	0.00	-14841.90	20	-3365.50	8	2100.78	20	-2181.81	2	-5340.89	14	-87.65	20
15	15	115	Min.	395.00	-13064.40	20	-3365.50	8	-7875.29	8	-2181.81	2	-3220.93	2	-87.65	20
16	16	116	Max	0.00	-13891.80	20	853.01	14	1810.40	2	6182.17	8	-1185.77	20	87.65	8
16	16	116	Max	395.00	-12114.30	20	853.01	14	1570.02	14	6182.17	8	13459.50	8	87.65	8
16	16	116	Min.	0.00	-15843.60	8	-858.87	2	-1799.39	14	2484.41	20	-10960.10	8	-87.65	20
16	16	116	Min.	395.00	-14066.10	8	-858.87	2	-1582.14	2	2484.41	20	8627.65	20	-87.65	20
17	17	117	Max	0.00	-14387.80	20	790.20	14	1793.55	2	5907.15	8	-1281.48	20	87.65	8
17	17	117	Max	395.00	-12610.30	20	790.20	14	1411.53	14	5907.15	8	12892.20	8	87.65	8
17	17	117	Min.	0.00	-16121.50	8	-847.06	2	-1709.75	14	2457.35	20	-10441.10	8	-87.65	20
17	17	117	Min.	395.00	-14344.00	8	-847.06	2	-1552.34	2	2457.35	20	8425.04	20	-87.65	20
18	18	118	Max	0.00	-8605.69	20	804.56	14	1274.88	2	4235.88	8	785.55	20	87.65	8
18	18	118	Max	395.00	-6828.19	20	804.56	14	1447.77	14	4235.88	8	8716.95	8	87.65	8
18	18	118	Min.	0.00	-10502.50	8	-483.57	2	-1730.25	14	922.49	20	-8014.82	8	-87.65	20
18	18	118	Min.	395.00	-8725.00	8	-483.57	2	-635.22	2	922.49	20	4429.34	20	-87.65	20
101	101	102	Max	15.00	0.00	2	0.00	2	0.00	2	1646.96	14	1108.96	2	-556.16	20
101	101	102	Max	34.65									1118.95	2		
101	101	102	Max	405.00	0.00	2	0.00	2	0.00	2	-303.04	14	906.40	14	-556.16	20
101	101	102	Min.	15.00	0.00	2	0.00	2	0.00	2	99.97	2	-1714.26	14	-908.94	8
101	101	102	Min.	34.65									-1295.08	2		
101	101	102	Min.	405.00	0.00	2	0.00	2	0.00	2	-1850.03	2	-2303.66	2	-908.94	8
101	102	103	Max	30.00	0.00	2	0.00	2	0.00	2	1997.81	14	1392.55	2	-8.99	20
101	102	103	Max	311.81									524.51	20		
101	102	103	Max	390.00	0.00	2	0.00	2	0.00	2	197.81	14	1419.57	14	-8.99	20
101	102	103	Min.	30.00	0.00	2	0.00	2	0.00	2	-159.22	2	-2532.54	14	-73.87	8
101	102	103	Min.	311.81									-361.83	20		
101	102	103	Min.	390.00	0.00	2	0.00	2	0.00	2	-1959.21	2	-2420.62	2	-73.87	8
101	103	104	Max	30.00	0.00	2	0.00	2	0.00	2	1948.90	14	1362.58	2	23.14	20
101	103	104	Max	305.39									518.12	20		
101	103	104	Max	390.00	0.00	2	0.00	2	0.00	2	148.90	14	1370.00	14	23.14	20
101	103	104	Min.	30.00	0.00	2	0.00	2	0.00	2	-147.49	2	-2406.04	14	-28.97	8
101	103	104	Min.	114.32									-308.98	8		
101	103	104	Min.	390.00	0.00	2	0.00	2	0.00	2	-1947.49	2	-2408.37	2	-28.97	8
101	104	105	Max	30.00	0.00	2	0.00	2	0.00	2	1950.05	14	1361.19	2	28.93	20
101	104	105	Max	305.73									516.17	20		
101	104	105	Max	390.00	0.00	2	0.00	2	0.00	2	150.05	14	1365.44	14	28.93	20
101	104	105	Min.	30.00	0.00	2	0.00	2	0.00	2	-144.28	2	-2414.75	14	-22.41	8
101	104	105	Min.	114.80									-309.63	8		
101	104	105	Min.	390.00	0.00	2	0.00	2	0.00	2	-1944.28	2	-2398.21	2	-22.41	8
101	105	106	Max	30.00	0.00	2	0.00	2	0.00	2	1986.92	14	1407.03	2	69.33	20
101	105	106	Max	308.68									542.19	20		
101	105	106	Max	390.00	0.00	2	0.00	2	0.00	2	186.92	14	1460.56	14	69.33	20
101	105	106	Min.	30.00	0.00	2	0.00	2	0.00	2	-188.52	2	-2452.35	14	21.89	8
101	105	106	Min.	308.68									-364.80	20		
101	105	106	Min.	390.00	0.00	2	0.00	2	0.00	2	-1988.52	2	-2511.64	2	21.89	8
101	106	107	Max	30.00	0.00	14	0.00	2	0.00	2	1626.83	14	947.50	2	665.81	20
101	106	107	Max	77.16									1003.09	2		
101	106	107	Max	405.00	0.00	14	0.00	2	0.00	2	-248.17	14	519.18	14	665.81	20
101	106	107	Min.	30.00	0.00	2	0.00	2	0.00	2	235.78	2	-2065.81	14	521.73	8
101	106	107	Min.	77.16									-1253.24	2		
101	106	107	Min.	405.00	0.00	2	0.00	2	0.00	2	-1639.22	2	-1683.97	2	521.73	8
101	107	108	Max	15.00	0.00	8	0.00	2	0.00	2	1296.03	14	63.55	2	55.88	20
101	107	108	Max	274.11									438.14	14		
101	107	108	Max	405.00	0.00	8	0.00	2	0.00	2	-653.97	14	10.46	14	55.88	20
101	107	108	Min.	15.00	0.00	20	0.00	2	0.00	2	599.60	2	-1241.56	14	-25.73	8
101	107	108	Min.	274.11									-39.97	14		
101	107	108	Min.	405.00	0.00	20	0.00	2	0.00	2	-1350.40	2	-1400.52	2	-25.73	8
101	108	109	Max	15.00	0.00	14	0.00	2	0.00	2	1652.57	14	202.32	2	195.21	20
101	108	109	Max	344.94									1010.03	14		
101	108	109	Max	420.00	0.00	14	0.00	2	0.00	2	-372.43	14	871.34	14	195.21	20
101	108	109	Min.	15.00	0.00	2	0.00	2	0.00	2	584.97	2	-1720.97	14	113.10	8
101	108	109	Min.	344.94									-524.80	14		
101	108	109	Min.	420.00	0.00	2	0.00	2	0.00	2	-1440.03	2	-1529.17	2	113.10	8
102	110	111	Max	15.00	0.00	14	0.00	2	0.00	2	1646.96	2	1108.96	14	908.94	20
102	110	111	Max	34.65									1118.95	14		
102	110	111	Max	405.00	0.00	14	0.00	2	0.00	2	-303.04	2	906.40	2	908.94	20
102	110	111	Min.	15.00	0.00	2	0.00	2	0.00	2	99.97	14	-1714.26	2	556.16	8

Relazione di calcolo

102	110	111	Min.	34.65									-1295.08	14		
102	110	111	Min.	405.00	0.00	2	0.00	2	0.00	2	-1850.03	14	-2303.66	14	556.16	8
102	111	112	Max	30.00	0.00	8	0.00	2	0.00	2	1997.81	2	1392.55	14	73.87	20
102	111	112	Max	311.81									524.51	8		
102	111	112	Max	390.00	0.00	8	0.00	2	0.00	2	197.81	2	1419.57	2	73.87	20
102	111	112	Min.	30.00	0.00	8	0.00	2	0.00	2	-159.22	14	-2532.54	2	8.99	8
102	111	112	Min.	311.81									-361.83	8		
102	111	112	Min.	390.00	0.00	8	0.00	2	0.00	2	-1959.21	14	-2420.62	14	8.99	8
102	112	113	Max	30.00	0.00	2	0.00	2	0.00	2	1948.90	2	1362.58	14	28.97	20
102	112	113	Max	305.39									518.12	8		
102	112	113	Max	390.00	0.00	2	0.00	2	0.00	2	148.90	2	1370.00	2	28.97	20
102	112	113	Min.	30.00	0.00	2	0.00	2	0.00	2	-147.49	14	-2406.04	2	-23.14	8
102	112	113	Min.	114.32									-308.98	20		
102	112	113	Min.	390.00	0.00	2	0.00	2	0.00	2	-1947.49	14	-2408.37	14	-23.14	8
102	113	114	Max	30.00	0.00	2	0.00	2	0.00	2	1950.05	2	1361.19	14	22.41	20
102	113	114	Max	305.73									516.17	8		
102	113	114	Max	390.00	0.00	2	0.00	2	0.00	2	150.05	2	1365.44	2	22.41	20
102	113	114	Min.	30.00	0.00	2	0.00	2	0.00	2	-144.28	14	-2414.75	2	-28.93	8
102	113	114	Min.	114.80									-309.63	20		
102	113	114	Min.	390.00	0.00	2	0.00	2	0.00	2	-1944.28	14	-2398.21	14	-28.93	8
102	114	115	Max	30.00	0.00	2	0.00	2	0.00	2	1986.92	2	1407.03	14	-21.89	20
102	114	115	Max	308.68									542.19	8		
102	114	115	Max	390.00	0.00	2	0.00	2	0.00	2	186.92	2	1460.56	2	-21.89	20
102	114	115	Min.	30.00	0.00	2	0.00	2	0.00	2	-188.52	14	-2452.35	2	-69.33	8
102	114	115	Min.	308.68									-364.80	8		
102	114	115	Min.	390.00	0.00	2	0.00	2	0.00	2	-1988.52	14	-2511.64	14	-69.33	8
102	115	116	Max	30.00	0.00	2	0.00	2	0.00	2	1626.83	2	947.50	14	-521.73	20
102	115	116	Max	77.16									1003.09	14		
102	115	116	Max	405.00	0.00	2	0.00	2	0.00	2	-248.17	2	519.18	2	-521.73	20
102	115	116	Min.	30.00	0.00	2	0.00	2	0.00	2	235.78	14	-2065.81	2	-665.81	8
102	115	116	Min.	77.16									-1253.24	14		
102	115	116	Min.	405.00	0.00	2	0.00	2	0.00	2	-1639.22	14	-1683.97	14	-665.81	8
102	116	117	Max	15.00	0.00	14	0.00	2	0.00	2	1296.03	2	63.55	14	25.73	20
102	116	117	Max	274.11									438.14	2		
102	116	117	Max	405.00	0.00	14	0.00	2	0.00	2	-653.97	2	10.47	2	25.73	20
102	116	117	Min.	15.00	0.00	2	0.00	2	0.00	2	599.60	14	-1241.56	2	-55.88	8
102	116	117	Min.	274.11									-39.95	2		
102	116	117	Min.	405.00	0.00	2	0.00	2	0.00	2	-1350.40	14	-1400.52	14	-55.88	8
102	117	118	Max	15.00	0.00	2	0.00	2	0.00	2	1652.57	2	202.32	14	-113.10	20
102	117	118	Max	344.94									1010.03	2		
102	117	118	Max	420.00	0.00	2	0.00	2	0.00	2	-372.43	2	871.34	2	-113.10	20
102	117	118	Min.	15.00	0.00	14	0.00	2	0.00	2	584.97	14	-1720.97	2	-195.21	8
102	117	118	Min.	344.94									-524.80	2		
102	117	118	Min.	420.00	0.00	14	0.00	2	0.00	2	-1440.03	14	-1529.17	14	-195.21	8
103	101	110	Max	45.00	0.00	2	0.00	2	0.00	2	7532.71	8	867.82	20	29.90	20
103	101	110	Max	261.63									5228.23	20		
103	101	110	Max	667.00	0.00	2	0.00	2	0.00	2	-4025.60	8	867.82	8	29.90	20
103	101	110	Min.	45.00	0.00	2	0.00	2	0.00	2	4025.60	20	-10039.30	8	-29.90	8
103	101	110	Min.	261.63									2309.28	20		
103	101	110	Min.	667.00	0.00	2	0.00	2	0.00	2	-7532.71	20	-10039.30	20	-29.90	8
104	102	111	Max	15.00	0.00	8	0.00	2	0.00	2	10640.60	8	-4316.04	20	48.43	20
104	102	111	Max	329.74									10033.80	20		
104	102	111	Max	697.00	0.00	8	0.00	2	0.00	2	-9118.68	8	-4316.04	8	48.43	20
104	102	111	Min.	15.00	0.00	8	0.00	2	0.00	2	9118.68	20	-9505.65	8	-48.43	8
104	102	111	Min.	382.49									9672.16	8		
104	102	111	Min.	697.00	0.00	8	0.00	2	0.00	2	-10640.60	20	-9505.64	20	-48.43	8
105	103	112	Max	15.00	0.00	2	0.00	2	0.00	2	10382.00	8	-4351.03	20	45.42	20
105	103	112	Max	333.10									10083.60	20		
105	103	112	Max	697.00	0.00	2	0.00	2	0.00	2	-9075.47	8	-4351.02	8	45.42	20
105	103	112	Min.	15.00	0.00	2	0.00	2	0.00	2	9075.47	20	-8806.27	8	-45.42	8
105	103	112	Min.	333.10									9809.17	20		
105	103	112	Min.	697.00	0.00	2	0.00	2	0.00	2	-10382.00	20	-8806.26	20	-45.42	8
106	104	113	Max	15.00	0.00	2	0.00	2	0.00	2	10299.30	8	-4621.45	20	45.77	20
106	104	113	Max	335.83									10077.30	20		
106	104	113	Max	697.00	0.00	2	0.00	2	0.00	2	-9158.12	8	-4621.45	8	45.77	20
106	104	113	Min.	15.00	0.00	2	0.00	2	0.00	2	9158.12	20	-8513.02	8	-45.77	8
106	104	113	Min.	335.83									9860.22	20		
106	104	113	Min.	697.00	0.00	2	0.00	2	0.00	2	-10299.30	20	-8513.02	20	-45.77	8
107	105	114	Max	15.00	0.00	8	0.00	2	0.00	2	10220.30	8	-4903.68	20	45.32	20
107	105	114	Max	338.63									10049.80	20		
107	105	114	Max	697.00	0.00	8	0.00	2	0.00	2	-9237.14	8	-4903.69	8	45.32	20
107	105	114	Min.	15.00	0.00	8	0.00	2	0.00	2	9237.14	20	-8256.33	8	-45.32	8
107	105	114	Min.	338.63									9882.91	20		
107	105	114	Min.	697.00	0.00	8	0.00	2	0.00	2	-10220.30	20	-8256.34	20	-45.32	8
108	106	115	Max	15.00	0.00	8	0.00	2	0.00	2	10176.50	20	-5231.83	8	49.67	20
108	106	115	Max	340.31									9864.05	8		
108	106	115	Max	697.00	0.00	8	0.00	2	0.00	2	-9281.01	20	-5231.84	20	49.67	20
108	106	115	Min.	15.00	0.00	8	0.00	2	0.00	2	9281.01	8	-8285.29	20	-49.67	8
108	106	115	Min.	340.31									9727.02	8		
108	106	115	Min.	697.00	0.00	8	0.00	2	0.00	2	-10176.50	8	-8285.30	8	-49.67	8
109	107	116	Max	45.00	0.00	2	0.00	2	0.00	2	10358.30	20	-4930.98	8	16.80	20
109	107	116	Max	327.72									7270.18	8		

Relazione di calcolo

109	107	116	Max	667.00	0.00	2	0.00	2	0.00	2	-8631.36	20	-4931.00	20	16.80	20
109	107	116	Min.	45.00	0.00	2	0.00	2	0.00	2	8631.36	8	-10301.80	20	-16.80	8
109	107	116	Min.	327.72									6819.85	8		
109	107	116	Min.	667.00	0.00	2	0.00	2	0.00	2	-10358.30	8	-10301.80	8	-16.80	8
110	108	117	Max	45.00	0.00	2	0.00	2	0.00	2	10453.30	20	-5269.67	8	21.28	20
110	108	117	Max	329.50									7264.82	8		
110	108	117	Max	667.00	0.00	2	0.00	2	0.00	2	-8811.64	20	-5269.70	20	21.28	20
110	108	117	Min.	45.00	0.00	2	0.00	2	0.00	2	8811.63	8	-10375.10	20	-21.28	8
110	108	117	Min.	329.50									6889.80	8		
110	108	117	Min.	667.00	0.00	2	0.00	2	0.00	2	-10453.30	8	-10375.10	8	-21.28	8
111	109	118	Max	45.00	0.00	2	0.00	2	0.00	2	6568.55	20	-2206.90	8	40.26	20
111	109	118	Max	313.52									4492.36	8		
111	109	118	Max	667.00	0.00	2	0.00	2	0.00	2	-4989.77	20	-2206.91	20	40.26	20
111	109	118	Min.	45.00	0.00	2	0.00	2	0.00	2	4989.77	8	-7116.90	20	-40.26	8
111	109	118	Min.	313.52									3957.53	8		
111	109	118	Min.	667.00	0.00	2	0.00	2	0.00	2	-6568.55	8	-7116.91	8	-40.26	8

Tipo di combinazione di carico: SLO

Asta	N1	N2		X <cm>	N <daN>	CC	Ty <daN>	CC	Mz <daNm>	CC	Tz <daN>	CC	My <daNm>	CC	Mx <daNm>	CC
1	1	101	Max	0.00	-7279.78	21	737.45	3	2196.65	15	1842.30	21	15986.20	9	107.08	9
1	1	101	Max	395.00	-5502.28	21	737.45	3	1149.10	3	1842.30	21	-1002.42	21	107.08	9
1	1	101	Min.	0.00	-11762.90	9	-1038.92	15	-1763.81	3	-7341.34	9	-8279.51	21	-107.08	21
1	1	101	Min.	395.00	-9985.39	9	-1038.92	15	-1907.10	15	-7341.33	9	-13012.10	9	-107.08	21
2	2	102	Max	0.00	-13597.30	21	4153.19	9	-351.36	21	2742.61	3	6538.42	15	107.08	9
2	2	102	Max	395.00	-11819.80	21	4153.19	9	9205.53	9	2742.61	3	4143.44	3	107.08	9
2	2	102	Min.	0.00	-15537.70	9	1138.64	21	-7199.55	9	-2626.96	15	-6689.87	3	-107.08	21
2	2	102	Min.	395.00	-13760.20	9	1138.64	21	4146.26	21	-2626.97	15	-3838.08	15	-107.08	21
3	3	103	Max	0.00	-13381.60	21	4103.16	9	-856.84	21	2805.43	3	6819.46	15	107.08	9
3	3	103	Max	395.00	-11604.10	21	4103.16	9	9223.17	9	2805.43	3	4303.54	3	107.08	9
3	3	103	Min.	0.00	-15009.60	9	1392.07	21	-6984.31	9	-2827.49	15	-6777.91	3	-107.08	21
3	3	103	Min.	395.00	-13232.10	9	1392.07	21	4641.83	21	-2827.49	15	-4349.13	15	-107.08	21
4	4	104	Max	0.00	-13518.70	21	3941.63	9	-1249.01	21	2796.60	3	6789.46	15	107.08	9
4	4	104	Max	395.00	-11741.20	21	3941.63	9	8956.87	9	2796.60	3	4281.03	3	107.08	9
4	4	104	Min.	0.00	-14914.00	9	1567.91	21	-6612.57	9	-2806.08	15	-6765.54	3	-107.08	21
4	4	104	Min.	395.00	-13136.50	9	1567.91	21	4944.24	21	-2806.08	15	-4294.58	15	-107.08	21
5	5	105	Max	0.00	-13604.20	21	3767.91	9	-1611.72	21	2816.26	3	6815.33	15	107.08	9
5	5	105	Max	395.00	-11826.70	21	3767.91	9	8656.22	9	2816.26	3	4331.14	3	107.08	9
5	5	105	Min.	0.00	-14816.80	9	1725.62	21	-6227.01	9	-2824.55	15	-6793.09	3	-107.08	21
5	5	105	Min.	395.00	-13039.30	9	1725.62	21	5204.49	21	-2824.55	15	-4341.63	15	-107.08	21
6	6	106	Max	0.00	-13518.70	21	3527.45	21	-1733.13	9	2629.15	3	6587.19	15	107.08	9
6	6	106	Max	395.00	-11741.20	21	3527.45	21	8147.32	21	2629.15	3	3854.27	3	107.08	9
6	6	106	Min.	0.00	-14973.90	9	1742.17	9	-5786.10	21	-2661.76	15	-6530.85	3	-107.08	21
6	6	106	Min.	395.00	-13196.40	9	1742.17	9	5148.43	9	-2661.76	15	-3926.77	15	-107.08	21
7	7	107	Max	0.00	-13675.50	9	1042.72	3	2210.43	15	-2074.63	9	12043.30	21	107.08	9
7	7	107	Max	395.00	-11898.00	9	1042.72	3	1919.34	3	-2074.63	9	-8092.20	9	107.08	9
7	7	107	Min.	0.00	-16059.80	21	-1048.58	15	-2199.41	3	-6591.95	21	102.60	9	-107.08	21
7	7	107	Min.	395.00	-14282.30	21	-1048.58	15	-1931.46	15	-6591.95	21	-13994.90	21	-107.08	21
8	8	108	Max	0.00	-14195.70	9	971.63	3	2181.77	15	-2075.05	9	11456.10	21	107.08	9
8	8	108	Max	395.00	-12418.20	9	971.63	3	1739.98	3	-2075.05	9	-7930.00	9	107.08	9
8	8	108	Min.	0.00	-16313.60	21	-1028.50	15	-2097.98	3	-6289.45	21	266.44	9	-107.08	21
8	8	108	Min.	395.00	-14536.10	21	-1028.50	15	-1880.79	15	-6289.45	21	-13387.20	21	-107.08	21
9	9	109	Max	0.00	-8395.49	9	947.31	3	1607.90	15	-555.30	9	8990.05	21	107.08	9
9	9	109	Max	395.00	-6617.99	9	947.31	3	1678.60	3	-555.30	9	-3954.20	9	107.08	9
9	9	109	Min.	0.00	-10712.70	21	-626.32	15	-2063.27	3	-4603.07	21	-1760.78	9	-107.08	21
9	9	109	Min.	395.00	-8935.20	21	-626.32	15	-866.05	15	-4603.07	21	-9192.10	21	-107.08	21
10	10	110	Max	0.00	-7279.78	9	737.45	15	2196.65	3	7341.34	21	8279.51	9	107.08	9
10	10	110	Max	395.00	-5502.28	9	737.45	15	1149.10	15	7341.33	21	13012.10	21	107.08	9
10	10	110	Min.	0.00	-11762.90	21	-1038.92	3	-1763.81	15	-1842.30	9	-15986.20	21	-107.08	21
10	10	110	Min.	395.00	-9985.39	21	-1038.92	3	-1907.10	3	-1842.30	9	1002.42	9	-107.08	21
11	11	111	Max	0.00	-13597.30	9	-1138.64	9	7199.55	21	2742.61	15	6538.42	3	107.08	9
11	11	111	Max	395.00	-11819.80	9	-1138.64	9	-4146.26	9	2742.61	15	4143.44	15	107.08	9
11	11	111	Min.	0.00	-15537.70	21	-4153.19	21	351.36	9	-2626.96	3	-6689.87	15	-107.08	21
11	11	111	Min.	395.00	-13760.20	21	-4153.19	21	-9205.53	21	-2626.97	3	-3838.08	3	-107.08	21
12	12	112	Max	0.00	-13381.60	9	-1392.07	9	6984.31	21	2805.43	15	6819.46	3	107.08	9
12	12	112	Max	395.00	-11604.10	9	-1392.07	9	-4641.83	9	2805.43	15	4303.54	15	107.08	9
12	12	112	Min.	0.00	-15009.60	21	-4103.16	21	856.84	9	-2827.49	3	-6777.91	15	-107.08	21
12	12	112	Min.	395.00	-13232.10	21	-4103.16	21	-9223.17	21	-2827.49	3	-4349.13	3	-107.08	21
13	13	113	Max	0.00	-13518.70	9	-1567.91	9	6612.57	21	2796.60	15	6789.46	3	107.08	9
13	13	113	Max	395.00	-11741.20	9	-1567.91	9	-4944.24	9	2796.60	15	4281.03	15	107.08	9
13	13	113	Min.	0.00	-14914.00	21	-3941.63	21	1249.01	9	-2806.08	3	-6765.54	15	-107.08	21
13	13	113	Min.	395.00	-13136.50	21	-3941.63	21	-8956.87	21	-2806.08	3	-4294.58	3	-107.08	21
14	14	114	Max	0.00	-13604.20	9	-1725.62	9	6227.01	21	2816.26	15	6815.33	3	107.08	9
14	14	114	Max	395.00	-11826.70	9	-1725.62	9	-5204.49	9	2816.26	15	4331.14	15	107.08	9
14	14	114	Min.	0.00	-14816.80	21	-3767.91	21	1611.72	9	-2824.55	3	-6793.09	15	-107.08	21
14	14	114	Min.	395.00	-13039.30	21	-3767.91	21	-8656.22	21	-2824.55	3	-4341.63	3	-107.08	21
15	15	115	Max	0.00	-13518.70	9	-1742.17	21	5786.10	9	2629.15	15	6587.19	3	107.08	9
15	15	115	Max	395.00	-11741.20	9	-1742.17	21	-5148.43	21	2629.15	15	3854.27	15	107.08	9
15	15	115	Min.	0.00	-14973.90	21	-3527.45	9	1733.13	21	-2661.76	3	-6530.85	15	-107.08	21
15	15	115	Min.	395.00	-13196.40	21	-3527.45	9	-8147.32	9	-2661.76	3	-3926.77	3	-107.08	21
16	16	116	Max	0.00	-13675.50	21	1042.72	15	2210.42	3	6591.95	9	-102.60	21	107.08	9

Relazione di calcolo

16	16	116	Max	395.00	-11898.00	21	1042.72	15	1919.34	15	6591.95	9	13994.90	9	107.08	9
16	16	116	Min.	0.00	-16059.80	9	-1048.58	3	-2199.41	15	2074.63	21	-12043.30	9	-107.08	21
16	16	116	Min.	395.00	-14282.30	9	-1048.58	3	-1931.46	3	2074.63	21	8092.20	21	-107.08	21
17	17	117	Max	0.00	-14195.70	21	971.63	15	2181.77	3	6289.45	9	-266.44	21	107.08	9
17	17	117	Max	395.00	-12418.20	21	971.63	15	1739.98	15	6289.45	9	13387.20	9	107.08	9
17	17	117	Min.	0.00	-16313.60	9	-1028.50	3	-2097.98	15	2075.05	21	-11456.10	9	-107.08	21
17	17	117	Min.	395.00	-14536.10	9	-1028.50	3	-1880.79	3	2075.05	21	7930.00	21	-107.08	21
18	18	118	Max	0.00	-8395.49	21	947.31	15	1607.90	3	4603.07	9	1760.78	21	107.08	9
18	18	118	Max	395.00	-6617.99	21	947.31	15	1678.60	15	4603.07	9	9192.10	9	107.08	9
18	18	118	Min.	0.00	-10712.70	9	-626.32	3	-2063.27	15	555.30	21	-8990.05	9	-107.08	21
18	18	118	Min.	395.00	-8935.20	9	-626.32	3	-866.05	3	555.30	21	3954.20	21	-107.08	21
101	101	102	Max	15.00	0.00	3	0.00	3	0.00	3	1818.40	15	1421.82	3	-517.06	21
101	101	102	Max	16.24									1281.78	6		
101	101	102	Max	405.00	0.00	3	0.00	3	0.00	3	-131.60	15	1262.13	15	-517.06	21
101	101	102	Min.	15.00	0.00	3	0.00	3	0.00	3	-71.46	3	-2027.12	15	-948.03	9
101	101	102	Min.	16.57									-1998.54	15		
101	101	102	Min.	405.00	0.00	3	0.00	3	0.00	3	-2021.46	3	-2659.39	3	-948.03	9
101	102	103	Max	30.00	0.00	3	0.00	3	0.00	3	2236.85	15	1827.52	3	-1.80	21
101	102	103	Max	332.88									644.73	21		
101	102	103	Max	390.00	0.00	3	0.00	3	0.00	3	436.85	15	1845.13	15	-1.80	21
101	102	103	Min.	30.00	0.00	3	0.00	3	0.00	3	-398.25	3	-2967.51	15	-81.06	9
101	102	103	Min.	332.88									-666.48	21		
101	102	103	Min.	390.00	0.00	3	0.00	3	0.00	3	-2198.25	3	-2846.18	3	-81.06	9
101	103	104	Max	30.00	0.00	3	0.00	3	0.00	3	2181.22	15	1780.21	3	28.92	21
101	103	104	Max	325.85									630.18	21		
101	103	104	Max	390.00	0.00	3	0.00	3	0.00	3	381.22	15	1788.71	15	28.92	21
101	103	104	Min.	30.00	0.00	3	0.00	3	0.00	3	-379.80	3	-2823.67	15	-34.75	9
101	103	104	Min.	93.78									-596.73	9		
101	103	104	Min.	390.00	0.00	3	0.00	3	0.00	3	-2179.80	3	-2827.08	3	-34.75	9
101	104	105	Max	30.00	0.00	3	0.00	3	0.00	3	2182.14	15	1779.63	3	34.62	21
101	104	105	Max	326.19									627.92	21		
101	104	105	Max	390.00	0.00	3	0.00	3	0.00	3	382.14	15	1782.52	15	34.62	21
101	104	105	Min.	30.00	0.00	3	0.00	3	0.00	3	-376.37	3	-2833.19	15	-28.10	9
101	104	105	Min.	94.33									-596.39	9		
101	104	105	Min.	390.00	0.00	3	0.00	3	0.00	3	-2176.37	3	-2815.29	3	-28.10	9
101	105	106	Max	30.00	0.00	3	0.00	3	0.00	3	2228.00	15	1834.72	3	74.59	21
101	105	106	Max	330.05									665.11	21		
101	105	106	Max	390.00	0.00	3	0.00	3	0.00	3	428.00	15	1900.75	15	74.59	21
101	105	106	Min.	30.00	0.00	3	0.00	3	0.00	3	-429.60	3	-2880.03	15	16.63	9
101	105	106	Min.	330.05									-676.64	21		
101	105	106	Min.	390.00	0.00	3	0.00	3	0.00	3	-2229.60	3	-2951.83	3	16.63	9
101	106	107	Max	30.00	0.00	15	0.00	3	0.00	3	1780.98	15	1281.43	3	681.78	21
101	106	107	Max	45.57									1288.07	3		
101	106	107	Max	405.00	0.00	15	0.00	3	0.00	3	-94.02	15	763.33	15	681.78	21
101	106	107	Min.	30.00	0.00	3	0.00	3	0.00	3	81.62	3	-2399.73	15	505.76	9
101	106	107	Min.	45.57									-1982.05	3		
101	106	107	Min.	405.00	0.00	3	0.00	3	0.00	3	-1793.38	3	-1928.11	3	505.76	9
101	107	108	Max	15.00	0.00	9	0.00	3	0.00	3	1373.21	15	208.18	3	64.93	21
101	107	108	Max	289.64									499.51	15		
101	107	108	Max	405.00	0.00	9	0.00	3	0.00	3	-576.79	15	166.83	15	64.93	21
101	107	108	Min.	15.00	0.00	21	0.00	3	0.00	3	522.42	3	-1386.19	15	-34.78	9
101	107	108	Min.	289.64									-211.07	15		
101	107	108	Min.	405.00	0.00	21	0.00	3	0.00	3	-1427.58	3	-1556.88	3	-34.78	9
101	108	109	Max	15.00	0.00	15	0.00	3	0.00	3	1770.88	15	415.46	3	204.31	21
101	108	109	Max	368.59									1201.92	15		
101	108	109	Max	420.00	0.00	15	0.00	3	0.00	3	-254.12	15	1137.35	15	204.31	21
101	108	109	Min.	15.00	0.00	3	0.00	3	0.00	3	466.66	3	-1934.10	15	104.00	9
101	108	109	Min.	368.59									-968.87	15		
101	108	109	Min.	420.00	0.00	3	0.00	3	0.00	3	-1558.34	3	-1795.19	3	104.00	9
102	110	111	Max	15.00	0.00	15	0.00	3	0.00	3	1818.40	3	1421.82	15	948.03	21
102	110	111	Max	16.24									1281.78	18		
102	110	111	Max	405.00	0.00	15	0.00	3	0.00	3	-131.60	3	1262.13	3	948.03	21
102	110	111	Min.	15.00	0.00	3	0.00	3	0.00	3	-71.46	15	-2027.12	3	517.06	9
102	110	111	Min.	16.57									-1998.54	3		
102	110	111	Min.	405.00	0.00	3	0.00	3	0.00	3	-2021.46	15	-2659.39	15	517.06	9
102	111	112	Max	30.00	0.00	9	0.00	3	0.00	3	2236.85	3	1827.52	15	81.06	21
102	111	112	Max	332.88									644.73	9		
102	111	112	Max	390.00	0.00	9	0.00	3	0.00	3	436.85	3	1845.13	3	81.06	21
102	111	112	Min.	30.00	0.00	9	0.00	3	0.00	3	-398.25	15	-2967.51	3	1.80	9
102	111	112	Min.	332.88									-666.47	9		
102	111	112	Min.	390.00	0.00	9	0.00	3	0.00	3	-2198.25	15	-2846.18	15	1.80	9
102	112	113	Max	30.00	0.00	3	0.00	3	0.00	3	2181.22	3	1780.21	15	34.75	21
102	112	113	Max	325.86									630.18	9		
102	112	113	Max	390.00	0.00	3	0.00	3	0.00	3	381.22	3	1788.71	3	34.75	21
102	112	113	Min.	30.00	0.00	3	0.00	3	0.00	3	-379.80	15	-2823.67	3	-28.92	9
102	112	113	Min.	93.78									-596.73	21		
102	112	113	Min.	390.00	0.00	3	0.00	3	0.00	3	-2179.80	15	-2827.08	15	-28.92	9
102	113	114	Max	30.00	0.00	3	0.00	3	0.00	3	2182.14	3	1779.63	15	28.10	21
102	113	114	Max	326.18									627.92	9		
102	113	114	Max	390.00	0.00	3	0.00	3	0.00	3	382.14	3	1782.52	3	28.10	21
102	113	114	Min.	30.00	0.00	3	0.00	3	0.00	3	-376.37	15	-2833.19	3	-34.62	9
102	113	114	Min.	94.33									-596.40	21		

Relazione di calcolo

102	113	114	Min.	390.00	0.00	3	0.00	3	0.00	3	-2176.37	15	-2815.29	15	-34.62	9
102	114	115	Max	30.00	0.00	3	0.00	3	0.00	3	2228.00	3	1834.72	15	-16.63	21
102	114	115	Max	330.05									665.11	9		
102	114	115	Max	390.00	0.00	3	0.00	3	0.00	3	428.00	3	1900.75	3	-16.63	21
102	114	115	Min.	30.00	0.00	3	0.00	3	0.00	3	-429.60	15	-2880.03	3	-74.59	9
102	114	115	Min.	330.05									-676.64	9		
102	114	115	Min.	390.00	0.00	3	0.00	3	0.00	3	-2229.60	15	-2951.83	15	-74.59	9
102	115	116	Max	30.00	0.00	3	0.00	3	0.00	3	1780.98	3	1281.43	15	-505.76	21
102	115	116	Max	45.57									1288.07	15		
102	115	116	Max	405.00	0.00	3	0.00	3	0.00	3	-94.02	3	763.33	3	-505.76	21
102	115	116	Min.	30.00	0.00	3	0.00	3	0.00	3	81.62	15	-2399.73	3	-681.78	9
102	115	116	Min.	45.57									-1982.05	15		
102	115	116	Min.	405.00	0.00	3	0.00	3	0.00	3	-1793.38	15	-1928.11	15	-681.78	9
102	116	117	Max	15.00	0.00	15	0.00	3	0.00	3	1373.21	3	208.18	15	34.78	21
102	116	117	Max	289.64									499.51	3		
102	116	117	Max	405.00	0.00	15	0.00	3	0.00	3	-576.79	3	166.83	3	34.78	21
102	116	117	Min.	15.00	0.00	3	0.00	3	0.00	3	522.42	15	-1386.19	3	-64.93	9
102	116	117	Min.	289.64									-211.07	3		
102	116	117	Min.	405.00	0.00	3	0.00	3	0.00	3	-1427.58	15	-1556.88	15	-64.93	9
102	117	118	Max	15.00	0.00	3	0.00	3	0.00	3	1770.88	3	415.45	15	-104.00	21
102	117	118	Max	368.59									1201.92	3		
102	117	118	Max	420.00	0.00	3	0.00	3	0.00	3	-254.12	3	1137.35	3	-104.00	21
102	117	118	Min.	15.00	0.00	15	0.00	3	0.00	3	466.66	15	-1934.10	3	-204.31	9
102	117	118	Min.	368.59									-968.87	3		
102	117	118	Min.	420.00	0.00	15	0.00	3	0.00	3	-1558.34	15	-1795.19	15	-204.31	9
103	101	110	Max	45.00	0.00	3	0.00	3	0.00	3	7921.36	9	2076.52	21	36.52	21
103	101	110	Max	240.72									5635.63	21		
103	101	110	Max	667.00	0.00	3	0.00	3	0.00	3	-3636.96	9	2076.51	9	36.52	21
103	101	110	Min.	45.00	0.00	3	0.00	3	0.00	3	3636.95	21	-11248.00	9	-36.52	9
103	101	110	Min.	240.72									1279.40	21		
103	101	110	Min.	667.00	0.00	3	0.00	3	0.00	3	-7921.36	21	-11248.00	21	-36.52	9
104	102	111	Max	15.00	0.00	9	0.00	3	0.00	3	10809.20	9	-3740.95	21	59.17	21
104	102	111	Max	323.92									10083.00	21		
104	102	111	Max	697.00	0.00	9	0.00	3	0.00	3	-8950.03	9	-3740.94	9	59.17	21
104	102	111	Min.	15.00	0.00	9	0.00	3	0.00	3	8950.03	21	-10080.70	9	-59.17	9
104	102	111	Min.	323.92									9547.77	21		
104	102	111	Min.	697.00	0.00	9	0.00	3	0.00	3	-10809.20	21	-10080.70	21	-59.17	9
105	103	112	Max	15.00	0.00	3	0.00	3	0.00	3	10526.80	9	-3857.31	21	55.49	21
105	103	112	Max	328.03									10120.40	21		
105	103	112	Max	697.00	0.00	3	0.00	3	0.00	3	-8930.68	9	-3857.30	9	55.49	21
105	103	112	Min.	15.00	0.00	3	0.00	3	0.00	3	8930.68	21	-9299.99	9	-55.49	9
105	103	112	Min.	328.03									9710.86	21		
105	103	112	Min.	697.00	0.00	3	0.00	3	0.00	3	-10526.80	21	-9299.98	21	-55.49	9
106	104	113	Max	15.00	0.00	3	0.00	3	0.00	3	10425.80	9	-4190.20	21	55.91	21
106	104	113	Max	331.57									10105.40	21		
106	104	113	Max	697.00	0.00	3	0.00	3	0.00	3	-9031.65	9	-4190.20	9	55.91	21
106	104	113	Min.	15.00	0.00	3	0.00	3	0.00	3	9031.65	21	-8944.28	9	-55.91	9
106	104	113	Min.	331.57									9784.19	21		
106	104	113	Min.	697.00	0.00	3	0.00	3	0.00	3	-10425.80	21	-8944.28	21	-55.91	9
107	105	114	Max	15.00	0.00	9	0.00	3	0.00	3	10329.30	9	-4532.15	21	55.36	21
107	105	114	Max	334.95									10070.70	21		
107	105	114	Max	697.00	0.00	9	0.00	3	0.00	3	-9128.19	9	-4532.16	9	55.36	21
107	105	114	Min.	15.00	0.00	9	0.00	3	0.00	3	9128.18	21	-8627.86	9	-55.36	9
107	105	114	Min.	334.95									9823.61	21		
107	105	114	Min.	697.00	0.00	9	0.00	3	0.00	3	-10329.30	21	-8627.88	21	-55.36	9
108	106	115	Max	15.00	0.00	9	0.00	3	0.00	3	10275.70	21	-4893.45	9	60.68	21
108	106	115	Max	336.41									9881.33	9		
108	106	115	Max	697.00	0.00	9	0.00	3	0.00	3	-9181.78	21	-4893.46	21	60.68	21
108	106	115	Min.	15.00	0.00	9	0.00	3	0.00	3	9181.78	9	-8623.67	21	-60.68	9
108	106	115	Min.	336.41									9672.33	9		
108	106	115	Min.	697.00	0.00	9	0.00	3	0.00	3	-10275.70	9	-8623.68	9	-60.68	9
109	107	116	Max	45.00	0.00	3	0.00	3	0.00	3	10549.70	21	-4335.81	9	20.53	21
109	107	116	Max	321.45									7330.31	9		
109	107	116	Max	667.00	0.00	3	0.00	3	0.00	3	-8439.99	21	-4335.82	21	20.53	21
109	107	116	Min.	45.00	0.00	3	0.00	3	0.00	3	8439.98	9	-10897.00	21	-20.53	9
109	107	116	Min.	321.45									6658.23	9		
109	107	116	Min.	667.00	0.00	3	0.00	3	0.00	3	-10549.70	9	-10897.00	9	-20.53	9
110	108	117	Max	45.00	0.00	3	0.00	3	0.00	3	10635.20	21	-4703.90	9	26.00	21
110	108	117	Max	323.63									7318.37	9		
110	108	117	Max	667.00	0.00	3	0.00	3	0.00	3	-8629.72	21	-4703.92	21	26.00	21
110	108	117	Min.	45.00	0.00	3	0.00	3	0.00	3	8629.71	9	-10940.90	21	-26.00	9
110	108	117	Min.	323.63									6758.68	9		
110	108	117	Min.	667.00	0.00	3	0.00	3	0.00	3	-10635.20	9	-10940.90	9	-26.00	9
111	109	118	Max	45.00	0.00	3	0.00	3	0.00	3	6743.50	21	-1662.78	9	49.19	21
111	109	118	Max	407.89									4574.91	21		
111	109	118	Max	667.00	0.00	3	0.00	3	0.00	3	-4814.82	21	-1662.79	21	49.19	21
111	109	118	Min.	45.00	0.00	3	0.00	3	0.00	3	4814.81	9	-7661.01	21	-49.19	9
111	109	118	Min.	303.20									3762.74	9		
111	109	118	Min.	667.00	0.00	3	0.00	3	0.00	3	-6743.51	9	-7661.03	9	-49.19	9

Tipo di combinazione di carico: SLU

Relazione di calcolo

101	102	103	Max	390.00	-148587.00	25	0.00	25	0.00	25	-618.97	30	367.49	30	-65.77	25
101	102	103	Min.	30.00	-148587.00	25	0.00	25	0.00	25	1200.39	29	-1875.43	30	-80.69	29
101	102	103	Min.	213.71									380.14	25		
101	102	103	Min.	390.00	-148587.00	25	0.00	25	0.00	25	-1283.61	29	-812.00	29	-80.69	29
101	103	104	Max	30.00	-148587.00	25	0.00	25	0.00	25	1817.85	30	-602.12	29	-4.63	25
101	103	104	Max	293.46									641.61	30		
101	103	104	Min.	390.00	-148587.00	25	0.00	25	0.00	25	-666.15	30	320.05	30	-4.63	25
101	103	104	Min.	30.00	-148587.00	25	0.00	25	0.00	25	1177.37	29	-1753.01	30	-13.87	29
101	103	104	Min.	210.14									399.48	25		
101	103	104	Min.	390.00	-148587.00	25	0.00	25	0.00	25	-1306.63	29	-834.79	29	-13.87	29
101	104	105	Max	30.00	-148587.00	25	0.00	25	0.00	25	1819.70	30	-608.65	29	5.19	25
101	104	105	Max	293.73									637.38	30		
101	104	105	Max	390.00	-148587.00	25	0.00	25	0.00	25	-664.30	30	317.60	30	5.19	25
101	104	105	Min.	30.00	-148587.00	25	0.00	25	0.00	25	1180.38	29	-1762.12	30	-3.60	29
101	104	105	Min.	210.56									398.04	25		
101	104	105	Min.	390.00	-148587.00	25	0.00	25	0.00	25	-1303.63	29	-830.50	29	-3.60	29
101	105	106	Max	30.00	-148587.00	25	0.00	25	0.00	25	1847.53	30	-600.14	29	72.52	25
101	105	106	Max	297.76									683.11	30		
101	105	106	Max	390.00	-148587.00	25	0.00	25	0.00	25	-636.48	30	389.56	30	72.52	25
101	105	106	Min.	30.00	-148587.00	25	0.00	25	0.00	25	1172.49	29	-1790.34	30	68.08	29
101	105	106	Min.	201.62									394.44	31		
101	105	106	Min.	390.00	-148587.00	25	0.00	25	0.00	25	-1311.51	29	-850.38	29	68.08	29
101	106	107	Max	30.00	-148587.00	25	0.00	25	0.00	25	1575.38	30	-682.17	29	1032.05	29
101	106	107	Max	209.78									439.31	29		
101	106	107	Max	405.00	-148587.00	25	0.00	25	0.00	25	-1012.13	30	-442.76	30	1032.05	29
101	106	107	Min.	30.00	-148587.00	25	0.00	25	0.00	25	1244.05	29	-1498.85	30	944.10	25
101	106	107	Min.	257.70									299.55	30		
101	106	107	Min.	405.00	-148587.00	25	0.00	25	0.00	25	-1343.45	29	-868.55	29	944.10	25
101	107	108	Max	15.00	-148587.00	25	0.00	25	0.00	25	1313.88	30	-771.77	29	23.91	25
101	107	108	Max	205.13									446.38	30		
101	107	108	Max	405.00	-148587.00	25	0.00	25	0.00	25	-1377.12	30	-927.87	30	23.91	25
101	107	108	Min.	15.00	-148587.00	25	0.00	25	0.00	25	1286.94	29	-813.87	25	11.39	29
101	107	108	Min.	204.47									428.03	25		
101	107	108	Min.	405.00	-148587.00	25	0.00	25	0.00	25	-1404.05	29	-1000.14	29	11.39	29
101	108	109	Max	15.00	-148587.00	25	0.00	25	0.00	25	1721.61	30	-983.09	29	251.21	25
101	108	109	Max	263.94									843.13	30		
101	108	109	Max	420.00	-148587.00	25	0.00	25	0.00	25	-1072.90	30	9.01	30	251.21	25
101	108	109	Min.	15.00	-148587.00	25	0.00	25	0.00	25	1508.97	29	-1304.63	30	236.93	29
101	108	109	Min.	233.69									666.91	29		
101	108	109	Min.	420.00	-148587.00	25	0.00	25	0.00	25	-1285.53	29	-530.62	29	236.93	29
102	110	111	Max	15.00	-148587.00	25	0.00	25	0.00	25	1584.03	30	-423.41	25	1171.08	25
102	110	111	Max	244.57									755.84	30		
102	110	111	Max	405.00	-148587.00	25	0.00	25	0.00	25	-1106.97	30	-132.12	30	1171.08	25
102	110	111	Min.	15.00	-148587.00	25	0.00	25	0.00	25	1208.88	25	-1062.37	30	1034.25	29
102	110	111	Min.	194.05									634.73	31		
102	110	111	Min.	405.00	-148587.00	25	0.00	25	0.00	25	-1482.12	25	-956.22	25	1034.25	29
102	111	112	Max	30.00	-148587.00	25	0.00	25	0.00	25	1865.03	30	-784.24	25	65.77	25
102	111	112	Max	300.30									645.11	30		
102	111	112	Max	390.00	-148587.00	25	0.00	25	0.00	25	-618.97	30	367.49	30	65.77	25
102	111	112	Min.	30.00	-148587.00	25	0.00	25	0.00	25	1267.61	25	-1875.43	30	50.85	29
102	111	112	Min.	213.71									380.14	25		
102	111	112	Min.	390.00	-148587.00	25	0.00	25	0.00	25	-1216.39	25	-692.04	25	50.85	29
102	112	113	Max	30.00	-148587.00	25	0.00	25	0.00	25	1817.85	30	-720.11	25	4.63	25
102	112	113	Max	293.46									641.61	30		
102	112	113	Max	390.00	-148587.00	25	0.00	25	0.00	25	-666.15	30	320.05	30	4.63	25
102	112	113	Min.	30.00	-148587.00	25	0.00	25	0.00	25	1242.99	25	-1753.01	30	-4.62	29
102	112	113	Min.	210.14									399.48	25		
102	112	113	Min.	390.00	-148587.00	25	0.00	25	0.00	25	-1241.01	25	-716.53	25	-4.62	29
102	113	114	Max	30.00	-148587.00	25	0.00	25	0.00	25	1819.70	30	-726.77	25	-5.19	25
102	113	114	Max	293.73									637.38	30		
102	113	114	Max	390.00	-148587.00	25	0.00	25	0.00	25	-664.30	30	317.60	30	-5.19	25
102	113	114	Min.	30.00	-148587.00	25	0.00	25	0.00	25	1245.89	25	-1762.12	30	-13.97	29
102	113	114	Min.	210.56									398.04	25		
102	113	114	Min.	390.00	-148587.00	25	0.00	25	0.00	25	-1238.11	25	-712.78	25	-13.97	29
102	114	115	Max	30.00	-148587.00	25	0.00	25	0.00	25	1847.53	30	-721.06	25	-72.52	25
102	114	115	Max	297.76									683.11	30		
102	114	115	Max	390.00	-148587.00	25	0.00	25	0.00	25	-636.48	30	389.56	30	-72.52	25
102	114	115	Min.	30.00	-148587.00	25	0.00	25	0.00	25	1240.76	25	-1790.34	30	-76.96	29
102	114	115	Min.	209.48									394.51	25		
102	114	115	Min.	390.00	-148587.00	25	0.00	25	0.00	25	-1243.24	25	-725.51	25	-76.96	29
102	115	116	Max	30.00	-148587.00	25	0.00	25	0.00	25	1575.38	30	-771.97	25	-856.15	29
102	115	116	Max	216.23									425.02	25		
102	115	116	Max	405.00	-148587.00	25	0.00	25	0.00	25	-1012.13	30	-442.76	30	-856.15	29
102	115	116	Min.	30.00	-148587.00	25	0.00	25	0.00	25	1285.24	25	-1498.85	30	-944.10	25
102	115	116	Min.	257.70									299.55	30		
102	115	116	Min.	405.00	-148587.00	25	0.00	25	0.00	25	-1302.26	25	-803.88	25	-944.10	25
102	116	117	Max	15.00	-148587.00	25	0.00	25	0.00	25	1331.31	29	-804.54	30	-23.91	25
102	116	117	Max	205.14									446.38	30		
102	116	117	Max	405.00	-148587.00	25	0.00	25	0.00	25	-1359.69	29	-911.29	29	-23.91	25
102	116	117	Min.	15.00	-148587.00	25	0.00	25	0.00	25	1309.13	25	-855.96	29	-36.44	29
102	116	117	Min.	204.47									428.03	25		
102	116	117	Min.	405.00	-148587.00	25	0.00	25	0.00	25	-1381.87	25	-955.72	25	-36.44	29

Relazione di calcolo

102	117	118	Max	15.00	-148587.00	25	0.00	25	0.00	25	1721.61	30	-1040.88	25	-251.21	25
102	117	118	Max	263.94									843.13	30		
102	117	118	Max	420.00	-148587.00	25	0.00	25	0.00	25	-1072.90	30	9.01	30	-251.21	25
102	117	118	Min.	15.00	-148587.00	25	0.00	25	0.00	25	1540.74	25	-1304.63	30	-265.49	29
102	117	118	Min.	238.30									679.33	25		
102	117	118	Min.	420.00	-148587.00	25	0.00	25	0.00	25	-1253.76	25	-459.74	25	-265.49	29
103	101	110	Max	45.00	-185734.00	25	0.00	30	0.00	25	9869.99	29	-7099.35	25	0.00	30
103	101	110	Max	387.86									6968.55	29		
103	101	110	Max	667.00	-185734.00	25	0.00	30	0.00	30	-8035.91	29	-4247.36	29	0.00	30
103	101	110	Min.	45.00	-185734.00	25	0.00	25	0.00	30	8952.95	25	-9951.35	29	-9.95	29
103	101	110	Min.	355.25									6822.40	25		
103	101	110	Min.	667.00	-185734.00	25	0.00	25	0.00	25	-8952.95	25	-7099.36	25	-9.95	29
104	102	111	Max	15.00	-185734.00	25	0.00	25	0.00	30	15910.50	29	-10970.50	25	0.00	30
104	102	111	Max	361.04									15767.90	29		
104	102	111	Max	697.00	-185734.00	25	0.00	25	0.00	25	-15447.20	29	-10180.50	29	0.00	30
104	102	111	Min.	15.00	-185734.00	25	0.00	30	0.00	25	15678.90	25	-11760.40	29	-16.74	29
104	102	111	Min.	356.00									15762.00	25		
104	102	111	Min.	697.00	-185734.00	25	0.00	30	0.00	30	-15678.90	25	-10970.50	25	-16.74	29
105	103	112	Max	15.00	-185734.00	25	0.00	25	0.00	30	15612.80	29	-10435.90	25	0.00	30
105	103	112	Max	359.97									15880.90	29		
105	103	112	Max	697.00	-185734.00	25	0.00	25	0.00	25	-15253.10	29	-9822.62	29	0.00	30
105	103	112	Min.	15.00	-185734.00	25	0.00	30	0.00	25	15433.00	25	-11049.20	29	-15.84	29
105	103	112	Min.	356.00									15877.30	25		
105	103	112	Min.	697.00	-185734.00	25	0.00	30	0.00	30	-15433.00	25	-10435.90	25	-15.84	29
106	104	113	Max	15.00	-185734.00	25	0.00	25	0.00	30	15580.80	29	-10417.80	25	0.00	30
106	104	113	Max	359.27									15897.80	29		
106	104	113	Max	697.00	-185734.00	25	0.00	25	0.00	25	-15285.20	29	-9913.81	29	0.00	30
106	104	113	Min.	15.00	-185734.00	25	0.00	30	0.00	25	15433.00	25	-10921.80	29	-15.96	29
106	104	113	Min.	355.93									15895.40	25		
106	104	113	Min.	697.00	-185734.00	25	0.00	30	0.00	30	-15433.00	25	-10417.80	25	-15.96	29
107	105	114	Max	15.00	-185734.00	25	0.00	25	0.00	30	15550.30	29	-10438.10	25	0.00	30
107	105	114	Max	358.59									15876.60	29		
107	105	114	Max	697.00	-185734.00	25	0.00	25	0.00	25	-15315.60	29	-10037.90	29	0.00	30
107	105	114	Min.	15.00	-185734.00	25	0.00	30	0.00	25	15433.00	25	-10838.30	29	-15.79	29
107	105	114	Min.	355.18									15875.00	25		
107	105	114	Min.	697.00	-185734.00	25	0.00	30	0.00	30	-15433.00	25	-10438.10	25	-15.79	29
108	106	115	Max	15.00	-185734.00	25	0.00	25	0.00	30	15534.80	29	-10722.00	25	0.00	30
108	106	115	Max	358.25									15592.40	29		
108	106	115	Max	697.00	-185734.00	25	0.00	25	0.00	25	-15331.20	29	-10374.80	29	0.00	30
108	106	115	Min.	15.00	-185734.00	25	0.00	30	0.00	25	15433.00	25	-11069.20	29	-17.49	29
108	106	115	Min.	355.18									15591.10	25		
108	106	115	Min.	697.00	-185734.00	25	0.00	30	0.00	30	-15433.00	25	-10722.00	25	-17.49	29
109	107	116	Max	45.00	-185734.00	25	0.00	30	0.00	25	15524.10	29	-12038.30	25	0.00	30
109	107	116	Max	366.69									11327.10	29		
109	107	116	Max	667.00	-185734.00	25	0.00	30	0.00	30	-14492.40	29	-10434.00	29	0.00	30
109	107	116	Min.	45.00	-185734.00	25	0.00	25	0.00	30	15008.20	25	-13642.60	29	-6.22	29
109	107	116	Min.	355.25									11299.40	25		
109	107	116	Min.	667.00	-185734.00	25	0.00	25	0.00	25	-15008.20	25	-12038.30	25	-6.22	29
110	108	117	Max	45.00	-185734.00	25	0.00	30	0.00	25	15691.30	29	-12371.10	25	0.00	30
110	108	117	Max	365.37									11336.90	29		
110	108	117	Max	667.00	-185734.00	25	0.00	30	0.00	30	-14773.70	29	-10944.30	29	0.00	30
110	108	117	Min.	45.00	-185734.00	25	0.00	25	0.00	30	15232.50	25	-13798.00	29	-7.37	29
110	108	117	Min.	355.25									11315.30	25		
110	108	117	Min.	667.00	-185734.00	25	0.00	25	0.00	25	-15232.50	25	-12371.10	25	-7.37	29
111	109	118	Max	45.00	-185734.00	25	0.00	30	0.00	25	9343.77	29	-7220.48	25	0.00	30
111	109	118	Max	369.58									6727.88	29		
111	109	118	Max	667.00	-185734.00	25	0.00	30	0.00	30	-8562.14	29	-6005.06	29	0.00	30
111	109	118	Min.	45.00	-185734.00	25	0.00	25	0.00	30	8952.95	25	-8435.93	29	-14.05	29
111	109	118	Min.	355.25									6701.27	25		
111	109	118	Min.	667.00	-185734.00	25	0.00	25	0.00	25	-8952.96	25	-7220.50	25	-14.05	29

Tipo di combinazione di carico: SLE R

Asta	N1	N2		X <cm>	N <daN>	CC	Ty <daN>	CC	Mz <daNm>	CC	Tz <daN>	CC	My <daNm>	CC	Mx <daNm>	CC
1	1	101	Max	0.00	-10259.40	26	-119.32	33	1312.71	34	-3063.43	26	8406.15	33	20.37	33
1	1	101	Max	395.00	-8481.87	26	-119.32	33	-324.71	33	-3063.43	26	-7807.25	26	20.37	33
1	1	101	Min.	0.00	-10837.60	33	-945.32	34	146.61	33	-4965.22	33	4293.28	26	0.00	34
1	1	101	Min.	395.00	-9060.12	33	-155.32	34	-861.05	34	-4175.22	33	-9646.20	33	0.00	34
2	2	102	Max	0.00	-16010.20	26	4491.48	33	-4302.68	26	153.07	33	3131.55	34	20.37	33
2	2	102	Max	395.00	-14232.70	26	3015.40	26	8186.58	33	153.07	33	295.54	33	20.37	33
2	2	102	Min.	0.00	-16158.40	34	3015.40	26	-6075.55	33	-1888.75	34	-309.11	33	0.00	34
2	2	102	Min.	395.00	-14380.90	34	2820.67	33	7608.15	26	-308.75	34	-1208.49	34	0.00	34
3	3	103	Max	0.00	-15601.70	34	4491.48	33	-4468.82	26	89.59	33	3300.58	34	20.37	33
3	3	103	Max	395.00	-13824.20	34	3131.83	26	8445.13	33	89.59	33	133.74	33	20.37	33
3	3	103	Min.	0.00	-15737.70	33	3131.83	26	-6175.70	33	-2009.35	34	-220.14	33	0.00	34
3	3	103	Min.	395.00	-13960.20	33	2911.48	33	7901.92	26	-429.35	34	-1515.86	34	0.00	34
4	4	104	Max	0.00	-15636.00	34	4464.77	33	-4480.51	26	95.14	33	3283.43	34	20.37	33
4	4	104	Max	395.00	-13858.50	34	3140.03	26	8407.17	33	95.14	33	147.90	33	20.37	33
4	4	104	Min.	0.00	-15735.30	33	3140.03	26	-6108.17	33	-1997.11	34	-227.93	33	0.00	34
4	4	104	Min.	395.00	-13957.80	33	2884.77	33	7922.59	26	-417.11	34	-1484.67	34	0.00	34
5	5	105	Max	0.00	-15631.00	26	4419.93	33	-4467.42	26	96.42	33	3294.37	34	20.37	33

Relazione di calcolo

5	5	105	Max	395.00	-13853.50	26	3130.85	26	8323.47	33	96.42	33	151.16	33	20.37	33
5	5	105	Min.	0.00	-15707.40	33	3130.85	26	-6014.77	33	-2004.92	34	-229.72	33	0.00	34
5	5	105	Min.	395.00	-13929.90	33	2839.94	33	7899.45	26	-424.92	34	-1504.57	34	0.00	34
6	6	106	Max	0.00	-15455.50	34	4248.89	33	-4284.37	26	77.63	33	3202.71	34	20.37	33
6	6	106	Max	395.00	-13678.00	34	3002.57	26	7921.32	33	77.63	33	103.27	33	20.37	33
6	6	106	Min.	0.00	-15752.50	33	3002.57	26	-5741.28	33	-1939.52	34	-203.39	33	0.00	34
6	6	106	Min.	395.00	-13975.00	33	2668.89	33	7575.78	26	-359.51	34	-1337.88	34	0.00	34
7	7	107	Max	0.00	-16098.90	34	33.41	33	1473.25	34	-4902.20	26	9471.02	33	20.37	33
7	7	107	Max	395.00	-14321.40	34	308.87	34	60.65	33	-4902.20	26	-12493.40	26	20.37	33
7	7	107	Min.	0.00	-16645.70	33	-1271.13	34	-71.32	33	-6231.92	33	6870.25	26	0.00	34
7	7	107	Min.	395.00	-14868.20	33	-3.06	26	-427.22	34	-5441.92	33	-13584.80	33	0.00	34
8	8	108	Max	0.00	-16697.60	26	7.79	33	1483.32	34	-4729.35	26	8959.49	33	20.37	33
8	8	108	Max	395.00	-14920.10	26	301.81	34	-3.99	33	-4729.35	26	-12052.90	26	20.37	33
8	8	108	Min.	0.00	-16997.10	33	-1278.19	34	-34.76	33	-5950.91	33	6628.00	26	0.00	34
8	8	108	Min.	395.00	-15219.60	33	-27.58	26	-445.02	34	-5160.91	33	-12986.30	33	0.00	34
9	9	109	Max	0.00	-10171.20	34	190.89	33	799.59	34	-2868.23	26	6089.60	33	20.37	33
9	9	109	Max	395.00	-8393.66	34	204.28	34	458.00	33	-2868.23	26	-7309.80	26	20.37	33
9	9	109	Min.	0.00	-10573.50	33	-585.72	34	-296.03	33	-3990.11	33	4019.72	26	0.00	34
9	9	109	Min.	395.00	-8795.96	33	161.90	26	46.26	34	-3200.11	33	-8111.07	33	0.00	34
10	10	110	Max	0.00	-9681.12	33	-152.23	26	1312.71	34	3063.43	26	-180.41	33	20.37	33
10	10	110	Max	395.00	-7903.62	33	-152.23	26	-382.80	26	3063.43	26	7807.25	26	20.37	33
10	10	110	Min.	0.00	-10509.50	34	-945.32	34	218.51	26	1161.64	33	-4293.28	26	0.00	34
10	10	110	Min.	395.00	-8731.96	34	-185.14	33	-861.05	34	1951.64	33	5968.31	33	0.00	34
11	11	111	Max	0.00	-15867.50	33	-1630.13	33	4302.68	26	56.37	26	3131.55	34	20.37	33
11	11	111	Max	395.00	-14090.00	33	-3015.40	26	-7029.72	33	56.37	26	148.84	26	20.37	33
11	11	111	Min.	0.00	-16158.40	34	-3015.40	26	2529.81	33	-1888.75	34	-73.82	26	0.00	34
11	11	111	Min.	395.00	-14380.90	34	-3210.13	33	-7608.15	26	-308.75	34	-1208.49	34	0.00	34
12	12	112	Max	0.00	-15495.80	33	-1772.19	33	4468.82	26	-10.64	26	3300.58	34	20.37	33
12	12	112	Max	395.00	-13718.30	33	-3131.83	26	-7358.71	33	-10.64	26	-21.94	26	20.37	33
12	12	112	Min.	0.00	-15616.70	26	-3131.83	26	2761.94	33	-2009.35	34	20.09	26	0.00	34
12	12	112	Min.	395.00	-13839.20	26	-3352.19	33	-7901.92	26	-429.35	34	-1515.86	34	0.00	34
13	13	113	Max	0.00	-15538.10	33	-1815.28	33	4480.51	26	-4.63	26	3283.43	34	20.37	33
13	13	113	Max	395.00	-13760.60	33	-3140.03	26	-7438.02	33	-4.63	26	-6.63	26	20.37	33
13	13	113	Min.	0.00	-15636.70	26	-3140.03	26	2852.85	33	-1997.11	34	11.67	26	0.00	34
13	13	113	Min.	395.00	-13859.20	26	-3395.28	33	-7922.59	26	-417.11	34	-1484.67	34	0.00	34
14	14	114	Max	0.00	-15554.60	33	-1841.77	33	4467.42	26	-4.01	26	3294.37	34	20.37	33
14	14	114	Max	395.00	-13777.10	33	-3130.85	26	-7475.42	33	-4.01	26	-5.05	26	20.37	33
14	14	114	Min.	0.00	-15652.90	34	-3130.85	26	2920.07	33	-2004.92	34	10.80	26	0.00	34
14	14	114	Min.	395.00	-13875.40	34	-3421.77	33	-7899.45	26	-424.92	34	-1504.57	34	0.00	34
15	15	115	Max	0.00	-15455.50	34	-1756.25	33	4284.37	26	-16.12	26	3202.71	34	20.37	33
15	15	115	Max	395.00	-13678.00	34	-3002.57	26	-7230.23	33	-16.12	26	-35.89	26	20.37	33
15	15	115	Min.	0.00	-15666.50	26	-3002.57	26	2827.47	33	-1939.52	34	27.76	26	0.00	34
15	15	115	Min.	395.00	-13889.00	26	-3336.25	33	-7575.78	26	-359.51	34	-1337.88	34	0.00	34
16	16	116	Max	0.00	-15932.60	33	-3.06	26	1473.25	34	4902.20	26	-4269.48	33	20.37	33
16	16	116	Max	395.00	-14155.10	33	308.87	34	-6.43	26	4902.20	26	12493.40	26	20.37	33
16	16	116	Min.	0.00	-16289.20	26	-1271.13	34	5.66	26	3572.47	33	-6870.25	26	0.00	34
16	16	116	Min.	395.00	-14511.70	26	-39.53	33	-427.22	34	4362.47	33	11402.00	33	0.00	34
17	17	117	Max	0.00	-16398.10	33	-27.58	26	1483.32	34	4729.35	26	-4296.52	33	20.37	33
17	17	117	Max	395.00	-14620.60	33	301.81	34	-68.30	26	4729.35	26	12052.90	26	20.37	33
17	17	117	Min.	0.00	-16815.00	34	-1278.19	34	40.65	26	3507.78	33	-6628.00	26	0.00	34
17	17	117	Min.	395.00	-15037.50	34	-62.95	33	-445.02	34	4297.79	33	11119.50	33	0.00	34
18	18	118	Max	0.00	-10010.00	33	161.91	26	799.59	34	2868.23	26	-1949.85	33	20.37	33
18	18	118	Max	395.00	-8232.51	33	204.28	34	409.80	26	2868.23	26	7309.80	26	20.37	33
18	18	118	Min.	0.00	-10291.70	26	-585.72	34	-229.73	26	1746.36	33	-4019.72	26	0.00	34
18	18	118	Min.	395.00	-8514.23	26	132.91	33	46.26	34	2536.36	33	6508.52	33	0.00	34
101	101	102	Max	15.00	-99058.20	26	0.00	26	0.00	26	1126.01	34	-247.02	33	-841.78	26
101	101	102	Max	240.20									535.25	34		
101	101	102	Max	405.00	-99058.20	26	0.00	26	0.00	26	-823.99	34	-143.72	34	-841.78	26
101	101	102	Min.	15.00	-99058.20	26	0.00	26	0.00	26	842.80	33	-732.65	34	-933.00	33
101	101	102	Min.	189.52									460.54	26		
101	101	102	Min.	405.00	-99058.20	26	0.00	26	0.00	26	-1107.20	33	-762.60	33	-933.00	33
101	102	103	Max	30.00	-99058.20	26	0.00	26	0.00	26	1316.88	34	-487.02	33	-47.43	26
101	102	103	Max	293.38									438.34	34		
101	102	103	Max	390.00	-99058.20	26	0.00	26	0.00	26	-483.12	34	204.94	34	-47.43	26
101	102	103	Min.	30.00	-99058.20	26	0.00	26	0.00	26	873.79	33	-1295.84	34	-57.37	33
101	102	103	Min.	213.72									275.45	26		
101	102	103	Min.	390.00	-99058.20	26	0.00	26	0.00	26	-926.21	33	-581.39	33	-57.37	33
101	103	104	Max	30.00	-99058.20	26	0.00	26	0.00	26	1283.96	34	-443.15	33	-3.34	26
101	103	104	Max	286.79									438.13	34		
101	103	104	Max	390.00	-99058.20	26	0.00	26	0.00	26	-516.04	34	171.84	34	-3.34	26
101	103	104	Min.	30.00	-99058.20	26	0.00	26	0.00	26	856.97	33	-1210.41	34	-9.50	33
101	103	104	Min.	210.14									289.48	26		
101	103	104	Min.	390.00	-99058.20	26	0.00	26	0.00	26	-943.03	33	-598.06	33	-9.50	33
101	104	105	Max	30.00	-99058.20	26	0.00	26	0.00	26	1285.36	34	-447.91	33	3.74	26
101	104	105	Max	287.07									435.26	34		
101	104	105	Max	390.00	-99058.20	26	0.00	26	0.00	26	-514.64	34	170.41	34	3.74	26
101	104	105	Min.	30.00	-99058.20	26	0.00	26	0.00	26	859.14	33	-1216.88	34	-2.12	33
101	104	105	Min.	210.56									288.43	26		
101	104	105	Min.	390.00	-99058.20	26	0.00	26	0.00	26	-940.86	33	-594.99	33	-2.12	33
101	105	106	Max	30.00	-99058.20	26	0.00	26	0.00	26	1303.67	34	-441.95	33	52.26	26
101	105	106	Max	290.73									464.13	34		
101	105	106	Max	390.00	-99058.20	26	0.00	26	0.00	26	-496.33	34	217.78	34	52.26	26

Relazione di calcolo

101	105	106	Min.	30.00	-99058.20	26	0.00	26	0.00	26	853.64	33	-1235.42	34	49.30	33
101	105	106	Min.	202.05									285.78	35		
101	105	106	Min.	390.00	-99058.20	26	0.00	26	0.00	26	-946.36	33	-608.85	33	49.30	33
101	106	107	Max	30.00	-99058.20	26	0.00	26	0.00	26	1124.50	34	-499.00	33	738.98	33
101	106	107	Max	210.21									317.52	33		
101	106	107	Max	405.00	-99058.20	26	0.00	26	0.00	26	-750.50	34	-342.20	34	738.98	33
101	106	107	Min.	30.00	-99058.20	26	0.00	26	0.00	26	903.62	33	-1043.46	34	680.35	26
101	106	107	Min.	255.00									221.05	34		
101	106	107	Min.	405.00	-99058.20	26	0.00	26	0.00	26	-971.38	33	-626.06	33	680.35	26
101	107	108	Max	15.00	-99058.20	26	0.00	26	0.00	26	951.79	34	-561.83	33	17.25	26
101	107	108	Max	204.84									322.23	34		
101	107	108	Max	405.00	-99058.20	26	0.00	26	0.00	26	-998.21	34	-674.18	34	17.25	26
101	107	108	Min.	15.00	-99058.20	26	0.00	26	0.00	26	933.84	33	-589.89	26	8.90	33
101	107	108	Min.	204.20									309.99	26		
101	107	108	Min.	405.00	-99058.20	26	0.00	26	0.00	26	-1016.16	33	-722.36	33	8.90	33
101	108	109	Max	15.00	-99058.20	26	0.00	26	0.00	26	1237.30	34	-716.25	33	178.97	26
101	108	109	Max	261.14									600.24	34		
101	108	109	Max	420.00	-99058.20	26	0.00	26	0.00	26	-787.71	34	-20.19	34	178.97	26
101	108	109	Min.	15.00	-99058.20	26	0.00	26	0.00	26	1095.54	33	-930.62	34	169.45	33
101	108	109	Min.	234.11									483.95	33		
101	108	109	Min.	420.00	-99058.20	26	0.00	26	0.00	26	-929.46	33	-379.95	33	169.45	33
102	110	111	Max	15.00	-99058.20	26	0.00	26	0.00	26	1126.01	34	-306.68	26	841.78	26
102	110	111	Max	240.20									535.25	34		
102	110	111	Max	405.00	-99058.20	26	0.00	26	0.00	26	-823.99	34	-143.72	34	841.78	26
102	110	111	Min.	15.00	-99058.20	26	0.00	26	0.00	26	875.91	26	-732.65	34	750.57	33
102	110	111	Min.	193.70									459.95	35		
102	110	111	Min.	405.00	-99058.20	26	0.00	26	0.00	26	-1074.09	26	-693.11	26	750.57	33
102	111	112	Max	30.00	-99058.20	26	0.00	26	0.00	26	1316.88	34	-568.38	26	47.43	26
102	111	112	Max	293.38									438.34	34		
102	111	112	Max	390.00	-99058.20	26	0.00	26	0.00	26	-483.12	34	204.94	34	47.43	26
102	111	112	Min.	30.00	-99058.20	26	0.00	26	0.00	26	918.60	26	-1295.84	34	37.49	33
102	111	112	Min.	213.72									275.45	26		
102	111	112	Min.	390.00	-99058.20	26	0.00	26	0.00	26	-881.40	26	-501.42	26	37.49	33
102	112	113	Max	30.00	-99058.20	26	0.00	26	0.00	26	1283.96	34	-521.81	26	3.34	26
102	112	113	Max	286.79									438.13	34		
102	112	113	Max	390.00	-99058.20	26	0.00	26	0.00	26	-516.04	34	171.84	34	3.34	26
102	112	113	Min.	30.00	-99058.20	26	0.00	26	0.00	26	900.72	26	-1210.41	34	-2.83	33
102	112	113	Min.	210.14									289.48	26		
102	112	113	Min.	390.00	-99058.20	26	0.00	26	0.00	26	-899.28	26	-519.22	26	-2.83	33
102	113	114	Max	30.00	-99058.20	26	0.00	26	0.00	26	1285.36	34	-526.65	26	-3.74	26
102	113	114	Max	287.07									435.26	34		
102	113	114	Max	390.00	-99058.20	26	0.00	26	0.00	26	-514.64	34	170.41	34	-3.74	26
102	113	114	Min.	30.00	-99058.20	26	0.00	26	0.00	26	902.82	26	-1216.88	34	-9.59	33
102	113	114	Min.	210.56									288.43	26		
102	113	114	Min.	390.00	-99058.20	26	0.00	26	0.00	26	-897.18	26	-516.51	26	-9.59	33
102	114	115	Max	30.00	-99058.20	26	0.00	26	0.00	26	1303.67	34	-522.57	26	-52.26	26
102	114	115	Max	290.73									464.13	34		
102	114	115	Max	390.00	-99058.20	26	0.00	26	0.00	26	-496.33	34	217.78	34	-52.26	26
102	114	115	Min.	30.00	-99058.20	26	0.00	26	0.00	26	899.16	26	-1235.42	34	-55.22	33
102	114	115	Min.	209.48									285.91	26		
102	114	115	Min.	390.00	-99058.20	26	0.00	26	0.00	26	-900.84	26	-525.60	26	-55.22	33
102	115	116	Max	30.00	-99058.20	26	0.00	26	0.00	26	1124.50	34	-558.87	26	-621.71	33
102	115	116	Max	216.18									308.04	26		
102	115	116	Max	405.00	-99058.20	26	0.00	26	0.00	26	-750.50	34	-342.20	34	-621.71	33
102	115	116	Min.	30.00	-99058.20	26	0.00	26	0.00	26	931.08	26	-1043.46	34	-680.35	26
102	115	116	Min.	255.00									221.05	34		
102	115	116	Min.	405.00	-99058.20	26	0.00	26	0.00	26	-943.92	26	-582.95	26	-680.35	26
102	116	117	Max	15.00	-99058.20	26	0.00	26	0.00	26	963.42	33	-583.68	34	-17.25	26
102	116	117	Max	204.84									322.23	34		
102	116	117	Max	405.00	-99058.20	26	0.00	26	0.00	26	-986.58	33	-663.13	33	-17.25	26
102	116	117	Min.	15.00	-99058.20	26	0.00	26	0.00	26	948.63	26	-617.95	33	-25.60	33
102	116	117	Min.	204.21									309.99	26		
102	116	117	Min.	405.00	-99058.20	26	0.00	26	0.00	26	-1001.37	26	-692.75	26	-25.60	33
102	117	118	Max	15.00	-99058.20	26	0.00	26	0.00	26	1237.30	34	-754.78	26	-178.97	26
102	117	118	Max	262.42									600.29	34		
102	117	118	Max	420.00	-99058.20	26	0.00	26	0.00	26	-787.71	34	-20.19	34	-178.97	26
102	117	118	Min.	15.00	-99058.20	26	0.00	26	0.00	26	1116.72	26	-930.62	34	-188.49	33
102	117	118	Min.	238.34									492.28	26		
102	117	118	Min.	420.00	-99058.20	26	0.00	26	0.00	26	-908.28	26	-332.69	26	-188.49	33
103	101	110	Max	45.00	-123823.00	26	0.00	34	0.00	26	7033.12	33	-5091.98	26	0.00	34
103	101	110	Max	385.61									4984.36	33		
103	101	110	Max	667.00	-123823.00	26	0.00	34	0.00	34	-5810.40	33	-3190.65	33	0.00	34
103	101	110	Min.	45.00	-123823.00	26	0.00	26	0.00	34	6421.76	26	-6993.31	33	-6.63	33
103	101	110	Min.	355.25									4893.80	26		
103	101	110	Min.	667.00	-123823.00	26	0.00	26	0.00	26	-6421.76	26	-5091.99	26	-6.63	33
104	102	111	Max	15.00	-123823.00	26	0.00	26	0.00	34	11419.00	33	-7881.82	26	0.00	34
104	102	111	Max	360.68									11327.80	33		
104	102	111	Max	697.00	-123823.00	26	0.00	26	0.00	26	-11110.10	33	-7355.17	33	0.00	34
104	102	111	Min.	15.00	-123823.00	26	0.00	34	0.00	26	11264.50	26	-8408.47	33	-11.16	33
104	102	111	Min.	356.00									11324.20	26		
104	102	111	Min.	697.00	-123823.00	26	0.00	34	0.00	34	-11264.50	26	-7881.82	26	-11.16	33
105	103	112	Max	15.00	-123823.00	26	0.00	26	0.00	34	11209.20	33	-7498.76	26	0.00	34

Relazione di calcolo

105	103	112	Max	359.69											11410.70	33		
105	103	112	Max	697.00	-123823.00	26	0.00	26	0.00	26	-10969.40	33	-7089.89	33	0.00	34		
105	103	112	Min.	15.00	-123823.00	26	0.00	34	0.00	26	11089.30	26	-7907.62	33	-10.56	33		
105	103	112	Min.	356.00											11408.50	26		
105	103	112	Min.	697.00	-123823.00	26	0.00	34	0.00	34	-11089.30	26	-7498.75	26	-10.56	33		
106	104	113	Max	15.00	-123823.00	26	0.00	26	0.00	34	11187.90	33	-7485.69	26	0.00	34		
106	104	113	Max	359.03											11423.10	33		
106	104	113	Max	697.00	-123823.00	26	0.00	26	0.00	26	-10990.80	33	-7149.69	33	0.00	34		
106	104	113	Min.	15.00	-123823.00	26	0.00	34	0.00	26	11089.30	26	-7821.70	33	-10.64	33		
106	104	113	Min.	355.18											11421.50	26		
106	104	113	Min.	697.00	-123823.00	26	0.00	34	0.00	34	-11089.30	26	-7485.70	26	-10.64	33		
107	105	114	Max	15.00	-123823.00	26	0.00	26	0.00	34	11167.60	33	-7500.32	26	0.00	34		
107	105	114	Max	358.41											11407.90	33		
107	105	114	Max	697.00	-123823.00	26	0.00	26	0.00	26	-11011.10	33	-7233.52	33	0.00	34		
107	105	114	Min.	15.00	-123823.00	26	0.00	34	0.00	26	11089.30	26	-7767.14	33	-10.53	33		
107	105	114	Min.	355.18											11406.90	26		
107	105	114	Min.	697.00	-123823.00	26	0.00	34	0.00	34	-11089.30	26	-7500.34	26	-10.53	33		
108	106	115	Max	15.00	-123823.00	26	0.00	26	0.00	34	11157.20	33	-7704.91	26	0.00	34		
108	106	115	Max	358.09											11203.10	33		
108	106	115	Max	697.00	-123823.00	26	0.00	26	0.00	26	-11021.40	33	-7473.44	33	0.00	34		
108	106	115	Min.	15.00	-123823.00	26	0.00	34	0.00	26	11089.30	26	-7936.39	33	-11.66	33		
108	106	115	Min.	355.18											11202.30	26		
108	106	115	Min.	697.00	-123823.00	26	0.00	34	0.00	34	-11089.30	26	-7704.92	26	-11.66	33		
109	107	116	Max	45.00	-123823.00	26	0.00	34	0.00	26	11079.60	33	-8610.62	26	0.00	34		
109	107	116	Max	365.96											8100.55	33		
109	107	116	Max	667.00	-123823.00	26	0.00	34	0.00	34	-10391.80	33	-7541.08	33	0.00	34		
109	107	116	Min.	45.00	-123823.00	26	0.00	26	0.00	34	10735.70	26	-9680.17	33	-4.15	33		
109	107	116	Min.	355.25											8083.32	26		
109	107	116	Min.	667.00	-123823.00	26	0.00	26	0.00	26	-10735.70	26	-8610.63	26	-4.15	33		
110	108	117	Max	45.00	-123823.00	26	0.00	34	0.00	26	11201.40	33	-8848.68	26	0.00	34		
110	108	117	Max	364.73											8107.16	33		
110	108	117	Max	667.00	-123823.00	26	0.00	34	0.00	34	-10589.60	33	-7897.46	33	0.00	34		
110	108	117	Min.	45.00	-123823.00	26	0.00	26	0.00	34	10895.50	26	-9799.93	33	-4.91	33		
110	108	117	Min.	355.25											8093.71	26		
110	108	117	Min.	667.00	-123823.00	26	0.00	26	0.00	26	-10895.50	26	-8848.71	26	-4.91	33		
111	109	118	Max	45.00	-123823.00	26	0.00	34	0.00	26	6682.31	33	-5179.26	26	0.00	34		
111	109	118	Max	368.62											4823.01	33		
111	109	118	Max	667.00	-123823.00	26	0.00	34	0.00	34	-6161.22	33	-4368.98	33	0.00	34		
111	109	118	Min.	45.00	-123823.00	26	0.00	26	0.00	34	6421.76	26	-5989.55	33	-9.37	33		
111	109	118	Min.	355.25											4806.52	26		
111	109	118	Min.	667.00	-123823.00	26	0.00	26	0.00	26	-6421.77	26	-5179.27	26	-9.37	33		

Tipo di combinazione di carico: SLE F

Asta	N1	N2		X <cm>	N <daN>	CC	Ty <daN>	CC	Mz <daNm>	CC	Tz <daN>	CC	My <daNm>	CC	Mx <daNm>	CC
1	1	101	Max	0.00	-9668.94	27	-144.46	37	875.03	36	-2812.30	27	4763.91	37	4.07	37
1	1	101	Max	395.00	-7891.44	27	-144.46	37	-368.14	37	-2812.30	27	-7167.25	27	4.07	37
1	1	101	Min.	0.00	-10409.40	36	-628.08	36	202.46	37	-3192.66	37	3941.33	27	0.00	36
1	1	101	Min.	395.00	-8631.93	36	-154.08	36	-669.75	36	-3063.43	36	-7807.25	36	0.00	36
2	2	102	Max	0.00	-14856.10	27	3015.40	36	-3880.90	27	76.87	37	1849.40	36	4.07	37
2	2	102	Max	395.00	-13078.60	27	3015.40	36	7608.15	36	76.87	37	181.25	37	4.07	37
2	2	102	Min.	0.00	-16099.10	36	2719.81	27	-4302.68	36	-1110.70	36	-122.40	37	0.00	36
2	2	102	Min.	395.00	-14321.60	36	2680.86	37	6862.35	27	-162.70	36	-665.56	36	0.00	36
3	3	103	Max	0.00	-14476.80	38	3131.83	36	-4030.22	27	9.09	37	1988.38	36	4.07	37
3	3	103	Max	395.00	-12699.30	38	3131.83	36	7901.92	36	9.09	37	8.51	37	4.07	37
3	3	103	Min.	0.00	-15607.70	36	2824.46	27	-4468.82	36	-1209.87	36	-27.41	37	0.00	36
3	3	103	Min.	395.00	-13830.20	36	2780.39	37	7126.38	27	-261.87	36	-918.29	36	0.00	36
4	4	104	Max	0.00	-14500.30	38	3140.03	36	-4040.73	27	15.24	37	1974.73	36	4.07	37
4	4	104	Max	395.00	-12722.80	38	3140.03	36	7922.59	36	15.24	37	24.16	37	4.07	37
4	4	104	Min.	0.00	-15636.30	36	2831.82	27	-4480.51	36	-1200.12	36	-36.02	37	0.00	36
4	4	104	Min.	395.00	-13858.80	36	2780.77	37	7144.96	27	-252.12	36	-893.46	36	0.00	36
5	5	105	Max	0.00	-14494.60	27	3130.85	36	-4028.98	27	15.97	37	1980.94	36	4.07	37
5	5	105	Max	395.00	-12717.10	27	3130.85	36	7899.45	36	15.97	37	26.04	37	4.07	37
5	5	105	Min.	0.00	-15644.10	36	2823.58	27	-4467.42	36	-1204.56	36	-37.05	37	0.00	36
5	5	105	Min.	395.00	-13866.60	36	2765.40	37	7124.18	27	-256.56	36	-904.76	36	0.00	36
6	6	106	Max	0.00	-14488.10	38	3002.57	36	-3864.56	27	2.48	37	1932.73	36	4.07	37
6	6	106	Max	395.00	-12710.60	38	3002.57	36	7575.78	36	2.48	37	-8.34	37	4.07	37
6	6	106	Min.	0.00	-15539.90	36	2708.36	27	-4284.37	36	-1170.16	36	-18.14	37	0.00	36
6	6	106	Min.	395.00	-13762.40	36	2641.62	37	6833.46	27	-222.16	36	-817.09	36	0.00	36
7	7	107	Max	0.00	-15113.90	38	4.34	37	886.21	36	-4447.07	27	6870.25	36	4.07	37
7	7	107	Max	395.00	-13336.40	38	184.10	36	7.28	37	-4447.07	27	-11333.50	27	4.07	37
7	7	107	Min.	0.00	-16175.00	36	-763.90	36	-9.86	37	-4902.20	36	6232.41	27	0.00	36
7	7	107	Min.	395.00	-14397.50	36	-2.95	27	-258.90	36	-4902.20	36	-12493.40	36	0.00	36
8	8	108	Max	0.00	-15543.30	27	-21.19	37	906.25	36	-4291.67	27	6628.00	36	4.07	37
8	8	108	Max	395.00	-13765.80	27	170.06	36	-57.13	37	-4291.67	27	-10937.50	27	4.07	37
8	8	108	Min.	0.00	-16768.10	36	-777.95	36	26.57	37	-4729.35	36	6014.61	27	0.00	36
8	8	108	Min.	395.00	-14990.60	36	-28.26	27	-294.33	36	-4729.35	36	-12052.90	36	0.00	36
9	9	109	Max	0.00	-9677.51	38	166.57	37	387.86	36	-2637.00	27	4109.63	37	4.07	37
9	9	109	Max	395.00	-7900.01	38	187.33	36	416.62	37	-2636.99	27	-6720.48	27	4.07	37
9	9	109	Min.	0.00	-10219.40	36	-286.67	36	-241.35	37	-2868.23	36	3695.65	27	0.00	36
9	9	109	Min.	395.00	-8441.89	36	160.78	27	191.67	36	-2868.23	36	-7309.80	36	0.00	36

Relazione di calcolo

10	10	110	Max	0.00	-9553.29	37	-151.04	27	875.03	36	3063.43	36	-3118.76	37	4.07	37
10	10	110	Max	395.00	-7775.79	37	-151.04	27	-379.76	27	3063.43	36	7807.25	36	4.07	37
10	10	110	Min.	0.00	-10409.40	36	-628.08	36	216.84	27	2431.94	37	-4293.28	36	0.00	36
10	10	110	Min.	395.00	-8631.93	36	-157.62	37	-669.75	36	2589.94	37	6799.46	37	0.00	36
11	11	111	Max	0.00	-14827.50	37	-2442.76	37	4302.68	36	57.53	27	1849.40	36	4.07	37
11	11	111	Max	395.00	-13050.00	37	-2719.81	27	-6746.66	37	57.53	27	151.91	27	4.07	37
11	11	111	Min.	0.00	-16099.10	36	-3015.40	36	3526.33	37	-1110.70	36	-75.34	27	0.00	36
11	11	111	Min.	395.00	-14321.60	36	-3015.40	36	-7608.15	36	-162.70	36	-665.56	36	0.00	36
12	12	112	Max	0.00	-14455.60	37	-2552.53	37	4468.82	36	-10.95	27	1988.38	36	4.07	37
12	12	112	Max	395.00	-12678.10	37	-2824.46	27	-7017.74	37	-10.95	27	-22.63	27	4.07	37
12	12	112	Min.	0.00	-15607.70	36	-3131.83	36	3688.85	37	-1209.87	36	20.63	27	0.00	36
12	12	112	Min.	395.00	-13830.20	36	-3131.83	36	-7901.92	36	-261.87	36	-918.29	36	0.00	36
13	13	113	Max	0.00	-14480.70	37	-2566.87	37	4480.51	36	-4.72	27	1974.73	36	4.07	37
13	13	113	Max	395.00	-12703.20	37	-2831.82	27	-7048.05	37	-4.72	27	-6.74	27	4.07	37
13	13	113	Min.	0.00	-15636.30	36	-3140.03	36	3715.20	37	-1200.12	36	11.90	27	0.00	36
13	13	113	Min.	395.00	-13858.80	36	-3140.03	36	-7922.59	36	-252.12	36	-893.46	36	0.00	36
14	14	114	Max	0.00	-14479.30	37	-2565.77	37	4467.42	36	-4.12	27	1980.94	36	4.07	37
14	14	114	Max	395.00	-12701.80	37	-2823.58	27	-7039.37	37	-4.12	27	-5.20	27	4.07	37
14	14	114	Min.	0.00	-15644.10	36	-3130.85	36	3719.51	37	-1204.56	36	11.05	27	0.00	36
14	14	114	Min.	395.00	-13866.60	36	-3130.85	36	-7899.45	36	-256.56	36	-904.76	36	0.00	36
15	15	115	Max	0.00	-14488.10	38	-2459.10	37	4284.37	36	-16.27	27	1932.73	36	4.07	37
15	15	115	Max	395.00	-12710.60	38	-2708.36	27	-6764.35	37	-16.27	27	-36.18	27	4.07	37
15	15	115	Min.	0.00	-15539.90	36	-3002.57	36	3573.18	37	-1170.16	36	28.09	27	0.00	36
15	15	115	Min.	395.00	-13762.40	36	-3002.57	36	-7575.78	36	-222.16	36	-817.09	36	0.00	36
16	16	116	Max	0.00	-15080.70	37	-2.95	27	886.21	36	4902.20	36	-5712.25	37	4.07	37
16	16	116	Max	395.00	-13303.20	37	184.10	36	-6.13	27	4902.20	36	12493.40	36	4.07	37
16	16	116	Min.	0.00	-16175.00	36	-763.90	36	5.54	27	4181.13	37	-6870.25	36	0.00	36
16	16	116	Min.	395.00	-14397.50	36	-10.25	37	-258.90	36	4339.13	37	11115.20	37	0.00	36
17	17	117	Max	0.00	-15483.40	37	-28.26	27	906.25	36	4729.35	36	-5548.32	37	4.07	37
17	17	117	Max	395.00	-13705.90	37	170.06	36	-69.99	27	4729.35	36	12052.90	36	4.07	37
17	17	117	Min.	0.00	-16768.10	36	-777.95	36	41.65	27	4047.35	37	-6628.00	36	0.00	36
17	17	117	Min.	395.00	-14990.60	36	-35.34	37	-294.33	36	4205.36	37	10750.80	37	0.00	36
18	18	118	Max	0.00	-9645.28	37	160.78	27	387.86	36	2868.23	36	-3281.68	37	4.07	37
18	18	118	Max	395.00	-7867.78	37	187.33	36	406.98	27	2868.23	36	7309.80	36	4.07	37
18	18	118	Min.	0.00	-10219.40	36	-286.67	36	-228.09	27	2412.62	37	-4019.72	36	0.00	36
18	18	118	Min.	395.00	-8441.89	36	154.98	37	191.67	36	2570.62	37	6560.22	37	0.00	36
101	101	102	Max	15.00	-49529.10	27	0.00	27	0.00	27	1025.97	36	-291.52	37	-754.40	27
101	101	102	Max	220.19									490.36	36		
101	101	102	Max	405.00	-49529.10	27	0.00	27	0.00	27	-924.03	36	-363.48	36	-754.40	27
101	101	102	Min.	15.00	-99058.20	36	0.00	27	0.00	27	867.33	37	-562.26	36	-841.78	36
101	101	102	Min.	189.12									460.33	27		
101	101	102	Min.	405.00	-99058.20	36	0.00	27	0.00	27	-1082.67	37	-711.43	37	-841.78	36
101	102	103	Max	30.00	-49529.10	27	0.00	27	0.00	27	1157.57	36	-553.40	37	-42.63	27
101	102	103	Max	260.88									335.10	36		
101	102	103	Max	390.00	-49529.10	27	0.00	27	0.00	27	-642.43	36	-77.61	36	-42.63	27
101	102	103	Min.	30.00	-99058.20	36	0.00	27	0.00	27	910.20	37	-1004.85	36	-47.43	36
101	102	103	Min.	212.04									275.06	37		
101	102	103	Min.	390.00	-99058.20	36	0.00	27	0.00	27	-889.80	37	-516.70	37	-47.43	36
101	103	104	Max	30.00	-49529.10	27	0.00	27	0.00	27	1130.66	36	-506.02	37	-3.00	27
101	103	104	Max	255.68									343.42	36		
101	103	104	Max	390.00	-49529.10	27	0.00	27	0.00	27	-669.34	36	-104.59	36	-3.00	27
101	103	104	Min.	30.00	-99058.20	36	0.00	27	0.00	27	891.96	37	-934.97	36	-4.23	37
101	103	104	Min.	206.15									289.45	37		
101	103	104	Min.	390.00	-99058.20	36	0.00	27	0.00	27	-908.04	37	-534.96	37	-4.23	37
101	104	105	Max	30.00	-49529.10	27	0.00	27	0.00	27	1132.34	36	-511.00	37	3.74	36
101	104	105	Max	255.91									341.40	36		
101	104	105	Max	390.00	-49529.10	27	0.00	27	0.00	27	-667.66	36	-104.36	36	3.74	36
101	104	105	Min.	30.00	-99058.20	36	0.00	27	0.00	27	894.14	37	-940.79	36	2.19	37
101	104	105	Min.	210.57									288.43	27		
101	104	105	Min.	390.00	-99058.20	36	0.00	27	0.00	27	-905.86	37	-532.11	37	2.19	37
101	105	106	Max	30.00	-49529.10	27	0.00	27	0.00	27	1141.86	36	-506.52	37	52.26	36
101	105	106	Max	257.86									353.57	36		
101	105	106	Max	390.00	-49529.10	27	0.00	27	0.00	27	-658.14	36	-79.57	36	52.26	36
101	105	106	Min.	30.00	-99058.20	36	0.00	27	0.00	27	890.09	37	-950.28	36	46.35	37
101	105	106	Min.	205.76									285.61	37		
101	105	106	Min.	390.00	-99058.20	36	0.00	27	0.00	27	-909.91	37	-542.20	37	46.35	37
101	106	107	Max	30.00	-49529.10	27	0.00	27	0.00	27	1047.13	36	-547.12	37	680.35	36
101	106	107	Max	212.79									309.78	37		
101	106	107	Max	405.00	-49529.10	27	0.00	27	0.00	27	-827.87	36	-438.50	36	680.35	36
101	106	107	Min.	30.00	-99058.20	36	0.00	27	0.00	27	925.77	37	-849.62	36	611.09	27
101	106	107	Min.	239.43									246.87	36		
101	106	107	Min.	405.00	-99058.20	36	0.00	27	0.00	27	-949.24	37	-591.13	37	611.09	27
101	107	108	Max	15.00	-49529.10	27	0.00	27	0.00	27	950.53	36	-583.57	37	17.25	36
101	107	108	Max	204.59									317.33	36		
101	107	108	Max	405.00	-49529.10	27	0.00	27	0.00	27	-999.47	36	-681.61	36	17.25	36
101	107	108	Min.	15.00	-99058.20	36	0.00	27	0.00	27	945.02	37	-589.18	27	13.84	37
101	107	108	Min.	204.07									309.47	27		
101	107	108	Min.	405.00	-99058.20	36	0.00	27	0.00	27	-1004.98	37	-700.50	37	13.84	37
101	108	109	Max	15.00	-49529.10	27	0.00	27	0.00	27	1189.07	36	-750.71	37	178.97	36
101	108	109	Max	252.81									553.60	36		
101	108	109	Max	420.00	-49529.10	27	0.00	27	0.00	27	-835.94	36	-145.19	36	178.97	36
101	108	109	Min.	15.00	-99058.20	36	0.00	27	0.00	27	1114.13	37	-860.28	36	157.22	37

Relazione di calcolo

101	108	109	Min.	237.82								490.57	37			
101	108	109	Min.	420.00	-99058.20	36	0.00	27	0.00	27	-910.88	37	-339.12	37	157.22	37
102	110	111	Max	15.00	-49529.10	27	0.00	27	0.00	27	1025.97	36	-303.45	27	841.78	36
102	110	111	Max	220.19									490.36	36		
102	110	111	Max	405.00	-49529.10	27	0.00	27	0.00	27	-924.03	36	-363.48	36	841.78	36
102	110	111	Min.	15.00	-99058.20	36	0.00	27	0.00	27	873.96	27	-562.26	36	736.15	37
102	110	111	Min.	190.83									460.03	37		
102	110	111	Min.	405.00	-99058.20	36	0.00	27	0.00	27	-1076.04	27	-697.53	27	736.15	37
102	111	112	Max	30.00	-49529.10	27	0.00	27	0.00	27	1157.57	36	-569.67	27	47.43	36
102	111	112	Max	260.88									335.10	36		
102	111	112	Max	390.00	-49529.10	27	0.00	27	0.00	27	-642.43	36	-77.61	36	47.43	36
102	111	112	Min.	30.00	-99058.20	36	0.00	27	0.00	27	919.16	27	-1004.85	36	40.64	37
102	111	112	Min.	213.83									275.18	27		
102	111	112	Min.	390.00	-99058.20	36	0.00	27	0.00	27	-880.84	27	-500.70	27	40.64	37
102	112	113	Max	30.00	-49529.10	27	0.00	27	0.00	27	1130.66	36	-521.75	27	3.34	36
102	112	113	Max	255.68									343.42	36		
102	112	113	Max	390.00	-49529.10	27	0.00	27	0.00	27	-669.34	36	-104.59	36	3.34	36
102	112	113	Min.	30.00	-99058.20	36	0.00	27	0.00	27	900.71	27	-934.97	36	1.77	37
102	112	113	Min.	210.14									289.53	27		
102	112	113	Min.	390.00	-99058.20	36	0.00	27	0.00	27	-899.29	27	-519.20	27	1.77	37
102	113	114	Max	30.00	-49529.10	27	0.00	27	0.00	27	1132.34	36	-526.75	27	-3.36	27
102	113	114	Max	255.91									341.40	36		
102	113	114	Max	390.00	-49529.10	27	0.00	27	0.00	27	-667.66	36	-104.36	36	-3.36	27
102	113	114	Min.	30.00	-99058.20	36	0.00	27	0.00	27	902.87	27	-940.79	36	-4.53	37
102	113	114	Min.	210.57									288.43	27		
102	113	114	Min.	390.00	-99058.20	36	0.00	27	0.00	27	-897.13	27	-516.41	27	-4.53	37
102	114	115	Max	30.00	-49529.10	27	0.00	27	0.00	27	1141.86	36	-522.64	27	-46.94	27
102	114	115	Max	257.86									353.57	36		
102	114	115	Max	390.00	-49529.10	27	0.00	27	0.00	27	-658.14	36	-79.57	36	-46.94	27
102	114	115	Min.	30.00	-99058.20	36	0.00	27	0.00	27	899.19	27	-950.28	36	-52.26	36
102	114	115	Min.	209.49									285.90	27		
102	114	115	Min.	390.00	-99058.20	36	0.00	27	0.00	27	-900.81	27	-525.55	27	-52.26	36
102	115	116	Max	30.00	-49529.10	27	0.00	27	0.00	27	1047.13	36	-559.10	27	-599.36	37
102	115	116	Max	216.21									308.14	27		
102	115	116	Max	405.00	-49529.10	27	0.00	27	0.00	27	-827.87	36	-438.50	36	-599.36	37
102	115	116	Min.	30.00	-99058.20	36	0.00	27	0.00	27	931.26	27	-849.62	36	-680.35	36
102	115	116	Min.	239.43									246.87	36		
102	115	116	Min.	405.00	-99058.20	36	0.00	27	0.00	27	-943.74	27	-582.50	27	-680.35	36
102	116	117	Max	15.00	-49529.10	27	0.00	27	0.00	27	950.93	37	-586.16	36	-15.51	27
102	116	117	Max	204.59									317.33	36		
102	116	117	Max	405.00	-49529.10	27	0.00	27	0.00	27	-999.07	37	-681.61	36	-15.51	27
102	116	117	Min.	15.00	-99058.20	36	0.00	27	0.00	27	947.98	27	-594.79	37	-17.25	36
102	116	117	Min.	204.07									309.47	27		
102	116	117	Min.	405.00	-99058.20	36	0.00	27	0.00	27	-1002.02	27	-694.57	27	-17.25	36
102	117	118	Max	15.00	-49529.10	27	0.00	27	0.00	27	1189.07	36	-758.41	27	-159.12	27
102	117	118	Max	252.81									553.60	36		
102	117	118	Max	420.00	-49529.10	27	0.00	27	0.00	27	-835.94	36	-145.19	36	-159.12	27
102	117	118	Min.	15.00	-99058.20	36	0.00	27	0.00	27	1118.36	27	-860.28	36	-178.97	36
102	117	118	Min.	238.67									492.32	27		
102	117	118	Min.	420.00	-99058.20	36	0.00	27	0.00	27	-906.64	27	-329.67	27	-178.97	36
103	101	110	Max	45.00	-61911.40	27	0.00	36	0.00	27	6421.76	36	-4686.98	27	0.00	38
103	101	110	Max	355.25									4893.80	36		
103	101	110	Max	667.00	-61911.40	27	0.00	36	0.00	36	-5785.41	37	-4306.72	37	0.00	38
103	101	110	Min.	45.00	-123823.00	36	0.00	27	0.00	36	5907.68	27	-5091.98	36	-1.33	37
103	101	110	Min.	355.25									4499.40	27		
103	101	110	Min.	667.00	-123823.00	36	0.00	27	0.00	27	-6421.76	36	-5091.99	36	-1.33	37
104	102	111	Max	15.00	-61911.40	27	0.00	27	0.00	36	11264.50	36	-7105.04	27	0.00	36
104	102	111	Max	356.00									11324.20	36		
104	102	111	Max	697.00	-61911.40	27	0.00	27	0.00	27	-10125.70	37	-6999.71	37	0.00	36
104	102	111	Min.	15.00	-123823.00	36	0.00	36	0.00	27	10156.60	27	-7881.82	36	-2.23	37
104	102	111	Min.	356.00									10212.00	27		
104	102	111	Min.	697.00	-123823.00	36	0.00	36	0.00	36	-11264.50	36	-7881.82	36	-2.23	37
105	103	112	Max	15.00	-61911.40	27	0.00	27	0.00	36	11089.30	36	-6762.67	27	0.00	36
105	103	112	Max	356.00									11408.50	36		
105	103	112	Max	697.00	-61911.40	27	0.00	27	0.00	27	-9976.87	37	-6680.89	37	0.00	36
105	103	112	Min.	15.00	-123823.00	36	0.00	36	0.00	27	10000.80	27	-7498.76	36	-2.11	37
105	103	112	Min.	356.00									10288.80	27		
105	103	112	Min.	697.00	-123823.00	36	0.00	36	0.00	36	-11089.30	36	-7498.75	36	-2.11	37
106	104	113	Max	15.00	-61911.40	27	0.00	27	0.00	36	11089.30	36	-6750.93	27	0.00	36
106	104	113	Max	355.18									11421.50	36		
106	104	113	Max	697.00	-61911.40	27	0.00	27	0.00	27	-9981.14	37	-6683.73	37	0.00	36
106	104	113	Min.	15.00	-123823.00	36	0.00	36	0.00	27	10000.80	27	-7485.69	36	-2.13	37
106	104	113	Min.	355.18									10300.40	27		
106	104	113	Min.	697.00	-123823.00	36	0.00	36	0.00	36	-11089.30	36	-7485.70	36	-2.13	37
107	105	114	Max	15.00	-61911.40	27	0.00	27	0.00	36	11089.30	36	-6764.07	27	0.00	36
107	105	114	Max	355.18									11406.90	36		
107	105	114	Max	697.00	-61911.40	27	0.00	27	0.00	27	-9985.20	37	-6710.72	37	0.00	36
107	105	114	Min.	15.00	-123823.00	36	0.00	36	0.00	27	10000.80	27	-7500.32	36	-2.11	37
107	105	114	Min.	355.18									10287.30	27		
107	105	114	Min.	697.00	-123823.00	36	0.00	36	0.00	36	-11089.30	36	-7500.34	36	-2.11	37
108	106	115	Max	15.00	-61911.40	27	0.00	27	0.00	36	11089.30	36	-6947.83	27	0.00	36
108	106	115	Max	355.18									11202.30	36		

Relazione di calcolo

108	106	115	Max	697.00	-61911.40	27	0.00	27	0.00	27	-9987.28	37	-6901.54	37	0.00	36
108	106	115	Min.	15.00	-123823.00	36	0.00	36	0.00	27	10000.80	27	-7704.91	36	-2.33	37
108	106	115	Min.	355.18									10103.50	27		
108	106	115	Max	697.00	-123823.00	36	0.00	36	0.00	36	-11089.30	36	-7704.92	36	-2.33	37
109	107	116	Max	45.00	-61911.40	27	0.00	36	0.00	27	10735.70	36	-7815.23	27	0.00	38
109	107	116	Max	355.25									8083.32	36		
109	107	116	Max	667.00	-61911.40	27	0.00	36	0.00	36	-9674.23	37	-7601.33	37	0.00	38
109	107	116	Min.	45.00	-123823.00	36	0.00	27	0.00	36	9743.01	27	-8610.62	36	-0.83	37
109	107	116	Min.	355.25									7335.06	27		
109	107	116	Min.	667.00	-123823.00	36	0.00	27	0.00	27	-10735.70	36	-8610.63	36	-0.83	37
110	108	117	Max	45.00	-61911.40	27	0.00	36	0.00	27	10895.50	36	-8027.65	27	0.00	38
110	108	117	Max	355.25									8093.71	36		
110	108	117	Max	667.00	-61911.40	27	0.00	36	0.00	36	-9823.89	37	-7837.43	37	0.00	38
110	108	117	Min.	45.00	-123823.00	36	0.00	27	0.00	36	9885.06	27	-8848.68	36	-0.98	37
110	108	117	Min.	355.25									7343.52	27		
110	108	117	Min.	667.00	-123823.00	36	0.00	27	0.00	27	-10895.50	36	-8848.71	36	-0.98	37
111	109	118	Max	45.00	-61911.40	27	0.00	36	0.00	27	6421.76	36	-4765.37	27	0.00	38
111	109	118	Max	355.25									4806.52	36		
111	109	118	Max	667.00	-61911.40	27	0.00	36	0.00	36	-5855.57	37	-4603.32	37	0.00	38
111	109	118	Min.	45.00	-123823.00	36	0.00	27	0.00	36	5907.68	27	-5179.26	36	-1.87	37
111	109	118	Min.	355.25									4421.01	27		
111	109	118	Min.	667.00	-123823.00	36	0.00	27	0.00	27	-6421.77	36	-5179.27	36	-1.87	37

Tipo di combinazione di carico: SLE Q

Asta	N1	N2		X <cm>	N <daN>	CC	Ty <daN>	CC	Mz <daNm>	CC	Tz <daN>	CC	My <daNm>	CC	Mx <daNm>	CC
1	1	101	Max	0.00	-9521.34	28	-150.74	28	216.42	28	-2749.52	28	3853.35	28	0.00	28
1	1	101	Max	395.00	-7743.84	28	-150.74	28	-379.00	28	-2749.52	28	-7007.25	28	0.00	28
1	1	101	Min.	0.00	-9521.34	28	-150.74	28	216.42	28	-2749.52	28	3853.35	28	0.00	28
1	1	101	Min.	395.00	-7743.84	28	-150.74	28	-379.00	28	-2749.52	28	-7007.25	28	0.00	28
2	2	102	Max	0.00	-14567.50	28	2645.91	28	-3775.46	28	57.82	28	-75.72	28	0.00	28
2	2	102	Max	395.00	-12790.00	28	2645.91	28	6675.90	28	57.82	28	152.68	28	0.00	28
2	2	102	Min.	0.00	-14567.50	28	2645.91	28	-3775.46	28	57.82	28	-75.72	28	0.00	28
2	2	102	Min.	395.00	-12790.00	28	2645.91	28	6675.90	28	57.82	28	152.68	28	0.00	28
3	3	103	Max	0.00	-14195.60	28	2747.61	28	-3920.58	28	-11.03	28	20.77	28	0.00	28
3	3	103	Max	395.00	-12418.10	28	2747.61	28	6932.50	28	-11.03	28	-22.80	28	0.00	28
3	3	103	Min.	0.00	-14195.60	28	2747.61	28	-3920.58	28	-11.03	28	20.77	28	0.00	28
3	3	103	Min.	395.00	-12418.10	28	2747.61	28	6932.50	28	-11.03	28	-22.80	28	0.00	28
4	4	104	Max	0.00	-14216.40	28	2754.77	28	-3930.79	28	-4.74	28	11.96	28	0.00	28
4	4	104	Max	395.00	-12438.90	28	2754.77	28	6950.56	28	-4.74	28	-6.77	28	0.00	28
4	4	104	Min.	0.00	-14216.40	28	2754.77	28	-3930.79	28	-4.74	28	11.96	28	0.00	28
4	4	104	Min.	395.00	-12438.90	28	2754.77	28	6950.56	28	-4.74	28	-6.77	28	0.00	28
5	5	105	Max	0.00	-14210.50	28	2746.77	28	-3919.37	28	-4.14	28	11.12	28	0.00	28
5	5	105	Max	395.00	-12433.00	28	2746.77	28	6930.36	28	-4.14	28	-5.24	28	0.00	28
5	5	105	Min.	0.00	-14210.50	28	2746.77	28	-3919.37	28	-4.14	28	11.12	28	0.00	28
5	5	105	Min.	395.00	-12433.00	28	2746.77	28	6930.36	28	-4.14	28	-5.24	28	0.00	28
6	6	106	Max	0.00	-14246.30	28	2634.81	28	-3759.61	28	-16.31	28	28.17	28	0.00	28
6	6	106	Max	395.00	-12468.80	28	2634.81	28	6647.88	28	-16.31	28	-36.25	28	0.00	28
6	6	106	Min.	0.00	-14246.30	28	2634.81	28	-3759.61	28	-16.31	28	28.17	28	0.00	28
6	6	106	Min.	395.00	-12468.80	28	2634.81	28	6647.88	28	-16.31	28	-36.25	28	0.00	28
7	7	107	Max	0.00	-14867.70	28	-2.93	28	5.51	28	-4333.29	28	6072.95	28	0.00	28
7	7	107	Max	395.00	-13090.20	28	-2.93	28	-6.06	28	-4333.29	28	-11043.60	28	0.00	28
7	7	107	Min.	0.00	-14867.70	28	-2.93	28	5.51	28	-4333.29	28	6072.95	28	0.00	28
7	7	107	Min.	395.00	-13090.20	28	-2.93	28	-6.06	28	-4333.29	28	-11043.60	28	0.00	28
8	8	108	Max	0.00	-15254.70	28	-28.43	28	41.90	28	-4182.25	28	5861.27	28	0.00	28
8	8	108	Max	395.00	-13477.20	28	-28.43	28	-70.41	28	-4182.25	28	-10658.60	28	0.00	28
8	8	108	Min.	0.00	-15254.70	28	-28.43	28	41.90	28	-4182.25	28	5861.27	28	0.00	28
8	8	108	Min.	395.00	-13477.20	28	-28.43	28	-70.41	28	-4182.25	28	-10658.60	28	0.00	28
9	9	109	Max	0.00	-9554.09	28	160.50	28	-227.68	28	-2579.19	28	3614.63	28	0.00	28
9	9	109	Max	395.00	-7776.59	28	160.50	28	406.27	28	-2579.19	28	-6573.15	28	0.00	28
9	9	109	Min.	0.00	-9554.09	28	160.50	28	-227.68	28	-2579.19	28	3614.63	28	0.00	28
9	9	109	Min.	395.00	-7776.59	28	160.50	28	406.27	28	-2579.19	28	-6573.15	28	0.00	28
10	10	110	Max	0.00	-9521.34	28	-150.74	28	216.42	28	2749.52	28	-3853.35	28	0.00	28
10	10	110	Max	395.00	-7743.84	28	-150.74	28	-379.00	28	2749.52	28	7007.25	28	0.00	28
10	10	110	Min.	0.00	-9521.34	28	-150.74	28	216.42	28	2749.52	28	-3853.35	28	0.00	28
10	10	110	Min.	395.00	-7743.84	28	-150.74	28	-379.00	28	2749.52	28	7007.25	28	0.00	28
11	11	111	Max	0.00	-14567.50	28	-2645.91	28	3775.46	28	57.82	28	-75.72	28	0.00	28
11	11	111	Max	395.00	-12790.00	28	-2645.91	28	-6675.90	28	57.82	28	152.68	28	0.00	28
11	11	111	Min.	0.00	-14567.50	28	-2645.91	28	3775.46	28	57.82	28	-75.72	28	0.00	28
11	11	111	Min.	395.00	-12790.00	28	-2645.91	28	-6675.90	28	57.82	28	152.68	28	0.00	28
12	12	112	Max	0.00	-14195.60	28	-2747.61	28	3920.58	28	-11.03	28	20.77	28	0.00	28
12	12	112	Max	395.00	-12418.10	28	-2747.61	28	-6932.50	28	-11.03	28	-22.80	28	0.00	28
12	12	112	Min.	0.00	-14195.60	28	-2747.61	28	3920.58	28	-11.03	28	20.77	28	0.00	28
12	12	112	Min.	395.00	-12418.10	28	-2747.61	28	-6932.50	28	-11.03	28	-22.80	28	0.00	28
13	13	113	Max	0.00	-14216.40	28	-2754.77	28	3930.79	28	-4.74	28	11.96	28	0.00	28
13	13	113	Max	395.00	-12438.90	28	-2754.77	28	-6950.56	28	-4.74	28	-6.77	28	0.00	28
13	13	113	Min.	0.00	-14216.40	28	-2754.77	28	3930.79	28	-4.74	28	11.96	28	0.00	28
13	13	113	Min.	395.00	-12438.90	28	-2754.77	28	-6950.56	28	-4.74	28	-6.77	28	0.00	28
14	14	114	Max	0.00	-14210.50	28	-2746.77	28	3919.37	28	-4.14	28	11.12	28	0.00	28
14	14	114	Max	395.00	-12433.00	28	-2746.77	28	-6930.36	28	-4.14	28	-5.24	28	0.00	28
14	14	114	Min.	0.00	-14210.50	28	-2746.77	28	3919.37	28	-4.14	28	11.12	28	0.00	28

Relazione di calcolo

14	14	114	Min.	395.00	-12433.00	28	-2746.77	28	-6930.36	28	-4.14	28	-5.24	28	0.00	28
15	15	115	Max	0.00	-14246.30	28	-2634.81	28	3759.61	28	-16.31	28	28.17	28	0.00	28
15	15	115	Max	395.00	-12468.80	28	-2634.81	28	-6647.88	28	-16.31	28	-36.25	28	0.00	28
15	15	115	Min.	0.00	-14246.30	28	-2634.81	28	3759.61	28	-16.31	28	28.17	28	0.00	28
15	15	115	Min.	395.00	-12468.80	28	-2634.81	28	-6647.88	28	-16.31	28	-36.25	28	0.00	28
16	16	116	Max	0.00	-14867.70	28	-2.93	28	5.51	28	4333.29	28	-6072.95	28	0.00	28
16	16	116	Max	395.00	-13090.20	28	-2.93	28	-6.06	28	4333.29	28	11043.60	28	0.00	28
16	16	116	Min.	0.00	-14867.70	28	-2.93	28	5.51	28	4333.29	28	-6072.95	28	0.00	28
16	16	116	Min.	395.00	-13090.20	28	-2.93	28	-6.06	28	4333.29	28	11043.60	28	0.00	28
17	17	117	Max	0.00	-15254.70	28	-28.43	28	41.90	28	4182.25	28	-5861.27	28	0.00	28
17	17	117	Max	395.00	-13477.20	28	-28.43	28	-70.41	28	4182.25	28	10658.60	28	0.00	28
17	17	117	Min.	0.00	-15254.70	28	-28.43	28	41.90	28	4182.25	28	-5861.27	28	0.00	28
17	17	117	Min.	395.00	-13477.20	28	-28.43	28	-70.41	28	4182.25	28	10658.60	28	0.00	28
18	18	118	Max	0.00	-9554.09	28	160.50	28	-227.68	28	2579.19	28	-3614.63	28	0.00	28
18	18	118	Max	395.00	-7776.59	28	160.50	28	406.27	28	2579.19	28	6573.15	28	0.00	28
18	18	118	Min.	0.00	-9554.09	28	160.50	28	-227.68	28	2579.19	28	-3614.63	28	0.00	28
18	18	118	Min.	395.00	-7776.59	28	160.50	28	406.27	28	2579.19	28	6573.15	28	0.00	28
101	101	102	Max	15.00	0.00	28	0.00	28	0.00	28	873.47	28	-302.65	28	-732.55	28
101	101	102	Max	189.02									460.28	28		
101	101	102	Max	405.00	0.00	28	0.00	28	0.00	28	-1076.53	28	-698.63	28	-732.55	28
101	101	102	Min.	15.00	0.00	28	0.00	28	0.00	28	873.47	28	-302.65	28	-732.55	28
101	101	102	Min.	189.02									460.28	28		
101	101	102	Min.	405.00	0.00	28	0.00	28	0.00	28	-1076.53	28	-698.63	28	-732.55	28
101	102	103	Max	30.00	0.00	28	0.00	28	0.00	28	919.30	28	-570.00	28	-41.43	28
101	102	103	Max	213.86									275.11	28		
101	102	103	Max	390.00	0.00	28	0.00	28	0.00	28	-880.70	28	-500.52	28	-41.43	28
101	102	103	Min.	30.00	0.00	28	0.00	28	0.00	28	919.30	28	-570.00	28	-41.43	28
101	102	103	Min.	213.86									275.11	28		
101	102	103	Min.	390.00	0.00	28	0.00	28	0.00	28	-880.70	28	-500.52	28	-41.43	28
101	103	104	Max	30.00	0.00	28	0.00	28	0.00	28	900.71	28	-521.73	28	-2.92	28
101	103	104	Max	210.14									289.54	28		
101	103	104	Max	390.00	0.00	28	0.00	28	0.00	28	-899.29	28	-519.19	28	-2.92	28
101	103	104	Min.	30.00	0.00	28	0.00	28	0.00	28	900.71	28	-521.73	28	-2.92	28
101	103	104	Min.	210.14									289.54	28		
101	103	104	Min.	390.00	0.00	28	0.00	28	0.00	28	-899.29	28	-519.19	28	-2.92	28
101	104	105	Max	30.00	0.00	28	0.00	28	0.00	28	902.89	28	-526.78	28	3.26	28
101	104	105	Max	210.58									288.43	28		
101	104	105	Max	390.00	0.00	28	0.00	28	0.00	28	-897.11	28	-516.38	28	3.26	28
101	104	105	Min.	30.00	0.00	28	0.00	28	0.00	28	902.89	28	-526.78	28	3.26	28
101	104	105	Min.	210.58									288.43	28		
101	104	105	Min.	390.00	0.00	28	0.00	28	0.00	28	-897.11	28	-516.38	28	3.26	28
101	105	106	Max	30.00	0.00	28	0.00	28	0.00	28	899.20	28	-522.66	28	45.61	28
101	105	106	Max	209.49									285.90	28		
101	105	106	Max	390.00	0.00	28	0.00	28	0.00	28	-900.80	28	-525.54	28	45.61	28
101	105	106	Min.	30.00	0.00	28	0.00	28	0.00	28	899.20	28	-522.66	28	45.61	28
101	105	106	Min.	209.49									285.90	28		
101	105	106	Min.	390.00	0.00	28	0.00	28	0.00	28	-900.80	28	-525.54	28	45.61	28
101	106	107	Max	30.00	0.00	28	0.00	28	0.00	28	931.30	28	-559.15	28	593.77	28
101	106	107	Max	216.22									308.17	28		
101	106	107	Max	405.00	0.00	28	0.00	28	0.00	28	-943.70	28	-582.39	28	593.77	28
101	106	107	Min.	30.00	0.00	28	0.00	28	0.00	28	931.30	28	-559.15	28	593.77	28
101	106	107	Min.	216.22									308.17	28		
101	106	107	Min.	405.00	0.00	28	0.00	28	0.00	28	-943.70	28	-582.39	28	593.77	28
101	107	108	Max	15.00	0.00	28	0.00	28	0.00	28	947.82	28	-589.00	28	15.08	28
101	107	108	Max	204.04									309.34	28		
101	107	108	Max	405.00	0.00	28	0.00	28	0.00	28	-1002.19	28	-695.03	28	15.08	28
101	107	108	Min.	15.00	0.00	28	0.00	28	0.00	28	947.82	28	-589.00	28	15.08	28
101	107	108	Min.	204.04									309.34	28		
101	107	108	Min.	405.00	0.00	28	0.00	28	0.00	28	-1002.19	28	-695.03	28	15.08	28
101	108	109	Max	15.00	0.00	28	0.00	28	0.00	28	1118.77	28	-759.32	28	154.16	28
101	108	109	Max	238.75									492.33	28		
101	108	109	Max	420.00	0.00	28	0.00	28	0.00	28	-906.23	28	-328.92	28	154.16	28
101	108	109	Min.	15.00	0.00	28	0.00	28	0.00	28	1118.77	28	-759.32	28	154.16	28
101	108	109	Min.	238.75									492.33	28		
101	108	109	Min.	420.00	0.00	28	0.00	28	0.00	28	-906.23	28	-328.92	28	154.16	28
102	110	111	Max	15.00	0.00	28	0.00	28	0.00	28	873.47	28	-302.65	28	732.55	28
102	110	111	Max	189.02									460.28	28		
102	110	111	Max	405.00	0.00	28	0.00	28	0.00	28	-1076.53	28	-698.63	28	732.55	28
102	110	111	Min.	15.00	0.00	28	0.00	28	0.00	28	873.47	28	-302.65	28	732.55	28
102	110	111	Min.	189.02									460.28	28		
102	110	111	Min.	405.00	0.00	28	0.00	28	0.00	28	-1076.53	28	-698.63	28	732.55	28
102	111	112	Max	30.00	0.00	28	0.00	28	0.00	28	919.30	28	-570.00	28	41.43	28
102	111	112	Max	213.86									275.11	28		
102	111	112	Max	390.00	0.00	28	0.00	28	0.00	28	-880.70	28	-500.52	28	41.43	28
102	111	112	Min.	30.00	0.00	28	0.00	28	0.00	28	919.30	28	-570.00	28	41.43	28
102	111	112	Min.	213.86									275.11	28		
102	111	112	Min.	390.00	0.00	28	0.00	28	0.00	28	-880.70	28	-500.52	28	41.43	28
102	112	113	Max	30.00	0.00	28	0.00	28	0.00	28	900.71	28	-521.73	28	2.92	28
102	112	113	Max	210.14									289.54	28		
102	112	113	Max	390.00	0.00	28	0.00	28	0.00	28	-899.29	28	-519.19	28	2.92	28
102	112	113	Min.	30.00	0.00	28	0.00	28	0.00	28	900.71	28	-521.73	28	2.92	28
102	112	113	Min.	210.14									289.54	28		

Relazione di calcolo

102	112	113	Min.	390.00	0.00	28	0.00	28	0.00	28	-899.29	28	-519.19	28	2.92	28
102	113	114	Max	30.00	0.00	28	0.00	28	0.00	28	902.89	28	-526.78	28	-3.26	28
102	113	114	Max	210.58									288.43	28		
102	113	114	Max	390.00	0.00	28	0.00	28	0.00	28	-897.11	28	-516.38	28	-3.26	28
102	113	114	Min.	30.00	0.00	28	0.00	28	0.00	28	902.89	28	-526.78	28	-3.26	28
102	113	114	Min.	210.58									288.43	28		
102	113	114	Min.	390.00	0.00	28	0.00	28	0.00	28	-897.11	28	-516.38	28	-3.26	28
102	114	115	Max	30.00	0.00	28	0.00	28	0.00	28	899.20	28	-522.66	28	-45.61	28
102	114	115	Max	209.49									285.90	28		
102	114	115	Max	390.00	0.00	28	0.00	28	0.00	28	-900.80	28	-525.54	28	-45.61	28
102	114	115	Min.	30.00	0.00	28	0.00	28	0.00	28	899.20	28	-522.66	28	-45.61	28
102	114	115	Min.	209.49									285.90	28		
102	114	115	Min.	390.00	0.00	28	0.00	28	0.00	28	-900.80	28	-525.54	28	-45.61	28
102	115	116	Max	30.00	0.00	28	0.00	28	0.00	28	931.30	28	-559.15	28	-593.77	28
102	115	116	Max	216.22									308.17	28		
102	115	116	Max	405.00	0.00	28	0.00	28	0.00	28	-943.70	28	-582.39	28	-593.77	28
102	115	116	Min.	30.00	0.00	28	0.00	28	0.00	28	931.30	28	-559.15	28	-593.77	28
102	115	116	Min.	216.22									308.17	28		
102	115	116	Min.	405.00	0.00	28	0.00	28	0.00	28	-943.70	28	-582.39	28	-593.77	28
102	116	117	Max	15.00	0.00	28	0.00	28	0.00	28	947.82	28	-589.00	28	-15.08	28
102	116	117	Max	204.04									309.34	28		
102	116	117	Max	405.00	0.00	28	0.00	28	0.00	28	-1002.19	28	-695.03	28	-15.08	28
102	116	117	Min.	15.00	0.00	28	0.00	28	0.00	28	947.82	28	-589.00	28	-15.08	28
102	116	117	Min.	204.04									309.34	28		
102	116	117	Min.	405.00	0.00	28	0.00	28	0.00	28	-1002.19	28	-695.03	28	-15.08	28
102	117	118	Max	15.00	0.00	28	0.00	28	0.00	28	1118.77	28	-759.32	28	-154.16	28
102	117	118	Max	238.75									492.33	28		
102	117	118	Max	420.00	0.00	28	0.00	28	0.00	28	-906.23	28	-328.92	28	-154.16	28
102	117	118	Min.	15.00	0.00	28	0.00	28	0.00	28	1118.77	28	-759.32	28	-154.16	28
102	117	118	Min.	238.75									492.33	28		
102	117	118	Min.	420.00	0.00	28	0.00	28	0.00	28	-906.23	28	-328.92	28	-154.16	28
103	101	110	Max	45.00	0.00	28	0.00	28	0.00	28	5779.16	28	-4585.73	28	0.00	28
103	101	110	Max	355.25									4400.80	28		
103	101	110	Max	667.00	0.00	28	0.00	28	0.00	28	-5779.16	28	-4585.74	28	0.00	28
103	101	110	Min.	45.00	0.00	28	0.00	28	0.00	28	5779.16	28	-4585.73	28	0.00	28
103	101	110	Min.	355.25									4400.80	28		
103	101	110	Min.	667.00	0.00	28	0.00	28	0.00	28	-5779.16	28	-4585.74	28	0.00	28
104	102	111	Max	15.00	0.00	28	0.00	28	0.00	28	9879.62	28	-6910.85	28	0.00	28
104	102	111	Max	356.00									9933.91	28		
104	102	111	Max	697.00	0.00	28	0.00	28	0.00	28	-9879.62	28	-6910.84	28	0.00	28
104	102	111	Min.	15.00	0.00	28	0.00	28	0.00	28	9879.62	28	-6910.85	28	0.00	28
104	102	111	Min.	356.00									9933.91	28		
104	102	111	Min.	697.00	0.00	28	0.00	28	0.00	28	-9879.62	28	-6910.84	28	0.00	28
105	103	112	Max	15.00	0.00	28	0.00	28	0.00	28	9728.73	28	-6578.65	28	0.00	28
105	103	112	Max	356.00									10008.80	28		
105	103	112	Max	697.00	0.00	28	0.00	28	0.00	28	-9728.73	28	-6578.64	28	0.00	28
105	103	112	Min.	15.00	0.00	28	0.00	28	0.00	28	9728.73	28	-6578.65	28	0.00	28
105	103	112	Min.	356.00									10008.80	28		
105	103	112	Min.	697.00	0.00	28	0.00	28	0.00	28	-9728.73	28	-6578.64	28	0.00	28
106	104	113	Max	15.00	0.00	28	0.00	28	0.00	28	9728.73	28	-6567.24	28	0.00	28
106	104	113	Max	355.18									10020.20	28		
106	104	113	Max	697.00	0.00	28	0.00	28	0.00	28	-9728.73	28	-6567.24	28	0.00	28
106	104	113	Min.	15.00	0.00	28	0.00	28	0.00	28	9728.73	28	-6567.24	28	0.00	28
106	104	113	Min.	355.18									10020.20	28		
106	104	113	Min.	697.00	0.00	28	0.00	28	0.00	28	-9728.73	28	-6567.24	28	0.00	28
107	105	114	Max	15.00	0.00	28	0.00	28	0.00	28	9728.73	28	-6580.00	28	0.00	28
107	105	114	Max	355.18									10007.40	28		
107	105	114	Max	697.00	0.00	28	0.00	28	0.00	28	-9728.73	28	-6580.02	28	0.00	28
107	105	114	Min.	15.00	0.00	28	0.00	28	0.00	28	9728.73	28	-6580.00	28	0.00	28
107	105	114	Min.	355.18									10007.40	28		
107	105	114	Min.	697.00	0.00	28	0.00	28	0.00	28	-9728.73	28	-6580.02	28	0.00	28
108	106	115	Max	15.00	0.00	28	0.00	28	0.00	28	9728.73	28	-6758.56	28	0.00	28
108	106	115	Max	355.18									9828.83	28		
108	106	115	Max	697.00	0.00	28	0.00	28	0.00	28	-9728.73	28	-6758.57	28	0.00	28
108	106	115	Min.	15.00	0.00	28	0.00	28	0.00	28	9728.73	28	-6758.56	28	0.00	28
108	106	115	Min.	355.18									9828.83	28		
108	106	115	Min.	697.00	0.00	28	0.00	28	0.00	28	-9728.73	28	-6758.57	28	0.00	28
109	107	116	Max	45.00	0.00	28	0.00	28	0.00	28	9494.83	28	-7616.38	28	0.00	28
109	107	116	Max	355.25									7147.99	28		
109	107	116	Max	667.00	0.00	28	0.00	28	0.00	28	-9494.83	28	-7616.39	28	0.00	28
109	107	116	Min.	45.00	0.00	28	0.00	28	0.00	28	9494.83	28	-7616.38	28	0.00	28
109	107	116	Min.	355.25									7147.99	28		
109	107	116	Min.	667.00	0.00	28	0.00	28	0.00	28	-9494.83	28	-7616.39	28	0.00	28
110	108	117	Max	45.00	0.00	28	0.00	28	0.00	28	9632.45	28	-7822.40	28	0.00	28
110	108	117	Max	355.25									7155.97	28		
110	108	117	Max	667.00	0.00	28	0.00	28	0.00	28	-9632.45	28	-7822.42	28	0.00	28
110	108	117	Min.	45.00	0.00	28	0.00	28	0.00	28	9632.45	28	-7822.40	28	0.00	28
110	108	117	Min.	355.25									7155.97	28		
110	108	117	Min.	667.00	0.00	28	0.00	28	0.00	28	-9632.45	28	-7822.42	28	0.00	28
111	109	118	Max	45.00	0.00	28	0.00	28	0.00	28	5779.16	28	-4661.90	28	0.00	28
111	109	118	Max	355.25									4324.64	28		
111	109	118	Max	667.00	0.00	28	0.00	28	0.00	28	-5779.16	28	-4661.91	28	0.00	28

Relazione di calcolo

111	109	118	Min.	45.00	0.00	28	0.00	28	0.00	28	5779.16	28	-4661.90	28	0.00	28
111	109	118	Min.	355.25									4324.64	28		
111	109	118	Min.	667.00	0.00	28	0.00	28	0.00	28	-5779.16	28	-4661.91	28	0.00	28

Criteri di progetto utilizzati

Pilastrini in c.a.

Generali	
Parametri di progetto	
Pilastro prefabbricato	No
Progettazione dell'armatura con sollecitazioni più gravose	Si
Disaccoppia sovraresistenza	No
Limita fattore di sovraresistenza al massimo valore di struttura	No
Tipo verifica di stabilità	
-Per N*Ω-M e per N-c*M (standard)	Si
-Per N*Ω-c*M (doppia)	No
-Per N*Ω (sforzo normale e momento nullo)	No
-Per c*M (momento e sforzo normale nullo)	No
Max angolo di piegatura ferri <grad>	20.00
Progettazione armatura di ripresa	Si
Minimizzazione armatura di ripresa	No
Minimizzazione area di ferro totale nella sezione	No
Non progettare riprese ma estendi solo i ferri	Si
Verifiche in relazione	Minimizzate
Ancoraggi	
Lunghezza ancoraggi	
-Lunghezza minima come multiplo del diametro	40.00
Ancoraggi tutti uguali	Si
Piegatura ancoraggi per discontinuità	Si
Piegatura ancoraggi ferri di ripresa	Si
Armatura a taglio	
Staffatura a spirale pilastri circolari	Si
Cambiare le staffe nei nodi appartenenti all'impalcato 0 se sul nodo incidono elementi	Si
Considera solo la zona critica alla base della pilastrata (strutture pendolari)	No
Progetta a taglio con traliccio ad inclinazione variabile	Si
-Classe A	
-In zona critica limita ctg θ a	1.00
-In zona non critica limita ctg θ a	2.50
-Classe B	
-In zona critica limita ctg θ a	2.50
-In zona non critica limita ctg θ a	2.50
Verifiche a taglio per elementi esistenti come per elementi nuovi	Si
Estendi nel nodo staffe sottostanti anche se non richiesto dalla normativa	No
Parametri di disegno	
Scala disegno sezioni pilastri	25.00
Scala disegno viste pilastri	50.00
Creazione tabelle pilastri	Si
-Tipo di tabella	Armature disposte dal basso verso l'alto
-Max lunghezza tavole <cm>	70.00
-Max altezza tavole <cm>	50.00
Creazione viste pilastri	
-Disegno ferri dentro pilastro in vista	Si
-Disegno staffe dentro pilastro in vista	Si
-Modalità di individuazione ferri	
-Modalità di indicazione ferri	Mediante una tabella
-Minimizzazione riferimenti	Si
-Modalità di individuazione ferri	Per posizione
-Modalità di indicazione ferri	Mediante una tabella
-Minimizzazione riferimenti	Si

Specifici		1
Materiali		
-Considera come elemento esistente		No
-Calcestruzzo		
-Livello di conoscenza		LC2
-Fattore di confidenza		1.20
-Tipo di calcestruzzo		C30/37
-Rck calcestruzzo		370.00
-Modulo elastico <daN/cm²>		330194.00
-Resistenza caratteristica cilindrica (Fck)		307.10
-Resistenza caratteristica a trazione (Fctk)		20.59

Relazione di calcolo

-Resistenza media (Fcm) <daN/cm²>	387.10
-Resistenza media a trazione (Fctm) <daN/cm²>	29.42
-σ amm. calcestruzzo <daN/cm²>	115.00
-tc0 <daN/cm²>	6.90
-tc1 <daN/cm²>	20.30
-Riduci Fcd per tutte le verifiche secondo il D.M. 18	Si
-γc per stati limite ultimi	
-Automatico	x
-Pari a	
-Acciaio	
-Livello di conoscenza	LC2
-Fattore di confidenza	1.20
-Tipo di acciaio	B450C
-Modulo elastico <daN/cm²>	2060000.00
-Tensione caratteristica di snervamento (Fyk) <daN/cm²>	4500.00
-Tensione media di snervamento (Fym) <daN/cm²>	4500.00
-Sigma amm. acciaio <daN/cm²>	2600.00
-Sigma amm. reti e tralicci <daN/cm²>	2600.00
-Allungamento per verifiche di duttilità (Agt) <%>	4.00
-γs per stati limite ultimi	
-Automatico	x
-Pari a	
-Coeff. di omogeneizzazione	15.00
Parametri per analisi pushover	
Numero fibre	200.00
Fattore di confinamento nucleo interno	1.00
Fattore di incrudimento acciaio <%>	0.10
Parametri per verifiche di duttilità	
Considera formulazione per pareti	No
Considera rotazione massima di esercizio per determinare SLO e SLD	No
Modalità di calcolo luce di taglio Lv	
-Lv=L/2	x
-Lv=M/V	
-Lv=Punto di nullo del momento flettente	
Capacità di rotazione alla corda al collasso	
-Formula C8A.6.1 con fattore di riduzione pari a	
-Formula C8A.6.5	x
Sforzo normale di verifica per analisi pushover	
-Gravitazionale	
-Dal calcolo	x
Parametri di calcolo	
Strategia di progetto	RETTANG
Copriferro reale al bordo staffa <cm>	4.00
Diametro staffa teorica <mm>	9.00
Continuità dei ferri nei nodi appartenenti all'impalcato 0	Si
Coeff. β in direzione Z locale	1.00
Coeff. β in direzione Y locale	1.00
Armatura secondo Circ. 65 del 10/04/97	No
-Raffittimento staffe in testa e al piede del pilastro	No
-Passo <cm>	
Parametri di progetto secondo il D.M. 18	
Elemento dissipativo	No
Trascura gerarchia	No
Limita verifica a pressoflessione ad elemento non dissipativo	Si
Limita verifica a taglio ad elemento non dissipativo	Si
Elemento secondario	No
Incremento percentuale per piano debole	No
Non effettuare verifiche dei nodi fra trave e pilastro	Si
Verifiche a pressoflessione deviata	Si
Per calcoli secondo il D.M. 18 usa espressione 4.1.19	No
Verifiche a taglio	
Verifiche a taglio per sezioni circolari	
-Usa formulazione sezioni generiche	
-Considera rettangolo inscritto con B/H pari a	1.00
Verifiche a taglio per sezioni generiche	
-Considera Vrdu minimo	
-Considera Vrdu calcolato in corrispondenza di bw minimo	
-Considera Vrdu in corrispondenza di bw medio	x
-Considera Vrdu in corrispondenza di bw massimo	
-Considera sempre Af Staffe non proiettata in direzione del taglio	Si
Armatura a pressoflessione	
Elenco diametri ferri longitudinali 1 <mm>	16
Elenco diametri ferri longitudinali 2 <mm>	20
Elenco diametri ferri longitudinali 3 <mm>	
Elenco diametri ferri longitudinali 4 <mm>	
Elenco diametri ferri longitudinali 5 <mm>	

Relazione di calcolo

Elenco diametri ferri longitudinali 6 <mm>	
Elenco diametri ferri longitudinali 7 <mm>	
Max distanza fra i ferri su un lato <cm>	25.00
Min. interferro ammissibile <cm>	7.00
Distanza fra i ferri di spigolo <cm>	3.00
Min. numero ferri per pilastri circolari	8.00
Reggistaffe aggiuntivi sezioni non rettangolari	Si
Fattore di riduzione τ_{c0} per ancoraggio ferri	1.00
Armatura a taglio	
Elenco diametri staffe 1 <mm>	8
Elenco diametri staffe 2 <mm>	
Elenco diametri staffe 3 <mm>	
Elenco diametri staffe 4 <mm>	
Elenco diametri staffe 5 <mm>	
Elenco diametri staffe 6 <mm>	
Elenco diametri staffe 7 <mm>	
Mantieni diametro costante nell'interpiano	Si
Passi staffe	4.00
-Minimo <cm>	Si
-Massimo <cm>	30.00
-Incremento <cm>	2.00
Tipo di minimizzazione staffatura	
-Minimizza il numero delle staffe	
-Minimizza il peso delle staffe	x
Max distanza fra ferri non collegati <cm>	20.00
Max numero ferri non collegati	2.00
Max distanza fra ferri nei nodi non collegati <cm>	7.00
Max numero ferri nei nodi non collegati	1.00
Collegamenti ferri	
Con spilli	
Con staffe rettangolari	
Con staffe poligonali	x
Ferri orizzontali pareti realizzati con staffe	No
Quote di alleggerimento armature pilastri prefabbricati	
Quota di alleggerimento n. 1 <m>	0.00
Quota di alleggerimento n. 2 <m>	0.00
Quota di alleggerimento n. 3 <m>	0.00
Quota di alleggerimento n. 4 <m>	0.00
Quota di alleggerimento n. 5 <m>	0.00
Quota di alleggerimento n. 6 <m>	0.00
Quota di alleggerimento n. 7 <m>	0.00
Dati per progettazione interattiva sezioni	
Distanza fra ferri su più strati <cm>	1.00
Integrare lo scorrimento lungo il tratto	Si
-Lunghezza del tratto <m>	1.00
Dati per progettazione agli stati limite	
Gruppo di esigenza	
-Ambiente poco aggressivo	x
-Ambiente moderatamente aggressivo	
-Ambiente molto aggressivo	
Usa dominio N-M per flessioni rette	No
-Ricerca della sicurezza con sforzo normale costante	
-Ricerca della sicurezza con eccentricità costante	
Controllo rapporto X/D	No
Barre da considerare tese per verifiche a taglio	
-Solo le barre con deformazione percentuale rispetto alla barra più tesa non inferiore al <%>	30.00
-Tutte le barre in trazione	
Dati per verifiche di resistenza al fuoco	
-Tempo di verifica (REI) <minuti>	120.00
Dimensione MESH <cm>	2.00
-Passo di calcolo <secondi>	10.00
-Temperatura ambiente <C°>	20.00
-Coeff. di convezione a temperatura ambiente <W/mq K>	9.00
Calcestruzzo	
-Tipo di aggregati	SILICEI
Massa volumica a secco <daN/mc>	2300.00
-Umidità iniziale <%>	3.00
-Fattore di interpolazione conducibilità	0.50
Dati per verifiche FRP	
Rinforzo longitudinale	
Tipo di fibra/resina	
-Vetro/Epossidica	
-Arammidica/Epossidica	
-Carbonio/Epossidica	x
Resistenza caratteristica (f_{tk}) <daN/cm ² >	49000.00

Relazione di calcolo

Modulo elastico(E_c) <daN/cm ² >	2500000.00
Deformazione caratteristica a rottura per trazione(ϵ_{fk}) <%>	2.00
Spessore equivalente(t_f) <mm>	0.17
Sistemi di rinforzo	
-Preformati	
-Impregnati in situ	x
Rinforzo trasversale	
Tipo di fibra/resina	
-Vetro/Epossidica	
-Arammidica/Epossidica	
-Carbonio/Epossidica	x
Resistenza caratteristica(f_{fk}) <daN/cm ² >	49000.00
Modulo elastico(E_c) <daN/cm ² >	2500000.00
Deformazione caratteristica a rottura per trazione(ϵ_{fk}) <%>	2.00
Spessore equivalente(t_f) <mm>	0.17
Sistemi di rinforzo	
-Preformati	
-Impregnati in situ	x
Trascura resistenza a taglio dei rinforzi	No
Modalità di carico	
-Lungo termine	x
-Ciclico	
Coeff. parziale di sicurezza per SLU di distacco(γ_{fd})	1.50
Fattore di conversione ambientale(η_a)	0.95
Raggio di arrotondamento spigoli(r_c) <cm>	2.00
Coeff. condizione di carico(K_d)	1.25
Dati per verifiche incamiciature in acciaio non CAM	
Resistenza di progetto strisce di collegamento (F_{yd}) <daN/cm ² >	2350.00

Travi in c.a.

Generali	
Parametri di progetto	
Passo di progettazione <m>	0.30
Tipo di sollecitazioni zone rigide	Costanti
Min. angolo per spinte a vuoto <grad>	10.00
Invertire i ferri anche in presenza di pilastro sottostante	Si
Max differenza larghezza travi continue <cm>	5.00
Progetta a taglio con traliccio ad inclinazione variabile	Si
-Classe A	
-In zona critica limita ctg θ a	1.00
-In zona non critica limita ctg θ a	2.50
-Classe B	
-In zona critica limita ctg θ a	2.50
-In zona non critica limita ctg θ a	2.50
Verifiche a taglio per elementi esistenti come per elementi nuovi	Si
Lunghezze e arrotondamenti	
Max lunghezza barre <m>	12.00
Arrotondamento lunghezza ferri <cm>	50.00
Lunghezza ferri nei muri d'estremità <m>	1.20
Min. interfero ammissibile <cm>	2.00
Elenco diametri minimizzazione interferri <mm>	14 16 18 20 24
Riduzione ancoraggi	
-Nella zona compressa per flessione	No
-Nei punti inferiori della travata	Si
Considerare nel calcolo degli ancoraggi i risvolti specificati nei criteri generali di disegno	No
Risvoltare i ferri per garantire l'ancoraggio agli estremi della trave	No
Reggistaffe	
Interruzione reggistaffe in campata	No
Modalità di sovrapposizione reggistaffe	Per garantire la copertura del momento negativo
Modalità di unificazione reggistaffe	Solo se la geometria della travata e la lunghezza totale delle barre lo consentono
Minimi di regolamento	
Min. percentuale di regolamento	
-Per le travi di fondazione	No
-Per le travi di elevazione	Si
Min. di armatura a taglio	
-Per le travi di fondazione	No
-Per le travi di elevazione	No
Tipo di armatura per taglio (T.A.)	Mista
Controllo passo e 12Fi	Si
Min. di regolamento a torsione nell'ala	No

Relazione di calcolo

Min. di regolamento nell'ala	No
Stampe	
Verifiche a flessione in relazione	Minimizzate
Verifiche a taglio in relazione	Max scorrimento per taglio e torsione
Parametri di disegno	
Scala disegno travi	50.00
Scala disegno sezioni	25.00
Campitura sezioni	Fitta
Disegno sezione travi in falso	Si
Disegna sezioni	Si
Campitura travi in falso	Fitta
Campitura muri	Rada
Tipo di quotatura luci nette trave	Con riferimento ai pilastri superiori
Lunghezza monconi di pilastro	Minimizzata
Linee di riferimento quote	Si
Quotatura zone di staffatura	No
Quotatura zone di staffatura	No
Indicazione numero bracci staffe	Solo se il numero è maggiore di due
Disegno ferri longitudinali	
Disegno ferri dentro la trave	Si
Disegno esplosivo ferri di parete	No
Distanza fra ferri esplosi <cm>	0.10
Disegno reggistaffe aggiuntivi per travi a T e L	Reggistaffe aggiuntivi tipo 3
Disegno staffe	
Posizione staffe esterne	In automatico
Disegno staffe dentro la sezione	Si

Specifici	1
Materiali	
-Considera come elemento esistente	No
-Calcestruzzo	
-Livello di conoscenza	LC2
-Fattore di confidenza	1.20
-Tipo di calcestruzzo	C30/37
-Rck calcestruzzo	370.00
-Modulo elastico <daN/cmq>	330194.00
-Resistenza caratteristica cilindrica (Fck)	307.10
-Resistenza caratteristica a trazione (Fctk)	20.59
-Resistenza media (Fcm) <daN/cmq>	387.10
-Resistenza media a trazione (Fctm) <daN/cmq>	29.42
-σ amm. calcestruzzo <daN/cmq>	115.00
-tc0 <daN/cmq>	6.90
-tc1 <daN/cmq>	20.30
-Riduci Fcd per tutte le verifiche secondo il D.M. 18	Si
-γc per stati limite ultimi	
-Automatico	x
-Pari a	
-Acciaio	
-Livello di conoscenza	LC2
-Fattore di confidenza	1.20
-Tipo di acciaio	B450C
-Modulo elastico <daN/cmq>	2060000.00
-Tensione caratteristica di snervamento (Fyk) <daN/cmq>	4500.00
-Tensione media di snervamento (Fym) <daN/cmq>	4500.00
-Sigma amm. acciaio <daN/cmq>	2600.00
-Sigma amm. reti e tralicci <daN/cmq>	2600.00
-Allungamento per verifiche di duttilità (Agt) <%>	4.00
-γs per stati limite ultimi	
-Automatico	x
-Pari a	
-Coeff. di omogeneizzazione	15.00
Parametri per analisi pushover	
Numero fibre	200.00
Fattore di confinamento nucleo interno	1.00
Fattore di incrudimento acciaio <%>	0.10
Parametri per verifiche di duttilità	
Considera rotazione massima di esercizio per determinare SLO e SLD	No
Modalità di calcolo luce di taglio Lv	
-Lv=L/2	x
-Lv=M/V	
-Lv=Punto di nullo del momento flettente	
Capacità di rotazione alla corda al collasso	
-Formula C8A.6.1 con fattore di riduzione pari a	

Relazione di calcolo

-Formula C8A.6.5		x
Sforzo normale di verifica per analisi pushover		
-Gravitazionale		
-Dal calcolo		x
Parametri di calcolo		
Progetto a pressoflessione		Si
-Per tutte le travi		
-Solo per travi inclinate		x
-Min. angolo per pressoflessione <grad>		10.00
-Compressione massima senza progetto a pressoflessione <%>		10.00
Progetto a torsione		No
-Trazione senza progetto a torsione<%>		
Armatura secondo Circ. 65 del 10/04/97		No
Parametri di progetto secondo il D.M. 18		
Elemento dissipativo		No
Trascura gerarchia		No
Limita verifica a taglio ad elemento non dissipativo		Si
Elemento secondario		No
Sollecitazioni dissipative amplificate per elementi di fondazione		Si
Escludi dal calcolo sovraresistenza per pilastri incidenti		No
Sollecitazioni complanari ad eventuali elementi bidimensionali		No
Copriferro teorico superiore <cm>		5.50
Copriferro teorico inferiore <cm>		5.50
Min. momento fittizio agli appoggi		No
-Denominatore		
Min. momento fittizio in campata		No
-Denominatore		
Incremento percentuale momento in campata <%>		10.00
Usa taglio max per traslazione momento (S.L.)		Si
Limitare momento traslato al valore max di appoggio (S.L.)		No
Limitare momento traslato al valore max di campata (S.L.)		No
Taglio da momento resistente in fondazione (S.L.)		No
Tipo di progetto in doppia armatura (T.A.)		
-Tensioni pari ai valori amm.		
-Tensioni pari ai valori amm. con AfComp/AfTesa minore o pari a		1.00
-Con AfComp/AfTesa pari a		
Parametri di progettazione armatura		
Max differenza fra diametri per unificazioni		2.00
Max distanza fra barre per unificazioni <m>		1.00
Denominatore per individuazione zona di campata		32.00
Fattore di copertura appoggi (0+1)		0.00
Fattore di riduzione per ancoraggio ferri		1.00
Minimizzazione momenti resistenti di appoggio (stati limite D.M. 18)		Si
-Tolleranza di copertura da sovrapposizione <%>		10.00
Tipo di distribuzione armatura eccedente in fase di verifica		
-Ripartita proporzionalmente per flessione, torsione e taglio		x
-Tutta agente per flessione		
-Tutta agente per taglio		
Armatura a flessione		
Elenco diametri ferri longitudinali 1 <mm>		16
Elenco diametri ferri longitudinali 2 <mm>		
Elenco diametri ferri longitudinali 3 <mm>		
Elenco diametri ferri longitudinali 4 <mm>		
Elenco diametri ferri longitudinali 5 <mm>		
Elenco diametri ferri longitudinali 6 <mm>		
Elenco diametri ferri longitudinali 7 <mm>		
Max differenza fra diametri nella trave		8.00
Max differenza fra diametri ferri accoppiati		4.00
Reggistaffe superiori		
-Numero		
-Automatico		
-Pari a		2.00
-Max mutua distanza <cm>		
-Diametro		
-Automatico		x
-Pari a <mm>		
-Minimo <mm>		
Reggistaffe inferiori		
-Numero		
-Automatico		
-Pari a		2.00
-Max mutua distanza <cm>		
-Diametro		
-Automatico		x
-Pari a <mm>		
-Minimo <mm>		
Armatura a taglio		
Scorrimento (T.A.)		

Relazione di calcolo

-Percentuale assorbita dalle staffe <%>	100.00
-Percentuale assorbita dai ferri piegati <%>	0.00
-Percentuale assorbita dai ferri di parete <%>	0
-Considerare il valore relativo alle staffe come minimo percentuale da adottare	No
Variabilità staffe	
-Staffe uguali a passo costante	
-Staffe diverse in tre parti della trave in funzione delle zone critiche	x
-Staffe diverse in tre parti della trave in funzione di un multiplo dell'altezza pari a	
Variabilità staffe ala	
-Passi uguali a passi anima	x
-Passi multipli di passi anima	
-Passi indipendenti da passi anima	
Min. lunghezza tratto centrale come multiplo dell'altezza della trave	1.10
Elenco diametri staffe 1 <mm>	8
Elenco diametri staffe 2 <mm>	
Elenco diametri staffe 3 <mm>	
Elenco diametri staffe 4 <mm>	
Elenco diametri staffe 5 <mm>	
Elenco diametri staffe 6 <mm>	
Elenco diametri staffe 7 <mm>	
Elenco numero bracci staffe 1	2
Elenco numero bracci staffe 2	
Elenco numero bracci staffe 3	
Elenco numero bracci staffe 4	
Elenco numero bracci staffe 5	
Passi staffe	
-Minimo <cm>	5.00
-Massimo <cm>	25.00
-Incremento <cm>	5.00
Elementi costanti	
-Diametro	Si
-Passo	No
-Bracci	Si
Tipo di minimizzazione staffatura	
-Minimizza il numero delle staffe	x
-Minimizza il peso delle staffe	
Raffittimento staffe all'estremità della trave	No
-Passo non superiore a	
Lunghezza max del tratto di calcolo scorrimento	
-Pari al tratto in cui $\tau > \tau_{c0}$	x
-Pari a <cm>	
-Come multiplo dell'altezza pari a	
Armatura a taglio e torsione	
Elenco diametri ferri piegati 1 <mm>	12
Elenco diametri ferri piegati 2 <mm>	14
Elenco diametri ferri piegati 3 <mm>	16
Elenco diametri ferri piegati 4 <mm>	18
Elenco diametri ferri piegati 5 <mm>	20
Elenco diametri ferri piegati 6 <mm>	
Elenco diametri ferri piegati 7 <mm>	
Angolo di piegatura <grad>	45.00
Posizione primo punto di piegatura	
-Pari al multiplo dell'altezza	
-Distanza <cm>	5.00
Interasse punti di piegatura	
-Pari al multiplo dell'altezza	
-Distanza <cm>	25.00
Tipo di ferri piegati	
-Solo sagomati	
-Solo cavallotti	
-Sia sagomati che cavallotti	x
Ferri di parete	
-Max distanza fra le barre <cm>	30.00
Elenco diametri ferri di parete 1 <mm>	12
Elenco diametri ferri di parete 2 <mm>	14
Elenco diametri ferri di parete 3 <mm>	16
Elenco diametri ferri di parete 4 <mm>	18
Elenco diametri ferri di parete 5 <mm>	20
Elenco diametri ferri di parete 6 <mm>	
Elenco diametri ferri di parete 7 <mm>	
Elenco diametri staffe orizzontali 1 <mm>	6
Elenco diametri staffe orizzontali 2 <mm>	8
Elenco diametri staffe orizzontali 3 <mm>	
Elenco diametri staffe orizzontali 4 <mm>	
Elenco diametri staffe orizzontali 5 <mm>	
Elenco diametri staffe orizzontali 6 <mm>	
Elenco diametri staffe orizzontali 7 <mm>	
Parametri di disegno	
Risvolto ferri superiori	Si

Relazione di calcolo

-Pari a <cm>	
-Pari all'altezza della trave	x
-Pari alla minima altezza delle travi incidenti	
Risvolto ferri inferiori	Si
-Pari a <cm>	
-Pari all'altezza della trave	x
-Pari alla minima altezza delle travi incidenti	
Risvolto ferri laterali	Si
-Pari a <cm>	25.00
-Pari alla larghezza della trave	
Magrone	No
-Allargamento laterale <cm>	
-Altezza <cm>	
Dati per progettazione interattiva sezioni	
Copriferro reale al bordo staffa <cm>	2.50
Diametro staffa teorica <mm>	8.00
Distanza fra ferri su più strati <cm>	1.00
Integrare lo scorrimento lungo il tratto	Si
-Lunghezza del tratto <m>	1.00
Dati per progettazione agli stati limite	
Gruppo di esigenza	
-Ambiente poco aggressivo	x
-Ambiente moderatamente aggressivo	
-Ambiente molto aggressivo	
Usa dominio N-M per flessioni rette	Si
-Ricerca della sicurezza con sforzo normale costante	
-Ricerca della sicurezza con eccentricità costante	x
Controllo rapporto X/D	Si
Barre da considerare tese per verifiche a taglio	
-Solo le barre con deformazione percentuale rispetto alla barra più tesa non inferiore al <%>	30.00
-Tutte le barre in trazione	
Dati per verifiche di resistenza al fuoco	
-Tempo di verifica (REI) <minuti>	120.00
Dimensione MESH <cm>	2.00
-Passo di calcolo <secondi>	10.00
-Temperatura ambiente <C°>	20.00
-Coeff. di convezione a temperatura ambiente <W/mq K>	9.00
Calcestruzzo	
-Tipo di aggregati	SILICEI
Massa volumica a secco <daN/mc>	2300.00
-Umidità iniziale <%>	3.00
-Fattore di interpolazione conducibilità	0.50
Dati per verifiche FRP	
Rinforzo longitudinale	
Tipo di fibra/resina	
-Vetro/Epossidica	
-Arammidica/Epossidica	
-Carbonio/Epossidica	x
Resistenza caratteristica (f_{fk}) <daN/cm²>	49000.00
Modulo elastico (E_c) <daN/cm²>	2500000.00
Deformazione caratteristica a rottura per trazione (ϵ_{fk}) <%>	2.00
Spessore equivalente (t_f) <mm>	0.17
Sistemi di rinforzo	
-Preformati	
-Impregnati in situ	x
Rinforzo trasversale	
Tipo di fibra/resina	
-Vetro/Epossidica	
-Arammidica/Epossidica	
-Carbonio/Epossidica	x
Resistenza caratteristica (f_{fk}) <daN/cm²>	49000.00
Modulo elastico (E_c) <daN/cm²>	2500000.00
Deformazione caratteristica a rottura per trazione (ϵ_{fk}) <%>	2.00
Spessore equivalente (t_f) <mm>	0.17
Sistemi di rinforzo	
-Preformati	
-Impregnati in situ	x
Modalità di carico	
-Lungo termine	x
-Ciclico	
Coeff. parziale SLU di distacco (γ_{fd})	1.50
Fattore di conversione ambientale (η_a)	0.95
Raggio di arrotondamento spigoli (r_c) <cm>	2.00
Coeff. condizione di carico (K_q)	1.25

Verifiche e armature travi

Simbologia

Caso = Caso di verifica
 Xg = Coordinata progressiva (dal primo nodo) in cui viene effettuato il progetto/verifica
 CC = Combinazione delle condizioni di carico elementari
 c = momento fittizio in campata
 a = momento fittizio agli appoggi
 TG = taglio da gerarchia delle resistenze
 TGND = taglio non dissipativo limitante la gerarchia
 T = momento traslato per taglio
 e = eccentricità aggiuntiva in caso di compressione o pressoflessione
 TCC = Tipo di combinazione di carico
 SLU = Stato limite ultimo
 SLU S = Stato limite ultimo (azione sismica)
 SLE R = Stato limite d'esercizio, combinazione rara
 SLE F = Stato limite d'esercizio, combinazione frequente
 SLE Q = Stato limite d'esercizio, combinazione quasi permanente
 SLD = Stato limite di danno
 SLV = Stato limite di salvaguardia della vita
 SLC = Stato limite di prevenzione del collasso
 SLO = Stato limite di operatività
 SLU I = Stato limite di resistenza al fuoco
 SND = Stato limite di salvaguardia della vita (non dissipativo)
 El = Elemento (asta) in cui viene effettuato il progetto/verifica (progressivo sul numero di aste)
 Sez. = Numero della sezione
 Crit. = Numero del criterio di progetto
 X = Coordinata progressiva rispetto al nodo iniziale
 Afe S = Area di ferro effettiva totale presente nel punto di verifica, superiore
 Afe I = Area di ferro effettiva totale presente nel punto di verifica, inferiore
 AfeP S = Area di ferro effettiva parziale presente nella CC considerata, per la sollecitazione indicata, superiore
 AfeP I = Area di ferro effettiva parziale presente nella CC considerata, per la sollecitazione indicata, inferiore
 My = Momento flettente intorno all'asse Y
 M'ldy = Momento resistente massimo in campo sostanzialmente elastico intorno all'asse Y
 MRdy = Momento resistente allo stato limite ultimo intorno all'asse Y
 Sic. = Sicurezza a rottura
 σ_f sup = Tensione nel ferro - superiore
 σ_f inf = Tensione nel ferro - inferiore
 σ_c = Tensione nel calcestruzzo
 X0 = Coordinata progressiva (dal nodo iniziale) dell'inizio del tratto
 X1 = Coordinata progressiva (dal nodo iniziale) della fine del tratto
 Lung. = Lunghezza del tratto di progettazione
 Staff. = Staffatura adottata
 Afe St. = Area di ferro effettiva della staffatura (d'anima per travi a T o L)
 bw = Larghezza membratura resistente al taglio
 Vsd = Taglio agente nella direzione del momento ultimo
 ctg θ = Cotangente dell'angolo di inclinazione dei puntoni di calcestruzzo
 VRsd = Taglio ultimo lato armatura
 VRcd = Taglio ultimo lato calcestruzzo
 Vrdu = Taglio ultimo assorbibile dal solo calcestruzzo
 Sic.T = Sicurezza a rottura per taglio
 c = Ricoprimento dell'armatura
 s = Distanza minima tra le barre
 K3 = Coefficiente di forma del diagramma delle tensioni prima della fessurazione
 s_m = Distanza media tra le fessure
 ϕ = Diametro della barra
 A_c = Area complessiva dei ferri nell'area di calcestruzzo efficace
 A_{c,eff} = Area di calcestruzzo efficace
 σ_s = Tensione nell'acciaio nella sezione fessurata
 σ_{sr} = Tensione nell'acciaio corrispondente al raggiungimento della resistenza a trazione nel calcestruzzo
 ϵ_{sm} = Deformazione unitaria media dell'armatura (*1000)
 Wk = Apertura delle fessure
 Tipo = Tipologia
 2C = Doppia C lato labbri
 2Cdx = Doppia C lato costola
 2I = Doppia I
 2L = Doppia L lato labbri
 2Ldx = Doppia L lato costole
 C = Sezione a C
 Cdx = C destra
 Cir. = Circolare
 Cir.c = Circolare cava
 I = Sezione a I
 L = Sezione a L
 Ldx = L destra
 Om. = Omega
 Pg = Pi greco
 Pr = Poligono regolare
 Prc = Poligono regolare cavo
 Pc = Per coordinate
 Ia = Inerzie assegnate
 R = Rettangolare
 Rc = Rettangolare cava
 T = Sezione a T
 U = Sezione a U
 Ur = U rovescia
 V = Sezione a V
 Vr = V rovescia
 Z = Sezione a Z
 Zdx = Z destra
 Ts = T stondata
 Ls = L stondata
 Cs = C stondata
 Is = I stondata
 Dis. = Disegnata
 B = Base
 H = Altezza
 Cf sup = Copriferro superiore
 Cf inf = Copriferro inferiore
 Cls = Tipo di calcestruzzo
 Fck = Resistenza caratteristica cilindrica a compressione del calcestruzzo
 Fctk = Resistenza caratteristica a trazione del calcestruzzo
 Fcd = Resistenza di calcolo a compressione del calcestruzzo
 Fctd = Resistenza di calcolo a trazione del calcestruzzo
 Tp = Tipo di acciaio
 Fyk = Tensione caratteristica di snervamento dell'acciaio
 Fyd = Resistenza di calcolo dell'acciaio

Travata n. 101

Nodi: 101 102 103 104 105 106 107 108 109

Caratteristiche delle sezioni e dei materiali utilizzati

Sez.	Tipo	B <cm>	H <cm>	Cf sup <cm>	Cf inf <cm>	Cls	Fck <daN/cmq>	Fctk <daN/cmq>	Fcd <daN/cmq>	Fctd <daN/cmq>	Tp	Fyk <daN/cmq>	Fyd <daN/cmq>
2R		30.00	40.00	5.50	5.50	C30/37	307.10	20.59	174.02	13.73	B450C	4500.00	3913.04

Stato limite ultimo - Verifiche a flessione/pressoflessione

Xg <m>	CC	TCC	El	X <cm>	AfE S <cmq>	AfE I <cmq>	AfEP S <cmq>	AfEP I <cmq>	My <daNm>	MRdy <daNm>	Sic.
0.15	30	SLU	1	15.00	6.03	6.03	6.03	6.03	-1062.37	-7591.97	7.146
3.75	29	SLU	1	375.00	6.03	6.03	6.03	6.03	-1060.45	-7591.97	7.159
4.05	29	SLU	1	405.00	6.03	6.03	6.03	6.03	-1060.45	-7591.97	7.159
4.65	30	SLU	2	30.00	6.03	6.03	6.03	6.03	-1875.43	-7591.97	4.048
8.25	29	SLU	2	390.00	6.03	6.03	6.03	6.03	-812.00	-7591.97	9.350
8.85	30	SLU	3	30.00	6.03	6.03	6.03	6.03	-1753.01	-7591.97	4.331
12.12	29	SLU	3	357.27	6.03	6.03	6.03	6.03	-834.79	-7591.97	9.095
12.45	29	SLU	3	390.00	6.03	6.03	6.03	6.03	-834.79	-7591.97	9.095
13.05	30	SLU	4	30.00	6.03	6.03	6.03	6.03	-1762.12	-7591.97	4.308
16.65	29	SLU	4	390.00	6.03	6.03	6.03	6.03	-830.50	-7591.97	9.141
17.25	30	SLU	5	30.00	6.03	6.03	6.03	6.03	-1790.34	-7591.97	4.241
20.55	29	SLU	5	360.00	6.03	6.03	6.03	6.03	-850.38	-7591.97	8.928
20.85	29	SLU	5	390.00	6.03	6.03	6.03	6.03	-850.38	-7591.97	8.928
21.45	30	SLU	6	30.00	6.03	6.03	6.03	6.03	-1498.85	-7591.97	5.065
25.20	29	SLU	6	405.00	6.03	6.03	6.03	6.03	-868.55	-7591.97	8.741
25.50	25	SLU	7	15.00	6.03	6.03	6.03	6.03	-813.87	-7591.97	9.328
28.75	29	SLU	7	340.00	12.06	12.06	12.06	12.06	-656.11	-14455.40	22.032
29.40	29	SLU	7	405.00	6.03	6.03	6.03	6.03	-1000.14	-7591.97	7.591
29.70	30	SLU	8	15.00	6.03	6.03	6.03	6.03	-1304.63	-7591.97	5.819
33.44	30	SLU	8	388.85	6.03	6.03	6.03	6.03	649.86	7591.97	11.682
33.75	29	SLU	8	420.00	6.03	6.03	6.03	6.03	-530.62	-7591.97	14.308

Stato limite elastico - Verifiche a flessione/pressoflessione

Xg <m>	CC	TCC	El	X <cm>	AfE S <cmq>	AfE I <cmq>	AfEP S <cmq>	AfEP I <cmq>	My <daNm>	M'ydy <daNm>	Sic.
0.15	13	SND	1	15.00	6.03	6.03	6.03	6.03	-3462.11	-7208.01	2.082
3.75	1	SND	1	375.00	6.03	6.03	6.03	6.03	-4291.00	-7208.01	1.680
4.05	1	SND	1	405.00	6.03	6.03	6.03	6.03	-4291.00	-7208.01	1.680
4.65	13	SND	2	30.00	6.03	6.03	6.03	6.03	-4962.55	-7208.01	1.452
8.25	1	SND	2	390.00	6.03	6.03	6.03	6.03	-4798.06	-7208.01	1.502
8.85	13	SND	3	30.00	6.03	6.03	6.03	6.03	-4739.18	-7208.01	1.521
12.12	1	SND	3	357.27	6.03	6.03	6.03	6.03	-4747.54	-7208.01	1.518
12.45	1	SND	3	390.00	6.03	6.03	6.03	6.03	-4747.54	-7208.01	1.518
13.05	13	SND	4	30.00	6.03	6.03	6.03	6.03	-4752.42	-7208.01	1.517
16.65	1	SND	4	390.00	6.03	6.03	6.03	6.03	-4728.27	-7208.01	1.524
17.25	13	SND	5	30.00	6.03	6.03	6.03	6.03	-4841.67	-7208.01	1.489
20.55	1	SND	5	360.00	6.03	6.03	6.03	6.03	-4970.81	-7208.01	1.450
20.85	1	SND	5	390.00	6.03	6.03	6.03	6.03	-4970.81	-7208.01	1.450
21.45	13	SND	6	30.00	6.03	6.03	6.03	6.03	-3931.32	-7208.01	1.833
25.20	1	SND	6	405.00	6.03	6.03	6.03	6.03	-3047.92	-7208.01	2.365
25.50	13	SND	7	15.00	6.03	6.03	6.03	6.03	-2049.56	-7208.01	3.517
28.75	1	SND	7	340.00	12.06	12.06	12.06	12.06	-1824.65	-13982.20	7.663
29.40	1	SND	7	405.00	6.03	6.03	6.03	6.03	-2274.05	-7208.01	3.170
29.70	13	SND	8	15.00	6.03	6.03	6.03	6.03	-2911.67	-7208.01	2.476
33.44	1	SND	8	388.85	6.03	6.03	6.03	6.03	-3015.32	-7208.01	2.390
33.75	1	SND	8	420.00	6.03	6.03	6.03	6.03	-3015.32	-7208.01	2.390

Stato limite d'esercizio - Verifiche tensionali

Xg <m>	CC	TCC	El	X <cm>	AfE S <cmq>	AfE I <cmq>	My <daNm>	σ _e sup <daN/cmq>	σ _e inf <daN/cmq>	σ _c <daN/cmq>	
0.15	34	SLE	R	1	15.00	6.03	6.03	-732.65	397.77	-85.51	11.81
0.15	28	SLE	Q	1	15.00	6.03	6.03	-302.65	164.32	-35.32	4.88
3.75	33	SLE	R	1	375.00	6.03	6.03	-762.60	414.04	-89.01	12.29
3.75	28	SLE	Q	1	375.00	6.03	6.03	-698.63	379.31	-81.54	11.26
4.05	33	SLE	R	1	405.00	6.03	6.03	-762.60	414.04	-89.01	12.29
4.05	28	SLE	Q	1	405.00	6.03	6.03	-698.63	379.31	-81.54	11.26
4.65	34	SLE	R	2	30.00	6.03	6.03	-1295.84	703.54	-151.25	20.89
4.65	28	SLE	Q	2	30.00	6.03	6.03	-570.00	309.46	-66.53	9.19
8.25	33	SLE	R	2	390.00	6.03	6.03	-581.39	315.65	-67.86	9.37
8.25	28	SLE	Q	2	390.00	6.03	6.03	-500.52	271.75	-58.42	8.07
8.85	34	SLE	R	3	30.00	6.03	6.03	-1210.41	657.17	-141.28	19.51
8.85	28	SLE	Q	3	30.00	6.03	6.03	-521.73	283.26	-60.89	8.41
12.12	33	SLE	R	3	357.27	6.03	6.03	-598.06	324.70	-69.80	9.64
12.12	28	SLE	Q	3	357.27	6.03	6.03	-519.19	281.88	-60.60	8.37
12.45	33	SLE	R	3	390.00	6.03	6.03	-598.06	324.70	-69.80	9.64
12.45	28	SLE	Q	3	390.00	6.03	6.03	-519.19	281.88	-60.60	8.37

Relazione di calcolo

13.05	34	SLE R	4	30.00	6.03	6.03	-1216.88	660.68	-142.03	19.62
13.05	28	SLE Q	4	30.00	6.03	6.03	-526.78	286.00	-61.48	8.49
16.65	33	SLE R	4	390.00	6.03	6.03	-594.99	323.04	-69.44	9.59
16.65	28	SLE Q	4	390.00	6.03	6.03	-516.38	280.36	-60.27	8.32
17.25	34	SLE R	5	30.00	6.03	6.03	-1235.42	670.74	-144.19	19.92
17.25	28	SLE Q	5	30.00	6.03	6.03	-522.66	283.76	-61.00	8.43
20.55	33	SLE R	5	360.00	6.03	6.03	-608.85	330.56	-71.06	9.82
20.55	28	SLE Q	5	360.00	6.03	6.03	-525.54	285.33	-61.34	8.47
20.85	33	SLE R	5	390.00	6.03	6.03	-608.85	330.56	-71.06	9.82
20.85	28	SLE Q	5	390.00	6.03	6.03	-525.54	285.33	-61.34	8.47
21.45	34	SLE R	6	30.00	6.03	6.03	-1043.46	566.52	-121.79	16.82
21.45	28	SLE Q	6	30.00	6.03	6.03	-559.15	303.58	-65.26	9.01
25.20	33	SLE R	6	405.00	6.03	6.03	-626.06	339.91	-73.07	10.09
25.20	28	SLE Q	6	405.00	6.03	6.03	-582.39	316.20	-67.97	9.39
25.50	26	SLE R	7	15.00	6.03	6.03	-589.89	320.27	-68.85	9.51
25.50	28	SLE Q	7	15.00	6.03	6.03	-589.00	319.79	-68.75	9.50
28.75	33	SLE R	7	340.00	12.06	12.06	-473.40	131.86	-45.98	5.31
28.75	28	SLE Q	7	340.00	12.06	12.06	-449.73	125.27	-43.68	5.05
29.40	33	SLE R	7	405.00	6.03	6.03	-722.36	392.19	-84.31	11.65
29.40	28	SLE Q	7	405.00	6.03	6.03	-695.03	377.35	-81.12	11.20
29.70	34	SLE R	8	15.00	6.03	6.03	-930.62	505.25	-108.62	15.00
29.70	28	SLE Q	8	15.00	6.03	6.03	-759.32	412.26	-88.62	12.24
33.44	34	SLE R	8	388.85	6.03	6.03	449.41	-52.45	244.00	7.25
33.44	28	SLE Q	8	388.85	6.03	6.03	-328.92	178.58	-38.39	5.30
33.75	33	SLE R	8	420.00	6.03	6.03	-379.95	206.28	-44.35	6.13
33.75	28	SLE Q	8	420.00	6.03	6.03	-328.92	178.58	-38.39	5.30

Stato limite d'esercizio - Verifiche a fessurazione

Caso	Xg	CC	TCC	El	Sez.	Crit.	X	My	c	s	K3	s _m	Φ	A _s	A _{s,eff}	σ _s	σ _{sr}	ε _{sm}	Wk
	<m>						<cm>	<daNm>	<mm>	<mm>		<mm>		<cmq>	<cmq>	<daN/cmq>	<daN/cmq>		<mm>
30	0.15	28	SLE Q	1	2	1	15.00	-302.65	47.00	95.00	0.15	188.24	16.00	6.03	486.13	164.32	1898.01	0.03	0.01
33	0.15	36	SLE F	1	2	1	15.00	-562.26	47.00	95.00	0.15	188.24	16.00	6.03	486.13	305.27	1898.01	0.06	0.02
68	3.75	28	SLE Q	1	2	1	375.00	-698.63	47.00	95.00	0.15	188.24	16.00	6.03	486.13	379.31	1898.01	0.07	0.02
73	3.75	37	SLE F	1	2	1	375.00	-711.43	47.00	95.00	0.15	188.24	16.00	6.03	486.13	386.25	1898.01	0.07	0.02
105	4.05	28	SLE Q	1	2	1	405.00	-698.63	47.00	95.00	0.15	188.24	16.00	6.03	486.13	379.31	1898.01	0.07	0.02
109	4.05	37	SLE F	1	2	1	405.00	-711.43	47.00	95.00	0.15	188.24	16.00	6.03	486.13	386.25	1898.01	0.07	0.02
138	4.65	28	SLE Q	2	2	1	30.00	-570.00	47.00	95.00	0.15	188.24	16.00	6.03	486.13	309.46	1898.01	0.06	0.02
141	4.65	36	SLE F	2	2	1	30.00	-1004.85	47.00	95.00	0.15	188.24	16.00	6.03	486.13	545.56	1898.01	0.11	0.03
172	8.25	28	SLE Q	2	2	1	390.00	-500.52	47.00	95.00	0.15	188.24	16.00	6.03	486.13	271.75	1898.01	0.05	0.02
177	8.25	37	SLE F	2	2	1	390.00	-516.70	47.00	95.00	0.15	188.24	16.00	6.03	486.13	280.53	1898.01	0.05	0.02
206	8.85	28	SLE Q	3	2	1	30.00	-521.73	47.00	95.00	0.15	188.24	16.00	6.03	486.13	283.26	1898.01	0.06	0.02
209	8.85	36	SLE F	3	2	1	30.00	-934.97	47.00	95.00	0.15	188.24	16.00	6.03	486.13	507.62	1898.01	0.10	0.03
240	12.12	28	SLE Q	3	2	1	357.27	-519.19	47.00	95.00	0.15	188.24	16.00	6.03	486.13	281.88	1898.01	0.05	0.02
245	12.12	37	SLE F	3	2	1	357.27	-534.96	47.00	95.00	0.15	188.24	16.00	6.03	486.13	290.44	1898.01	0.06	0.02
276	12.45	28	SLE Q	3	2	1	390.00	-519.19	47.00	95.00	0.15	188.24	16.00	6.03	486.13	281.88	1898.01	0.05	0.02
281	12.45	37	SLE F	3	2	1	390.00	-534.96	47.00	95.00	0.15	188.24	16.00	6.03	486.13	290.44	1898.01	0.06	0.02
310	13.05	28	SLE Q	4	2	1	30.00	-526.78	47.00	95.00	0.15	188.24	16.00	6.03	486.13	286.00	1898.01	0.06	0.02
313	13.05	36	SLE F	4	2	1	30.00	-940.79	47.00	95.00	0.15	188.24	16.00	6.03	486.13	510.78	1898.01	0.10	0.03
344	16.65	28	SLE Q	4	2	1	390.00	-516.38	47.00	95.00	0.15	188.24	16.00	6.03	486.13	280.36	1898.01	0.05	0.02
349	16.65	37	SLE F	4	2	1	390.00	-532.11	47.00	95.00	0.15	188.24	16.00	6.03	486.13	288.89	1898.01	0.06	0.02
378	17.25	28	SLE Q	5	2	1	30.00	-522.66	47.00	95.00	0.15	188.24	16.00	6.03	486.13	283.76	1898.01	0.06	0.02
381	17.25	36	SLE F	5	2	1	30.00	-950.28	47.00	95.00	0.15	188.24	16.00	6.03	486.13	515.93	1898.01	0.10	0.03
412	20.55	28	SLE Q	5	2	1	360.00	-525.54	47.00	95.00	0.15	188.24	16.00	6.03	486.13	285.33	1898.01	0.06	0.02
417	20.55	37	SLE F	5	2	1	360.00	-542.20	47.00	95.00	0.15	188.24	16.00	6.03	486.13	294.37	1898.01	0.06	0.02
448	20.85	28	SLE Q	5	2	1	390.00	-525.54	47.00	95.00	0.15	188.24	16.00	6.03	486.13	285.33	1898.01	0.06	0.02
453	20.85	37	SLE F	5	2	1	390.00	-542.20	47.00	95.00	0.15	188.24	16.00	6.03	486.13	294.37	1898.01	0.06	0.02
482	21.45	28	SLE Q	6	2	1	30.00	-559.15	47.00	95.00	0.15	188.24	16.00	6.03	486.13	303.58	1898.01	0.06	0.02
485	21.45	36	SLE F	6	2	1	30.00	-849.62	47.00	95.00	0.15	188.24	16.00	6.03	486.13	461.28	1898.01	0.09	0.03
515	25.20	28	SLE Q	6	2	1	405.00	-582.39	47.00	95.00	0.15	188.24	16.00	6.03	486.13	316.20	1898.01	0.06	0.02
519	25.20	37	SLE F	6	2	1	405.00	-591.13	47.00	95.00	0.15	188.24	16.00	6.03	486.13	320.94	1898.01	0.06	0.02
548	25.50	28	SLE Q	7	2	1	15.00	-589.00	47.00	95.00	0.15	188.24	16.00	6.03	486.13	319.79	1898.01	0.06	0.02
550	25.50	27	SLE F	7	2	1	15.00	-589.18	47.00	95.00	0.15	188.24	16.00	6.03	486.13	319.88	1898.01	0.06	0.02
592	28.75	28	SLE Q	7	2	1	340.00	-449.73	47.00	38.00	0.15	139.65	16.00	12.06	491.69	125.27	1160.79	0.02	0.01
600	28.75	37	SLE F	7	2	1	340.00	-454.46	47.00	38.00	0.15	139.65	16.00	12.06	491.69	126.58	1160.79	0.02	0.01
632	29.40	28	SLE Q	7	2	1	405.00	-695.03	47.00	95.00	0.15	188.24	16.00	6.03	486.13	377.35	1898.01	0.07	0.02
636	29.40	37	SLE F	7	2	1	405.00	-700.50	47.00	95.00	0.15	188.24	16.00	6.03	486.13	380.32	1898.01	0.07	0.02
664	29.70	28	SLE Q	8	2	1	15.00	-759.32	47.00	95.00	0.15	188.24	16.00	6.03	486.13	412.26	1898.01	0.08	0.03
667	29.70	36	SLE F	8	2	1	15.00	-860.28	47.00	95.00	0.15	188.24	16.00	6.03	486.13	467.07	1898.01	0.09	0.03
705	33.44	28	SLE Q	8	2	1	388.85	-328.92	47.00	95.00	0.15	188.24	16.00	6.03	486.13	178.58	1898.01	0.03	0.01
712	33.44	36	SLE F	8	2	1	388.85	349.03	47.00	95.00	0.15	188.24	16.00	6.03	486.13	189.50	1898.01	0.04	0.01
747	33.75	28	SLE Q	8	2	1	420.00	-328.92	47.00	95.00	0.15	188.24	16.00	6.03	486.13	178.58	1898.01	0.03	0.01
752	33.75	37	SLE F	8	2	1	420.00	-339.12	47.00	95.00	0.15	188.24	16.00	6.03	486.13	184.12	1898.01	0.04	0.01

Staffe - Verifiche armatura

CC	X0	X1	Lung.	Staff.	AfE St.	bw	Vsdu	ctgθ	VRsd	VRcd	Vrdu	Sic.T	
	<m>	<m>	<m>		<cmq/m>	<m>	<daN>		<daN>	<daN>	<daN>		
13	SND	0.15	0.55	0.40	Ø8/ 8 2 br.	12.57	0.30	2604.70	2.08	31692.10	31692.10	31692.10	12.17
1	SND	0.55	3.65	3.10	Ø8/20 2 br.	5.03	0.30	2607.77	2.50	15268.10	27948.80	15268.10	5.85
1	SND	3.65	4.05	0.40	Ø8/ 8 2 br.	12.57	0.30	2807.77	2.08	31692.10	31692.10	31692.10	11.29
13	SND	4.65	5.05	0.40	Ø8/ 8 2 br.	12.57	0.30	3333.21	2.08	31692.10	31692.10	31692.10	9.51
13	SND	5.05	7.85	2.80	Ø8/20 2 br.	5.03	0.30	3133.21	2.50	15268.10	27948.80	15268.10	4.87
1	SND	7.85	8.25	0.40	Ø8/ 8 2 br.	12.57	0.30	3294.62	2.08	31692.10	31692.10	31692.10	9.62
13	SND	8.85	9.25	0.40	Ø8/ 8 2 br.								

Relazione di calcolo

0.15	34	SLE R	1	15.00	6.03	6.03	-732.65	397.77	-85.51	11.81
0.15	28	SLE Q	1	15.00	6.03	6.03	-302.65	164.32	-35.32	4.88
3.75	26	SLE R	1	375.00	6.03	6.03	-693.11	376.31	-80.90	11.17
3.75	28	SLE Q	1	375.00	6.03	6.03	-698.63	379.31	-81.54	11.26
4.05	26	SLE R	1	405.00	6.03	6.03	-693.11	376.31	-80.90	11.17
4.05	28	SLE Q	1	405.00	6.03	6.03	-698.63	379.31	-81.54	11.26
4.65	34	SLE R	2	30.00	6.03	6.03	-1295.84	703.54	-151.25	20.89
4.65	28	SLE Q	2	30.00	6.03	6.03	-570.00	309.46	-66.53	9.19
8.25	26	SLE R	2	390.00	6.03	6.03	-501.42	272.23	-58.52	8.08
8.25	28	SLE Q	2	390.00	6.03	6.03	-500.52	271.75	-58.42	8.07
8.85	34	SLE R	3	30.00	6.03	6.03	-1210.41	657.17	-141.28	19.51
8.85	28	SLE Q	3	30.00	6.03	6.03	-521.73	283.26	-60.89	8.41
12.12	26	SLE R	3	357.27	6.03	6.03	-519.22	281.90	-60.60	8.37
12.12	28	SLE Q	3	357.27	6.03	6.03	-519.19	281.88	-60.60	8.37
12.45	26	SLE R	3	390.00	6.03	6.03	-519.22	281.90	-60.60	8.37
12.45	28	SLE Q	3	390.00	6.03	6.03	-519.19	281.88	-60.60	8.37
13.05	34	SLE R	4	30.00	6.03	6.03	-1216.88	660.68	-142.03	19.62
13.05	28	SLE Q	4	30.00	6.03	6.03	-526.78	286.00	-61.48	8.49
16.65	26	SLE R	4	390.00	6.03	6.03	-516.51	280.43	-60.28	8.33
16.65	28	SLE Q	4	390.00	6.03	6.03	-516.38	280.36	-60.27	8.32
17.25	34	SLE R	5	30.00	6.03	6.03	-1235.42	670.74	-144.19	19.92
17.25	28	SLE Q	5	30.00	6.03	6.03	-522.66	283.76	-61.00	8.43
20.55	26	SLE R	5	360.00	6.03	6.03	-525.60	285.36	-61.35	8.47
20.55	28	SLE Q	5	360.00	6.03	6.03	-525.54	285.33	-61.34	8.47
20.85	26	SLE R	5	390.00	6.03	6.03	-525.60	285.36	-61.35	8.47
20.85	28	SLE Q	5	390.00	6.03	6.03	-525.54	285.33	-61.34	8.47
21.45	34	SLE R	6	30.00	6.03	6.03	-1043.46	566.52	-121.79	16.82
21.45	28	SLE Q	6	30.00	6.03	6.03	-559.15	303.58	-65.26	9.01
25.20	26	SLE R	6	405.00	6.03	6.03	-582.95	316.50	-68.04	9.40
25.20	28	SLE Q	6	405.00	6.03	6.03	-582.39	316.20	-67.97	9.39
25.50	33	SLE R	7	15.00	6.03	6.03	-617.95	335.50	-72.13	9.96
25.50	28	SLE Q	7	15.00	6.03	6.03	-589.00	319.79	-68.75	9.50
28.75	26	SLE R	7	340.00	12.06	12.06	-447.66	124.69	-43.48	5.02
28.75	28	SLE Q	7	340.00	12.06	12.06	-449.73	125.27	-43.68	5.05
29.40	26	SLE R	7	405.00	6.03	6.03	-692.75	376.11	-80.85	11.17
29.40	28	SLE Q	7	405.00	6.03	6.03	-695.03	377.35	-81.12	11.20
29.70	34	SLE R	8	15.00	6.03	6.03	-930.62	505.25	-108.62	15.00
29.70	28	SLE Q	8	15.00	6.03	6.03	-759.32	412.26	-88.62	12.24
33.44	34	SLE R	8	388.85	6.03	6.03	449.41	-52.45	244.00	7.25
33.44	28	SLE Q	8	388.85	6.03	6.03	-328.92	178.58	-38.39	5.30
33.75	26	SLE R	8	420.00	6.03	6.03	-332.69	180.63	-38.83	5.36
33.75	28	SLE Q	8	420.00	6.03	6.03	-328.92	178.58	-38.39	5.30

Stato limite d'esercizio - Verifiche a fessurazione

Caso	Xg <m>	CC	TCC	El	Sez.	Crit.	X <cm>	My <daNm>	c <mm>	s <mm>	K3	s _{em} <mm>	Φ	A _s <cmq>	A _{c, eff} <cmq>	σ _s <daN/cmq>	σ _{sz} <daN/cmq>	ε _{sm}	Wk <mm>
26	0.15	28	SLE Q	1	2	1	15.00	-302.65	47.00	95.00	0.15	188.24	16.00	6.03	486.13	164.32	1898.01	0.03	0.01
29	0.15	36	SLE F	1	2	1	15.00	-562.26	47.00	95.00	0.15	188.24	16.00	6.03	486.13	305.27	1898.01	0.06	0.02
63	3.75	28	SLE Q	1	2	1	375.00	-698.63	47.00	95.00	0.15	188.24	16.00	6.03	486.13	379.31	1898.01	0.07	0.02
65	3.75	27	SLE F	1	2	1	375.00	-697.53	47.00	95.00	0.15	188.24	16.00	6.03	486.13	378.71	1898.01	0.07	0.02
100	4.05	28	SLE Q	1	2	1	405.00	-698.63	47.00	95.00	0.15	188.24	16.00	6.03	486.13	379.31	1898.01	0.07	0.02
102	4.05	27	SLE F	1	2	1	405.00	-697.53	47.00	95.00	0.15	188.24	16.00	6.03	486.13	378.71	1898.01	0.07	0.02
133	4.65	28	SLE Q	2	2	1	30.00	-570.00	47.00	95.00	0.15	188.24	16.00	6.03	486.13	309.46	1898.01	0.06	0.02
136	4.65	36	SLE F	2	2	1	30.00	-1004.85	47.00	95.00	0.15	188.24	16.00	6.03	486.13	545.56	1898.01	0.11	0.03
167	8.25	28	SLE Q	2	2	1	390.00	-500.52	47.00	95.00	0.15	188.24	16.00	6.03	486.13	271.75	1898.01	0.05	0.02
169	8.25	27	SLE F	2	2	1	390.00	-500.70	47.00	95.00	0.15	188.24	16.00	6.03	486.13	271.85	1898.01	0.05	0.02
201	8.85	28	SLE Q	3	2	1	30.00	-521.73	47.00	95.00	0.15	188.24	16.00	6.03	486.13	283.26	1898.01	0.06	0.02
204	8.85	36	SLE F	3	2	1	30.00	-934.97	47.00	95.00	0.15	188.24	16.00	6.03	486.13	507.62	1898.01	0.10	0.03
239	12.12	28	SLE Q	3	2	1	357.27	-519.19	47.00	95.00	0.15	188.24	16.00	6.03	486.13	281.88	1898.01	0.05	0.02
241	12.12	27	SLE F	3	2	1	357.27	-519.20	47.00	95.00	0.15	188.24	16.00	6.03	486.13	281.88	1898.01	0.05	0.02
276	12.45	28	SLE Q	3	2	1	390.00	-519.19	47.00	95.00	0.15	188.24	16.00	6.03	486.13	281.88	1898.01	0.05	0.02
278	12.45	27	SLE F	3	2	1	390.00	-519.20	47.00	95.00	0.15	188.24	16.00	6.03	486.13	281.88	1898.01	0.05	0.02
310	13.05	28	SLE Q	4	2	1	30.00	-526.78	47.00	95.00	0.15	188.24	16.00	6.03	486.13	286.00	1898.01	0.06	0.02
313	13.05	36	SLE F	4	2	1	30.00	-940.79	47.00	95.00	0.15	188.24	16.00	6.03	486.13	510.78	1898.01	0.10	0.03
344	16.65	28	SLE Q	4	2	1	390.00	-516.38	47.00	95.00	0.15	188.24	16.00	6.03	486.13	280.36	1898.01	0.05	0.02
346	16.65	27	SLE F	4	2	1	390.00	-516.41	47.00	95.00	0.15	188.24	16.00	6.03	486.13	280.37	1898.01	0.05	0.02
378	17.25	28	SLE Q	5	2	1	30.00	-522.66	47.00	95.00	0.15	188.24	16.00	6.03	486.13	283.76	1898.01	0.06	0.02
381	17.25	36	SLE F	5	2	1	30.00	-950.28	47.00	95.00	0.15	188.24	16.00	6.03	486.13	515.93	1898.01	0.10	0.03
416	20.55	28	SLE Q	5	2	1	360.00	-525.54	47.00	95.00	0.15	188.24	16.00	6.03	486.13	285.33	1898.01	0.06	0.02
418	20.55	27	SLE F	5	2	1	360.00	-525.55	47.00	95.00	0.15	188.24	16.00	6.03	486.13	285.33	1898.01	0.06	0.02
452	20.85	28	SLE Q	5	2	1	390.00	-525.54	47.00	95.00	0.15	188.24	16.00	6.03	486.13	285.33	1898.01	0.06	0.02
454	20.85	27	SLE F	5	2	1	390.00	-525.55	47.00	95.00	0.15	188.24	16.00	6.03	486.13	285.33	1898.01	0.06	0.02
486	21.45	28	SLE Q	6	2	1	30.00	-559.15	47.00	95.00	0.15	188.24	16.00	6.03	486.13	303.58	1898.01	0.06	0.02
489	21.45	36	SLE F	6	2	1	30.00	-849.62	47.00	95.00	0.15	188.24	16.00	6.03	486.13	461.28	1898.01	0.09	0.03
519	25.20	28	SLE Q	6	2	1	405.00	-582.39	47.00	95.00	0.15	188.24	16.00	6.03	486.13	316.20	1898.01	0.06	0.02
521	25.20	27	SLE F	6	2	1	405.00	-582.50	47.00	95.00	0.15	188.24	16.00	6.03	486.13	316.26	1898.01	0.06	0.02
552	25.50	28	SLE Q	7	2	1	15.00	-589.00	47.00	95.00	0.15	188.24	16.00	6.03	486.13	319.79	1898.01	0.06	0.02
556	25.50	37	SLE F	7	2	1	15.00	-594.79	47.00	95.00	0.15	188.24	16.00	6.03	486.13	322.93	1898.01	0.06	0.02
596	28.75	28	SLE Q	7	2	1	340.00	-449.73	47.00	38.00	0.15	139.65	16.00	12.06	491.69	125.27	1160.79	0.02	0.01
600	28.75	27	SLE F	7	2	1	340.00	-449.31	47.00	38.00	0.15	139.65	16.00	12.06	491.69	125.15	1160.79	0.02	0.01
636	29.40	28	SLE Q	7	2	1	405.00	-695.03	47.00	95.00	0.15	188.24	16.00	6.03	486.13	377.35	1898.01	0.07	0.02
638	29.40	27	SLE F	7	2	1	405.00	-694.57	47.00	95.00	0.15	188.24	16.00	6.03	486.13	377.10	1898.01	0.07	0.02
668	29.70	28	SLE Q	8	2	1	15.00	-759.32	47.00	95.00	0.15	188.24	16.00	6.03	486.13	412.26	1898.01	0.08	0.03
671	29.70	36	SLE F	8	2	1	15.00	-860.28	47.00	95.00	0.15	188.24	16.00	6.03	486.13	467.07	1898.01	0.09	0.03
709	33.44	28	SLE Q	8	2	1	388.85	-328.92	47.00	95.00	0.15	188.24	16.00	6.03	486.13	178.58	1898.01	0.03	0.01
716	33.44	36	SLE F	8	2	1	388.85	349.03	47.00	95.00	0.15	188.24	16.00	6.03	486.13	189.50	1898.01	0.04	0.01

Relazione di calcolo

755	33.75	28	SLE Q	8	2	1	420.00	-328.92	47.00	95.00	0.15	188.24	16.00	6.03	486.13	178.58	1898.01	0.03	0.01
757	33.75	27	SLE F	8	2	1	420.00	-329.67	47.00	95.00	0.15	188.24	16.00	6.03	486.13	178.99	1898.01	0.03	0.01

Staffe - Verifiche armatura

CC	X0 <m>	X1 <m>	Lung. <m>	Staff.	AfE St. <cmq/m>	bw <m>	Vsdu <daN>	ctgθ	VRsd <daN>	VRcd <daN>	Vrdu <daN>	Sic.T
1 SND	0.15	0.55	0.40	ø8/ 8 2 br.	12.57	0.30	2604.70	2.08	31692.10	31692.10	31692.10	12.17
13 SND	0.55	3.65	3.10	ø8/20 2 br.	5.03	0.30	2607.77	2.50	15268.10	27948.80	15268.10	5.85
13 SND	3.65	4.05	0.40	ø8/ 8 2 br.	12.57	0.30	2807.77	2.08	31692.10	31692.10	31692.10	11.29
1 SND	4.65	5.05	0.40	ø8/ 8 2 br.	12.57	0.30	3333.21	2.08	31692.10	31692.10	31692.10	9.51
1 SND	5.05	7.85	2.80	ø8/20 2 br.	5.03	0.30	3133.21	2.50	15268.10	27948.80	15268.10	4.87
13 SND	7.85	8.25	0.40	ø8/ 8 2 br.	12.57	0.30	3294.62	2.08	31692.10	31692.10	31692.10	9.62
1 SND	8.85	9.25	0.40	ø8/ 8 2 br.	12.57	0.30	3246.76	2.08	31692.10	31692.10	31692.10	9.76
1 SND	9.25	12.05	2.80	ø8/20 2 br.	5.03	0.30	3046.76	2.50	15268.10	27948.80	15268.10	5.01
13 SND	12.05	12.45	0.40	ø8/ 8 2 br.	12.57	0.30	3245.35	2.08	31692.10	31692.10	31692.10	9.77
1 SND	13.05	13.45	0.40	ø8/ 8 2 br.	12.57	0.30	3246.64	2.08	31692.10	31692.10	31692.10	9.76
1 SND	13.45	16.25	2.80	ø8/20 2 br.	5.03	0.30	3046.64	2.50	15268.10	27948.80	15268.10	5.01
13 SND	16.25	16.65	0.40	ø8/ 8 2 br.	12.57	0.30	3240.87	2.08	31692.10	31692.10	31692.10	9.78
1 SND	17.25	17.65	0.40	ø8/ 8 2 br.	12.57	0.30	3333.72	2.08	31692.10	31692.10	31692.10	9.51
13 SND	17.65	20.45	2.80	ø8/20 2 br.	5.03	0.30	3135.32	2.50	15268.10	27948.80	15268.10	4.87
13 SND	20.45	20.85	0.40	ø8/ 8 2 br.	12.57	0.30	3335.32	2.08	31692.10	31692.10	31692.10	9.50
1 SND	21.45	21.85	0.40	ø8/ 8 2 br.	12.57	0.30	2488.02	2.08	31692.10	31692.10	31692.10	12.74
13 SND	21.85	24.80	2.95	ø8/20 2 br.	5.03	0.30	2300.41	2.50	15268.10	27948.80	15268.10	6.64
13 SND	24.80	25.20	0.40	ø8/ 8 2 br.	12.57	0.30	2500.41	2.08	31692.10	31692.10	31692.10	12.67
1 SND	25.50	25.90	0.40	ø8/ 8 2 br.	12.57	0.30	1727.19	2.08	31692.10	31692.10	31692.10	18.35
13 SND	25.90	29.00	3.10	ø8/20 2 br.	5.03	0.30	1581.56	2.50	15268.10	27948.80	15268.10	9.65
13 SND	29.00	29.40	0.40	ø8/ 8 2 br.	12.57	0.30	1781.56	2.08	31692.10	31692.10	31692.10	17.79
1 SND	29.70	30.10	0.40	ø8/ 8 2 br.	12.57	0.30	2313.52	2.08	31692.10	31692.10	31692.10	13.70
1 SND	30.10	33.35	3.25	ø8/20 2 br.	5.03	0.30	2113.52	2.50	15268.10	27948.80	15268.10	7.22
13 SND	33.35	33.75	0.40	ø8/ 8 2 br.	12.57	0.30	2100.98	2.08	31692.10	31692.10	31692.10	15.08

Travata n. 103

Nodi: 101 110

Caratteristiche delle sezioni e dei materiali utilizzati

Sez.	Tipo	B <cm>	H <cm>	Cf sup <cm>	Cf inf <cm>	Cls	Fck <daN/cmq>	Fctk <daN/cmq>	Fcd <daN/cmq>	Fctd <daN/cmq>	Tp	Fyk <daN/cmq>	Fyd <daN/cmq>
1R		30.00	50.00	5.50	5.50	C30/37	307.10	20.59	174.02	13.73	B450C	4500.00	3913.04

Stato limite ultimo - Verifiche a flessione/pressoflessione

Xg <m>	CC	TCC	El	X <cm>	AfE S <cmq>	AfE I <cmq>	AfEP S <cmq>	AfEP I <cmq>	My <daNm>	MRdy <daNm>	Sic.
0.45	29	SLU	1	45.00	12.06	8.04	12.06	8.04	-9951.35	-19163.70	1.926
5.43	29	SLU	1	542.60	8.04	8.04	8.04	8.04	5930.34	13036.60	2.198
6.67	25	SLU	1	667.00	12.06	8.04	12.06	8.04	-7099.36	-19163.70	2.699

Stato limite elastico - Verifiche a flessione/pressoflessione

Xg <m>	CC	TCC	El	X <cm>	AfE S <cmq>	AfE I <cmq>	AfEP S <cmq>	AfEP I <cmq>	My <daNm>	M'ydy <daNm>	Sic.
0.45	7	SND	1	45.00	12.06	8.04	12.06	8.04	-16791.20	-18387.00	1.095
5.43	19	SND	1	542.60	8.04	8.04	8.04	8.04	-10091.20	-12497.20	1.238
6.67	19	SND	1	667.00	12.06	8.04	12.06	8.04	-16791.20	-18387.00	1.095

Stato limite d'esercizio - Verifiche tensionali

Xg <m>	CC	TCC	El	X <cm>	AfE S <cmq>	AfE I <cmq>	My <daNm>	σ _f sup <daN/cmq>	σ _f inf <daN/cmq>	σ _c <daN/cmq>
0.45	33	SLE R	1	45.00	12.06	8.04	-6993.31	1482.25	-550.70	55.83
0.45	28	SLE Q	1	45.00	12.06	8.04	-4585.73	971.96	-361.11	36.61
5.43	33	SLE R	1	542.60	8.04	8.04	4184.26	-341.36	1309.72	38.28
5.43	28	SLE Q	1	542.60	8.04	8.04	2935.61	-239.49	918.88	26.86
6.67	26	SLE R	1	667.00	12.06	8.04	-5091.99	1079.26	-400.98	40.65
6.67	28	SLE Q	1	667.00	12.06	8.04	-4585.74	971.96	-361.11	36.61

Stato limite d'esercizio - Verifiche a fessurazione

Caso	Xg <m>	CC	TCC	El	Sez.	Crit.	X <cm>	My <daNm>	c <mm>	s <mm>	K3	s _{sm} <mm>	φ	A _s <cmq>	A _c eff <cmq>	σ _s <daN/cmq>	σ _{sc} <daN/cmq>	ε _{sm}	Wk <mm>
26	0.45	28	SLE Q	1	1	1	45.00	-4585.73	47.00	38.00	0.16	144.50	16.00	12.06	491.69	971.96	1310.52	0.19	0.05
29	0.45	36	SLE F	1	1	1	45.00	-5091.98	47.00	38.00	0.16	144.50	16.00	12.06	491.69	1079.26	1310.52	0.21	0.05
69	5.43	28	SLE Q	1	1	1	542.60	2935.61	47.00	63.33	0.17	171.65	16.00	8.04	489.88	918.88	1786.84	0.18	0.05
75	5.43	36	SLE F	1	1	1	542.60	3266.05	47.00	63.33	0.17	171.65	16.00	8.04	489.88	1022.31	1786.84	0.20	0.06
107	6.67	28	SLE Q	1	1	1	667.00	-4585.74	47.00	38.00	0.16	144.50	16.00	12.06	491.69	971.96	1310.52	0.19	0.05
110	6.67	36	SLE F	1	1	1	667.00	-5091.99	47.00	38.00	0.16	144.50	16.00	12.06	491.69	1079.26	1310.52	0.21	0.05

Staffe - Verifiche armatura

CC	X0	X1	Lung.	Staff.	AfE St.	bw	Vsdu	ctgθ	VRsd	VRcd	Vrdu	Sic.T
----	----	----	-------	--------	---------	----	------	------	------	------	------	-------

Relazione di calcolo

	<m>	<m>	<m>		<cmq/m>	<m>	<daN>		<daN>	<daN>	<daN>	
29 SLU	0.45	0.95	0.50	ø8/10 2 br.	10.05	0.30	9869.99	2.37	37401.50	37401.50	37401.50	3.79
19 SND	0.95	6.17	5.22	ø8/20 2 br.	5.03	0.30	8774.63	2.50	19693.70	36049.80	19693.70	2.24
19 SND	6.17	6.67	0.50	ø8/10 2 br.	10.05	0.30	9703.76	2.37	37401.50	37401.50	37401.50	3.85

Travata n. 104

Nodi: 102 111

Caratteristiche delle sezioni e dei materiali utilizzati

Sez.	Tipo	B	H	Cf sup	Cf inf	Cls	Fck	Fctk	Fcd	Fctd	TP	Fyk	Fyd
		<cm>	<cm>	<cm>	<cm>		<daN/cmq>	<daN/cmq>	<daN/cmq>	<daN/cmq>		<daN/cmq>	<daN/cmq>
1R		30.00	50.00	5.50	5.50	C30/37	307.10	20.59	174.02	13.73	B450C	4500.00	3913.04

Stato limite ultimo - Verifiche a flessione/pressoflessione

Xg	CC	TCC	El	X	Afe S	Afe I	Afep S	Afep I	My	MRdy	Sic.
<m>				<cm>	<cmq>	<cmq>	<cmq>	<cmq>	<daNm>	<daNm>	
0.15	29	SLU	1	15.00	10.05	6.03	10.05	6.03	-11760.40	-16106.10	1.370
3.24	29	SLU	1	323.92	8.04	12.06	8.04	12.06	17344.40	19163.70	1.105
6.97	25	SLU	1	697.00	10.05	6.03	10.05	6.03	-10970.50	-16106.10	1.468

Stato limite elastico - Verifiche a flessione/pressoflessione

Xg	CC	TCC	El	X	Afe S	Afe I	Afep S	Afep I	My	M'ydy	Sic.
<m>				<cm>	<cmq>	<cmq>	<cmq>	<cmq>	<daNm>	<daNm>	
0.15	7	SND	1	15.00	10.05	6.03	10.05	6.03	-12718.50	-15423.00	1.213
3.24	19	SND	1	323.92	8.04	12.06	8.04	12.06	11477.90	18387.00	1.602
6.97	19	SND	1	697.00	10.05	6.03	10.05	6.03	-12718.50	-15423.00	1.213

Stato limite d'esercizio - Verifiche tensionali

Xg	CC	TCC	El	X	Afe S	Afe I	My	σ _f sup	σ _f inf	σ _c
<m>				<cm>	<cmq>	<cmq>	<daNm>	<daN/cmq>	<daN/cmq>	<daN/cmq>
0.15	33	SLE R	1	15.00	10.05	6.03	-8408.47	2127.32	-714.69	74.37
0.15	28	SLE Q	1	15.00	10.05	6.03	-6910.85	1748.42	-587.40	61.12
3.24	33	SLE R	1	323.92	8.04	12.06	12460.50	-981.22	2641.04	99.47
3.24	28	SLE Q	1	323.92	8.04	12.06	10927.30	-860.49	2316.08	87.23
6.97	26	SLE R	1	697.00	10.05	6.03	-7881.82	1994.08	-669.92	69.71
6.97	28	SLE Q	1	697.00	10.05	6.03	-6910.84	1748.42	-587.40	61.12

Stato limite d'esercizio - Verifiche a fessurazione

Caso	Xg	CC	TCC	El	Sez.	Crit.	X	My	c	s	K3	s _{sm}	Φ	A _s	A _{c,eff}	σ _s	σ _{st}	ε _{sm}	Wk
	<m>						<cm>	<daNm>	<mm>	<mm>		<mm>		<cmq>	<cmq>	<daN/cmq>	<daN/cmq>		<mm>
30	0.15	28	SLE Q	1	1	1	15.00	-6910.85	47.00	47.50	0.16	154.90	16.00	10.05	491.13	1748.42	1481.44	0.54	0.14
33	0.15	36	SLE F	1	1	1	15.00	-7881.82	47.00	47.50	0.16	154.90	16.00	10.05	491.13	1994.08	1481.44	0.70	0.18
62	3.24	28	SLE Q	1	1	1	323.92	10927.30	47.00	38.00	0.16	144.50	16.00	12.06	491.69	2316.08	1310.52	0.94	0.23
65	3.24	36	SLE F	1	1	1	323.92	12456.60	47.00	38.00	0.16	144.50	16.00	12.06	491.69	2640.21	1310.52	1.12	0.28
98	6.97	28	SLE Q	1	1	1	697.00	-6910.84	47.00	47.50	0.16	154.90	16.00	10.05	491.13	1748.42	1481.44	0.54	0.14
101	6.97	36	SLE F	1	1	1	697.00	-7881.82	47.00	47.50	0.16	154.90	16.00	10.05	491.13	1994.08	1481.44	0.70	0.18

Staffe - Verifiche armatura

CC	X0	X1	Lung.	Staff.	Afe St.	bw	Vsdu	ctgθ	VRsd	VRcd	Vrdu	Sic.T
	<m>	<m>	<cm>		<cmq/m>	<cm>	<daN>		<daN>	<daN>	<daN>	
29 SLU	0.15	0.65	0.50	ø8/10 2 br.	10.05	0.30	15910.50	2.37	37401.50	37401.50	37401.50	2.35
29 SLU	0.65	6.47	5.82	ø8/20 2 br.	5.03	0.30	13611.60	2.50	19693.70	36049.80	19693.70	1.45
25 SLU	6.47	6.97	0.50	ø8/10 2 br.	10.05	0.30	15678.90	2.37	37401.50	37401.50	37401.50	2.39

Travata n. 105

Nodi: 103 112

Caratteristiche delle sezioni e dei materiali utilizzati

Sez.	Tipo	B	H	Cf sup	Cf inf	Cls	Fck	Fctk	Fcd	Fctd	TP	Fyk	Fyd
		<cm>	<cm>	<cm>	<cm>		<daN/cmq>	<daN/cmq>	<daN/cmq>	<daN/cmq>		<daN/cmq>	<daN/cmq>
1R		30.00	50.00	5.50	5.50	C30/37	307.10	20.59	174.02	13.73	B450C	4500.00	3913.04

Stato limite ultimo - Verifiche a flessione/pressoflessione

Xg	CC	TCC	El	X	Afe S	Afe I	Afep S	Afep I	My	MRdy	Sic.
<m>				<cm>	<cmq>	<cmq>	<cmq>	<cmq>	<daNm>	<daNm>	
0.15	29	SLU	1	15.00	10.05	12.57	10.05	12.57	-11049.20	-16108.50	1.458
3.25	29	SLU	1	325.00	8.04	12.57	8.04	12.57	17469.00	19924.60	1.141
6.97	25	SLU	1	697.00	10.05	12.57	10.05	12.57	-10435.90	-16108.50	1.544

Stato limite elastico - Verifiche a flessione/pressoflessione

Xg	CC	TCC	El	X	Afe S	Afe I	Afep S	Afep I	My	M'ydy	Sic.
<m>				<cm>	<cmq>	<cmq>	<cmq>	<cmq>	<daNm>	<daNm>	

Relazione di calcolo

					<cmq>	<cmq>	<cmq>	<cmq>			
0.15	7	SND	1	15.00	10.05	12.57	10.05	12.57	-11564.70	-15532.20	1.343
3.25	19	SND	1	325.00	8.04	12.57	8.04	12.57	11421.80	19110.10	1.673
6.97	19	SND	1	697.00	10.05	12.57	10.05	12.57	-11564.70	-15532.20	1.343

Stato limite d'esercizio - Verifiche tensionali

Xg	CC	TCC	El	X	AfE S	AfE I	My	σ_ϵ sup	σ_ϵ inf	σ_c
<m>				<cm>	<cmq>	<cmq>	<daNm>	<daN/cmq>	<daN/cmq>	<daN/cmq>
0.15	33	SLE R	1	15.00	10.05	12.57	-7907.62	1990.17	-560.92	61.38
0.15	28	SLE Q	1	15.00	10.05	12.57	-6578.65	1655.70	-466.65	51.06
3.25	33	SLE R	1	325.00	8.04	12.57	12551.80	-984.11	2558.40	98.91
3.25	28	SLE Q	1	325.00	8.04	12.57	11009.70	-863.21	2244.08	86.76
6.97	26	SLE R	1	697.00	10.05	12.57	-7498.75	1887.27	-531.91	58.21
6.97	28	SLE Q	1	697.00	10.05	12.57	-6578.64	1655.70	-466.65	51.06

Stato limite d'esercizio - Verifiche a fessurazione

Caso	Xg	CC	TCC	El	Sez.	Crit.	X	My	c	s	K3	s_{zm}	Φ	A_s	$A_{c\text{ eff}}$	σ_s	σ_{sz}	ϵ_{sm}	Wk
	<m>						<cm>	<daNm>	<mm>	<mm>		<mm>		<cmq>	<cmq>	<daN/cmq>	<daN/cmq>		<mm>
30	0.15	28	SLE Q	1	1	1	15.00	-6578.65	47.00	47.50	0.17	156.03	16.00	10.05	491.13	1655.70	1543.46	0.45	0.12
33	0.15	36	SLE F	1	1	1	15.00	-7498.76	47.00	47.50	0.17	156.03	16.00	10.05	491.13	1887.27	1543.46	0.61	0.16
62	3.25	28	SLE Q	1	1	1	325.00	11009.70	45.00	63.33	0.15	157.49	20.00	12.57	574.82	2244.08	1272.27	0.91	0.24
65	3.25	36	SLE F	1	1	1	325.00	12549.40	45.00	63.33	0.15	157.49	20.00	12.57	574.82	2557.90	1272.27	1.09	0.29
98	6.97	28	SLE Q	1	1	1	697.00	-6578.64	47.00	47.50	0.17	156.03	16.00	10.05	491.13	1655.70	1543.46	0.45	0.12
101	6.97	36	SLE F	1	1	1	697.00	-7498.75	47.00	47.50	0.17	156.03	16.00	10.05	491.13	1887.27	1543.46	0.61	0.16

Staffe - Verifiche armatura

CC	X0	X1	Lung.	Staff.	AfE St.	bw	Vsdu	ctg θ	VRsd	VRcd	Vrdu	Sic.T	
	<m>	<m>	<m>		<cmq/m>	<m>	<daN>		<daN>	<daN>	<daN>		
29	SLU	0.15	0.65	0.50	\varnothing 8/10 2 br.	10.05	0.30	15612.80	2.37	37401.50	37401.50	37401.50	2.40
29	SLU	0.65	6.47	5.82	\varnothing 8/20 2 br.	5.03	0.30	13349.90	2.50	19693.70	36049.80	19693.70	1.48
25	SLU	6.47	6.97	0.50	\varnothing 8/10 2 br.	10.05	0.30	15433.00	2.37	37401.50	37401.50	37401.50	2.42

Travata n. 106

Nodi: 104 113

Caratteristiche delle sezioni e dei materiali utilizzati

Sez.	Tipo	B	H	Cf sup	Cf inf	Cls	Fck	Fctk	Fcd	Fctd	Tp	Fyk	Fyd
		<cm>	<cm>	<cm>	<cm>		<daN/cmq>	<daN/cmq>	<daN/cmq>	<daN/cmq>		<daN/cmq>	<daN/cmq>
1	R	30.00	50.00	5.50	5.50	C30/37	307.10	20.59	174.02	13.73	B450C	4500.00	3913.04

Stato limite ultimo - Verifiche a flessione/pressoflessione

Xg	CC	TCC	El	X	AfE S	AfE I	AfEP S	AfEP I	My	MRdy	Sic.
<m>				<cm>	<cmq>	<cmq>	<cmq>	<cmq>	<daNm>	<daNm>	
0.15	29	SLU	1	15.00	10.05	12.57	10.05	12.57	-10921.80	-16108.50	1.475
3.11	29	SLU	1	311.23	8.04	12.57	8.04	12.57	17486.70	19924.60	1.139
6.97	25	SLU	1	697.00	10.05	12.57	10.05	12.57	-10417.80	-16108.50	1.546

Stato limite elastico - Verifiche a flessione/pressoflessione

Xg	CC	TCC	El	X	AfE S	AfE I	AfEP S	AfEP I	My	M'ydy	Sic.
<m>				<cm>	<cmq>	<cmq>	<cmq>	<cmq>	<daNm>	<daNm>	
0.15	7	SND	1	15.00	10.05	12.57	10.05	12.57	-10922.60	-15532.20	1.422
3.11	19	SND	1	311.23	8.04	12.57	8.04	12.57	11336.80	19110.10	1.686
6.97	19	SND	1	697.00	10.05	12.57	10.05	12.57	-10922.60	-15532.20	1.422

Stato limite d'esercizio - Verifiche tensionali

Xg	CC	TCC	El	X	AfE S	AfE I	My	σ_ϵ sup	σ_ϵ inf	σ_c
<m>				<cm>	<cmq>	<cmq>	<daNm>	<daN/cmq>	<daN/cmq>	<daN/cmq>
0.15	33	SLE R	1	15.00	10.05	12.57	-7821.70	1968.54	-554.82	60.71
0.15	28	SLE Q	1	15.00	10.05	12.57	-6567.24	1652.82	-465.84	50.97
3.11	33	SLE R	1	311.23	8.04	12.57	12564.90	-985.14	2561.07	99.02
3.11	28	SLE Q	1	311.23	8.04	12.57	11022.30	-864.19	2246.64	86.86
6.97	26	SLE R	1	697.00	10.05	12.57	-7485.70	1883.98	-530.99	58.10
6.97	28	SLE Q	1	697.00	10.05	12.57	-6567.24	1652.83	-465.84	50.97

Stato limite d'esercizio - Verifiche a fessurazione

Caso	Xg	CC	TCC	El	Sez.	Crit.	X	My	c	s	K3	s_{zm}	Φ	A_s	$A_{c\text{ eff}}$	σ_s	σ_{sz}	ϵ_{sm}	Wk
	<m>						<cm>	<daNm>	<mm>	<mm>		<mm>		<cmq>	<cmq>	<daN/cmq>	<daN/cmq>		<mm>
30	0.15	28	SLE Q	1	1	1	15.00	-6567.24	47.00	47.50	0.17	156.03	16.00	10.05	491.13	1652.82	1543.46	0.45	0.12
33	0.15	36	SLE F	1	1	1	15.00	-7485.69	47.00	47.50	0.17	156.03	16.00	10.05	491.13	1883.98	1543.46	0.61	0.16
62	3.11	28	SLE Q	1	1	1	311.23	11022.30	45.00	63.33	0.15	157.49	20.00	12.57	574.82	2246.64	1272.27	0.92	0.25
65	3.11	36	SLE F	1	1	1	311.23	12563.80	45.00	63.33	0.15	157.49	20.00	12.57	574.82	2560.83	1272.27	1.09	0.29
98	6.97	28	SLE Q	1	1	1	697.00	-6567.24	47.00	47.50	0.17	156.03	16.00	10.05	491.13	1652.83	1543.46	0.45	0.12
101	6.97	36	SLE F	1	1	1	697.00	-7485.70	47.00	47.50	0.17	156.03	16.00	10.05	491.13	1883.98	1543.46	0.61	0.16

Relazione di calcolo

Staffe - Verifiche armatura

CC	X0 <m>	X1 <m>	Lung. <m>	Staff.	AfE St. <cmq/m>	bw <m>	Vsdu <daN>	ctgθ	VRsd <daN>	VRcd <daN>	Vrdu <daN>	Sic.T
29 SLU	0.15	0.65	0.50	ø8/10 2 br.	10.05	0.30	15580.80	2.37	37401.50	37401.50	37401.50	2.40
29 SLU	0.65	6.47	5.82	ø8/20 2 br.	5.03	0.30	13317.90	2.50	19693.70	36049.80	19693.70	1.48
25 SLU	6.47	6.97	0.50	ø8/10 2 br.	10.05	0.30	15433.00	2.37	37401.50	37401.50	37401.50	2.42

Travata n. 107

Nodi: 105 114

Caratteristiche delle sezioni e dei materiali utilizzati

Sez.	Tipo	B <cm>	H <cm>	Cf sup <cm>	Cf inf <cm>	Cls	Fck <daN/cmq>	Fctk <daN/cmq>	Fcd <daN/cmq>	Fctd <daN/cmq>	Tp	Fyk <daN/cmq>	Fyd <daN/cmq>
1R		30.00	50.00	5.50	5.50	C30/37	307.10	20.59	174.02	13.73	B450C	4500.00	3913.04

Stato limite ultimo - Verifiche a flessione/pressoflessione

Xg <m>	CC	TCC	El	X <cm>	AfE S <cmq>	AfE I <cmq>	AfEP S <cmq>	AfEP I <cmq>	My <daNm>	MRdy <daNm>	Sic.
0.15	29	SLU	1	15.00	10.05	12.57	10.05	12.57	-10838.30	-16108.50	1.486
3.17	29	SLU	1	317.43	8.04	12.57	8.04	12.57	17464.30	19924.60	1.141
6.97	25	SLU	1	697.00	10.05	12.57	10.05	12.57	-10438.10	-16108.50	1.543

Stato limite elastico - Verifiche a flessione/pressoflessione

Xg <m>	CC	TCC	El	X <cm>	AfE S <cmq>	AfE I <cmq>	AfEP S <cmq>	AfEP I <cmq>	My <daNm>	M'ydy <daNm>	Sic.
0.15	7	SND	1	15.00	10.05	12.57	10.05	12.57	-10332.10	-15532.20	1.503
3.17	19	SND	1	317.43	8.04	12.57	8.04	12.57	11241.60	19110.10	1.700
6.97	19	SND	1	697.00	10.05	12.57	10.05	12.57	-10332.10	-15532.20	1.503

Stato limite d'esercizio - Verifiche tensionali

Xg <m>	CC	TCC	El	X <cm>	AfE S <cmq>	AfE I <cmq>	My <daNm>	σ _ε sup <daN/cmq>	σ _ε inf <daN/cmq>	σ _c <daN/cmq>
0.15	33	SLE R	1	15.00	10.05	12.57	-7767.14	1954.81	-550.95	60.29
0.15	28	SLE Q	1	15.00	10.05	12.57	-6580.00	1656.04	-466.74	51.07
3.17	33	SLE R	1	317.43	8.04	12.57	12548.70	-983.87	2557.76	98.89
3.17	28	SLE Q	1	317.43	8.04	12.57	11008.20	-863.09	2243.78	86.75
6.97	26	SLE R	1	697.00	10.05	12.57	-7500.34	1887.67	-532.03	58.22
6.97	28	SLE Q	1	697.00	10.05	12.57	-6580.02	1656.04	-466.74	51.07

Stato limite d'esercizio - Verifiche a fessurazione

Caso	Xg <m>	CC	TCC	El	Sez.	Crit.	X <cm>	My <daNm>	c <mm>	s <mm>	K3	s _m <mm>	Φ	A _s <cmq>	A _c eff <cmq>	σ _s <daN/cmq>	σ _{sz} <daN/cmq>	ε _{sm}	Wk <mm>
30	0.15	28	SLE Q	1	1	1	15.00	-6580.00	47.00	47.50	0.17	156.03	16.00	10.05	491.13	1656.04	1543.46	0.45	0.12
33	0.15	36	SLE F	1	1	1	15.00	-7500.32	47.00	47.50	0.17	156.03	16.00	10.05	491.13	1887.66	1543.46	0.61	0.16
62	3.17	28	SLE Q	1	1	1	317.43	11008.20	45.00	63.33	0.15	157.49	20.00	12.57	574.82	2243.78	1272.27	0.91	0.24
65	3.17	36	SLE F	1	1	1	317.43	12547.70	45.00	63.33	0.15	157.49	20.00	12.57	574.82	2557.55	1272.27	1.09	0.29
98	6.97	28	SLE Q	1	1	1	697.00	-6580.02	47.00	47.50	0.17	156.03	16.00	10.05	491.13	1656.04	1543.46	0.45	0.12
101	6.97	36	SLE F	1	1	1	697.00	-7500.34	47.00	47.50	0.17	156.03	16.00	10.05	491.13	1887.67	1543.46	0.61	0.16

Staffe - Verifiche armatura

CC	X0 <m>	X1 <m>	Lung. <m>	Staff.	AfE St. <cmq/m>	bw <m>	Vsdu <daN>	ctgθ	VRsd <daN>	VRcd <daN>	Vrdu <daN>	Sic.T
29 SLU	0.15	0.65	0.50	ø8/10 2 br.	10.05	0.30	15550.30	2.37	37401.50	37401.50	37401.50	2.41
29 SLU	0.65	6.47	5.82	ø8/20 2 br.	5.03	0.30	13287.40	2.50	19693.70	36049.80	19693.70	1.48
25 SLU	6.47	6.97	0.50	ø8/10 2 br.	10.05	0.30	15433.00	2.37	37401.50	37401.50	37401.50	2.42

Travata n. 108

Nodi: 106 115

Caratteristiche delle sezioni e dei materiali utilizzati

Sez.	Tipo	B <cm>	H <cm>	Cf sup <cm>	Cf inf <cm>	Cls	Fck <daN/cmq>	Fctk <daN/cmq>	Fcd <daN/cmq>	Fctd <daN/cmq>	Tp	Fyk <daN/cmq>	Fyd <daN/cmq>
1R		30.00	50.00	5.50	5.50	C30/37	307.10	20.59	174.02	13.73	B450C	4500.00	3913.04

Stato limite ultimo - Verifiche a flessione/pressoflessione

Xg <m>	CC	TCC	El	X <cm>	AfE S <cmq>	AfE I <cmq>	AfEP S <cmq>	AfEP I <cmq>	My <daNm>	MRdy <daNm>	Sic.
0.15	29	SLU	1	15.00	10.05	12.57	10.05	12.57	-11069.20	-16108.50	1.455
3.21	29	SLU	1	320.88	8.04	12.57	8.04	12.57	17151.50	19924.60	1.162
6.97	25	SLU	1	697.00	10.05	12.57	10.05	12.57	-10722.00	-16108.50	1.502

Stato limite elastico - Verifiche a flessione/pressoflessione

Relazione di calcolo

Xg <m>	CC	TCC	El	X <cm>	Afe S <cmq>	Afe I <cmq>	Afep S <cmq>	Afep I <cmq>	My <daNm>	M'ydy <daNm>	Sic.
0.15	19	SND	1	15.00	10.05	12.57	10.05	12.57	-10175.40	-15532.20	1.526
3.21	7	SND	1	320.88	8.04	12.57	8.04	12.57	11005.40	19110.10	1.736
6.97	7	SND	1	697.00	10.05	12.57	10.05	12.57	-10175.40	-15532.20	1.526

Stato limite d'esercizio - Verifiche tensionali

Xg <m>	CC	TCC	El	X <cm>	Afe S <cmq>	Afe I <cmq>	My <daNm>	σ _ε sup <daN/cmq>	σ _ε inf <daN/cmq>	σ _c <daN/cmq>
0.15	33	SLE R	1	15.00	10.05	12.57	-7936.39	1997.41	-562.96	61.60
0.15	28	SLE Q	1	15.00	10.05	12.57	-6758.56	1700.98	-479.41	52.46
3.21	33	SLE R	1	320.88	8.04	12.57	12323.40	-966.20	2511.84	97.11
3.21	28	SLE Q	1	320.88	8.04	12.57	10811.80	-847.69	2203.74	85.20
6.97	26	SLE R	1	697.00	10.05	12.57	-7704.92	1939.16	-546.54	59.81
6.97	28	SLE Q	1	697.00	10.05	12.57	-6758.57	1700.98	-479.41	52.46

Stato limite d'esercizio - Verifiche a fessurazione

Caso	Xg <m>	CC	TCC	El	Sez.	Crit.	X <cm>	My <daNm>	c <mm>	s <mm>	K3	s _{zm} <mm>	Φ	A _s <cmq>	A _c eff <cmq>	σ _s <daN/cmq>	σ _{sr} <daN/cmq>	ε _{sm}	Wk <mm>
30	0.15	28	SLE Q	1	1	1	15.00	-6758.56	47.00	47.50	0.17	156.03	16.00	10.05	491.13	1700.98	1543.46	0.49	0.13
33	0.15	36	SLE F	1	1	1	15.00	-7704.91	47.00	47.50	0.17	156.03	16.00	10.05	491.13	1939.15	1543.46	0.64	0.17
62	3.21	28	SLE Q	1	1	1	320.88	10811.80	45.00	63.33	0.15	157.49	20.00	12.57	574.82	2203.74	1272.27	0.89	0.24
65	3.21	36	SLE F	1	1	1	320.88	12322.60	45.00	63.33	0.15	157.49	20.00	12.57	574.82	2511.68	1272.27	1.06	0.28
98	6.97	28	SLE Q	1	1	1	697.00	-6758.57	47.00	47.50	0.17	156.03	16.00	10.05	491.13	1700.98	1543.46	0.49	0.13
101	6.97	36	SLE F	1	1	1	697.00	-7704.92	47.00	47.50	0.17	156.03	16.00	10.05	491.13	1939.16	1543.46	0.64	0.17

Staffe - Verifiche armatura

CC	X0 <m>	X1 <m>	Lung. <m>	Staff.	Afe St. <cmq/m>	bw <m>	Vsdu <daN>	ctgθ	VRsd <daN>	VRcd <daN>	Vrdu <daN>	Sic.T	
29	SLU	0.15	0.65	0.50	∅8/10 2 br.	10.05	0.30	15534.80	2.37	37401.50	37401.50	37401.50	2.41
29	SLU	0.65	6.47	5.82	∅8/20 2 br.	5.03	0.30	13271.90	2.50	19693.70	36049.80	19693.70	1.48
25	SLU	6.47	6.97	0.50	∅8/10 2 br.	10.05	0.30	15433.00	2.37	37401.50	37401.50	37401.50	2.42

Travata n. 109

Nodi: 107 116

Caratteristiche delle sezioni e dei materiali utilizzati

Sez.	Tipo	B <cm>	H <cm>	Cf sup <cm>	Cf inf <cm>	Cls	Fck <daN/cmq>	Fctk <daN/cmq>	Fcd <daN/cmq>	Fctd <daN/cmq>	Tp	Fyk <daN/cmq>	Fyd <daN/cmq>
1	R	30.00	50.00	5.50	5.50	C30/37	307.10	20.59	174.02	13.73	B450C	4500.00	3913.04

Stato limite ultimo - Verifiche a flessione/pressoflessione

Xg <m>	CC	TCC	El	X <cm>	Afe S <cmq>	Afe I <cmq>	Afep S <cmq>	Afep I <cmq>	My <daNm>	MRdy <daNm>	Sic.
0.45	29	SLU	1	45.00	10.05	12.57	10.05	12.57	-13642.60	-16108.50	1.181
3.21	29	SLU	1	321.45	8.04	12.57	8.04	12.57	12459.60	19924.60	1.599
6.67	25	SLU	1	667.00	10.05	12.57	10.05	12.57	-12038.30	-16108.50	1.338

Stato limite elastico - Verifiche a flessione/pressoflessione

Xg <m>	CC	TCC	El	X <cm>	Afe S <cmq>	Afe I <cmq>	Afep S <cmq>	Afep I <cmq>	My <daNm>	M'ydy <daNm>	Sic.
0.45	19	SND	1	45.00	10.05	12.57	10.05	12.57	-13624.70	-15532.20	1.140
3.21	7	SND	1	321.45	8.04	12.57	8.04	12.57	8535.27	19110.10	2.239
6.67	7	SND	1	667.00	10.05	12.57	10.05	12.57	-13624.70	-15532.20	1.140

Stato limite d'esercizio - Verifiche tensionali

Xg <m>	CC	TCC	El	X <cm>	Afe S <cmq>	Afe I <cmq>	My <daNm>	σ _ε sup <daN/cmq>	σ _ε inf <daN/cmq>	σ _c <daN/cmq>
0.45	33	SLE R	1	45.00	10.05	12.57	-9680.17	2436.28	-686.65	75.14
0.45	28	SLE Q	1	45.00	10.05	12.57	-7616.38	1916.87	-540.26	59.12
3.21	33	SLE R	1	321.45	8.04	12.57	8910.61	-698.63	1816.22	70.22
3.21	28	SLE Q	1	321.45	8.04	12.57	7862.89	-616.48	1602.67	61.96
6.67	26	SLE R	1	667.00	10.05	12.57	-8610.63	2167.10	-610.78	66.84
6.67	28	SLE Q	1	667.00	10.05	12.57	-7616.39	1916.87	-540.26	59.12

Stato limite d'esercizio - Verifiche a fessurazione

Caso	Xg <m>	CC	TCC	El	Sez.	Crit.	X <cm>	My <daNm>	c <mm>	s <mm>	K3	s _{zm} <mm>	Φ	A _s <cmq>	A _c eff <cmq>	σ _s <daN/cmq>	σ _{sr} <daN/cmq>	ε _{sm}	Wk <mm>
30	0.45	28	SLE Q	1	1	1	45.00	-7616.38	47.00	47.50	0.17	156.03	16.00	10.05	491.13	1916.87	1543.46	0.63	0.17
33	0.45	36	SLE F	1	1	1	45.00	-8610.62	47.00	47.50	0.17	156.03	16.00	10.05	491.13	2167.10	1543.46	0.79	0.21
62	3.21	28	SLE Q	1	1	1	321.45	7862.89	45.00	63.33	0.15	157.49	20.00	12.57	574.82	1602.67	1272.27	0.53	0.14
65	3.21	36	SLE F	1	1	1	321.45	8891.77	45.00	63.33	0.15	157.49	20.00	12.57	574.82	1812.38	1272.27	0.66	0.18
98	6.67	28	SLE Q	1	1	1	667.00	-7616.39	47.00	47.50	0.17	156.03	16.00	10.05	491.13	1916.87	1543.46	0.63	0.17
101	6.67	36	SLE F	1	1	1	667.00	-8610.63	47.00	47.50	0.17	156.03	16.00	10.05	491.13	2167.10	1543.46	0.79	0.21

Staffe - Verifiche armatura

CC	X0 <m>	X1 <m>	Lung. <m>	Staff.	AfE St. <cmq/m>	bw <m>	Vsdu <daN>	ctgθ	VRsd <daN>	VRcd <daN>	Vrdu <daN>	Sic.T
29 SLU	0.45	0.95	0.50	ø8/10 2 br.	10.05	0.30	15524.10	2.37	37401.50	37401.50	37401.50	2.41
29 SLU	0.95	6.17	5.22	ø8/20 2 br.	5.03	0.30	13111.20	2.50	19693.70	36049.80	19693.70	1.50
25 SLU	6.17	6.67	0.50	ø8/10 2 br.	10.05	0.30	15008.20	2.37	37401.50	37401.50	37401.50	2.49

Travata n. 110

Nodi: 108 117

Caratteristiche delle sezioni e dei materiali utilizzati

Sez.	Tipo	B <cm>	H <cm>	Cf sup <cm>	Cf inf <cm>	Cls	Fck <daN/cmq>	Fctk <daN/cmq>	Fcd <daN/cmq>	Fctd <daN/cmq>	Tp	Fyk <daN/cmq>	Fyd <daN/cmq>
1R		30.00	50.00	5.50	5.50	C30/37	307.10	20.59	174.02	13.73	B450C	4500.00	3913.04

Stato limite ultimo - Verifiche a flessione/pressoflessione

Xg <m>	CC	TCC	El	X <cm>	AfE S <cmq>	AfE I <cmq>	AfEP S <cmq>	AfEP I <cmq>	My <daNm>	MRdy <daNm>	Sic.
0.45	29	SLU	1	45.00	10.05	12.57	10.05	12.57	-13798.00	-16108.50	1.167
4.15	29	SLU	1	415.26	8.04	12.57	8.04	12.57	12470.60	19924.60	1.598
6.67	25	SLU	1	667.00	10.05	12.57	10.05	12.57	-12371.10	-16108.50	1.302

Stato limite elastico - Verifiche a flessione/pressoflessione

Xg <m>	CC	TCC	El	X <cm>	AfE S <cmq>	AfE I <cmq>	AfEP S <cmq>	AfEP I <cmq>	My <daNm>	M'ydy <daNm>	Sic.
0.45	19	SND	1	45.00	10.05	12.57	10.05	12.57	-13531.10	-15532.20	1.148
4.15	19	SND	1	415.26	8.04	12.57	8.04	12.57	8469.99	19110.10	2.256
6.67	7	SND	1	667.00	10.05	12.57	10.05	12.57	-13531.10	-15532.20	1.148

Stato limite d'esercizio - Verifiche tensionali

Xg <m>	CC	TCC	El	X <cm>	AfE S <cmq>	AfE I <cmq>	My <daNm>	σ _ε sup <daN/cmq>	σ _ε inf <daN/cmq>	σ _c <daN/cmq>
0.45	33	SLE R	1	45.00	10.05	12.57	-9799.93	2466.42	-695.14	76.07
0.45	28	SLE Q	1	45.00	10.05	12.57	-7822.40	1968.72	-554.87	60.72
4.15	33	SLE R	1	415.26	8.04	12.57	8917.83	-699.20	1817.70	70.28
4.15	28	SLE Q	1	415.26	8.04	12.57	7857.23	-616.04	1601.52	61.92
6.67	26	SLE R	1	667.00	10.05	12.57	-8848.71	2227.02	-627.67	68.68
6.67	28	SLE Q	1	667.00	10.05	12.57	-7822.42	1968.73	-554.87	60.72

Stato limite d'esercizio - Verifiche a fessurazione

Caso	Xg <m>	CC	TCC	El	Sez.	Crit.	X <cm>	My <daNm>	c <mm>	s <mm>	K3	s _{zm} <mm>	Φ	A _s <cmq>	A _c eff <cmq>	σ _s <daN/cmq>	σ _{sz} <daN/cmq>	ε _{sm}	Wk <mm>
30	0.45	28	SLE Q	1	1	1	45.00	-7822.40	47.00	47.50	0.17	156.03	16.00	10.05	491.13	1968.72	1543.46	0.66	0.18
33	0.45	36	SLE F	1	1	1	45.00	-8848.68	47.00	47.50	0.17	156.03	16.00	10.05	491.13	2227.01	1543.46	0.82	0.22
62	4.15	28	SLE Q	1	1	1	415.26	7857.23	45.00	63.33	0.15	157.49	20.00	12.57	574.82	1601.52	1272.27	0.53	0.14
65	4.15	36	SLE F	1	1	1	415.26	8886.87	45.00	63.33	0.15	157.49	20.00	12.57	574.82	1811.39	1272.27	0.66	0.18
98	6.67	28	SLE Q	1	1	1	667.00	-7822.42	47.00	47.50	0.17	156.03	16.00	10.05	491.13	1968.73	1543.46	0.66	0.18
101	6.67	36	SLE F	1	1	1	667.00	-8848.71	47.00	47.50	0.17	156.03	16.00	10.05	491.13	2227.02	1543.46	0.82	0.22

Staffe - Verifiche armatura

CC	X0 <m>	X1 <m>	Lung. <m>	Staff.	AfE St. <cmq/m>	bw <m>	Vsdu <daN>	ctgθ	VRsd <daN>	VRcd <daN>	Vrdu <daN>	Sic.T
29 SLU	0.45	0.95	0.50	ø8/10 2 br.	10.05	0.30	15691.30	2.37	37401.50	37401.50	37401.50	2.38
29 SLU	0.95	6.17	5.22	ø8/20 2 br.	5.03	0.30	13242.30	2.50	19693.70	36049.80	19693.70	1.49
25 SLU	6.17	6.67	0.50	ø8/10 2 br.	10.05	0.30	15232.50	2.37	37401.50	37401.50	37401.50	2.46

Travata n. 111

Nodi: 109 118

Caratteristiche delle sezioni e dei materiali utilizzati

Sez.	Tipo	B <cm>	H <cm>	Cf sup <cm>	Cf inf <cm>	Cls	Fck <daN/cmq>	Fctk <daN/cmq>	Fcd <daN/cmq>	Fctd <daN/cmq>	Tp	Fyk <daN/cmq>	Fyd <daN/cmq>
1R		30.00	50.00	5.50	5.50	C30/37	307.10	20.59	174.02	13.73	B450C	4500.00	3913.04

Stato limite ultimo - Verifiche a flessione/pressoflessione

Xg <m>	CC	TCC	El	X <cm>	AfE S <cmq>	AfE I <cmq>	AfEP S <cmq>	AfEP I <cmq>	My <daNm>	MRdy <daNm>	Sic.
0.45	29	SLU	1	45.00	8.04	8.04	8.04	8.04	-8435.93	-13036.60	1.545
3.25	29	SLU	1	324.90	8.04	8.04	8.04	8.04	7400.49	13036.60	1.762
6.67	25	SLU	1	667.00	8.04	8.04	8.04	8.04	-7220.50	-13036.60	1.806

Stato limite elastico - Verifiche a flessione/pressoflessione

Xg <m>	CC	TCC	El	X <cm>	Afe S <cmq>	Afe I <cmq>	Afep S <cmq>	Afep I <cmq>	My <daNm>	M'ydy <daNm>	Sic.
0.45	19	SND	1	45.00	8.04	8.04	8.04	8.04	-10147.90	-12497.20	1.232
3.25	7	SND	1	324.90	8.04	8.04	8.04	8.04	5658.77	12497.20	2.208
6.67	7	SND	1	667.00	8.04	8.04	8.04	8.04	-10147.90	-12497.20	1.232

Stato limite d'esercizio - Verifiche tensionali

Xg <m>	CC	TCC	El	X <cm>	Afe S <cmq>	Afe I <cmq>	My <daNm>	σ_{ϵ} sup <daN/cmq>	σ_{ϵ} inf <daN/cmq>	σ_c <daN/cmq>
0.45	33	SLE R	1	45.00	8.04	8.04	-5989.55	1874.80	-488.64	54.80
0.45	28	SLE Q	1	45.00	8.04	8.04	-4661.90	1459.23	-380.32	42.65
3.25	33	SLE R	1	324.90	8.04	8.04	5305.31	-432.81	1660.62	48.54
3.25	28	SLE Q	1	324.90	8.04	8.04	4757.16	-388.10	1489.04	43.52
6.67	26	SLE R	1	667.00	8.04	8.04	-5179.27	1621.17	-422.53	47.38
6.67	28	SLE Q	1	667.00	8.04	8.04	-4661.91	1459.23	-380.32	42.65

Stato limite d'esercizio - Verifiche a fessurazione

Caso	Xg <m>	CC	TCC	El	Sez.	Crit.	X <cm>	My <daNm>	c <mm>	s <mm>	K3	s_{zm} <mm>	Φ	A_s <cmq>	$A_{c\ eff}$ <cmq>	σ_s <daN/cmq>	σ_{sr} <daN/cmq>	ϵ_{sm}	Wk <mm>
30	0.45	28	SLE Q	1	1	1	45.00	-4661.90	47.00	63.33	0.17	171.65	16.00	8.04	489.88	1459.22	1786.84	0.28	0.08
33	0.45	36	SLE F	1	1	1	45.00	-5179.26	47.00	63.33	0.17	171.65	16.00	8.04	489.88	1621.16	1786.84	0.31	0.09
62	3.25	28	SLE Q	1	1	1	324.90	4757.16	47.00	63.33	0.17	171.65	16.00	8.04	489.88	1489.04	1786.84	0.29	0.08
65	3.25	36	SLE F	1	1	1	324.90	5287.23	47.00	63.33	0.17	171.65	16.00	8.04	489.88	1654.96	1786.84	0.34	0.10
98	6.67	28	SLE Q	1	1	1	667.00	-4661.91	47.00	63.33	0.17	171.65	16.00	8.04	489.88	1459.23	1786.84	0.28	0.08
101	6.67	36	SLE F	1	1	1	667.00	-5179.27	47.00	63.33	0.17	171.65	16.00	8.04	489.88	1621.17	1786.84	0.31	0.09

Staffe - Verifiche armatura

CC	X0 <m>	X1 <m>	Lung. <m>	Staff.	Afe St. <cmq/m>	bw <m>	Vsdu <daN>	ctg θ	VRsd <daN>	VRcd <daN>	Vrdu <daN>	Sic.T	
29	SLU	0.45	0.95	0.50	ø8/10 2 br.	10.05	0.30	9343.77	2.37	37401.50	37401.50	37401.50	4.00
29	SLU	0.95	6.17	5.22	ø8/20 2 br.	5.03	0.30	7904.37	2.50	19693.70	36049.80	19693.70	2.49
25	SLU	6.17	6.67	0.50	ø8/10 2 br.	10.05	0.30	8952.96	2.37	37401.50	37401.50	37401.50	4.18

Verifiche e armature pilastri

Simbologia

- Xg = Coordinata progressiva (dal primo nodo) in cui viene effettuato il progetto/verifica
- CC = Combinazione delle condizioni di carico elementari
 - e = eccentricità aggiuntiva in caso di compressione o pressoflessione
 - α = amplificazione per gerarchia delle resistenze
 - TG = taglio da gerarchia delle resistenze
- TCC = Tipo di combinazione di carico
 - SLU = Stato limite ultimo
 - SLU S = Stato limite ultimo (azione sismica)
 - SLE R = Stato limite d'esercizio, combinazione rara
 - SLE F = Stato limite d'esercizio, combinazione frequente
 - SLE Q = Stato limite d'esercizio, combinazione quasi permanente
 - SLD = Stato limite di danno
 - SLV = Stato limite di salvaguardia della vita
 - SLC = Stato limite di prevenzione del collasso
 - SLO = Stato limite di operatività
 - SLU I = Stato limite di resistenza al fuoco
 - SND = Stato limite di salvaguardia della vita (non dissipativo)
- El = Elemento (asta) in cui viene effettuato il progetto/verifica (progressivo sul numero di aste)
- Sez. = Numero della sezione
- X = Coordinata progressiva rispetto al nodo iniziale
- N = Sforzo normale
- Mz = Momento flettente intorno all'asse Z
- My = Momento flettente intorno all'asse Y
- My ver. = Momento flettente di verifica intorno all'asse Y
- c = Ricoprimento dell'armatura
- s = Distanza minima tra le barre
- K3 = Coefficiente di forma del diagramma delle tensioni prima della fessurazione
- s_{zm} = Distanza media tra le fessure
- Φ = Diametro della barra
- A_s = Area complessiva dei ferri nell'area di calcestruzzo efficace
- $A_{c\ eff}$ = Area di calcestruzzo efficace
- σ_s = Tensione nell'acciaio nella sezione fessurata
- σ_{sr} = Tensione nell'acciaio corrispondente al raggiungimento della resistenza a trazione nel calcestruzzo
- ϵ_{sm} = Deformazione unitaria media dell'armatura (*1000)
- Wk = Apertura delle fessure
- M = Momento flettente
- MRd = Momento resistente allo stato limite ultimo
- $\mu\Phi$ = Valore di progetto della duttilità di curvatura
- Mz ver. = Momento flettente di verifica intorno all'asse Z
- Nu = Sforzo normale ultimo
- M'ydy = Momento resistente massimo in campo sostanzialmente elastico intorno all'asse Y
- M'ydz = Momento resistente massimo in campo sostanzialmente elastico intorno all'asse Z
- MRdy = Momento resistente allo stato limite ultimo intorno all'asse Y
- MRdz = Momento resistente allo stato limite ultimo intorno all'asse Z
- α = Angolo asse neutro a rottura
- ϵ_y = Deformazione nell'acciaio (*1000)

Relazione di calcolo

Sic. = Sicurezza a rottura
 AfT = Area di ferro tesa
 AfC = Area di ferro compressa
 σ_c = Tensione nel calcestruzzo
 σ_f = Tensione nel ferro
 X0 = Coordinata progressiva (dal nodo iniziale) dell'inizio del tratto
 X1 = Coordinata progressiva (dal nodo iniziale) della fine del tratto
 Staff. = Staffatura adottata
 Br_y = Numero bracci in dir. Y locale
 Br_z = Numero bracci in dir. Z locale
 bw_y = Larghezza membratura resistente al taglio in dir. Y
 Vsdu_y = Taglio agente in dir. Y
 ctg θ _y = Cotangente dell'angolo di inclinazione dei puntoni di calcestruzzo in dir. Y
 VRsd_y = Taglio ultimo lato armatura in dir. Y
 VRcd_y = Taglio ultimo lato calcestruzzo in dir. Y
 bw_z = Larghezza membratura resistente al taglio in dir. Z
 Vsdu_z = Taglio agente in dir. Z
 ctg θ _z = Cotangente dell'angolo di inclinazione dei puntoni di calcestruzzo in dir. Z
 VRsd_z = Taglio ultimo lato armatura in dir. Z
 VRcd_z = Taglio ultimo lato calcestruzzo in dir. Z
 Sic.T = Sicurezza a rottura per taglio
 Nodo = Numero del nodo
 Conf. = Nodo confinato
 S = Si
 N = No
 F. = Identificativo faccia del nodo
 Y+ = Faccia sul lato positivo Y locale pilastro
 Z+ = Faccia sul lato positivo Z locale pilastro
 Y- = Faccia sul lato negativo Y locale pilastro
 Z- = Faccia sul lato negativo Z locale pilastro
 Mod. = Modalità di verifica faccia
 I = Interna
 E = Esterna
 Br. = Numero bracci
 As1 = Area di ferro superiore delle travi incidenti sulla faccia
 As2 = Area di ferro inferiore delle travi incidenti sulla faccia
 Bj = Larghezza effettiva utile del nodo
 Hjc = Distanza tra armature pilastro
 Hjw = Distanza tra armature trave
 Ash = Area totale della sezione della staffa
 Tipo = Tipologia
 2C = Doppia C lato labbri
 2Cdx = Doppia C lato costola
 2I = Doppia I
 2L = Doppia L lato labbri
 2Ldx = Doppia L lato costole
 C = Sezione a C
 Cdx = C destra
 Cir. = Circolare
 Cir.c = Circolare cava
 I = Sezione a I
 L = Sezione a L
 Ldx = L destra
 Om. = Omega
 Pg = Pi greco
 Pr = Poligono regolare
 Prc = Poligono regolare cavo
 Pc = Per coordinate
 Ia = Inerzie assegnate
 R = Rettangolare
 Rc = Rettangolare cava
 T = Sezione a T
 U = Sezione a U
 Ur = U rovescia
 V = Sezione a V
 Vr = V rovescia
 Z = Sezione a Z
 Zdx = Z destra
 Ts = T stondata
 Ls = L stondata
 Cs = C stondata
 Is = I stondata
 Dis. = Disegnata
 B = Base
 H = Altezza
 Cf = Copriferro
 Cls = Tipo di calcestruzzo
 Fck = Resistenza caratteristica cilindrica a compressione del calcestruzzo
 Fctk = Resistenza caratteristica a trazione del calcestruzzo
 Fcd = Resistenza di calcolo a compressione del calcestruzzo
 Fctd = Resistenza di calcolo a trazione del calcestruzzo
 Tp = Tipo di acciaio
 Fyk = Tensione caratteristica di snervamento dell'acciaio
 Fyd = Resistenza di calcolo dell'acciaio

Pilastrata n. 1

Nodi: 1 101

Caratteristiche delle sezioni e dei materiali utilizzati

Sez.	Tipo	B	H	Cf	Cls	Fck	Fctk	Fcd	Fctd	Tp	Fyk	Fyd
		<cm>	<cm>	<cm>		<daN/cmq>	<daN/cmq>	<daN/cmq>	<daN/cmq>		<daN/cmq>	<daN/cmq>
3R		30.00	60.00	6.00	C30/37	307.10	20.59	174.02	13.73	B450C	4500.00	3913.04

Relazione di calcolo

Stato limite ultimo - Verifiche a flessione/pressoflessione

Xg <m>	CC	TCC	El	Sez.	X <cm>	N <daN>	My <daNm>	My ver. <daNm>	Mz <daNm>	Mz ver. <daNm>	Nu <daN>	MRdy <daNm>	MRdz <daNm>	α <grad>	ε _y	Sic.
0.00	29 (e)	SLU	1	3	0.00	-14972.90	12153.80	12153.80	193.80	325.66	-14972.90	42459.90	1806.13	11.25	5.67	3.495
0.00	29 (e)	SLU	1	3	0.00	-14972.90	12153.80	12153.80	193.80	325.66	-14972.90	42459.90	1806.13	11.25	5.67	3.495
3.85	29	SLU	1	3	385.00	-12720.60	-13045.80		-425.23		-12720.60	-42197.60	-1793.48	191.25	5.76	3.236

Stato limite elastico - Verifiche a flessione/pressoflessione

Xg <m>	CC	TCC	El	Sez.	X <cm>	N <daN>	My <daNm>	My ver. <daNm>	Mz <daNm>	Mz ver. <daNm>	Nu <daN>	M'ydy <daNm>	M'ydz <daNm>	α <grad>	ε _y	Sic.
0.00	7	SND	1	3	0.00	-6194.50	26081.20		1568.20		-6194.50	30136.50	2037.15	16.88	5.70	1.156
0.00	7	SND	1	3	0.00	-6194.50	26081.20		1568.20		-6194.50	30136.50	2037.15	16.88	5.70	1.156
3.85	7	SND	1	3	385.00	-4462.00	-16892.10		-1354.74		-4462.00	-29686.80	-2781.56	202.50	5.43	1.759

Stato limite d'esercizio - Verifiche tensionali

Xg <m>	CC	TCC	El	Sez.	X <cm>	N <daN>	Mz <daNm>	My <daNm>	AfT <cmq>	AfC <cmq>	σ _c <daN/cmq>	σ _f <daN/cmq>
0.00	33	SLE R	1	3	0.00	-10837.60	146.61	8406.15	28.27	21.99	51.03	878.75
0.00	28	SLE Q	1	3	0.00	-9521.34	216.42	3853.35	25.13	25.13	25.91	326.18
0.00	33	SLE R	1	3	0.00	-10837.60	146.61	8406.15	28.27	21.99	51.03	878.75
0.00	28	SLE Q	1	3	0.00	-9521.34	216.42	3853.35	25.13	25.13	25.91	326.18
3.85	33	SLE R	1	3	385.00	-9105.12	-312.77	-9227.68	28.27	21.99	57.64	1044.50
3.85	28	SLE Q	1	3	385.00	-7788.84	-363.93	-6732.29	28.27	21.99	44.06	754.62

Stato limite d'esercizio - Verifiche a fessurazione

Xg <m>	CC	TCC	El	Sez.	X <cm>	N <daN>	My <daNm>	Mz <daNm>	c <mm>	s <mm>	K3	s _m <mm>	Φ	A _s <cmq>	A _{c eff} <cmq>	σ _s <daN/cmq>	σ _{sr} <daN/cmq>	ε _{sm}	Wk <mm>
0.00	28	SLE Q	1	3	0.00	-9521.34	3853.35	216.42	49.00	80.33	0.13	161.30	20.00	25.13	1187.08	326.18	879.42	0.06	0.02
0.00	28	SLE Q	1	3	0.00	-9521.34	3853.35	216.42	49.00	80.33	0.13	161.30	20.00	25.13	1187.08	326.18	879.42	0.06	0.02
3.85	28	SLE Q	1	3	385.00	-7788.84	-6732.29	-363.93	49.00	80.33	0.13	159.75	20.00	28.27	1291.57	754.62	1015.72	0.15	0.04

Staffe - Verifiche armatura

X0 <m>	X1 <m>	Staff.	Br _y	Br _z	CC	TCC	bw _{r,y} <cm>	Vsdu _{r,y} <daN>	ctgθ _{r,y}	VRsd _{r,y} <daN>	VRcd _{r,y} <daN>	bw _{r,z} <cm>	Vsdu _{r,z} <daN>	ctgθ _{r,z}	VRsd _{r,z} <daN>	VRcd _{r,z} <daN>	Sic.T
0.00	0.64	ø10/8	2	2	29	SLU	0.60	160.79	2.47	41225.90	41225.90	0.30	7122.85	1.60	59853.90	59853.90	8.40
0.00	0.64	ø10/8	2	2	30	SLU	0.60	1399.78	2.47	41189.90	41189.90	0.30	4270.16	1.60	59791.40	59791.40	14.00
0.00	0.64	ø10/8	2	2	10	SND	0.60	129.84	2.46	41057.70	41057.70	0.30	11161.90	1.59	59561.90	59561.90	5.34
0.00	0.64	ø10/8	2	2	13	SND	0.60	1778.00	2.46	40985.30	40985.30	0.30	3978.83	1.59	59436.20	59436.20	14.94
0.64	3.21	ø8/18	2	2	29	SLU	0.60	160.79	2.50	11850.60	40866.90	0.30	6930.35	2.50	26602.50	45869.30	3.84
0.64	3.21	ø8/18	2	2	30	SLU	0.60	1207.28	2.50	11850.60	40805.50	0.30	4270.16	2.50	26602.50	45800.40	6.23
0.64	3.21	ø8/18	2	2	10	SND	0.60	129.84	2.50	11850.60	40591.40	0.30	11161.90	2.50	26602.50	45560.00	2.38
0.64	3.21	ø8/18	2	2	7	SND	0.60	759.20	2.50	11850.60	40710.10	0.30	11161.90	2.50	26602.50	45693.20	2.38
0.64	3.21	ø8/18	2	2	13	SND	0.60	1778.00	2.50	11850.60	40468.50	0.30	3978.83	2.50	26602.50	45422.20	6.67
3.21	3.85	ø8/12	2	2	29	SLU	0.60	160.79	2.50	17776.00	40679.70	0.30	6160.35	2.50	39903.70	45659.20	6.48
3.21	3.85	ø8/12	2	2	30	SLU	0.60	437.28	2.50	17776.00	40618.40	0.30	4270.16	2.50	39903.70	45590.30	9.34
3.21	3.85	ø8/12	2	2	10	SND	0.60	129.84	2.50	17776.00	40447.40	0.30	11161.90	2.50	39903.70	45398.40	3.57
3.21	3.85	ø8/12	2	2	7	SND	0.60	759.20	2.50	17776.00	40566.10	0.30	11161.90	2.50	39903.70	45531.60	3.57
3.21	3.85	ø8/12	2	2	13	SND	0.60	1778.00	2.50	17776.00	40324.60	0.30	3978.82	2.50	39903.70	45260.50	10.00

Pilastrata n. 2

Nodi: 2 102

Caratteristiche delle sezioni e dei materiali utilizzati

Sez.	Tipo	B <cm>	H <cm>	Cf <cm>	Cl _s	F _{ck} <daN/cmq>	F _{ctk} <daN/cmq>	F _{cd} <daN/cmq>	F _{ctd} <daN/cmq>	Tp	F _{yk} <daN/cmq>	F _{yd} <daN/cmq>
3R		30.00	60.00	5.80	C30/37	307.10	20.59	174.02	13.73	B450C	4500.00	3913.04

Stato limite ultimo - Verifiche a flessione/pressoflessione

Xg <m>	CC	TCC	El	Sez.	X <cm>	N <daN>	My <daNm>	My ver. <daNm>	Mz <daNm>	Mz ver. <daNm>	Nu <daN>	MRdy <daNm>	MRdz <daNm>	α <grad>	ε _y	Sic.
0.00	29 (e)	SLU	1	3	0.00	-22291.20	-454.75	-484.83	-8648.24	-8648.24	-22291.20	-1120.77	-17098.50	269.30	5.98	1.978
0.00	29 (e)	SLU	1	3	0.00	-22291.20	-454.75	-484.83	-8648.24	-8648.24	-22291.20	-1120.77	-17098.50	269.30	5.98	1.978
3.85	29 (e)	SLU	1	3	385.00	-20038.90	403.01	435.85	11064.00	11064.00	-20038.90	599.90	16820.20	89.47	6.10	1.520

Stato limite elastico - Verifiche a flessione/pressoflessione

Xg <m>	CC	TCC	El	Sez.	X <cm>	N <daN>	My <daNm>	My ver. <daNm>	Mz <daNm>	Mz ver. <daNm>	Nu <daN>	M'ydy <daNm>	M'ydz <daNm>	α <grad>	ε _y	Sic.
0.00	10	SND	1	3	0.00	-13454.60	988.49		-10048.90		-13454.60	1333.81	-13647.20	271.41	6.25	1.358
0.00	10	SND	1	3	0.00	-13454.60	988.49		-10048.90		-13454.60	1333.81	-13647.20	271.41	6.25	1.358
3.85	10	SND	1	3	385.00	-11722.10	1326.19		10769.80		-11722.10	1835.02	13620.80	88.24	6.26	1.267

Stato limite d'esercizio - Verifiche tensionali

Xg <m>	CC	TCC	El	Sez.	X <cm>	N <daN>	Mz <daNm>	My <daNm>	AfT <cmq>	AfC <cmq>	σ _c <daN/cmq>	σ _f <daN/cmq>
0.00	33	SLE R	1	3	0.00	-16152.90	-6075.55	-309.11	21.99	15.71	86.32	1361.85
0.00	28	SLE Q	1	3	0.00	-14567.50	-3775.46	-75.72	21.99	15.71	53.15	717.41
0.00	33	SLE R	1	3	0.00	-16152.90	-6075.55	-309.11	21.99	15.71	86.32	1361.85
0.00	28	SLE Q	1	3	0.00	-14567.50	-3775.46	-75.72	21.99	15.71	53.15	717.41

Relazione di calcolo

3.85	33	SLE R	1	3	385.00	-14420.40	7902.51	280.23	21.99	15.71	110.70	1937.74
3.85	28	SLE Q	1	3	385.00	-12835.00	6411.31	146.90	21.99	15.71	89.32	1533.85

Stato limite d'esercizio - Verifiche a fessurazione

Xg <m>	CC	TCC	El	Sez.	X <cm>	N <daN>	My <daNm>	Mz <daNm>	c <mm>	s <mm>	K3	s _m <mm>	φ	A _s <cmq>	A _{c eff} <cmq>	σ _s <daN/cmq>	σ _{sr} <daN/cmq>	ε _{sm}	Wk <mm>
0.00	28	SLE Q	1	3	0.00	-14567.50	-75.72	-3775.46	49.00	120.50	0.13	188.05	20.00	21.99	1450.29	714.15	944.46	0.14	0.04
0.00	28	SLE Q	1	3	0.00	-14567.50	-75.72	-3775.46	49.00	120.50	0.13	188.05	20.00	21.99	1450.29	714.15	944.46	0.14	0.04
3.85	28	SLE Q	1	3	385.00	-12835.00	146.90	6411.31	49.00	120.50	0.13	188.06	20.00	21.99	1450.42	1527.10	1068.87	0.56	0.18

Staffe - Verifiche armatura

X0 <m>	X1 <m>	Staff.	Br _y	Br _z	CC	TCC	b _{w,y} <m>	V _{sdu,y} <daN>	ctgθ _y	VR _{sd,y} <daN>	VR _{cd,y} <daN>	b _{w,z} <m>	V _{sdu,z} <daN>	ctgθ _z	VR _{sd,z} <daN>	VR _{cd,z} <daN>	Sic. T
0.00	0.64	ø8/ 6	2	2	30	SLU	0.60	4197.16	2.50	35551.90	41827.00	0.30	2839.94	1.81	57681.10	57681.10	8.47
0.00	0.64	ø8/ 6	2	2	29	SLU	0.60	6275.06	2.50	35551.90	41825.90	0.30	222.79	1.81	57680.10	57680.10	5.67
0.00	0.64	ø8/ 6	2	2	1	SND	0.60	3671.48	2.50	35551.90	41013.20	0.30	4976.68	1.78	56943.30	56943.40	9.68
0.00	0.64	ø8/ 6	2	2	10	SND	0.60	5407.44	2.50	35551.90	41038.00	0.30	363.82	1.78	56966.00	56966.00	6.57
0.00	0.64	ø8/ 6	2	2	7	SND	0.60	5407.44	2.50	35551.90	41084.70	0.30	2328.59	1.79	57008.60	57008.60	6.57
0.64	3.21	ø8/18	2	2	30	SLU	0.60	4197.16	2.50	11850.60	41780.20	0.30	2454.94	2.50	26602.50	46894.30	2.82
0.64	3.21	ø8/18	2	2	29	SLU	0.60	5890.06	2.50	11850.60	41779.20	0.30	222.79	2.50	26602.50	46893.20	2.01
0.64	3.21	ø8/18	2	2	1	SND	0.60	3671.48	2.50	11850.60	40977.20	0.30	4976.68	2.50	26602.50	45993.10	3.23
0.64	3.21	ø8/18	2	2	10	SND	0.60	5407.44	2.50	11850.60	41002.00	0.30	363.82	2.50	26602.50	46020.90	2.19
0.64	3.21	ø8/18	2	2	7	SND	0.60	5407.44	2.50	11850.60	41048.80	0.30	2328.59	2.50	26602.50	46073.40	2.19
3.21	3.85	ø8/12	2	2	30	SLU	0.60	4197.16	2.50	17776.00	41593.00	0.30	914.94	2.50	39903.70	46684.30	4.24
3.21	3.85	ø8/12	2	2	29	SLU	0.60	4350.06	2.50	17776.00	41592.00	0.30	222.79	2.50	39903.70	46683.10	4.09
3.21	3.85	ø8/12	2	2	1	SND	0.60	3671.48	2.50	17776.00	40833.20	0.30	4976.68	2.50	39903.70	45831.40	4.84
3.21	3.85	ø8/12	2	2	10	SND	0.60	5407.44	2.50	17776.00	40858.00	0.30	363.82	2.50	39903.70	45859.30	3.29
3.21	3.85	ø8/12	2	2	7	SND	0.60	5407.44	2.50	17776.00	40904.80	0.30	2328.59	2.50	39903.70	45911.80	3.29

Pilastrata n. 3

Nodi: 3 103

Caratteristiche delle sezioni e dei materiali utilizzati

Sez. Tipo	B <cm>	H <cm>	Cf <cm>	Cl _s	F _{ck} <daN/cmq>	F _{ctk} <daN/cmq>	F _{cd} <daN/cmq>	F _{ctd} <daN/cmq>	TP	F _{yk} <daN/cmq>	F _{yd} <daN/cmq>
3R	30.00	60.00	5.80	C30/37	307.10	20.59	174.02	13.73	B450C	4500.00	3913.04

Stato limite ultimo - Verifiche a flessione/pressoflessione

Xg <m>	CC	TCC	El	Sez.	X <cm>	N <daN>	My <daNm>	My ver. <daNm>	Mz <daNm>	Mz ver. <daNm>	Nu <daN>	MR _{dy} <daNm>	MR _{dz} <daNm>	α <grad>	ε _r	Sic.
0.00	29 (e)	SLU	1	3	0.00	-21711.40	-332.69	-472.22	-8779.64	-8779.64	-21711.40	-1122.59	-17048.30	269.30	6.02	1.943
0.00	29 (e)	SLU	1	3	0.00	-21711.40	-332.69	-472.22	-8779.64	-8779.64	-21711.40	-1122.59	-17048.30	269.30	6.02	1.943
3.85	29 (e)	SLU	1	3	385.00	-19459.20	189.75	423.24	11406.20	11406.20	-19459.20	601.31	16769.90	89.47	6.14	1.470

Stato limite elastico - Verifiche a flessione/pressoflessione

Xg <m>	CC	TCC	El	Sez.	X <cm>	N <daN>	My <daNm>	My ver. <daNm>	Mz <daNm>	Mz ver. <daNm>	Nu <daN>	M' _{ydy} <daNm>	M' _{ydz} <daNm>	α <grad>	ε _r	Sic.
0.00	10	SND	1	3	0.00	-12988.90	1122.73		-9533.97		-12988.90	1822.37	-13679.90	271.76	6.18	1.438
0.00	10	SND	1	3	0.00	-12988.90	1122.73		-9533.97		-12988.90	1822.37	-13679.90	271.76	6.18	1.438
3.85	10	SND	1	3	385.00	-11256.40	-646.77		10606.40		-11256.40	-960.76	13443.40	90.70	6.69	1.268

Stato limite d'esercizio - Verifiche tensionali

Xg <m>	CC	TCC	El	Sez.	X <cm>	N <daN>	Mz <daNm>	My <daNm>	A _{fT} <cmq>	A _{fC} <cmq>	σ _c <daN/cmq>	σ _f <daN/cmq>
0.00	33	SLE R	1	3	0.00	-15737.70	-6175.70	-220.14	21.99	15.71	86.98	1393.96
0.00	28	SLE Q	1	3	0.00	-14195.60	-3920.58	20.77	21.99	15.71	54.71	763.92
0.00	33	SLE R	1	3	0.00	-15737.70	-6175.70	-220.14	21.99	15.71	86.98	1393.96
0.00	28	SLE Q	1	3	0.00	-14195.60	-3920.58	20.77	21.99	15.71	54.71	763.92
3.85	34	SLE R	1	3	385.00	-13869.20	7588.74	-1470.93	21.99	15.71	115.44	1973.42
3.85	33	SLE R	1	3	385.00	-14005.20	8151.98	124.78	21.99	15.71	112.83	2007.31
3.85	28	SLE Q	1	3	385.00	-12463.10	6657.74	-21.70	21.99	15.71	91.66	1604.14

Stato limite d'esercizio - Verifiche a fessurazione

Xg <m>	CC	TCC	El	Sez.	X <cm>	N <daN>	My <daNm>	Mz <daNm>	c <mm>	s <mm>	K3	s _m <mm>	φ	A _s <cmq>	A _{c eff} <cmq>	σ _s <daN/cmq>	σ _{sr} <daN/cmq>	ε _{sm}	Wk <mm>
0.00	28	SLE Q	1	3	0.00	-14195.60	20.77	-3920.58	49.00	120.50	0.13	188.05	20.00	21.99	1450.29	763.02	966.28	0.15	0.05
0.00	28	SLE Q	1	3	0.00	-14195.60	20.77	-3920.58	49.00	120.50	0.13	188.05	20.00	21.99	1450.29	763.02	966.28	0.15	0.05
3.85	28	SLE Q	1	3	385.00	-12463.10	-21.70	6657.74	49.00	120.50	0.13	188.05	20.00	21.99	1450.42	1603.13	1084.09	0.60	0.19

Staffe - Verifiche armatura

X0 <m>	X1 <m>	Staff.	Br _y	Br _z	CC	TCC	b _{w,y} <m>	V _{sdu,y} <daN>	ctgθ _y	VR _{sd,y} <daN>	VR _{cd,y} <daN>	b _{w,z} <m>	V _{sdu,z} <daN>	ctgθ _z	VR _{sd,z} <daN>	VR _{cd,z} <daN>	Sic. T
0.00	0.64	ø8/ 6	2	2	30	SLU	0.60	4358.61	2.50	35551.90	41728.30	0.30	3012.71	1.80	57592.10	57592.10	8.16
0.00	0.64	ø8/ 6	2	2	29	SLU	0.60	6398.08	2.50	35551.90	41753.70	0.30	135.70	1.80	57615.00	57615.00	5.56
0.00	0.64	ø8/ 6	2	2	13	SND	0.60	3226.31	2.50	35551.90	40859.60	0.30	5171.13	1.78	56803.10	56803.10	10.98
0.00	0.64	ø8/ 6	2	2	10	SND	0.60	5231.25	2.50	35551.90	40998.00	0.30	459.61	1.78	56929.50	56929.50	6.80
0.00	0.64	ø8/ 6	2	2	7	SND	0.60	5231.25	2.50	35551.90	41002.70	0.30	2366.17	1.78	56933.80	56933.80	6.80
0.64	3.21	ø8/18	2	2	30	SLU	0.60	4358.61	2.50	11850.60	41681.50	0.30	2627.71	2.50	26602.50	46783.50	2.72

Relazione di calcolo

0.64	3.21	Ø8/18	2	2	29	SLU	0.60	6013.08	2.50	11850.60	41706.90	0.30	135.70	2.50	26602.50	46812.10	1.97
0.64	3.21	Ø8/18	2	2	13	SND	0.60	3226.31	2.50	11850.60	40823.60	0.30	5171.13	2.50	26602.50	45820.70	3.67
0.64	3.21	Ø8/18	2	2	10	SND	0.60	5231.25	2.50	11850.60	40962.00	0.30	459.61	2.50	26602.50	45976.10	2.27
0.64	3.21	Ø8/18	2	2	7	SND	0.60	5231.25	2.50	11850.60	40966.70	0.30	2366.17	2.50	26602.50	45981.30	2.27
3.21	3.85	Ø8/12	2	2	30	SLU	0.60	4358.61	2.50	17776.00	41494.30	0.30	1087.71	2.50	39903.70	46573.50	4.08
3.21	3.85	Ø8/12	2	2	29	SLU	0.60	4473.08	2.50	17776.00	41519.70	0.30	135.70	2.50	39903.70	46602.00	3.97
3.21	3.85	Ø8/12	2	2	13	SND	0.60	3226.31	2.50	17776.00	40679.60	0.30	5171.13	2.50	39903.70	45659.10	5.51
3.21	3.85	Ø8/12	2	2	10	SND	0.60	5231.25	2.50	17776.00	40818.10	0.30	459.61	2.50	39903.70	45814.50	3.40
3.21	3.85	Ø8/12	2	2	7	SND	0.60	5231.25	2.50	17776.00	40822.70	0.30	2366.17	2.50	39903.70	45819.70	3.40

Pilastrata n. 4

Nodi: 4 104

Caratteristiche delle sezioni e dei materiali utilizzati

Sez.	Tipo	B	H	Cf	Cls	Fck	Fctk	Fcd	Fctd	Tp	Fyk	Fyd
		<cm>	<cm>	<cm>		<daN/cm>	<daN/cm>	<daN/cm>	<daN/cm>		<daN/cm>	<daN/cm>
3R		30.00	60.00	5.80	C30/37	307.10	20.59	174.02	13.73	B450C	4500.00	3913.04

Stato limite ultimo - Verifiche a flessione/pressoflessione

Xg	CC	TCC	El	Sez.	X	N	My	My ver.	Mz	Mz ver.	Nu	MRdy	MRdz	α	ε _y	Sic.
<m>					<cm>	<daN>	<daNm>	<daNm>	<daNm>	<daNm>	<daN>	<daNm>	<daNm>	<grad>		
0.00	29	(e)	SLU	1	3	0.00	-21705.40	-343.32	472.09	-8677.01	-21705.40	1122.60	-17047.80	270.70	6.02	1.966
0.00	29	(e)	SLU	1	3	0.00	-21705.40	-343.32	472.09	-8677.01	-21705.40	1122.60	-17047.80	270.70	6.02	1.966
3.85	29	(e)	SLU	1	3	385.00	-19453.20	208.33	423.11	11351.00	-19453.20	601.32	16769.30	89.47	6.14	1.477

Stato limite elastico - Verifiche a flessione/pressoflessione

Xg	CC	TCC	El	Sez.	X	N	My	My ver.	Mz	Mz ver.	Nu	M'y _{dy}	M'y _{dz}	α	ε _y	Sic.
<m>					<cm>	<daN>	<daNm>	<daNm>	<daNm>	<daNm>	<daN>	<daNm>	<daNm>	<grad>		
0.00	10	SND	1	3	0.00	-13085.10	1109.59		-8844.46		-13085.10	1828.74	-13739.40	271.76	6.17	1.555
0.00	10	SND	1	3	0.00	-13085.10	1109.59		-8844.46		-13085.10	1828.74	-13739.40	271.76	6.17	1.555
3.85	10	SND	1	3	385.00	-11352.60	-623.81		10133.70		-11352.60	-960.92	13455.80	90.70	6.69	1.329

Stato limite d'esercizio - Verifiche tensionali

Xg	CC	TCC	El	Sez.	X	N	Mz	My	AfT	AfC	σ _c	σ _t	
<m>					<cm>	<daN>	<daNm>	<daNm>	<cm>	<cm>	<daN/cm>	<daN/cm>	
0.00	33	SLE	R	1	3	0.00	-15735.30	-6108.17	-227.93	21.99	15.71	86.12	1375.11
0.00	28	SLE	Q	1	3	0.00	-14216.40	-3930.79	11.96	21.99	15.71	54.79	765.56
0.00	33	SLE	R	1	3	0.00	-15735.30	-6108.17	-227.93	21.99	15.71	86.12	1375.11
0.00	28	SLE	Q	1	3	0.00	-14216.40	-3930.79	11.96	21.99	15.71	54.79	765.56
3.85	34	SLE	R	1	3	385.00	-13903.50	7608.59	-1440.96	21.99	15.71	115.49	1975.41
3.85	33	SLE	R	1	3	385.00	-14002.80	8116.69	138.38	21.99	15.71	112.46	1998.35
3.85	28	SLE	Q	1	3	385.00	-12483.90	6675.08	-6.30	21.99	15.71	91.78	1607.20

Stato limite d'esercizio - Verifiche a fessurazione

Xg	CC	TCC	El	Sez.	X	N	My	Mz	c	s	K3	s _{mm}	φ	A _s	A _{s,eff}	σ _s	σ _{sr}	ε _{sm}	Wk	
<m>					<cm>	<daN>	<daNm>	<daNm>	<mm>	<mm>		<mm>		<cm>	<cm>	<daN/cm>	<daN/cm>		<mm>	
0.00	28	SLE	Q	1	3	0.00	-14216.40	11.96	-3930.79	49.00	120.50	0.13	188.05	20.00	21.99	1450.29	765.04	967.34	0.15	0.05
0.00	28	SLE	Q	1	3	0.00	-14216.40	11.96	-3930.79	49.00	120.50	0.13	188.05	20.00	21.99	1450.29	765.04	967.34	0.15	0.05
3.85	28	SLE	Q	1	3	385.00	-12483.90	-6.30	6675.08	49.00	120.50	0.13	188.05	20.00	21.99	1450.42	1606.91	1085.03	0.60	0.19

Staffe - Verifiche armatura

X0	X1	Staff.	Br _y	Br _z	CC	TCC	b _{w,y}	Vsdu _y	ctgθ _y	VRsd _y	VRcd _y	b _{w,z}	Vsdu _z	ctgθ _z	VRsd _z	VRcd _z	Sic.	T
<m>	<m>						<m>	<daN>		<daN>	<daN>	<m>	<daN>		<daN>	<daN>		
0.00	0.64	Ø8/ 7	2	2	30	SLU	0.60	4369.97	2.50	30473.10	41734.40	0.30	2995.10	1.99	54482.50	54482.50	6.97	
0.00	0.64	Ø8/ 7	2	2	29	SLU	0.60	6357.09	2.50	30473.10	41752.90	0.30	143.29	1.99	54497.70	54497.70	4.79	
0.00	0.64	Ø8/ 7	2	2	13	SND	0.60	3245.97	2.50	30473.10	40855.60	0.30	5137.14	1.96	53759.40	53759.40	9.39	
0.00	0.64	Ø8/ 7	2	2	10	SND	0.60	4929.39	2.50	30473.10	40978.60	0.30	450.23	1.97	53861.20	53861.20	6.18	
0.00	0.64	Ø8/ 7	2	2	7	SND	0.60	4929.39	2.50	30473.10	40978.70	0.30	2360.22	1.97	53861.30	53861.30	6.18	
0.64	3.21	Ø8/18	2	2	30	SLU	0.60	4369.97	2.50	11850.60	41687.60	0.30	2610.10	2.50	26602.50	46790.40	2.71	
0.64	3.21	Ø8/18	2	2	29	SLU	0.60	5972.09	2.50	11850.60	41706.10	0.30	143.29	2.50	26602.50	46811.20	1.98	
0.64	3.21	Ø8/18	2	2	13	SND	0.60	3245.97	2.50	11850.60	40819.60	0.30	5137.14	2.50	26602.50	45816.20	3.65	
0.64	3.21	Ø8/18	2	2	10	SND	0.60	4929.39	2.50	11850.60	40942.60	0.30	450.23	2.50	26602.50	45954.20	2.40	
0.64	3.21	Ø8/18	2	2	7	SND	0.60	4929.39	2.50	11850.60	40942.70	0.30	2360.22	2.50	26602.50	45954.40	2.40	
3.21	3.85	Ø8/12	2	2	30	SLU	0.60	4369.97	2.50	17776.00	41500.40	0.30	1070.10	2.50	39903.70	46580.30	4.07	
3.21	3.85	Ø8/12	2	2	29	SLU	0.60	4432.09	2.50	17776.00	41519.00	0.30	143.29	2.50	39903.70	46601.20	4.01	
3.21	3.85	Ø8/12	2	2	13	SND	0.60	3245.97	2.50	17776.00	40675.60	0.30	5137.14	2.50	39903.70	45654.60	5.48	
3.21	3.85	Ø8/12	2	2	10	SND	0.60	4929.39	2.50	17776.00	40798.60	0.30	450.23	2.50	39903.70	45792.60	3.61	
3.21	3.85	Ø8/12	2	2	7	SND	0.60	4929.39	2.50	17776.00	40798.80	0.30	2360.22	2.50	39903.70	45792.80	3.61	

Pilastrata n. 5

Nodi: 5 105

Caratteristiche delle sezioni e dei materiali utilizzati

Sez.	Tipo	B	H	Cf	Cls	Fck	Fctk	Fcd	Fctd	Tp	Fyk	Fyd
		<cm>	<cm>	<cm>		<daN/cm>	<daN/cm>	<daN/cm>	<daN/cm>		<daN/cm>	<daN/cm>
3R		30.00	60.00	5.80	C30/37	307.10	20.59	174.02	13.73	B450C	4500.00	3913.04

Stato limite ultimo - Verifiche a flessione/pressoflessione

Xg	CC	TCC	El	Sez.	X	N	My	My ver.	Mz	Mz ver.	Nu	MRdy	MRdz	α	ε _y	Sic.
----	----	-----	----	------	---	---	----	---------	----	---------	----	------	------	---	----------------	------

Relazione di calcolo

<m>					<cm>	<daN>	<daNm>	<daNm>	<daNm>	<daNm>	<daNm>	<daNm>	<grad>			
0.00	29 (e)	SLU	1	3	0.00	-21664.10	-345.95	-471.19	-8538.39	-8538.39	-21664.10	-1122.73	-17044.30	269.30	6.02	1.997
0.00	29 (e)	SLU	1	3	0.00	-21664.10	-345.95	-471.19	-8538.39	-8538.39	-21664.10	-1122.73	-17044.30	269.30	6.02	1.997
3.85	29 (e)	SLU	1	3	385.00	-19411.80	212.91	-422.21	11234.70	11234.70	-19411.80	-601.42	16765.70	90.53	6.14	1.492

Stato limite elastico - Verifiche a flessione/pressoflessione

Xg	CC	TCC	El	Sez.	X	N	My	My ver.	Mz	Mz ver.	Nu	M'ydy	M'ydz	α	ε _y	Sic.
<m>					<cm>	<daN>	<daNm>	<daNm>	<daNm>	<daNm>	<daN>	<daNm>	<daNm>	<grad>		
0.00	10	SND	1	3	0.00	-13192.30	1113.93		-8147.42		-13192.30	2123.60	-13823.00	272.11	6.06	1.701
0.00	10	SND	1	3	0.00	-13192.30	1113.93		-8147.42		-13192.30	2123.60	-13823.00	272.11	6.06	1.701
3.85	10	SND	1	3	385.00	-11459.80	-631.38		9630.71		-11459.80	-961.81	13479.50	90.70	6.68	1.400

Stato limite d'esercizio - Verifiche tensionali

Xg	CC	TCC	El	Sez.	X	N	Mz	My	AfT	AfC	σ _c	σ _f
<m>					<cm>	<daN>	<daNm>	<daNm>	<cmq>	<cmq>	<daN/cmq>	<daN/cmq>
0.00	34	SLE R	1	3	0.00	-15652.90	-4467.42	3294.37	18.85	18.85	85.64	1192.09
0.00	33	SLE R	1	3	0.00	-15707.40	-6014.77	-229.72	21.99	15.71	84.87	1348.89
0.00	28	SLE Q	1	3	0.00	-14210.50	-3919.37	11.12	21.99	15.71	54.63	762.35
0.00	34	SLE R	1	3	0.00	-15652.90	-4467.42	3294.37	18.85	18.85	85.64	1192.09
0.00	33	SLE R	1	3	0.00	-15707.40	-6014.77	-229.72	21.99	15.71	84.87	1348.89
0.00	28	SLE Q	1	3	0.00	-14210.50	-3919.37	11.12	21.99	15.71	54.63	762.35
3.85	34	SLE R	1	3	385.00	-13920.40	7586.36	-1460.08	21.99	15.71	115.33	1970.27
3.85	33	SLE R	1	3	385.00	-13974.90	8037.48	141.51	21.99	15.71	111.41	1976.31
3.85	28	SLE Q	1	3	385.00	-12478.00	6655.68	-4.83	21.99	15.71	91.50	1601.58

Stato limite d'esercizio - Verifiche a fessurazione

Xg	CC	TCC	El	Sez.	X	N	My	Mz	c	s	K3	s _m	φ	A _s	A _{c eff}	σ _s	σ _{sr}	ε _m	Wk
<m>					<cm>	<daN>	<daNm>	<daNm>	<mm>	<mm>		<mm>		<cmq>	<cmq>	<daN/cmq>	<daN/cmq>		<mm>
0.00	28	SLE Q	1	3	0.00	-14210.50	11.12	-3919.37	49.00	120.50	0.13	188.05	20.00	21.99	1450.29	761.87	966.78	0.15	0.05
0.00	28	SLE Q	1	3	0.00	-14210.50	11.12	-3919.37	49.00	120.50	0.13	188.05	20.00	21.99	1450.29	761.87	966.78	0.15	0.05
3.85	28	SLE Q	1	3	385.00	-12478.00	-4.83	6655.68	49.00	120.50	0.13	188.05	20.00	21.99	1450.42	1601.35	1084.82	0.60	0.19

Staffe - Verifiche armatura

X0	X1	Staff.	Br _y	Br _z	CC	TCC	bw _y	Vsdu _y	ctgθ _y	VRsd _y	VRcd _y	bw _z	Vsdu _z	ctgθ _z	VRsd _z	VRcd _z	Sic. T
<m>	<m>						<m>	<daN>		<daN>	<daN>	<m>	<daN>		<daN>	<daN>	
0.00	0.64	ø8/6	2	2	30	SLU	0.60	4357.24	2.50	35551.90	41737.60	0.30	3006.86	1.80	57600.50	57600.50	8.16
0.00	0.64	ø8/6	2	2	29	SLU	0.60	6290.87	2.50	35551.90	41747.80	0.30	145.16	1.80	57609.70	57609.70	5.65
0.00	0.64	ø8/6	2	2	13	SND	0.60	3252.24	2.50	35551.90	40866.20	0.30	5171.47	1.78	56809.10	56809.10	10.93
0.00	0.64	ø8/6	2	2	10	SND	0.60	4617.69	2.50	35551.90	40950.90	0.30	453.33	1.78	56886.50	56886.50	7.70
0.00	0.64	ø8/6	2	2	7	SND	0.60	4617.69	2.50	35551.90	40957.10	0.30	2376.43	1.78	56892.20	56892.20	7.70
0.64	3.21	ø8/18	2	2	30	SLU	0.60	4357.24	2.50	11850.60	41690.80	0.30	2621.86	2.50	26602.50	46794.00	2.72
0.64	3.21	ø8/18	2	2	29	SLU	0.60	5905.87	2.50	11850.60	41701.00	0.30	145.16	2.50	26602.50	46805.50	2.01
0.64	3.21	ø8/18	2	2	13	SND	0.60	3252.24	2.50	11850.60	40830.20	0.30	5171.47	2.50	26602.50	45828.10	3.64
0.64	3.21	ø8/18	2	2	10	SND	0.60	4617.69	2.50	11850.60	40914.90	0.30	453.33	2.50	26602.50	45923.20	2.57
0.64	3.21	ø8/18	2	2	7	SND	0.60	4617.69	2.50	11850.60	40921.10	0.30	2376.43	2.50	26602.50	45930.10	2.57
3.21	3.85	ø8/12	2	2	30	SLU	0.60	4357.24	2.50	17776.00	41503.60	0.30	1081.86	2.50	39903.70	46584.00	4.08
3.21	3.85	ø8/12	2	2	29	SLU	0.60	4365.87	2.50	17776.00	41513.80	0.30	145.16	2.50	39903.70	46595.40	4.07
3.21	3.85	ø8/12	2	2	13	SND	0.60	3252.24	2.50	17776.00	40686.20	0.30	5171.46	2.50	39903.70	45666.50	5.47
3.21	3.85	ø8/12	2	2	10	SND	0.60	4617.69	2.50	17776.00	40770.90	0.30	453.33	2.50	39903.70	45761.60	3.85
3.21	3.85	ø8/12	2	2	7	SND	0.60	4617.69	2.50	17776.00	40777.20	0.30	2376.43	2.50	39903.70	45768.50	3.85

Pilastrata n. 6

Nodi: 6 106

Caratteristiche delle sezioni e dei materiali utilizzati

Sez.	Tipo	B	H	Cf	Cls	Fck	Fctk	Fcd	Fctd	Tp	Fyk	Fyd
		<cm>	<cm>	<cm>		<daN/cmq>	<daN/cmq>	<daN/cmq>	<daN/cmq>		<daN/cmq>	<daN/cmq>
3R		30.00	60.00	5.80	C30/37	307.10	20.59	174.02	13.73	B450C	4500.00	3913.04

Stato limite ultimo - Verifiche a flessione/pressoflessione

Xg	CC	TCC	El	Sez.	X	N	My	My ver.	Mz	Mz ver.	Nu	MRdy	MRdz	α	ε _y	Sic.
<m>					<cm>	<daN>	<daNm>	<daNm>	<daNm>	<daNm>	<daN>	<daNm>	<daNm>	<grad>		
0.00	29 (e)	SLU	1	3	0.00	-21728.00	-308.13	-472.58	-8148.70	-8148.70	-21728.00	-1122.53	-17049.80	269.30	6.02	2.093
0.00	29 (e)	SLU	1	3	0.00	-21728.00	-308.13	-472.58	-8148.70	-8148.70	-21728.00	-1122.53	-17049.80	269.30	6.02	2.093
3.85	29 (e)	SLU	1	3	385.00	-19475.70	146.85	-423.60	10692.00	10692.00	-19475.70	-601.27	16771.30	90.53	6.14	1.568

Stato limite elastico - Verifiche a flessione/pressoflessione

Xg	CC	TCC	El	Sez.	X	N	My	My ver.	Mz	Mz ver.	Nu	M'ydy	M'ydz	α	ε _y	Sic.
<m>					<cm>	<daN>	<daNm>	<daNm>	<daNm>	<daNm>	<daN>	<daNm>	<daNm>	<grad>		
0.00	22	SND	1	3	0.00	-13395.10	-1031.62		-7472.08		-13395.10	-2126.13	-13864.00	267.89	6.05	1.859
0.00	22	SND	1	3	0.00	-13395.10	-1031.62		-7472.08		-13395.10	-2126.13	-13864.00	267.89	6.05	1.859
3.85	22	SND	1	3	385.00	-11662.60	516.78		8967.81		-11662.60	960.36	13480.50	89.30	6.67	1.505

Stato limite d'esercizio - Verifiche tensionali

Xg	CC	TCC	El	Sez.	X	N	Mz	My	AfT	AfC	σ _c	σ _f
<m>					<cm>	<daN>	<daNm>	<daNm>	<cmq>	<cmq>	<daN/cmq>	<daN/cmq>
0.00	34	SLE R	1	3	0.00	-15455.50	-4284.37	3202.71	18.85	18.85	82.40	1135.31
0.00	33	SLE R	1	3	0.00	-15752.50	-5741.28	-203.39	21.99	15.71	80.96	1265.90

Relazione di calcolo

0.00	28	SLE Q	1	3	0.00	-14246.30	-3759.61	28.17	21.99	15.71	52.58	716.98
0.00	34	SLE R	1	3	0.00	-15455.50	-4284.37	3202.71	18.85	18.85	82.40	1135.31
0.00	33	SLE R	1	3	0.00	-15752.50	-5741.28	-203.39	21.99	15.71	80.96	1265.90
0.00	28	SLE Q	1	3	0.00	-14246.30	-3759.61	28.17	21.99	15.71	52.58	716.98
3.85	34	SLE R	1	3	385.00	-13723.00	7275.52	-1299.93	21.99	15.71	109.88	1869.70
3.85	28	SLE Q	1	3	385.00	-12513.80	6384.40	-34.62	21.99	15.71	88.07	1524.34

Stato limite d'esercizio - Verifiche a fessurazione

Xg <m>	CC	TCC	El	Sez.	X <cm>	N <daN>	My <daNm>	Mz <daNm>	c <mm>	s <mm>	K3	s _m <mm>	φ	A _s <cmq>	A _{c,eff} <cmq>	σ _s <daN/cmq>	σ _{sc} <daN/cmq>	ε _{sm}	Wk <mm>
0.00	28	SLE Q	1	3	0.00	-14246.30	28.17	-3759.61	49.00	120.50	0.13	188.05	20.00	21.99	1450.29	715.77	953.59	0.14	0.04
0.00	28	SLE Q	1	3	0.00	-14246.30	28.17	-3759.61	49.00	120.50	0.13	188.05	20.00	21.99	1450.29	715.77	953.59	0.14	0.04
3.85	28	SLE Q	1	3	385.00	-12513.80	-34.62	6384.40	49.00	120.50	0.13	188.05	20.00	21.99	1450.42	1522.75	1077.72	0.55	0.18

Staffe - Verifiche armatura

X0 <m>	X1 <m>	Staff.	Br _y	Br _z	CC	TCC	bw _y <m>	Vsdu _y <daN>	ctgθ _y	VRsd _y <daN>	VRcd _y <daN>	bw _z <m>	Vsdu _z <daN>	ctgθ _z	VRsd _z <daN>	VRcd _z <daN>	Sic.T
0.00	0.64	ø8/ 6	2	2	30	SLU	0.60	4179.23	2.50	35551.90	41700.20	0.30	2907.55	1.80	57566.80	57566.80	8.51
0.00	0.64	ø8/ 6	2	2	29	SLU	0.60	6048.70	2.50	35551.90	41755.70	0.30	118.18	1.80	57616.90	57616.90	5.88
0.00	0.64	ø8/ 6	2	2	13	SND	0.60	3151.14	2.50	35551.90	40962.00	0.30	4863.09	1.78	56896.60	56896.70	11.28
0.00	0.64	ø8/ 6	2	2	22	SND	0.60	4270.10	2.50	35551.90	40926.10	0.30	402.18	1.78	56863.80	56863.80	8.33
0.00	0.64	ø8/ 6	2	2	19	SND	0.60	4270.10	2.50	35551.90	40986.10	0.30	2251.11	1.78	56918.70	56918.70	8.33
0.64	3.21	ø8/18	2	2	30	SLU	0.60	4179.23	2.50	11850.60	41653.40	0.30	2522.55	2.50	26602.50	46752.10	2.84
0.64	3.21	ø8/18	2	2	29	SLU	0.60	5663.70	2.50	11850.60	41708.90	0.30	118.18	2.50	26602.50	46814.40	2.09
0.64	3.21	ø8/18	2	2	13	SND	0.60	3151.14	2.50	11850.60	40926.00	0.30	4863.09	2.50	26602.50	45935.60	3.76
0.64	3.21	ø8/18	2	2	22	SND	0.60	4270.10	2.50	11850.60	40890.10	0.30	402.18	2.50	26602.50	45895.30	2.78
0.64	3.21	ø8/18	2	2	19	SND	0.60	4270.10	2.50	11850.60	40950.10	0.30	2251.11	2.50	26602.50	45962.70	2.78
3.21	3.85	ø8/12	2	2	30	SLU	0.60	4179.23	2.50	17776.00	41466.20	0.30	982.55	2.50	39903.70	46542.00	4.25
3.21	3.85	ø8/12	2	2	25	SLU	0.60	4179.23	2.50	17776.00	41505.70	0.30	22.45	2.50	39903.70	46586.30	4.25
3.21	3.85	ø8/12	2	2	13	SND	0.60	3151.14	2.50	17776.00	40782.00	0.30	4863.09	2.50	39903.70	45774.00	5.64
3.21	3.85	ø8/12	2	2	22	SND	0.60	4270.10	2.50	17776.00	40746.10	0.30	402.18	2.50	39903.70	45733.70	4.16
3.21	3.85	ø8/12	2	2	19	SND	0.60	4270.10	2.50	17776.00	40806.20	0.30	2251.11	2.50	39903.70	45801.10	4.16

Pilastrata n. 7

Nodi: 7 107

Caratteristiche delle sezioni e dei materiali utilizzati

Sez.	Tipo	B <cm>	H <cm>	Cf <cm>	Cls	Fck <daN/cmq>	Fctk <daN/cmq>	Fcd <daN/cmq>	Fctd <daN/cmq>	Tp	Fyk <daN/cmq>	Fyd <daN/cmq>
3R		30.00	60.00	5.80	C30/37	307.10	20.59	174.02	13.73	B450C	4500.00	3913.04

Stato limite ultimo - Verifiche a flessione/pressoflessione

Xg <m>	CC	TCC	El	Sez.	X <cm>	N <daN>	My <daNm>	My ver. <daNm>	Mz <daNm>	Mz ver. <daNm>	Nu <daN>	MRdy <daNm>	MRdz <daNm>	α <grad>	ε _y	Sic.
0.00	29(e)	SLU	1	3	0.00	-23077.90	13502.80	13502.80	-107.43	-501.94	-23077.90	36854.70	-1354.23	348.75	6.38	2.729
0.00	29(e)	SLU	1	3	0.00	-23077.90	13502.80	13502.80	-107.43	-501.94	-23077.90	36854.70	-1354.23	348.75	6.38	2.729
3.85	29(e)	SLU	1	3	385.00	-20825.60	-18329.90	-18329.90	86.31	452.96	-20825.60	-36576.70	1333.93	168.75	6.50	1.996

Stato limite elastico - Verifiche a flessione/pressoflessione

Xg <m>	CC	TCC	El	Sez.	X <cm>	N <daN>	My <daNm>	My ver. <daNm>	Mz <daNm>	Mz ver. <daNm>	Nu <daN>	M'y _{dy} <daNm>	M'y _{dz} <daNm>	α <grad>	ε _y	Sic.
0.00	19	SND	1	3	0.00	-12918.30	17007.50		1858.04		-12918.30	26155.40	3094.21	28.13	5.70	1.539
0.00	19	SND	1	3	0.00	-12918.30	17007.50		1858.04		-12918.30	26155.40	3094.21	28.13	5.70	1.539
3.85	19	SND	1	3	385.00	-11185.80	-15601.90		-1537.90		-11185.80	-25980.90	-2342.53	202.50	6.17	1.664

Stato limite d'esercizio - Verifiche tensionali

Xg <m>	CC	TCC	El	Sez.	X <cm>	N <daN>	Mz <daNm>	My <daNm>	AfT <cmq>	AfC <cmq>	σ _c <daN/cmq>	σ _f <daN/cmq>
0.00	34	SLE R	1	3	0.00	-16098.90	1473.25	6870.25	18.85	18.85	65.93	870.69
0.00	33	SLE R	1	3	0.00	-16645.70	-71.32	9471.02	21.99	15.71	61.24	1032.49
0.00	28	SLE Q	1	3	0.00	-14867.70	5.51	6072.95	21.99	15.71	39.21	547.36
0.00	34	SLE R	1	3	0.00	-16098.90	1473.25	6870.25	18.85	18.85	65.93	870.69
0.00	33	SLE R	1	3	0.00	-16645.70	-71.32	9471.02	21.99	15.71	61.24	1032.49
0.00	28	SLE Q	1	3	0.00	-14867.70	5.51	6072.95	21.99	15.71	39.21	547.36
3.85	34	SLE R	1	3	385.00	-14366.40	-456.10	-12003.20	21.99	15.71	82.53	1548.19
3.85	33	SLE R	1	3	385.00	-14913.20	57.31	-13039.60	21.99	15.71	82.42	1634.23
3.85	28	SLE Q	1	3	385.00	-13135.20	-5.77	-10610.20	21.99	15.71	66.57	1295.92

Stato limite d'esercizio - Verifiche a fessurazione

Xg <m>	CC	TCC	El	Sez.	X <cm>	N <daN>	My <daNm>	Mz <daNm>	c <mm>	s <mm>	K3	s _m <mm>	φ	A _s <cmq>	A _{c,eff} <cmq>	σ _s <daN/cmq>	σ _{sc} <daN/cmq>	ε _{sm}	Wk <mm>
0.00	28	SLE Q	1	3	0.00	-14867.70	6072.95	5.51	49.00	91.00	0.13	175.41	20.00	15.71	930.09	547.36	1035.29	0.11	0.03
0.00	28	SLE Q	1	3	0.00	-14867.70	6072.95	5.51	49.00	91.00	0.13	175.41	20.00	15.71	930.09	547.36	1035.29	0.11	0.03
3.85	28	SLE Q	1	3	385.00	-13135.20	-10610.20	-5.77	49.00	91.00	0.13	174.93	20.00	21.99	1291.59	1295.92	1203.79	0.36	0.11

Staffe - Verifiche armatura

X0 <m>	X1 <m>	Staff.	Br _y	Br _z	CC	TCC	bw _y <m>	Vsdu _y <daN>	ctgθ _y	VRsd _y <daN>	VRcd _y <daN>	bw _z <m>	Vsdu _z <daN>	ctgθ _z	VRsd _z <daN>	VRcd _z <daN>	Sic.T
--------	--------	--------	-----------------	-----------------	----	-----	---------------------	-------------------------	-------------------	-------------------------	-------------------------	---------------------	-------------------------	-------------------	-------------------------	-------------------------	-------

Relazione di calcolo

0.00	0.64	ø8/ 6	2	2	29	SLU	0.60	50.32	2.50	35551.90	41924.00	0.30	8845.72	1.81	57768.40	57768.40	6.53
0.00	0.64	ø8/ 6	2	2	30	SLU	0.60	1906.49	2.50	35551.90	41821.80	0.30	6851.13	1.81	57676.40	57676.40	8.42
0.00	0.64	ø8/ 6	2	2	22	SND	0.60	168.02	2.50	35551.90	41119.40	0.30	8469.99	1.79	57040.20	57040.20	6.73
0.00	0.64	ø8/ 6	2	2	13	SND	0.60	1918.68	2.50	35551.90	41073.40	0.30	5797.19	1.79	56998.20	56998.20	9.83
0.64	3.21	ø8/18	2	2	29	SLU	0.60	50.32	2.50	11850.60	41877.20	0.30	8653.22	2.50	26602.50	47003.30	3.07
0.64	3.21	ø8/18	2	2	30	SLU	0.60	1521.49	2.50	11850.60	41775.00	0.30	6851.13	2.50	26602.50	46888.50	3.88
0.64	3.21	ø8/18	2	2	22	SND	0.60	168.02	2.50	11850.60	41083.40	0.30	8469.99	2.50	26602.50	46112.30	3.14
0.64	3.21	ø8/18	2	2	19	SND	0.60	882.06	2.50	11850.60	41136.80	0.30	8469.99	2.50	26602.50	46172.20	3.14
0.64	3.21	ø8/18	2	2	13	SND	0.60	1918.68	2.50	11850.60	41037.40	0.30	5797.19	2.50	26602.50	46060.60	4.59
3.21	3.85	ø8/12	2	2	29	SLU	0.60	50.32	2.50	17776.00	41690.00	0.30	7883.22	2.50	39903.70	46793.20	5.06
3.21	3.85	ø8/12	2	2	30	SLU	0.60	403.51	2.50	17776.00	41587.80	0.30	6851.13	2.50	39903.70	46678.40	5.82
3.21	3.85	ø8/12	2	2	22	SND	0.60	168.02	2.50	17776.00	40939.50	0.30	8469.99	2.50	39903.70	45950.70	4.71
3.21	3.85	ø8/12	2	2	19	SND	0.60	882.06	2.50	17776.00	40992.80	0.30	8469.99	2.50	39903.70	46010.60	4.71
3.21	3.85	ø8/12	2	2	13	SND	0.60	1918.68	2.50	17776.00	40893.40	0.30	5797.19	2.50	39903.70	45899.00	6.88

Pilastrata n. 8

Nodi: 8 108

Caratteristiche delle sezioni e dei materiali utilizzati

Sez.	Tipo	B	H	Cf	Cls	Fck	Fctk	Fcd	Fctd	Tp	Fyk	Fyd
		<cm>	<cm>	<cm>		<daN/cm²>	<daN/cm²>	<daN/cm²>	<daN/cm²>		<daN/cm²>	<daN/cm²>
3R		30.00	60.00	5.80	C30/37	307.10	20.59	174.02	13.73	B450C	4500.00	3913.04

Stato limite ultimo - Verifiche a flessione/pressoflessione

Xg	CC	TCC	El	Sez.	X	N	My	My ver.	Mz	Mz ver.	Nu	MRdy	MRdz	α	εy	Sic.	
<m>					<cm>	<daN>	<daNm>	<daNm>	<daNm>	<daNm>	<daN>	<daNm>	<daNm>	<grad>			
0.00	29	(e)	SLU	1	3	0.00	-23560.10	12763.10	12763.10	-57.26	-512.43	-23560.10	36914.00	-1358.62	348.75	6.35	2.892
0.00	29	(e)	SLU	1	3	0.00	-23560.10	12763.10	12763.10	-57.26	-512.43	-23560.10	36914.00	-1358.62	348.75	6.35	2.892
3.85	29	(e)	SLU	1	3	385.00	-21307.90	-17522.50	-17522.50	1.11	463.45	-21307.90	-36636.50	1338.27	168.75	6.47	2.091

Stato limite elastico - Verifiche a flessione/pressoflessione

Xg	CC	TCC	El	Sez.	X	N	My	My ver.	Mz	Mz ver.	Nu	M'ydy	M'ydz	α	εy	Sic.
<m>					<cm>	<daN>	<daNm>	<daNm>	<daNm>	<daNm>	<daN>	<daNm>	<daNm>	<grad>		
0.00	19	SND	1	3	0.00	-13854.60	16103.10		1841.17		-13854.60	26286.00	3098.90	28.13	5.66	1.633
0.00	19	SND	1	3	0.00	-13854.60	16103.10		1841.17		-13854.60	26286.00	3098.90	28.13	5.66	1.633
3.85	19	SND	1	3	385.00	-12122.10	-14849.60		-1509.25		-12122.10	-26137.50	-2350.29	202.50	6.12	1.758

Stato limite d'esercizio - Verifiche tensionali

Xg	CC	TCC	El	Sez.	X	N	Mz	My	AfT	AfC	σc	σf	
<m>					<cm>	<daN>	<daNm>	<daNm>	<cmq>	<cmq>	<daN/cm²>	<daN/cm²>	
0.00	34	SLE	R	1	3	0.00	-16815.00	1483.32	6628.00	18.85	18.85	64.40	816.43
0.00	33	SLE	R	1	3	0.00	-16997.10	-34.76	8959.49	21.99	15.71	57.60	938.78
0.00	28	SLE	Q	1	3	0.00	-15254.70	41.90	5861.27	21.99	15.71	38.48	510.53
0.00	34	SLE	R	1	3	0.00	-16815.00	1483.32	6628.00	18.85	18.85	64.40	816.43
0.00	33	SLE	R	1	3	0.00	-16997.10	-34.76	8959.49	21.99	15.71	57.60	938.78
0.00	28	SLE	Q	1	3	0.00	-15254.70	41.90	5861.27	21.99	15.71	38.48	510.53
3.85	34	SLE	R	1	3	385.00	-15082.50	-473.20	-11580.00	21.99	15.71	80.30	1464.46
3.85	33	SLE	R	1	3	385.00	-15264.60	-4.77	-12469.30	21.99	15.71	78.17	1527.44
3.85	28	SLE	Q	1	3	385.00	-13522.20	-67.56	-10240.40	21.99	15.71	65.39	1236.65

Stato limite d'esercizio - Verifiche a fessurazione

Xg	CC	TCC	El	Sez.	X	N	My	Mz	c	s	K3	s _m	φ	A _s	A _{c,eff}	σ _s	σ _{sz}	ε _{sm}	w _k	
<m>					<cm>	<daN>	<daNm>	<daNm>	<mm>	<mm>		<mm>		<cm²>	<cm²>	<daN/cm²>	<daN/cm²>		<mm>	
0.00	28	SLE	Q	1	3	0.00	-15254.70	5861.27	41.90	49.00	91.00	0.13	175.41	20.00	15.71	930.09	510.53	1004.25	0.10	0.03
0.00	28	SLE	Q	1	3	0.00	-15254.70	5861.27	41.90	49.00	91.00	0.13	175.41	20.00	15.71	930.09	510.53	1004.25	0.10	0.03
3.85	28	SLE	Q	1	3	385.00	-13522.20	-10240.40	-67.56	49.00	91.00	0.13	174.93	20.00	21.99	1291.59	1236.65	1184.50	0.32	0.10

Staffe - Verifiche armatura

X0	X1	Staff.	Br _y	Br _z	CC	TCC	bw _{y,z}	Vsdu _{y,z}	ctgθ _{y,z}	VRsd _{y,z}	VRcd _{y,z}	bw _{y,z}	Vsdu _{y,z}	ctgθ _{y,z}	VRsd _{y,z}	VRcd _{y,z}	Sic.	T
<m>	<m>						<cm>	<daN>		<daN>	<daN>	<cm>	<daN>		<daN>	<daN>		
0.00	0.64	ø8/ 6	2	2	29	SLU	0.60	15.16	2.50	35551.90	41984.10	0.30	8443.88	1.81	57822.50	57822.50	6.85	
0.00	0.64	ø8/ 6	2	2	30	SLU	0.60	1913.80	2.50	35551.90	41950.10	0.30	6611.54	1.81	57791.90	57791.90	8.74	
0.00	0.64	ø8/ 6	2	2	22	SND	0.60	133.91	2.50	35551.90	41161.70	0.30	8039.68	1.79	57078.70	57078.70	7.10	
0.00	0.64	ø8/ 6	2	2	13	SND	0.60	1860.67	2.50	35551.90	41088.50	0.30	5712.48	1.79	57012.00	57012.00	9.98	
0.64	3.21	ø8/18	2	2	29	SLU	0.60	15.16	2.50	11850.60	41937.30	0.30	8251.38	2.50	26602.50	47070.80	3.22	
0.64	3.21	ø8/18	2	2	30	SLU	0.60	1528.80	2.50	11850.60	41903.30	0.30	6611.54	2.50	26602.50	47032.50	4.02	
0.64	3.21	ø8/18	2	2	22	SND	0.60	133.91	2.50	11850.60	41125.70	0.30	8039.68	2.50	26602.50	46159.70	3.31	
0.64	3.21	ø8/18	2	2	19	SND	0.60	870.24	2.50	11850.60	41154.50	0.30	8039.68	2.50	26602.50	46192.00	3.31	
0.64	3.21	ø8/18	2	2	13	SND	0.60	1860.67	2.50	11850.60	41052.50	0.30	5712.48	2.50	26602.50	46077.60	4.66	
3.21	3.85	ø8/10	2	2	29	SLU	0.60	15.16	2.50	21331.10	41750.20	0.30	7481.38	2.47	47286.90	47286.90	6.32	
3.21	3.85	ø8/10	2	2	30	SLU	0.60	396.20	2.50	21331.10	41716.10	0.30	6611.54	2.47	47264.50	47264.50	7.15	
3.21	3.85	ø8/10	2	2	22	SND	0.60	133.91	2.50	21331.10	40981.70	0.30	8039.68	2.44	46777.60	46777.60	5.82	
3.21	3.85	ø8/10	2	2	13	SND	0.60	1860.67	2.50	21331.10	40908.50	0.30	5712.48	2.44	46728.80	46728.80	8.18	

Pilastrata n. 9

Nodi: 9 109

Caratteristiche delle sezioni e dei materiali utilizzati

Sez.	Tipo	B	H	Cf	Cls	Fck	Fctk	Fcd	Fctd	Tp	Fyk	Fyd
------	------	---	---	----	-----	-----	------	-----	------	----	-----	-----

Relazione di calcolo

	<cm>	<cm>	<cm>	<cm>	<daN/cm²>	<daN/cm²>	<daN/cm²>	<daN/cm²>		<daN/cm²>	<daN/cm²>
3R	30.00	60.00	5.80	C30/37	307.10	20.59	174.02	13.73	B450C	4500.00	3913.04

Stato limite ultimo - Verifiche a flessione/pressoflessione

Xg <m>	CC	TCC	El	Sez.	X <cm>	N <daN>	My <daNm>	My ver. <daNm>	Mz <daNm>	Mz ver. <daNm>	Nu <daN>	MRdy <daNm>	MRdz <daNm>	α <grad>	ε _y	Sic.
0.00	29	SLU	1	3	0.00	-14573.00	8709.64		-416.82		-14573.00	31819.80	-1478.39	348.75	7.95	3.653
0.00	29	SLU	1	3	0.00	-14573.00	8709.64		-416.82		-14573.00	31819.80	-1478.39	348.75	7.95	3.653
3.85	29	SLU	1	3	385.00	-12320.70	-10943.00		611.69		-12320.70	-31479.10	1500.72	168.75	8.10	2.875

Stato limite elastico - Verifiche a flessione/pressoflessione

Xg <m>	CC	TCC	El	Sez.	X <cm>	N <daN>	My <daNm>	My ver. <daNm>	Mz <daNm>	Mz ver. <daNm>	Nu <daN>	M'ydy <daNm>	M'ydz <daNm>	α <grad>	ε _y	Sic.
0.00	19	SND	1	3	0.00	-8051.79	13447.10		-1480.49		-8051.79	23022.60	-2288.51	337.50	7.11	1.710
0.00	19	SND	1	3	0.00	-8051.79	13447.10		-1480.49		-8051.79	23022.60	-2288.51	337.50	7.11	1.710
3.85	19	SND	1	3	385.00	-6319.29	-10735.30		1212.97		-6319.29	-22686.30	2292.62	157.50	7.21	2.111

Stato limite d'esercizio - Verifiche tensionali

Xg <m>	CC	TCC	El	Sez.	X <cm>	N <daN>	Mz <daNm>	My <daNm>	AfT <cmq>	AfC <cmq>	σ _c <daN/cm²>	σ _f <daN/cm²>
0.00	33	SLE R	1	3	0.00	-10573.50	-296.03	6089.60	15.71	15.71	45.12	770.22
0.00	28	SLE Q	1	3	0.00	-9554.09	-227.68	3614.63	15.71	15.71	27.75	365.58
0.00	33	SLE R	1	3	0.00	-10573.50	-296.03	6089.60	15.71	15.71	45.12	770.22
0.00	28	SLE Q	1	3	0.00	-9554.09	-227.68	3614.63	15.71	15.71	27.75	365.58
3.85	33	SLE R	1	3	385.00	-8840.96	438.91	-7790.06	18.85	12.57	58.42	1148.30
3.85	28	SLE Q	1	3	385.00	-7821.59	390.23	-6315.23	18.85	12.57	48.03	915.40

Stato limite d'esercizio - Verifiche a fessurazione

Xg <m>	CC	TCC	El	Sez.	X <cm>	N <daN>	My <daNm>	Mz <daNm>	c <mm>	s <mm>	K3	s _m <mm>	φ	A _s <cm²>	A _c eff <cm²>	σ _s <daN/cm²>	σ _{sr} <daN/cm²>	ε _{sm}	W _k <mm>
0.00	28	SLE Q	1	3	0.00	-9554.09	3614.63	-227.68	49.00	91.00	0.13	183.07	20.00	15.71	1050.54	365.58	993.93	0.07	0.02
0.00	28	SLE Q	1	3	0.00	-9554.09	3614.63	-227.68	49.00	91.00	0.13	183.07	20.00	15.71	1050.54	365.58	993.93	0.07	0.02
3.85	28	SLE Q	1	3	385.00	-7821.59	-6315.23	390.23	49.00	91.00	0.13	183.06	20.00	15.71	1050.40	915.40	1218.42	0.18	0.06

Staffe - Verifiche armatura

X0 <m>	X1 <m>	Staff.	Br _y	Br _z	CC	TCC	b _{w,y} <m>	Vsdu _y <daN>	ctgθ _y	VRsd _y <daN>	VRcd _y <daN>	b _{w,z} <m>	Vsdu _z <daN>	ctgθ _z	VRsd _z <daN>	VRcd _z <daN>	Sic. T
0.00	0.64	ø8/8	2	2	29	SLU	0.60	267.14	2.50	26663.90	40863.80	0.30	5682.08	2.13	51101.30	51101.30	8.99
0.00	0.64	ø8/8	2	2	30	SLU	0.60	897.77	2.50	26663.90	40788.60	0.30	3999.27	2.13	51043.90	51044.00	12.76
0.00	0.64	ø8/8	2	2	22	SND	0.60	87.14	2.50	26663.90	40420.30	0.30	6281.13	2.12	50762.00	50762.00	8.08
0.00	0.64	ø8/8	2	2	1	SND	0.60	1602.03	2.50	26663.90	40392.10	0.30	2700.39	2.12	50740.40	50740.40	16.64
0.64	3.21	ø8/18	2	2	29	SLU	0.60	267.14	2.50	11850.60	40817.00	0.30	5489.58	2.50	26602.50	45813.30	4.85
0.64	3.21	ø8/18	2	2	30	SLU	0.60	705.27	2.50	11850.60	40741.80	0.30	3999.27	2.50	26602.50	45728.90	6.65
0.64	3.21	ø8/18	2	2	22	SND	0.60	87.14	2.50	11850.60	40384.30	0.30	6281.13	2.50	26602.50	45327.60	4.24
0.64	3.21	ø8/18	2	2	19	SND	0.60	699.60	2.50	11850.60	40466.60	0.30	6281.13	2.50	26602.50	45419.90	4.24
0.64	3.21	ø8/18	2	2	1	SND	0.60	1602.03	2.50	11850.60	40356.10	0.30	2700.39	2.50	26602.50	45296.00	7.40
3.21	3.85	ø8/12	2	2	29	SLU	0.60	267.14	2.50	17776.00	40629.90	0.30	4719.58	2.50	39903.70	45603.20	8.45
3.21	3.85	ø8/12	2	2	22	SND	0.60	87.14	2.50	17776.00	40240.40	0.30	6281.13	2.50	39903.70	45166.00	6.35
3.21	3.85	ø8/12	2	2	19	SND	0.60	699.60	2.50	17776.00	40322.60	0.30	6281.13	2.50	39903.70	45258.30	6.35
3.21	3.85	ø8/12	2	2	1	SND	0.60	1602.03	2.50	17776.00	40212.20	0.30	2700.39	2.50	39903.70	45134.40	11.10

Pilastrata n. 10

Nodi: 10 110

Caratteristiche delle sezioni e dei materiali utilizzati

Sez.	Tipo	B <cm>	H <cm>	Cf <cm>	Cls	Fck <daN/cm²>	Fctk <daN/cm²>	Fcd <daN/cm²>	Fctd <daN/cm²>	Tp	Fyk <daN/cm²>	Fyd <daN/cm²>
3R		30.00	60.00	6.00	C30/37	307.10	20.59	174.02	13.73	B450C	4500.00	3913.04

Stato limite ultimo - Verifiche a flessione/pressoflessione

Xg <m>	CC	TCC	El	Sez.	X <cm>	N <daN>	My <daNm>	My ver. <daNm>	Mz <daNm>	Mz ver. <daNm>	Nu <daN>	MRdy <daNm>	MRdz <daNm>	α <grad>	ε _y	Sic.
0.00	30	SLU	1	3	0.00	-14480.70	-5984.48		1942.94		-14480.70	-32577.50	10649.60	126.56	4.00	5.447
0.00	30	SLU	1	3	0.00	-14480.70	-5984.48		1942.94		-14480.70	-32577.50	10649.60	126.56	4.00	5.447
3.85	30	SLU	1	3	385.00	-12228.40	10455.70		-1222.85		-12228.40	39791.00	-4831.95	331.88	4.91	3.808

Stato limite elastico - Verifiche a flessione/pressoflessione

Xg <m>	CC	TCC	El	Sez.	X <cm>	N <daN>	My <daNm>	My ver. <daNm>	Mz <daNm>	Mz ver. <daNm>	Nu <daN>	M'ydy <daNm>	M'ydz <daNm>	α <grad>	ε _y	Sic.
0.00	19	SND	1	3	0.00	-6194.50	-26081.20		1568.20		-6194.50	-30136.50	2037.15	163.13	5.70	1.156
0.00	19	SND	1	3	0.00	-6194.50	-26081.20		1568.20		-6194.50	-30136.50	2037.15	163.13	5.70	1.156
3.85	19	SND	1	3	385.00	-4462.00	16892.10		-1354.74		-4462.00	29686.80	-2781.57	337.50	5.43	1.759

Stato limite d'esercizio - Verifiche tensionali

Xg	CC	TCC	El	Sez.	X	N	Mz	My	AfT	AfC	σ _c	σ _f
----	----	-----	----	------	---	---	----	----	-----	-----	----------------	----------------

Relazione di calcolo

<m>					<cm>	<daN>	<daNm>	<daNm>	<cmq>	<cmq>	<daN/cmq>	<daN/cmq>	
0.00	34	SLE	R	1	3	0.00	-10509.50	1312.71	-4293.28	25.13	25.13	42.25	516.63
0.00	28	SLE	Q	1	3	0.00	-9521.34	216.42	-3853.35	25.13	25.13	25.91	326.18
0.00	34	SLE	R	1	3	0.00	-10509.50	1312.71	-4293.28	25.13	25.13	42.25	516.63
0.00	28	SLE	Q	1	3	0.00	-9521.34	216.42	-3853.35	25.13	25.13	25.91	326.18
3.85	34	SLE	R	1	3	385.00	-8776.96	-844.52	7500.91	31.42	18.85	54.99	897.53
3.85	28	SLE	Q	1	3	385.00	-7788.84	-363.93	6732.29	28.27	21.99	44.06	754.62

Stato limite d'esercizio - Verifiche a fessurazione

Xg	CC	TCC	El	Sez.	X	N	My	Mz	c	s	K3	s _m	Φ	A _s	A _c eff	σ _s	σ _{sr}	ε _{sm}	Wk	
<m>					<cm>	<daN>	<daNm>	<daNm>	<mm>	<mm>		<mm>		<cmq>	<cmq>	<daN/cmq>	<daN/cmq>		<mm>	
0.00	28	SLE	Q	1	3	0.00	-9521.34	-3853.35	216.42	49.00	80.33	0.13	161.34	20.00	25.13	1188.10	326.18	879.42	0.06	0.02
0.00	28	SLE	Q	1	3	0.00	-9521.34	-3853.35	216.42	49.00	80.33	0.13	161.34	20.00	25.13	1188.10	326.18	879.42	0.06	0.02
3.85	28	SLE	Q	1	3	385.00	-7788.84	6732.29	-363.93	49.00	80.33	0.13	159.77	20.00	28.27	1292.17	754.62	1015.72	0.15	0.04

Staffe - Verifiche armatura

X0	X1	Staff.	Br _y	Br _z	CC	TCC	bw _y	Vsdu _y	ctgθ _y	VRsd _y	VRcd _y	bw _z	Vsdu _z	ctgθ _z	VRsd _z	VRcd _z	Sic. T
<m>	<m>						<m>	<daN>		<daN>	<daN>	<m>	<daN>		<daN>	<daN>	
0.00	0.64	Ø10/ 8	2	2	25	SLU	0.60	210.15	2.47	41162.40	41162.40	0.30	4270.16	1.60	59743.80	59743.80	13.99
0.00	0.64	Ø10/ 8	2	2	30	SLU	0.60	1399.78	2.47	41189.90	41189.90	0.30	4270.16	1.60	59791.40	59791.40	14.00
0.00	0.64	Ø10/ 8	2	2	22	SND	0.60	129.84	2.46	41057.70	41057.70	0.30	11161.90	1.59	59561.90	59561.90	5.34
0.00	0.64	Ø10/ 8	2	2	1	SND	0.60	1778.00	2.46	40985.30	40985.30	0.30	3978.83	1.59	59436.20	59436.20	14.94
0.64	3.21	Ø8/18	2	2	25	SLU	0.60	210.15	2.50	11850.60	40758.80	0.30	4270.16	2.50	26602.50	45747.90	6.23
0.64	3.21	Ø8/18	2	2	30	SLU	0.60	1207.28	2.50	11850.60	40805.50	0.30	4270.16	2.50	26602.50	45800.40	6.23
0.64	3.21	Ø8/18	2	2	22	SND	0.60	129.84	2.50	11850.60	40591.40	0.30	11161.90	2.50	26602.50	45560.00	2.38
0.64	3.21	Ø8/18	2	2	19	SND	0.60	759.20	2.50	11850.60	40710.10	0.30	11161.90	2.50	26602.50	45693.20	2.38
0.64	3.21	Ø8/18	2	2	1	SND	0.60	1778.00	2.50	11850.60	40468.50	0.30	3978.83	2.50	26602.50	45422.20	6.67
3.21	3.85	Ø8/12	2	2	25	SLU	0.60	210.15	2.50	17776.00	40571.60	0.30	4270.16	2.50	39903.70	45537.80	9.34
3.21	3.85	Ø8/12	2	2	30	SLU	0.60	437.28	2.50	17776.00	40618.40	0.30	4270.16	2.50	39903.70	45590.30	9.34
3.21	3.85	Ø8/12	2	2	22	SND	0.60	129.84	2.50	17776.00	40447.40	0.30	11161.90	2.50	39903.70	45398.40	3.57
3.21	3.85	Ø8/12	2	2	19	SND	0.60	759.20	2.50	17776.00	40566.10	0.30	11161.90	2.50	39903.70	45531.60	3.57
3.21	3.85	Ø8/12	2	2	1	SND	0.60	1778.00	2.50	17776.00	40324.60	0.30	3978.82	2.50	39903.70	45260.50	10.00

Pilastrata n. 11

Nodi: 11 111

Caratteristiche delle sezioni e dei materiali utilizzati

Sez.	Tipo	B	H	Cf	Cls	Fck	Fctk	Fcd	Fctd	TP	Fyk	Fyd
		<cm>	<cm>	<cm>		<daN/cmq>	<daN/cmq>	<daN/cmq>	<daN/cmq>		<daN/cmq>	<daN/cmq>
3R		30.00	60.00	5.80	C30/37	307.10	20.59	174.02	13.73	B450C	4500.00	3913.04

Stato limite ultimo - Verifiche a flessione/pressoflessione

Xg	CC	TCC	El	Sez.	X	N	My	My ver.	Mz	Mz ver.	Nu	MRdy	MRdz	α	ε _y	Sic.
<m>					<cm>	<daN>	<daNm>	<daNm>	<daNm>	<daNm>	<daN>	<daNm>	<daNm>	<grad>		
0.00	30	SLU	1	3	0.00	-22299.30	4706.25		5988.94		-22299.30	12332.70	15526.70	79.45	4.39	2.603
0.00	30	SLU	1	3	0.00	-22299.30	4706.25		5988.94		-22299.30	12332.70	15526.70	79.45	4.39	2.603
3.85	30	SLU	1	3	385.00	-20047.10	-1780.76		-10170.10		-20047.10	-2948.96	-16772.60	267.54	5.59	1.649

Stato limite elastico - Verifiche a flessione/pressoflessione

Xg	CC	TCC	El	Sez.	X	N	My	My ver.	Mz	Mz ver.	Nu	M'y _{dy}	M'y _{dz}	α	ε _y	Sic.
<m>					<cm>	<daN>	<daNm>	<daNm>	<daNm>	<daNm>	<daN>	<daNm>	<daNm>	<grad>		
0.00	22	SND	1	3	0.00	-13454.60	988.49		10048.90		-13454.60	1333.81	13647.20	88.59	6.25	1.358
0.00	22	SND	1	3	0.00	-13454.60	988.49		10048.90		-13454.60	1333.81	13647.20	88.59	6.25	1.358
3.85	22	SND	1	3	385.00	-11722.10	1326.19		-10769.80		-11722.10	1835.03	-13620.80	271.76	6.26	1.267

Stato limite d'esercizio - Verifiche tensionali

Xg	CC	TCC	El	Sez.	X	N	Mz	My	AfT	AfC	σ _c	σ _f	
<m>					<cm>	<daN>	<daNm>	<daNm>	<cmq>	<cmq>	<daN/cmq>	<daN/cmq>	
0.00	34	SLE	R	1	3	0.00	-16158.40	4302.68	3131.55	18.85	18.85	82.11	1113.94
0.00	28	SLE	Q	1	3	0.00	-14567.50	3775.46	-75.72	21.99	15.71	53.15	717.41
0.00	34	SLE	R	1	3	0.00	-16158.40	4302.68	3131.55	18.85	18.85	82.11	1113.94
0.00	28	SLE	Q	1	3	0.00	-14567.50	3775.46	-75.72	21.99	15.71	53.15	717.41
3.85	34	SLE	R	1	3	385.00	-14425.90	-7306.61	-1175.62	21.99	15.71	109.42	1847.65
3.85	28	SLE	Q	1	3	385.00	-12835.00	-6411.31	146.90	21.99	15.71	89.32	1533.85

Stato limite d'esercizio - Verifiche a fessurazione

Xg	CC	TCC	El	Sez.	X	N	My	Mz	c	s	K3	s _m	Φ	A _s	A _c eff	σ _s	σ _{sr}	ε _{sm}	Wk	
<m>					<cm>	<daN>	<daNm>	<daNm>	<mm>	<mm>		<mm>		<cmq>	<cmq>	<daN/cmq>	<daN/cmq>		<mm>	
0.00	28	SLE	Q	1	3	0.00	-14567.50	-75.72	3775.46	49.00	120.50	0.13	188.05	20.00	21.99	1450.42	714.15	944.46	0.14	0.04
0.00	28	SLE	Q	1	3	0.00	-14567.50	-75.72	3775.46	49.00	120.50	0.13	188.05	20.00	21.99	1450.42	714.15	944.46	0.14	0.04
3.85	28	SLE	Q	1	3	385.00	-12835.00	146.90	-6411.31	49.00	120.50	0.13	188.05	20.00	21.99	1450.29	1527.10	1068.87	0.56	0.18

Staffe - Verifiche armatura

X0	X1	Staff.	Br _y	Br _z	CC	TCC	bw _y	Vsdu _y	ctgθ _y	VRsd _y	VRcd _y	bw _z	Vsdu _z	ctgθ _z	VRsd _z	VRcd _z	Sic. T
<m>	<m>						<m>	<daN>		<daN>	<daN>	<m>	<daN>		<daN>	<daN>	
0.00	0.64	Ø8/ 6	2	2	30	SLU	0.60	4197.16	2.50	35551.90	41827.00	0.30	2839.94	1.81	57681.10	57681.10	8.47
0.00	0.64	Ø8/ 6	2	2	25	SLU	0.60	4197.16	2.50	35551.90	41799.30	0.30	77.74	1.81	57656.10	57656.10	8.47

Relazione di calcolo

0.00	0.64	ø8/ 6	2	2	13	SND	0.60	3671.48	2.50	35551.90	41013.20	0.30	4976.68	1.78	56943.30	56943.40	9.68
0.00	0.64	ø8/ 6	2	2	22	SND	0.60	5407.44	2.50	35551.90	41038.00	0.30	363.82	1.78	56966.00	56966.00	6.57
0.00	0.64	ø8/ 6	2	2	19	SND	0.60	5407.44	2.50	35551.90	41084.70	0.30	2328.59	1.79	57008.60	57008.60	6.57
0.64	3.21	ø8/18	2	2	30	SLU	0.60	4197.16	2.50	11850.60	41780.20	0.30	2454.94	2.50	26602.50	46894.30	2.82
0.64	3.21	ø8/18	2	2	25	SLU	0.60	4197.16	2.50	11850.60	41752.50	0.30	77.74	2.50	26602.50	46863.20	2.82
0.64	3.21	ø8/18	2	2	13	SND	0.60	3671.48	2.50	11850.60	40977.20	0.30	4976.68	2.50	26602.50	45993.10	3.23
0.64	3.21	ø8/18	2	2	22	SND	0.60	5407.44	2.50	11850.60	41002.00	0.30	363.82	2.50	26602.50	46020.90	2.19
0.64	3.21	ø8/18	2	2	19	SND	0.60	5407.44	2.50	11850.60	41048.80	0.30	2328.59	2.50	26602.50	46073.40	2.19
3.21	3.85	ø8/12	2	2	30	SLU	0.60	4197.16	2.50	17776.00	41593.00	0.30	914.94	2.50	39903.70	46684.30	4.24
3.21	3.85	ø8/12	2	2	29	SLU	0.60	4429.26	2.50	17776.00	41538.60	0.30	67.32	2.50	39903.70	46623.20	4.01
3.21	3.85	ø8/12	2	2	13	SND	0.60	3671.48	2.50	17776.00	40833.20	0.30	4976.68	2.50	39903.70	45831.40	4.84
3.21	3.85	ø8/12	2	2	22	SND	0.60	5407.44	2.50	17776.00	40858.00	0.30	363.82	2.50	39903.70	45859.30	3.29
3.21	3.85	ø8/12	2	2	19	SND	0.60	5407.44	2.50	17776.00	40904.80	0.30	2328.59	2.50	39903.70	45911.80	3.29

Pilastrata n. 12

Nodi: 12 112

Caratteristiche delle sezioni e dei materiali utilizzati

Sez.	Tipo	B	H	Cf	Cls	Fck	Fctk	Fcd	Fctd	Tp	Fyk	Fyd
		<cm>	<cm>	<cm>		<daN/cm>	<daN/cm>	<daN/cm>	<daN/cm>		<daN/cm>	<daN/cm>
3R		30.00	60.00	5.80	C30/37	307.10	20.59	174.02	13.73	B450C	4500.00	3913.04

Stato limite ultimo - Verifiche a flessione/pressoflessione

Xg	CC	TCC	El	Sez.	X	N	My	My ver.	Mz	Mz ver.	Nu	MRdy	MRdz	α	ε _y	Sic.
<m>					<cm>	<daN>	<daNm>	<daNm>	<daNm>	<daNm>	<daN>	<daNm>	<daNm>	<grad>		
0.00	30	SLU	1	3	0.00	-21507.40	4948.39		6219.31		-21507.40	12323.20	15466.70	79.45	4.42	2.488
0.00	30	SLU	1	3	0.00	-21507.40	4948.39		6219.31		-21507.40	12323.20	15466.70	79.45	4.42	2.488
3.85	30	SLU	1	3	385.00	-19255.20	-2203.80		-10561.30		-19255.20	-3520.73	-16684.20	267.19	5.58	1.580

Stato limite elastico - Verifiche a flessione/pressoflessione

Xg	CC	TCC	El	Sez.	X	N	My	My ver.	Mz	Mz ver.	Nu	M' ydy	M' ydz	α	ε _y	Sic.
<m>					<cm>	<daN>	<daNm>	<daNm>	<daNm>	<daNm>	<daN>	<daNm>	<daNm>	<grad>		
0.00	22	SND	1	3	0.00	-12988.90	1122.73		9533.97		-12988.90	1822.38	13679.90	88.24	6.18	1.438
0.00	22	SND	1	3	0.00	-12988.90	1122.73		9533.97		-12988.90	1822.38	13679.90	88.24	6.18	1.438
3.85	22	SND	1	3	385.00	-11256.40	-646.77		-10606.40		-11256.40	-960.76	-13443.40	269.30	6.69	1.268

Stato limite d'esercizio - Verifiche tensionali

Xg	CC	TCC	El	Sez.	X	N	Mz	My	AfT	AfC	σ _c	σ _f
<m>					<cm>	<daN>	<daNm>	<daNm>	<cm>	<cm>	<daN/cm>	<daN/cm>
0.00	34	SLE R	1	3	0.00	-15601.70	4468.82	3300.58	18.85	18.85	85.71	1194.55
0.00	28	SLE Q	1	3	0.00	-14195.60	3920.58	20.77	21.99	15.71	54.71	763.92
0.00	34	SLE R	1	3	0.00	-15601.70	4468.82	3300.58	18.85	18.85	85.71	1194.55
0.00	28	SLE Q	1	3	0.00	-14195.60	3920.58	20.77	21.99	15.71	54.71	763.92
3.85	34	SLE R	1	3	385.00	-13869.20	-7588.74	-1470.93	21.99	15.71	115.44	1973.42
3.85	28	SLE Q	1	3	385.00	-12463.10	-6657.74	-21.70	21.99	15.71	91.66	1604.14

Stato limite d'esercizio - Verifiche a fessurazione

Xg	CC	TCC	El	Sez.	X	N	My	Mz	c	s	K3	s _{sm}	φ	A _s	A _{c eff}	σ _s	σ _{sr}	ε _{sm}	Wk
<m>					<cm>	<daN>	<daNm>	<daNm>	<mm>	<mm>		<mm>		<cm>	<cm>	<daN/cm>	<daN/cm>		<mm>
0.00	28	SLE Q	1	3	0.00	-14195.60	20.77	3920.58	49.00	120.50	0.13	188.05	20.00	21.99	1450.42	763.02	966.28	0.15	0.05
0.00	28	SLE Q	1	3	0.00	-14195.60	20.77	3920.58	49.00	120.50	0.13	188.05	20.00	21.99	1450.42	763.02	966.28	0.15	0.05
3.85	28	SLE Q	1	3	385.00	-12463.10	-21.70	-6657.74	49.00	120.50	0.13	188.05	20.00	21.99	1450.29	1603.13	1084.09	0.60	0.19

Staffe - Verifiche armatura

X0	X1	Staff.	Br _y	Br _z	CC	TCC	bw _y	Vsdu _y	ctgθ _y	VRsd _y	VRcd _y	bw _z	Vsdu _z	ctgθ _z	VRsd _z	VRcd _z	Sic.T
<m>	<m>						<cm>	<daN>		<daN>	<daN>	<cm>	<daN>		<daN>	<daN>	
0.00	0.64	ø8/ 6	2	2	30	SLU	0.60	4358.61	2.50	35551.90	41728.30	0.30	3012.71	1.80	57592.10	57592.10	8.16
0.00	0.64	ø8/ 6	2	2	25	SLU	0.60	4358.61	2.50	35551.90	41731.10	0.30	14.64	1.80	57594.60	57594.60	8.16
0.00	0.64	ø8/ 6	2	2	1	SND	0.60	3226.31	2.50	35551.90	40859.60	0.30	5171.13	1.78	56803.10	56803.10	10.98
0.00	0.64	ø8/ 6	2	2	22	SND	0.60	5231.25	2.50	35551.90	40998.00	0.30	459.61	1.78	56929.50	56929.50	6.80
0.00	0.64	ø8/ 6	2	2	19	SND	0.60	5231.25	2.50	35551.90	41002.70	0.30	2366.17	1.78	56933.80	56933.80	6.80
0.64	3.21	ø8/18	2	2	30	SLU	0.60	4358.61	2.50	11850.60	41681.50	0.30	2627.71	2.50	26602.50	46783.50	2.72
0.64	3.21	ø8/18	2	2	25	SLU	0.60	4358.61	2.50	11850.60	41684.30	0.30	14.64	2.50	26602.50	46786.70	2.72
0.64	3.21	ø8/18	2	2	1	SND	0.60	3226.31	2.50	11850.60	40823.60	0.30	5171.13	2.50	26602.50	45820.70	3.67
0.64	3.21	ø8/18	2	2	22	SND	0.60	5231.25	2.50	11850.60	40962.00	0.30	459.61	2.50	26602.50	45976.10	2.27
0.64	3.21	ø8/18	2	2	19	SND	0.60	5231.25	2.50	11850.60	40966.70	0.30	2366.17	2.50	26602.50	45981.30	2.27
3.21	3.85	ø8/12	2	2	30	SLU	0.60	4358.61	2.50	17776.00	41494.30	0.30	1087.71	2.50	39903.70	46573.50	4.08
3.21	3.85	ø8/12	2	2	29	SLU	0.60	4629.15	2.50	17776.00	41474.50	0.30	164.98	2.50	39903.70	46551.20	3.84
3.21	3.85	ø8/12	2	2	1	SND	0.60	3226.31	2.50	17776.00	40679.60	0.30	5171.13	2.50	39903.70	45659.10	5.51
3.21	3.85	ø8/12	2	2	22	SND	0.60	5231.25	2.50	17776.00	40818.10	0.30	459.61	2.50	39903.70	45814.50	3.40
3.21	3.85	ø8/12	2	2	19	SND	0.60	5231.25	2.50	17776.00	40822.70	0.30	2366.17	2.50	39903.70	45819.70	3.40

Pilastrata n. 13

Nodi: 13 113

Caratteristiche delle sezioni e dei materiali utilizzati

Sez.	Tipo	B	H	Cf	Cls	Fck	Fctk	Fcd	Fctd	Tp	Fyk	Fyd
------	------	---	---	----	-----	-----	------	-----	------	----	-----	-----

Relazione di calcolo

	<cm>	<cm>	<cm>	<cm>	<daN/cmq>	<daN/cmq>	<daN/cmq>	<daN/cmq>		<daN/cmq>	<daN/cmq>
3R	30.00	60.00	5.80	C30/37	307.10	20.59	174.02	13.73	B450C	4500.00	3913.04

Stato limite ultimo - Verifiche a flessione/pressoflessione

Xg	CC	TCC	El	Sez.	X	N	My	My ver.	Mz	Mz ver.	Nu	MRdy	MRdz	α	ε _y	Sic.
<m>					<cm>	<daN>	<daNm>	<daNm>	<daNm>	<daNm>	<daN>	<daNm>	<daNm>	<grad>		
0.00	30	SLU	1	3	0.00	-21556.40	4923.71		6235.52		-21556.40	12323.80	15470.40	79.45	4.42	2.489
0.00	30	SLU	1	3	0.00	-21556.40	4923.71		6235.52		-21556.40	12323.80	15470.40	79.45	4.42	2.489
3.85	30	SLU	1	3	385.00	-19304.20	-2160.69		-10588.90		-19304.20	-3522.44	-16687.70	267.19	5.58	1.578

Stato limite elastico - Verifiche a flessione/pressoflessione

Xg	CC	TCC	El	Sez.	X	N	My	My ver.	Mz	Mz ver.	Nu	M'ydy	M'ydz	α	ε _y	Sic.
<m>					<cm>	<daN>	<daNm>	<daNm>	<daNm>	<daNm>	<daN>	<daNm>	<daNm>	<grad>		
0.00	22	SND	1	3	0.00	-13085.10	1109.59		8844.46		-13085.10	1828.75	13739.50	88.24	6.17	1.555
0.00	22	SND	1	3	0.00	-13085.10	1109.59		8844.46		-13085.10	1828.75	13739.50	88.24	6.17	1.555
3.85	22	SND	1	3	385.00	-11352.60	-623.81		-10133.70		-11352.60	-960.92	-13455.80	269.30	6.69	1.329

Stato limite d'esercizio - Verifiche tensionali

Xg	CC	TCC	El	Sez.	X	N	Mz	My	AfT	AfC	σ _c	σ _f
<m>					<cm>	<daN>	<daNm>	<daNm>	<cmq>	<cmq>	<daN/cmq>	<daN/cmq>
0.00	34	SLE R	1	3	0.00	-15636.00	4480.51	3283.43	18.85	18.85	85.75	1195.24
0.00	28	SLE Q	1	3	0.00	-14216.40	3930.79	11.96	21.99	15.71	54.79	765.56
0.00	34	SLE R	1	3	0.00	-15636.00	4480.51	3283.43	18.85	18.85	85.75	1195.24
0.00	28	SLE Q	1	3	0.00	-14216.40	3930.79	11.96	21.99	15.71	54.79	765.56
3.85	34	SLE R	1	3	385.00	-13903.50	-7608.59	-1440.96	21.99	15.71	115.49	1975.41
3.85	28	SLE Q	1	3	385.00	-12483.90	-6675.08	-6.30	21.99	15.71	91.78	1607.20

Stato limite d'esercizio - Verifiche a fessurazione

Xg	CC	TCC	El	Sez.	X	N	My	Mz	c	s	K3	s _{zm}	φ	A _s	A _{c eff}	σ _s	σ _{sr}	ε _{sm}	Wk
<m>					<cm>	<daN>	<daNm>	<daNm>	<mm>	<mm>		<mm>		<cmq>	<cmq>	<daN/cmq>	<daN/cmq>		<mm>
0.00	28	SLE Q	1	3	0.00	-14216.40	11.96	3930.79	49.00	120.50	0.13	188.05	20.00	21.99	1450.42	765.04	967.35	0.15	0.05
0.00	28	SLE Q	1	3	0.00	-14216.40	11.96	3930.79	49.00	120.50	0.13	188.05	20.00	21.99	1450.42	765.04	967.35	0.15	0.05
3.85	28	SLE Q	1	3	385.00	-12483.90	-6.30	-6675.08	49.00	120.50	0.13	188.05	20.00	21.99	1450.29	1606.91	1085.03	0.60	0.19

Staffe - Verifiche armatura

X0	X1	Staff.	Br _y	Br _z	CC	TCC	b _w	Vsdu _y	ctgθ _y	VRsd _y	VRcd _y	b _w	Vsdu _z	ctgθ _z	VRsd _z	VRcd _z	Sic.T
<m>	<m>						<m>	<daN>		<daN>	<daN>	<m>	<daN>		<daN>	<daN>	
0.00	0.64	ø8/6	2	2	30	SLU	0.60	4369.97	2.50	35551.90	41734.40	0.30	2995.10	1.80	57597.60	57597.60	8.14
0.00	0.64	ø8/6	2	2	25	SLU	0.60	4369.97	2.50	35551.90	41734.50	0.30	6.38	1.80	57597.70	57597.70	8.14
0.00	0.64	ø8/6	2	2	1	SND	0.60	3245.97	2.50	35551.90	40855.60	0.30	5137.14	1.78	56799.40	56799.40	10.95
0.00	0.64	ø8/6	2	2	22	SND	0.60	4929.39	2.50	35551.90	40978.60	0.30	450.23	1.78	56911.80	56911.80	7.21
0.00	0.64	ø8/6	2	2	19	SND	0.60	4929.39	2.50	35551.90	40978.70	0.30	2360.22	1.78	56911.90	56911.90	7.21
0.64	3.21	ø8/18	2	2	30	SLU	0.60	4369.97	2.50	11850.60	41687.60	0.30	2610.10	2.50	26602.50	46790.40	2.71
0.64	3.21	ø8/18	2	2	25	SLU	0.60	4369.97	2.50	11850.60	41687.70	0.30	6.38	2.50	26602.50	46790.60	2.71
0.64	3.21	ø8/18	2	2	1	SND	0.60	3245.97	2.50	11850.60	40819.60	0.30	5137.14	2.50	26602.50	45816.20	3.65
0.64	3.21	ø8/18	2	2	22	SND	0.60	4929.39	2.50	11850.60	40942.60	0.30	450.23	2.50	26602.50	45954.20	2.40
0.64	3.21	ø8/18	2	2	19	SND	0.60	4929.39	2.50	11850.60	40942.70	0.30	2360.22	2.50	26602.50	45954.40	2.40
3.21	3.85	ø8/12	2	2	30	SLU	0.60	4369.97	2.50	17776.00	41500.40	0.30	1070.10	2.50	39903.70	46580.30	4.07
3.21	3.85	ø8/12	2	2	29	SLU	0.60	4692.86	2.50	17776.00	41482.10	0.30	156.05	2.50	39903.70	46559.80	3.79
3.21	3.85	ø8/12	2	2	1	SND	0.60	3245.97	2.50	17776.00	40675.60	0.30	5137.14	2.50	39903.70	45654.60	5.48
3.21	3.85	ø8/12	2	2	22	SND	0.60	4929.39	2.50	17776.00	40798.60	0.30	450.23	2.50	39903.70	45792.60	3.61
3.21	3.85	ø8/12	2	2	19	SND	0.60	4929.39	2.50	17776.00	40798.80	0.30	2360.22	2.50	39903.70	45792.80	3.61

Pilastrata n. 14

Nodi: 14 114

Caratteristiche delle sezioni e dei materiali utilizzati

Sez.	Tipo	B	H	Cf	Cls	F _{ck}	F _{ctk}	F _{cd}	F _{ctd}	Tp	F _{yk}	F _{yd}
		<cm>	<cm>	<cm>		<daN/cmq>	<daN/cmq>	<daN/cmq>	<daN/cmq>		<daN/cmq>	<daN/cmq>
3R		30.00	60.00	5.80	C30/37	307.10	20.59	174.02	13.73	B450C	4500.00	3913.04

Stato limite ultimo - Verifiche a flessione/pressoflessione

Xg	CC	TCC	El	Sez.	X	N	My	My ver.	Mz	Mz ver.	Nu	MRdy	MRdz	α	ε _y	Sic.
<m>					<cm>	<daN>	<daNm>	<daNm>	<daNm>	<daNm>	<daN>	<daNm>	<daNm>	<grad>		
0.00	30	SLU	1	3	0.00	-21582.40	4940.18		6217.36		-21582.40	12324.00	15472.30	79.45	4.42	2.491
0.00	30	SLU	1	3	0.00	-21582.40	4940.18		6217.36		-21582.40	12324.00	15472.30	79.45	4.42	2.491
3.85	30	SLU	1	3	385.00	-19330.20	-2189.47		-10558.00		-19330.20	-3523.33	-16689.60	267.19	5.58	1.582

Stato limite elastico - Verifiche a flessione/pressoflessione

Xg	CC	TCC	El	Sez.	X	N	My	My ver.	Mz	Mz ver.	Nu	M'ydy	M'ydz	α	ε _y	Sic.
<m>					<cm>	<daN>	<daNm>	<daNm>	<daNm>	<daNm>	<daN>	<daNm>	<daNm>	<grad>		
0.00	22	SND	1	3	0.00	-13192.30	1113.93		8147.42		-13192.30	2123.60	13823.00	87.89	6.06	1.701
0.00	22	SND	1	3	0.00	-13192.30	1113.93		8147.42		-13192.30	2123.60	13823.00	87.89	6.06	1.701
3.85	22	SND	1	3	385.00	-11459.80	-631.38		-9630.71		-11459.80	-961.81	-13479.50	269.30	6.68	1.400

Relazione di calcolo

Stato limite d'esercizio - Verifiche tensionali

Xg <m>	CC	TCC	El	Sez.	X <cm>	N <daN>	Mz <daNm>	My <daNm>	AfT <cmq>	AfC <cmq>	σ_c <daN/cmq>	σ_f <daN/cmq>
0.00	34	SLE R	1	3	0.00	-15652.90	4467.42	3294.37	18.85	18.85	85.64	1192.09
0.00	28	SLE Q	1	3	0.00	-14210.50	3919.37	11.12	21.99	15.71	54.63	762.35
0.00	34	SLE R	1	3	0.00	-15652.90	4467.42	3294.37	18.85	18.85	85.64	1192.09
0.00	28	SLE Q	1	3	0.00	-14210.50	3919.37	11.12	21.99	15.71	54.63	762.35
3.85	34	SLE R	1	3	385.00	-13920.40	-7586.36	-1460.08	21.99	15.71	115.33	1970.27
3.85	28	SLE Q	1	3	385.00	-12478.00	-6655.68	-4.83	21.99	15.71	91.50	1601.58

Stato limite d'esercizio - Verifiche a fessurazione

Xg <m>	CC	TCC	El	Sez.	X <cm>	N <daN>	My <daNm>	Mz <daNm>	c <mm>	s <mm>	K3	s_{sm} <mm>	Φ	A_s <cmq>	$A_{c\text{ eff}}$ <cmq>	σ_s <daN/cmq>	σ_{sr} <daN/cmq>	ϵ_{sm}	Wk <mm>
0.00	28	SLE Q	1	3	0.00	-14210.50	11.12	3919.37	49.00	120.50	0.13	188.05	20.00	21.99	1450.42	761.87	966.78	0.15	0.05
0.00	28	SLE Q	1	3	0.00	-14210.50	11.12	3919.37	49.00	120.50	0.13	188.05	20.00	21.99	1450.42	761.87	966.78	0.15	0.05
3.85	28	SLE Q	1	3	385.00	-12478.00	-4.83	-6655.68	49.00	120.50	0.13	188.05	20.00	21.99	1450.29	1601.35	1084.82	0.60	0.19

Staffe - Verifiche armatura

X0 <m>	X1 <m>	Staff.	Br _y	Br _z	CC	TCC	b _{w,y} <m>	Vsdu _y <daN>	ctg θ _y	VRsd _y <daN>	VRcd _y <daN>	b _{w,z} <m>	Vsdu _z <daN>	ctg θ _z	VRsd _z <daN>	VRcd _z <daN>	Sic. T
0.00	0.64	ø8/6	2	2	30	SLU	0.60	4357.24	2.50	35551.90	41737.60	0.30	3006.86	1.80	57600.50	57600.50	8.16
0.00	0.64	ø8/6	2	2	25	SLU	0.60	4357.24	2.50	35551.90	41733.50	0.30	5.50	1.80	57596.80	57596.80	8.16
0.00	0.64	ø8/6	2	2	1	SND	0.60	3252.24	2.50	35551.90	40866.20	0.30	5171.47	1.78	56809.10	56809.10	10.93
0.00	0.64	ø8/6	2	2	22	SND	0.60	4617.69	2.50	35551.90	40950.90	0.30	453.33	1.78	56886.50	56886.50	7.70
0.00	0.64	ø8/6	2	2	19	SND	0.60	4617.69	2.50	35551.90	40957.10	0.30	2376.43	1.78	56892.20	56892.20	7.70
0.64	3.21	ø8/18	2	2	30	SLU	0.60	4357.24	2.50	11850.60	41690.80	0.30	2621.86	2.50	26602.50	46794.00	2.72
0.64	3.21	ø8/18	2	2	25	SLU	0.60	4357.24	2.50	11850.60	41686.70	0.30	5.50	2.50	26602.50	46789.40	2.72
0.64	3.21	ø8/18	2	2	1	SND	0.60	3252.24	2.50	11850.60	40830.20	0.30	5171.47	2.50	26602.50	45828.10	3.64
0.64	3.21	ø8/18	2	2	22	SND	0.60	4617.69	2.50	11850.60	40914.90	0.30	453.33	2.50	26602.50	45923.20	2.57
0.64	3.21	ø8/18	2	2	19	SND	0.60	4617.69	2.50	11850.60	40921.10	0.30	2376.43	2.50	26602.50	45930.10	2.57
3.21	3.85	ø8/12	2	2	30	SLU	0.60	4357.24	2.50	17776.00	41503.60	0.30	1081.86	2.50	39903.70	46584.00	4.08
3.21	3.85	ø8/12	2	2	29	SLU	0.60	4733.62	2.50	17776.00	41485.20	0.30	156.15	2.50	39903.70	46563.30	3.76
3.21	3.85	ø8/12	2	2	1	SND	0.60	3252.24	2.50	17776.00	40686.20	0.30	5171.46	2.50	39903.70	45666.50	5.47
3.21	3.85	ø8/12	2	2	22	SND	0.60	4617.69	2.50	17776.00	40770.90	0.30	453.33	2.50	39903.70	45761.60	3.85
3.21	3.85	ø8/12	2	2	19	SND	0.60	4617.69	2.50	17776.00	40777.20	0.30	2376.43	2.50	39903.70	45768.50	3.85

Pilastrata n. 15

Nodi: 15 115

Caratteristiche delle sezioni e dei materiali utilizzati

Sez.	Tipo	B <cm>	H <cm>	Cf <cm>	Cl _s	F _{ck} <daN/cmq>	F _{ctk} <daN/cmq>	F _{cd} <daN/cmq>	F _{ctd} <daN/cmq>	Tp	F _{yk} <daN/cmq>	F _{yd} <daN/cmq>
3R		30.00	60.00	5.80	C30/37	307.10	20.59	174.02	13.73	B450C	4500.00	3913.04

Stato limite ultimo - Verifiche a flessione/pressoflessione

Xg <m>	CC	TCC	El	Sez.	X <cm>	N <daN>	My <daNm>	My ver. <daNm>	Mz <daNm>	Mz ver. <daNm>	Nu <daN>	MR _{dy} <daNm>	MR _{dz} <daNm>	α <grad>	ϵ_y	Sic.
0.00	30	SLU	1	3	0.00	-21282.40	4801.00		5963.35		-21282.40	12320.40	15449.60	79.45	4.43	2.581
0.00	30	SLU	1	3	0.00	-21282.40	4801.00		5963.35		-21282.40	12320.40	15449.60	79.45	4.43	2.581
3.85	30	SLU	1	3	385.00	-19030.20	-1946.31		-10126.70		-19030.20	-2916.81	-16702.00	267.54	5.64	1.644

Stato limite elastico - Verifiche a flessione/pressoflessione

Xg <m>	CC	TCC	El	Sez.	X <cm>	N <daN>	My <daNm>	My ver. <daNm>	Mz <daNm>	Mz ver. <daNm>	Nu <daN>	M _{ydy} <daNm>	M _{ydz} <daNm>	α <grad>	ϵ_y	Sic.
0.00	10	SND	1	3	0.00	-13395.10	-1031.62		7472.08		-13395.10	-2126.13	13864.00	92.11	6.05	1.859
0.00	10	SND	1	3	0.00	-13395.10	-1031.62		7472.08		-13395.10	-2126.13	13864.00	92.11	6.05	1.859
3.85	10	SND	1	3	385.00	-11662.60	516.78		-8967.81		-11662.60	960.36	-13480.50	270.70	6.67	1.505

Stato limite d'esercizio - Verifiche tensionali

Xg <m>	CC	TCC	El	Sez.	X <cm>	N <daN>	Mz <daNm>	My <daNm>	AfT <cmq>	AfC <cmq>	σ_c <daN/cmq>	σ_f <daN/cmq>
0.00	34	SLE R	1	3	0.00	-15455.50	4284.37	3202.71	18.85	18.85	82.40	1135.31
0.00	28	SLE Q	1	3	0.00	-14246.30	3759.61	28.17	21.99	15.71	52.57	716.98
0.00	34	SLE R	1	3	0.00	-15455.50	4284.37	3202.71	18.85	18.85	82.40	1135.31
0.00	28	SLE Q	1	3	0.00	-14246.30	3759.61	28.17	21.99	15.71	52.57	716.98
3.85	34	SLE R	1	3	385.00	-13723.00	-7275.52	-1299.93	21.99	15.71	109.88	1869.70
3.85	28	SLE Q	1	3	385.00	-12513.80	-6384.40	-34.62	21.99	15.71	88.07	1524.34

Stato limite d'esercizio - Verifiche a fessurazione

Xg <m>	CC	TCC	El	Sez.	X <cm>	N <daN>	My <daNm>	Mz <daNm>	c <mm>	s <mm>	K3	s_{sm} <mm>	Φ	A_s <cmq>	$A_{c\text{ eff}}$ <cmq>	σ_s <daN/cmq>	σ_{sr} <daN/cmq>	ϵ_{sm}	Wk <mm>
0.00	28	SLE Q	1	3	0.00	-14246.30	28.17	3759.61	49.00	120.50	0.13	188.05	20.00	21.99	1450.42	715.76	953.59	0.14	0.04
0.00	28	SLE Q	1	3	0.00	-14246.30	28.17	3759.61	49.00	120.50	0.13	188.05	20.00	21.99	1450.42	715.76	953.59	0.14	0.04
3.85	28	SLE Q	1	3	385.00	-12513.80	-34.62	-6384.40	49.00	120.50	0.13	188.05	20.00	21.99	1450.29	1522.75	1077.72	0.55	0.18

Staffe - Verifiche armatura

X0 <m>	X1 <m>	Staff.	Br _y	Br _z	CC	TCC	b _{w,y} <m>	Vsdu _y <daN>	ctg θ _y	VRsd _y <daN>	VRcd _y <daN>	b _{w,z} <m>	Vsdu _z <daN>	ctg θ _z	VRsd _z <daN>	VRcd _z <daN>	Sic. T
--------	--------	--------	-----------------	-----------------	----	-----	----------------------	-------------------------	---------------------------	-------------------------	-------------------------	----------------------	-------------------------	---------------------------	-------------------------	-------------------------	--------

Relazione di calcolo

Sez.	Tipo	B <cm>	H <cm>	Cf <cm>	Cl.s	Fck <daN/cm²>	Fctk <daN/cm²>	Fcd <daN/cm²>	Fctd <daN/cm²>	TP	Fyk <daN/cm²>	Fyd <daN/cm²>
3R		30.00	60.00	5.80	C30/37	307.10	20.59	174.02	13.73	B450C	4500.00	3913.04

Stato limite ultimo - Verifiche a flessione/pressoflessione

Xg <m>	CC	TCC	El	Sez.	X <cm>	N <daN>	My <daNm>	My ver. <daNm>	Mz <daNm>	Mz ver. <daNm>	Nu <daN>	MRdy <daNm>	MRdz <daNm>	α <grad>	ε _y	Sic.		
-0.00	30			SLU	1	3	0.00	-23287.00	-9265.82		2219.86		-23287.00	-31395.20	6945.62	135.00	4.47	3.375
-0.00	30			SLU	1	3	0.00	-23287.00	-9265.82		2219.86		-23287.00	-31395.20	6945.62	135.00	4.47	3.375
3.85	25(e)			SLU	1	3	385.00	-20858.70	16188.60	16188.60	-90.05	-453.68	-20858.70	36580.80	-1334.23	348.75	6.50	2.260

Stato limite elastico - Verifiche a flessione/pressoflessione

Xg <m>	CC	TCC	El	Sez.	X <cm>	N <daN>	My <daNm>	My ver. <daNm>	Mz <daNm>	Mz ver. <daNm>	Nu <daN>	M'ydy <daNm>	M'ydz <daNm>	α <grad>	ε _y	Sic.		
-0.00	7			SND	1	3	0.00	-13854.60	-16103.10		1841.17		-13854.60	-26286.00	3098.90	151.88	5.66	1.633
-0.00	7			SND	1	3	0.00	-13854.60	-16103.10		1841.17		-13854.60	-26286.00	3098.90	151.88	5.66	1.633
3.85	7			SND	1	3	385.00	-12122.10	14849.60		-1509.25		-12122.10	26137.50	-2350.29	337.50	6.12	1.758

Stato limite d'esercizio - Verifiche tensionali

Xg <m>	CC	TCC	El	Sez.	X <cm>	N <daN>	Mz <daNm>	My <daNm>	AfT <cmq>	AfC <cmq>	σ _c <daN/cm²>	σ _f <daN/cm²>		
-0.00	34			SLE R	1	3	0.00	-16815.00	1483.32	-6628.00	18.85	18.85	64.40	816.43
-0.00	28			SLE Q	1	3	0.00	-15254.70	41.90	-5861.27	21.99	15.71	38.48	510.53
-0.00	34			SLE R	1	3	0.00	-16815.00	1483.32	-6628.00	18.85	18.85	64.40	816.43
-0.00	28			SLE Q	1	3	0.00	-15254.70	41.90	-5861.27	21.99	15.71	38.48	510.53
3.85	34			SLE R	1	3	385.00	-15082.50	-473.20	11580.00	21.99	15.71	80.30	1464.46
3.85	28			SLE Q	1	3	385.00	-13522.20	-67.56	10240.40	21.99	15.71	65.39	1236.65

Stato limite d'esercizio - Verifiche a fessurazione

Xg <m>	CC	TCC	El	Sez.	X <cm>	N <daN>	My <daNm>	Mz <daNm>	c <mm>	s <mm>	K3	s _{zm} <mm>	φ	A _s <cm²>	A _{c,eff} <cm²>	σ _s <daN/cm²>	σ _{sr} <daN/cm²>	ε _{sm}	Wk <mm>		
-0.00	28			SLE Q	1	3	0.00	-15254.70	-5861.27	41.90	49.00	91.00	0.13	175.41	20.00	15.71	930.10	510.53	1004.25	0.10	0.03
-0.00	28			SLE Q	1	3	0.00	-15254.70	-5861.27	41.90	49.00	91.00	0.13	175.41	20.00	15.71	930.10	510.53	1004.25	0.10	0.03
3.85	28			SLE Q	1	3	385.00	-13522.20	10240.40	-67.56	49.00	91.00	0.13	174.93	20.00	21.99	1291.59	1236.65	1184.50	0.32	0.10

Staffe - Verifiche armatura

X0 <m>	X1 <m>	Staff.	Br _y	Br _z	CC	TCC	bw _y <m>	Vdsu _y <daN>	ctgθ _y	VRsd _y <daN>	VRcd _y <daN>	bw _z <m>	Vdsu _z <daN>	ctgθ _z	VRsd _z <daN>	VRcd _z <daN>	Sic. T
0.00	0.64	ø8/5	2	2	25	SLU	0.60	37.90	2.47	42234.30	42234.30	0.30	6611.54	1.60	61323.40	61323.40	9.28
0.00	0.64	ø8/5	2	2	30	SLU	0.60	1913.80	2.48	42247.20	42247.20	0.30	6611.54	1.60	61345.70	61345.70	9.28
0.00	0.64	ø8/5	2	2	10	SND	0.60	133.91	2.45	41782.90	41782.90	0.30	8039.68	1.58	60539.20	60539.20	7.53
0.00	0.64	ø8/5	2	2	1	SND	0.60	1860.67	2.45	41739.50	41739.50	0.30	5712.48	1.58	60463.70	60463.70	10.58
0.64	3.21	ø8/18	2	2	25	SLU	0.60	37.90	2.50	11850.60	41881.30	0.30	6611.54	2.50	26602.50	47007.90	4.02
0.64	3.21	ø8/18	2	2	30	SLU	0.60	1528.80	2.50	11850.60	41903.30	0.30	6611.54	2.50	26602.50	47032.50	4.02
0.64	3.21	ø8/18	2	2	10	SND	0.60	133.91	2.50	11850.60	41125.70	0.30	8039.68	2.50	26602.50	46159.70	3.31
0.64	3.21	ø8/18	2	2	7	SND	0.60	870.24	2.50	11850.60	41154.50	0.30	8039.68	2.50	26602.50	46192.00	3.31
0.64	3.21	ø8/18	2	2	1	SND	0.60	1860.67	2.50	11850.60	41052.50	0.30	5712.48	2.50	26602.50	46077.60	4.66
3.21	3.85	ø8/12	2	2	25	SLU	0.60	37.90	2.50	17776.00	41694.20	0.30	6611.54	2.50	39903.70	46797.80	6.04
3.21	3.85	ø8/12	2	2	30	SLU	0.60	396.20	2.50	17776.00	41716.10	0.30	6611.54	2.50	39903.70	46822.50	6.04
3.21	3.85	ø8/12	2	2	10	SND	0.60	133.91	2.50	17776.00	40981.70	0.30	8039.68	2.50	39903.70	45998.10	4.96
3.21	3.85	ø8/12	2	2	7	SND	0.60	870.24	2.50	17776.00	41010.50	0.30	8039.68	2.50	39903.70	46030.40	4.96
3.21	3.85	ø8/12	2	2	1	SND	0.60	1860.67	2.50	17776.00	40908.50	0.30	5712.48	2.50	39903.70	45916.00	6.99

Pilastrata n. 18

Nodi: 18 118

Caratteristiche delle sezioni e dei materiali utilizzati

Sez.	Tipo	B <cm>	H <cm>	Cf <cm>	Cl.s	Fck <daN/cm²>	Fctk <daN/cm²>	Fcd <daN/cm²>	Fctd <daN/cm²>	TP	Fyk <daN/cm²>	Fyd <daN/cm²>
3R		30.00	60.00	5.80	C30/37	307.10	20.59	174.02	13.73	B450C	4500.00	3913.04

Stato limite ultimo - Verifiche a flessione/pressoflessione

Xg <m>	CC	TCC	El	Sez.	X <cm>	N <daN>	My <daNm>	My ver. <daNm>	Mz <daNm>	Mz ver. <daNm>	Nu <daN>	MRdy <daNm>	MRdz <daNm>	α <grad>	ε _y	Sic.		
0.00	30			SLU	1	3	0.00	-13969.50	-5604.83		1226.62		-13969.50	-30356.90	6816.42	135.00	4.76	5.423
0.00	30			SLU	1	3	0.00	-13969.50	-5604.83		1226.62		-13969.50	-30356.90	6816.42	135.00	4.76	5.423
3.85	25			SLU	1	3	385.00	-11898.20	9792.36		543.73		-11898.20	35292.30	1356.16	11.25	7.09	3.601

Stato limite elastico - Verifiche a flessione/pressoflessione

Xg <m>	CC	TCC	El	Sez.	X <cm>	N <daN>	My <daNm>	My ver. <daNm>	Mz <daNm>	Mz ver. <daNm>	Nu <daN>	M'ydy <daNm>	M'ydz <daNm>	α <grad>	ε _y	Sic.		
0.00	7			SND	1	3	0.00	-8051.79	-13447.10		-1480.49		-8051.79	-25323.50	-3051.34	208.13	5.92	1.885
0.00	7			SND	1	3	0.00	-8051.79	-13447.10		-1480.49		-8051.79	-25323.50	-3051.34	208.13	5.92	1.885
3.85	7			SND	1	3	385.00	-6319.29	10735.30		1212.97		-6319.29	25026.70	3035.72	28.13	6.00	2.333

Stato limite d'esercizio - Verifiche tensionali

Xg <m>	CC	TCC	El	Sez.	X <cm>	N <daN>	Mz <daNm>	My <daNm>	AfT <cmq>	AfC <cmq>	σ _c <daN/cm²>	σ _f <daN/cm²>
-----------	----	-----	----	------	-----------	------------	--------------	--------------	--------------	--------------	-----------------------------	-----------------------------

Relazione di calcolo

0.00	34	SLE R	1	3	0.00	-10171.20	799.59	-4019.72	18.85	18.85	37.59	477.68
0.00	28	SLE Q	1	3	0.00	-9554.09	-227.68	-3614.63	18.85	18.85	26.65	339.29
0.00	34	SLE R	1	3	0.00	-10171.20	799.59	-4019.72	18.85	18.85	37.59	477.68
0.00	28	SLE Q	1	3	0.00	-9554.09	-227.68	-3614.63	18.85	18.85	26.65	339.29
3.85	26	SLE R	1	3	385.00	-8559.23	393.61	7022.97	21.99	15.71	50.35	921.44
3.85	28	SLE Q	1	3	385.00	-7821.59	390.23	6315.23	21.99	15.71	45.87	830.83

Stato limite d'esercizio - Verifiche a fessurazione

Xg <m>	CC	TCC	El	Sez.	X <cm>	N <daN>	My <daNm>	Mz <daNm>	c <mm>	s <mm>	K3	s _m <mm>	Φ	A _s <cmq>	A _{c,eff} <cmq>	σ _s <daN/cmq>	σ _{sz} <daN/cmq>	ε _{sm}	Wk <mm>
0.00	28	SLE Q	1	3	0.00	-9554.09	-3614.63	-227.68	49.00	91.00	0.13	176.97	20.00	18.85	1145.70	339.29	939.77	0.07	0.02
0.00	28	SLE Q	1	3	0.00	-9554.09	-3614.63	-227.68	49.00	91.00	0.13	176.97	20.00	18.85	1145.70	339.29	939.77	0.07	0.02
3.85	28	SLE Q	1	3	385.00	-7821.59	6315.23	390.23	49.00	91.00	0.13	174.93	20.00	21.99	1291.59	830.83	1130.16	0.16	0.05

Staffe - Verifiche armatura

X0 <m>	X1 <m>	Staff.	Br _y	Br _z	CC	TCC	bw _{,y} <m>	Vsdu _{,y} <daN>	ctgθ _{,y}	VRsd _{,y} <daN>	VRcd _{,y} <daN>	bw _{,z} <m>	Vsdu _{,z} <daN>	ctgθ _{,z}	VRsd _{,z} <daN>	VRcd _{,z} <daN>	Sic.T
0.00	0.64	ø8/10	2	2	30	SLU	0.60	897.77	2.50	21331.10	40788.60	0.30	3999.27	2.44	46648.70	46648.70	11.66
0.00	0.64	ø8/10	2	2	10	SND	0.60	87.14	2.50	21331.10	40420.30	0.30	6281.13	2.42	46402.00	46402.00	7.39
0.00	0.64	ø8/10	2	2	13	SND	0.60	1602.03	2.50	21331.10	40392.10	0.30	2700.39	2.42	46383.00	46383.00	13.32
0.64	3.21	ø8/18	2	2	30	SLU	0.60	705.27	2.50	11850.60	40741.80	0.30	3999.27	2.50	26602.50	45728.90	6.65
0.64	3.21	ø8/18	2	2	25	SLU	0.60	223.66	2.50	11850.60	40764.40	0.30	3999.27	2.50	26602.50	45754.20	6.65
0.64	3.21	ø8/18	2	2	10	SND	0.60	87.14	2.50	11850.60	40384.30	0.30	6281.13	2.50	26602.50	45327.60	4.24
0.64	3.21	ø8/18	2	2	7	SND	0.60	699.60	2.50	11850.60	40466.60	0.30	6281.13	2.50	26602.50	45419.90	4.24
0.64	3.21	ø8/18	2	2	13	SND	0.60	1602.03	2.50	11850.60	40356.10	0.30	2700.39	2.50	26602.50	45296.00	7.40
3.21	3.85	ø8/12	2	2	30	SLU	0.60	257.23	2.50	17776.00	40554.70	0.30	3999.27	2.50	39903.70	45518.80	9.98
3.21	3.85	ø8/12	2	2	25	SLU	0.60	223.66	2.50	17776.00	40577.20	0.30	3999.27	2.50	39903.70	45544.10	9.98
3.21	3.85	ø8/12	2	2	10	SND	0.60	87.14	2.50	17776.00	40240.40	0.30	6281.13	2.50	39903.70	45166.00	6.35
3.21	3.85	ø8/12	2	2	7	SND	0.60	699.60	2.50	17776.00	40322.60	0.30	6281.13	2.50	39903.70	45258.30	6.35
3.21	3.85	ø8/12	2	2	13	SND	0.60	1602.03	2.50	17776.00	40212.20	0.30	2700.39	2.50	39903.70	45134.40	11.10